



**Общество с ограниченной ответственностью  
«Строительная Компания «Гидрокор»**

Действующий член СРО А «Объединение проектировщиков»

**Заказчик:** ООО «БИОДЕГМА ГмбХ»  
**Объект:** «Проект технической документации на технологию  
компостирования органических отходов BIODEGMA®»

**ОЦЕНКА ВОЗДЕЙСТВИЯ НА ОКРУЖАЮЩУЮ СРЕДУ**

**Приложения**

**Том 2**

**шифр 07/12-20-ОВОС**

**Санкт-Петербург  
2020**

## СОСТАВ ПРОЕКТА

<b>№ тома</b>	<b>Наименование</b>	<b>Шифр</b>
1	Оценка воздействия на окружающую среду	07/12-20-ОВОС
2	Оценка воздействия на окружающую среду. Приложения	07/12-20-ОВОС

## Перечень приложений

Приложение 1 Техническое задание на подготовку документации.

Приложение 2. Техническое задание на ОВОС

Приложение 3. Список объектов, расположенных за рубежом и реализующих технологию компостирования Биодегма

Приложение 4. Параметры источников выбросов загрязняющих веществ

Приложение 5. Ориентировочная карта-схема расположения источников выбросов и расчетных точек на границе ориентировочной СЗЗ

Приложение 6. Расчет рассеивания ЗВ в атмосфере (1 вариант)

Приложение 7. Карты рассеивания ЗВ в атмосфере (1 вариант)

Приложение 8. Расчет рассеивания ЗВ в атмосфере (2 вариант)

Приложение 9. Карты рассеивания ЗВ в атмосфере (2 вариант)

Приложение 10. Ориентировочная карта- схема расположения источников шума и расчетных точек на границе ориентировочной СЗЗ

Приложение 11. Расчет уровней звука в наиболее акустически напряженной РТ

Приложение 12. Шумовые характеристики оборудования

**Приложение 1. Техническое задание на подготовку комплекта документации**

УТВЕРЖДЕНО:

Управляющий  
ООО «БИОДЕГМА»

 Ральф Мюллер

«27.» November 2020 г.



Ralf Müller  
Managing Director  
BIODEGMA GmbH  
Teinacher Straße 34  
D-71634 Ludwigsburg  
info@biodegma.de

СОГЛАСОВАННО:

Генеральный директор  
ООО «СК «Гидрокор»



Гладштейн С.О.

«04.» 12 2020 г.

**ТЕХНИЧЕСКОЕ ЗАДАНИЕ**

№ п/п	Перечень основных данных и требований	Основные сведения
<b><u>Общие данные</u></b>		
1	Цель задания	Разработка комплекта документации на технологию модульной системы компостирования органических отходов BIODEGMA®, в том числе после сортировки твердых коммунальных (ТКО) и производственных отходов и получение заключения государственной экологической экспертизы в Федеральной службе по надзору в сфере природопользования РФ на проект технической документации технологию модульной системы компостирования BIODEGMA®.
2	Функциональное назначение технологии.	Обработка и утилизация органических отходов в результате жизнедеятельности аэробных микроорганизмов, содержащихся в самих отходах с получением техногрунта, пригодного для использования при эксплуатации и рекультивации как полигонов, рекультивации оврагов, карьеров, выемок на землях различного назначения, в том числе на землях лесного фонда, а также для вертикальной планировки участков, рекультивации обводненных карьеров.
3	Сведения об области применения технологии	На всей территории Российской Федерации.
4	Основание для выполнения работ	Договору № <u>04/12-20</u> от <u>04.12.2020</u> на разработку проекта технической документации
5	Заказчик	Общество с ограниченной ответственностью «БИОДЕГМА»

6	Подрядчик	ООО «СК «Гидрокор»
7	Основные технико-экономические показатели технологии	<p>Технология модульной системы компостирования органических отходов BIODEGMA®, предназначена для утилизации органических отходов растительного происхождения, разделенных фракций твердых бытовых и промышленных отходов, осадков сточных вод в промышленном масштабе.</p> <p>Вид отходов, размеры фракций и пропускная способность могут варьироваться в зависимости от системы.</p> <p>Модули представляют собой бетонные боксы, оснащенные автоматизированной системой вентиляции и покрытые полупроницаемой мембраной Gore Cover.</p> <p>Предусматривается 2 варианта технических решений:</p> <ul style="list-style-type: none"> <li>• Первый основан на модулях, которые оснащены автоматической двухскатной крышей открытой мембраной Gore®BoxCover,</li> <li>• Второй основан на ж/бетонных тоннелях, которые закрываются мембраной Gore®HearCover с помощью намоточного устройства.</li> </ul>
8	Этапы выполнения работ	<p><b>1. ЭТАП:</b></p> <p>1.1. Разработка технологического регламента технологии модульной системы компостирования органических отходов, в том числе после сортировки твердых коммунальных (ТКО) и производственных отходов BIODEGMA;</p> <p><b>2. ЭТАП:</b></p> <p>2.1. Разработка оценки воздействия на окружающую среду (ОВОС) на основе существующих нормативно-правовых актов Российской Федерации;</p> <p>2.2. Организация и проведение общественных обсуждений;</p> <p><b>3. ЭТАП:</b></p> <p>3.1. Получение положительного заключения Государственной экологической экспертизы;</p>
9	Основные исходные данные для проектирования, выдаваемые Заказчиком	<p>1. Техническое руководство и другие имеющиеся документы по технологии модульной системы компостирования BIODEGMA®, включающее:</p> <ul style="list-style-type: none"> <li>• описание комплекса;</li> <li>• основные технические показатели;</li> <li>• периодичность загрузки комплекса (время переработки, загрузки, выгрузки);</li> <li>• данные по системам безопасности работы комплекса;</li> </ul>



		<ul style="list-style-type: none"> <li>• технологическая схема комплекса, системы очистки выбросов и сбросов (при наличии).</li> </ul> <ol style="list-style-type: none"> <li>2. Сертификаты соответствия, декларация о соответствии на систему компостирования.</li> <li>3. Морфологический состав мелкой фракции подситной фракции ТКО, в % по массе.</li> <li>4. Требования к сырью (отходам).</li> <li>5. Перечень получаемой продукции и характеристики получаемой продукции с указанием основных характеристик (область применения, влажность, состав, и т.д.).</li> <li>6. Протоколы исследований и испытаний: <ul style="list-style-type: none"> <li>• по определению шумовых характеристик оборудования, вибрационного, электромагнитного и др. видов физического воздействия;</li> <li>• по определению качественного и количественного состава выбросов (либо подтверждающие отсутствие выбросов);</li> <li>• по определению качественного-химического состава, образующихся сточных вод.</li> </ul> </li> <li>7. Требования к инженерному обеспечению: электроснабжению, водоснабжению, теплоснабжению, вентиляции.</li> <li>8. Прочие данные предоставляются по требованию надзорных органов.</li> </ol>
10	Требования к материалам	<p>Технология компостирования BIODEGMA®, предназначена для обработки и утилизации следующих отходов:</p> <ul style="list-style-type: none"> <li>• отходы растительного происхождения;</li> <li>• фракции твердых бытовых и промышленных отходов после грохочения размером менее 80 мм (подситная фракция)</li> <li>• осадки сточных вод с примесью богатых по структуре добавок</li> </ul> <p>Основные исходные требования к отходам представлены в Приложении 1 к настоящему ТЗ.</p> <p>Усредненный морфологический состав подситной фракции бытовых отходов представлен в Приложении 2 к настоящему ТЗ.</p> <p>Материалы должны иметь значение рН в диапазоне от 5,5 до 9.</p> <p>Минимальная температура материалов +5°C.</p> <p>Минимальное содержание влаги в материалах 45%.</p> <p>Условия, при которых может применяться система:</p> <ul style="list-style-type: none"> <li>• использование системы в различных климатических условиях (от умеренного до морского климата);</li> </ul>

		<ul style="list-style-type: none"> <li>• диапазон температур: от -25°C до +50°C;</li> <li>• использование в условиях снежного и дождливого климата;</li> <li>• максимальная скорость ветра при манипулировании мембранами 50 км/ч.</li> </ul>
11	Требования к разработке материалов ОВОС	<p>Подготовить материалы по ОВОС в объеме требований действующего законодательства, в т.ч.: «Положения об оценке воздействия намечаемой хозяйственной и иной деятельности на окружающую среду в Российской Федерации», утвержденным Приказом Госкомэкологии России от 16.05.2000 № 372 (в действующей редакции), Федерального закона от 23.11.1995 №174-ФЗ «Об экологической экспертизе» (в действующей редакции) и иными действующими нормативными документами Российской Федерации, задания на проектирование от Заказчика и техническое задания на проведение оценки воздействия на окружающую среду, подготовленное в соответствии с «Положением об оценке воздействия намечаемой хозяйственной и иной деятельности на окружающую среду в Российской Федерации», утвержденным Приказом Госкомэкологии России от 16.05.2000 № 372;</p> <p>Обеспечить проведение консультаций, необходимых организационных и технических мероприятий по информированию общественности, общественным обсуждениям, в т.ч. общественным слушаниям в соответствии с требованиями законодательства и задания на проведение ОВОС;</p> <p>Обеспечить доработку материалов ОВОС по замечаниям и предложениям заинтересованной общественности и подготовку окончательных материалов ОВОС.</p>
12	Форма предоставления итоговых документов	<p>Технологический регламент разработать и оформить в соответствии с действующими законодательными и нормативными документами РФ, в т.ч.: ГОСТ Р 21.1101-2013 «Основные требования к проектной и рабочей документации» и ГОСТ Р 21.1003-2009 «Учет и хранение проектной документации».</p> <p>Итоговые документы предоставить в цветном бумажном и эквивалентном ему электронном виде:</p> <ul style="list-style-type: none"> <li>• На бумажных носителях в -2х экземплярах,</li> <li>• На электронном носителе в 2-х экземплярах в формате PDF;</li> <li>• Представить оригиналы писем, справок, заключений по итогам сбора исходно-разрешительной документации и согласований.</li> </ul>

**Приложение 2. Техническое задание на проведение Оценки воздействия на окружающую среду.**

УТВЕРЖДАЮ

СОГЛАСОВАНО

Заказчик:

Подрядчик:

Генеральный директор

Генеральный директор

ООО «Биодегма ГмбХ»

ООО «СК «Гидрокор»

С.О. Гладштейн

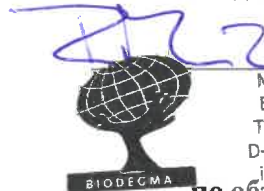
Ralf Müller Ральф Мюллер

Managing Director  
BIODEGMA GmbH  
Teinacher Straße 34  
D-71634 Ludwigsburg  
info@biodegma.de

Техническое задание

на проведение оценки воздействия на окружающую среду (ОВОС)

по объекту: «Проект технической документации на технологию компостирования органических отходов BIODEGMA®»



1. Основание для проектирования	Договор № 07/12-20 от «07» декабря 2020г.
2. Объект государственной экологической экспертизы	Проект технической документации на новую технологию
3. Наименование проектируемого объекта	Проект технической документации на технологию компостирования органических отходов BIODEGMA®
4. Территория реализации намечаемой деятельности	Территория Российской Федерации
5. Заказчик	БИОДЕГМА ГмбХ Юридический и почтовый адрес, статистические коды: Тайнахер штрассе, 34 71634 Людвигсбург, Германия IBAN: DE04 6005 0101 0002 6737 89 Swift: SOLADEST e-mail: rm@biodegma.de
6. Проектная организация	ООО «Строительная компания «Гидрокор» Юридический адрес, телефон и основные статистические коды: 192012, г. Санкт-Петербург, пр. Обуховской обороны, д.116, корп. 1, лит.Е, пом. 25-Н, оф. Т-423 ИНН 7811421411, КПП 781101001 8 (812) 313-74-31 / 313-69-81 e-mail: post@gidrokor.ru
7. Исполнитель работ по оценке воздействия на окружающую среду	ООО «Строительная компания «Гидрокор» Юридический адрес, телефон и основные статистические коды: 192012, г. Санкт-Петербург, пр. Обуховской обороны, д.116, корп. 1, лит.Е, пом. 25-Н, оф. Т-423 ИНН 7811421411, КПП 781101001 8 (812) 313-74-31 / 313-69-81 e-mail: post@gidrokor.ru
8. Требования по вариантной проработке	Не требуется
9. Цель проведения ОВОС	Целью проведения оценки воздействия на окружающую среду является предотвращение или смягчение воздействия этой деятельности на окружающую среду и связанных с ней социальных, экономических и иных последствий.
10. Сроки проведения оценки воздействия на окружающую среду	Начало – I квартал 2021г. Завершение – II квартал 2021г.
11. Назначение и характеристика объекта	Технология компостирования органических отходов BIODEGMA® предназначена для утилизации органических отходов, в том числе образующихся после сортировки твердых коммунальных отходов (ТКО), с целью получения полезной продукции. Технология компостирования отходов реализуется в модульной системе с использованием полупроницаемой мембраны. Система компостирования может быть реализована в 2х вариантах исполнения: 1. бетонные модули с автоматически открывающейся двухскатной крышей, покрытой полупроницаемой мембраной Gore®BoxCover; 2. бетонные модули – Сwb-тоннели, покрытые полупроницаемой мембраной Gore® NEAP Cover. Результатом реализации данной технологии является получение

	вторичного материального ресурса - компоста, соответствующего требованиям Технических условий на компост, вырабатываемый на мусороперерабатывающих заводах. Разработанный Академией коммунального хозяйства им. К.Д. Памфилов.
12. Перечень основных нормативных документов	<p>Градостроительный кодекс Российской Федерации от 29.12.2004 №190-ФЗ.</p> <p>Водный кодекс Российской Федерации от 03.06.2006 № 74-ФЗ.</p> <p>Земельный кодекс Российской Федерации от 25.10.2001 № 136-ФЗ.</p> <p>Федеральный закон «Об охране окружающей среды» от 10.01.2002 № 7-ФЗ.</p> <p>Федеральный закон «Об охране атмосферного воздуха» от 04.05.1999 № 96-ФЗ.</p> <p>Федеральный закон «О санитарно-эпидемиологическом благополучии населения» от 19.04.1991 г. №52-ФЗ.</p> <p>Федеральный закон «Об экологической экспертизе» от 23.11.1995 № 174-ФЗ.</p> <p>Федеральный закон «Об отходах производства и потребления» от 24.06.1998 № 89-ФЗ.</p> <p>Положение об оценке воздействия намечаемой и иной деятельности на окружающую среду в Российской Федерации (утверждено приказом Госкомэкологии РФ от 16.05.2000 г. № 372).</p>
13. Перечень исходных данных	<p>Исходно-разрешительная документация, в том числе:</p> <p>Договор № 07/12-20 от «07» декабря 2020г. на подготовку комплекта документации на технологию компостирования органических отходов BIODEGMA®;</p> <p>Технический регламент на технологию компостирования органических отходов BIODEGMA®;</p> <p>Технические условия на компост, вырабатываемый на мусороперерабатывающих заводах, разработанный Академией коммунального хозяйства им. К.Д. Памфилова и утвержденный начальником Главного управления растениеводства Минсельхозпрода РФ Гридасовым И.И., 1996 г.;</p> <p>Протоколы исследований компоста, фильтра.</p>
14. Основные методы проведения оценки воздействия на окружающую среду	<p>Материалы ОВОС должны быть выполнены в соответствии с законодательными и нормативными требованиями РФ в области охраны окружающей среды, а также удовлетворять требованиям региональных законодательных и нормативных документов. Материалы ОВОС необходимо выполнить на основе имеющейся официальной информации, статистических данных, инженерных изысканий, архивных и литературных данных. Методы оценки воздействия: использование рекомендованного программного обеспечения, утвержденных методик, сравнение с нормативами качества окружающей среды, нормативами допустимого воздействия на окружающую среду, санитарно-гигиеническими нормами и правилами, а в случае отсутствия методик и нормативов использование экспертных оценок.</p>
15. План проведения обсуждений с общественностью	<p>Общественные обсуждения – комплекс мероприятий, проводимых в рамках оценки воздействия, направленных на информирование общественности о намечаемой хозяйственной и иной деятельности и ее возможном воздействии на окружающую среду, с целью выявления общественных предпочтений и их учета в процессе оценки воздействия.</p> <p>В связи с одностадийным проектированием (стадия П) и в соответствии с п.3.3.3 Положения об оценке воздействия намечаемой и иной деятельности на окружающую среду в Российской Федерации (утверждено приказом Госкомэкологии РФ от 16.05.2000 г. № 372) участие общественности в Общественных обсуждениях планируется проводить в 2 этапа:</p> <p>Этап 1. Общественные обсуждения проекта Технического задания (ТЗ) на проведение оценки воздействия на окружающую среду.</p> <p>Форма общественных обсуждений (этап 1): регистрация мнения общественности в письменном виде в общественных приемных.</p> <p>Техническое задание будет доступно общественности в течение всего времени проведения оценки воздействия на окружающую среду.</p>

	<p>Этап 2. Общественные обсуждения по проектной документации, включая материалы ОВОС.</p> <p>Форма общественных обсуждений (этап 2): регистрация мнения общественности в письменном виде в общественных приемных, проведение общественных слушаний.</p> <p>В соответствии с п. 4.10 Приказа Госкомэкологии РФ от 16.05.2000 №372, замечания и предложения к материалам в письменной и электронной форме могут быть направлены в адрес заказчика в течение 30 дней после окончания общественных обсуждений (проведения общественных слушаний).</p> <p>При этом Исполнителем выполняются следующие мероприятия:</p> <ul style="list-style-type: none"> <li>– подготовка материалов для информирования общественности,</li> <li>– анализ поступающих замечаний и предложений от граждан и общественных организаций и обеспечивает их учет в материалах ОВОС.</li> </ul>
16. Форма предоставления замечаний и предложений	Замечания и предложения принимаются в письменной форме и в электронной форме, направляемые в адрес заказчика.
17. Основные задачи при проведении оценки воздействия на окружающую среду	<p>При проведении ОВОС следует исходить из принципов оценки воздействия на окружающую среду, для достижения указанной в цели при проведении ОВОС необходимо решить следующие задачи:</p> <ul style="list-style-type: none"> <li>– дать оценку современного состояния компонентов окружающей среды в районе размещения проектируемого объекта на примере одного из регионов РФ;</li> <li>– выявить факторы воздействия на окружающую среду, определить количественные характеристики воздействий,</li> <li>– оценить значимость выявленных воздействий,</li> <li>– разработать мероприятия по предотвращению и снижению возможного негативного воздействия на окружающую среду;</li> <li>– дать рекомендации по проведению производственного экологического контроля (экологического мониторинга) намечаемой деятельности.</li> </ul>
18. Состав и содержание материалов по оценке воздействия на окружающую среду	<p>1 ОБЩИЕ СВЕДЕНИЯ</p> <p>2 Пояснительная записка по обосновывающей документации</p> <p>2.1.Исходные данные и условия для подготовки проектной документации</p> <p>2.2. Местоположение объекта</p> <p>2.3. Краткие сведения об объекте</p> <p>2.4. Баланс земель по проекту</p> <p>2.5. Инженерное обеспечение объекта</p> <p>3 ЦЕЛЬ И ПОТРЕБНОСТЬ РЕАЛИЗАЦИИ НАМЕЧАЕМОЙ ХОЗЯЙСТВЕННОЙ И ИНОЙ ДЕЯТЕЛЬНОСТИ</p> <p>4 ОПИСАНИЕ АЛЬТЕРНАТИВНЫХ ВАРИАНТОВ ДОСТИЖЕНИЯ ЦЕЛИ НАМЕЧАЕМОЙ ХОЗЯЙСТВЕННОЙ И ИНОЙ ДЕЯТЕЛЬНОСТИ, ВКЛЮЧАЯ ПРЕДЛАГАЕМЫЙ И «НУЛЕВОЙ ВАРИАНТ»</p> <p>5 ОПИСАНИЕ ВОЗМОЖНЫХ ВИДОВ ВОЗДЕЙСТВИЯ НА ОКРУЖАЮЩУЮ СРЕДУ НАМЕЧАЕМОЙ ХОЗЯЙСТВЕННОЙ И ИНОЙ ДЕЯТЕЛЬНОСТИ</p> <p>6 ОПИСАНИЕ ОКРУЖАЮЩЕЙ СРЕДЫ, КОТОРАЯ МОЖЕТ БЫТЬ ЗАТРОНУТА НАМЕЧАЕМОЙ ХОЗЯЙСТВЕННОЙ И ИНОЙ ДЕЯТЕЛЬНОСТЬЮ В РЕЗУЛЬТАТЕ ЕЕ РЕАЛИЗАЦИИ</p> <p>6.1 Климат</p> <p>6.2 Оценка уровня фонового загрязнения атмосферного воздуха района</p> <p>6.3 Рельеф и экзогенные процессы</p> <p>6.4 Геологическое строение</p> <p>6.5 Гидрогеологические условия</p> <p>6.6 Общая гидрографическая и гидрологическая характеристика района изысканий</p> <p>6.7 Почвенный покров</p> <p>6.8 Растительность</p> <p>6.9 Животный мир</p> <p>7 ОЦЕНКА ВОЗДЕЙСТВИЯ НА ОКРУЖАЮЩУЮ СРЕДУ НАМЕЧАЕМОЙ ХОЗЯЙСТВЕННОЙ И ИНОЙ ДЕЯТЕЛЬНОСТИ ПО АЛЬТЕРНАТИВНЫМ ВАРИАНТАМ, В ТОМ ЧИСЛЕ ОЦЕНКА</p>

	<p><b>ДОСТОВЕРНОСТИ ПРОГНОЗИРУЕМЫХ ПОСЛЕДСТВИЙ НАМЕЧАЕМОЙ ИНВЕСТИЦИОННОЙ ДЕЯТЕЛЬНОСТИ</b></p> <p>7.1. Воздействие объекта на атмосферный воздух</p> <p>7.1.1. Характеристика источников выбросов загрязняющих веществ</p> <p>7.1.2. Обоснование данных о выбросах вредных веществ и параметры источников</p> <p>7.1.3. Перечень загрязняющих веществ, выбрасываемых в атмосферу и валовые выбросы</p> <p>7.1.4. Расчет и анализ величин приземных концентраций загрязняющих веществ</p> <p>7.1.5. Мероприятия по охране атмосферного воздуха в период рекультивации объекта</p> <p>7.1.6. Предложения по установлению нормативов ПДВ</p> <p>7.1.7. Выводы</p> <p>7.2. Акустическое воздействие на окружающую среду</p> <p>7.2.1. Характеристика источников шума</p> <p>7.2.2. Выбор расчётных точек</p> <p>7.2.3. Расчет уровней шума в расчетных точках</p> <p>7.2.4. Мероприятия по снижению шумового воздействия на период эксплуатации</p> <p>7.3. Воздействие объекта на подземные и поверхностные воды</p> <p>7.4. Воздействие объекта на территорию, условия землепользования и геологическую среду</p> <p>7.5. Воздействие отходов на состояние окружающей природной среды</p> <p>7.6. Воздействие объекта на растительность и животный мир</p> <p>7.7. Воздействие объекта при аварийных ситуациях</p> <p>8. МЕРЫ ПО ПРЕДОТВРАЩЕНИЮ И/ИЛИ СНИЖЕНИЮ ВОЗМОЖНОГО НЕГАТИВНОГО ВОЗДЕЙСТВИЯ НАМЕЧАЕМОЙ ХОЗЯЙСТВЕННОЙ И ИНОЙ ДЕЯТЕЛЬНОСТИ</p> <p>9. ВЫЯВЛЕННЫЕ ПРИ ПРОВЕДЕНИИ ОЦЕНКИ НЕОПРЕДЕЛЕННОСТИ В ОПРЕДЕЛЕНИИ ВОЗДЕЙСТВИЙ НАМЕЧАЕМОЙ ХОЗЯЙСТВЕННОЙ И ИНОЙ ДЕЯТЕЛЬНОСТИ НА ОКРУЖАЮЩУЮ СРЕДУ</p> <p>10. КРАТКОЕ СОДЕРЖАНИЕ ПРОГРАММ МОНИТОРИНГА И ПОСЛЕПРОЕКТНОГО АНАЛИЗА</p> <p>10.1. Мониторинг состояния за уровнем химического и физического воздействия на атмосферный воздух</p> <p>10.2. Подземные воды</p> <p>10.3. Поверхностные воды и донные отложения</p> <p>10.4. Почвенный покров</p> <p>10.5. Растительный мир</p> <p>10.6. Экологический контроль и мониторинг при авариях</p> <p>10.7. Прочие виды мониторинга и контроля</p> <p>11. Материалы общественных обсуждений, проводимых при проведении исследований и подготовке материалов по оценке воздействия на окружающую среду намечаемой хозяйственной и иной деятельности</p> <p>12. РЕЗЮМЕ НЕТЕХНИЧЕСКОГО ХАРАКТЕРА</p> <p>СПИСОК ЛИТЕРАТУРЫ</p> <p>ПРИЛОЖЕНИЯ</p>
--	--

Заказчик



Ralf Müller  
 Managing Director  
 BIODEGMA GmbH  
 Teinacher Straße 34  
 D-71634 Ludwigsburg  
 info@biodegma.de



**Приложение 3. Список объектов расположенных, за рубежом и использующих систему компостирования Биодегма.**

## Excerpt of References

Location	Customer	Type	Capacity [Mg/a]	Scope	Date
D-04603 Altenburg	KAL GbRmbH	Composting Plant for Kitchen Waste/Green Waste	8.200	Turn-key supply	Nov 97
D-07381 Pößneck	Zweckverband Abfallwirtschaft Saale Orla	MBT Plant	85.000	General engineering of the biological treatment step, Licence and Commissioning	Sept 97- Nov 99
D-31303 Burgdorf	Abfallentsorgungsgesellschaft Landkreis Hannover mbH	Green Waste Composting Plant	20.000	Supply of intensive stage composting tunnels	Apr 97
D-88396 Biberach	Blattner GmbH & Co.KG	MBT Plant	37.000	Turn-key supply of the biological treatment step	June 97
D-08141 Schönau	WZL GmbH, Reinsdorf	Composting Plant for Kitchen Waste/Green Waste	10.000	General Engineering and supply of intensive stage composting	Sep 98
D-74423 Obersontheim	KGH Umweltservice GmbH, Schwäbisch Hall	Composting Plant for Kitchen Waste/Green Waste	25.000	Turn-key supply	Jun 98
D-74736 Schweinberg	KWB GmbH, Pfaffenhofen	Composting Plant for Kitchen Waste/Green Waste	30.000	Supply of intensive stage composting tunnels	July 99
SE-72187 Sala	Vavab AB, Västeras Sweden	Composting Plant for Kitchen Waste/Green Waste	8.000	Supply of intensive stage composting tunnels	Nov 99
D-036404 Otzbach	Peter Schad GmbH, Eichenzell	Composting Plant for Kitchen Waste/Green Waste	40.000	Supply of intensive stage composting tunnels	March 00
D-76124 Karlsruhe	City of Karlsruhe	Aerobic composting of digestion cake	3.000	Turn-key supply	May 01
D97437 Hassfurt	Kompost- und Erdenweke GmbH, Hassfurt	Composting Plant for Kitchen Waste/Green Waste	9.000	Supply of intensive stage composting tunnels	Jan 01
SE-37123 Karlskrona	Affärsverken Karlskrona AB, Karlskrona, Sweden	Composting Plant for Kitchen Waste/Green Waste	9.000	Supply of intensive stage composting tunnels	Aug 02
SE-25189 Helsingborg	NSR AB, Helsingborg, Sweden	Composting Plant for Kitchen Waste/Green Waste	8.000	Supply of intensive stage composting tunnels	Sep 02

Location	Customer	Type	Capacity [Mg/a]	Scope	Date
D24534 Neumünster	MBA Neumünster GmbH, Neumünster	MBT Plant	200.000	General engineering, Licence and Commissioning	2002-2005
SE-70135 Örebro	Tekniska Förvaltningen, Örebro, Sweden	Composting Plant for Kitchen Waste/Green Waste	8.000	Supply of intensive stage composting tunnels	Mai 04
FI-33100 Tampere	Pirkanmaan Jätehuolto Oy, Tampere, Finland	Composting Plant for Kitchen Waste/Green Waste	12.000	Supply of intensive stage composting tunnels	June 04
SE-97345 Lulea	Norrlandsjord & Miljö AB, Lulea, Sweden	Composting Plant for Kitchen Waste/Green Waste	12.000	Supply of intensive stage composting tunnels	Aug 04
D-24534 Neumünster	SWN Entsorgung GmbH, Neumünster	Composting Plant for Kitchen Waste/Green Waste	30.000	Supply of intensive stage composting tunnels	Jan 05
D-96052 Bamberg	Eichhorn Kompost GmbH, Oberschleichach	Composting Plant for Kitchen Waste/Green Waste	24.000	General Engineering and supply of intensive stage composting	Apr 05
GB-N18 3AG London	London Waste Ltd., Edmonton, London, UK	ABPR-compliant composting plant for Kitchen and Green Waste	30.000	General Engineering and supply of intensive stage composting	Jul 05
D64331 Weiterstadt	Da-Di-Werk, Messel	Composting Plant for Kitchen Waste/Green Waste	8.000	General Engineering and supply of intensive stage composting	Aug 05
D-59425 Fröndenberg	GWA Unna GmbH	Composting Plant for Kitchen Waste/Green Waste	15.000	General Engineering and supply of intensive stage composting	Dec 05
ES-410Montalban	Egmasa, Sevilla	Composting of MSW fraction < 80mm	85.000	Supply of intensive stage composting tunnels	Apr 09
PL-09100 Plonsk	PGK Plonsk, Poland	Stabilisation of MSW fraction < 80mm	12.000	Supply of intensive stage composting tunnels	May 09
FI-33100 Tampere	Pirkanmaan Jätehuolto Oy, Tampere, Finland	Kitchen Waste/Green Waste; Extension from 12,000 tpa to 20,000 tpa	20.000	Supply of intensive stage composting tunnels	Sep 09
GB-Ardley - Oxfordshire	Agrivert Ltd., Chipping Norton OX7 4EB	ABPR-compliant composting plant for Kitchen and Green Waste	30.000	General Engineering and supply of intensive stage composting	Dec 09

Location	Customer	Type	Capacity [Mg/a]	Scope	Date
GB-South Mimms, Hertfordshire	Agrivert Ltd., Chipping Norton OX7 4EB	ABPR-compliant composting plant for Kitchen and Green Waste	45.000	General Engineering and supply of intensive stage composting	Apr 10
PL-82300 Elbląg	ZUO Elbląg, Poland	Stabilisation of MSW fraction < 80mm	28.000	Supply of intensive stage composting tunnels and covered heap maturation	May 11
PL-77 131 Rekowo	Zzo Bytow	Stabilisation of MSW fraction < 80mm	8.000	Supply of intensive stage composting tunnels	Oct 11
PL06-500 Mława	USKOM Sp. Z o.o.	Bio-drying of MSW	48.000	Supply and start up of bi-drying technology	Dec 11
PL-32-600 Oświęcim	SOK Oświęcim Sp. Z o.o.	Stabilisation of MSW fraction < 80mm	8.000	Supply of intensive stage composting tunnels	Jun 12
PL-06-500 Susz	USKOM Sp. Z o.o.	Bio-drying of MSW	65.000	Supply and start up of bi-drying technology	Sep 12
PL-06-500 Krajewo	USKOM Sp. Z o.o.	Bio-drying of MSW	40.000	Supply and start up of bi-drying technology	Okt 12
PL-11-500 Gizycko	ZUOK Gizycko	Stabilisation of MSW fraction < 80mm	12.000	Supply of intensive stage composting tunnels	Dec 12
PL-41-800 Zabrze	MPG SP. Z o.o. Zabrze	Stabilisation of MSW fraction < 80mm	30.000	Supply of intensive stage composting tunnels	Dec 12
PL-14-100 Ostróda	ZUOK Ostróda	Stabilisation of MSW fraction < 80mm	27.000	Supply of intensive stage composting tunnels	Oct 13
PL- 87-100 Torun	MPO Torun	Stabilisation of MSW fraction < 80mm	23.000	Supply of intensive stage composting tunnels	Nov 13
PL- 41-200 Sosnowiec	MZSO Sosnowiec	Stabilisation of MSW fraction < 80mm	13.000	Supply of intensive stage composting tunnels	Nov 13
IL- Dudaïm Landfil Site	Bnei Shimon Regional Council	Composting of MSW fraction < 80mm	85.000	Supply of covered windrow box system	Feb 14
PL- 33-100 Tarnów	Trans-Formers Karpatia	Stabilisation of MSW fraction < 80mm	20.000	Supply of intensive stage composting tunnels	March 14
PL-Jastrzębie-Zdrój	Cofinco Poland Sp. Z. o o.	Stabilisation of MSW fraction < 80mm	26.000	Supply of intensive stage composting tunnels	March 14

Location	Customer	Type	Capacity [Mg/a]	Scope	Date
PL- 27-552 Backowice	Ekologiczny Związek Gmin Dorzecza Koprzywianski	Stabilisation of MSW fraction < 80mm	12.000	Supply of intensive stage composting tunnels	Jun 14
PL- 63-600 Kępno	Inwestor- Kepno Sp. z o. o.	Stabilisation of MSW fraction < 80mm	17.250	Supply of intensive stage composting tunnels	Jun 14
HR-42000 Varazdin	HIS d.o.o	Composting of sewage sludge	5.000	Supply of covered windrow box system	March 15
PL- 76-200 Słupsk	PGK Słupsk, Poland	Stabilisation of MSW fraction < 80mm	13.000	Supply of intensive stage composting tunnels and covered heap maturation	Mai 15
PL-78-100 Kolobrzeg	MZZ Kolobrzeg, Poland	Stabilisation of MSW fraction < 80mm	16.000	Supply of intensive stage composting tunnels and covered heap maturation	Mai 15
PL- Wola Pawłowska	PUK Ciechanowie	Stabilisation of MSW fraction < 80mm	20.500	Supply of intensive stage composting tunnels	Mai 15
PL- 41-200 Sosnowiec	MZSO Sosnowiec	Stabilisation of MSW fraction < 80mm, extension to	26.000	Supply of intensive stage composting tunnels and covered heap maturation	Dec 15
PL-32-329 Boleslaw	ZGK Boleslaw, Poland	Stabilisation of MSW fraction < 80mm	21.000	Supply of intensive stage composting tunnels	Dec 15
PL-44-125 Rybnik	SEGO Sp. Z o.o.	Stabilisation of MSW fraction < 80mm	20.000	Supply of intensive stage composting tunnels	Dec 15
TZA - Dar Es Salaam	Dr. Kölsch	Source Separated Organics - Composting Plant	55.000	overall design and guiding details of the plant	Oct 16
DE 74722 Buchen	AWN Umwelt GmbH, Buchen	Composting Plant for Green Waste	5.000	basic engineering and supply of composting technology	IQ 2017
DE 65205 Wiesbaden	HK & G Service GmbH	Composting Plant for Green Waste	13.000	basic and detail engineering & supply of composting technology	IQ 2017
PL-13-200 Działdowo	Ekologiczny Związek Gmin Działdowszczyzna	Stabilisation of MSW fraction < 80mm	15.000	Supply of intensive stage composting tunnels	Aug 19
PL-77 131 Rekowo	Zzo Bytow	Stabilisation of MSW fraction < 80mm	8.000	Extension of intensive stage composting tunnels	Sep 19
PL-82-500 Kwidzyn	ZUO Spolka	Stabilisation of MSW fraction < 80mm	12000	Extension of intensive stage composting tunnels	Okt 19

**Приложение 4. Параметры источников выбросов загрязняющих веществ.**

## Параметры выбросов загрязняющих веществ для расчета загрязнения атмосферы

Цех (номер и наименование)	Участок (номер и наименование)	Источники выделения загрязняющих веществ			Наименование источника выброса загрязняющих веществ	Количество источников под одним номером	Номер источника выброса	Номер режима (стадии) выброса	Высота источника выброса (м)	Диаметр устья трубы (м)	Параметры газовой смеси на выходе из источника выброса			Координаты на карте схемы (м)				Ширина площадного источника (м)	Загрязняющее вещество		Выбросы загрязняющих веществ	
		номер и наименование	количество (шт)	часов работы в год							скорость (м/с)	Объем на 1 трубу (м3/с)	Температура (гр.С)	X1	Y1	X2	Y2		код	наименование	г/с	т/год
1	2	3	4	5	6	7	8	9	10	11	12	13	14	15	16	17	18	19	20	21	22	23
<b>Площадка: 10 Новая технология утилизации органосодержащих отходов, в том числе после сортировки ТКО, в системе компостирования BIODEGMA</b>																						
10 Цех №10	1	спецтехника	2	3833	Неорг. (выхлопные трубы спецтехники)	1	6001	1	5	0	0	0	0	2259,49	2345,76	2259,49	2318,96	16,6	0301	Азота диоксид (Азот (IV) оксид)	0,1419885	0,944821
																			0304	Азот (II) оксид (Азота оксид)	0,0230731	0,153533
																			0328	Углерод (Сажа)	0,0286588	0,159781
																			0330	Сера диоксид (Ангидрид сернистый)	0,0183695	0,11038
																			0337	Углерод оксид	0,145897	0,929958
																			2732	Керосин	0,040512	0,251136
10 Цех №10	2	бурты компостирования	22	8760	Неорг. (участок)	1	6002	1	3,5	0	0	0	0	2128,58	2347,82	2128,54	2318,07	123,47	0303	Аммиак	0,00019674	0,0101396
																			0304	Азота оксид	0,0002186	0,01126622
																			0301	Азота диоксид	0,00039348	0,0202792
																			1716	Одорант СПИМ	6,558E-06	0,00033799
																			0337	Углерод оксид	0,01085711	0,55955578
																			2902	Взвешенные вещества	0,00063394	0,03267205
																			0330	Сера диоксид	1,7488E-05	0,0009013
																			1071	Фенол	1,7488E-05	0,00108907
																			1325	Формальдегид	2,1131E-05	0,00638419
																			0616	Диметилбензол	0,00012387	0,00033799
																			0621	Метилбензол	6,558E-06	0,00033799
																			1401	Пропан-2-он	6,558E-06	0,03379867
																			0602	Бензол	0,0006558	0,00033799
																			0627	Этилбензол	6,558E-06	0,00033799
																			0333	Сероводород	6,558E-06	0,0018777
																			0416	Смесь углеводородов предельных C6-C10	3,6433E-05	0,33798671
																			2754	Алканы C12-19	0,00655799	0,29667723
10 Цех №10	3	погрузчик	1	2007,5	Неорг. (выхлопная труба погрузчика)	1	6003	1	5	0	0	0	0	2071,1	2274,1	2071,1	2257,5	13,2	0301	Азота диоксид (Азот (IV) оксид)	0,0070667	0,052189
																			0304	Азот (II) оксид (Азота оксид)	0,0011483	0,008481
																			0328	Углерод (Сажа)	0,0006421	0,003897
																			0330	Сера диоксид (Ангидрид сернистый)	0,0015517	0,010361
																			0337	Углерод оксид	0,014462	0,097883
																			2732	Керосин	0,0025481	0,018284
10 Цех №10	4	барабанный грохот	1	1825	Неорг. (выхлопная труба)	1	6004	1	5	0	0	0	0	2205,1	2266,5	2233,9	2266,5	10	0301	Азота диоксид (Азот (IV) оксид)	0,0327924	0,216935
																			0304	Азот (II) оксид (Азота оксид)	0,0053288	0,035252
																			0328	Углерод (Сажа)	0,0067494	0,037403
																			0330	Сера диоксид (Ангидрид сернистый)	0,0039622	0,023766
																			0337	Углерод оксид	0,0333621	0,20236
																			2732	Керосин	0,0090217	0,055615
10 Цех №10	5	проезд а/т	2	8395	Неорг. (выхлопные трубы спецтехники)	1	6005	1	5	0	0	0	0	2297,93	2312,8	2298,23	2173,9	3,96	0301	Азота диоксид (Азот (IV) оксид)	0,0024	0,012089
																			0304	Азот (II) оксид (Азота оксид)	0,00039	0,001964
																			0328	Углерод (Сажа)	0,0003333	0,001482
																			0330	Сера диоксид (Ангидрид сернистый)	0,0006467	0,002881
																			0337	Углерод оксид	0,0062	0,027652
																			2732	Керосин	0,0008667	0,003938
10 Цех №10	6	проезд поливомоечной машины	1	365	Неорг. (выхлопная труба поливомоечной машины)	1	6006	1	5	0	0	0	0	2068,7	2296,4	2334,09	2296,62	3,96	0301	Азота диоксид (Азот (IV) оксид)	0,0015556	0,001022
																			0304	Азот (II) оксид (Азота оксид)	0,0002528	0,000166
																			0328	Углерод (Сажа)	0,0001944	0,000108

																			0330	Сера диоксид (Ангидрид сернистый)	0,0003111	0,000181	
																				0337	Углерод оксид	0,0034444	0,002019
																				2732	Керосин	0,0006111	0,000357
10 Цех №10	7	проезд стороннего автотранспорта	1	365	Неорг. (выхлопные трубы стороннего автотранспорта)	1	6007	1	5	0	0	0	0	2295,02	2258,32	2295,02	2169,88	3,26	0301	Азота диоксид (Азот (IV) оксид)	0,0018667	0,000818	
																				0304	Азот (II) оксид (Азота оксид)	0,0003033	0,000133
																				0328	Углерод (Сажа)	0,0002333	0,000087
																				0330	Сера диоксид (Ангидрид сернистый)	0,0003733	0,000145
																				0337	Углерод оксид	0,0041333	0,001615
																				2732	Керосин	0,0007333	0,000286
10 Цех №10	8	стоянка	3	1095	Неорг. (выхлопные трубы спецтехники)	1	6008	1	5	0	0	0	0	2318,17	2181,7	2334,37	2181,7	9	0301	Азота диоксид (Азот (IV) оксид)	0,0016311	0,000652	
																				0304	Азот (II) оксид (Азота оксид)	0,0100378	0,004014
																				0328	Углерод (Сажа)	0,0009335	0,000305
																				0330	Сера диоксид (Ангидрид сернистый)	0,0020717	0,000849
																				0337	Углерод оксид	0,0440867	0,016265
																				2732	Керосин	0,0108067	0,003952
10 Цех №10	9	резервуар фильтрата	1	8760	Неорг. (горловина емкости)	1	6009	1	2	0	0	0	0	2196,66	2335	2196,94	2321,3	2	0301	Азота диоксид (Азот (IV) оксид)	0,0000002	0,000003	
																				0303	Аммиак	0,0000009	0,000017
																				0304	Азот (II) оксид (Азота оксид)	0,0000003	0,000005
																				0333	Дигидросульфид (Сероводород)	0,0000018	0,000033
																				0410	Метан	0,0001329	0,002388
																				1071	Гидроксибензол (Фенол)	0,0000001	0,000002
																				1325	Формальдегид	0,0000001	0,000002
																				1716	Смесь природных меркаптанов /в пересчете на этилмеркаптан/ (Одор	7,00e-09	1,00e-07
10 Цех №10	10	дезбарьер	1	5136	Неорг.	1	6010	1	2	0	0	0	0	2289,94	2242,28	2289,94	2232,86	2,83	1051	Пропан-2-ол (Изопропиловый спирт	0,0000192	0,000355	
																				1328	Пентандиаль (Глутаральдегид; Глутаровый альдегид)	0,0000087	0,00016

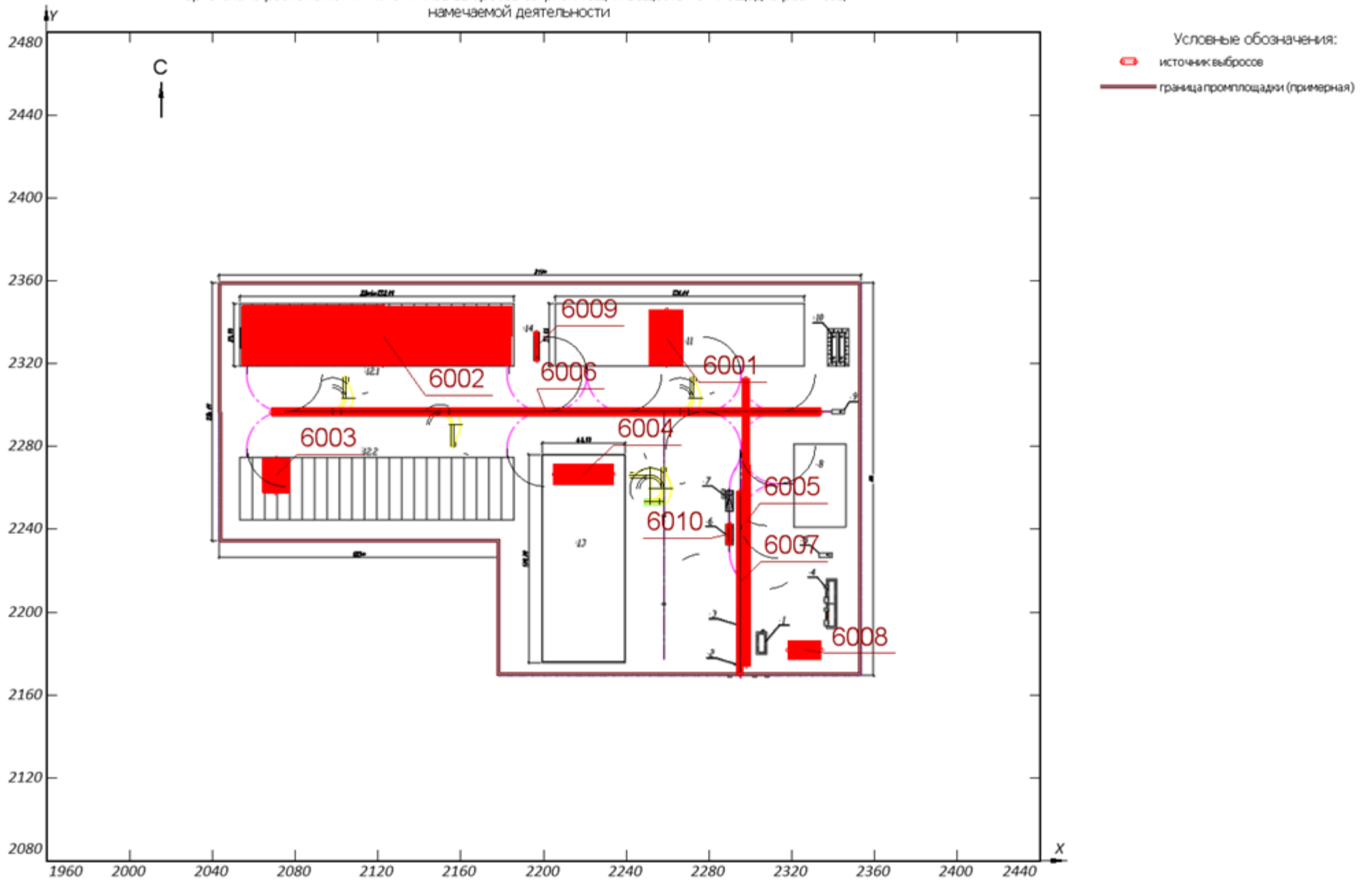
## Параметры выбросов загрязняющих веществ для расчета загрязнения атмосферы

Цех (номер и наименование)	Участок (номер и наименование)	Источники выделения загрязняющих веществ			Наименование источника выброса загрязняющих веществ	Количество источников под одним номером	Номер источника выброса	Номер режима (стадии) выброса	Высота источника выброса (м)	Диаметр устья трубы (м)	Параметры газовой смеси на выходе из источника выброса			Координаты на карте схемы (м)				Ширина площадного источника (м)	Загрязняющее вещество		Выбросы загрязняющих веществ	
		номер и наименование	количество (шт)	часов работы в год							скорость (м/с)	Объем на 1 трубу (м <sup>3</sup> /с)	Температура (гр.С)	X1	Y1	X2	Y2		код	наименование	г/с	т/год
1	2	3	4	5	6	7	8	9	10	11	12	13	14	15	16	17	18	19	20	21	22	23
<b>Площадка: 10 Новая технология утилизации органосодержащих отходов, в том числе после сортировки ТКО, в системе компостирования BIODEGMA</b>																						
10 Цех №10	1	спецтехника	2	3833	Неорг. (выхлопные трубы спецтехники)	1	6001	1	5	0	0	0	0	2259,49	2345,76	2259,49	2318,96	16,6	0301	Азота диоксид (Азот (IV) оксид)	0,1419885	0,944821
																			0304	Азот (II) оксид (Азота оксид)	0,0230731	0,153533
																			0328	Углерод (Сажа)	0,0286588	0,159781
																			0330	Сера диоксид (Ангидрид сернистый)	0,0183695	0,11038
																			0337	Углерод оксид	0,145897	0,929958
																			2732	Керосин	0,040512	0,251136
10 Цех №10	2	бурты компостирования	13	8760	Неорг. (участок)	1	6002	1	2,5	0	0	0	0	2128,58	2347,82	2128,54	2318,07	123,47	0303	Аммиак	0,00030345	0,01297999
																			0304	Азота оксид	0,00033717	0,01442222
																			0301	Азота диоксид	0,00060691	0,02595999
																			1716	Одорант СПИМ	1,0115E-05	0,00043267
																			0337	Углерод оксид	0,01674617	0,71630335
																			2902	Взвешенные вещества	0,0009778	0,04182442
																			0330	Сера диоксид	2,6974E-05	0,00115378
																			1071	Фенол	2,6974E-05	0,00139415
																			1325	Формальдегид	3,2593E-05	0,00817259
																			0616	Диметилбензол	0,00019106	0,00043267
																			0621	Метилбензол	1,0115E-05	0,00043267
																			1401	Пропан-2-он	1,0115E-05	0,04326665
																			0602	Бензол	0,00101151	0,00043267
																			0627	Этилбензол	1,0115E-05	0,00043267
																			0333	Сероводород	1,0115E-05	0,0024037
																			0416	Смесь углеводородов предельных C6-C10	5,6195E-05	0,43266645
																			2754	Алканы C12-19	0,01011513	0,379785
10 Цех №10	3	погрузчик	1	2007,5	Неорг. (выхлопная труба погрузчика)	1	6003	1	5	0	0	0	0	2071,1	2274,1	2071,1	2257,5	13,2	0301	Азота диоксид (Азот (IV) оксид)	0,0070667	0,052189
																			0304	Азот (II) оксид (Азота оксид)	0,0011483	0,008481
																			0328	Углерод (Сажа)	0,0006421	0,003897
																			0330	Сера диоксид (Ангидрид сернистый)	0,0015517	0,010361
																			0337	Углерод оксид	0,014462	0,097883
																			2732	Керосин	0,0025481	0,018284
10 Цех №10	4	барабанный грохот	1	1825	Неорг. (выхлопная труба)	1	6004	1	5	0	0	0	0	2205,1	2266,5	2233,9	2266,5	10	0301	Азота диоксид (Азот (IV) оксид)	0,0327924	0,216935
																			0304	Азот (II) оксид (Азота оксид)	0,0053288	0,035252
																			0328	Углерод (Сажа)	0,0067494	0,037403
																			0330	Сера диоксид (Ангидрид сернистый)	0,0039622	0,023766
																			0337	Углерод оксид	0,0333621	0,20236
																			2732	Керосин	0,0090217	0,055615
10 Цех №10	5	проезд а/т	2	8395	Неорг. (выхлопные трубы спецтехники)	1	6005	1	5	0	0	0	0	2297,93	2312,8	2298,23	2173,9	3,96	0301	Азота диоксид (Азот (IV) оксид)	0,0024	0,012089
																			0304	Азот (II) оксид (Азота оксид)	0,00039	0,001964
																			0328	Углерод (Сажа)	0,0003333	0,001482
																			0330	Сера диоксид (Ангидрид сернистый)	0,0006467	0,002881
																			0337	Углерод оксид	0,0062	0,027652
																			2732	Керосин	0,0008667	0,003938
10 Цех №10	6	проезд поливомоечной машины	1	365	Неорг. (выхлопная труба поливомоечной машины)	1	6006	1	5	0	0	0	0	2068,7	2296,4	2334,09	2296,62	3,96	0301	Азота диоксид (Азот (IV) оксид)	0,0015556	0,001022
																			0304	Азот (II) оксид (Азота оксид)	0,0002528	0,000166
																			0328	Углерод (Сажа)	0,0001944	0,000108

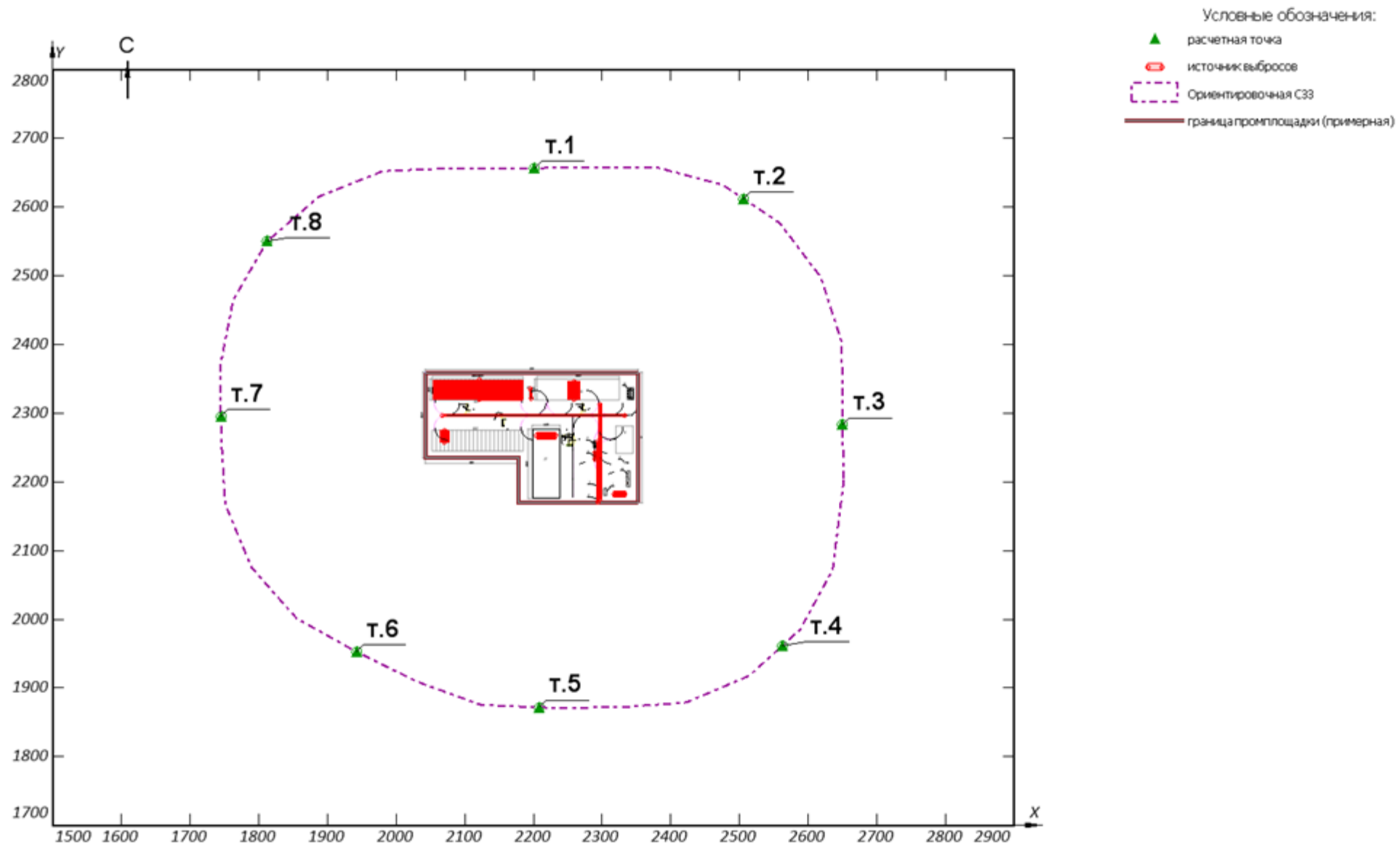
																			0330	Сера диоксид (Ангидрид сернистый)	0,0003111	0,000181	
																				0337	Углерод оксид	0,0034444	0,002019
																				2732	Керосин	0,0006111	0,000357
10 Цех №10	7	проезд стороннего автотранспорта	1	365	Неорг. (выхлопные трубы стороннего автотранспорта)	1	6007	1	5	0	0	0	0	2295,02	2258,32	2295,02	2169,88	3,26	0301	Азота диоксид (Азот (IV) оксид)	0,0018667	0,000818	
																				0304	Азот (II) оксид (Азота оксид)	0,0003033	0,000133
																				0328	Углерод (Сажа)	0,0002333	0,000087
																				0330	Сера диоксид (Ангидрид сернистый)	0,0003733	0,000145
																				0337	Углерод оксид	0,0041333	0,001615
																				2732	Керосин	0,0007333	0,000286
10 Цех №10	8	стоянка	3	1095	Неорг. (выхлопные трубы спецтехники)	1	6008	1	5	0	0	0	0	2318,17	2181,7	2334,37	2181,7	9	0301	Азота диоксид (Азот (IV) оксид)	0,0016311	0,000652	
																				0304	Азот (II) оксид (Азота оксид)	0,0100378	0,004014
																				0328	Углерод (Сажа)	0,0009335	0,000305
																				0330	Сера диоксид (Ангидрид сернистый)	0,0020717	0,000849
																				0337	Углерод оксид	0,0440867	0,016265
																				2732	Керосин	0,0108067	0,003952
10 Цех №10	9	резервуар фильтрата	1	8760	Неорг. (горловина емкости)	1	6009	1	2	0	0	0	0	2196,66	2335	2196,94	2321,3	2	0301	Азота диоксид (Азот (IV) оксид)	0,0000002	0,000003	
																				0303	Аммиак	0,0000009	0,000017
																				0304	Азот (II) оксид (Азота оксид)	0,0000003	0,000005
																				0333	Дигидросульфид (Сероводород)	0,0000018	0,000033
																				0410	Метан	0,0001329	0,002388
																				1071	Гидроксибензол (Фенол)	0,0000001	0,000002
																				1325	Формальдегид	0,0000001	0,000002
																				1716	Смесь природных меркаптанов /в пересчете на этилмеркаптан/ (Одор	7,00e-09	1,00e-07
10 Цех №10	10	дезбарьер	1	5136	Неорг.	1	6010	1	2	0	0	0	0	2289,94	2242,28	2289,94	2232,86	2,83	1051	Пропан-2-ол (Изопропиловый спирт	0,0000192	0,000355	
																				1328	Пентандиаль (Глутаральдегид; Глутаровый альдегид)	0,0000087	0,00016

**Приложение 5. Карта-схема расположения источников выбросов ЗВ на площадке реализации намечаемой деятельности и расчетных точек на границе ориентировочной СЗЗ.**

Карта-схема расположения источников выбросов загрязняющих веществ на площадке реализации намечаемой деятельности



Карта-схема расположения расчетных точек на границе ориентировочной СЗЗ для намечаемой деятельности



**Приложение 6. Расчет рассеивания ЗВ в атмосфере (вариант 1 - при исполнении системы компостирования в виде модулей с двухскатной крышей).**

**УПРЗА «ЭКОЛОГ», версия 4.60**  
**Copyright © 1990-2020 ФИРМА «ИНТЕГРАЛ»**

Программа зарегистрирована на: ООО "СК "Гидрокор"  
Регистрационный номер: 01-01-5740

**Предприятие: 10, Биодегма**

Город: 10

Район: 1, Тестовый 'Район'

Адрес предприятия:

Разработчик:

ИНН:

ОКПО:

Отрасль:

Величина нормативной санзоны: 0 м

**ВИД: 3, Существующее положение**

**ВР: 1, Расчет по протоколу\_ вар 1**

**Расчетные константы: S=999999,99**

**Расчет: «Расчет рассеивания по МРР-2017» (лето)**

Расчет завершен успешно.

Рассчитано веществ/групп суммации: 31.

ВНИМАНИЕ! Согласно п.4.6 Приказа Минприроды РФ от 06.06.2017 №273 значение максимальной скорости ветра U\* изменено на 6 м/с!

**Метеорологические параметры**

Расчетная температура наиболее холодного месяца, °С:	-14
Расчетная температура наиболее теплого месяца, °С:	32,5
Коэффициент А, зависящий от температурной стратификации атмосферы:	250
U* – скорость ветра, наблюдаемая на данной местности, повторяемость превышения которой находится в пределах 5%, м/с:	5,5
Плотность атмосферного воздуха, кг/м3:	1,29
Скорость звука, м/с:	331

**Структура предприятия (площадки, цеха)**

<b>10 - Площадка №10</b>
10 - Цех №10

## Параметры источников выбросов

Учет:

"%" - источник учитывается с исключением из фона;

"+" - источник учитывается без исключения из фона;

"-" - источник не учитывается и его вклад исключается из фона.

Типы источников:

1 - Точечный;

2 - Линейный;

3 - Неорганизованный;

4 - Совокупность точечных источников;

5 - С зависимостью массы выброса от скорости ветра;

6 - Точечный, с зонтом или выбросом горизонтально;

7 - Совокупность точечных (зонт или выброс вбок);

8 - Автомагистраль (неорганизованный линейный);

9 - Точечный, с выбросом вбок;

10 - Свеча.

Учет при расч.	№ ист.	Наименование источника	Вар.	Тип	Высота ист. (м)	Диаметр устья (м)	Объем ГВС (куб.м/с)	Скорость ГВС (м/с)	Плотность ГВС, (кг/куб.м)	Темп. ГВС (°С)	Ширина источ. (м)	Отклонение выброса, град		Кэфф. рел.	Координаты			
												Угол	Направл.		X1 (м)	Y1 (м)	X2 (м)	Y2 (м)
<b>№ пл.: 10, № цеха: 10</b>																		
+	6001	Погрузчик и измельчитель на площадке приема	1	3	5,00	0,00	0,00	0,00	1,29	0,00	16,60	-	-	1	2259,49	2345,76	2259,49	2318,96

Код в-ва	Наименование вещества	Выброс, (г/с)	Выброс, (т/г)	F	Лето			Зима		
					См/ПДК	Xm	Um	См/ПДК	Xm	Um
0301	Азота диоксид (Азот (IV) оксид)	0,1419885	0,944821	1	3,74	28,50	0,50	0,00	0,00	0,00
0304	Азот (II) оксид (Азота оксид)	0,0230731	0,153533	1	0,30	28,50	0,50	0,00	0,00	0,00
0328	Углерод (Сажа)	0,0286588	0,159781	1	1,01	28,50	0,50	0,00	0,00	0,00
0330	Сера диоксид (Ангидрид сернистый)	0,0183695	0,110380	1	0,19	28,50	0,50	0,00	0,00	0,00
0337	Углерод оксид	0,1458970	0,929958	1	0,15	28,50	0,50	0,00	0,00	0,00
2732	Керосин	0,0405120	0,251136	1	0,18	28,50	0,50	0,00	0,00	0,00

+	6002	Модули компостирования	1	3	3,50	0,00	0,00	0,00	1,29	0,00	123,47	-	-	1	2128,58	2347,82	2128,54	2318,97
---	------	------------------------	---	---	------	------	------	------	------	------	--------	---	---	---	---------	---------	---------	---------

Код в-ва	Наименование вещества	Выброс, (г/с)	Выброс, (т/г)	F	Лето			Зима		
					См/ПДК	Xm	Um	См/ПДК	Xm	Um
0301	Азота диоксид (Азот (IV) оксид)	0,0003935	0,020279	1	0,02	19,95	0,50	0,00	0,00	0,00
0303	Аммиак	0,0001967	0,010140	1	0,01	19,95	0,50	0,00	0,00	0,00
0304	Азот (II) оксид (Азота оксид)	0,0002186	0,011266	1	0,01	19,95	0,50	0,00	0,00	0,00
0330	Сера диоксид (Ангидрид сернистый)	0,0000175	0,000901	1	0,00	19,95	0,50	0,00	0,00	0,00
0333	Дигидросульфид (Сероводород)	0,0000066	0,001878	1	0,01	19,95	0,50	0,00	0,00	0,00
0337	Углерод оксид	0,0108571	0,559556	1	0,03	19,95	0,50	0,00	0,00	0,00
0416	Смесь углеводородов предельных C6-C10	0,0000364	0,337987	1	0,00	19,95	0,50	0,00	0,00	0,00

0602	Бензол	0,0006558	0,000338	1	0,03	19,95	0,50	0,00	0,00	0,00
0616	Диметилбензол (Ксилол) (смесь изомеров о-, м-, п-)	0,0001239	0,000338	1	0,01	19,95	0,50	0,00	0,00	0,00
0621	Метилбензол (Толуол)	0,0000066	0,000338	1	0,00	19,95	0,50	0,00	0,00	0,00
0627	Этилбензол	0,0000066	0,000338	1	0,00	19,95	0,50	0,00	0,00	0,00
1071	Гидроксibenзол (Фенол)	0,0000175	0,001089	1	0,02	19,95	0,50	0,00	0,00	0,00
1325	Формальдегид	0,0000211	0,006384	1	0,01	19,95	0,50	0,00	0,00	0,00
1401	Пропан-2-он (Ацетон)	0,0000066	0,033799	1	0,00	19,95	0,50	0,00	0,00	0,00
1716	Смесь природных меркаптанов /в пересчете на этилмеркаптан/ (Одор	0,0000066	0,000338	1	1,60	19,95	0,50	0,00	0,00	0,00
2754	Углеводороды предельные C12-C19	0,0065580	0,296677	1	0,08	19,95	0,50	0,00	0,00	0,00
2902	Взвешенные вещества	0,0006339	0,032672	3	0,05	9,98	0,50	0,00	0,00	0,00

+	6003	Погрузчик на участке дозревания	1	3	5,00	0,00	0,00	0,00	1,29	0,00	13,20	-	-	1	2071,10	2274,10	2071,10	2257,50
---	------	---------------------------------	---	---	------	------	------	------	------	------	-------	---	---	---	---------	---------	---------	---------

Код в-ва	Наименование вещества	Выброс, (г/с)	Выброс, (т/г)	F	Лето			Зима		
					См/ПДК	Xm	Um	См/ПДК	Xm	Um
0301	Азота диоксид (Азот (IV) оксид)	0,0070667	0,052189	1	0,19	28,50	0,50	0,00	0,00	0,00
0304	Азот (II) оксид (Азота оксид)	0,0011483	0,008481	1	0,02	28,50	0,50	0,00	0,00	0,00
0328	Углерод (Сажа)	0,0006421	0,003897	1	0,02	28,50	0,50	0,00	0,00	0,00
0330	Сера диоксид (Ангидрид сернистый)	0,0015517	0,010361	1	0,02	28,50	0,50	0,00	0,00	0,00
0337	Углерод оксид	0,0144620	0,097883	1	0,02	28,50	0,50	0,00	0,00	0,00
2732	Керосин	0,0025481	0,018284	1	0,01	28,50	0,50	0,00	0,00	0,00

+	6004	Грохот	1	3	5,00	0,00	0,00	0,00	1,29	0,00	10,00	-	-	1	2205,10	2266,50	2233,90	2266,50
---	------	--------	---	---	------	------	------	------	------	------	-------	---	---	---	---------	---------	---------	---------

Код в-ва	Наименование вещества	Выброс, (г/с)	Выброс, (т/г)	F	Лето			Зима		
					См/ПДК	Xm	Um	См/ПДК	Xm	Um
0301	Азота диоксид (Азот (IV) оксид)	0,0327924	0,216935	1	0,86	28,50	0,50	0,00	0,00	0,00
0304	Азот (II) оксид (Азота оксид)	0,0053288	0,035252	1	0,07	28,50	0,50	0,00	0,00	0,00
0328	Углерод (Сажа)	0,0067494	0,037403	1	0,24	28,50	0,50	0,00	0,00	0,00
0330	Сера диоксид (Ангидрид сернистый)	0,0039622	0,023766	1	0,04	28,50	0,50	0,00	0,00	0,00
0337	Углерод оксид	0,0333621	0,202360	1	0,04	28,50	0,50	0,00	0,00	0,00
2732	Керосин	0,0090217	0,055615	1	0,04	28,50	0,50	0,00	0,00	0,00

+	6005	Доставка отходов/вывоз компоста	1	3	5,00	0,00	0,00	0,00	1,29	0,00	3,96	-	-	1	2297,93	2312,80	2298,23	2173,90
---	------	---------------------------------	---	---	------	------	------	------	------	------	------	---	---	---	---------	---------	---------	---------

Код в-ва	Наименование вещества	Выброс, (г/с)	Выброс, (т/г)	F	Лето			Зима		
					См/ПДК	Xm	Um	См/ПДК	Xm	Um

0301	Азота диоксид (Азот (IV) оксид)	0,0024000	0,012089	1	0,06	28,50	0,50	0,00	0,00	0,00
0304	Азот (II) оксид (Азота оксид)	0,0003900	0,001964	1	0,01	28,50	0,50	0,00	0,00	0,00
0328	Углерод (Сажа)	0,0003333	0,001482	1	0,01	28,50	0,50	0,00	0,00	0,00
0330	Сера диоксид (Ангидрид сернистый)	0,0006467	0,002881	1	0,01	28,50	0,50	0,00	0,00	0,00
0337	Углерод оксид	0,0062000	0,027652	1	0,01	28,50	0,50	0,00	0,00	0,00
2732	Керосин	0,0008667	0,003938	1	0,00	28,50	0,50	0,00	0,00	0,00

+	6006	Проезд поливомоечная машина	1	3	5,00	0,00	0,00	0,00	1,29	0,00	3,96	-	-	1	2068,70	2296,40	2334,09	2296,62
---	------	-----------------------------	---	---	------	------	------	------	------	------	------	---	---	---	---------	---------	---------	---------

Код в-ва	Наименование вещества	Выброс, (г/с)	Выброс, (т/г)	F	Лето			Зима		
					См/ПДК	Xm	Um	См/ПДК	Xm	Um
0301	Азота диоксид (Азот (IV) оксид)	0,0015556	0,001022	1	0,04	28,50	0,50	0,00	0,00	0,00
0304	Азот (II) оксид (Азота оксид)	0,0002528	0,000166	1	0,00	28,50	0,50	0,00	0,00	0,00
0328	Углерод (Сажа)	0,0001944	0,000108	1	0,01	28,50	0,50	0,00	0,00	0,00
0330	Сера диоксид (Ангидрид сернистый)	0,0003111	0,000181	1	0,00	28,50	0,50	0,00	0,00	0,00
0337	Углерод оксид	0,0034444	0,002019	1	0,00	28,50	0,50	0,00	0,00	0,00
2732	Керосин	0,0006111	0,000357	1	0,00	28,50	0,50	0,00	0,00	0,00

+	6007	Проезд стороннего а/т	1	3	5,00	0,00	0,00	0,00	1,29	0,00	3,26	-	-	1	2295,02	2258,32	2295,02	2169,88
---	------	-----------------------	---	---	------	------	------	------	------	------	------	---	---	---	---------	---------	---------	---------

Код в-ва	Наименование вещества	Выброс, (г/с)	Выброс, (т/г)	F	Лето			Зима		
					См/ПДК	Xm	Um	См/ПДК	Xm	Um
0301	Азота диоксид (Азот (IV) оксид)	0,0018667	0,000818	1	0,05	28,50	0,50	0,00	0,00	0,00
0304	Азот (II) оксид (Азота оксид)	0,0003033	0,000133	1	0,00	28,50	0,50	0,00	0,00	0,00
0328	Углерод (Сажа)	0,0002333	0,000087	1	0,01	28,50	0,50	0,00	0,00	0,00
0330	Сера диоксид (Ангидрид сернистый)	0,0003733	0,000145	1	0,00	28,50	0,50	0,00	0,00	0,00
0337	Углерод оксид	0,0041333	0,001615	1	0,00	28,50	0,50	0,00	0,00	0,00
2732	Керосин	0,0007333	0,000286	1	0,00	28,50	0,50	0,00	0,00	0,00

+	6008	Стоянка	1	3	5,00	0,00	0,00	0,00	1,29	0,00	9,00	-	-	1	2318,17	2181,70	2334,37	2181,70
---	------	---------	---	---	------	------	------	------	------	------	------	---	---	---	---------	---------	---------	---------

Код в-ва	Наименование вещества	Выброс, (г/с)	Выброс, (т/г)	F	Лето			Зима		
					См/ПДК	Xm	Um	См/ПДК	Xm	Um
0301	Азота диоксид (Азот (IV) оксид)	0,0016311	0,000652	1	0,04	28,50	0,50	0,00	0,00	0,00
0304	Азот (II) оксид (Азота оксид)	0,0100378	0,004014	1	0,13	28,50	0,50	0,00	0,00	0,00
0328	Углерод (Сажа)	0,0009335	0,000305	1	0,03	28,50	0,50	0,00	0,00	0,00
0330	Сера диоксид (Ангидрид сернистый)	0,0020717	0,000849	1	0,02	28,50	0,50	0,00	0,00	0,00
0337	Углерод оксид	0,0440867	0,016265	1	0,05	28,50	0,50	0,00	0,00	0,00
2732	Керосин	0,0108067	0,003952	1	0,05	28,50	0,50	0,00	0,00	0,00

+	6009	Резервуар фильтра	1	3	2,00	0,00	0,00	0,00	1,29	0,00	2,00	-	-	1	2196,66	2335,00	2196,94	2321,30
---	------	-------------------	---	---	------	------	------	------	------	------	------	---	---	---	---------	---------	---------	---------

Код в-ва	Наименование вещества	Выброс, (г/с)	Выброс, (т/г)	F	Лето			Зима		
					См/ПДК	Xm	Um	См/ПДК	Xm	Um
0301	Азота диоксид (Азот (IV) оксид)	0,0000002	0,000003	1	0,00	11,40	0,50	0,00	0,00	0,00
0303	Аммиак	0,0000009	0,000017	1	0,00	11,40	0,50	0,00	0,00	0,00
0304	Азот (II) оксид (Азота оксид)	0,0000003	0,000005	1	0,00	11,40	0,50	0,00	0,00	0,00
0333	Дигидросульфид (Сероводород)	0,0000018	0,000033	1	0,01	11,40	0,50	0,00	0,00	0,00
0410	Метан	0,0001329	0,002388	1	0,00	11,40	0,50	0,00	0,00	0,00
1071	Гидроксibenзол (Фенол)	0,0000001	0,000002	1	0,00	11,40	0,50	0,00	0,00	0,00
1325	Формальдегид	0,0000001	0,000002	1	0,00	11,40	0,50	0,00	0,00	0,00
1716	Смесь природных меркаптанов /в пересчете на этилмеркаптан/ (Одор)	7,0000000E-09	1,000000E-07	1	0,01	11,40	0,50	0,00	0,00	0,00

+	6010	Дезбарьер	1	3	2,00	0,00	0,00	0,00	1,29	0,00	2,83	-	-	1	2289,94	2242,28	2289,94	2232,86
---	------	-----------	---	---	------	------	------	------	------	------	------	---	---	---	---------	---------	---------	---------

Код в-ва	Наименование вещества	Выброс, (г/с)	Выброс, (т/г)	F	Лето			Зима		
					См/ПДК	Xm	Um	См/ПДК	Xm	Um
1051	Пропан-2-ол (Изопропиловый спирт)	0,0000192	0,000355	1	0,00	11,40	0,50	0,00	0,00	0,00
1328	Пентандиаль (Глутаральдегид; Глутаровый альдегид)	0,0000087	0,000160	1	0,01	11,40	0,50	0,00	0,00	0,00

## Выбросы источников по веществам

Типы источников:

- 1 - Точечный;
- 2 - Линейный;
- 3 - Неорганизованный;
- 4 - Совокупность точечных источников;
- 5 - С зависимостью массы выброса от скорости ветра;
- 6 - Точечный, с зонтом или выбросом горизонтально;
- 7 - Совокупность точечных (зонт или выброс вбок);
- 8 - Автомагистраль (неорганизованный линейный);
- 9 - Точечный, с выбросом в бок;
- 10 - Свеча.

### Вещество: 0301 Азота диоксид (Азот (IV) оксид)

№ пл.	№ цех.	№ ист.	Тип	Выброс (г/с)	F	Лето			Зима		
						См/ПДК	Xm	Um	См/ПДК	Xm	Um
10	10	6001	3	0,1419885	1	3,74	28,50	0,50	0,00	0,00	0,00
10	10	6002	3	0,0003935	1	0,02	19,95	0,50	0,00	0,00	0,00
10	10	6003	3	0,0070667	1	0,19	28,50	0,50	0,00	0,00	0,00
10	10	6004	3	0,0327924	1	0,86	28,50	0,50	0,00	0,00	0,00
10	10	6005	3	0,0024000	1	0,06	28,50	0,50	0,00	0,00	0,00
10	10	6006	3	0,0015556	1	0,04	28,50	0,50	0,00	0,00	0,00
10	10	6007	3	0,0018667	1	0,05	28,50	0,50	0,00	0,00	0,00
10	10	6008	3	0,0016311	1	0,04	28,50	0,50	0,00	0,00	0,00
10	10	6009	3	0,0000002	1	0,00	11,40	0,50	0,00	0,00	0,00
<b>Итого:</b>				<b>0,1896947</b>		<b>5,01</b>			<b>0,00</b>		

### Вещество: 0303 Аммиак

№ пл.	№ цех.	№ ист.	Тип	Выброс (г/с)	F	Лето			Зима		
						См/ПДК	Xm	Um	См/ПДК	Xm	Um
10	10	6002	3	0,0001967	1	0,01	19,95	0,50	0,00	0,00	0,00
10	10	6009	3	0,0000009	1	0,00	11,40	0,50	0,00	0,00	0,00
<b>Итого:</b>				<b>0,0001976</b>		<b>0,01</b>			<b>0,00</b>		

### Вещество: 0304 Азот (II) оксид (Азота оксид)

№ пл.	№ цех.	№ ист.	Тип	Выброс (г/с)	F	Лето			Зима		
						См/ПДК	Xm	Um	См/ПДК	Xm	Um
10	10	6001	3	0,0230731	1	0,30	28,50	0,50	0,00	0,00	0,00
10	10	6002	3	0,0002186	1	0,01	19,95	0,50	0,00	0,00	0,00
10	10	6003	3	0,0011483	1	0,02	28,50	0,50	0,00	0,00	0,00
10	10	6004	3	0,0053288	1	0,07	28,50	0,50	0,00	0,00	0,00
10	10	6005	3	0,0003900	1	0,01	28,50	0,50	0,00	0,00	0,00
10	10	6006	3	0,0002528	1	0,00	28,50	0,50	0,00	0,00	0,00
10	10	6007	3	0,0003033	1	0,00	28,50	0,50	0,00	0,00	0,00
10	10	6008	3	0,0100378	1	0,13	28,50	0,50	0,00	0,00	0,00
10	10	6009	3	0,0000003	1	0,00	11,40	0,50	0,00	0,00	0,00
<b>Итого:</b>				<b>0,0407530</b>		<b>0,54</b>			<b>0,00</b>		

### Вещество: 0328 Углерод (Сажа)

№ пл.	№ цех.	№ ист.	Тип	Выброс (г/с)	F	Лето			Зима		
						См/ПДК	Xm	Um	См/ПДК	Xm	Um

10	10	6001	3	0,0286588	1	1,01	28,50	0,50	0,00	0,00	0,00
10	10	6003	3	0,0006421	1	0,02	28,50	0,50	0,00	0,00	0,00
10	10	6004	3	0,0067494	1	0,24	28,50	0,50	0,00	0,00	0,00
10	10	6005	3	0,0003333	1	0,01	28,50	0,50	0,00	0,00	0,00
10	10	6006	3	0,0001944	1	0,01	28,50	0,50	0,00	0,00	0,00
10	10	6007	3	0,0002333	1	0,01	28,50	0,50	0,00	0,00	0,00
10	10	6008	3	0,0009335	1	0,03	28,50	0,50	0,00	0,00	0,00
<b>Итого:</b>				<b>0,0377448</b>		<b>1,32</b>			<b>0,00</b>		

**Вещество: 0330 Сера диоксид (Ангидрид сернистый)**

№ пл.	№ цех.	№ ист.	Тип	Выброс (г/с)	F	Лето			Зима		
						См/ПДК	Xm	Um	См/ПДК	Xm	Um
10	10	6001	3	0,0183695	1	0,19	28,50	0,50	0,00	0,00	0,00
10	10	6002	3	0,0000175	1	0,00	19,95	0,50	0,00	0,00	0,00
10	10	6003	3	0,0015517	1	0,02	28,50	0,50	0,00	0,00	0,00
10	10	6004	3	0,0039622	1	0,04	28,50	0,50	0,00	0,00	0,00
10	10	6005	3	0,0006467	1	0,01	28,50	0,50	0,00	0,00	0,00
10	10	6006	3	0,0003111	1	0,00	28,50	0,50	0,00	0,00	0,00
10	10	6007	3	0,0003733	1	0,00	28,50	0,50	0,00	0,00	0,00
10	10	6008	3	0,0020717	1	0,02	28,50	0,50	0,00	0,00	0,00
<b>Итого:</b>				<b>0,0273037</b>		<b>0,29</b>			<b>0,00</b>		

**Вещество: 0333 Дигидросульфид (Сероводород)**

№ пл.	№ цех.	№ ист.	Тип	Выброс (г/с)	F	Лето			Зима		
						См/ПДК	Xm	Um	См/ПДК	Xm	Um
10	10	6002	3	0,0000066	1	0,01	19,95	0,50	0,00	0,00	0,00
10	10	6009	3	0,0000018	1	0,01	11,40	0,50	0,00	0,00	0,00
<b>Итого:</b>				<b>0,0000084</b>		<b>0,02</b>			<b>0,00</b>		

**Вещество: 0337 Углерод оксид**

№ пл.	№ цех.	№ ист.	Тип	Выброс (г/с)	F	Лето			Зима		
						См/ПДК	Xm	Um	См/ПДК	Xm	Um
10	10	6001	3	0,1458970	1	0,15	28,50	0,50	0,00	0,00	0,00
10	10	6002	3	0,0108571	1	0,03	19,95	0,50	0,00	0,00	0,00
10	10	6003	3	0,0144620	1	0,02	28,50	0,50	0,00	0,00	0,00
10	10	6004	3	0,0333621	1	0,04	28,50	0,50	0,00	0,00	0,00
10	10	6005	3	0,0062000	1	0,01	28,50	0,50	0,00	0,00	0,00
10	10	6006	3	0,0034444	1	0,00	28,50	0,50	0,00	0,00	0,00
10	10	6007	3	0,0041333	1	0,00	28,50	0,50	0,00	0,00	0,00
10	10	6008	3	0,0440867	1	0,05	28,50	0,50	0,00	0,00	0,00
<b>Итого:</b>				<b>0,2624426</b>		<b>0,29</b>			<b>0,00</b>		

**Вещество: 0410 Метан**

№ пл.	№ цех.	№ ист.	Тип	Выброс (г/с)	F	Лето			Зима		
						См/ПДК	Xm	Um	См/ПДК	Xm	Um
10	10	6009	3	0,0001329	1	0,00	11,40	0,50	0,00	0,00	0,00
<b>Итого:</b>				<b>0,0001329</b>		<b>0,00</b>			<b>0,00</b>		

**Вещество: 0416 Смесь углеводородов предельных C6-C10**

№ пл.	№ цех.	№ ист.	Тип	Выброс (г/с)	F	Лето			Зима		
						См/ПДК	Xm	Um	См/ПДК	Xm	Um
10	10	6002	3	0,0000364	1	0,00	19,95	0,50	0,00	0,00	0,00
<b>Итого:</b>				<b>0,0000364</b>		<b>0,00</b>			<b>0,00</b>		

**Вещество: 0602 Бензол**

№ пл.	№ цех.	№ ист.	Тип	Выброс (г/с)	F	Лето			Зима		
						См/ПДК	Xm	Um	См/ПДК	Xm	Um
10	10	6002	3	0,0006558	1	0,03	19,95	0,50	0,00	0,00	0,00
<b>Итого:</b>				<b>0,0006558</b>		<b>0,03</b>			<b>0,00</b>		

**Вещество: 0616 Диметилбензол (Ксилол) (смесь изомеров о-, м-, п-)**

№ пл.	№ цех.	№ ист.	Тип	Выброс (г/с)	F	Лето			Зима		
						См/ПДК	Xm	Um	См/ПДК	Xm	Um
10	10	6002	3	0,0001239	1	0,01	19,95	0,50	0,00	0,00	0,00
<b>Итого:</b>				<b>0,0001239</b>		<b>0,01</b>			<b>0,00</b>		

**Вещество: 0621 Метилбензол (Толуол)**

№ пл.	№ цех.	№ ист.	Тип	Выброс (г/с)	F	Лето			Зима		
						См/ПДК	Xm	Um	См/ПДК	Xm	Um
10	10	6002	3	0,0000066	1	0,00	19,95	0,50	0,00	0,00	0,00
<b>Итого:</b>				<b>0,0000066</b>		<b>0,00</b>			<b>0,00</b>		

**Вещество: 0627 Этилбензол**

№ пл.	№ цех.	№ ист.	Тип	Выброс (г/с)	F	Лето			Зима		
						См/ПДК	Xm	Um	См/ПДК	Xm	Um
10	10	6002	3	0,0000066	1	0,00	19,95	0,50	0,00	0,00	0,00
<b>Итого:</b>				<b>0,0000066</b>		<b>0,00</b>			<b>0,00</b>		

**Вещество: 1051 Пропан-2-ол (Изопропиловый спирт)**

№ пл.	№ цех.	№ ист.	Тип	Выброс (г/с)	F	Лето			Зима		
						См/ПДК	Xm	Um	См/ПДК	Xm	Um
10	10	6010	3	0,0000192	1	0,00	11,40	0,50	0,00	0,00	0,00
<b>Итого:</b>				<b>0,0000192</b>		<b>0,00</b>			<b>0,00</b>		

**Вещество: 1071 Гидроксибензол (Фенол)**

№ пл.	№ цех.	№ ист.	Тип	Выброс (г/с)	F	Лето			Зима		
						См/ПДК	Xm	Um	См/ПДК	Xm	Um
10	10	6002	3	0,0000175	1	0,02	19,95	0,50	0,00	0,00	0,00
10	10	6009	3	0,0000001	1	0,00	11,40	0,50	0,00	0,00	0,00
<b>Итого:</b>				<b>0,0000176</b>		<b>0,02</b>			<b>0,00</b>		

**Вещество: 1325 Формальдегид**

№ пл.	№ цех.	№ ист.	Тип	Выброс (г/с)	F	Лето			Зима		
						См/ПДК	Xm	Um	См/ПДК	Xm	Um
10	10	6002	3	0,0000211	1	0,01	19,95	0,50	0,00	0,00	0,00
10	10	6009	3	0,0000001	1	0,00	11,40	0,50	0,00	0,00	0,00
<b>Итого:</b>				<b>0,0000212</b>		<b>0,01</b>			<b>0,00</b>		

**Вещество: 1328 Пентандиаль (Глутаральдегид; Глутаровый альдегид)**

№ пл.	№ цех.	№ ист.	Тип	Выброс (г/с)	F	Лето			Зима		
						См/ПДК	Xm	Um	См/ПДК	Xm	Um
10	10	6010	3	0,0000087	1	0,01	11,40	0,50	0,00	0,00	0,00
<b>Итого:</b>				<b>0,0000087</b>		<b>0,01</b>			<b>0,00</b>		

**Вещество: 1401 Пропан-2-он (Ацетон)**

№ пл.	№ цех.	№ ист.	Тип	Выброс (г/с)	F	Лето			Зима		
						См/ПДК	Xm	Um	См/ПДК	Xm	Um
10	10	6002	3	0,0000066	1	0,00	19,95	0,50	0,00	0,00	0,00
<b>Итого:</b>				<b>0,0000066</b>		<b>0,00</b>			<b>0,00</b>		

**Вещество: 1716 Смесь природных меркаптанов /в пересчете на этилмеркаптан/ (Одор)**

№ пл.	№ цех.	№ ист.	Тип	Выброс (г/с)	F	Лето			Зима		
						См/ПДК	Xm	Um	См/ПДК	Xm	Um
10	10	6002	3	0,0000066	1	1,60	19,95	0,50	0,00	0,00	0,00
10	10	6009	3	7,0000000E-09	1	0,01	11,40	0,50	0,00	0,00	0,00
<b>Итого:</b>				<b>0,0000066</b>		<b>1,60</b>			<b>0,00</b>		

**Вещество: 2732 Керосин**

№ пл.	№ цех.	№ ист.	Тип	Выброс (г/с)	F	Лето			Зима		
						См/ПДК	Xm	Um	См/ПДК	Xm	Um
10	10	6001	3	0,0405120	1	0,18	28,50	0,50	0,00	0,00	0,00
10	10	6003	3	0,0025481	1	0,01	28,50	0,50	0,00	0,00	0,00
10	10	6004	3	0,0090217	1	0,04	28,50	0,50	0,00	0,00	0,00
10	10	6005	3	0,0008667	1	0,00	28,50	0,50	0,00	0,00	0,00
10	10	6006	3	0,0006111	1	0,00	28,50	0,50	0,00	0,00	0,00
10	10	6007	3	0,0007333	1	0,00	28,50	0,50	0,00	0,00	0,00
10	10	6008	3	0,0108067	1	0,05	28,50	0,50	0,00	0,00	0,00
<b>Итого:</b>				<b>0,0650996</b>		<b>0,29</b>			<b>0,00</b>		

**Вещество: 2754 Углеводороды предельные C12-C19**

№ пл.	№ цех.	№ ист.	Тип	Выброс (г/с)	F	Лето			Зима		
						См/ПДК	Xm	Um	См/ПДК	Xm	Um
10	10	6002	3	0,0065580	1	0,08	19,95	0,50	0,00	0,00	0,00
<b>Итого:</b>				<b>0,0065580</b>		<b>0,08</b>			<b>0,00</b>		

**Вещество: 2902 Взвешенные вещества**

№ пл.	№ цех.	№ ист.	Тип	Выброс (г/с)	F	Лето			Зима		
						См/ПДК	Xm	Um	См/ПДК	Xm	Um

10	10	6002	3	0,0006339	3	0,05	9,98	0,50	0,00	0,00	0,00
<b>Итого:</b>				<b>0,0006339</b>		<b>0,05</b>			<b>0,00</b>		

## Выбросы источников по группам суммации

Типы источников:

- 1 - Точечный;
- 2 - Линейный;
- 3 - Неорганизованный;
- 4 - Совокупность точечных источников;
- 5 - С зависимостью массы выброса от скорости ветра;
- 6 - Точечный, с зонтом или выбросом горизонтально;
- 7 - Совокупность точечных (зонты или выбросы вбок);
- 8 - Автомагистраль (неорганизованный линейный);
- 9 - Точечный, с выбросом в бок;
- 10 - Свеча.

### Группа суммации: 6003 Аммиак, сероводород

№ пл.	№ цех	№ ист.	Тип	Код в-ва	Выброс (г/с)	F	Лето			Зима		
							См/ПДК	Xm	Um	См/ПДК	Xm	Um
10	10	6002	3	0303	0,0001967	1	0,01	19,95	0,50	0,00	0,00	0,00
10	10	6009	3	0303	0,0000009	1	0,00	11,40	0,50	0,00	0,00	0,00
10	10	6002	3	0333	0,0000066	1	0,01	19,95	0,50	0,00	0,00	0,00
10	10	6009	3	0333	0,0000018	1	0,01	11,40	0,50	0,00	0,00	0,00
<b>Итого:</b>					<b>0,0002060</b>		<b>0,03</b>			<b>0,00</b>		

### Группа суммации: 6004 Аммиак, сероводород, формальдегид

№ пл.	№ цех	№ ист.	Тип	Код в-ва	Выброс (г/с)	F	Лето			Зима		
							См/ПДК	Xm	Um	См/ПДК	Xm	Um
10	10	6002	3	0303	0,0001967	1	0,01	19,95	0,50	0,00	0,00	0,00
10	10	6009	3	0303	0,0000009	1	0,00	11,40	0,50	0,00	0,00	0,00
10	10	6002	3	0333	0,0000066	1	0,01	19,95	0,50	0,00	0,00	0,00
10	10	6009	3	0333	0,0000018	1	0,01	11,40	0,50	0,00	0,00	0,00
10	10	6002	3	1325	0,0000211	1	0,01	19,95	0,50	0,00	0,00	0,00
10	10	6009	3	1325	0,0000001	1	0,00	11,40	0,50	0,00	0,00	0,00
<b>Итого:</b>					<b>0,0002272</b>		<b>0,04</b>			<b>0,00</b>		

### Группа суммации: 6005 Аммиак, формальдегид

№ пл.	№ цех	№ ист.	Тип	Код в-ва	Выброс (г/с)	F	Лето			Зима		
							См/ПДК	Xm	Um	См/ПДК	Xm	Um
10	10	6002	3	0303	0,0001967	1	0,01	19,95	0,50	0,00	0,00	0,00
10	10	6009	3	0303	0,0000009	1	0,00	11,40	0,50	0,00	0,00	0,00
10	10	6002	3	1325	0,0000211	1	0,01	19,95	0,50	0,00	0,00	0,00
10	10	6009	3	1325	0,0000001	1	0,00	11,40	0,50	0,00	0,00	0,00
<b>Итого:</b>					<b>0,0002188</b>		<b>0,02</b>			<b>0,00</b>		

### Группа суммации: 6010 Азота диоксид, серы диоксид, углерода оксид, фенол

№ пл.	№ цех	№ ист.	Тип	Код в-ва	Выброс (г/с)	F	Лето			Зима		
							См/ПДК	Хм	Um	См/ПДК	Хм	Um
10	10	6001	3	0301	0,1419885	1	3,74	28,50	0,50	0,00	0,00	0,00
10	10	6002	3	0301	0,0003935	1	0,02	19,95	0,50	0,00	0,00	0,00
10	10	6003	3	0301	0,0070667	1	0,19	28,50	0,50	0,00	0,00	0,00
10	10	6004	3	0301	0,0327924	1	0,86	28,50	0,50	0,00	0,00	0,00
10	10	6005	3	0301	0,0024000	1	0,06	28,50	0,50	0,00	0,00	0,00
10	10	6006	3	0301	0,0015556	1	0,04	28,50	0,50	0,00	0,00	0,00
10	10	6007	3	0301	0,0018667	1	0,05	28,50	0,50	0,00	0,00	0,00
10	10	6008	3	0301	0,0016311	1	0,04	28,50	0,50	0,00	0,00	0,00
10	10	6009	3	0301	0,0000002	1	0,00	11,40	0,50	0,00	0,00	0,00
10	10	6001	3	0330	0,0183695	1	0,19	28,50	0,50	0,00	0,00	0,00
10	10	6002	3	0330	0,0000175	1	0,00	19,95	0,50	0,00	0,00	0,00
10	10	6003	3	0330	0,0015517	1	0,02	28,50	0,50	0,00	0,00	0,00
10	10	6004	3	0330	0,0039622	1	0,04	28,50	0,50	0,00	0,00	0,00
10	10	6005	3	0330	0,0006467	1	0,01	28,50	0,50	0,00	0,00	0,00
10	10	6006	3	0330	0,0003111	1	0,00	28,50	0,50	0,00	0,00	0,00
10	10	6007	3	0330	0,0003733	1	0,00	28,50	0,50	0,00	0,00	0,00
10	10	6008	3	0330	0,0020717	1	0,02	28,50	0,50	0,00	0,00	0,00
10	10	6001	3	0337	0,1458970	1	0,15	28,50	0,50	0,00	0,00	0,00
10	10	6002	3	0337	0,0108571	1	0,03	19,95	0,50	0,00	0,00	0,00
10	10	6003	3	0337	0,0144620	1	0,02	28,50	0,50	0,00	0,00	0,00
10	10	6004	3	0337	0,0333621	1	0,04	28,50	0,50	0,00	0,00	0,00
10	10	6005	3	0337	0,0062000	1	0,01	28,50	0,50	0,00	0,00	0,00
10	10	6006	3	0337	0,0034444	1	0,00	28,50	0,50	0,00	0,00	0,00
10	10	6007	3	0337	0,0041333	1	0,00	28,50	0,50	0,00	0,00	0,00
10	10	6008	3	0337	0,0440867	1	0,05	28,50	0,50	0,00	0,00	0,00
10	10	6002	3	1071	0,0000175	1	0,02	19,95	0,50	0,00	0,00	0,00
10	10	6009	3	1071	0,0000001	1	0,00	11,40	0,50	0,00	0,00	0,00
<b>Итого:</b>					<b>0,4794586</b>		<b>5,61</b>			<b>0,00</b>		

### Группа суммации: 6013 Ацетон и фенол

№ пл.	№ цех	№ ист.	Тип	Код в-ва	Выброс (г/с)	F	Лето			Зима		
							См/ПДК	Хм	Um	См/ПДК	Хм	Um
10	10	6002	3	1071	0,0000175	1	0,02	19,95	0,50	0,00	0,00	0,00
10	10	6009	3	1071	0,0000001	1	0,00	11,40	0,50	0,00	0,00	0,00
10	10	6002	3	1401	0,0000066	1	0,00	19,95	0,50	0,00	0,00	0,00
<b>Итого:</b>					<b>0,0000242</b>		<b>0,02</b>			<b>0,00</b>		

### Группа суммации: 6035 Сероводород, формальдегид

№ пл.	№ цех	№ ист.	Тип	Код в-ва	Выброс (г/с)	F	Лето			Зима		
							См/ПДК	Хм	Um	См/ПДК	Хм	Um
10	10	6002	3	0333	0,0000066	1	0,01	19,95	0,50	0,00	0,00	0,00
10	10	6009	3	0333	0,0000018	1	0,01	11,40	0,50	0,00	0,00	0,00

10	10	6002	3	1325	0,0000211	1	0,01	19,95	0,50	0,00	0,00	0,00
10	10	6009	3	1325	0,0000001	1	0,00	11,40	0,50	0,00	0,00	0,00
<b>Итого:</b>					<b>0,0000296</b>		<b>0,03</b>			<b>0,00</b>		

### Группа суммации: 6038 Серы диоксид и фенол

№ пл.	№ цех	№ ист.	Тип	Код в-ва	Выброс (г/с)	F	Лето			Зима		
							См/ПДК	Xm	Um	См/ПДК	Xm	Um
10	10	6001	3	0330	0,0183695	1	0,19	28,50	0,50	0,00	0,00	0,00
10	10	6002	3	0330	0,0000175	1	0,00	19,95	0,50	0,00	0,00	0,00
10	10	6003	3	0330	0,0015517	1	0,02	28,50	0,50	0,00	0,00	0,00
10	10	6004	3	0330	0,0039622	1	0,04	28,50	0,50	0,00	0,00	0,00
10	10	6005	3	0330	0,0006467	1	0,01	28,50	0,50	0,00	0,00	0,00
10	10	6006	3	0330	0,0003111	1	0,00	28,50	0,50	0,00	0,00	0,00
10	10	6007	3	0330	0,0003733	1	0,00	28,50	0,50	0,00	0,00	0,00
10	10	6008	3	0330	0,0020717	1	0,02	28,50	0,50	0,00	0,00	0,00
10	10	6002	3	1071	0,0000175	1	0,02	19,95	0,50	0,00	0,00	0,00
10	10	6009	3	1071	0,0000001	1	0,00	11,40	0,50	0,00	0,00	0,00
<b>Итого:</b>					<b>0,0273213</b>		<b>0,31</b>			<b>0,00</b>		

### Группа суммации: 6043 Серы диоксид и сероводород

№ пл.	№ цех	№ ист.	Тип	Код в-ва	Выброс (г/с)	F	Лето			Зима		
							См/ПДК	Xm	Um	См/ПДК	Xm	Um
10	10	6001	3	0330	0,0183695	1	0,19	28,50	0,50	0,00	0,00	0,00
10	10	6002	3	0330	0,0000175	1	0,00	19,95	0,50	0,00	0,00	0,00
10	10	6003	3	0330	0,0015517	1	0,02	28,50	0,50	0,00	0,00	0,00
10	10	6004	3	0330	0,0039622	1	0,04	28,50	0,50	0,00	0,00	0,00
10	10	6005	3	0330	0,0006467	1	0,01	28,50	0,50	0,00	0,00	0,00
10	10	6006	3	0330	0,0003111	1	0,00	28,50	0,50	0,00	0,00	0,00
10	10	6007	3	0330	0,0003733	1	0,00	28,50	0,50	0,00	0,00	0,00
10	10	6008	3	0330	0,0020717	1	0,02	28,50	0,50	0,00	0,00	0,00
10	10	6002	3	0333	0,0000066	1	0,01	19,95	0,50	0,00	0,00	0,00
10	10	6009	3	0333	0,0000018	1	0,01	11,40	0,50	0,00	0,00	0,00
<b>Итого:</b>					<b>0,0273121</b>		<b>0,31</b>			<b>0,00</b>		

### Группа суммации: 6204 Серы диоксид, азота диоксид

№ пл.	№ цех	№ ист.	Тип	Код в-ва	Выброс (г/с)	F	Лето			Зима		
							См/ПДК	Xm	Um	См/ПДК	Xm	Um
10	10	6001	3	0301	0,1419885	1	3,74	28,50	0,50	0,00	0,00	0,00
10	10	6002	3	0301	0,0003935	1	0,02	19,95	0,50	0,00	0,00	0,00
10	10	6003	3	0301	0,0070667	1	0,19	28,50	0,50	0,00	0,00	0,00
10	10	6004	3	0301	0,0327924	1	0,86	28,50	0,50	0,00	0,00	0,00
10	10	6005	3	0301	0,0024000	1	0,06	28,50	0,50	0,00	0,00	0,00

10	10	6006	3	0301	0,0015556	1	0,04	28,50	0,50	0,00	0,00	0,00
10	10	6007	3	0301	0,0018667	1	0,05	28,50	0,50	0,00	0,00	0,00
10	10	6008	3	0301	0,0016311	1	0,04	28,50	0,50	0,00	0,00	0,00
10	10	6009	3	0301	0,0000002	1	0,00	11,40	0,50	0,00	0,00	0,00
10	10	6001	3	0330	0,0183695	1	0,19	28,50	0,50	0,00	0,00	0,00
10	10	6002	3	0330	0,0000175	1	0,00	19,95	0,50	0,00	0,00	0,00
10	10	6003	3	0330	0,0015517	1	0,02	28,50	0,50	0,00	0,00	0,00
10	10	6004	3	0330	0,0039622	1	0,04	28,50	0,50	0,00	0,00	0,00
10	10	6005	3	0330	0,0006467	1	0,01	28,50	0,50	0,00	0,00	0,00
10	10	6006	3	0330	0,0003111	1	0,00	28,50	0,50	0,00	0,00	0,00
10	10	6007	3	0330	0,0003733	1	0,00	28,50	0,50	0,00	0,00	0,00
10	10	6008	3	0330	0,0020717	1	0,02	28,50	0,50	0,00	0,00	0,00
<b>Итого:</b>					<b>0,2169984</b>		<b>3,31</b>			<b>0,00</b>		

Суммарное значение Ст/ПДК для группы рассчитано с учетом коэффициента неполной суммы 1,60

## Расчет проводился по веществам (группам суммации)

Код	Наименование вещества	Предельно допустимая концентрация						Поправ. коэф. к ПДК ОБУВ *	Фоновая концентр.	
		Расчет максимальных концентраций			Расчет средних концентраций				Учет	Интерп.
		Тип	Спр. значения	Исп. в расч.	Тип	Спр. значение	Исп. в расч.			
0301	Азота диоксид (Азот (IV) оксид)	ПДК м/р	0,2000	0,2000	ПДК с/с	0,0400	0,0400	1	Да	Нет
0303	Аммиак	ПДК м/р	0,2000	0,2000	ПДК с/с	0,0400	0,0400	1	Нет	Нет
0304	Азот (II) оксид (Азота оксид)	ПДК м/р	0,4000	0,4000	ПДК с/с	0,0600	0,0600	1	Да	Нет
0328	Углерод (Сажа)	ПДК м/р	0,1500	0,1500	ПДК с/с	0,0500	0,0500	1	Нет	Нет
0330	Сера диоксид (Ангидрид сернистый)	ПДК м/р	0,5000	0,5000	ПДК с/с	0,0500	0,0500	1	Да	Нет
0333	Дигидросульфид (Сероводород)	ПДК м/р	0,0080	0,0080	-	-	-	1	Да	Нет
0337	Углерод оксид	ПДК м/р	5,0000	5,0000	ПДК с/с	3,0000	3,0000	1	Да	Нет
0410	Метан	ОБУВ	50,0000	50,0000	-	-	-	1	Нет	Нет
0416	Смесь углеводородов предельных С6-С10	ОБУВ	30,0000	30,0000	-	-	-	1	Нет	Нет
0602	Бензол	ПДК м/р	0,3000	0,3000	ПДК с/с	0,1000	0,1000	1	Нет	Нет
0616	Диметилбензол (Ксилол) (смесь изомеров о-, м-, п-)	ПДК м/р	0,2000	0,2000	-	-	-	1	Нет	Нет
0621	Метилбензол (Толуол)	ПДК м/р	0,6000	0,6000	-	-	-	1	Нет	Нет
0627	Этилбензол	ПДК м/р	0,0200	0,0200	-	-	-	1	Нет	Нет
1051	Пропан-2-ол (Изопропиловый спирт)	ПДК м/р	0,6000	0,6000	-	-	-	1	Нет	Нет
1071	Гидроксибензол (Фенол)	ПДК м/р	0,0100	0,0100	ПДК с/с	0,0030	0,0030	1	Нет	Нет
1325	Формальдегид	ПДК м/р	0,0500	0,0500	ПДК с/с	0,0100	0,0100	1	Да	Нет
1328	Пентандиаль (Глутаральдегид; Глутаровый альдегид)	ОБУВ	0,0300	0,0300	-	-	-	1	Нет	Нет
1401	Пропан-2-он (Ацетон)	ПДК м/р	0,3500	0,3500	-	-	-	1	Нет	Нет
1716	Смесь природных меркаптанов /в пересчете на этилмеркаптан/ (Одор)	ПДК м/р	5,0000E-05	5,0000E-05	-	-	-	1	Нет	Нет
2732	Керосин	ОБУВ	1,2000	1,2000	-	-	-	1	Нет	Нет
2754	Углеводороды предельные С12-С19	ПДК м/р	1,0000	1,0000	-	-	-	1	Нет	Нет
2902	Взвешенные вещества	ПДК м/р	0,5000	0,5000	ПДК с/с	0,1500	0,1500	1	Нет	Нет
6003	Группа суммации: Аммиак, сероводород	Группа суммации	-	-	Группа суммации	-	-	1	Нет	Нет
6004	Группа суммации: Аммиак, сероводород, формальдегид	Группа суммации	-	-	Группа суммации	-	-	1	Нет	Нет
6005	Группа суммации: Аммиак, формальдегид	Группа суммации	-	-	Группа суммации	-	-	1	Нет	Нет
6010	Группа суммации: Азота диоксид, серы диоксид, углерода оксид, фенол	Группа суммации	-	-	Группа суммации	-	-	1	Нет	Нет
6013	Группа суммации: Ацетон и фенол	Группа суммации	-	-	Группа суммации	-	-	1	Нет	Нет
6035	Группа суммации: Сероводород, формальдегид	Группа суммации	-	-	Группа суммации	-	-	1	Да	Нет
6038	Группа суммации: Серы диоксид и фенол	Группа суммации	-	-	Группа суммации	-	-	1	Нет	Нет
6043	Группа суммации: Серы диоксид и сероводород	Группа суммации	-	-	Группа суммации	-	-	1	Да	Нет
6204	Группа неполной суммации с коэффициентом "1,6": Серы диоксид, азота диоксид	Группа суммации	-	-	Группа суммации	-	-	1	Да	Нет

\*Используется при необходимости применения особых нормативных требований. При изменении значения параметра "Поправочный коэффициент к ПДК/ОБУВ", по умолчанию равного 1, получаемые результаты расчета максимальной концентрации следует сравнивать не со значением коэффициента, а с 1.

## Посты измерения фоновых концентраций

№ поста	Наименование	Координаты (м)	
		X	Y
1	Фоновый пост	1313,60	1692,30

Код в-ва	Наименование вещества	Максимальная концентрация *					Средняя концентрация *
		Штиль	Север	Восток	Юг	Запад	
0301	Азота диоксид (Азот (IV) оксид)	0,0790	0,0790	0,0790	0,0790	0,0790	0,0000
0304	Азот (II) оксид (Азота оксид)	0,0520	0,0520	0,0520	0,0520	0,0520	0,0000
0330	Сера диоксид (Ангидрид сернистый)	0,0190	0,0190	0,0190	0,0190	0,0190	0,0000
0333	Дигидросульфид (Сероводород)	0,0030	0,0030	0,0030	0,0030	0,0030	0,0000
0337	Углерод оксид	0,0027	0,0027	0,0027	0,0027	0,0027	0,0000
0703	Бенз/а/пирен (3,4-Бензпирен)	1,9000E-06	1,9000E-06	1,9000E-06	1,9000E-06	1,9000E-06	0,0000
1325	Формальдегид	0,0220	0,0220	0,0220	0,0220	0,0220	0,0000
2909	Пыль неорганическая: до 20% SiO <sub>2</sub>	0,2360	0,2360	0,2360	0,2360	0,2360	0,0000

\* Фоновые концентрации измеряются в мг/м<sup>3</sup> для веществ и долях приведенной ПДК для групп суммации

## Перебор метеопараметров при расчете

Набор-автомат

Перебор скоростей ветра осуществляется автоматически

### Направление ветра

Начало сектора	Конец сектора	Шаг перебора ветра
0	360	1

## Расчетные области

### Расчетные площадки

Код	Тип	Полное описание площадки					Зона влияния (м)	Шаг (м)		Высота (м)
		Координаты середины 1-й стороны (м)		Координаты середины 2-й стороны (м)		Ширина (м)		По ширине	По длине	
		X	Y	X	Y					
1	Полное описание	1000,00	2249,39	3500,00	2249,39	2000,00	0,00	50,00	50,00	2,00

### Расчетные точки

Код	Координаты (м)		Высота (м)	Тип точки	Комментарий
	X	Y			
1	2202,26	2656,25	2,00	на границе С33	
2	2506,70	2611,58	2,00	на границе С33	
3	2650,67	2282,66	2,00	на границе С33	
4	2563,22	1961,23	2,00	на границе С33	
5	2209,05	1871,57	2,00	на границе С33	
6	1942,95	1952,32	2,00	на границе С33	
7	1745,41	2294,48	2,00	на границе С33	
8	1813,13	2550,14	2,00	на границе С33	

## Результаты расчета и вклады по веществам (расчетные точки)

Типы точек:

- 0 - расчетная точка пользователя
- 1 - точка на границе охранной зоны
- 2 - точка на границе производственной зоны
- 3 - точка на границе СЗЗ
- 4 - на границе жилой зоны
- 5 - на границе застройки

### Вещество: 0301 Азота диоксид (Азот (IV) оксид)

№	Коорд X(м)	Коорд Y(м)	Высота (м)	Концентр (д. ПДК)	Концентр. (мг/куб.м)	Напр ветра	Скор ветра	Фон		Фон до исключения		Тип точки
								доли ПДК	мг/куб.м	доли ПДК	мг/куб.м	
1	2202,26	2656,25	2,00	0,75	0,1500	171	3,22	0,39	0,0790	0,39	0,0790	3
Площадка		Цех	Источник		Вклад (д. ПДК)		Вклад (мг/куб.м)		Вклад %			
	10	10	6001		0,31		0,0619		41,24			
	10	10	6004		0,04		0,0075		5,01			
	10	10	6005		3,07E-03		0,0006		0,41			
2	2506,70	2611,58	2,00	0,71	0,1421	221	4,40	0,39	0,0790	0,39	0,0790	3
Площадка		Цех	Источник		Вклад (д. ПДК)		Вклад (мг/куб.м)		Вклад %			
	10	10	6001		0,26		0,0530		37,28			
	10	10	6004		0,05		0,0093		6,53			
	10	10	6003		1,66E-03		0,0003		0,23			
3	2650,67	2282,66	2,00	0,66	0,1326	276	3,22	0,39	0,0790	0,39	0,0790	3
Площадка		Цех	Источник		Вклад (д. ПДК)		Вклад (мг/куб.м)		Вклад %			
	10	10	6001		0,23		0,0469		35,39			
	10	10	6004		0,03		0,0051		3,82			
	10	10	6003		3,59E-03		0,0007		0,54			
5	2209,05	1871,57	2,00	0,64	0,1287	6	6,00	0,39	0,0790	0,39	0,0790	3
Площадка		Цех	Источник		Вклад (д. ПДК)		Вклад (мг/куб.м)		Вклад %			
	10	10	6001		0,20		0,0405		31,48			
	10	10	6004		0,04		0,0083		6,45			
	10	10	6005		1,78E-03		0,0004		0,28			
6	1942,95	1952,32	2,00	0,64	0,1271	40	6,00	0,39	0,0790	0,39	0,0790	3
Площадка		Цех	Источник		Вклад (д. ПДК)		Вклад (мг/куб.м)		Вклад %			
	10	10	6001		0,19		0,0374		29,40			
	10	10	6004		0,05		0,0103		8,07			
	10	10	6006		1,19E-03		0,0002		0,19			
4	2563,22	1961,23	2,00	0,61	0,1224	320	6,00	0,39	0,0790	0,39	0,0790	3
Площадка		Цех	Источник		Вклад (д. ПДК)		Вклад (мг/куб.м)		Вклад %			
	10	10	6001		0,19		0,0386		31,56			
	10	10	6004		0,02		0,0032		2,65			
	10	10	6005		2,97E-03		0,0006		0,49			
7	1745,41	2294,48	2,00	0,60	0,1203	87	6,00	0,39	0,0790	0,39	0,0790	3
Площадка		Цех	Источник		Вклад (д. ПДК)		Вклад (мг/куб.м)		Вклад %			
	10	10	6001		0,17		0,0343		28,55			
	10	10	6004		0,02		0,0049		4,09			
	10	10	6003		5,57E-03		0,0011		0,93			
8	1813,13	2550,14	2,00	0,60	0,1196	117	6,00	0,39	0,0790	0,39	0,0790	3
Площадка		Цех	Источник		Вклад (д. ПДК)		Вклад (мг/куб.м)		Вклад %			
	10	10	6001		0,18		0,0364		30,42			

10	10	6004		0,02	0,0033	2,78
10	10	6005		1,67E-03	0,0003	0,28

**Вещество: 0303 Аммиак**

№	Коорд X(м)	Коорд Y(м)	Высота (м)	Концентр (д. ПДК)	Концентр. (мг/куб.м)	Напр ветр	Скор ветр	Фон		Фон до исключения		Тип точки
								доли ПДК	мг/куб.м	доли ПДК	мг/куб.м	
7	1745,41	2294,48	2,00	5,09E-04	0,0001	84	6,00	-	-	-	-	3
	Площадка	Цех		Источник	Вклад (д. ПДК)			Вклад (мг/куб.м)		Вклад %		
	10		10	6002	5,07E-04			0,0001		99,50		
	10		10	6009	2,56E-06			5,1112E-07		0,50		
8	1813,13	2550,14	2,00	4,70E-04	9,4088E-05	125	6,00	-	-	-	-	3
	Площадка	Цех		Источник	Вклад (д. ПДК)			Вклад (мг/куб.м)		Вклад %		
	10		10	6002	4,69E-04			9,3703E-05		99,59		
	10		10	6009	1,92E-06			3,8483E-07		0,41		
1	2202,26	2656,25	2,00	4,30E-04	8,5987E-05	192	1,73	-	-	-	-	3
	Площадка	Цех		Источник	Вклад (д. ПДК)			Вклад (мг/куб.м)		Вклад %		
	10		10	6002	4,28E-04			8,5652E-05		99,61		
	10		10	6009	1,67E-06			3,3494E-07		0,39		
2	2506,70	2611,58	2,00	3,63E-04	7,2603E-05	233	6,00	-	-	-	-	3
	Площадка	Цех		Источник	Вклад (д. ПДК)			Вклад (мг/куб.м)		Вклад %		
	10		10	6002	3,61E-04			7,2212E-05		99,46		
	10		10	6009	1,96E-06			3,9140E-07		0,54		
6	1942,95	1952,32	2,00	3,49E-04	6,9772E-05	26	6,00	-	-	-	-	3
	Площадка	Цех		Источник	Вклад (д. ПДК)			Вклад (мг/куб.м)		Вклад %		
	10		10	6002	3,48E-04			6,9571E-05		99,71		
	10		10	6009	1,00E-06			2,0070E-07		0,29		
3	2650,67	2282,66	2,00	3,20E-04	6,4059E-05	276	6,00	-	-	-	-	3
	Площадка	Цех		Источник	Вклад (д. ПДК)			Вклад (мг/куб.м)		Вклад %		
	10		10	6002	3,18E-04			6,3533E-05		99,18		
	10		10	6009	2,63E-06			5,2652E-07		0,82		
5	2209,05	1871,57	2,00	3,01E-04	6,0176E-05	350	6,00	-	-	-	-	3
	Площадка	Цех		Источник	Вклад (д. ПДК)			Вклад (мг/куб.м)		Вклад %		
	10		10	6002	3,00E-04			5,9998E-05		99,70		
4	2563,22	1961,23	2,00	2,71E-04	5,4163E-05	311	6,00	-	-	-	-	3
	Площадка	Цех		Источник	Вклад (д. ПДК)			Вклад (мг/куб.м)		Вклад %		
	10		10	6002	2,69E-04			5,3838E-05		99,40		
	10		10	6009	1,63E-06			3,2561E-07		0,60		

**Вещество: 0304 Азот (II) оксид (Азота оксид)**

№	Коорд X(м)	Коорд Y(м)	Высота (м)	Концентр (д. ПДК)	Концентр. (мг/куб.м)	Напр ветр	Скор ветр	Фон		Фон до исключения		Тип точки
								доли ПДК	мг/куб.м	доли ПДК	мг/куб.м	
1	2202,26	2656,25	2,00	0,16	0,0654	170	3,22	0,13	0,0520	0,13	0,0520	3
	Площадка	Цех		Источник	Вклад (д. ПДК)			Вклад (мг/куб.м)		Вклад %		
	10		10	6001			0,03	0,0102		15,52		
	10		10	6008			4,87E-03	0,0019		2,98		
	10		10	6004			2,67E-03	0,0011		1,64		
4	2563,22	1961,23	2,00	0,16	0,0623	316	2,36	0,13	0,0520	0,13	0,0520	3
	Площадка	Цех		Источник	Вклад (д. ПДК)			Вклад (мг/куб.м)		Вклад %		



	10		10	6001		0,06		0,0095		88,64		
	10		10	6004		6,96E-03		0,0010		9,77		
	10		10	6003		4,35E-04		6,5207E-05		0,61		
5	2209,05	1871,57	2,00	0,07	0,0100	5	6,00	-	-	-	-	3
	Площадка	Цех	Источник	Вклад (д. ПДК)	Вклад (мг/куб.м)	Вклад %						
	10		10	6001	0,05	0,0080		79,86				
	10		10	6004	0,01	0,0019		19,16				
	10		10	6005	2,59E-04	3,8904E-05		0,39				
6	1942,95	1952,32	2,00	0,06	0,0097	40	6,00	-	-	-	-	3
	Площадка	Цех	Источник	Вклад (д. ПДК)	Вклад (мг/куб.м)	Вклад %						
	10		10	6001	0,05	0,0075		77,64				
	10		10	6004	0,01	0,0021		21,73				
	10		10	6006	1,99E-04	2,9854E-05		0,31				
4	2563,22	1961,23	2,00	0,06	0,0088	320	6,00	-	-	-	-	3
	Площадка	Цех	Источник	Вклад (д. ПДК)	Вклад (мг/куб.м)	Вклад %						
	10		10	6001	0,05	0,0078		88,56				
	10		10	6004	4,45E-03	0,0007		7,59				
	10		10	6008	1,23E-03	0,0002		2,09				
8	1813,13	2550,14	2,00	0,05	0,0082	117	6,00	-	-	-	-	3
	Площадка	Цех	Источник	Вклад (д. ПДК)	Вклад (мг/куб.м)	Вклад %						
	10		10	6001	0,05	0,0073		89,79				
	10		10	6004	4,57E-03	0,0007		8,38				
	10		10	6008	3,69E-04	5,5306E-05		0,68				
7	1745,41	2294,48	2,00	0,05	0,0081	87	6,00	-	-	-	-	3
	Площадка	Цех	Источник	Вклад (д. ПДК)	Вклад (мг/куб.м)	Вклад %						
	10		10	6001	0,05	0,0069		85,06				
	10		10	6004	6,76E-03	0,0010		12,44				
	10		10	6003	6,75E-04	0,0001		1,24				

**Вещество: 0330 Сера диоксид (Ангидрид сернистый)**

№	Коорд Х(м)	Коорд Y(м)	Высота (м)	Концентр (д. ПДК)	Концентр. (мг/куб.м)	Напр ветр	Скор ветр	Фон		Фон до исключения		Тип точки
								доли ПДК	мг/куб.м	доли ПДК	мг/куб.м	
1	2202,26	2656,25	2,00	0,06	0,0286	170	3,22	0,04	0,0190	0,04	0,0190	3
	Площадка	Цех	Источник	Вклад (д. ПДК)	Вклад (мг/куб.м)	Вклад %						
	10		10	6001	0,02	0,0081		28,25				
	10		10	6004	1,59E-03	0,0008		2,78				
	10		10	6008	8,04E-04	0,0004		1,40				
2	2506,70	2611,58	2,00	0,05	0,0272	221	4,40	0,04	0,0190	0,04	0,0190	3
	Площадка	Цех	Источник	Вклад (д. ПДК)	Вклад (мг/куб.м)	Вклад %						
	10		10	6001	0,01	0,0069		25,23				
	10		10	6004	2,24E-03	0,0011		4,13				
	10		10	6003	1,46E-04	7,2752E-05		0,27				
3	2650,67	2282,66	2,00	0,05	0,0260	276	3,22	0,04	0,0190	0,04	0,0190	3
	Площадка	Цех	Источник	Вклад (д. ПДК)	Вклад (мг/куб.м)	Вклад %						
	10		10	6001	0,01	0,0061		23,33				
	10		10	6004	1,23E-03	0,0006		2,35				
	10		10	6003	3,15E-04	0,0002		0,61				
5	2209,05	1871,57	2,00	0,05	0,0255	6	6,00	0,04	0,0190	0,04	0,0190	3
	Площадка	Цех	Источник	Вклад (д. ПДК)	Вклад (мг/куб.м)	Вклад %						

	10		10	6001		0,01			0,0052		20,58		
	10		10	6004		2,01E-03			0,0010		3,94		
	10		10	6005		1,92E-04			9,6191E-05		0,38		
6	1942,95	1952,32	2,00	0,05	0,0252	40	6,00	0,04	0,0190	0,04	0,0190	3	
	Площадка	Цех		Источник		Вклад (д. ПДК)			Вклад (мг/куб.м)		Вклад %		
	10		10	6001		9,67E-03			0,0048		19,20		
	10		10	6004		2,48E-03			0,0012		4,92		
	10		10	6006		9,56E-05			4,7775E-05		0,19		
4	2563,22	1961,23	2,00	0,05	0,0251	319	6,00	0,04	0,0190	0,04	0,0190	3	
	Площадка	Цех		Источник		Вклад (д. ПДК)			Вклад (мг/куб.м)		Вклад %		
	10		10	6001		9,64E-03			0,0048		19,18		
	10		10	6008		1,00E-03			0,0005		1,99		
	10		10	6004		1,00E-03			0,0005		1,99		
7	1745,41	2294,48	2,00	0,05	0,0245	87	6,00	0,04	0,0190	0,04	0,0190	3	
	Площадка	Цех		Источник		Вклад (д. ПДК)			Вклад (мг/куб.м)		Вклад %		
	10		10	6001		8,89E-03			0,0044		18,16		
	10		10	6004		1,19E-03			0,0006		2,43		
	10		10	6003		4,90E-04			0,0002		1,00		
8	1813,13	2550,14	2,00	0,05	0,0244	117	6,00	0,04	0,0190	0,04	0,0190	3	
	Площадка	Цех		Источник		Вклад (д. ПДК)			Вклад (мг/куб.м)		Вклад %		
	10		10	6001		9,41E-03			0,0047		19,29		
	10		10	6004		8,05E-04			0,0004		1,65		
	10		10	6008		2,45E-04			0,0001		0,50		

**Вещество: 0333 Дигидросульфид (Сероводород)**

№	Коорд X(м)	Коорд Y(м)	Высота (м)	Концентр (д. ПДК)	Концентр. (мг/куб.м)	Напр ветра	Скор ветра	Фон		Фон до исключения		Тип точки
								доли ПДК	мг/куб.м	доли ПДК	мг/куб.м	
7	1745,41	2294,48	2,00	0,38	0,0030	85	6,00	0,38	0,0030	0,38	0,0030	3
	Площадка	Цех		Источник		Вклад (д. ПДК)			Вклад (мг/куб.м)		Вклад %	
	10		10	6002		4,21E-04			3,3640E-06		0,11	
	10		10	6009		1,33E-04			1,0605E-06		0,04	
8	1813,13	2550,14	2,00	0,38	0,0030	124	6,00	0,38	0,0030	0,38	0,0030	3
	Площадка	Цех		Источник		Вклад (д. ПДК)			Вклад (мг/куб.м)		Вклад %	
	10		10	6002		3,89E-04			3,1094E-06		0,10	
	10		10	6009		1,10E-04			8,7981E-07		0,03	
1	2202,26	2656,25	2,00	0,38	0,0030	189	0,93	0,38	0,0030	0,38	0,0030	3
	Площадка	Цех		Источник		Вклад (д. ПДК)			Вклад (мг/куб.м)		Вклад %	
	10		10	6002		3,43E-04			2,7456E-06		0,09	
	10		10	6009		1,33E-04			1,0622E-06		0,04	
2	2506,70	2611,58	2,00	0,38	0,0030	231	6,00	0,38	0,0030	0,38	0,0030	3
	Площадка	Цех		Источник		Вклад (д. ПДК)			Вклад (мг/куб.м)		Вклад %	
	10		10	6002		2,82E-04			2,2589E-06		0,08	
	10		10	6009		1,28E-04			1,0227E-06		0,03	
3	2650,67	2282,66	2,00	0,38	0,0030	276	6,00	0,38	0,0030	0,38	0,0030	3
	Площадка	Цех		Источник		Вклад (д. ПДК)			Вклад (мг/куб.м)		Вклад %	
	10		10	6002		2,66E-04			2,1318E-06		0,07	
	10		10	6009		1,32E-04			1,0530E-06		0,04	
6	1942,95	1952,32	2,00	0,38	0,0030	29	6,00	0,38	0,0030	0,38	0,0030	3
	Площадка	Цех		Источник		Вклад (д. ПДК)			Вклад (мг/куб.м)		Вклад %	

	10	10	6002		2,65E-04		2,1195E-06		0,07			
	10	10	6009		9,12E-05		7,2993E-07		0,02			
5	2209,05	1871,57	2,00	0,38	0,0030	354	6,00	0,38	0,0030	0,38	0,0030	3
	Площадка	Цех	Источник		Вклад (д. ПДК)		Вклад (мг/куб.м)		Вклад %			
	10	10	6002		2,23E-04		1,7832E-06		0,06			
	10	10	6009		9,78E-05		7,8246E-07		0,03			
4	2563,22	1961,23	2,00	0,38	0,0030	312	6,00	0,38	0,0030	0,38	0,0030	3
	Площадка	Цех	Источник		Вклад (д. ПДК)		Вклад (мг/куб.м)		Вклад %			
	10	10	6002		2,21E-04		1,7698E-06		0,06			
	10	10	6009		9,05E-05		7,2436E-07		0,02			

### Вещество: 0337 Углерод оксид

№	Коорд X(м)	Коорд Y(м)	Высота (м)	Концентр (д. ПДК)	Концентр. (мг/куб.м)	Напр ветра	Скор ветра	Фон		Фон до исключения		Тип точки
								доли ПДК	мг/куб.м	доли ПДК	мг/куб.м	
1	2202,26	2656,25	2,00	0,02	0,0857	170	3,22	5,40E-04	0,0027	5,40E-04	0,0027	3
	Площадка	Цех	Источник		Вклад (д. ПДК)		Вклад (мг/куб.м)		Вклад %			
	10	10	6001		0,01		0,0642		74,91			
	10	10	6008		1,71E-03		0,0086		9,98			
	10	10	6004		1,34E-03		0,0067		7,82			
2	2506,70	2611,58	2,00	0,01	0,0691	221	4,40	5,40E-04	0,0027	5,40E-04	0,0027	3
	Площадка	Цех	Источник		Вклад (д. ПДК)		Вклад (мг/куб.м)		Вклад %			
	10	10	6001		0,01		0,0544		78,78			
	10	10	6004		1,89E-03		0,0094		13,66			
	10	10	6003		1,36E-04		0,0007		0,98			
4	2563,22	1961,23	2,00	0,01	0,0637	317	2,36	5,40E-04	0,0027	5,40E-04	0,0027	3
	Площадка	Цех	Источник		Вклад (д. ПДК)		Вклад (мг/куб.м)		Вклад %			
	10	10	6001		6,15E-03		0,0307		48,30			
	10	10	6008		3,52E-03		0,0176		27,62			
	10	10	6004		1,36E-03		0,0068		10,70			
3	2650,67	2282,66	2,00	0,01	0,0632	272	0,93	5,40E-04	0,0027	5,40E-04	0,0027	3
	Площадка	Цех	Источник		Вклад (д. ПДК)		Вклад (мг/куб.м)		Вклад %			
	10	10	6001		7,81E-03		0,0391		61,78			
	10	10	6004		1,55E-03		0,0078		12,26			
	10	10	6008		1,20E-03		0,0060		9,49			
5	2209,05	1871,57	2,00	0,01	0,0588	9	0,93	5,40E-04	0,0027	5,40E-04	0,0027	3
	Площадка	Цех	Источник		Вклад (д. ПДК)		Вклад (мг/куб.м)		Вклад %			
	10	10	6001		6,08E-03		0,0304		51,68			
	10	10	6008		2,46E-03		0,0123		20,90			
	10	10	6004		1,65E-03		0,0083		14,04			
6	1942,95	1952,32	2,00	0,01	0,0532	40	6,00	5,40E-04	0,0027	5,40E-04	0,0027	3
	Площадка	Цех	Источник		Вклад (д. ПДК)		Вклад (мг/куб.м)		Вклад %			
	10	10	6001		7,68E-03		0,0384		72,17			
	10	10	6004		2,09E-03		0,0104		19,61			
	10	10	6006		1,06E-04		0,0005		0,99			
7	1745,41	2294,48	2,00	0,01	0,0524	87	6,00	5,40E-04	0,0027	5,40E-04	0,0027	3
	Площадка	Цех	Источник		Вклад (д. ПДК)		Вклад (мг/куб.м)		Вклад %			
	10	10	6001		7,06E-03		0,0353		67,39			
	10	10	6004		1,00E-03		0,0050		9,57			
	10	10	6002		9,95E-04		0,0050		9,50			
8	1813,13	2550,14	2,00	0,01	0,0509	118	6,00	5,40E-04	0,0027	5,40E-04	0,0027	3
	Площадка	Цех	Источник		Вклад (д. ПДК)		Вклад (мг/куб.м)		Вклад %			

10	10	6001	7,15E-03	0,0358	70,24
10	10	6004	8,51E-04	0,0043	8,35
10	10	6008	6,72E-04	0,0034	6,60

**Вещество: 0410 Метан**

№	Коорд Х(м)	Коорд Y(м)	Высота (м)	Концентр (д. ПДК)	Концентр. (мг/куб.м)	Напр ветр	Скор ветр	Фон		Фон до исключения		Тип точки
								доли ПДК	мг/куб.м	доли ПДК	мг/куб.м	
1	2202,26	2656,25	2,00	2,77E-06	0,0001	181	6,00	-	-	-	-	3
Площадка		Цех	Источник		Вклад (д. ПДК)		Вклад (мг/куб.м)		Вклад %			
10		10	6009		2,77E-06		0,0001		100,00			
2	2506,70	2611,58	2,00	1,80E-06	8,9853E-05	228	6,00	-	-	-	-	3
Площадка		Цех	Источник		Вклад (д. ПДК)		Вклад (мг/куб.м)		Вклад %			
10		10	6009		1,80E-06		8,9853E-05		100,00			
8	1813,13	2550,14	2,00	1,64E-06	8,2029E-05	120	6,00	-	-	-	-	3
Площадка		Цех	Источник		Вклад (д. ПДК)		Вклад (мг/куб.м)		Вклад %			
10		10	6009		1,64E-06		8,2029E-05		100,00			
6	1942,95	1952,32	2,00	1,58E-06	7,8943E-05	34	6,00	-	-	-	-	3
Площадка		Цех	Источник		Вклад (д. ПДК)		Вклад (мг/куб.м)		Вклад %			
10		10	6009		1,58E-06		7,8943E-05		100,00			
7	1745,41	2294,48	2,00	1,58E-06	7,8845E-05	86	6,00	-	-	-	-	3
Площадка		Цех	Источник		Вклад (д. ПДК)		Вклад (мг/куб.м)		Вклад %			
10		10	6009		1,58E-06		7,8845E-05		100,00			
3	2650,67	2282,66	2,00	1,55E-06	7,7749E-05	276	6,00	-	-	-	-	3
Площадка		Цех	Источник		Вклад (д. ПДК)		Вклад (мг/куб.м)		Вклад %			
10		10	6009		1,55E-06		7,7749E-05		100,00			
5	2209,05	1871,57	2,00	1,55E-06	7,7684E-05	358	6,00	-	-	-	-	3
Площадка		Цех	Источник		Вклад (д. ПДК)		Вклад (мг/куб.м)		Вклад %			
10		10	6009		1,55E-06		7,7684E-05		100,00			
4	2563,22	1961,23	2,00	1,23E-06	6,1416E-05	315	6,00	-	-	-	-	3
Площадка		Цех	Источник		Вклад (д. ПДК)		Вклад (мг/куб.м)		Вклад %			
10		10	6009		1,23E-06		6,1416E-05		100,00			

**Вещество: 0416 Смесь углеводородов предельных C6-C10**

№	Коорд Х(м)	Коорд Y(м)	Высота (м)	Концентр (д. ПДК)	Концентр. (мг/куб.м)	Напр ветр	Скор ветр	Фон		Фон до исключения		Тип точки
								доли ПДК	мг/куб.м	доли ПДК	мг/куб.м	
7	1745,41	2294,48	2,00	6,25E-07	1,8746E-05	84	6,00	-	-	-	-	3
8	1813,13	2550,14	2,00	5,78E-07	1,7340E-05	125	6,00	-	-	-	-	3
1	2202,26	2656,25	2,00	5,28E-07	1,5850E-05	192	1,73	-	-	-	-	3
2	2506,70	2611,58	2,00	4,45E-07	1,3363E-05	233	6,00	-	-	-	-	3
6	1942,95	1952,32	2,00	4,29E-07	1,2874E-05	26	6,00	-	-	-	-	3
3	2650,67	2282,66	2,00	3,92E-07	1,1757E-05	276	6,00	-	-	-	-	3
5	2209,05	1871,57	2,00	3,70E-07	1,1103E-05	350	6,00	-	-	-	-	3
4	2563,22	1961,23	2,00	3,32E-07	9,9628E-06	311	6,00	-	-	-	-	3

**Вещество: 0602 Бензол**

№	Коорд Х(м)	Коорд Y(м)	Высота (м)	Концентр (д. ПДК)	Концентр. (мг/куб.м)	Напр ветр	Скор ветр	Фон		Фон до исключения		Тип точки
								доли ПДК	мг/куб.м	доли ПДК	мг/куб.м	
7	1745,41	2294,48	2,00	1,13E-03	0,0003	84	6,00	-	-	-	-	3
Площадка		Цех	Источник		Вклад (д. ПДК)		Вклад (мг/куб.м)		Вклад %			
10		10	6002		1,13E-03		0,0003		100,00			

8	1813,13	2550,14	2,00	1,04E-03	0,0003	125	6,00	-	-	-	-	3
Площадка		Цех	Источник	Вклад (д. ПДК)		Вклад (мг/куб.м)		Вклад %				
10		10	6002	1,04E-03		0,0003		100,00				
1	2202,26	2656,25	2,00	9,52E-04	0,0003	192	1,73	-	-	-	-	3
Площадка		Цех	Источник	Вклад (д. ПДК)		Вклад (мг/куб.м)		Вклад %				
10		10	6002	9,52E-04		0,0003		100,00				
2	2506,70	2611,58	2,00	8,03E-04	0,0002	233	6,00	-	-	-	-	3
Площадка		Цех	Источник	Вклад (д. ПДК)		Вклад (мг/куб.м)		Вклад %				
10		10	6002	8,03E-04		0,0002		100,00				
6	1942,95	1952,32	2,00	7,73E-04	0,0002	26	6,00	-	-	-	-	3
Площадка		Цех	Источник	Вклад (д. ПДК)		Вклад (мг/куб.м)		Вклад %				
10		10	6002	7,73E-04		0,0002		100,00				
3	2650,67	2282,66	2,00	7,06E-04	0,0002	276	6,00	-	-	-	-	3
Площадка		Цех	Источник	Вклад (д. ПДК)		Вклад (мг/куб.м)		Вклад %				
10		10	6002	7,06E-04		0,0002		100,00				
5	2209,05	1871,57	2,00	6,67E-04	0,0002	350	6,00	-	-	-	-	3
Площадка		Цех	Источник	Вклад (д. ПДК)		Вклад (мг/куб.м)		Вклад %				
10		10	6002	6,67E-04		0,0002		100,00				
4	2563,22	1961,23	2,00	5,98E-04	0,0002	311	6,00	-	-	-	-	3
Площадка		Цех	Источник	Вклад (д. ПДК)		Вклад (мг/куб.м)		Вклад %				
10		10	6002	5,98E-04		0,0002		100,00				

**Вещество: 0616 Диметилбензол (Ксилол) (смесь изомеров о-, м-, п-)**

№	Коорд Х(м)	Коорд Y(м)	Высота (м)	Концентр (д. ПДК)	Концентр. (мг/куб.м)	Напр ветр а	Скор ветр а	Фон		Фон до исключения		Тип точки
								доли ПДК	мг/куб.м	доли ПДК	мг/куб.м	
7	1745,41	2294,48	2,00	3,19E-04	6,3810E-05	84	6,00	-	-	-	-	3
Площадка		Цех	Источник	Вклад (д. ПДК)		Вклад (мг/куб.м)		Вклад %				
10		10	6002	3,19E-04		6,3810E-05		100,00				
8	1813,13	2550,14	2,00	2,95E-04	5,9023E-05	125	6,00	-	-	-	-	3
Площадка		Цех	Источник	Вклад (д. ПДК)		Вклад (мг/куб.м)		Вклад %				
10		10	6002	2,95E-04		5,9023E-05		100,00				
1	2202,26	2656,25	2,00	2,70E-04	5,3952E-05	192	1,73	-	-	-	-	3
Площадка		Цех	Источник	Вклад (д. ПДК)		Вклад (мг/куб.м)		Вклад %				
10		10	6002	2,70E-04		5,3952E-05		100,00				
2	2506,70	2611,58	2,00	2,27E-04	4,5486E-05	233	6,00	-	-	-	-	3
Площадка		Цех	Источник	Вклад (д. ПДК)		Вклад (мг/куб.м)		Вклад %				
10		10	6002	2,27E-04		4,5486E-05		100,00				
6	1942,95	1952,32	2,00	2,19E-04	4,3822E-05	26	6,00	-	-	-	-	3
Площадка		Цех	Источник	Вклад (д. ПДК)		Вклад (мг/куб.м)		Вклад %				
10		10	6002	2,19E-04		4,3822E-05		100,00				
3	2650,67	2282,66	2,00	2,00E-04	4,0019E-05	276	6,00	-	-	-	-	3
Площадка		Цех	Источник	Вклад (д. ПДК)		Вклад (мг/куб.м)		Вклад %				
10		10	6002	2,00E-04		4,0019E-05		100,00				
5	2209,05	1871,57	2,00	1,89E-04	3,7792E-05	350	6,00	-	-	-	-	3
Площадка		Цех	Источник	Вклад (д. ПДК)		Вклад (мг/куб.м)		Вклад %				
10		10	6002	1,89E-04		3,7792E-05		100,00				
4	2563,22	1961,23	2,00	1,70E-04	3,3912E-05	311	6,00	-	-	-	-	3
Площадка		Цех	Источник	Вклад (д. ПДК)		Вклад (мг/куб.м)		Вклад %				
10		10	6002	1,70E-04		3,3912E-05		100,00				

**Вещество: 0621 Метилбензол (Толуол)**

№	Коорд Х(м)	Коорд Y(м)	Высота (м)	Концентр (д. ПДК)	Концентр. (мг/куб.м)	Напр ветр	Скор ветр	Фон		Фон до исключения		Тип точки
								доли ПДК	мг/куб.м	доли ПДК	мг/куб.м	
7	1745,41	2294,48	2,00	5,67E-06	3,3991E-06	84	6,00	-	-	-	-	3
Площадка		Цех	Источник		Вклад (д. ПДК)		Вклад (мг/куб.м)		Вклад %			
10		10	6002		5,67E-06		3,3991E-06		100,00			
8	1813,13	2550,14	2,00	5,24E-06	3,1441E-06	125	6,00	-	-	-	-	3
Площадка		Цех	Источник		Вклад (д. ПДК)		Вклад (мг/куб.м)		Вклад %			
10		10	6002		5,24E-06		3,1441E-06		100,00			
1	2202,26	2656,25	2,00	4,79E-06	2,8739E-06	192	1,73	-	-	-	-	3
Площадка		Цех	Источник		Вклад (д. ПДК)		Вклад (мг/куб.м)		Вклад %			
10		10	6002		4,79E-06		2,8739E-06		100,00			
2	2506,70	2611,58	2,00	4,04E-06	2,4230E-06	233	6,00	-	-	-	-	3
Площадка		Цех	Источник		Вклад (д. ПДК)		Вклад (мг/куб.м)		Вклад %			
10		10	6002		4,04E-06		2,4230E-06		100,00			
6	1942,95	1952,32	2,00	3,89E-06	2,3344E-06	26	6,00	-	-	-	-	3
Площадка		Цех	Источник		Вклад (д. ПДК)		Вклад (мг/куб.м)		Вклад %			
10		10	6002		3,89E-06		2,3344E-06		100,00			
3	2650,67	2282,66	2,00	3,55E-06	2,1318E-06	276	6,00	-	-	-	-	3
Площадка		Цех	Источник		Вклад (д. ПДК)		Вклад (мг/куб.м)		Вклад %			
10		10	6002		3,55E-06		2,1318E-06		100,00			
5	2209,05	1871,57	2,00	3,36E-06	2,0132E-06	350	6,00	-	-	-	-	3
Площадка		Цех	Источник		Вклад (д. ПДК)		Вклад (мг/куб.м)		Вклад %			
10		10	6002		3,36E-06		2,0132E-06		100,00			
4	2563,22	1961,23	2,00	3,01E-06	1,8064E-06	311	6,00	-	-	-	-	3
Площадка		Цех	Источник		Вклад (д. ПДК)		Вклад (мг/куб.м)		Вклад %			
10		10	6002		3,01E-06		1,8064E-06		100,00			

**Вещество: 0627 Этилбензол**

№	Коорд Х(м)	Коорд Y(м)	Высота (м)	Концентр (д. ПДК)	Концентр. (мг/куб.м)	Напр ветр	Скор ветр	Фон		Фон до исключения		Тип точки
								доли ПДК	мг/куб.м	доли ПДК	мг/куб.м	
7	1745,41	2294,48	2,00	1,70E-04	3,3991E-06	84	6,00	-	-	-	-	3
Площадка		Цех	Источник		Вклад (д. ПДК)		Вклад (мг/куб.м)		Вклад %			
10		10	6002		1,70E-04		3,3991E-06		100,00			
8	1813,13	2550,14	2,00	1,57E-04	3,1441E-06	125	6,00	-	-	-	-	3
Площадка		Цех	Источник		Вклад (д. ПДК)		Вклад (мг/куб.м)		Вклад %			
10		10	6002		1,57E-04		3,1441E-06		100,00			
1	2202,26	2656,25	2,00	1,44E-04	2,8739E-06	192	1,73	-	-	-	-	3
Площадка		Цех	Источник		Вклад (д. ПДК)		Вклад (мг/куб.м)		Вклад %			
10		10	6002		1,44E-04		2,8739E-06		100,00			
2	2506,70	2611,58	2,00	1,21E-04	2,4230E-06	233	6,00	-	-	-	-	3
Площадка		Цех	Источник		Вклад (д. ПДК)		Вклад (мг/куб.м)		Вклад %			
10		10	6002		1,21E-04		2,4230E-06		100,00			
6	1942,95	1952,32	2,00	1,17E-04	2,3344E-06	26	6,00	-	-	-	-	3
Площадка		Цех	Источник		Вклад (д. ПДК)		Вклад (мг/куб.м)		Вклад %			
10		10	6002		1,17E-04		2,3344E-06		100,00			
3	2650,67	2282,66	2,00	1,07E-04	2,1318E-06	276	6,00	-	-	-	-	3
Площадка		Цех	Источник		Вклад (д. ПДК)		Вклад (мг/куб.м)		Вклад %			
10		10	6002		1,07E-04		2,1318E-06		100,00			
5	2209,05	1871,57	2,00	1,01E-04	2,0132E-06	350	6,00	-	-	-	-	3
Площадка		Цех	Источник		Вклад (д. ПДК)		Вклад (мг/куб.м)		Вклад %			
10		10	6002		1,01E-04		2,0132E-06		100,00			

4	2563,22	1961,23	2,00	9,03E-05	1,8064E-06	311	6,00	-	-	-	-	3
Площадка		Цех	Источник		Вклад (д. ПДК)		Вклад (мг/куб.м)		Вклад %			
10		10	6002		9,03E-05		1,8064E-06		100,00			

**Вещество: 1051 Пропан-2-ол (Изопропиловый спирт)**

№	Коорд Х(м)	Коорд Y(м)	Высота (м)	Концентр (д. ПДК)	Концентр. (мг/куб.м)	Напр ветр	Скор ветр	Фон		Фон до исключения		Тип точки
								доли ПДК	мг/куб.м	доли ПДК	мг/куб.м	
3	2650,67	2282,66	2,00	2,79E-05	1,6740E-05	263	6,00	-	-	-	-	3

Площадка		Цех	Источник		Вклад (д. ПДК)		Вклад (мг/куб.м)		Вклад %		
10		10	6010		2,79E-05		1,6740E-05		100,00		

5	2209,05	1871,57	2,00	2,64E-05	1,5865E-05	12	6,00	-	-	-	-	3
Площадка		Цех	Источник		Вклад (д. ПДК)		Вклад (мг/куб.м)		Вклад %			
10		10	6010		2,64E-05		1,5865E-05		100,00			

4	2563,22	1961,23	2,00	2,48E-05	1,4901E-05	315	6,00	-	-	-	-	3
Площадка		Цех	Источник		Вклад (д. ПДК)		Вклад (мг/куб.м)		Вклад %			
10		10	6010		2,48E-05		1,4901E-05		100,00			

1	2202,26	2656,25	2,00	2,11E-05	1,2642E-05	168	6,00	-	-	-	-	3
Площадка		Цех	Источник		Вклад (д. ПДК)		Вклад (мг/куб.м)		Вклад %			
10		10	6010		2,11E-05		1,2642E-05		100,00			

2	2506,70	2611,58	2,00	2,07E-05	1,2418E-05	210	6,00	-	-	-	-	3
Площадка		Цех	Источник		Вклад (д. ПДК)		Вклад (мг/куб.м)		Вклад %			
10		10	6010		2,07E-05		1,2418E-05		100,00			

6	1942,95	1952,32	2,00	1,93E-05	1,1563E-05	51	6,00	-	-	-	-	3
Площадка		Цех	Источник		Вклад (д. ПДК)		Вклад (мг/куб.м)		Вклад %			
10		10	6010		1,93E-05		1,1563E-05		100,00			

7	1745,41	2294,48	2,00	1,33E-05	7,9892E-06	96	6,00	-	-	-	-	3
Площадка		Цех	Источник		Вклад (д. ПДК)		Вклад (мг/куб.м)		Вклад %			
10		10	6010		1,33E-05		7,9892E-06		100,00			

8	1813,13	2550,14	2,00	1,23E-05	7,3925E-06	123	6,00	-	-	-	-	3
Площадка		Цех	Источник		Вклад (д. ПДК)		Вклад (мг/куб.м)		Вклад %			
10		10	6010		1,23E-05		7,3925E-06		100,00			

**Вещество: 1071 Гидроксibenзол (Фенол)**

№	Коорд Х(м)	Коорд Y(м)	Высота (м)	Концентр (д. ПДК)	Концентр. (мг/куб.м)	Напр ветр	Скор ветр	Фон		Фон до исключения		Тип точки
								доли ПДК	мг/куб.м	доли ПДК	мг/куб.м	
7	1745,41	2294,48	2,00	9,07E-04	9,0695E-06	84	6,00	-	-	-	-	3

Площадка		Цех	Источник		Вклад (д. ПДК)		Вклад (мг/куб.м)		Вклад %		
10		10	6002		9,01E-04		9,0127E-06		99,37		
10		10	6009		5,68E-06		5,6791E-08		0,63		

8	1813,13	2550,14	2,00	8,38E-04	8,3793E-06	125	6,00	-	-	-	-	3
Площадка		Цех	Источник		Вклад (д. ПДК)		Вклад (мг/куб.м)		Вклад %			
10		10	6002		8,34E-04		8,3365E-06		99,49			
10		10	6009		4,28E-06		4,2759E-08		0,51			

1	2202,26	2656,25	2,00	7,66E-04	7,6575E-06	192	1,73	-	-	-	-	3
Площадка		Цех	Источник		Вклад (д. ПДК)		Вклад (мг/куб.м)		Вклад %			
10		10	6002		7,62E-04		7,6203E-06		99,51			
10		10	6009		3,72E-06		3,7215E-08		0,49			

2	2506,70	2611,58	2,00	6,47E-04	6,4680E-06	233	6,00	-	-	-	-	3
Площадка		Цех	Источник		Вклад (д. ПДК)		Вклад (мг/куб.м)		Вклад %			
10		10	6002		6,42E-04		6,4245E-06		99,33			



	Х(м)	У(м)		(д. ПДК)	(мг/куб.м)	ветр	ветр	доли ПДК	мг/куб.м	доли ПДК	мг/куб.м	
3	2650,67	2282,66	2,00	2,53E-04	7,5854E-06	263	6,00	-	-	-	-	3
Площадка Цех			Источник	Вклад (д. ПДК)			Вклад (мг/куб.м)		Вклад %			
10			10	6010	2,53E-04			7,5854E-06		100,00		
5	2209,05	1871,57	2,00	2,40E-04	7,1890E-06	12	6,00	-	-	-	-	3
Площадка Цех			Источник	Вклад (д. ПДК)			Вклад (мг/куб.м)		Вклад %			
10			10	6010	2,40E-04			7,1890E-06		100,00		
4	2563,22	1961,23	2,00	2,25E-04	6,7522E-06	315	6,00	-	-	-	-	3
Площадка Цех			Источник	Вклад (д. ПДК)			Вклад (мг/куб.м)		Вклад %			
10			10	6010	2,25E-04			6,7522E-06		100,00		
1	2202,26	2656,25	2,00	1,91E-04	5,7282E-06	168	6,00	-	-	-	-	3
Площадка Цех			Источник	Вклад (д. ПДК)			Вклад (мг/куб.м)		Вклад %			
10			10	6010	1,91E-04			5,7282E-06		100,00		
2	2506,70	2611,58	2,00	1,88E-04	5,6271E-06	210	6,00	-	-	-	-	3
Площадка Цех			Источник	Вклад (д. ПДК)			Вклад (мг/куб.м)		Вклад %			
10			10	6010	1,88E-04			5,6271E-06		100,00		
6	1942,95	1952,32	2,00	1,75E-04	5,2395E-06	51	6,00	-	-	-	-	3
Площадка Цех			Источник	Вклад (д. ПДК)			Вклад (мг/куб.м)		Вклад %			
10			10	6010	1,75E-04			5,2395E-06		100,00		
7	1745,41	2294,48	2,00	1,21E-04	3,6201E-06	96	6,00	-	-	-	-	3
Площадка Цех			Источник	Вклад (д. ПДК)			Вклад (мг/куб.м)		Вклад %			
10			10	6010	1,21E-04			3,6201E-06		100,00		
8	1813,13	2550,14	2,00	1,12E-04	3,3497E-06	123	6,00	-	-	-	-	3
Площадка Цех			Источник	Вклад (д. ПДК)			Вклад (мг/куб.м)		Вклад %			
10			10	6010	1,12E-04			3,3497E-06		100,00		

**Вещество: 1401 Пропан-2-он (Ацетон)**

№	Коорд Х(м)	Коорд У(м)	Высота (м)	Концентр (д. ПДК)	Концентр. (мг/куб.м)	Напр ветр а	Скор ветр а	Фон		Фон до исключения		Тип точки
								доли ПДК	мг/куб.м	доли ПДК	мг/куб.м	
7	1745,41	2294,48	2,00	9,71E-06	3,3991E-06	84	6,00	-	-	-	-	3
Площадка Цех			Источник	Вклад (д. ПДК)			Вклад (мг/куб.м)		Вклад %			
10			10	6002	9,71E-06			3,3991E-06		100,00		
8	1813,13	2550,14	2,00	8,98E-06	3,1441E-06	125	6,00	-	-	-	-	3
Площадка Цех			Источник	Вклад (д. ПДК)			Вклад (мг/куб.м)		Вклад %			
10			10	6002	8,98E-06			3,1441E-06		100,00		
1	2202,26	2656,25	2,00	8,21E-06	2,8739E-06	192	1,73	-	-	-	-	3
Площадка Цех			Источник	Вклад (д. ПДК)			Вклад (мг/куб.м)		Вклад %			
10			10	6002	8,21E-06			2,8739E-06		100,00		
2	2506,70	2611,58	2,00	6,92E-06	2,4230E-06	233	6,00	-	-	-	-	3
Площадка Цех			Источник	Вклад (д. ПДК)			Вклад (мг/куб.м)		Вклад %			
10			10	6002	6,92E-06			2,4230E-06		100,00		
6	1942,95	1952,32	2,00	6,67E-06	2,3344E-06	26	6,00	-	-	-	-	3
Площадка Цех			Источник	Вклад (д. ПДК)			Вклад (мг/куб.м)		Вклад %			
10			10	6002	6,67E-06			2,3344E-06		100,00		
3	2650,67	2282,66	2,00	6,09E-06	2,1318E-06	276	6,00	-	-	-	-	3
Площадка Цех			Источник	Вклад (д. ПДК)			Вклад (мг/куб.м)		Вклад %			
10			10	6002	6,09E-06			2,1318E-06		100,00		
5	2209,05	1871,57	2,00	5,75E-06	2,0132E-06	350	6,00	-	-	-	-	3
Площадка Цех			Источник	Вклад (д. ПДК)			Вклад (мг/куб.м)		Вклад %			
10			10	6002	5,75E-06			2,0132E-06		100,00		
4	2563,22	1961,23	2,00	5,16E-06	1,8064E-06	311	6,00	-	-	-	-	3

Площадка	Цех	Источник	Вклад (д. ПДК)	Вклад (мг/куб.м)	Вклад %
10	10	6002	5,16E-06	1,8064E-06	100,00

**Вещество: 1716 Смесь природных меркаптанов /в пересчете на этилмеркаптан/ (Одор**

№	Коорд Х(м)	Коорд Y(м)	Высота (м)	Концентр (д. ПДК)	Концентр. (мг/куб.м)	Напр ветра	Скор ветра	Фон		Фон до исключения		Тип точки
								доли ПДК	мг/куб.м	доли ПДК	мг/куб.м	
7	1745,41	2294,48	2,00	0,07	3,4031E-06	84	6,00	-	-	-	-	3

Площадка	Цех	Источник	Вклад (д. ПДК)	Вклад (мг/куб.м)	Вклад %
10	10	6002	0,07	3,3991E-06	99,88
10	10	6009	7,95E-05	3,9754E-09	0,12

8	1813,13	2550,14	2,00	0,06	3,1471E-06	125	6,00	-	-	-	-	3
---	---------	---------	------	------	------------	-----	------	---	---	---	---	---

Площадка	Цех	Источник	Вклад (д. ПДК)	Вклад (мг/куб.м)	Вклад %
10	10	6002	0,06	3,1441E-06	99,90
10	10	6009	5,99E-05	2,9931E-09	0,10

1	2202,26	2656,25	2,00	0,06	2,8765E-06	192	1,73	-	-	-	-	3
---	---------	---------	------	------	------------	-----	------	---	---	---	---	---

Площадка	Цех	Источник	Вклад (д. ПДК)	Вклад (мг/куб.м)	Вклад %
10	10	6002	0,06	2,8739E-06	99,91
10	10	6009	5,21E-05	2,6051E-09	0,09

2	2506,70	2611,58	2,00	0,05	2,4260E-06	233	6,00	-	-	-	-	3
---	---------	---------	------	------	------------	-----	------	---	---	---	---	---

Площадка	Цех	Источник	Вклад (д. ПДК)	Вклад (мг/куб.м)	Вклад %
10	10	6002	0,05	2,4230E-06	99,87
10	10	6009	6,09E-05	3,0443E-09	0,13

6	1942,95	1952,32	2,00	0,05	2,3359E-06	26	6,00	-	-	-	-	3
---	---------	---------	------	------	------------	----	------	---	---	---	---	---

Площадка	Цех	Источник	Вклад (д. ПДК)	Вклад (мг/куб.м)	Вклад %
10	10	6002	0,05	2,3344E-06	99,93
10	10	6009	3,12E-05	1,5610E-09	0,07

3	2650,67	2282,66	2,00	0,04	2,1358E-06	276	6,00	-	-	-	-	3
---	---------	---------	------	------	------------	-----	------	---	---	---	---	---

Площадка	Цех	Источник	Вклад (д. ПДК)	Вклад (мг/куб.м)	Вклад %
10	10	6002	0,04	2,1318E-06	99,81
10	10	6009	8,19E-05	4,0952E-09	0,19

5	2209,05	1871,57	2,00	0,04	2,0145E-06	350	6,00	-	-	-	-	3
---	---------	---------	------	------	------------	-----	------	---	---	---	---	---

Площадка	Цех	Источник	Вклад (д. ПДК)	Вклад (мг/куб.м)	Вклад %
10	10	6002	0,04	2,0132E-06	99,93
10	10	6009	2,77E-05	1,3830E-09	0,07

4	2563,22	1961,23	2,00	0,04	1,8090E-06	311	6,00	-	-	-	-	3
---	---------	---------	------	------	------------	-----	------	---	---	---	---	---

Площадка	Цех	Источник	Вклад (д. ПДК)	Вклад (мг/куб.м)	Вклад %
10	10	6002	0,04	1,8064E-06	99,86
10	10	6009	5,07E-05	2,5325E-09	0,14

**Вещество: 2732 Керосин**

№	Коорд Х(м)	Коорд Y(м)	Высота (м)	Концентр (д. ПДК)	Концентр. (мг/куб.м)	Напр ветра	Скор ветра	Фон		Фон до исключения		Тип точки
								доли ПДК	мг/куб.м	доли ПДК	мг/куб.м	
1	2202,26	2656,25	2,00	0,02	0,0223	170	3,22	-	-	-	-	3

Площадка	Цех	Источник	Вклад (д. ПДК)	Вклад (мг/куб.м)	Вклад %
10	10	6001	0,01	0,0178	80,08
10	10	6008	1,75E-03	0,0021	9,42
10	10	6004	1,51E-03	0,0018	8,14

2	2506,70	2611,58	2,00	0,02	0,0180	221	4,40	-	-	-	-	3
---	---------	---------	------	------	--------	-----	------	---	---	---	---	---

Площадка	Цех	Источник	Вклад (д. ПДК)	Вклад (мг/куб.м)	Вклад %
10	10	6001	0,01	0,0151	83,94

	10		10	6004		2,13E-03		0,0026		14,18		
	10		10	6003		9,96E-05		0,0001		0,66		
4	2563,22	1961,23	2,00	0,01	0,0154	317	3,22	-	-	-	-	3
	Площадка	Цех	Источник	Вклад (д. ПДК)	Вклад (мг/куб.м)	Вклад %						
	10		10	6001		7,33E-03		0,0088		57,08		
	10		10	6008		3,47E-03		0,0042		27,06		
	10		10	6004		1,51E-03		0,0018		11,77		
3	2650,67	2282,66	2,00	0,01	0,0154	276	3,22	-	-	-	-	3
	Площадка	Цех	Источник	Вклад (д. ПДК)	Вклад (мг/куб.м)	Вклад %						
	10		10	6001		0,01		0,0134		87,18		
	10		10	6004		1,16E-03		0,0014		9,08		
	10		10	6003		2,16E-04		0,0003		1,68		
5	2209,05	1871,57	2,00	0,01	0,0143	9	0,93	-	-	-	-	3
	Площадка	Цех	Источник	Вклад (д. ПДК)	Вклад (мг/куб.м)	Вклад %						
	10		10	6001		7,04E-03		0,0084		58,85		
	10		10	6008		2,51E-03		0,0030		21,01		
	10		10	6004		1,86E-03		0,0022		15,57		
6	1942,95	1952,32	2,00	0,01	0,0137	40	6,00	-	-	-	-	3
	Площадка	Цех	Источник	Вклад (д. ПДК)	Вклад (мг/куб.м)	Вклад %						
	10		10	6001		8,89E-03		0,0107		77,97		
	10		10	6004		2,35E-03		0,0028		20,64		
	10		10	6006		7,82E-05		9,3846E-05		0,69		
8	1813,13	2550,14	2,00	0,01	0,0122	118	6,00	-	-	-	-	3
	Площадка	Цех	Источник	Вклад (д. ПДК)	Вклад (мг/куб.м)	Вклад %						
	10		10	6001		8,28E-03		0,0099		81,31		
	10		10	6004		9,59E-04		0,0012		9,42		
	10		10	6008		6,86E-04		0,0008		6,75		
7	1745,41	2294,48	2,00	9,95E-03	0,0119	87	6,00	-	-	-	-	3
	Площадка	Цех	Источник	Вклад (д. ПДК)	Вклад (мг/куб.м)	Вклад %						
	10		10	6001		8,17E-03		0,0098		82,09		
	10		10	6004		1,13E-03		0,0014		11,35		
	10		10	6003		3,35E-04		0,0004		3,37		

**Вещество: 2754 Углеводороды предельные C12-C19**

№	Коорд Х(м)	Коорд Y(м)	Высота (м)	Концентр (д. ПДК)	Концентр. (мг/куб.м)	Напр ветр	Скор ветр	Фон		Фон до исключения		Тип точки
								доли ПДК	мг/куб.м	доли ПДК	мг/куб.м	
7	1745,41	2294,48	2,00	3,38E-03	0,0034	84	6,00	-	-	-	-	3
	Площадка	Цех	Источник	Вклад (д. ПДК)	Вклад (мг/куб.м)	Вклад %						
	10		10	6002		3,38E-03		0,0034		100,00		
8	1813,13	2550,14	2,00	3,12E-03	0,0031	125	6,00	-	-	-	-	3
	Площадка	Цех	Источник	Вклад (д. ПДК)	Вклад (мг/куб.м)	Вклад %						
	10		10	6002		3,12E-03		0,0031		100,00		
1	2202,26	2656,25	2,00	2,86E-03	0,0029	192	1,73	-	-	-	-	3
	Площадка	Цех	Источник	Вклад (д. ПДК)	Вклад (мг/куб.м)	Вклад %						
	10		10	6002		2,86E-03		0,0029		100,00		
2	2506,70	2611,58	2,00	2,41E-03	0,0024	233	6,00	-	-	-	-	3
	Площадка	Цех	Источник	Вклад (д. ПДК)	Вклад (мг/куб.м)	Вклад %						
	10		10	6002		2,41E-03		0,0024		100,00		
6	1942,95	1952,32	2,00	2,32E-03	0,0023	26	6,00	-	-	-	-	3
	Площадка	Цех	Источник	Вклад (д. ПДК)	Вклад (мг/куб.м)	Вклад %						
	10		10	6002		2,32E-03		0,0023		100,00		

3	2650,67	2282,66	2,00	2,12E-03	0,0021	276	6,00	-	-	-	-	3
Площадка		Цех	Источник		Вклад (д. ПДК)		Вклад (мг/куб.м)		Вклад %			
10		10	6002		2,12E-03		0,0021		100,00			
5	2209,05	1871,57	2,00	2,00E-03	0,0020	350	6,00	-	-	-	-	3
Площадка		Цех	Источник		Вклад (д. ПДК)		Вклад (мг/куб.м)		Вклад %			
10		10	6002		2,00E-03		0,0020		100,00			
4	2563,22	1961,23	2,00	1,79E-03	0,0018	311	6,00	-	-	-	-	3
Площадка		Цех	Источник		Вклад (д. ПДК)		Вклад (мг/куб.м)		Вклад %			
10		10	6002		1,79E-03		0,0018		100,00			

### Вещество: 2902 Взвешенные вещества

№	Коорд Х(м)	Коорд Y(м)	Высота (м)	Концентр (д. ПДК)	Концентр. (мг/куб.м)	Напр ветр а	Скор ветр а	Фон		Фон до исключения		Тип точки
								доли ПДК	мг/куб.м	доли ПДК	мг/куб.м	
7	1745,41	2294,48	2,00	5,84E-04	0,0003	84	6,00	-	-	-	-	3
Площадка		Цех	Источник		Вклад (д. ПДК)		Вклад (мг/куб.м)		Вклад %			
10		10	6002		5,84E-04		0,0003		100,00			
8	1813,13	2550,14	2,00	5,43E-04	0,0003	125	6,00	-	-	-	-	3
Площадка		Цех	Источник		Вклад (д. ПДК)		Вклад (мг/куб.м)		Вклад %			
10		10	6002		5,43E-04		0,0003		100,00			
1	2202,26	2656,25	2,00	5,38E-04	0,0003	193	6,00	-	-	-	-	3
Площадка		Цех	Источник		Вклад (д. ПДК)		Вклад (мг/куб.м)		Вклад %			
10		10	6002		5,38E-04		0,0003		100,00			
6	1942,95	1952,32	2,00	3,29E-04	0,0002	25	6,00	-	-	-	-	3
Площадка		Цех	Источник		Вклад (д. ПДК)		Вклад (мг/куб.м)		Вклад %			
10		10	6002		3,29E-04		0,0002		100,00			
2	2506,70	2611,58	2,00	3,04E-04	0,0002	233	6,00	-	-	-	-	3
Площадка		Цех	Источник		Вклад (д. ПДК)		Вклад (мг/куб.м)		Вклад %			
10		10	6002		3,04E-04		0,0002		100,00			
5	2209,05	1871,57	2,00	2,50E-04	0,0001	350	6,00	-	-	-	-	3
Площадка		Цех	Источник		Вклад (д. ПДК)		Вклад (мг/куб.м)		Вклад %			
10		10	6002		2,50E-04		0,0001		100,00			
3	2650,67	2282,66	2,00	2,42E-04	0,0001	276	6,00	-	-	-	-	3
Площадка		Цех	Источник		Вклад (д. ПДК)		Вклад (мг/куб.м)		Вклад %			
10		10	6002		2,42E-04		0,0001		100,00			
4	2563,22	1961,23	2,00	1,95E-04	9,7729E-05	311	6,00	-	-	-	-	3
Площадка		Цех	Источник		Вклад (д. ПДК)		Вклад (мг/куб.м)		Вклад %			
10		10	6002		1,95E-04		9,7729E-05		100,00			

### Вещество: 6003 Аммиак, сероводород

№	Коорд Х(м)	Коорд Y(м)	Высота (м)	Концентр (д. ПДК)	Концентр. (мг/куб.м)	Напр ветр а	Скор ветр а	Фон		Фон до исключения		Тип точки
								доли ПДК	мг/куб.м	доли ПДК	мг/куб.м	
7	1745,41	2294,48	2,00	1,06E-03	-	84	6,00	-	-	-	-	3
Площадка		Цех	Источник		Вклад (д. ПДК)		Вклад (мг/куб.м)		Вклад %			
10		10	6002		9,31E-04		0,0000		87,72			
10		10	6009		1,30E-04		0,0000		12,28			
8	1813,13	2550,14	2,00	9,64E-04	-	124	6,00	-	-	-	-	3
Площадка		Цех	Источник		Вклад (д. ПДК)		Вклад (мг/куб.м)		Вклад %			
10		10	6002		8,52E-04		0,0000		88,37			
10		10	6009		1,12E-04		0,0000		11,63			
1	2202,26	2656,25	2,00	8,92E-04	-	191	0,93	-	-	-	-	3

Площадка	Цех	Источник	Вклад (д. ПДК)	Вклад (мг/куб.м)	Вклад %						
10	10	6002	7,69E-04	0,0000	86,23						
10	10	6009	1,23E-04	0,0000	13,77						
2	2506,70	2611,58	2,00	7,65E-04	-	232	6,00	-	-	-	3
Площадка	Цех	Источник	Вклад (д. ПДК)	Вклад (мг/куб.м)	Вклад %						
10	10	6002	6,50E-04	0,0000	84,87						
10	10	6009	1,16E-04	0,0000	15,13						
3	2650,67	2282,66	2,00	7,18E-04	-	276	6,00	-	-	-	3
Площадка	Цех	Источник	Вклад (д. ПДК)	Вклад (мг/куб.м)	Вклад %						
10	10	6002	5,84E-04	0,0000	81,31						
10	10	6009	1,34E-04	0,0000	18,69						
6	1942,95	1952,32	2,00	6,95E-04	-	27	6,00	-	-	-	3
Площадка	Цех	Источник	Вклад (д. ПДК)	Вклад (мг/куб.м)	Вклад %						
10	10	6002	6,30E-04	0,0000	90,72						
10	10	6009	6,45E-05	0,0000	9,28						
5	2209,05	1871,57	2,00	6,09E-04	-	352	6,00	-	-	-	3
Площадка	Цех	Источник	Вклад (д. ПДК)	Вклад (мг/куб.м)	Вклад %						
10	10	6002	5,38E-04	0,0000	88,24						
10	10	6009	7,16E-05	0,0000	11,76						
4	2563,22	1961,23	2,00	5,78E-04	-	311	6,00	-	-	-	3
Площадка	Цех	Источник	Вклад (д. ПДК)	Вклад (мг/куб.м)	Вклад %						
10	10	6002	4,95E-04	0,0000	85,64						
10	10	6009	8,30E-05	0,0000	14,36						

**Вещество: 6004 Аммиак, сероводород, формальдегид**

№	Коорд Х(м)	Коорд Y(м)	Высота (м)	Концентр (д. ПДК)	Концентр. (мг/куб.м)	Напр ветр	Скор ветр	Фон		Фон до исключения		Тип точки
								доли ПДК	мг/куб.м	доли ПДК	мг/куб.м	
7	1745,41	2294,48	2,00	1,28E-03	-	84	6,00	-	-	-	-	3
Площадка	Цех	Источник	Вклад (д. ПДК)	Вклад (мг/куб.м)	Вклад %							
10	10	6002	1,15E-03	0,0000	89,73							
10	10	6009	1,31E-04	0,0000	10,27							
8	1813,13	2550,14	2,00	1,16E-03	-	124	6,00	-	-	-	3	
Площадка	Цех	Источник	Вклад (д. ПДК)	Вклад (мг/куб.м)	Вклад %							
10	10	6002	1,05E-03	0,0000	90,28							
10	10	6009	1,13E-04	0,0000	9,72							
1	2202,26	2656,25	2,00	1,07E-03	-	191	0,93	-	-	-	3	
Площадка	Цех	Источник	Вклад (д. ПДК)	Вклад (мг/куб.м)	Вклад %							
10	10	6002	9,49E-04	0,0000	88,45							
10	10	6009	1,24E-04	0,0000	11,55							
2	2506,70	2611,58	2,00	9,20E-04	-	233	6,00	-	-	-	3	
Площадка	Цех	Источник	Вклад (д. ПДК)	Вклад (мг/куб.м)	Вклад %							
10	10	6002	8,19E-04	0,0000	89,05							
10	10	6009	1,01E-04	0,0000	10,95							
3	2650,67	2282,66	2,00	8,56E-04	-	276	6,00	-	-	-	3	
Площадка	Цех	Источник	Вклад (д. ПДК)	Вклад (мг/куб.м)	Вклад %							
10	10	6002	7,20E-04	0,0000	84,18							
10	10	6009	1,35E-04	0,0000	15,82							
6	1942,95	1952,32	2,00	8,42E-04	-	27	6,00	-	-	-	3	
Площадка	Цех	Источник	Вклад (д. ПДК)	Вклад (мг/куб.м)	Вклад %							
10	10	6002	7,77E-04	0,0000	92,28							
10	10	6009	6,50E-05	0,0000	7,72							

5	2209,05	1871,57	2,00	7,36E-04	-	351	6,00	-	-	-	-	-	3
	Площадка	Цех		Источник		Вклад (д. ПДК)		Вклад (мг/куб.м)		Вклад %			
	10		10	6002		6,77E-04		0,0000		92,06			
	10		10	6009		5,84E-05		0,0000		7,94			

4	2563,22	1961,23	2,00	6,94E-04	-	311	6,00	-	-	-	-	-	3
	Площадка	Цех		Источник		Вклад (д. ПДК)		Вклад (мг/куб.м)		Вклад %			
	10		10	6002		6,10E-04		0,0000		87,94			
	10		10	6009		8,38E-05		0,0000		12,06			

**Вещество: 6005 Аммиак, формальдегид**

№	Коорд X(м)	Коорд Y(м)	Высота (м)	Концентр (д. ПДК)	Концентр. (мг/куб.м)	Напр ветра	Скор ветра	Фон		Фон до исключения		Тип точки	
								доли ПДК	мг/куб.м	доли ПДК	мг/куб.м		
7	1745,41	2294,48	2,00	7,28E-04	-	84	6,00	-	-	-	-	-	3
	Площадка	Цех		Источник		Вклад (д. ПДК)		Вклад (мг/куб.м)		Вклад %			
	10		10	6002		7,24E-04		0,0000		99,49			
	10		10	6009		3,69E-06		0,0000		0,51			

8	1813,13	2550,14	2,00	6,72E-04	-	125	6,00	-	-	-	-	-	3
	Площадка	Цех		Источник		Вклад (д. ПДК)		Вклад (мг/куб.м)		Вклад %			
	10		10	6002		6,70E-04		0,0000		99,59			
	10		10	6009		2,78E-06		0,0000		0,41			

1	2202,26	2656,25	2,00	6,14E-04	-	192	1,73	-	-	-	-	-	3
	Площадка	Цех		Источник		Вклад (д. ПДК)		Вклад (мг/куб.м)		Вклад %			
	10		10	6002		6,12E-04		0,0000		99,61			
	10		10	6009		2,42E-06		0,0000		0,39			

2	2506,70	2611,58	2,00	5,19E-04	-	233	6,00	-	-	-	-	-	3
	Площадка	Цех		Источник		Вклад (д. ПДК)		Вклад (мг/куб.м)		Вклад %			
	10		10	6002		5,16E-04		0,0000		99,46			
	10		10	6009		2,83E-06		0,0000		0,54			

6	1942,95	1952,32	2,00	4,99E-04	-	26	6,00	-	-	-	-	-	3
	Площадка	Цех		Источник		Вклад (д. ПДК)		Вклад (мг/куб.м)		Вклад %			
	10		10	6002		4,97E-04		0,0000		99,71			
	10		10	6009		1,45E-06		0,0000		0,29			

3	2650,67	2282,66	2,00	4,58E-04	-	276	6,00	-	-	-	-	-	3
	Площадка	Цех		Источник		Вклад (д. ПДК)		Вклад (мг/куб.м)		Вклад %			
	10		10	6002		4,54E-04		0,0000		99,17			
	10		10	6009		3,80E-06		0,0000		0,83			

5	2209,05	1871,57	2,00	4,30E-04	-	350	6,00	-	-	-	-	-	3
	Площадка	Цех		Источник		Вклад (д. ПДК)		Вклад (мг/куб.м)		Вклад %			
	10		10	6002		4,29E-04		0,0000		99,70			
	10		10	6009		1,28E-06		0,0000		0,30			

4	2563,22	1961,23	2,00	3,87E-04	-	311	6,00	-	-	-	-	-	3
	Площадка	Цех		Источник		Вклад (д. ПДК)		Вклад (мг/куб.м)		Вклад %			
	10		10	6002		3,85E-04		0,0000		99,39			
	10		10	6009		2,35E-06		0,0000		0,61			

**Вещество: 6010 Азота диоксид, серы диоксид, углерода оксид, фенол**

№	Коорд X(м)	Коорд Y(м)	Высота (м)	Концентр (д. ПДК)	Концентр. (мг/куб.м)	Напр ветра	Скор ветра	Фон		Фон до исключения		Тип точки	
								доли ПДК	мг/куб.м	доли ПДК	мг/куб.м		
1	2202,26	2656,25	2,00	0,39	-	171	3,22	-	-	-	-	-	3
	Площадка	Цех		Источник		Вклад (д. ПДК)		Вклад (мг/куб.м)		Вклад %			

	10		10	6001		0,34		0,0000	86,51		
	10		10	6004		0,04		0,0000	10,48		
	10		10	6005		3,72E-03		0,0000	0,95		
2	2506,70	2611,58	2,00	0,35	-	221	4,40	-	-	-	3
	Площадка	Цех	Источник	Вклад (д. ПДК)	Вклад (мг/куб.м)	Вклад %					
	10		10	6001		0,29		0,0000	83,85		
	10		10	6004		0,05		0,0000	14,64		
	10		10	6003		1,94E-03		0,0000	0,56		
3	2650,67	2282,66	2,00	0,29	-	276	3,22	-	-	-	3
	Площадка	Цех	Источник	Вклад (д. ПДК)	Вклад (мг/куб.м)	Вклад %					
	10		10	6001		0,26		0,0000	87,08		
	10		10	6004		0,03		0,0000	9,38		
	10		10	6003		4,20E-03		0,0000	1,43		
5	2209,05	1871,57	2,00	0,27	-	6	6,00	-	-	-	3
	Площадка	Цех	Источник	Вклад (д. ПДК)	Вклад (мг/куб.м)	Вклад %					
	10		10	6001		0,22		0,0000	81,42		
	10		10	6004		0,05		0,0000	16,63		
	10		10	6005		2,16E-03		0,0000	0,80		
6	1942,95	1952,32	2,00	0,26	-	40	6,00	-	-	-	3
	Площадка	Цех	Источник	Вклад (д. ПДК)	Вклад (мг/куб.м)	Вклад %					
	10		10	6001		0,20		0,0000	77,59		
	10		10	6004		0,06		0,0000	21,23		
	10		10	6006		1,40E-03		0,0000	0,53		
4	2563,22	1961,23	2,00	0,24	-	320	6,00	-	-	-	3
	Площадка	Цех	Источник	Вклад (д. ПДК)	Вклад (мг/куб.м)	Вклад %					
	10		10	6001		0,21		0,0000	87,81		
	10		10	6004		0,02		0,0000	7,35		
	10		10	6008		4,17E-03		0,0000	1,74		
7	1745,41	2294,48	2,00	0,23	-	87	6,00	-	-	-	3
	Площадка	Цех	Источник	Вклад (д. ПДК)	Вклад (мг/куб.м)	Вклад %					
	10		10	6001		0,19		0,0000	82,24		
	10		10	6004		0,03		0,0000	11,75		
	10		10	6003		6,52E-03		0,0000	2,86		
8	1813,13	2550,14	2,00	0,22	-	117	6,00	-	-	-	3
	Площадка	Цех	Источник	Вклад (д. ПДК)	Вклад (мг/куб.м)	Вклад %					
	10		10	6001		0,20		0,0000	88,84		
	10		10	6004		0,02		0,0000	8,10		
	10		10	6005		2,03E-03		0,0000	0,91		

**Вещество: 6013 Ацетон и фенол**

№	Коорд Х(м)	Коорд Y(м)	Высота (м)	Концентр (д. ПДК)	Концентр. (мг/куб.м)	Напр ветр а	Скор ветр а	Фон		Фон до исключения		Тип точки
								доли ПДК	мг/куб.м	доли ПДК	мг/куб.м	
7	1745,41	2294,48	2,00	9,17E-04	-	84	6,00	-	-	-	-	3
	Площадка	Цех	Источник	Вклад (д. ПДК)	Вклад (мг/куб.м)	Вклад %						
	10		10	6002		9,11E-04		0,0000	99,38			
	10		10	6009		5,68E-06		0,0000	0,62			
8	1813,13	2550,14	2,00	8,47E-04	-	125	6,00	-	-	-	-	3
	Площадка	Цех	Источник	Вклад (д. ПДК)	Вклад (мг/куб.м)	Вклад %						
	10		10	6002		8,43E-04		0,0000	99,50			
	10		10	6009		4,28E-06		0,0000	0,50			
1	2202,26	2656,25	2,00	7,74E-04	-	192	1,73	-	-	-	-	3

Площадка	Цех	Источник	Вклад (д. ПДК)	Вклад (мг/куб.м)	Вклад %						
10	10	6002	7,70E-04	0,0000	99,52						
10	10	6009	3,72E-06	0,0000	0,48						
2	2506,70	2611,58	2,00	6,54E-04	-	233	6,00	-	-	-	3
Площадка	Цех	Источник	Вклад (д. ПДК)	Вклад (мг/куб.м)	Вклад %						
10	10	6002	6,49E-04	0,0000	99,33						
10	10	6009	4,35E-06	0,0000	0,67						
6	1942,95	1952,32	2,00	6,28E-04	-	26	6,00	-	-	-	3
Площадка	Цех	Источник	Вклад (д. ПДК)	Вклад (мг/куб.м)	Вклад %						
10	10	6002	6,26E-04	0,0000	99,64						
10	10	6009	2,23E-06	0,0000	0,36						
3	2650,67	2282,66	2,00	5,77E-04	-	276	6,00	-	-	-	3
Площадка	Цех	Источник	Вклад (д. ПДК)	Вклад (мг/куб.м)	Вклад %						
10	10	6002	5,71E-04	0,0000	98,99						
10	10	6009	5,85E-06	0,0000	1,01						
5	2209,05	1871,57	2,00	5,42E-04	-	350	6,00	-	-	-	3
Площадка	Цех	Источник	Вклад (д. ПДК)	Вклад (мг/куб.м)	Вклад %						
10	10	6002	5,40E-04	0,0000	99,64						
10	10	6009	1,98E-06	0,0000	0,36						
4	2563,22	1961,23	2,00	4,88E-04	-	311	6,00	-	-	-	3
Площадка	Цех	Источник	Вклад (д. ПДК)	Вклад (мг/куб.м)	Вклад %						
10	10	6002	4,84E-04	0,0000	99,26						
10	10	6009	3,62E-06	0,0000	0,74						

### Вещество: 6035 Сероводород, формальдегид

№	Коорд Х(м)	Коорд Y(м)	Высота (м)	Концентр (д. ПДК)	Концентр. (мг/куб.м)	Напр ветр	Скор ветр	Фон		Фон до исключения		Тип точки
								доли ПДК	мг/куб.м	доли ПДК	мг/куб.м	
7	1745,41	2294,48	2,00	0,82	-	84	6,00	0,82	-	0,82	-	3
Площадка	Цех	Источник	Вклад (д. ПДК)	Вклад (мг/куб.м)	Вклад %							
10	10	6002	6,42E-04	0,0000	0,08							
10	10	6009	1,29E-04	0,0000	0,02							
8	1813,13	2550,14	2,00	0,82	-	124	6,00	0,82	-	0,82	-	3
Площадка	Цех	Источник	Вклад (д. ПДК)	Вклад (мг/куб.м)	Вклад %							
10	10	6002	5,87E-04	0,0000	0,07							
10	10	6009	1,11E-04	0,0000	0,01							
1	2202,26	2656,25	2,00	0,82	-	190	0,93	0,82	-	0,82	-	3
Площадка	Цех	Источник	Вклад (д. ПДК)	Вклад (мг/куб.м)	Вклад %							
10	10	6002	5,26E-04	0,0000	0,06							
10	10	6009	1,28E-04	0,0000	0,02							
2	2506,70	2611,58	2,00	0,82	-	232	6,00	0,82	-	0,82	-	3
Площадка	Цех	Источник	Вклад (д. ПДК)	Вклад (мг/куб.м)	Вклад %							
10	10	6002	4,48E-04	0,0000	0,05							
10	10	6009	1,15E-04	0,0000	0,01							
3	2650,67	2282,66	2,00	0,82	-	276	6,00	0,82	-	0,82	-	3
Площадка	Цех	Источник	Вклад (д. ПДК)	Вклад (мг/куб.м)	Вклад %							
10	10	6002	4,03E-04	0,0000	0,05							
10	10	6009	1,33E-04	0,0000	0,02							
6	1942,95	1952,32	2,00	0,82	-	28	6,00	0,82	-	0,82	-	3
Площадка	Цех	Источник	Вклад (д. ПДК)	Вклад (мг/куб.м)	Вклад %							
10	10	6002	4,21E-04	0,0000	0,05							
10	10	6009	7,78E-05	0,0000	0,01							

5	2209,05	1871,57	2,00	0,82	-	352	6,00	0,82	-	0,82	-	3
Площадка	Цех	Источник	Вклад (д. ПДК)		Вклад (мг/куб.м)		Вклад %					
10	10	6002	3,71E-04		0,0000		0,05					
10	10	6009	7,08E-05		0,0000		0,01					

4	2563,22	1961,23	2,00	0,82	-	312	6,00	0,82	-	0,82	-	3
Площадка	Цех	Источник	Вклад (д. ПДК)		Вклад (мг/куб.м)		Вклад %					
10	10	6002	3,34E-04		0,0000		0,04					
10	10	6009	9,14E-05		0,0000		0,01					

**Вещество: 6038 Серы диоксид и фенол**

№	Коорд Х(м)	Коорд Y(м)	Высота (м)	Концентр (д. ПДК)	Концентр. (мг/куб.м)	Напр ветра	Скор ветра	Фон		Фон до исключения		Тип точки
								доли ПДК	мг/куб.м	доли ПДК	мг/куб.м	
1	2202,26	2656,25	2,00	0,02	-	170	3,22	-	-	-	-	3
Площадка	Цех	Источник	Вклад (д. ПДК)		Вклад (мг/куб.м)		Вклад %					
10	10	6001	0,02		0,0000		83,98					
10	10	6004	1,59E-03		0,0000		8,26					
10	10	6008	8,04E-04		0,0000		4,18					

2	2506,70	2611,58	2,00	0,02	-	221	4,40	-	-	-	-	3
Площадка	Цех	Источник	Вклад (д. ПДК)		Вклад (мг/куб.м)		Вклад %					
10	10	6001	0,01		0,0000		83,46					
10	10	6004	2,24E-03		0,0000		13,65					
10	10	6003	1,46E-04		0,0000		0,89					

3	2650,67	2282,66	2,00	0,01	-	276	3,22	-	-	-	-	3
Площадка	Цех	Источник	Вклад (д. ПДК)		Вклад (мг/куб.м)		Вклад %					
10	10	6001	0,01		0,0000		83,65					
10	10	6004	1,23E-03		0,0000		8,44					
10	10	6002	4,61E-04		0,0000		3,18					

5	2209,05	1871,57	2,00	0,01	-	6	6,00	-	-	-	-	3
Площадка	Цех	Источник	Вклад (д. ПДК)		Вклад (мг/куб.м)		Вклад %					
10	10	6001	0,01		0,0000		80,78					
10	10	6004	2,01E-03		0,0000		15,46					
10	10	6005	1,92E-04		0,0000		1,48					

6	1942,95	1952,32	2,00	0,01	-	40	6,00	-	-	-	-	3
Площадка	Цех	Источник	Вклад (д. ПДК)		Вклад (мг/куб.м)		Вклад %					
10	10	6001	9,67E-03		0,0000		77,64					
10	10	6004	2,48E-03		0,0000		19,90					
10	10	6006	9,56E-05		0,0000		0,77					

4	2563,22	1961,23	2,00	0,01	-	319	6,00	-	-	-	-	3
Площадка	Цех	Источник	Вклад (д. ПДК)		Вклад (мг/куб.м)		Вклад %					
10	10	6001	9,64E-03		0,0000		77,54					
10	10	6008	1,00E-03		0,0000		8,05					
10	10	6004	1,00E-03		0,0000		8,05					

7	1745,41	2294,48	2,00	0,01	-	87	6,00	-	-	-	-	3
Площадка	Цех	Источник	Вклад (д. ПДК)		Вклад (мг/куб.м)		Вклад %					
10	10	6001	8,89E-03		0,0000		75,63					
10	10	6004	1,19E-03		0,0000		10,13					
10	10	6002	8,18E-04		0,0000		6,96					

8	1813,13	2550,14	2,00	0,01	-	117	6,00	-	-	-	-	3
Площадка	Цех	Источник	Вклад (д. ПДК)		Вклад (мг/куб.м)		Вклад %					
10	10	6001	9,41E-03		0,0000		84,04					
10	10	6004	8,05E-04		0,0000		7,18					

10 10 6002 3,98E-04 0,0000 3,55

**Вещество: 6043 Серы диоксид и сероводород**

№	Коорд Х(м)	Коорд Y(м)	Высота (м)	Концентр (д. ПДК)	Концентр. (мг/куб.м)	Напр ветр	Скор ветр	Фон		Фон до исключения		Тип точки
								доли ПДК	мг/куб.м	доли ПДК	мг/куб.м	
1	2202,26	2656,25	2,00	0,43	-	170	3,22	0,41	-	0,41	-	3
	Площадка	Цех	Источник	Вклад (д. ПДК)		Вклад (мг/куб.м)		Вклад %				
	10	10	6001	0,02		0,0000		3,74				
	10	10	6004	1,59E-03		0,0000		0,37				
	10	10	6008	8,04E-04		0,0000		0,19				
2	2506,70	2611,58	2,00	0,43	-	221	4,40	0,41	-	0,41	-	3
	Площадка	Цех	Источник	Вклад (д. ПДК)		Вклад (мг/куб.м)		Вклад %				
	10	10	6001	0,01		0,0000		3,19				
	10	10	6004	2,24E-03		0,0000		0,52				
	10	10	6003	1,46E-04		0,0000		0,03				
3	2650,67	2282,66	2,00	0,43	-	276	3,22	0,41	-	0,41	-	3
	Площадка	Цех	Источник	Вклад (д. ПДК)		Вклад (мг/куб.м)		Вклад %				
	10	10	6001	0,01		0,0000		2,84				
	10	10	6004	1,23E-03		0,0000		0,29				
	10	10	6003	3,15E-04		0,0000		0,07				
5	2209,05	1871,57	2,00	0,43	-	6	6,00	0,41	-	0,41	-	3
	Площадка	Цех	Источник	Вклад (д. ПДК)		Вклад (мг/куб.м)		Вклад %				
	10	10	6001	0,01		0,0000		2,46				
	10	10	6004	2,01E-03		0,0000		0,47				
	10	10	6005	1,92E-04		0,0000		0,05				
6	1942,95	1952,32	2,00	0,43	-	40	6,00	0,41	-	0,41	-	3
	Площадка	Цех	Источник	Вклад (д. ПДК)		Вклад (мг/куб.м)		Вклад %				
	10	10	6001	9,67E-03		0,0000		2,27				
	10	10	6004	2,48E-03		0,0000		0,58				
	10	10	6006	9,56E-05		0,0000		0,02				
4	2563,22	1961,23	2,00	0,43	-	319	6,00	0,41	-	0,41	-	3
	Площадка	Цех	Источник	Вклад (д. ПДК)		Вклад (мг/куб.м)		Вклад %				
	10	10	6001	9,64E-03		0,0000		2,27				
	10	10	6008	1,00E-03		0,0000		0,24				
	10	10	6004	1,00E-03		0,0000		0,24				
7	1745,41	2294,48	2,00	0,42	-	87	6,00	0,41	-	0,41	-	3
	Площадка	Цех	Источник	Вклад (д. ПДК)		Вклад (мг/куб.м)		Вклад %				
	10	10	6001	8,89E-03		0,0000		2,09				
	10	10	6004	1,19E-03		0,0000		0,28				
	10	10	6003	4,90E-04		0,0000		0,12				
8	1813,13	2550,14	2,00	0,42	-	117	6,00	0,41	-	0,41	-	3
	Площадка	Цех	Источник	Вклад (д. ПДК)		Вклад (мг/куб.м)		Вклад %				
	10	10	6001	9,41E-03		0,0000		2,22				
	10	10	6004	8,05E-04		0,0000		0,19				
	10	10	6008	2,45E-04		0,0000		0,06				

**Вещество: 6204 Серы диоксид, азота диоксид**

№	Коорд Х(м)	Коорд Y(м)	Высота (м)	Концентр (д. ПДК)	Концентр. (мг/куб.м)	Напр ветр	Скор ветр	Фон		Фон до исключения		Тип точки
								доли ПДК	мг/куб.м	доли ПДК	мг/куб.м	
1	2202,26	2656,25	2,00	0,50	-	171	3,22	0,27	-	0,27	-	3

Площадка	Цех	Источник	Вклад (д. ПДК)			Вклад (мг/куб.м)		Вклад %				
10	10	6001	0,20			0,0000		40,30				
10	10	6004	0,02			0,0000		4,88				
10	10	6005	2,12E-03			0,0000		0,42				
2	2506,70	2611,58	2,00	0,48	-	221	4,40	0,27	-	0,27	-	3
Площадка	Цех	Источник	Вклад (д. ПДК)			Вклад (мг/куб.м)		Вклад %				
10	10	6001	0,17			0,0000		36,42				
10	10	6004	0,03			0,0000		6,36				
10	10	6003	1,13E-03			0,0000		0,24				
3	2650,67	2282,66	2,00	0,45	-	276	3,22	0,27	-	0,27	-	3
Площадка	Цех	Источник	Вклад (д. ПДК)			Вклад (мг/куб.м)		Вклад %				
10	10	6001	0,15			0,0000		34,51				
10	10	6004	0,02			0,0000		3,72				
10	10	6003	2,44E-03			0,0000		0,55				
5	2209,05	1871,57	2,00	0,43	-	6	6,00	0,27	-	0,27	-	3
Площадка	Цех	Источник	Вклад (д. ПДК)			Вклад (мг/куб.м)		Вклад %				
10	10	6001	0,13			0,0000		30,68				
10	10	6004	0,03			0,0000		6,27				
10	10	6005	1,24E-03			0,0000		0,28				
6	1942,95	1952,32	2,00	0,43	-	40	6,00	0,27	-	0,27	-	3
Площадка	Цех	Источник	Вклад (д. ПДК)			Вклад (мг/куб.м)		Вклад %				
10	10	6001	0,12			0,0000		28,65				
10	10	6004	0,03			0,0000		7,84				
10	10	6006	8,06E-04			0,0000		0,19				
4	2563,22	1961,23	2,00	0,41	-	320	6,00	0,27	-	0,27	-	3
Площадка	Цех	Источник	Вклад (д. ПДК)			Вклад (мг/куб.м)		Вклад %				
10	10	6001	0,13			0,0000		30,68				
10	10	6004	0,01			0,0000		2,57				
10	10	6005	2,06E-03			0,0000		0,50				
7	1745,41	2294,48	2,00	0,41	-	87	6,00	0,27	-	0,27	-	3
Площадка	Цех	Источник	Вклад (д. ПДК)			Вклад (мг/куб.м)		Вклад %				
10	10	6001	0,11			0,0000		27,77				
10	10	6004	0,02			0,0000		3,97				
10	10	6003	3,79E-03			0,0000		0,93				
8	1813,13	2550,14	2,00	0,40	-	117	6,00	0,27	-	0,27	-	3
Площадка	Цех	Источник	Вклад (д. ПДК)			Вклад (мг/куб.м)		Вклад %				
10	10	6001	0,12			0,0000		29,58				
10	10	6004	0,01			0,0000		2,70				
10	10	6005	1,16E-03			0,0000		0,29				

## Максимальные концентрации и вклады по веществам (расчетные площадки)

**Вещество: 0301 Азота диоксид (Азот (IV) оксид)**  
**Площадка: 1**

### Поле максимальных концентраций

Коорд X(м)	Коорд Y(м)	Концентр (д. ПДК)	Концентр. (мг/куб.м)	Напр. ветра	Скор. ветра	Фон		Фон до исключения	
						доли ПДК	мг/куб.м	доли ПДК	мг/куб.м
2250,00	2299,39	3,52	0,7039	16	0,50	0,39	0,0790	0,39	0,0790
Площадка	Цех	Источник	Вклад (д. ПДК)		Вклад (мг/куб.м)		Вклад %		
10	0	0	3,12		0,6249		88,78		
2300,00	2349,39	3,38	0,6762	246	0,50	0,39	0,0790	0,39	0,0790
Площадка	Цех	Источник	Вклад (д. ПДК)		Вклад (мг/куб.м)		Вклад %		
10	0	0	2,99		0,5972		88,32		
2300,00	2299,39	3,12	0,6238	308	0,50	0,39	0,0790	0,39	0,0790
Площадка	Цех	Источник	Вклад (д. ПДК)		Вклад (мг/куб.м)		Вклад %		
10	0	0	2,72		0,5448		87,34		

**Вещество: 0303 Аммиак**  
**Площадка: 1**

### Поле максимальных концентраций

Коорд X(м)	Коорд Y(м)	Концентр (д. ПДК)	Концентр. (мг/куб.м)	Напр. ветра	Скор. ветра	Фон		Фон до исключения	
						доли ПДК	мг/куб.м	доли ПДК	мг/куб.м
2200,00	2349,39	4,34E-03	0,0009	252	0,50	-	-	-	-
Площадка	Цех	Источник	Вклад (д. ПДК)		Вклад (мг/куб.м)		Вклад %		
10	0	0	4,34E-03		0,0009		100,00		
2050,00	2349,39	4,24E-03	0,0008	106	0,50	-	-	-	-
Площадка	Цех	Источник	Вклад (д. ПДК)		Вклад (мг/куб.м)		Вклад %		
10	0	0	4,24E-03		0,0008		100,00		
2100,00	2349,39	3,69E-03	0,0007	111	0,50	-	-	-	-
Площадка	Цех	Источник	Вклад (д. ПДК)		Вклад (мг/куб.м)		Вклад %		
10	0	0	3,69E-03		0,0007		100,00		

**Вещество: 0304 Азот (II) оксид (Азота оксид)**  
**Площадка: 1**

### Поле максимальных концентраций

Коорд X(м)	Коорд Y(м)	Концентр (д. ПДК)	Концентр. (мг/куб.м)	Напр. ветра	Скор. ветра	Фон		Фон до исключения	
						доли ПДК	мг/куб.м	доли ПДК	мг/куб.м
2250,00	2299,39	0,38	0,1535	16	0,50	0,13	0,0520	0,13	0,0520
Площадка	Цех	Источник	Вклад (д. ПДК)		Вклад (мг/куб.м)		Вклад %		

10	0	0	0,25	0,1015	66,13				
2300,00	2349,39	0,37	0,1492	246	0,50	0,13	0,0520	0,13	0,0520
Площадка	Цех	Источник	Вклад (д. ПДК)	Вклад (мг/куб.м)	Вклад %				
10	0	0	0,24	0,0972	65,14				
2250,00	2349,39	0,35	0,1413	154	0,50	0,13	0,0520	0,13	0,0520
Площадка	Цех	Источник	Вклад (д. ПДК)	Вклад (мг/куб.м)	Вклад %				
10	0	0	0,22	0,0893	63,20				

**Вещество: 0328 Углерод (Сажа)**

**Площадка: 1**

**Поле максимальных концентраций**

Коорд Х(м)	Коорд У(м)	Концентр (д. ПДК)	Концентр. (мг/куб.м)	Напр. ветра	Скор. ветра	Фон		Фон до исключения	
						доли ПДК	мг/куб.м	доли ПДК	мг/куб.м
2250,00	2299,39	0,84	0,1261	16	0,50	-	-	-	-
Площадка	Цех	Источник	Вклад (д. ПДК)	Вклад (мг/куб.м)	Вклад %				
10	0	0	0,84	0,1261	100,00				
2300,00	2349,39	0,80	0,1200	246	0,50	-	-	-	-
Площадка	Цех	Источник	Вклад (д. ПДК)	Вклад (мг/куб.м)	Вклад %				
10	0	0	0,80	0,1200	100,00				
2300,00	2299,39	0,73	0,1099	308	0,50	-	-	-	-
Площадка	Цех	Источник	Вклад (д. ПДК)	Вклад (мг/куб.м)	Вклад %				
10	0	0	0,73	0,1099	100,00				

**Вещество: 0330 Сера диоксид (Ангидрид сернистый)**

**Площадка: 1**

**Поле максимальных концентраций**

Коорд Х(м)	Коорд У(м)	Концентр (д. ПДК)	Концентр. (мг/куб.м)	Напр. ветра	Скор. ветра	Фон		Фон до исключения	
						доли ПДК	мг/куб.м	доли ПДК	мг/куб.м
2250,00	2299,39	0,20	0,0998	16	0,50	0,04	0,0190	0,04	0,0190
Площадка	Цех	Источник	Вклад (д. ПДК)	Вклад (мг/куб.м)	Вклад %				
10	0	0	0,16	0,0808	80,97				
2300,00	2349,39	0,19	0,0964	246	0,50	0,04	0,0190	0,04	0,0190
Площадка	Цех	Источник	Вклад (д. ПДК)	Вклад (мг/куб.м)	Вклад %				
10	0	0	0,15	0,0774	80,30				
2300,00	2299,39	0,18	0,0895	308	0,50	0,04	0,0190	0,04	0,0190
Площадка	Цех	Источник	Вклад (д. ПДК)	Вклад (мг/куб.м)	Вклад %				
10	0	0	0,14	0,0705	78,77				

**Вещество: 0333 Дигидросульфид (Сероводород)**  
**Площадка: 1**

**Поле максимальных концентраций**

Коорд X(м)	Коорд Y(м)	Концентр (д. ПДК)	Концентр. (мг/куб.м)	Напр. ветра	Скор. ветра	Фон		Фон до исключения	
						доли ПДК	мг/куб.м	доли ПДК	мг/куб.м
2200,00	2349,39	0,38	0,0031	190	0,50	0,38	0,0030	0,38	0,0030
Площадка Цех		Источник	Вклад (д. ПДК)		Вклад (мг/куб.м)		Вклад %		
10		0	0		7,92E-03		6,3363E-05		2,07
2200,00	2299,39	0,38	0,0031	352	0,68	0,38	0,0030	0,38	0,0030
Площадка Цех		Источник	Вклад (д. ПДК)		Вклад (мг/куб.м)		Вклад %		
10		0	0		6,83E-03		5,4677E-05		1,79
2250,00	2349,39	0,38	0,0030	254	0,68	0,38	0,0030	0,38	0,0030
Площадка Цех		Источник	Вклад (д. ПДК)		Вклад (мг/куб.м)		Вклад %		
10		0	0		4,85E-03		3,8808E-05		1,28

**Вещество: 0337 Углерод оксид**  
**Площадка: 1**

**Поле максимальных концентраций**

Коорд X(м)	Коорд Y(м)	Концентр (д. ПДК)	Концентр. (мг/куб.м)	Напр. ветра	Скор. ветра	Фон		Фон до исключения	
						доли ПДК	мг/куб.м	доли ПДК	мг/куб.м
2250,00	2299,39	0,13	0,6448	16	0,50	5,40E-04	0,0027	5,40E-04	0,0027
Площадка Цех		Источник	Вклад (д. ПДК)		Вклад (мг/куб.м)		Вклад %		
10		0	0		0,13		0,6421		99,58
2300,00	2349,39	0,13	0,6314	247	0,50	5,40E-04	0,0027	5,40E-04	0,0027
Площадка Цех		Источник	Вклад (д. ПДК)		Вклад (мг/куб.м)		Вклад %		
10		0	0		0,13		0,6287		99,57
2300,00	2299,39	0,11	0,5684	308	0,50	5,40E-04	0,0027	5,40E-04	0,0027
Площадка Цех		Источник	Вклад (д. ПДК)		Вклад (мг/куб.м)		Вклад %		
10		0	0		0,11		0,5657		99,53

**Вещество: 0410 Метан**  
**Площадка: 1**

**Поле максимальных концентраций**

Коорд X(м)	Коорд Y(м)	Концентр (д. ПДК)	Концентр. (мг/куб.м)	Напр. ветра	Скор. ветра	Фон		Фон до исключения	
						доли ПДК	мг/куб.м	доли ПДК	мг/куб.м
2200,00	2349,39	9,11E-05	0,0046	189	0,50	-	-	-	-
Площадка Цех		Источник	Вклад (д. ПДК)		Вклад (мг/куб.м)		Вклад %		
10		0	0		9,11E-05		0,0046		100,00
2200,00	2299,39	7,53E-05	0,0038	353	0,68	-	-	-	-
Площадка Цех		Источник	Вклад (д. ПДК)		Вклад (мг/куб.м)		Вклад %		

10	0	0	7,53E-05	0,0038	100,00				
2150,00	2349,39	3,91E-05	0,0020	114	0,68	-	-	-	-
Площадка	Цех	Источник	Вклад (д. ПДК)	Вклад (мг/куб.м)	Вклад %				
10	0	0	3,91E-05	0,0020	100,00				

**Вещество: 0416 Смесь углеводородов предельных C6-C10  
Площадка: 1**

**Поле максимальных концентраций**

Коорд X(м)	Коорд Y(м)	Концентр (д. ПДК)	Концентр. (мг/куб.м)	Напр. ветра	Скор. ветра	Фон		Фон до исключения	
						доли ПДК	мг/куб.м	доли ПДК	мг/куб.м
2200,00	2349,39	5,36E-06	0,0002	252	0,50	-	-	-	-
Площадка	Цех	Источник	Вклад (д. ПДК)	Вклад (мг/куб.м)	Вклад %				
10	0	0	5,36E-06	0,0002	100,00				
2050,00	2349,39	5,22E-06	0,0002	106	0,50	-	-	-	-
Площадка	Цех	Источник	Вклад (д. ПДК)	Вклад (мг/куб.м)	Вклад %				
10	0	0	5,22E-06	0,0002	100,00				
2100,00	2349,39	4,52E-06	0,0001	111	0,50	-	-	-	-
Площадка	Цех	Источник	Вклад (д. ПДК)	Вклад (мг/куб.м)	Вклад %				
10	0	0	4,52E-06	0,0001	100,00				

**Вещество: 0602 Бензол  
Площадка: 1**

**Поле максимальных концентраций**

Коорд X(м)	Коорд Y(м)	Концентр (д. ПДК)	Концентр. (мг/куб.м)	Напр. ветра	Скор. ветра	Фон		Фон до исключения	
						доли ПДК	мг/куб.м	доли ПДК	мг/куб.м
2200,00	2349,39	9,66E-03	0,0029	252	0,50	-	-	-	-
Площадка	Цех	Источник	Вклад (д. ПДК)	Вклад (мг/куб.м)	Вклад %				
10	0	0	9,66E-03	0,0029	100,00				
2050,00	2349,39	9,40E-03	0,0028	106	0,50	-	-	-	-
Площадка	Цех	Источник	Вклад (д. ПДК)	Вклад (мг/куб.м)	Вклад %				
10	0	0	9,40E-03	0,0028	100,00				
2100,00	2349,39	8,15E-03	0,0024	111	0,50	-	-	-	-
Площадка	Цех	Источник	Вклад (д. ПДК)	Вклад (мг/куб.м)	Вклад %				
10	0	0	8,15E-03	0,0024	100,00				

**Вещество: 0616 Диметилбензол (Ксилол) (смесь изомеров о-, м-, п-)  
Площадка: 1**

**Поле максимальных концентраций**

Коорд X(м)	Коорд Y(м)	Концентр (д. ПДК)	Концентр. (мг/куб.м)	Напр. ветра	Скор. ветра	Фон		Фон до исключения	
						доли ПДК	мг/куб.м	доли ПДК	мг/куб.м

2200,00	2349,39	2,74E-03	0,0005	252	0,50	-	-	-	-
Площадка	Цех	Источник	Вклад (д. ПДК)		Вклад (мг/куб.м)		Вклад %		
10	0	0	2,74E-03		0,0005		100,00		
2050,00	2349,39	2,67E-03	0,0005	106	0,50	-	-	-	-
Площадка	Цех	Источник	Вклад (д. ПДК)		Вклад (мг/куб.м)		Вклад %		
10	0	0	2,67E-03		0,0005		100,00		
2100,00	2349,39	2,31E-03	0,0005	111	0,50	-	-	-	-
Площадка	Цех	Источник	Вклад (д. ПДК)		Вклад (мг/куб.м)		Вклад %		
10	0	0	2,31E-03		0,0005		100,00		

**Вещество: 0621 Метилбензол (Толуол)**  
**Площадка: 1**

**Поле максимальных концентраций**

Коорд X(м)	Коорд Y(м)	Концентр (д. ПДК)	Концентр. (мг/куб.м)	Напр. ветра	Скор. ветра	Фон		Фон до исключения	
						доли ПДК	мг/куб.м	доли ПДК	мг/куб.м
2200,00	2349,39	4,86E-05	2,9155E-05	252	0,50	-	-	-	-
Площадка	Цех	Источник	Вклад (д. ПДК)		Вклад (мг/куб.м)		Вклад %		
10	0	0	4,86E-05		2,9155E-05		100,00		
2050,00	2349,39	4,73E-05	2,8393E-05	106	0,50	-	-	-	-
Площадка	Цех	Источник	Вклад (д. ПДК)		Вклад (мг/куб.м)		Вклад %		
10	0	0	4,73E-05		2,8393E-05		100,00		
2100,00	2349,39	4,10E-05	2,4613E-05	111	0,50	-	-	-	-
Площадка	Цех	Источник	Вклад (д. ПДК)		Вклад (мг/куб.м)		Вклад %		
10	0	0	4,10E-05		2,4613E-05		100,00		

**Вещество: 0627 Этилбензол**  
**Площадка: 1**

**Поле максимальных концентраций**

Коорд X(м)	Коорд Y(м)	Концентр (д. ПДК)	Концентр. (мг/куб.м)	Напр. ветра	Скор. ветра	Фон		Фон до исключения	
						доли ПДК	мг/куб.м	доли ПДК	мг/куб.м
2200,00	2349,39	1,46E-03	2,9155E-05	252	0,50	-	-	-	-
Площадка	Цех	Источник	Вклад (д. ПДК)		Вклад (мг/куб.м)		Вклад %		
10	0	0	1,46E-03		2,9155E-05		100,00		
2050,00	2349,39	1,42E-03	2,8393E-05	106	0,50	-	-	-	-
Площадка	Цех	Источник	Вклад (д. ПДК)		Вклад (мг/куб.м)		Вклад %		
10	0	0	1,42E-03		2,8393E-05		100,00		
2100,00	2349,39	1,23E-03	2,4613E-05	111	0,50	-	-	-	-
Площадка	Цех	Источник	Вклад (д. ПДК)		Вклад (мг/куб.м)		Вклад %		
10	0	0	1,23E-03		2,4613E-05		100,00		

**Вещество: 1051 Пропан-2-ол (Изопропиловый спирт)**  
**Площадка: 1**

**Поле максимальных концентраций**

Коорд X(м)	Коорд Y(м)	Концентр (д. ПДК)	Концентр. (мг/куб.м)	Напр. ветра	Скор. ветра	Фон		Фон до исключения	
						доли ПДК	мг/куб.м	доли ПДК	мг/куб.м
2300,00	2249,39	1,21E-03	0,0007	222	0,50	-	-	-	-
Площадка Цех		Источник	Вклад (д. ПДК)		Вклад (мг/куб.м)		Вклад %		
10		0	0		1,21E-03		0,0007 100,00		
2300,00	2199,39	6,73E-04	0,0004	345	0,68	-	-	-	-
Площадка Цех		Источник	Вклад (д. ПДК)		Вклад (мг/куб.м)		Вклад %		
10		0	0		6,73E-04		0,0004 100,00		
2250,00	2249,39	6,17E-04	0,0004	106	0,68	-	-	-	-
Площадка Цех		Источник	Вклад (д. ПДК)		Вклад (мг/куб.м)		Вклад %		
10		0	0		6,17E-04		0,0004 100,00		

**Вещество: 1071 Гидроксibenзол (Фенол)**  
**Площадка: 1**

**Поле максимальных концентраций**

Коорд X(м)	Коорд Y(м)	Концентр (д. ПДК)	Концентр. (мг/куб.м)	Напр. ветра	Скор. ветра	Фон		Фон до исключения	
						доли ПДК	мг/куб.м	доли ПДК	мг/куб.м
2200,00	2349,39	7,73E-03	7,7305E-05	252	0,50	-	-	-	-
Площадка Цех		Источник	Вклад (д. ПДК)		Вклад (мг/куб.м)		Вклад %		
10		0	0		7,73E-03		7,7305E-05 100,00		
2050,00	2349,39	7,55E-03	7,5487E-05	106	0,50	-	-	-	-
Площадка Цех		Источник	Вклад (д. ПДК)		Вклад (мг/куб.м)		Вклад %		
10		0	0		7,55E-03		7,5487E-05 100,00		
2100,00	2349,39	6,57E-03	6,5686E-05	111	0,50	-	-	-	-
Площадка Цех		Источник	Вклад (д. ПДК)		Вклад (мг/куб.м)		Вклад %		
10		0	0		6,57E-03		6,5686E-05 100,00		

**Вещество: 1325 Формальдегид**  
**Площадка: 1**

**Поле максимальных концентраций**

Коорд X(м)	Коорд Y(м)	Концентр (д. ПДК)	Концентр. (мг/куб.м)	Напр. ветра	Скор. ветра	Фон		Фон до исключения	
						доли ПДК	мг/куб.м	доли ПДК	мг/куб.м
2200,00	2349,39	0,44	0,0221	252	0,50	0,44	0,0220	0,44	0,0220
Площадка Цех		Источник	Вклад (д. ПДК)		Вклад (мг/куб.м)		Вклад %		
10		0	0		1,86E-03		9,3208E-05 0,42		
2050,00	2349,39	0,44	0,0221	106	0,50	0,44	0,0220	0,44	0,0220
Площадка Цех		Источник	Вклад (д. ПДК)		Вклад (мг/куб.м)		Вклад %		

10	0	0	1,82E-03	9,0975E-05	0,41				
2100,00	2349,39	0,44	0,0221	111	0,50	0,44	0,0220	0,44	0,0220
Площадка	Цех	Источник	Вклад (д. ПДК)	Вклад (мг/куб.м)	Вклад %				
10	0	0	1,58E-03	7,9112E-05	0,36				

**Вещество: 1328 Пентандиаль (Глутаральдегид; Глутаровый альдегид)  
Площадка: 1**

**Поле максимальных концентраций**

Коорд Х(м)	Коорд Y(м)	Концентр (д. ПДК)	Концентр. (мг/куб.м)	Напр. ветра	Скор. ветра	Фон		Фон до исключения	
						доли ПДК	мг/куб.м	доли ПДК	мг/куб.м
2300,00	2249,39	0,01	0,0003	222	0,50	-	-	-	-
Площадка	Цех	Источник	Вклад (д. ПДК)	Вклад (мг/куб.м)	Вклад %				
10	0	0	0,01	0,0003	100,00				
2300,00	2199,39	6,10E-03	0,0002	345	0,68	-	-	-	-
Площадка	Цех	Источник	Вклад (д. ПДК)	Вклад (мг/куб.м)	Вклад %				
10	0	0	6,10E-03	0,0002	100,00				
2250,00	2249,39	5,59E-03	0,0002	106	0,68	-	-	-	-
Площадка	Цех	Источник	Вклад (д. ПДК)	Вклад (мг/куб.м)	Вклад %				
10	0	0	5,59E-03	0,0002	100,00				

**Вещество: 1401 Пропан-2-он (Ацетон)  
Площадка: 1**

**Поле максимальных концентраций**

Коорд Х(м)	Коорд Y(м)	Концентр (д. ПДК)	Концентр. (мг/куб.м)	Напр. ветра	Скор. ветра	Фон		Фон до исключения	
						доли ПДК	мг/куб.м	доли ПДК	мг/куб.м
2200,00	2349,39	8,33E-05	2,9155E-05	252	0,50	-	-	-	-
Площадка	Цех	Источник	Вклад (д. ПДК)	Вклад (мг/куб.м)	Вклад %				
10	0	0	8,33E-05	2,9155E-05	100,00				
2050,00	2349,39	8,11E-05	2,8393E-05	106	0,50	-	-	-	-
Площадка	Цех	Источник	Вклад (д. ПДК)	Вклад (мг/куб.м)	Вклад %				
10	0	0	8,11E-05	2,8393E-05	100,00				
2100,00	2349,39	7,03E-05	2,4613E-05	111	0,50	-	-	-	-
Площадка	Цех	Источник	Вклад (д. ПДК)	Вклад (мг/куб.м)	Вклад %				
10	0	0	7,03E-05	2,4613E-05	100,00				

**Вещество: 1716 Смесь природных меркаптанов /в пересчете на этилмеркаптан/ (Одор)  
Площадка: 1**

**Поле максимальных концентраций**

Коорд Х(м)	Коорд Y(м)	Концентр (д. ПДК)	Концентр. (мг/куб.м)	Напр. ветра	Скор. ветра	Фон		Фон до исключения	
						доли ПДК	мг/куб.м	доли ПДК	мг/куб.м

2200,00	2349,39	0,58	2,9155E-05	252	0,50	-	-	-	-
Площадка	Цех	Источник	Вклад (д. ПДК)		Вклад (мг/куб.м)		Вклад %		
10	0	0	0,58		2,9155E-05		100,00		
2050,00	2349,39	0,57	2,8407E-05	106	0,50	-	-	-	-
Площадка	Цех	Источник	Вклад (д. ПДК)		Вклад (мг/куб.м)		Вклад %		
10	0	0	0,57		2,8407E-05		100,00		
2100,00	2349,39	0,49	2,4643E-05	111	0,50	-	-	-	-
Площадка	Цех	Источник	Вклад (д. ПДК)		Вклад (мг/куб.м)		Вклад %		
10	0	0	0,49		2,4643E-05		100,00		

**Вещество: 2732 Керосин**  
**Площадка: 1**

**Поле максимальных концентраций**

Коорд X(м)	Коорд Y(м)	Концентр (д. ПДК)	Концентр. (мг/куб.м)	Напр. ветра	Скор. ветра	Фон		Фон до исключения	
						доли ПДК	мг/куб.м	доли ПДК	мг/куб.м
2250,00	2299,39	0,15	0,1783	16	0,50	-	-	-	-
Площадка	Цех	Источник	Вклад (д. ПДК)		Вклад (мг/куб.м)		Вклад %		
10	0	0	0,15		0,1783		100,00		
2300,00	2349,39	0,14	0,1704	246	0,50	-	-	-	-
Площадка	Цех	Источник	Вклад (д. ПДК)		Вклад (мг/куб.м)		Вклад %		
10	0	0	0,14		0,1704		100,00		
2300,00	2299,39	0,13	0,1554	308	0,50	-	-	-	-
Площадка	Цех	Источник	Вклад (д. ПДК)		Вклад (мг/куб.м)		Вклад %		
10	0	0	0,13		0,1554		100,00		

**Вещество: 2754 Углеводороды предельные C12-C19**  
**Площадка: 1**

**Поле максимальных концентраций**

Коорд X(м)	Коорд Y(м)	Концентр (д. ПДК)	Концентр. (мг/куб.м)	Напр. ветра	Скор. ветра	Фон		Фон до исключения	
						доли ПДК	мг/куб.м	доли ПДК	мг/куб.м
2200,00	2349,39	0,03	0,0290	252	0,50	-	-	-	-
Площадка	Цех	Источник	Вклад (д. ПДК)		Вклад (мг/куб.м)		Вклад %		
10	0	0	0,03		0,0290		100,00		
2050,00	2349,39	0,03	0,0282	106	0,50	-	-	-	-
Площадка	Цех	Источник	Вклад (д. ПДК)		Вклад (мг/куб.м)		Вклад %		
10	0	0	0,03		0,0282		100,00		
2100,00	2349,39	0,02	0,0245	111	0,50	-	-	-	-
Площадка	Цех	Источник	Вклад (д. ПДК)		Вклад (мг/куб.м)		Вклад %		
10	0	0	0,02		0,0245		100,00		

**Вещество: 2902 Взвешенные вещества  
Площадка: 1**

**Поле максимальных концентраций**

Коорд X(м)	Коорд Y(м)	Концентр (д. ПДК)	Концентр. (мг/куб.м)	Напр. ветра	Скор. ветра	Фон		Фон до исключения	
						доли ПДК	мг/куб.м	доли ПДК	мг/куб.м
2200,00	2349,39	7,47E-03	0,0037	251	0,68	-	-	-	-
Площадка Цех		Источник	Вклад (д. ПДК)		Вклад (мг/куб.м)		Вклад %		
10		0	0		7,47E-03		0,0037		100,00
2100,00	2349,39	7,23E-03	0,0036	115	0,50	-	-	-	-
Площадка Цех		Источник	Вклад (д. ПДК)		Вклад (мг/куб.м)		Вклад %		
10		0	0		7,23E-03		0,0036		100,00
2150,00	2349,39	7,05E-03	0,0035	245	0,50	-	-	-	-
Площадка Цех		Источник	Вклад (д. ПДК)		Вклад (мг/куб.м)		Вклад %		
10		0	0		7,05E-03		0,0035		100,00

**Вещество: 6003 Аммиак, сероводород  
Площадка: 1**

**Поле максимальных концентраций**

Коорд X(м)	Коорд Y(м)	Концентр (д. ПДК)	Концентр. (мг/куб.м)	Напр. ветра	Скор. ветра	Фон		Фон до исключения	
						доли ПДК	мг/куб.м	доли ПДК	мг/куб.м
2200,00	2349,39	8,34E-03	-	191	0,50	-	-	-	-
Площадка Цех		Источник	Вклад (д. ПДК)		Вклад (мг/куб.м)		Вклад %		
10		0	0		8,34E-03		0,0000		100,00
2050,00	2349,39	8,29E-03	-	104	0,68	-	-	-	-
Площадка Цех		Источник	Вклад (д. ПДК)		Вклад (мг/куб.м)		Вклад %		
10		0	0		8,29E-03		0,0000		100,00
2200,00	2299,39	7,83E-03	-	347	0,50	-	-	-	-
Площадка Цех		Источник	Вклад (д. ПДК)		Вклад (мг/куб.м)		Вклад %		
10		0	0		7,83E-03		0,0000		100,00

**Вещество: 6004 Аммиак, сероводород, формальдегид  
Площадка: 1**

**Поле максимальных концентраций**

Коорд X(м)	Коорд Y(м)	Концентр (д. ПДК)	Концентр. (мг/куб.м)	Напр. ветра	Скор. ветра	Фон		Фон до исключения	
						доли ПДК	мг/куб.м	доли ПДК	мг/куб.м
2050,00	2349,39	0,01	-	105	0,68	-	-	-	-
Площадка Цех		Источник	Вклад (д. ПДК)		Вклад (мг/куб.м)		Вклад %		
10		0	0		0,01		0,0000		100,00
2200,00	2349,39	9,85E-03	-	252	0,50	-	-	-	-
Площадка Цех		Источник	Вклад (д. ПДК)		Вклад (мг/куб.м)		Вклад %		

10	0	0		9,85E-03	0,0000	100,00			
2100,00	2349,39	9,31E-03	-	110	0,50	-	-	-	-
Площадка	Цех	Источник		Вклад (д. ПДК)	Вклад (мг/куб.м)	Вклад %			
10	0	0		9,31E-03	0,0000	100,00			

**Вещество: 6005 Аммиак, формальдегид  
Площадка: 1**

**Поле максимальных концентраций**

Коорд X(м)	Коорд Y(м)	Концентр (д. ПДК)	Концентр. (мг/куб.м)	Напр. ветра	Скор. ветра	Фон		Фон до исключения	
						доли ПДК	мг/куб.м	доли ПДК	мг/куб.м
2200,00	2349,39	6,21E-03	-	252	0,50	-	-	-	-
Площадка	Цех	Источник		Вклад (д. ПДК)	Вклад (мг/куб.м)	Вклад %			
10	0	0		6,21E-03	0,0000	100,00			
2050,00	2349,39	6,06E-03	-	106	0,50	-	-	-	-
Площадка	Цех	Источник		Вклад (д. ПДК)	Вклад (мг/куб.м)	Вклад %			
10	0	0		6,06E-03	0,0000	100,00			
2100,00	2349,39	5,27E-03	-	111	0,50	-	-	-	-
Площадка	Цех	Источник		Вклад (д. ПДК)	Вклад (мг/куб.м)	Вклад %			
10	0	0		5,27E-03	0,0000	100,00			

**Вещество: 6010 Азота диоксид, серы диоксид, углерода оксид, фенол  
Площадка: 1**

**Поле максимальных концентраций**

Коорд X(м)	Коорд Y(м)	Концентр (д. ПДК)	Концентр. (мг/куб.м)	Напр. ветра	Скор. ветра	Фон		Фон до исключения	
						доли ПДК	мг/куб.м	доли ПДК	мг/куб.м
2250,00	2299,39	3,41	-	16	0,50	-	-	-	-
Площадка	Цех	Источник		Вклад (д. ПДК)	Вклад (мг/куб.м)	Вклад %			
10	0	0		3,41	0,0000	100,00			
2300,00	2349,39	3,27	-	246	0,50	-	-	-	-
Площадка	Цех	Источник		Вклад (д. ПДК)	Вклад (мг/куб.м)	Вклад %			
10	0	0		3,27	0,0000	100,00			
2300,00	2299,39	2,98	-	308	0,50	-	-	-	-
Площадка	Цех	Источник		Вклад (д. ПДК)	Вклад (мг/куб.м)	Вклад %			
10	0	0		2,98	0,0000	100,00			

**Вещество: 6013 Ацетон и фенол  
Площадка: 1**

**Поле максимальных концентраций**

Коорд X(м)	Коорд Y(м)	Концентр (д. ПДК)	Концентр. (мг/куб.м)	Напр. ветра	Скор. ветра	Фон		Фон до исключения	
						доли ПДК	мг/куб.м	доли ПДК	мг/куб.м

2200,00	2349,39	7,81E-03	-	252	0,50	-	-	-	-
Площадка	Цех	Источник		Вклад (д. ПДК)		Вклад (мг/куб.м)		Вклад %	
10	0	0		7,81E-03		0,0000		100,00	
2050,00	2349,39	7,63E-03	-	106	0,50	-	-	-	-
Площадка	Цех	Источник		Вклад (д. ПДК)		Вклад (мг/куб.м)		Вклад %	
10	0	0		7,63E-03		0,0000		100,00	
2100,00	2349,39	6,64E-03	-	111	0,50	-	-	-	-
Площадка	Цех	Источник		Вклад (д. ПДК)		Вклад (мг/куб.м)		Вклад %	
10	0	0		6,64E-03		0,0000		100,00	

**Вещество: 6035 Сероводород, формальдегид  
Площадка: 1**

**Поле максимальных концентраций**

Коорд X(м)	Коорд Y(м)	Концентр (д. ПДК)	Концентр. (мг/куб.м)	Напр. ветра	Скор. ветра	Фон		Фон до исключения	
						доли ПДК	мг/куб.м	доли ПДК	мг/куб.м
2200,00	2349,39	0,82	-	191	0,50	0,82	-	0,82	-
Площадка	Цех	Источник		Вклад (д. ПДК)		Вклад (мг/куб.м)		Вклад %	
10	0	0		8,10E-03		0,0000		0,98	
2200,00	2299,39	0,82	-	349	0,50	0,82	-	0,82	-
Площадка	Цех	Источник		Вклад (д. ПДК)		Вклад (мг/куб.м)		Вклад %	
10	0	0		7,22E-03		0,0000		0,88	
2250,00	2349,39	0,82	-	255	0,68	0,82	-	0,82	-
Площадка	Цех	Источник		Вклад (д. ПДК)		Вклад (мг/куб.м)		Вклад %	
10	0	0		5,99E-03		0,0000		0,73	

**Вещество: 6038 Серы диоксид и фенол  
Площадка: 1**

**Поле максимальных концентраций**

Коорд X(м)	Коорд Y(м)	Концентр (д. ПДК)	Концентр. (мг/куб.м)	Напр. ветра	Скор. ветра	Фон		Фон до исключения	
						доли ПДК	мг/куб.м	доли ПДК	мг/куб.м
2250,00	2299,39	0,16	-	16	0,50	-	-	-	-
Площадка	Цех	Источник		Вклад (д. ПДК)		Вклад (мг/куб.м)		Вклад %	
10	0	0		0,16		0,0000		100,00	
2300,00	2349,39	0,16	-	247	0,50	-	-	-	-
Площадка	Цех	Источник		Вклад (д. ПДК)		Вклад (мг/куб.м)		Вклад %	
10	0	0		0,16		0,0000		100,00	
2300,00	2299,39	0,14	-	308	0,50	-	-	-	-
Площадка	Цех	Источник		Вклад (д. ПДК)		Вклад (мг/куб.м)		Вклад %	
10	0	0		0,14		0,0000		100,00	

**Вещество: 6043 Серы диоксид и сероводород  
Площадка: 1**

**Поле максимальных концентраций**

Коорд X(м)	Коорд Y(м)	Концентр (д. ПДК)	Концентр. (мг/куб.м)	Напр. ветра	Скор. ветра	Фон		Фон до исключения	
						доли ПДК	мг/куб.м	доли ПДК	мг/куб.м
2250,00	2299,39	0,57	-	16	0,50	0,41	-	0,41	-
Площадка	Цех	Источник			Вклад (д. ПДК)	Вклад (мг/куб.м)		Вклад %	
10	0	0			0,16	0,0000		28,13	
2300,00	2349,39	0,57	-	247	0,50	0,41	-	0,41	-
Площадка	Цех	Источник			Вклад (д. ПДК)	Вклад (мг/куб.м)		Вклад %	
10	0	0			0,16	0,0000		27,47	
2300,00	2299,39	0,55	-	308	0,50	0,41	-	0,41	-
Площадка	Цех	Источник			Вклад (д. ПДК)	Вклад (мг/куб.м)		Вклад %	
10	0	0			0,14	0,0000		25,57	

**Вещество: 6204 Серы диоксид, азота диоксид  
Площадка: 1**

**Поле максимальных концентраций**

Коорд X(м)	Коорд Y(м)	Концентр (д. ПДК)	Концентр. (мг/куб.м)	Напр. ветра	Скор. ветра	Фон		Фон до исключения	
						доли ПДК	мг/куб.м	доли ПДК	мг/куб.м
2250,00	2299,39	2,32	-	16	0,50	0,27	-	0,27	-
Площадка	Цех	Источник			Вклад (д. ПДК)	Вклад (мг/куб.м)		Вклад %	
10	0	0			2,05	0,0000		88,36	
2300,00	2349,39	2,23	-	246	0,50	0,27	-	0,27	-
Площадка	Цех	Источник			Вклад (д. ПДК)	Вклад (мг/куб.м)		Вклад %	
10	0	0			1,96	0,0000		87,88	
2300,00	2299,39	2,06	-	308	0,50	0,27	-	0,27	-
Площадка	Цех	Источник			Вклад (д. ПДК)	Вклад (мг/куб.м)		Вклад %	
10	0	0			1,79	0,0000		86,87	

**Приложение 7. Карты рассеивания загрязняющих веществ в атмосфере  
(вариант 1).**

# Карта рассеивания загрязняющего вещества в атмосфере (вариант 1)

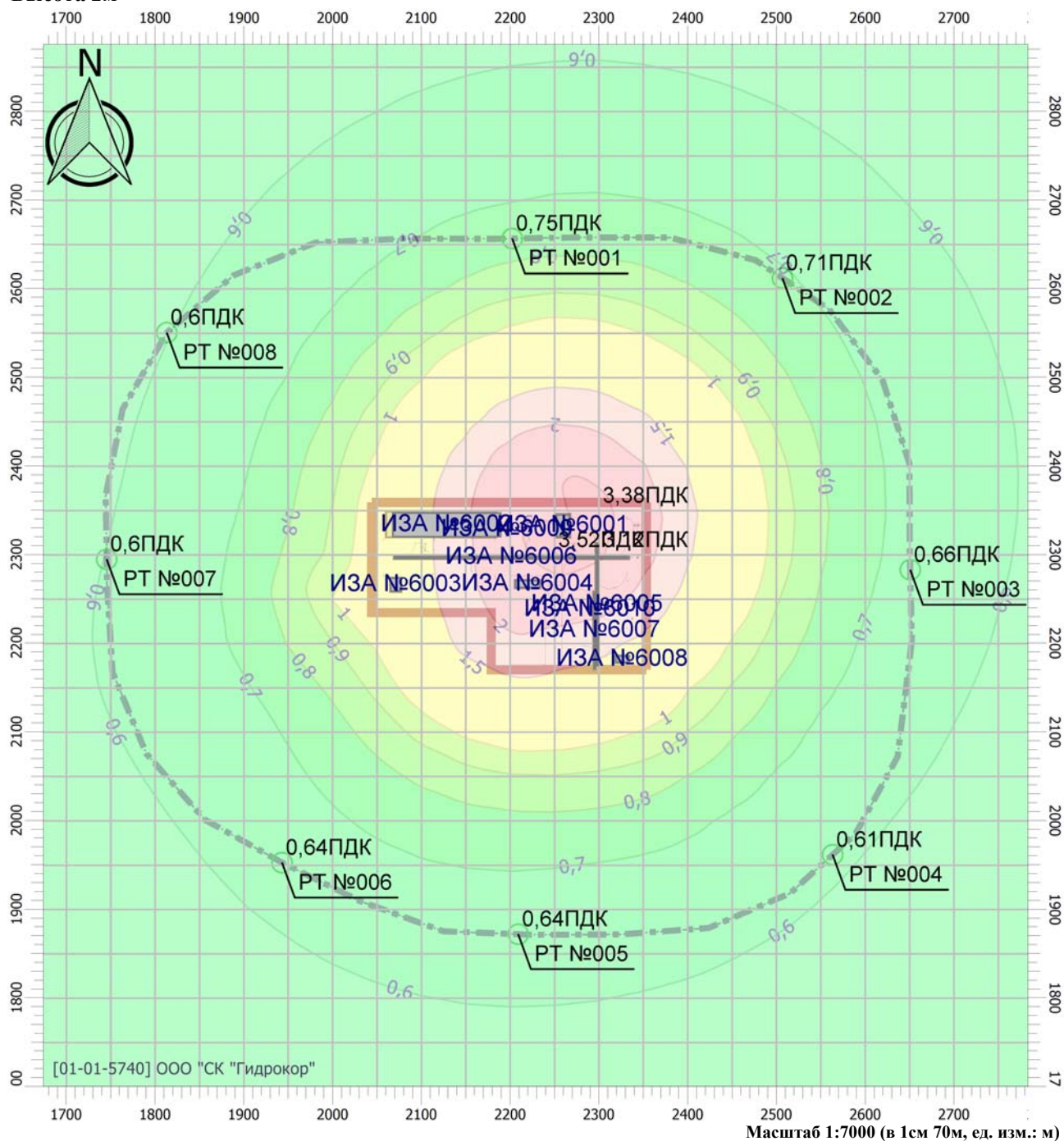
Вариант расчета: Биодегма (10) - Расчет рассеивания по МРР-2017 [11.02.2021 15:17 - 11.02.2021 15:18], ЛЕТО

Тип расчета: Расчеты по веществам

Код расчета: 0301 (Азота диоксид (Азот (IV) оксид))

Параметр: Концентрация вредного вещества (в долях ПДК)

Высота 2м



## Цветовая схема

0 и ниже ПДК	(0,05 - 0,1] ПДК	(0,1 - 0,2] ПДК	(0,2 - 0,3] ПДК
(0,3 - 0,4] ПДК	(0,4 - 0,5] ПДК	(0,5 - 0,6] ПДК	(0,6 - 0,7] ПДК
(0,7 - 0,8] ПДК	(0,8 - 0,9] ПДК	(0,9 - 1] ПДК	(1 - 1,5] ПДК
(1,5 - 2] ПДК	(2 - 3] ПДК	(3 - 4] ПДК	(4 - 5] ПДК
(5 - 7,5] ПДК	(7,5 - 10] ПДК	(10 - 25] ПДК	(25 - 50] ПДК
(50 - 100] ПДК	(100 - 250] ПДК	(250 - 500] ПДК	(500 - 1000] ПДК
(1000 - 5000] ПДК	(5000 - 10000] ПДК	(10000 - 100000] ПДК	выше 100000 ПДК

# Карта рассеивания загрязняющего вещества в атмосфере (вариант 1)

Вариант расчета: Биодегма (10) - Расчет рассеивания по МРР-2017 [11.02.2021 15:17 - 11.02.2021

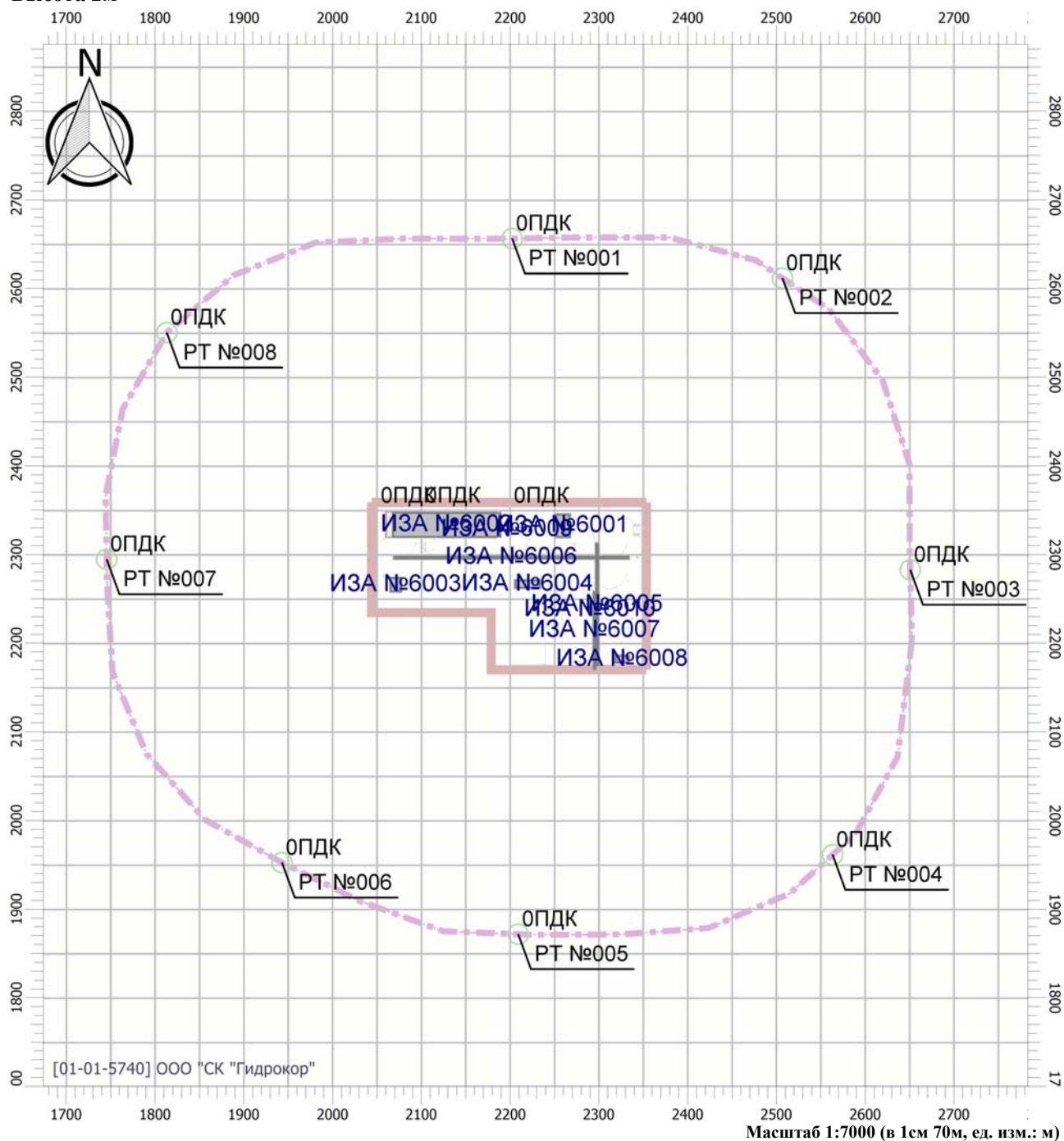
15:18] , ЛЕТО

Тип расчета: Расчеты по веществам

Код расчета: 0303 (Аммиак)

Параметр: Концентрация вредного вещества (в долях ПДК)

Высота 2м



## Цветовая схема

0 и ниже ПДК	(0,05 - 0,1] ПДК	(0,1 - 0,2] ПДК	(0,2 - 0,3] ПДК
(0,3 - 0,4] ПДК	(0,4 - 0,5] ПДК	(0,5 - 0,6] ПДК	(0,6 - 0,7] ПДК
(0,7 - 0,8] ПДК	(0,8 - 0,9] ПДК	(0,9 - 1] ПДК	(1 - 1,5] ПДК
(1,5 - 2] ПДК	(2 - 3] ПДК	(3 - 4] ПДК	(4 - 5] ПДК
(5 - 7,5] ПДК	(7,5 - 10] ПДК	(10 - 25] ПДК	(25 - 50] ПДК
(50 - 100] ПДК	(100 - 250] ПДК	(250 - 500] ПДК	(500 - 1000] ПДК
(1000 - 5000] ПДК	(5000 - 10000] ПДК	(10000 - 100000] ПДК	выше 100000 ПДК

# Карта рассеивания загрязняющего вещества в атмосфере (вариант 1)

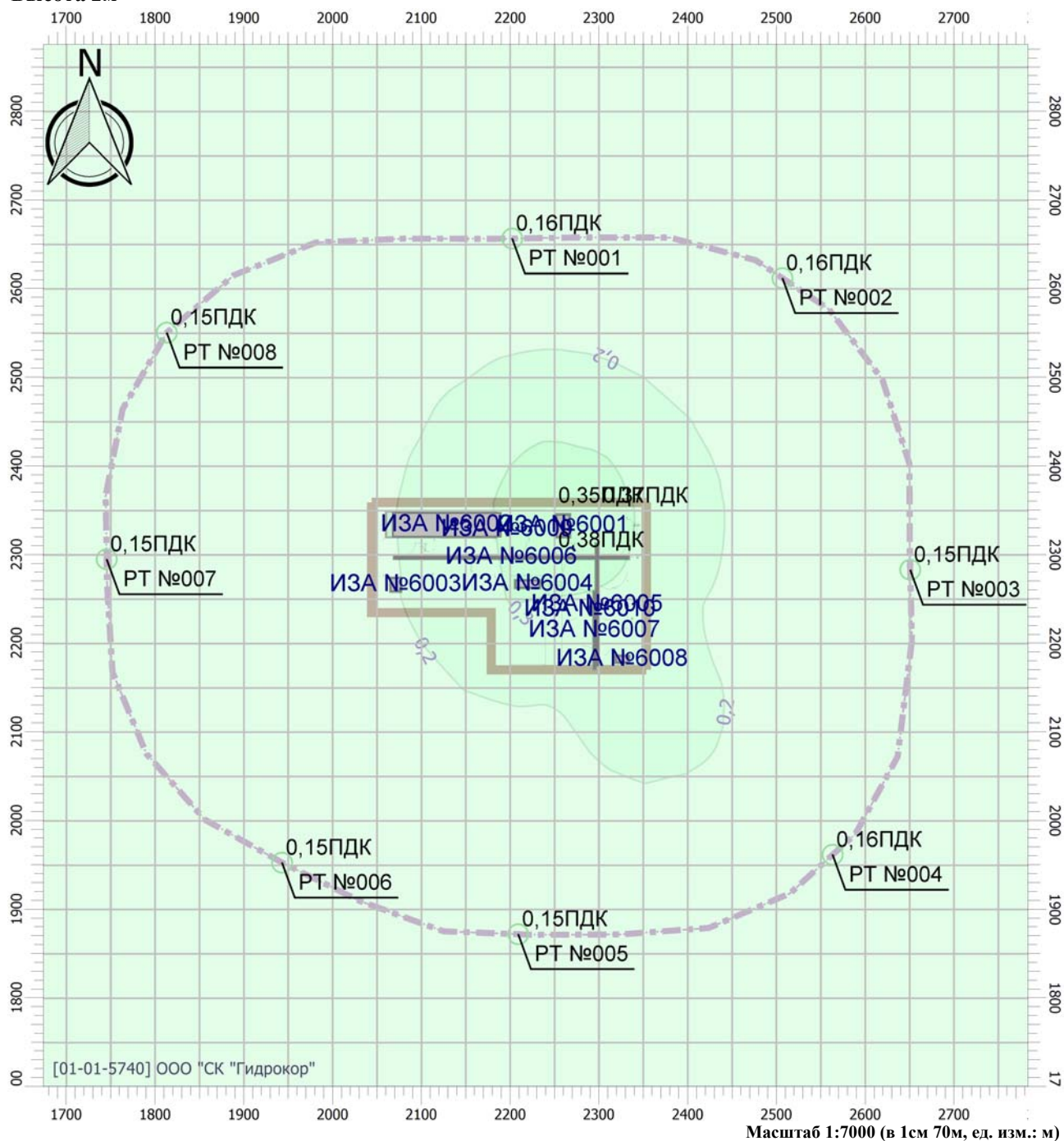
Вариант расчета: Биодегма (10) - Расчет рассеивания по МРР-2017 [11.02.2021 15:17 - 11.02.2021 15:18], ЛЕТО

Тип расчета: Расчеты по веществам

Код расчета: 0304 (Азот (II) оксид (Азота оксид))

Параметр: Концентрация вредного вещества (в долях ПДК)

Высота 2м



## Цветовая схема

0 и ниже ПДК	(0,05 - 0,1] ПДК	(0,1 - 0,2] ПДК	(0,2 - 0,3] ПДК
(0,3 - 0,4] ПДК	(0,4 - 0,5] ПДК	(0,5 - 0,6] ПДК	(0,6 - 0,7] ПДК
(0,7 - 0,8] ПДК	(0,8 - 0,9] ПДК	(0,9 - 1] ПДК	(1 - 1,5] ПДК
(1,5 - 2] ПДК	(2 - 3] ПДК	(3 - 4] ПДК	(4 - 5] ПДК
(5 - 7,5] ПДК	(7,5 - 10] ПДК	(10 - 25] ПДК	(25 - 50] ПДК
(50 - 100] ПДК	(100 - 250] ПДК	(250 - 500] ПДК	(500 - 1000] ПДК
(1000 - 5000] ПДК	(5000 - 10000] ПДК	(10000 - 100000] ПДК	выше 100000 ПДК

# Карта рассеивания загрязняющего вещества в атмосфере (вариант 1)

Вариант расчета: Биодегма (10) - Расчет рассеивания по МРР-2017 [11.02.2021 15:17 - 11.02.2021

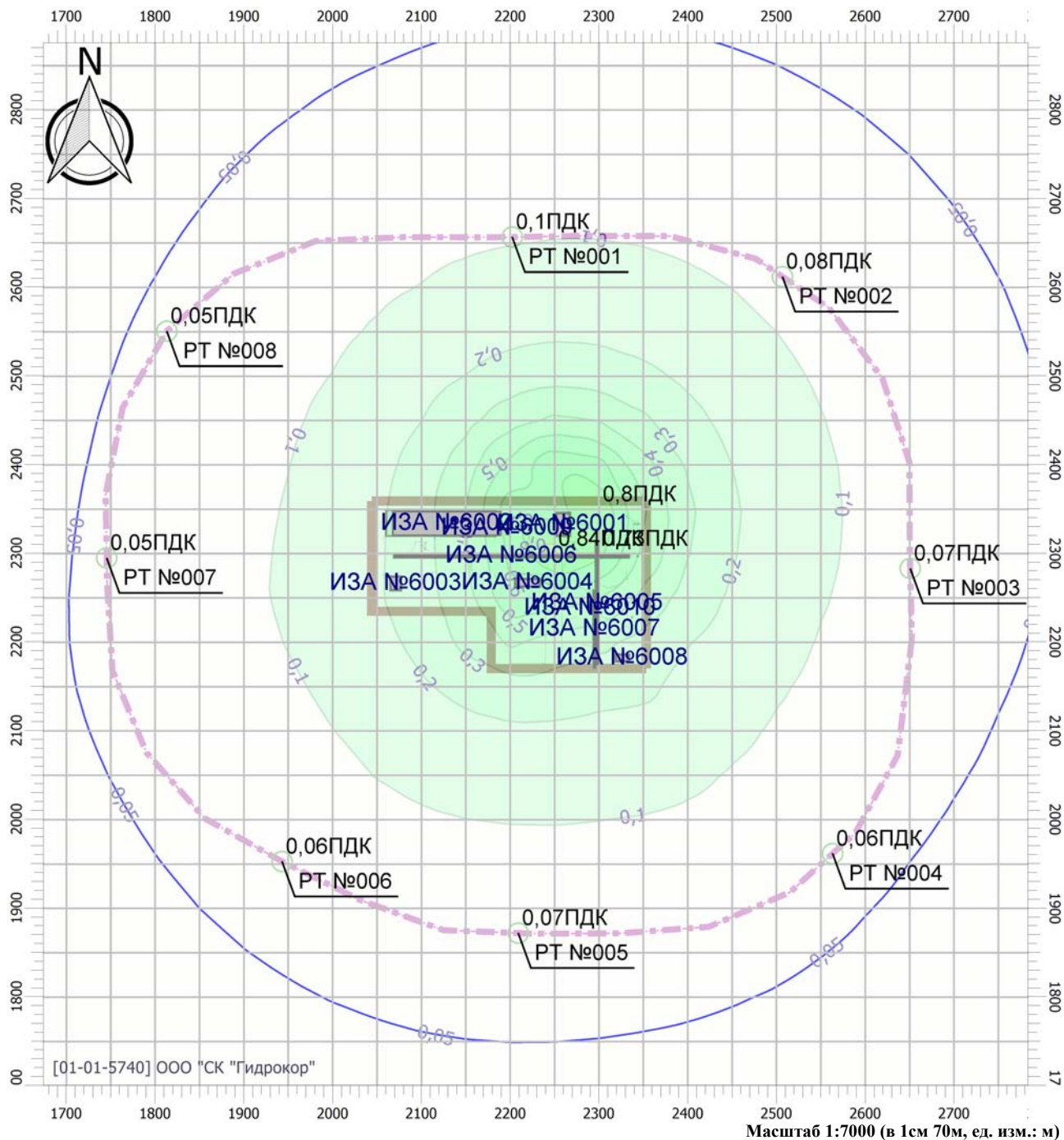
15:18], ЛЕТО

Тип расчета: Расчеты по веществам

Код расчета: 0328 (Углерод (Сажа))

Параметр: Концентрация вредного вещества (в долях ПДК)

Высота 2м



## Цветовая схема

0 и ниже ПДК	(0,05 - 0,1] ПДК	(0,1 - 0,2] ПДК	(0,2 - 0,3] ПДК
(0,3 - 0,4] ПДК	(0,4 - 0,5] ПДК	(0,5 - 0,6] ПДК	(0,6 - 0,7] ПДК
(0,7 - 0,8] ПДК	(0,8 - 0,9] ПДК	(0,9 - 1] ПДК	(1 - 1,5] ПДК
(1,5 - 2] ПДК	(2 - 3] ПДК	(3 - 4] ПДК	(4 - 5] ПДК
(5 - 7,5] ПДК	(7,5 - 10] ПДК	(10 - 25] ПДК	(25 - 50] ПДК
(50 - 100] ПДК	(100 - 250] ПДК	(250 - 500] ПДК	(500 - 1000] ПДК
(1000 - 5000] ПДК	(5000 - 10000] ПДК	(10000 - 100000] ПДК	выше 100000 ПДК

# Карта рассеивания загрязняющего вещества в атмосфере (вариант 1)

Вариант расчета: Биодегма (10) - Расчет рассеивания по МРР-2017 [11.02.2021 15:17 - 11.02.2021

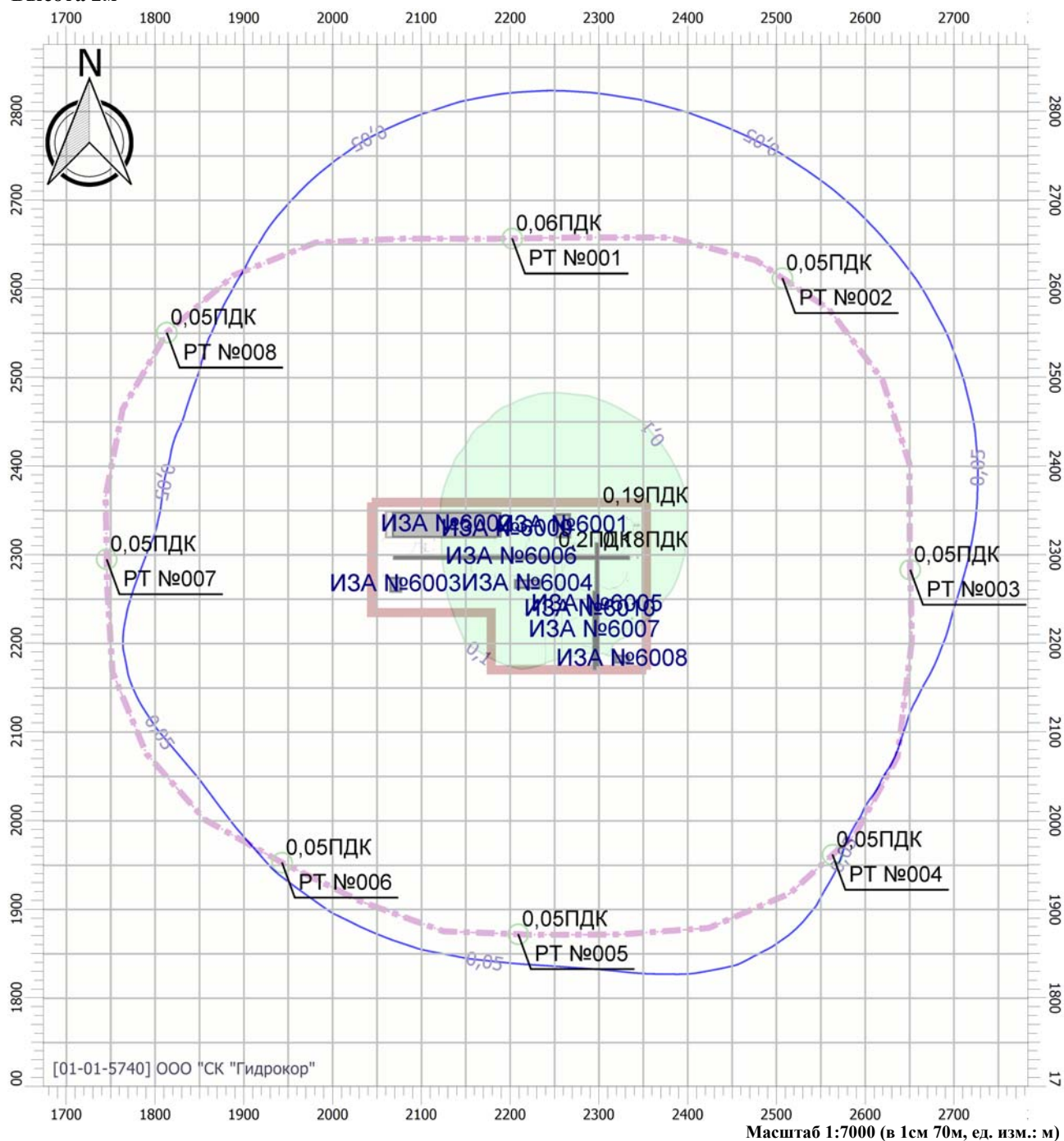
15:18] , ЛЕТО

Тип расчета: Расчеты по веществам

Код расчета: 0330 (Сера диоксид (Ангидрид сернистый))

Параметр: Концентрация вредного вещества (в долях ПДК)

Высота 2м



## Цветовая схема

0 и ниже ПДК	(0,05 - 0,1] ПДК	(0,1 - 0,2] ПДК	(0,2 - 0,3] ПДК
(0,3 - 0,4] ПДК	(0,4 - 0,5] ПДК	(0,5 - 0,6] ПДК	(0,6 - 0,7] ПДК
(0,7 - 0,8] ПДК	(0,8 - 0,9] ПДК	(0,9 - 1] ПДК	(1 - 1,5] ПДК
(1,5 - 2] ПДК	(2 - 3] ПДК	(3 - 4] ПДК	(4 - 5] ПДК
(5 - 7,5] ПДК	(7,5 - 10] ПДК	(10 - 25] ПДК	(25 - 50] ПДК
(50 - 100] ПДК	(100 - 250] ПДК	(250 - 500] ПДК	(500 - 1000] ПДК
(1000 - 5000] ПДК	(5000 - 10000] ПДК	(10000 - 100000] ПДК	выше 100000 ПДК

# Карта рассеивания загрязняющего вещества в атмосфере (вариант 1)

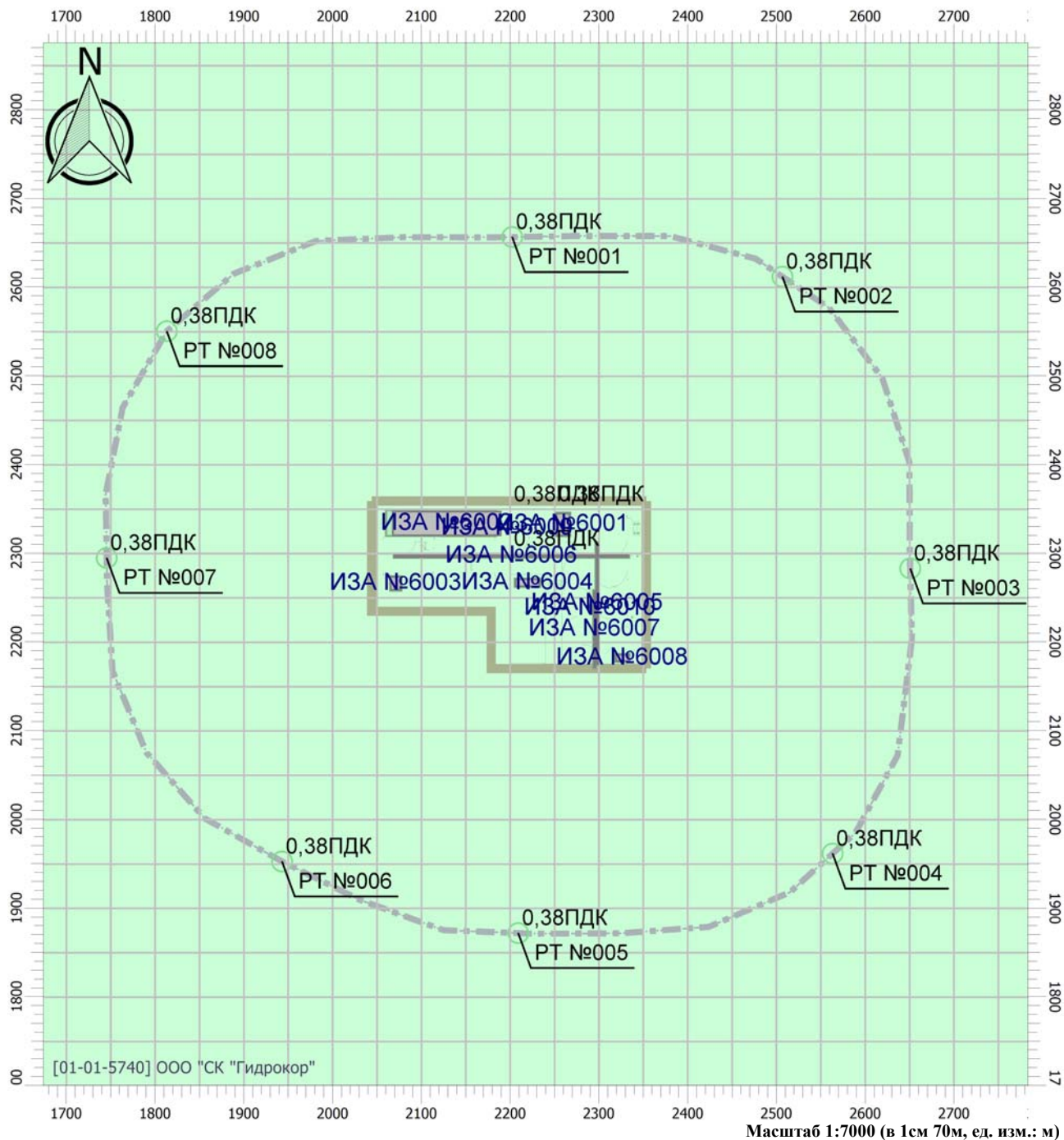
Вариант расчета: Биодегма (10) - Расчет рассеивания по МРР-2017 [11.02.2021 15:17 - 11.02.2021 15:18], ЛЕТО

Тип расчета: Расчеты по веществам

Код расчета: 0333 (Дигидросульфид (Сероводород))

Параметр: Концентрация вредного вещества (в долях ПДК)

Высота 2м



## Цветовая схема

0 и ниже ПДК	(0,05 - 0,1] ПДК	(0,1 - 0,2] ПДК	(0,2 - 0,3] ПДК
(0,3 - 0,4] ПДК	(0,4 - 0,5] ПДК	(0,5 - 0,6] ПДК	(0,6 - 0,7] ПДК
(0,7 - 0,8] ПДК	(0,8 - 0,9] ПДК	(0,9 - 1] ПДК	(1 - 1,5] ПДК
(1,5 - 2] ПДК	(2 - 3] ПДК	(3 - 4] ПДК	(4 - 5] ПДК
(5 - 7,5] ПДК	(7,5 - 10] ПДК	(10 - 25] ПДК	(25 - 50] ПДК
(50 - 100] ПДК	(100 - 250] ПДК	(250 - 500] ПДК	(500 - 1000] ПДК
(1000 - 5000] ПДК	(5000 - 10000] ПДК	(10000 - 100000] ПДК	выше 100000 ПДК

# Карта рассеивания загрязняющего вещества в атмосфере (вариант 1)

Вариант расчета: Биодегма (10) - Расчет рассеивания по МРР-2017 [11.02.2021 15:17 - 11.02.2021

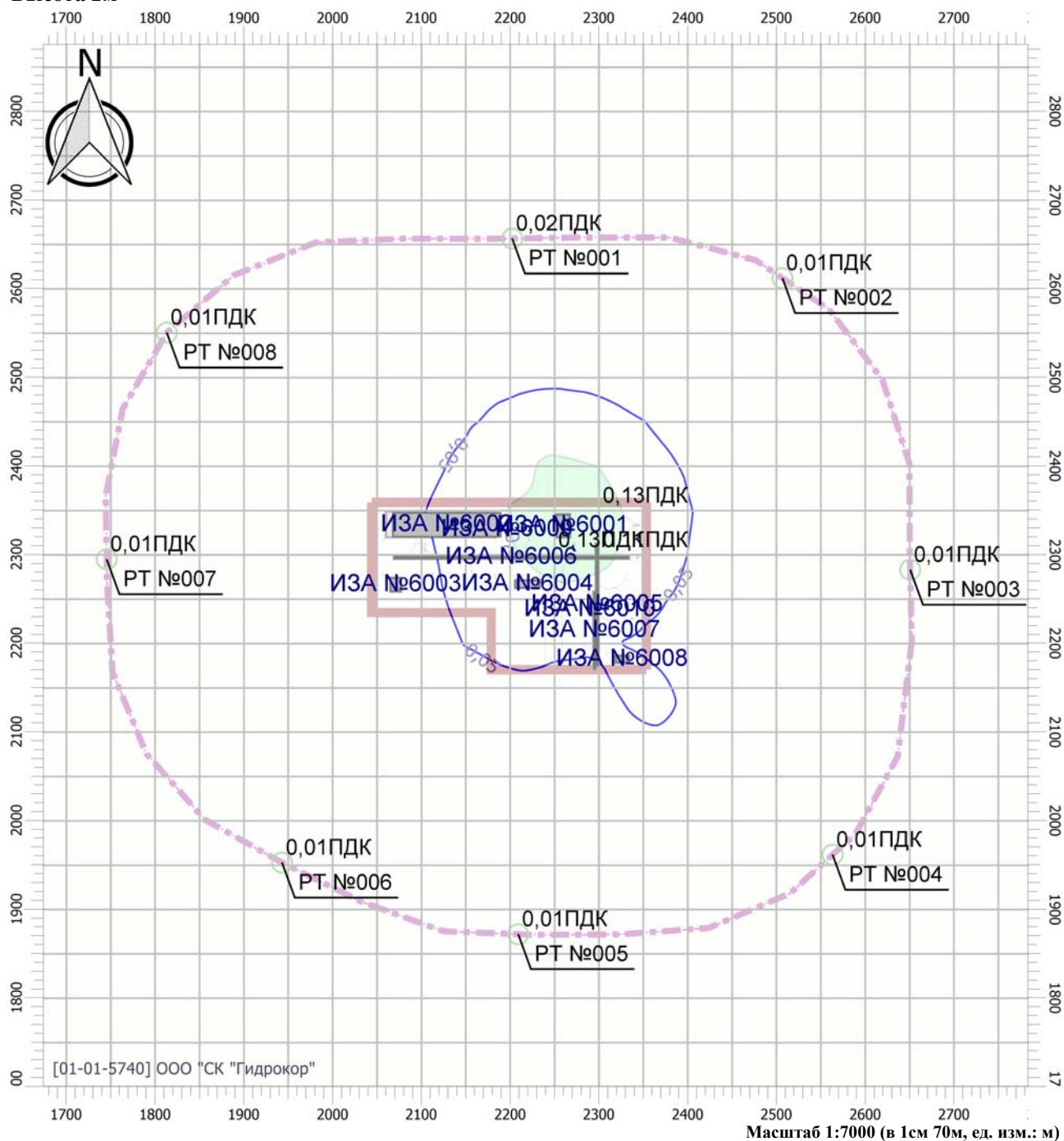
15:18] , ЛЕТО

Тип расчета: Расчеты по веществам

Код расчета: 0337 (Углерод оксид)

Параметр: Концентрация вредного вещества (в долях ПДК)

Высота 2м



## Цветовая схема

0 и ниже ПДК	(0,05 - 0,1] ПДК	(0,1 - 0,2] ПДК	(0,2 - 0,3] ПДК
(0,3 - 0,4] ПДК	(0,4 - 0,5] ПДК	(0,5 - 0,6] ПДК	(0,6 - 0,7] ПДК
(0,7 - 0,8] ПДК	(0,8 - 0,9] ПДК	(0,9 - 1] ПДК	(1 - 1,5] ПДК
(1,5 - 2] ПДК	(2 - 3] ПДК	(3 - 4] ПДК	(4 - 5] ПДК
(5 - 7,5] ПДК	(7,5 - 10] ПДК	(10 - 25] ПДК	(25 - 50] ПДК
(50 - 100] ПДК	(100 - 250] ПДК	(250 - 500] ПДК	(500 - 1000] ПДК
(1000 - 5000] ПДК	(5000 - 10000] ПДК	(10000 - 100000] ПДК	выше 100000 ПДК

# Карта рассеивания загрязняющего вещества в атмосфере (вариант 1)

Вариант расчета: Биодегма (10) - Расчет рассеивания по МРР-2017 [11.02.2021 15:17 - 11.02.2021

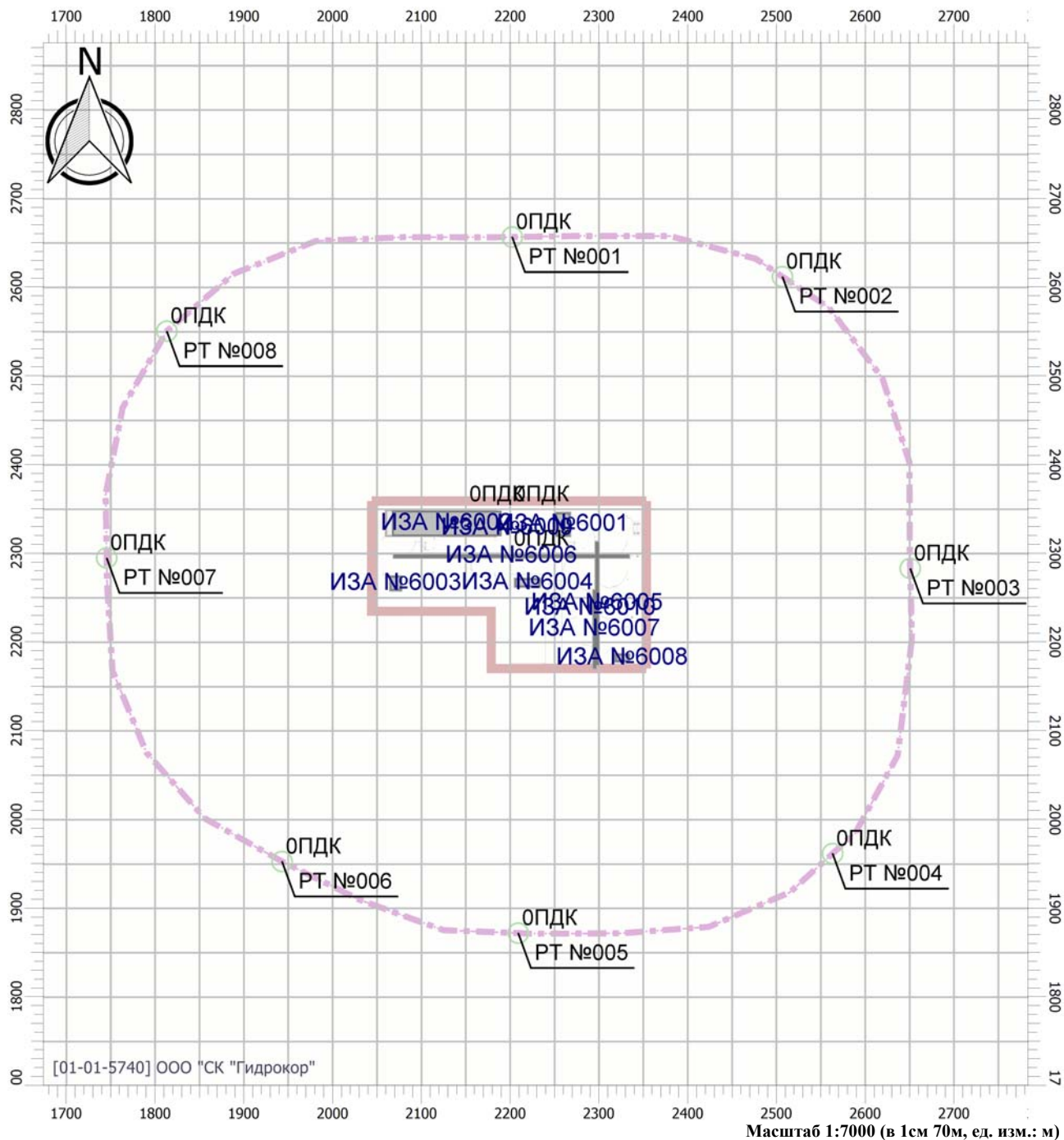
15:18] , ЛЕТО

Тип расчета: Расчеты по веществам

Код расчета: 0410 (Метан)

Параметр: Концентрация вредного вещества (в долях ПДК)

Высота 2м



## Цветовая схема

0 и ниже ПДК	(0,05 - 0,1] ПДК	(0,1 - 0,2] ПДК	(0,2 - 0,3] ПДК
(0,3 - 0,4] ПДК	(0,4 - 0,5] ПДК	(0,5 - 0,6] ПДК	(0,6 - 0,7] ПДК
(0,7 - 0,8] ПДК	(0,8 - 0,9] ПДК	(0,9 - 1] ПДК	(1 - 1,5] ПДК
(1,5 - 2] ПДК	(2 - 3] ПДК	(3 - 4] ПДК	(4 - 5] ПДК
(5 - 7,5] ПДК	(7,5 - 10] ПДК	(10 - 25] ПДК	(25 - 50] ПДК
(50 - 100] ПДК	(100 - 250] ПДК	(250 - 500] ПДК	(500 - 1000] ПДК
(1000 - 5000] ПДК	(5000 - 10000] ПДК	(10000 - 100000] ПДК	выше 100000 ПДК

# Карта рассеивания загрязняющего вещества в атмосфере (вариант 1)

Вариант расчета: Биодегма (10) - Расчет рассеивания по МРР-2017 [11.02.2021 15:17 - 11.02.2021

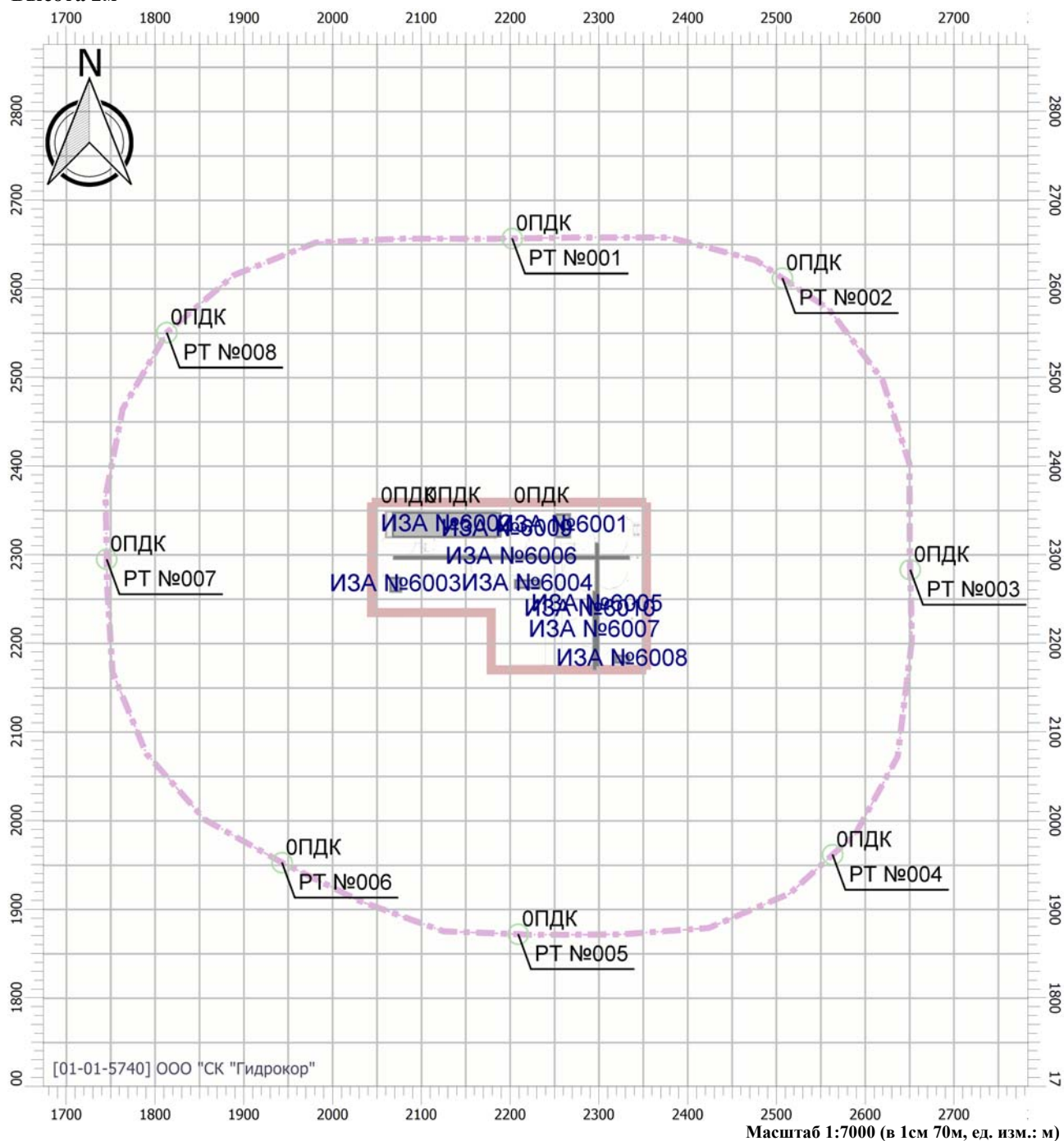
15:18] , ЛЕТО

Тип расчета: Расчеты по веществам

Код расчета: 0416 (Смесь углеводородов предельных С6-С10)

Параметр: Концентрация вредного вещества (в долях ПДК)

Высота 2м



## Цветовая схема

0 и ниже ПДК	(0,05 - 0,1] ПДК	(0,1 - 0,2] ПДК	(0,2 - 0,3] ПДК
(0,3 - 0,4] ПДК	(0,4 - 0,5] ПДК	(0,5 - 0,6] ПДК	(0,6 - 0,7] ПДК
(0,7 - 0,8] ПДК	(0,8 - 0,9] ПДК	(0,9 - 1] ПДК	(1 - 1,5] ПДК
(1,5 - 2] ПДК	(2 - 3] ПДК	(3 - 4] ПДК	(4 - 5] ПДК
(5 - 7,5] ПДК	(7,5 - 10] ПДК	(10 - 25] ПДК	(25 - 50] ПДК
(50 - 100] ПДК	(100 - 250] ПДК	(250 - 500] ПДК	(500 - 1000] ПДК
(1000 - 5000] ПДК	(5000 - 10000] ПДК	(10000 - 100000] ПДК	выше 100000 ПДК

# Карта рассеивания загрязняющего вещества в атмосфере (вариант 1)

Вариант расчета: Биодегма (10) - Расчет рассеивания по МРР-2017 [11.02.2021 15:17 - 11.02.2021

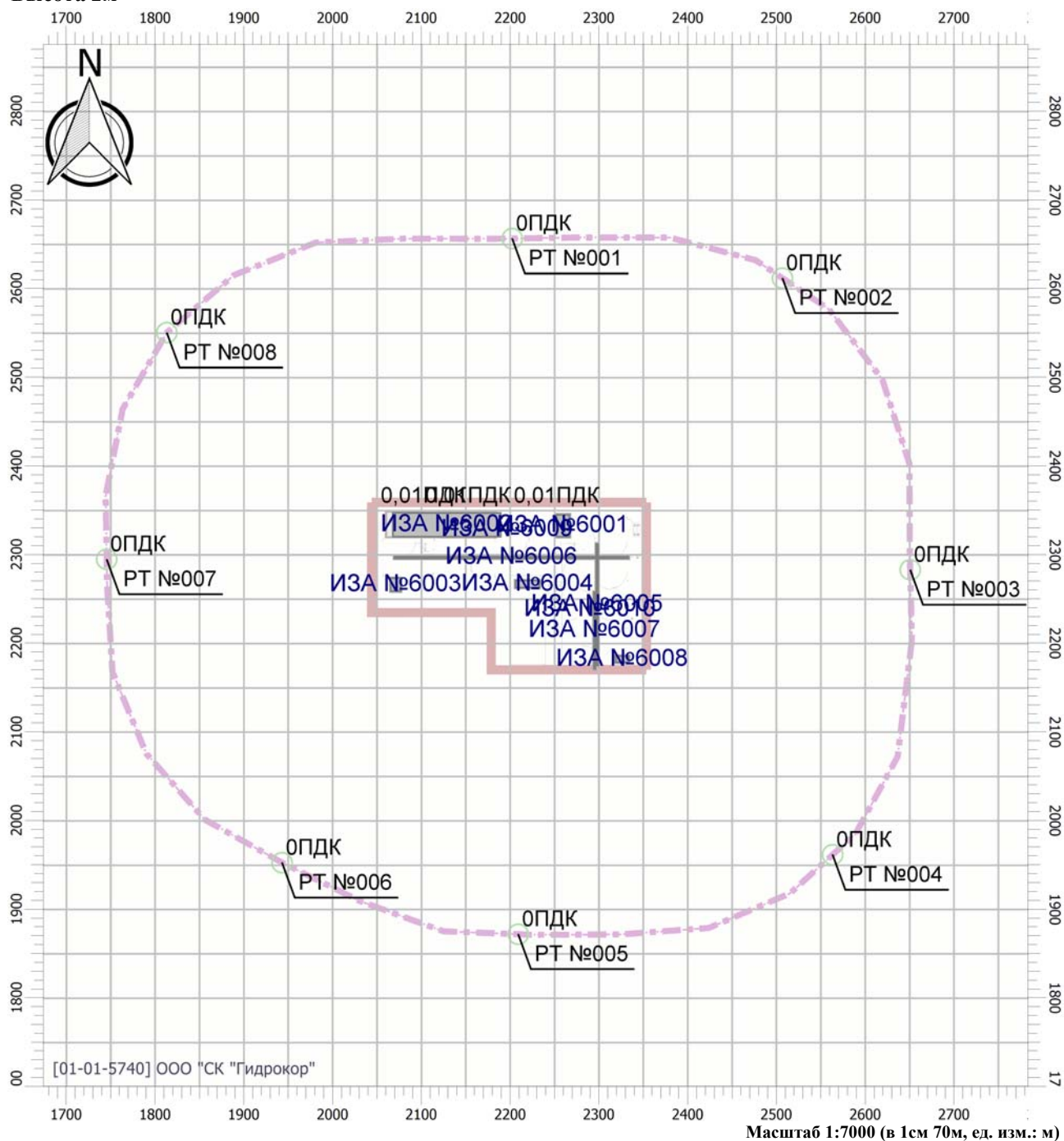
15:18] , ЛЕТО

Тип расчета: Расчеты по веществам

Код расчета: 0602 (Бензол)

Параметр: Концентрация вредного вещества (в долях ПДК)

Высота 2м



## Цветовая схема

0 и ниже ПДК	(0,05 - 0,1] ПДК	(0,1 - 0,2] ПДК	(0,2 - 0,3] ПДК
(0,3 - 0,4] ПДК	(0,4 - 0,5] ПДК	(0,5 - 0,6] ПДК	(0,6 - 0,7] ПДК
(0,7 - 0,8] ПДК	(0,8 - 0,9] ПДК	(0,9 - 1] ПДК	(1 - 1,5] ПДК
(1,5 - 2] ПДК	(2 - 3] ПДК	(3 - 4] ПДК	(4 - 5] ПДК
(5 - 7,5] ПДК	(7,5 - 10] ПДК	(10 - 25] ПДК	(25 - 50] ПДК
(50 - 100] ПДК	(100 - 250] ПДК	(250 - 500] ПДК	(500 - 1000] ПДК
(1000 - 5000] ПДК	(5000 - 10000] ПДК	(10000 - 100000] ПДК	выше 100000 ПДК

# Карта рассеивания загрязняющего вещества в атмосфере (вариант 1)

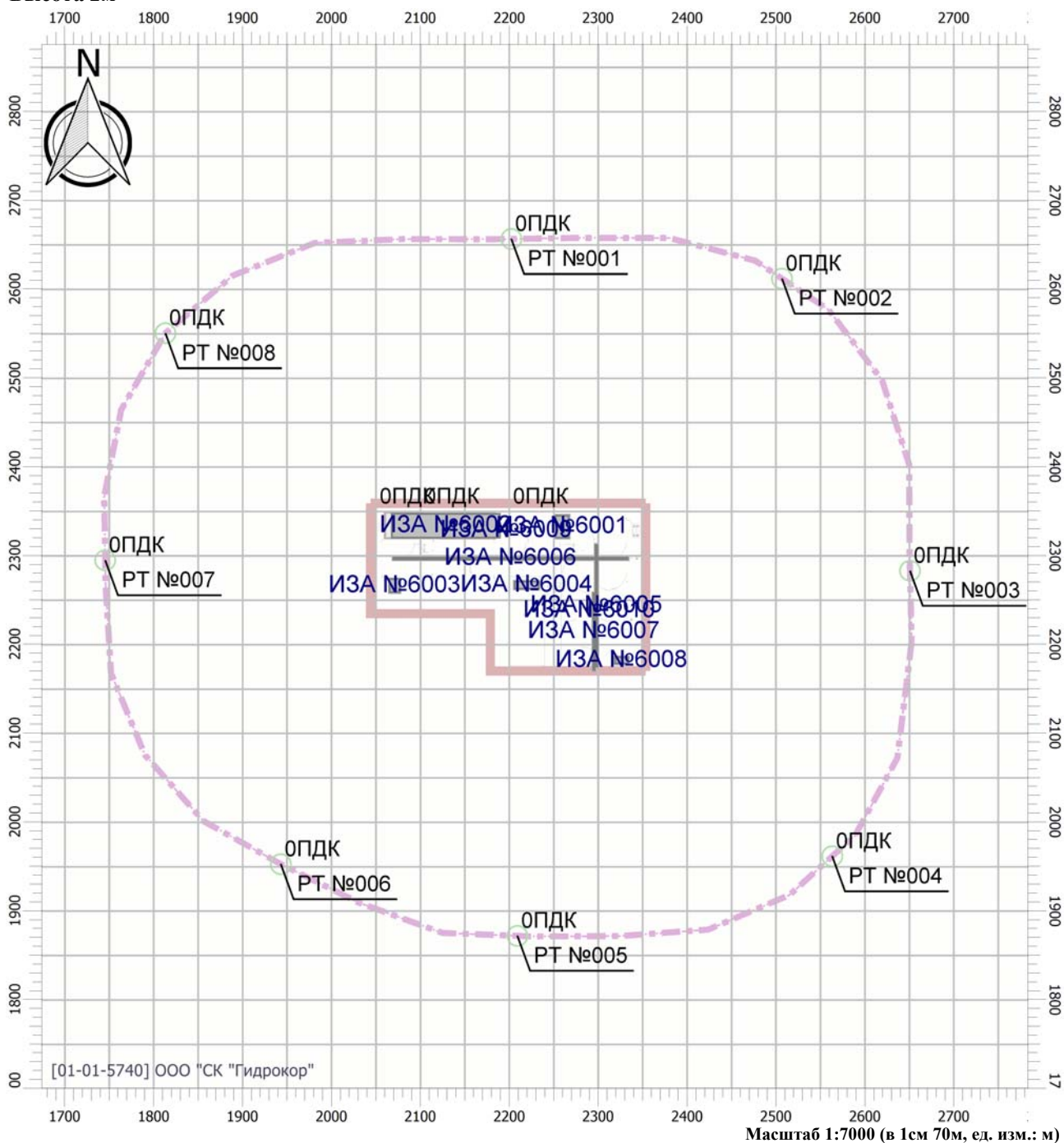
Вариант расчета: Биодегма (10) - Расчет рассеивания по МРР-2017 [11.02.2021 15:17 - 11.02.2021 15:18], ЛЕТО

Тип расчета: Расчеты по веществам

Код расчета: 0616 (Диметилбензол (Ксилол) (смесь изомеров о-, м-, п-))

Параметр: Концентрация вредного вещества (в долях ПДК)

Высота 2м



## Цветовая схема

0 и ниже ПДК	(0,05 - 0,1] ПДК	(0,1 - 0,2] ПДК	(0,2 - 0,3] ПДК
(0,3 - 0,4] ПДК	(0,4 - 0,5] ПДК	(0,5 - 0,6] ПДК	(0,6 - 0,7] ПДК
(0,7 - 0,8] ПДК	(0,8 - 0,9] ПДК	(0,9 - 1] ПДК	(1 - 1,5] ПДК
(1,5 - 2] ПДК	(2 - 3] ПДК	(3 - 4] ПДК	(4 - 5] ПДК
(5 - 7,5] ПДК	(7,5 - 10] ПДК	(10 - 25] ПДК	(25 - 50] ПДК
(50 - 100] ПДК	(100 - 250] ПДК	(250 - 500] ПДК	(500 - 1000] ПДК
(1000 - 5000] ПДК	(5000 - 10000] ПДК	(10000 - 100000] ПДК	выше 100000 ПДК

# Карта рассеивания загрязняющего вещества в атмосфере (вариант 1)

Вариант расчета: Биодегма (10) - Расчет рассеивания по МРР-2017 [11.02.2021 15:17 - 11.02.2021

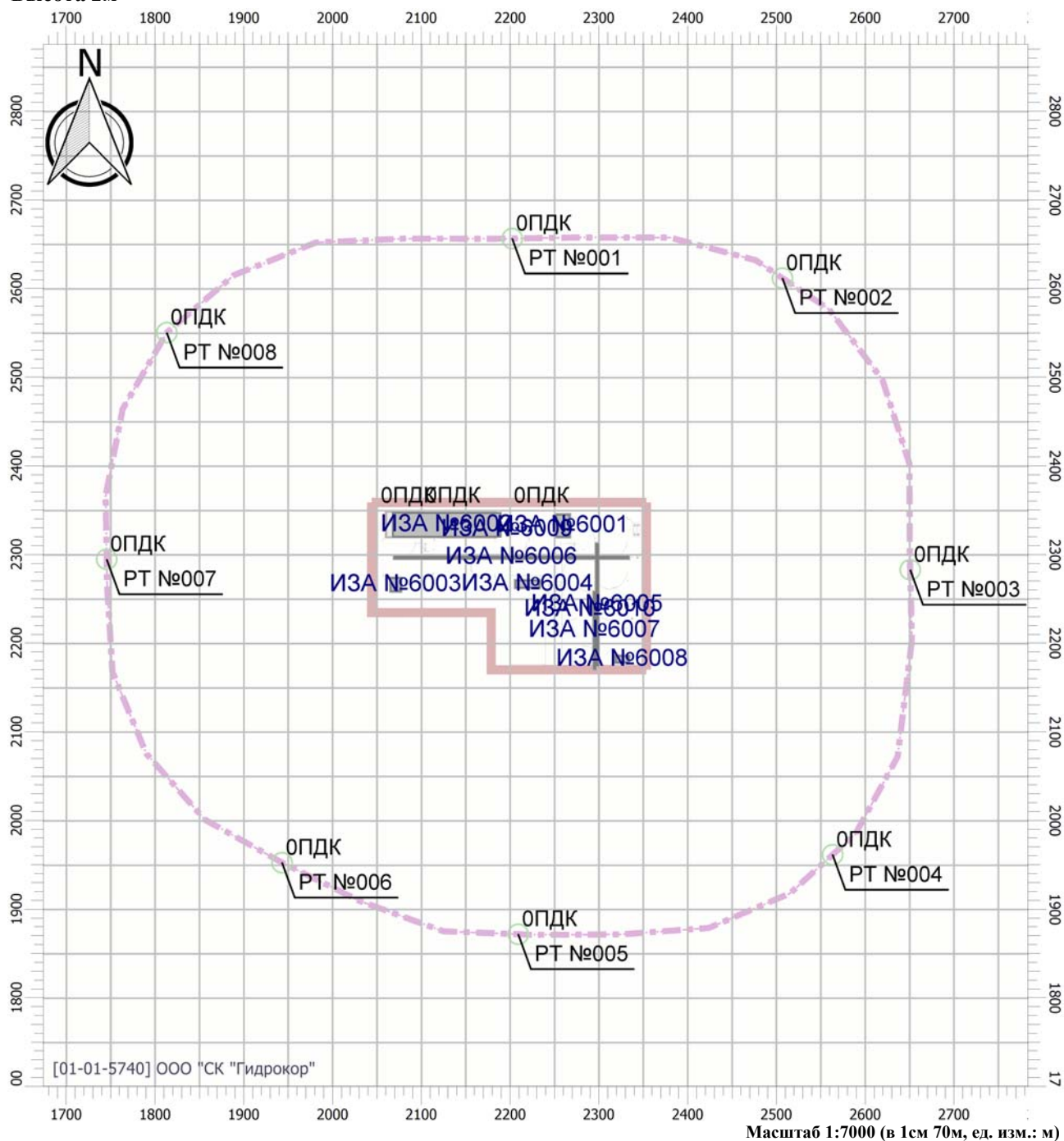
15:18] , ЛЕТО

Тип расчета: Расчеты по веществам

Код расчета: 0621 (Метилбензол (Толуол))

Параметр: Концентрация вредного вещества (в долях ПДК)

Высота 2м



## Цветовая схема

0 и ниже ПДК	(0,05 - 0,1] ПДК	(0,1 - 0,2] ПДК	(0,2 - 0,3] ПДК
(0,3 - 0,4] ПДК	(0,4 - 0,5] ПДК	(0,5 - 0,6] ПДК	(0,6 - 0,7] ПДК
(0,7 - 0,8] ПДК	(0,8 - 0,9] ПДК	(0,9 - 1] ПДК	(1 - 1,5] ПДК
(1,5 - 2] ПДК	(2 - 3] ПДК	(3 - 4] ПДК	(4 - 5] ПДК
(5 - 7,5] ПДК	(7,5 - 10] ПДК	(10 - 25] ПДК	(25 - 50] ПДК
(50 - 100] ПДК	(100 - 250] ПДК	(250 - 500] ПДК	(500 - 1000] ПДК
(1000 - 5000] ПДК	(5000 - 10000] ПДК	(10000 - 100000] ПДК	выше 100000 ПДК

# Карта рассеивания загрязняющего вещества в атмосфере (вариант 1)

Вариант расчета: Биодегма (10) - Расчет рассеивания по МРР-2017 [11.02.2021 15:17 - 11.02.2021

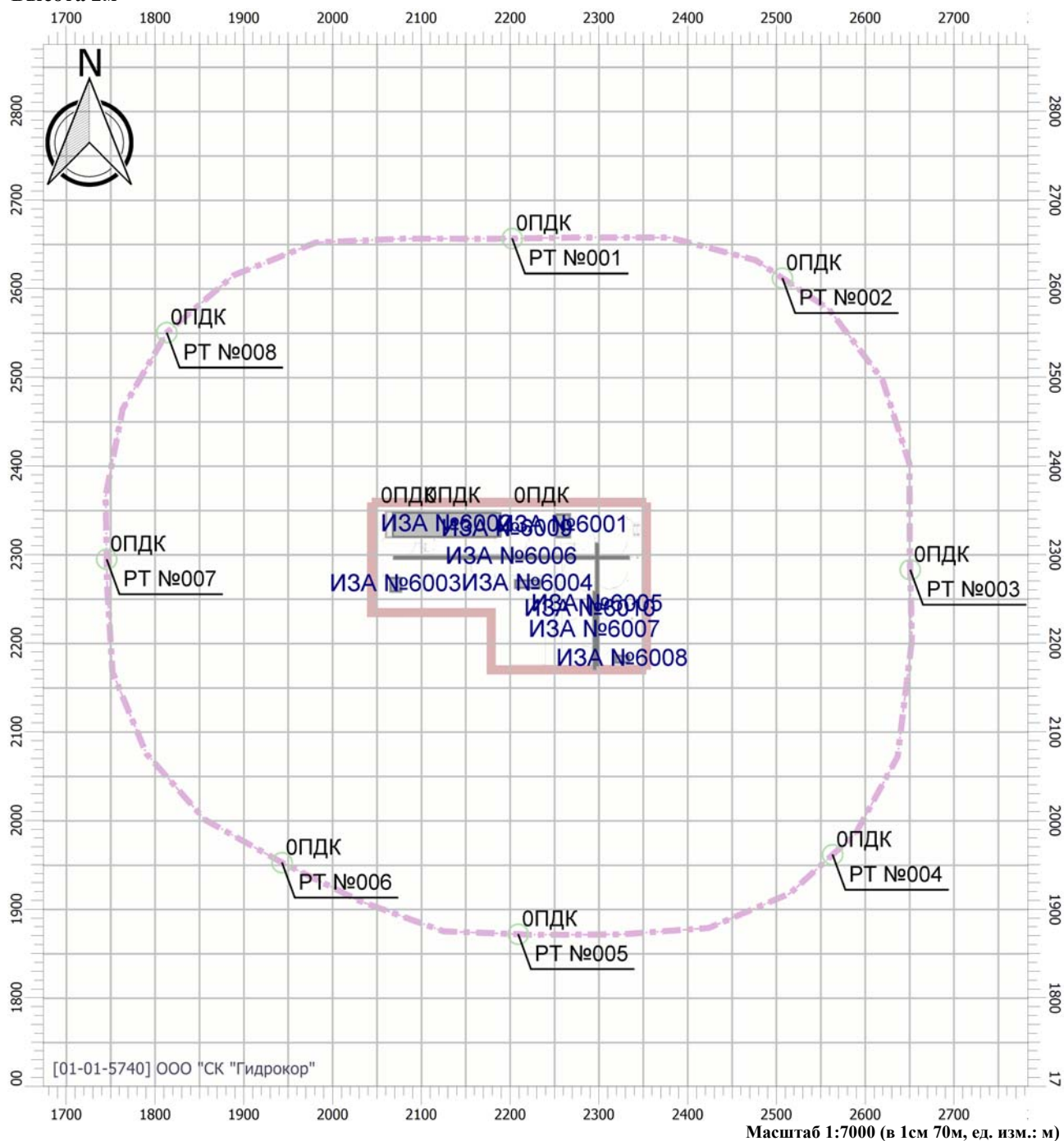
15:18] , ЛЕТО

Тип расчета: Расчеты по веществам

Код расчета: 0627 (Этилбензол)

Параметр: Концентрация вредного вещества (в долях ПДК)

Высота 2м



## Цветовая схема

0 и ниже ПДК	(0,05 - 0,1] ПДК	(0,1 - 0,2] ПДК	(0,2 - 0,3] ПДК
(0,3 - 0,4] ПДК	(0,4 - 0,5] ПДК	(0,5 - 0,6] ПДК	(0,6 - 0,7] ПДК
(0,7 - 0,8] ПДК	(0,8 - 0,9] ПДК	(0,9 - 1] ПДК	(1 - 1,5] ПДК
(1,5 - 2] ПДК	(2 - 3] ПДК	(3 - 4] ПДК	(4 - 5] ПДК
(5 - 7,5] ПДК	(7,5 - 10] ПДК	(10 - 25] ПДК	(25 - 50] ПДК
(50 - 100] ПДК	(100 - 250] ПДК	(250 - 500] ПДК	(500 - 1000] ПДК
(1000 - 5000] ПДК	(5000 - 10000] ПДК	(10000 - 100000] ПДК	выше 100000 ПДК

# Карта рассеивания загрязняющего вещества в атмосфере (вариант 1)

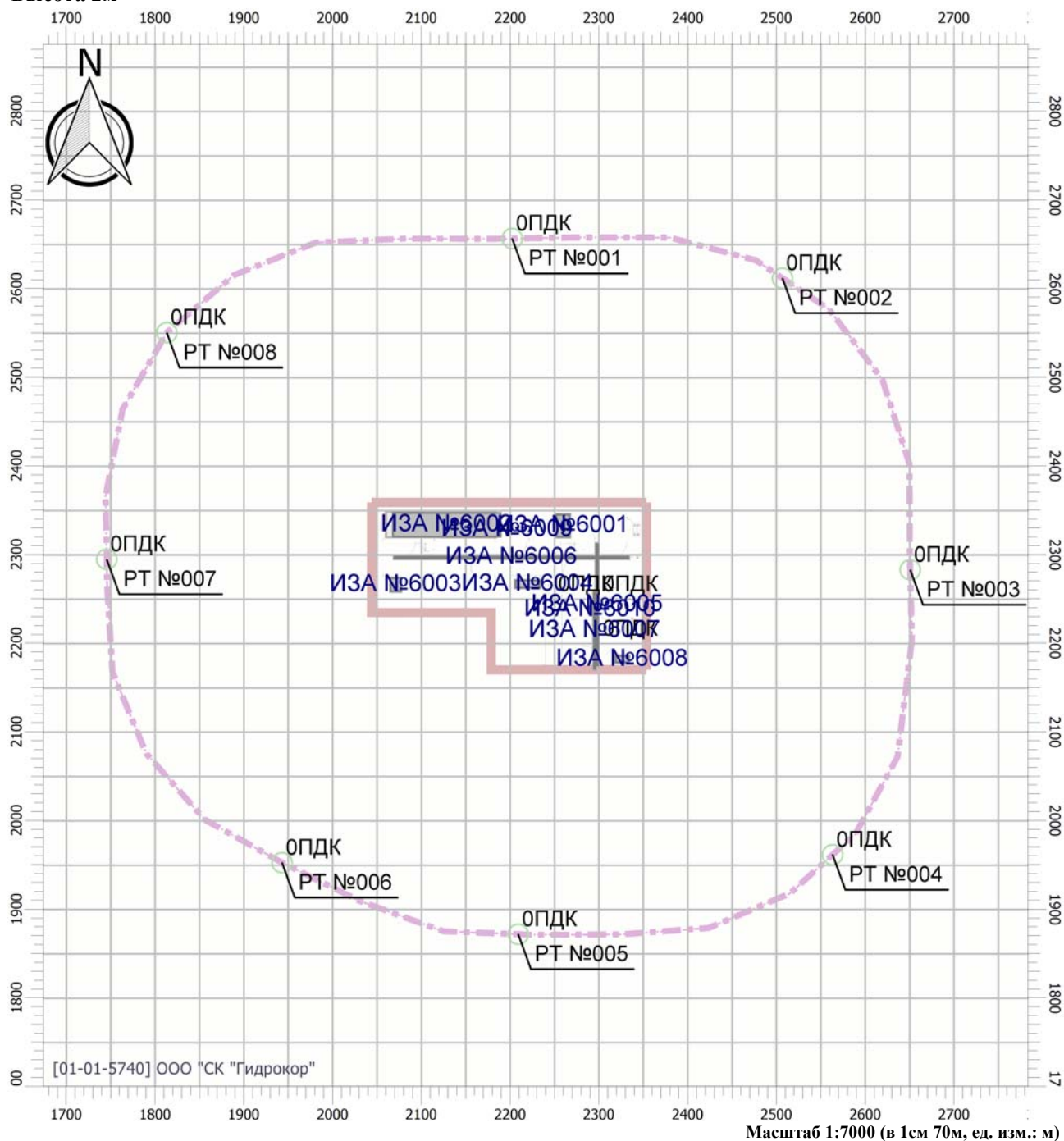
Вариант расчета: Биодегма (10) - Расчет рассеивания по МРР-2017 [11.02.2021 15:17 - 11.02.2021 15:18], ЛЕТО

Тип расчета: Расчеты по веществам

Код расчета: 1051 (Пропан-2-ол (Изопропиловый спирт))

Параметр: Концентрация вредного вещества (в долях ПДК)

Высота 2м



## Цветовая схема

0 и ниже ПДК	(0,05 - 0,1] ПДК	(0,1 - 0,2] ПДК	(0,2 - 0,3] ПДК
(0,3 - 0,4] ПДК	(0,4 - 0,5] ПДК	(0,5 - 0,6] ПДК	(0,6 - 0,7] ПДК
(0,7 - 0,8] ПДК	(0,8 - 0,9] ПДК	(0,9 - 1] ПДК	(1 - 1,5] ПДК
(1,5 - 2] ПДК	(2 - 3] ПДК	(3 - 4] ПДК	(4 - 5] ПДК
(5 - 7,5] ПДК	(7,5 - 10] ПДК	(10 - 25] ПДК	(25 - 50] ПДК
(50 - 100] ПДК	(100 - 250] ПДК	(250 - 500] ПДК	(500 - 1000] ПДК
(1000 - 5000] ПДК	(5000 - 10000] ПДК	(10000 - 100000] ПДК	выше 100000 ПДК

# Карта рассеивания загрязняющего вещества в атмосфере (вариант 1)

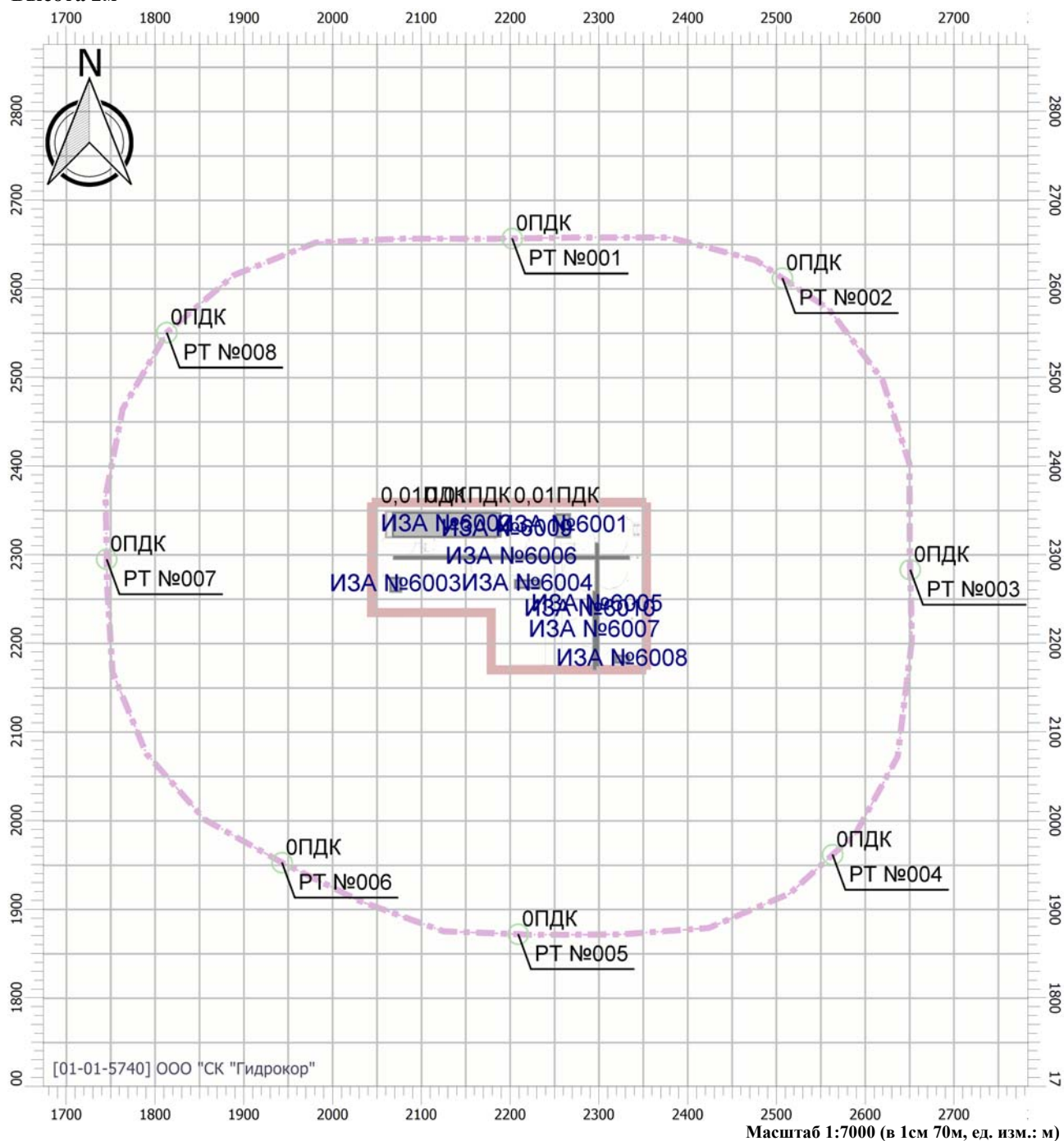
Вариант расчета: Биодегма (10) - Расчет рассеивания по МРР-2017 [11.02.2021 15:17 - 11.02.2021 15:18], ЛЕТО

Тип расчета: Расчеты по веществам

Код расчета: 1071 (Гидроксibenзол (Фенол))

Параметр: Концентрация вредного вещества (в долях ПДК)

Высота 2м



## Цветовая схема

0 и ниже ПДК	(0,05 - 0,1] ПДК	(0,1 - 0,2] ПДК	(0,2 - 0,3] ПДК
(0,3 - 0,4] ПДК	(0,4 - 0,5] ПДК	(0,5 - 0,6] ПДК	(0,6 - 0,7] ПДК
(0,7 - 0,8] ПДК	(0,8 - 0,9] ПДК	(0,9 - 1] ПДК	(1 - 1,5] ПДК
(1,5 - 2] ПДК	(2 - 3] ПДК	(3 - 4] ПДК	(4 - 5] ПДК
(5 - 7,5] ПДК	(7,5 - 10] ПДК	(10 - 25] ПДК	(25 - 50] ПДК
(50 - 100] ПДК	(100 - 250] ПДК	(250 - 500] ПДК	(500 - 1000] ПДК
(1000 - 5000] ПДК	(5000 - 10000] ПДК	(10000 - 100000] ПДК	выше 100000 ПДК

# Карта рассеивания загрязняющего вещества в атмосфере (вариант 1)

Вариант расчета: Биодегма (10) - Расчет рассеивания по МРР-2017 [11.02.2021 15:17 - 11.02.2021

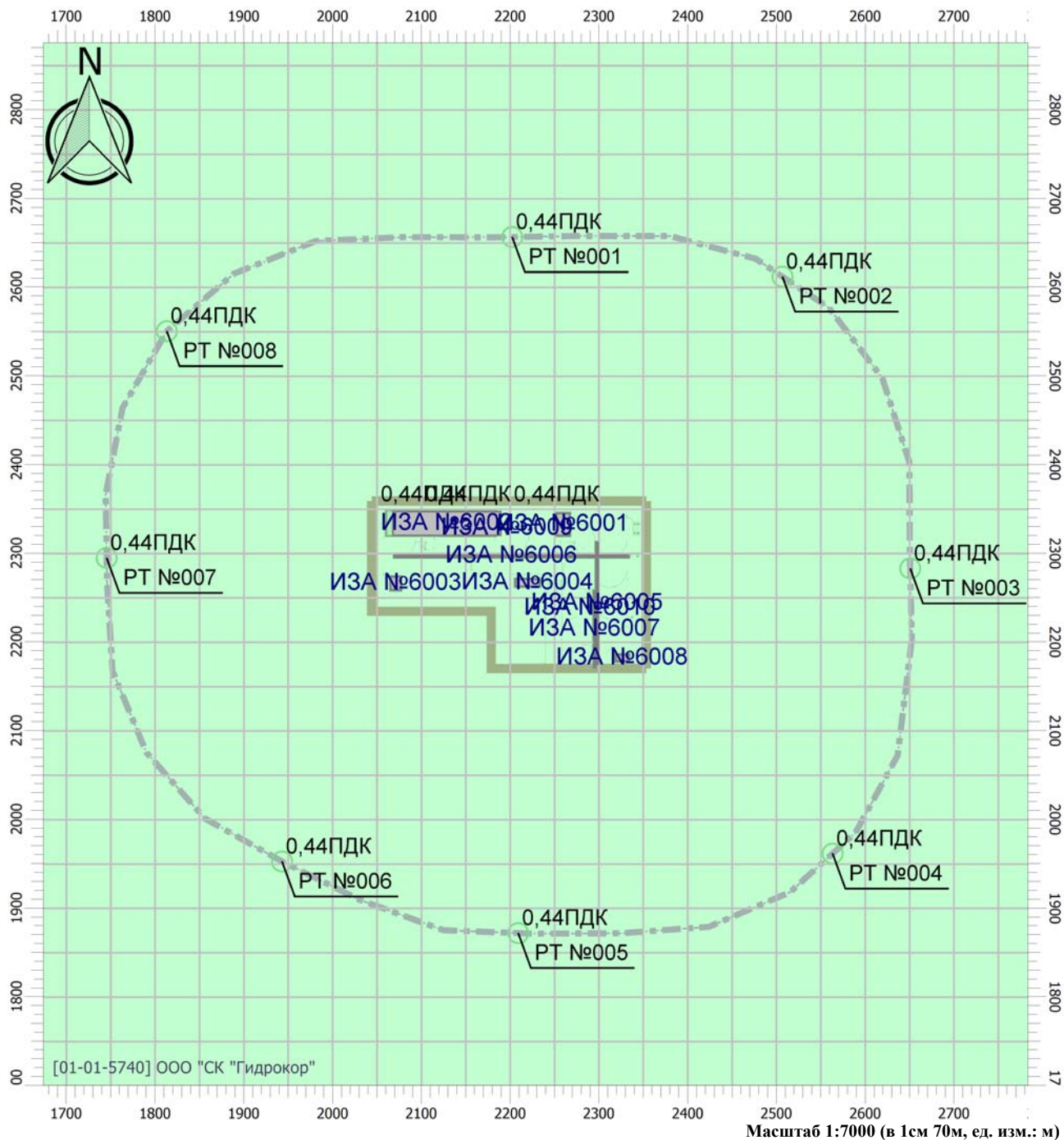
15:18] , ЛЕТО

Тип расчета: Расчеты по веществам

Код расчета: 1325 (Формальдегид)

Параметр: Концентрация вредного вещества (в долях ПДК)

Высота 2м



## Цветовая схема

0 и ниже ПДК	(0,05 - 0,1] ПДК	(0,1 - 0,2] ПДК	(0,2 - 0,3] ПДК
(0,3 - 0,4] ПДК	(0,4 - 0,5] ПДК	(0,5 - 0,6] ПДК	(0,6 - 0,7] ПДК
(0,7 - 0,8] ПДК	(0,8 - 0,9] ПДК	(0,9 - 1] ПДК	(1 - 1,5] ПДК
(1,5 - 2] ПДК	(2 - 3] ПДК	(3 - 4] ПДК	(4 - 5] ПДК
(5 - 7,5] ПДК	(7,5 - 10] ПДК	(10 - 25] ПДК	(25 - 50] ПДК
(50 - 100] ПДК	(100 - 250] ПДК	(250 - 500] ПДК	(500 - 1000] ПДК
(1000 - 5000] ПДК	(5000 - 10000] ПДК	(10000 - 100000] ПДК	выше 100000 ПДК

# Карта рассеивания загрязняющего вещества в атмосфере (вариант 1)

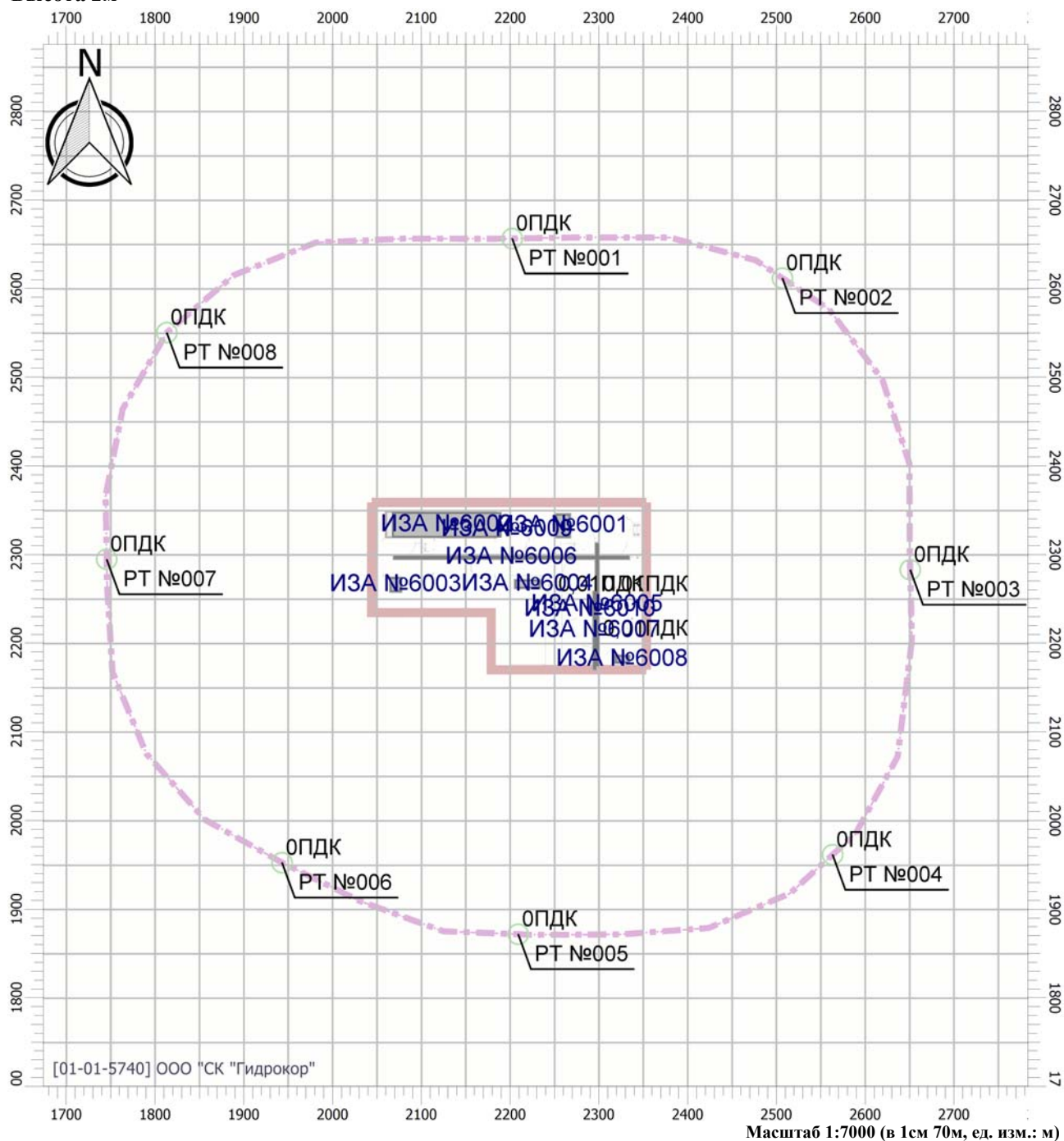
Вариант расчета: Биодегма (10) - Расчет рассеивания по МРР-2017 [11.02.2021 15:17 - 11.02.2021 15:18] , ЛЕТО

Тип расчета: Расчеты по веществам

Код расчета: 1328 (Пентандиаль (Глутаральдегид; Глутаровый альдегид))

Параметр: Концентрация вредного вещества (в долях ПДК)

Высота 2м



## Цветовая схема

0 и ниже ПДК	(0,05 - 0,1] ПДК	(0,1 - 0,2] ПДК	(0,2 - 0,3] ПДК
(0,3 - 0,4] ПДК	(0,4 - 0,5] ПДК	(0,5 - 0,6] ПДК	(0,6 - 0,7] ПДК
(0,7 - 0,8] ПДК	(0,8 - 0,9] ПДК	(0,9 - 1] ПДК	(1 - 1,5] ПДК
(1,5 - 2] ПДК	(2 - 3] ПДК	(3 - 4] ПДК	(4 - 5] ПДК
(5 - 7,5] ПДК	(7,5 - 10] ПДК	(10 - 25] ПДК	(25 - 50] ПДК
(50 - 100] ПДК	(100 - 250] ПДК	(250 - 500] ПДК	(500 - 1000] ПДК
(1000 - 5000] ПДК	(5000 - 10000] ПДК	(10000 - 100000] ПДК	выше 100000 ПДК

# Карта рассеивания загрязняющего вещества в атмосфере (вариант 1)

Вариант расчета: Биодегма (10) - Расчет рассеивания по МРР-2017 [11.02.2021 15:17 - 11.02.2021

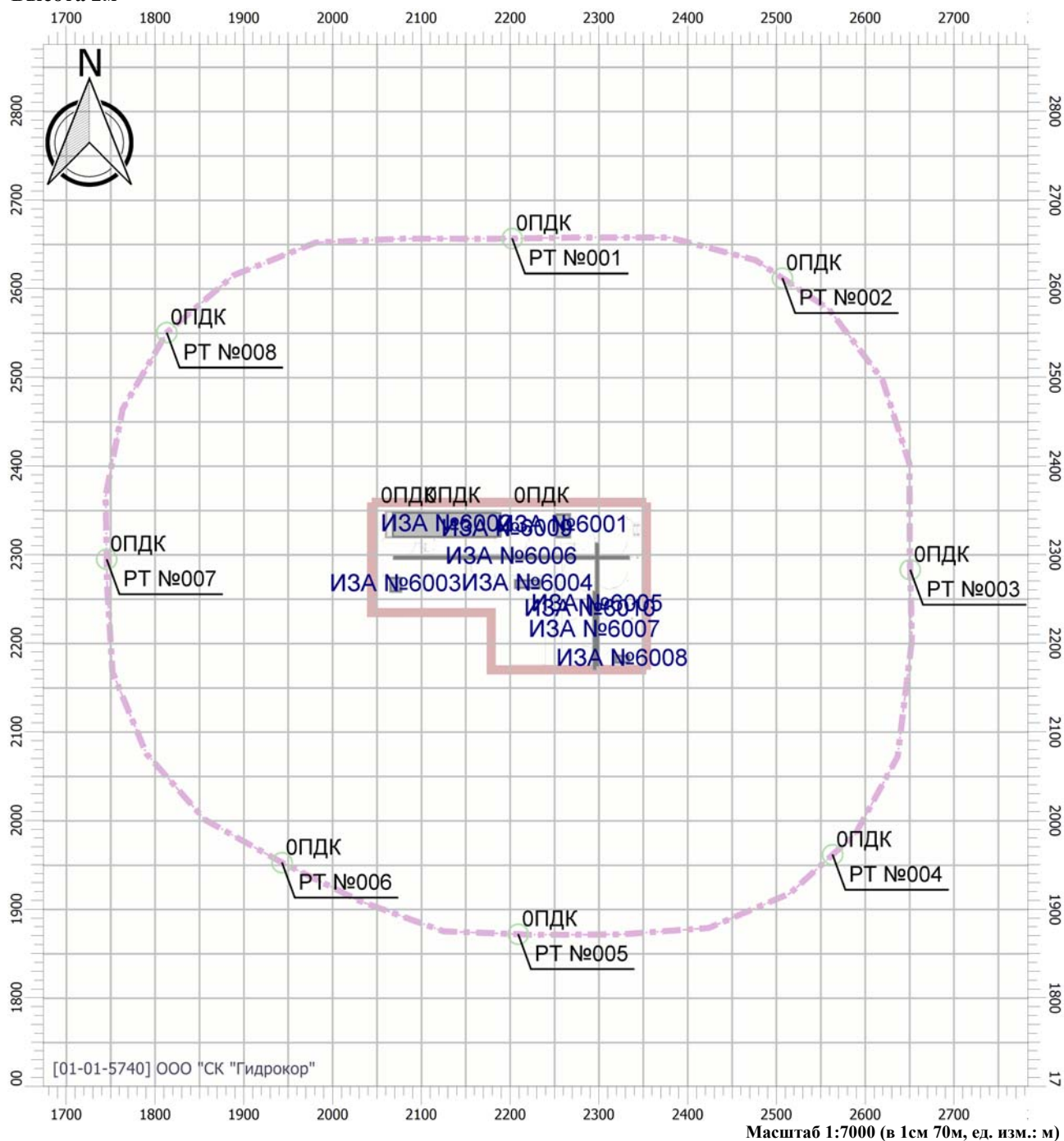
15:18] , ЛЕТО

Тип расчета: Расчеты по веществам

Код расчета: 1401 (Пропан-2-он (Ацетон))

Параметр: Концентрация вредного вещества (в долях ПДК)

Высота 2м



## Цветовая схема

0 и ниже ПДК	(0,05 - 0,1] ПДК	(0,1 - 0,2] ПДК	(0,2 - 0,3] ПДК
(0,3 - 0,4] ПДК	(0,4 - 0,5] ПДК	(0,5 - 0,6] ПДК	(0,6 - 0,7] ПДК
(0,7 - 0,8] ПДК	(0,8 - 0,9] ПДК	(0,9 - 1] ПДК	(1 - 1,5] ПДК
(1,5 - 2] ПДК	(2 - 3] ПДК	(3 - 4] ПДК	(4 - 5] ПДК
(5 - 7,5] ПДК	(7,5 - 10] ПДК	(10 - 25] ПДК	(25 - 50] ПДК
(50 - 100] ПДК	(100 - 250] ПДК	(250 - 500] ПДК	(500 - 1000] ПДК
(1000 - 5000] ПДК	(5000 - 10000] ПДК	(10000 - 100000] ПДК	выше 100000 ПДК

# Карта рассеивания загрязняющего вещества в атмосфере (вариант 1)

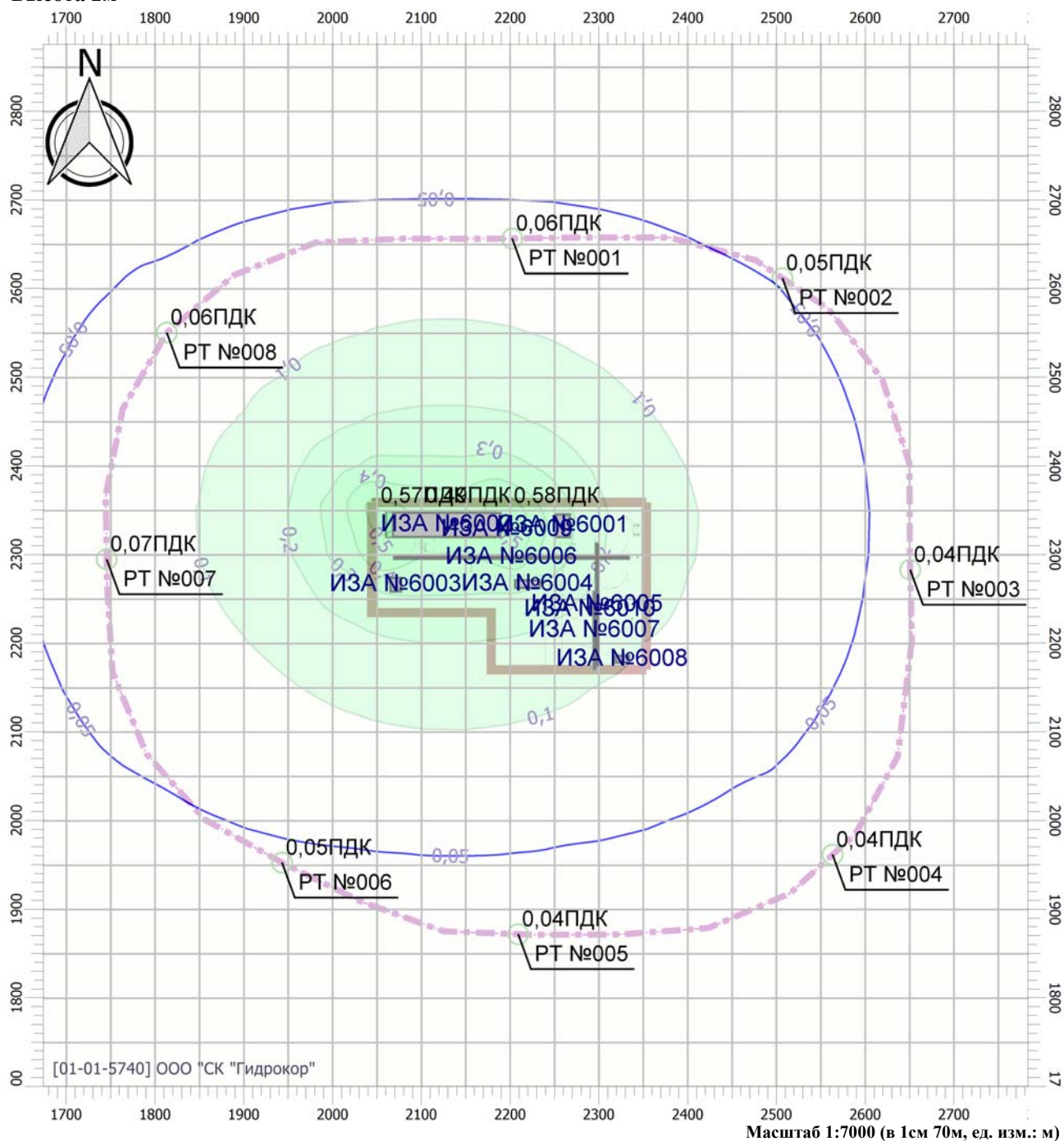
Вариант расчета: Биодегма (10) - Расчет рассеивания по МРР-2017 [11.02.2021 15:17 - 11.02.2021 15:18], ЛЕТО

Тип расчета: Расчеты по веществам

Код расчета: 1716 (Смесь природных меркаптанов /в пересчете на этилмеркаптан/ (Одор)

Параметр: Концентрация вредного вещества (в долях ПДК)

Высота 2м



## Цветовая схема

0 и ниже ПДК	(0,05 - 0,1] ПДК	(0,1 - 0,2] ПДК	(0,2 - 0,3] ПДК
(0,3 - 0,4] ПДК	(0,4 - 0,5] ПДК	(0,5 - 0,6] ПДК	(0,6 - 0,7] ПДК
(0,7 - 0,8] ПДК	(0,8 - 0,9] ПДК	(0,9 - 1] ПДК	(1 - 1,5] ПДК
(1,5 - 2] ПДК	(2 - 3] ПДК	(3 - 4] ПДК	(4 - 5] ПДК
(5 - 7,5] ПДК	(7,5 - 10] ПДК	(10 - 25] ПДК	(25 - 50] ПДК
(50 - 100] ПДК	(100 - 250] ПДК	(250 - 500] ПДК	(500 - 1000] ПДК
(1000 - 5000] ПДК	(5000 - 10000] ПДК	(10000 - 100000] ПДК	выше 100000 ПДК

# Карта рассеивания загрязняющего вещества в атмосфере (вариант 1)

Вариант расчета: Биодегма (10) - Расчет рассеивания по МРР-2017 [11.02.2021 15:17 - 11.02.2021

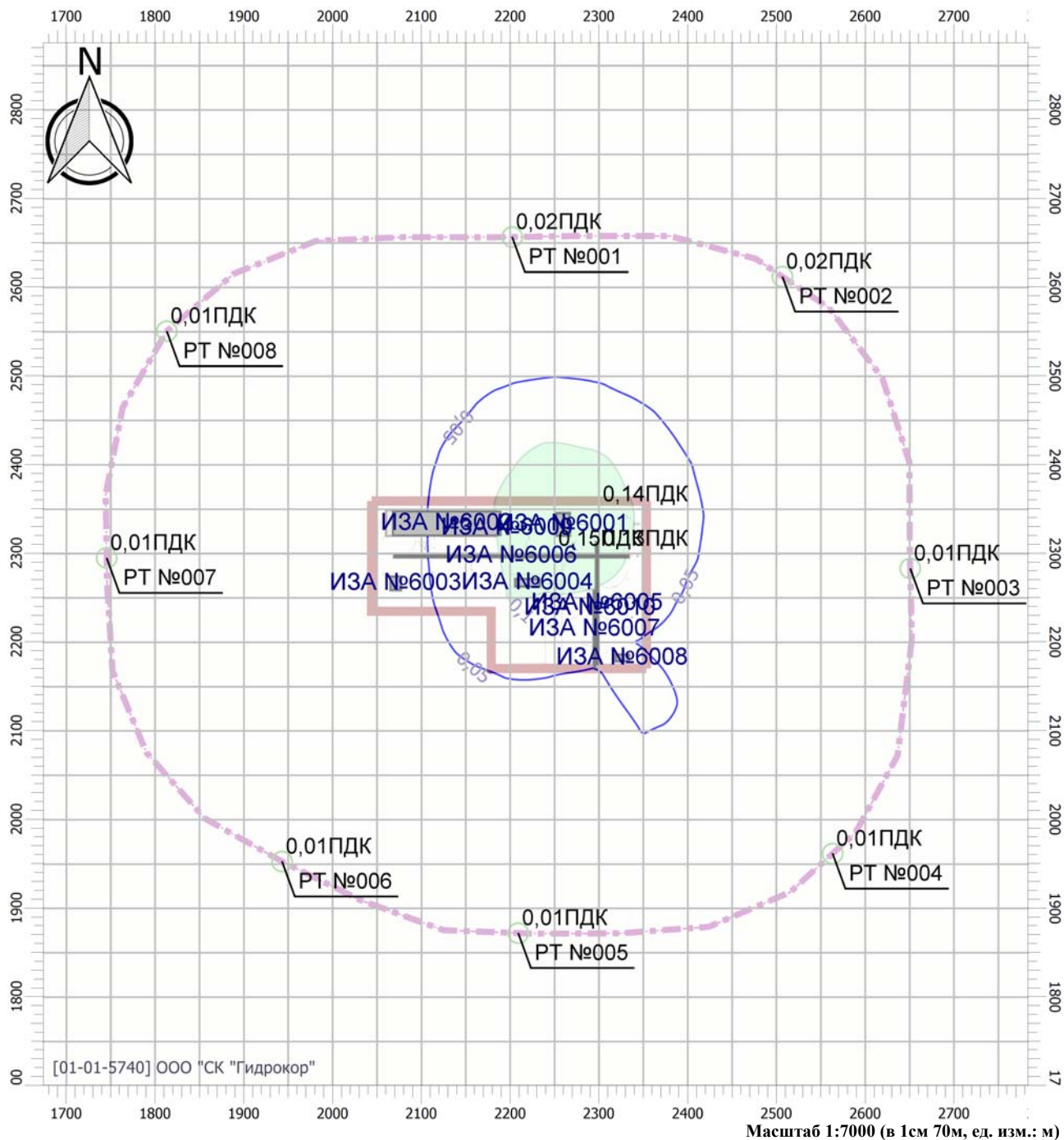
15:18] , ЛЕТО

Тип расчета: Расчеты по веществам

Код расчета: 2732 (Керосин)

Параметр: Концентрация вредного вещества (в долях ПДК)

Высота 2м



## Цветовая схема

0 и ниже ПДК	(0,05 - 0,1] ПДК	(0,1 - 0,2] ПДК	(0,2 - 0,3] ПДК
(0,3 - 0,4] ПДК	(0,4 - 0,5] ПДК	(0,5 - 0,6] ПДК	(0,6 - 0,7] ПДК
(0,7 - 0,8] ПДК	(0,8 - 0,9] ПДК	(0,9 - 1] ПДК	(1 - 1,5] ПДК
(1,5 - 2] ПДК	(2 - 3] ПДК	(3 - 4] ПДК	(4 - 5] ПДК
(5 - 7,5] ПДК	(7,5 - 10] ПДК	(10 - 25] ПДК	(25 - 50] ПДК
(50 - 100] ПДК	(100 - 250] ПДК	(250 - 500] ПДК	(500 - 1000] ПДК
(1000 - 5000] ПДК	(5000 - 10000] ПДК	(10000 - 100000] ПДК	выше 100000 ПДК

# Карта рассеивания загрязняющего вещества в атмосфере (вариант 1)

Вариант расчета: Биодегма (10) - Расчет рассеивания по МРР-2017 [11.02.2021 15:17 - 11.02.2021

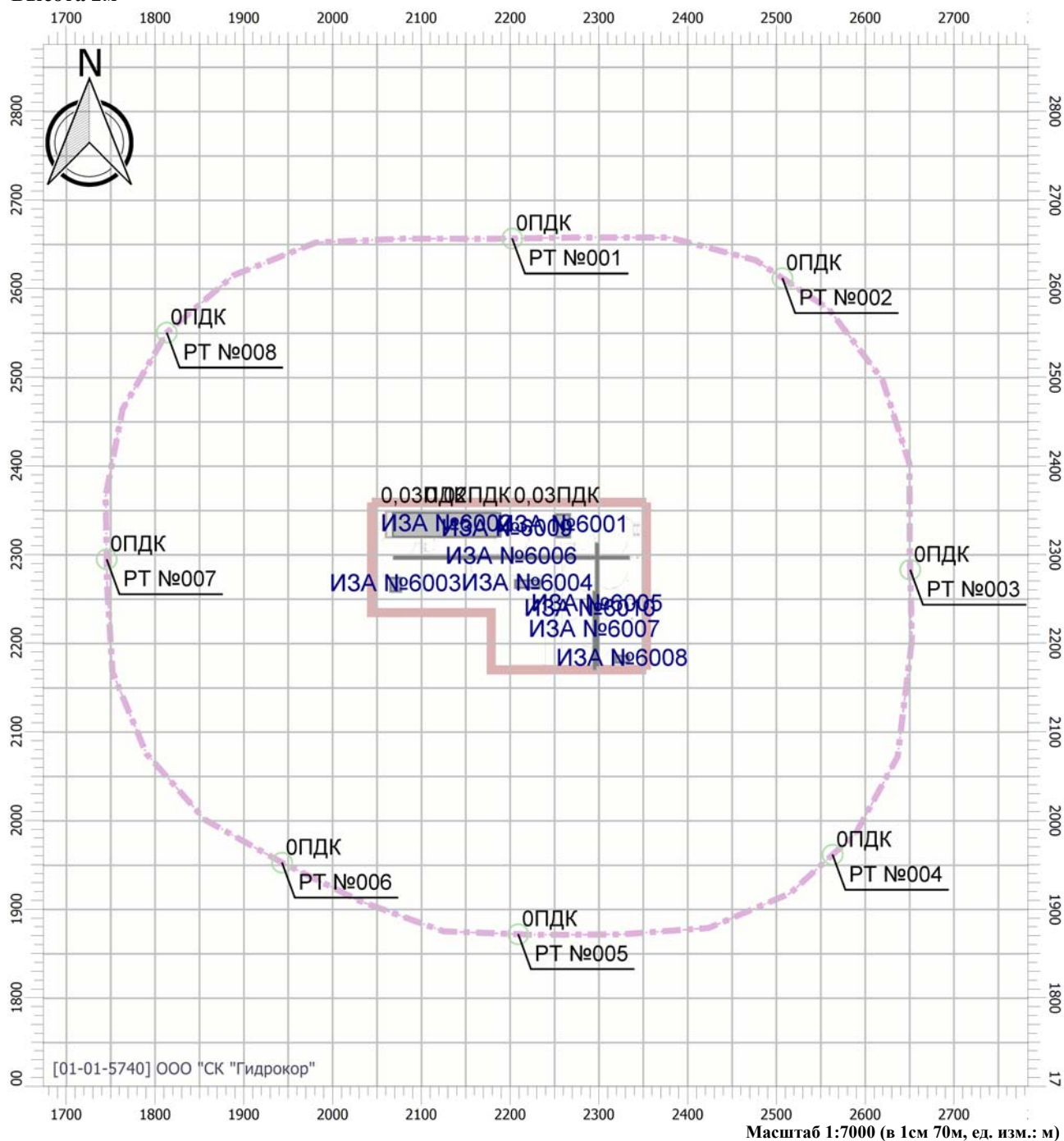
15:18] , ЛЕТО

Тип расчета: Расчеты по веществам

Код расчета: 2754 (Углеводороды предельные С12-С19)

Параметр: Концентрация вредного вещества (в долях ПДК)

Высота 2м



## Цветовая схема

0 и ниже ПДК	(0,05 - 0,1] ПДК	(0,1 - 0,2] ПДК	(0,2 - 0,3] ПДК
(0,3 - 0,4] ПДК	(0,4 - 0,5] ПДК	(0,5 - 0,6] ПДК	(0,6 - 0,7] ПДК
(0,7 - 0,8] ПДК	(0,8 - 0,9] ПДК	(0,9 - 1] ПДК	(1 - 1,5] ПДК
(1,5 - 2] ПДК	(2 - 3] ПДК	(3 - 4] ПДК	(4 - 5] ПДК
(5 - 7,5] ПДК	(7,5 - 10] ПДК	(10 - 25] ПДК	(25 - 50] ПДК
(50 - 100] ПДК	(100 - 250] ПДК	(250 - 500] ПДК	(500 - 1000] ПДК
(1000 - 5000] ПДК	(5000 - 10000] ПДК	(10000 - 100000] ПДК	выше 100000 ПДК

# Карта рассеивания загрязняющего вещества в атмосфере (вариант 1)

Вариант расчета: Биодегма (10) - Расчет рассеивания по МРР-2017 [11.02.2021 15:17 - 11.02.2021

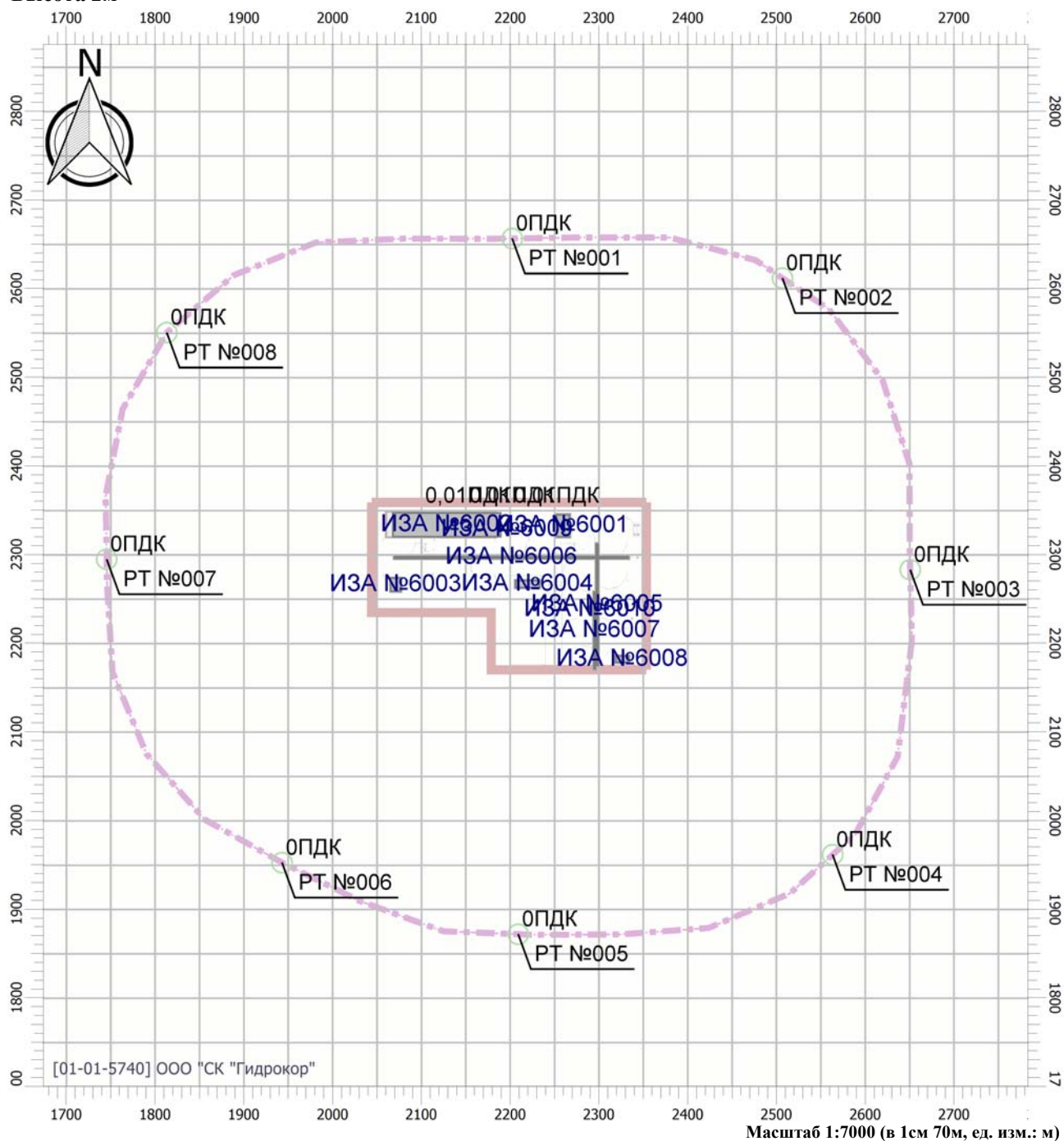
15:18] , ЛЕТО

Тип расчета: Расчеты по веществам

Код расчета: 2902 (Взвешенные вещества)

Параметр: Концентрация вредного вещества (в долях ПДК)

Высота 2м



## Цветовая схема

0 и ниже ПДК	(0,05 - 0,1] ПДК	(0,1 - 0,2] ПДК	(0,2 - 0,3] ПДК
(0,3 - 0,4] ПДК	(0,4 - 0,5] ПДК	(0,5 - 0,6] ПДК	(0,6 - 0,7] ПДК
(0,7 - 0,8] ПДК	(0,8 - 0,9] ПДК	(0,9 - 1] ПДК	(1 - 1,5] ПДК
(1,5 - 2] ПДК	(2 - 3] ПДК	(3 - 4] ПДК	(4 - 5] ПДК
(5 - 7,5] ПДК	(7,5 - 10] ПДК	(10 - 25] ПДК	(25 - 50] ПДК
(50 - 100] ПДК	(100 - 250] ПДК	(250 - 500] ПДК	(500 - 1000] ПДК
(1000 - 5000] ПДК	(5000 - 10000] ПДК	(10000 - 100000] ПДК	выше 100000 ПДК

# Карта рассеивания загрязняющего вещества в атмосфере (вариант 1)

Вариант расчета: Биодегма (10) - Расчет рассеивания по МРР-2017 [11.02.2021 15:17 - 11.02.2021

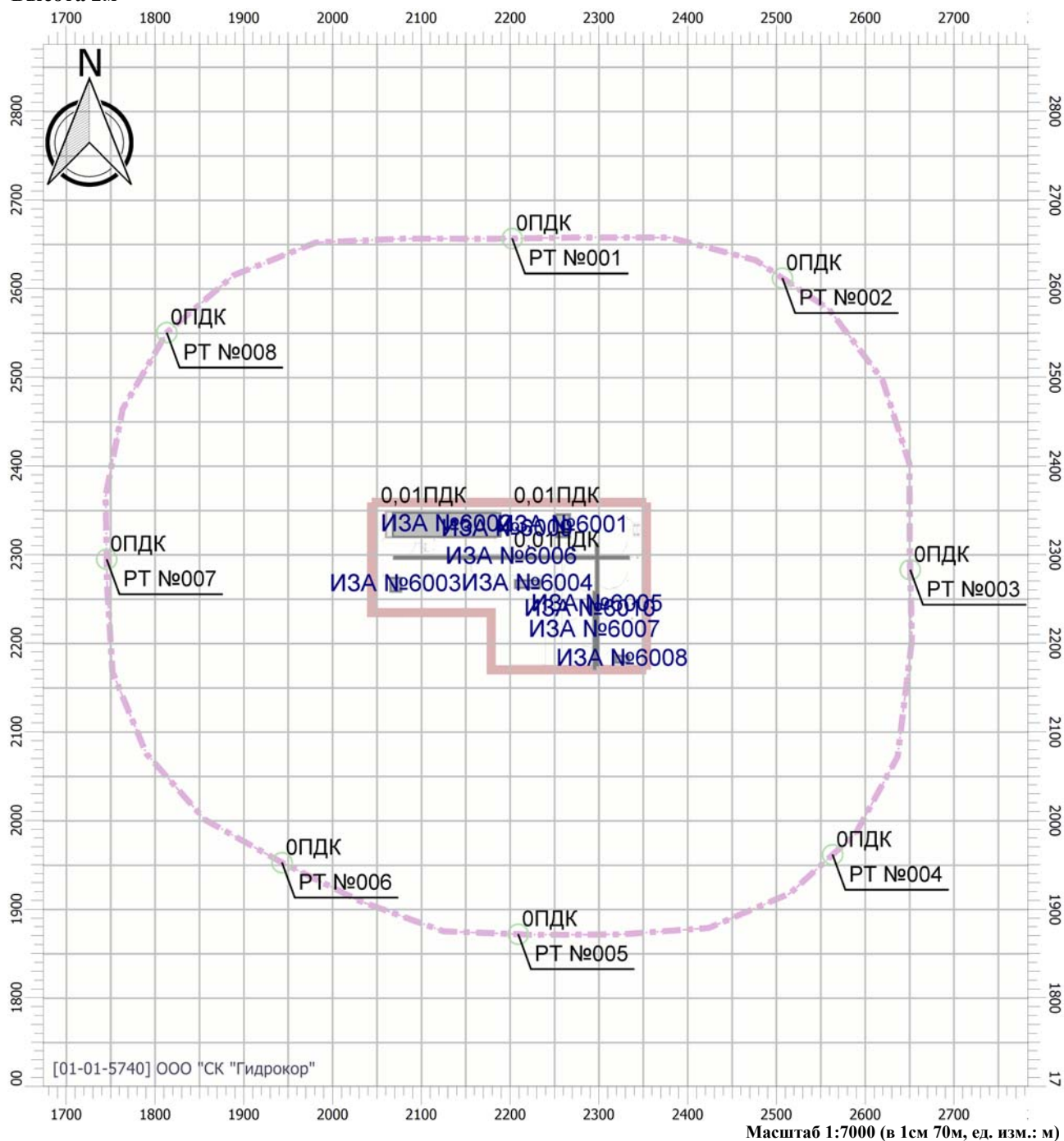
15:18] , ЛЕТО

Тип расчета: Расчеты по веществам

Код расчета: 6003 (Аммиак, сероводород)

Параметр: Концентрация вредного вещества (в долях ПДК)

Высота 2м



## Цветовая схема

0 и ниже ПДК	(0,05 - 0,1] ПДК	(0,1 - 0,2] ПДК	(0,2 - 0,3] ПДК
(0,3 - 0,4] ПДК	(0,4 - 0,5] ПДК	(0,5 - 0,6] ПДК	(0,6 - 0,7] ПДК
(0,7 - 0,8] ПДК	(0,8 - 0,9] ПДК	(0,9 - 1] ПДК	(1 - 1,5] ПДК
(1,5 - 2] ПДК	(2 - 3] ПДК	(3 - 4] ПДК	(4 - 5] ПДК
(5 - 7,5] ПДК	(7,5 - 10] ПДК	(10 - 25] ПДК	(25 - 50] ПДК
(50 - 100] ПДК	(100 - 250] ПДК	(250 - 500] ПДК	(500 - 1000] ПДК
(1000 - 5000] ПДК	(5000 - 10000] ПДК	(10000 - 100000] ПДК	выше 100000 ПДК

# Карта рассеивания загрязняющего вещества в атмосфере (вариант 1)

Вариант расчета: Биодегма (10) - Расчет рассеивания по МРР-2017 [11.02.2021 15:17 - 11.02.2021

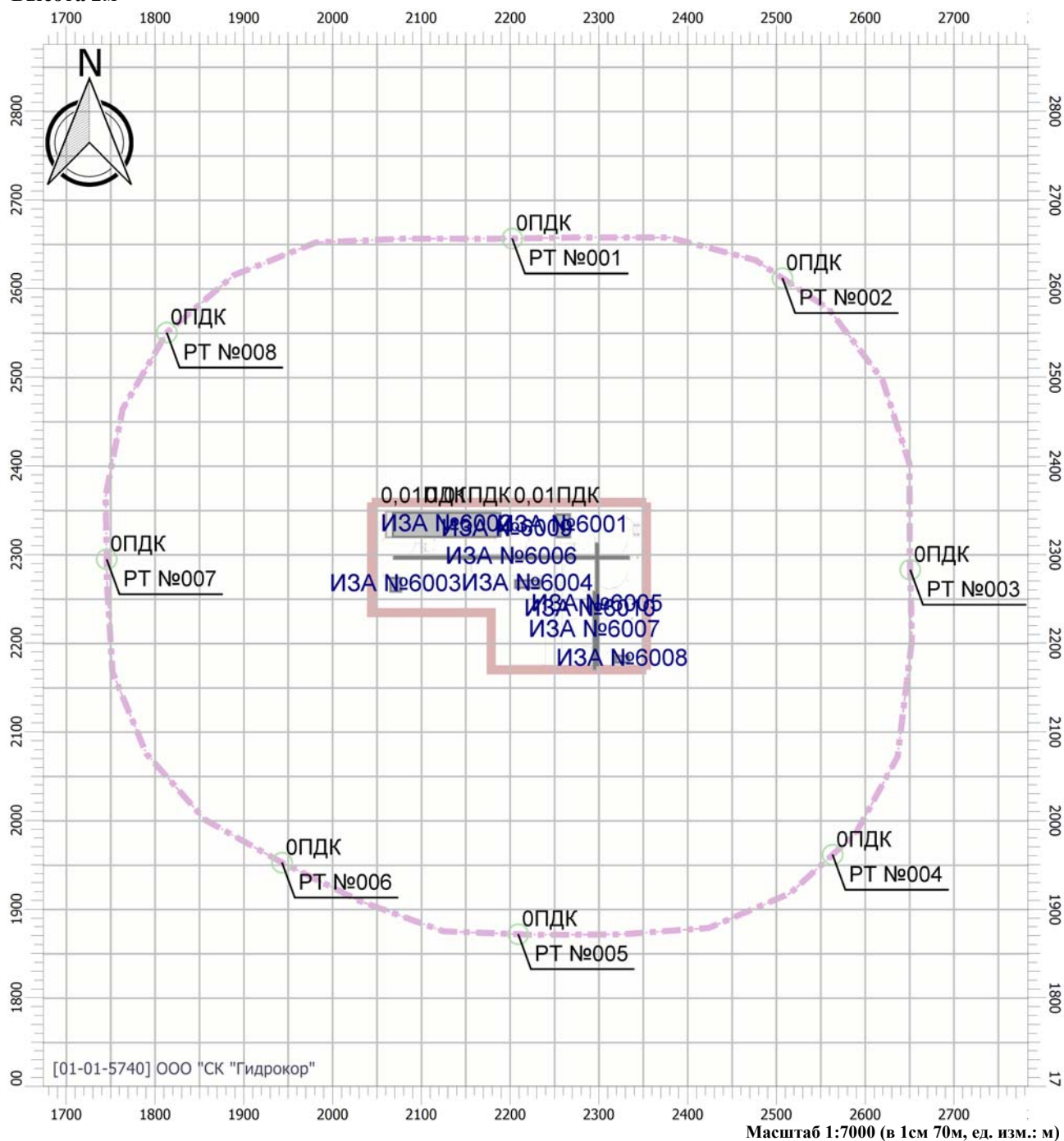
15:18] , ЛЕТО

Тип расчета: Расчеты по веществам

Код расчета: 6004 (Аммиак, сероводород, формальдегид)

Параметр: Концентрация вредного вещества (в долях ПДК)

Высота 2м



## Цветовая схема

0 и ниже ПДК	(0,05 - 0,1] ПДК	(0,1 - 0,2] ПДК	(0,2 - 0,3] ПДК
(0,3 - 0,4] ПДК	(0,4 - 0,5] ПДК	(0,5 - 0,6] ПДК	(0,6 - 0,7] ПДК
(0,7 - 0,8] ПДК	(0,8 - 0,9] ПДК	(0,9 - 1] ПДК	(1 - 1,5] ПДК
(1,5 - 2] ПДК	(2 - 3] ПДК	(3 - 4] ПДК	(4 - 5] ПДК
(5 - 7,5] ПДК	(7,5 - 10] ПДК	(10 - 25] ПДК	(25 - 50] ПДК
(50 - 100] ПДК	(100 - 250] ПДК	(250 - 500] ПДК	(500 - 1000] ПДК
(1000 - 5000] ПДК	(5000 - 10000] ПДК	(10000 - 100000] ПДК	выше 100000 ПДК

# Карта рассеивания загрязняющего вещества в атмосфере (вариант 1)

Вариант расчета: Биодегма (10) - Расчет рассеивания по МРР-2017 [11.02.2021 15:17 - 11.02.2021

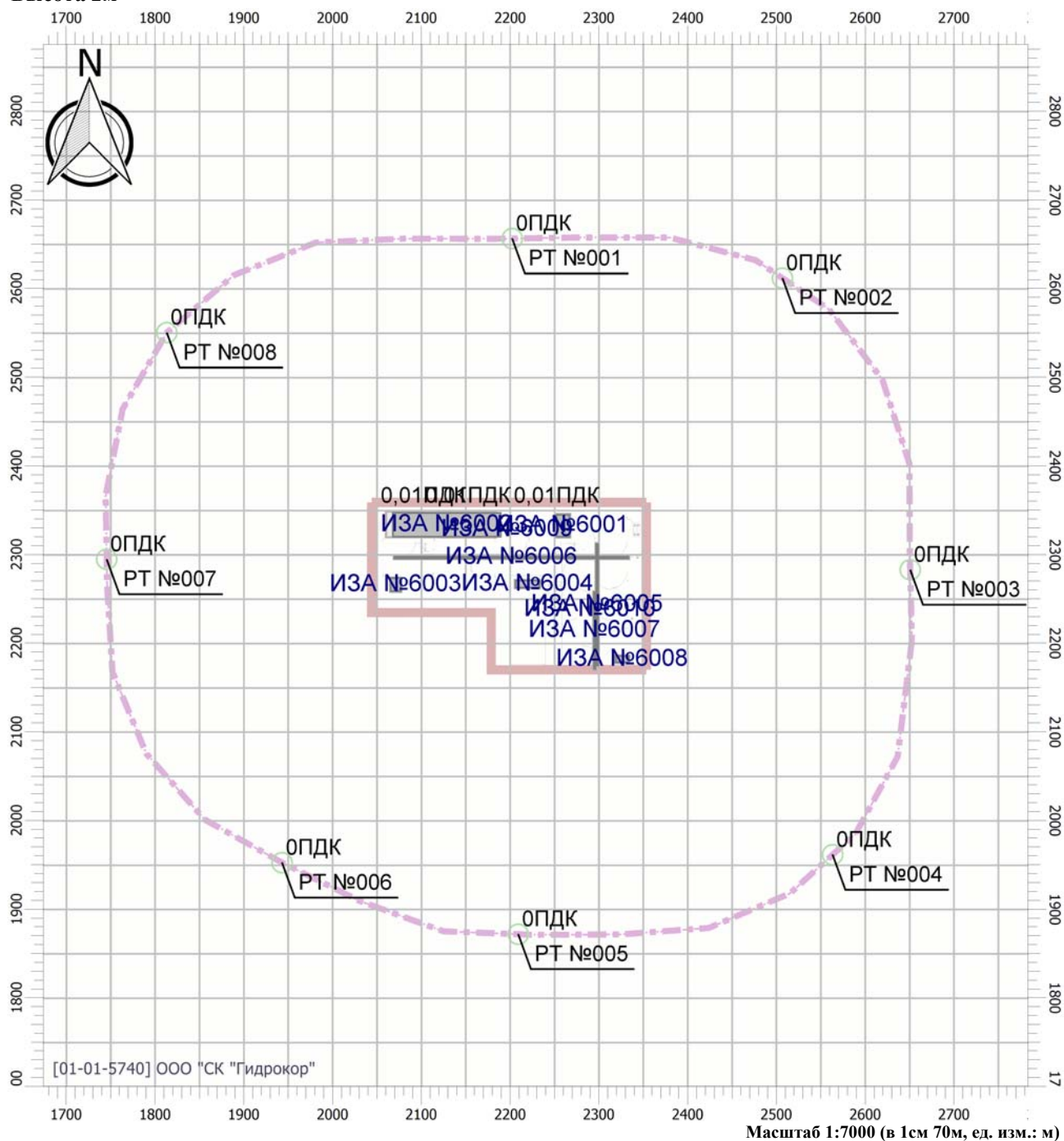
15:18] , ЛЕТО

Тип расчета: Расчеты по веществам

Код расчета: 6005 (Аммиак, формальдегид)

Параметр: Концентрация вредного вещества (в долях ПДК)

Высота 2м



## Цветовая схема

0 и ниже ПДК	(0,05 - 0,1] ПДК	(0,1 - 0,2] ПДК	(0,2 - 0,3] ПДК
(0,3 - 0,4] ПДК	(0,4 - 0,5] ПДК	(0,5 - 0,6] ПДК	(0,6 - 0,7] ПДК
(0,7 - 0,8] ПДК	(0,8 - 0,9] ПДК	(0,9 - 1] ПДК	(1 - 1,5] ПДК
(1,5 - 2] ПДК	(2 - 3] ПДК	(3 - 4] ПДК	(4 - 5] ПДК
(5 - 7,5] ПДК	(7,5 - 10] ПДК	(10 - 25] ПДК	(25 - 50] ПДК
(50 - 100] ПДК	(100 - 250] ПДК	(250 - 500] ПДК	(500 - 1000] ПДК
(1000 - 5000] ПДК	(5000 - 10000] ПДК	(10000 - 100000] ПДК	выше 100000 ПДК

# Карта рассеивания загрязняющего вещества в атмосфере (вариант 1)

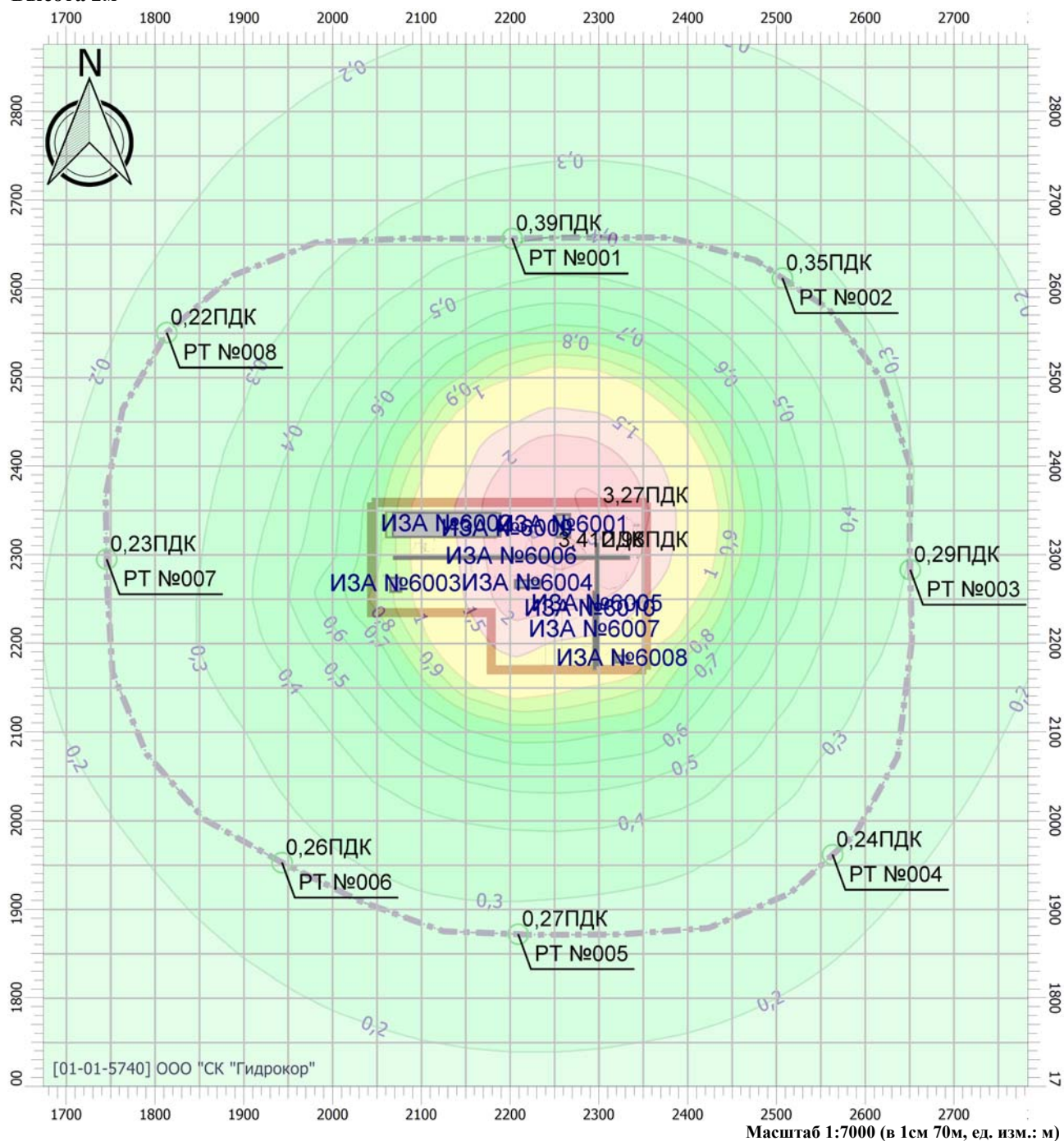
Вариант расчета: Биодегма (10) - Расчет рассеивания по МРР-2017 [11.02.2021 15:17 - 11.02.2021 15:18], ЛЕТО

Тип расчета: Расчеты по веществам

Код расчета: 6010 (Азота диоксид, серы диоксид, углерода оксид, фенол)

Параметр: Концентрация вредного вещества (в долях ПДК)

Высота 2м



## Цветовая схема

0 и ниже ПДК	(0,05 - 0,1] ПДК	(0,1 - 0,2] ПДК	(0,2 - 0,3] ПДК
(0,3 - 0,4] ПДК	(0,4 - 0,5] ПДК	(0,5 - 0,6] ПДК	(0,6 - 0,7] ПДК
(0,7 - 0,8] ПДК	(0,8 - 0,9] ПДК	(0,9 - 1] ПДК	(1 - 1,5] ПДК
(1,5 - 2] ПДК	(2 - 3] ПДК	(3 - 4] ПДК	(4 - 5] ПДК
(5 - 7,5] ПДК	(7,5 - 10] ПДК	(10 - 25] ПДК	(25 - 50] ПДК
(50 - 100] ПДК	(100 - 250] ПДК	(250 - 500] ПДК	(500 - 1000] ПДК
(1000 - 5000] ПДК	(5000 - 10000] ПДК	(10000 - 100000] ПДК	выше 100000 ПДК

# Карта рассеивания загрязняющего вещества в атмосфере (вариант 1)

Вариант расчета: Биодегма (10) - Расчет рассеивания по МРР-2017 [11.02.2021 15:17 - 11.02.2021

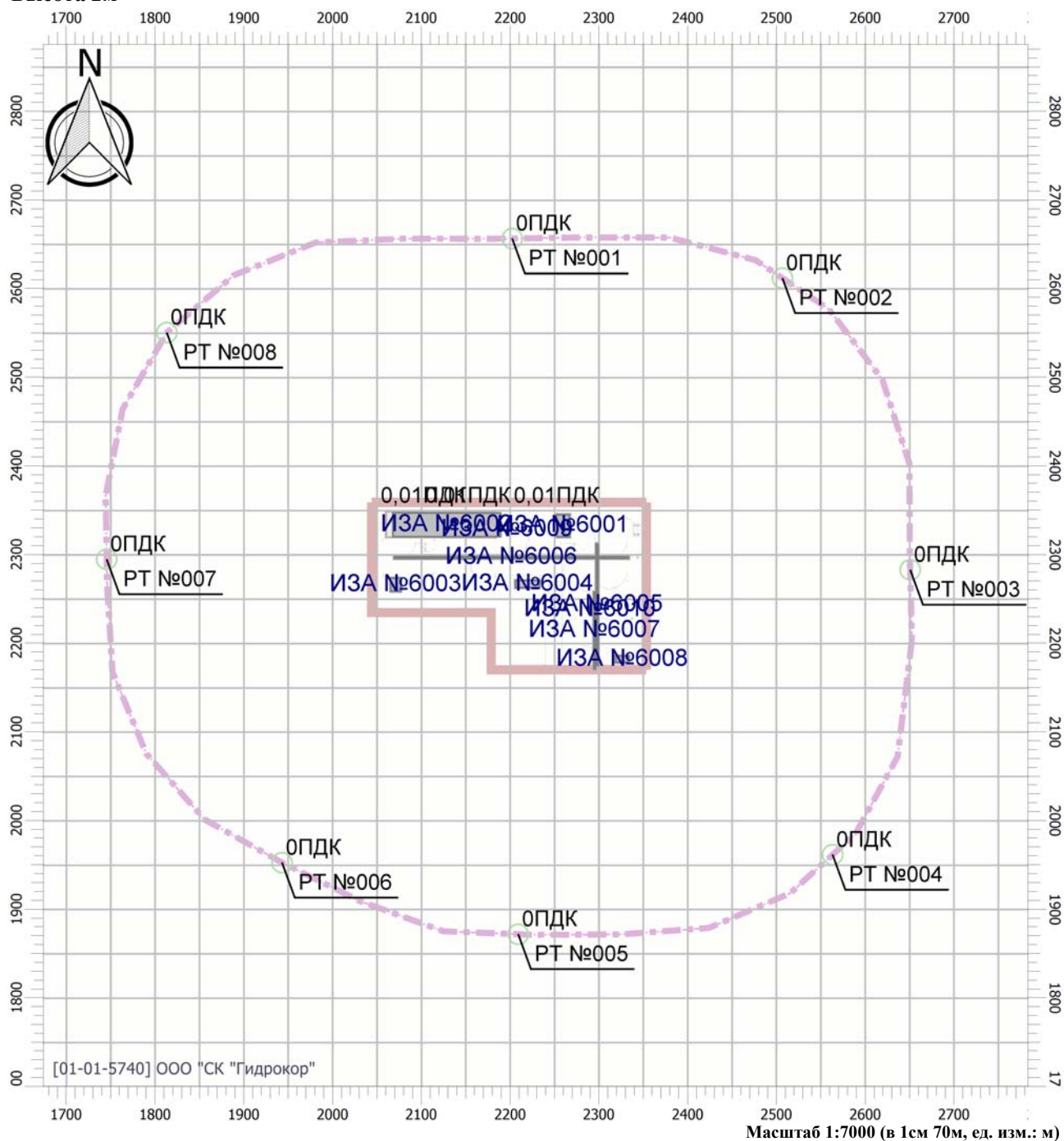
15:18] , ЛЕТО

Тип расчета: Расчеты по веществам

Код расчета: 6013 (Ацетон и фенол)

Параметр: Концентрация вредного вещества (в долях ПДК)

Высота 2м



## Цветовая схема

0 и ниже ПДК	(0,05 - 0,1] ПДК	(0,1 - 0,2] ПДК	(0,2 - 0,3] ПДК
(0,3 - 0,4] ПДК	(0,4 - 0,5] ПДК	(0,5 - 0,6] ПДК	(0,6 - 0,7] ПДК
(0,7 - 0,8] ПДК	(0,8 - 0,9] ПДК	(0,9 - 1] ПДК	(1 - 1,5] ПДК
(1,5 - 2] ПДК	(2 - 3] ПДК	(3 - 4] ПДК	(4 - 5] ПДК
(5 - 7,5] ПДК	(7,5 - 10] ПДК	(10 - 25] ПДК	(25 - 50] ПДК
(50 - 100] ПДК	(100 - 250] ПДК	(250 - 500] ПДК	(500 - 1000] ПДК
(1000 - 5000] ПДК	(5000 - 10000] ПДК	(10000 - 100000] ПДК	выше 100000 ПДК

# Карта рассеивания загрязняющего вещества в атмосфере (вариант 1)

Вариант расчета: Биодегма (10) - Расчет рассеивания по МРР-2017 [11.02.2021 15:17 - 11.02.2021

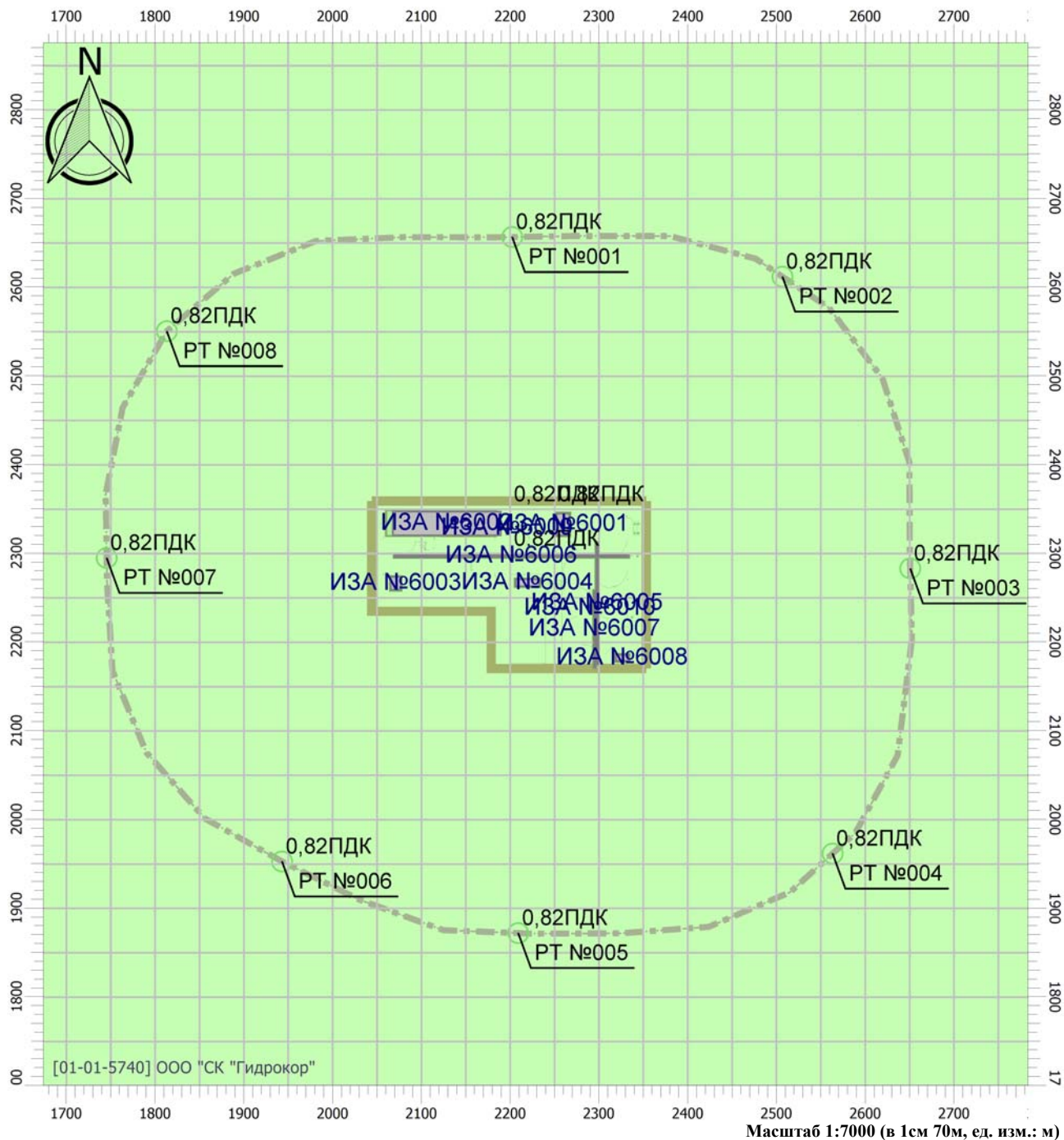
15:18] , ЛЕТО

Тип расчета: Расчеты по веществам

Код расчета: 6035 (Сероводород, формальдегид)

Параметр: Концентрация вредного вещества (в долях ПДК)

Высота 2м



## Цветовая схема

0 и ниже ПДК	(0,05 - 0,1] ПДК	(0,1 - 0,2] ПДК	(0,2 - 0,3] ПДК
(0,3 - 0,4] ПДК	(0,4 - 0,5] ПДК	(0,5 - 0,6] ПДК	(0,6 - 0,7] ПДК
(0,7 - 0,8] ПДК	(0,8 - 0,9] ПДК	(0,9 - 1] ПДК	(1 - 1,5] ПДК
(1,5 - 2] ПДК	(2 - 3] ПДК	(3 - 4] ПДК	(4 - 5] ПДК
(5 - 7,5] ПДК	(7,5 - 10] ПДК	(10 - 25] ПДК	(25 - 50] ПДК
(50 - 100] ПДК	(100 - 250] ПДК	(250 - 500] ПДК	(500 - 1000] ПДК
(1000 - 5000] ПДК	(5000 - 10000] ПДК	(10000 - 100000] ПДК	выше 100000 ПДК

# Карта рассеивания загрязняющего вещества в атмосфере (вариант 1)

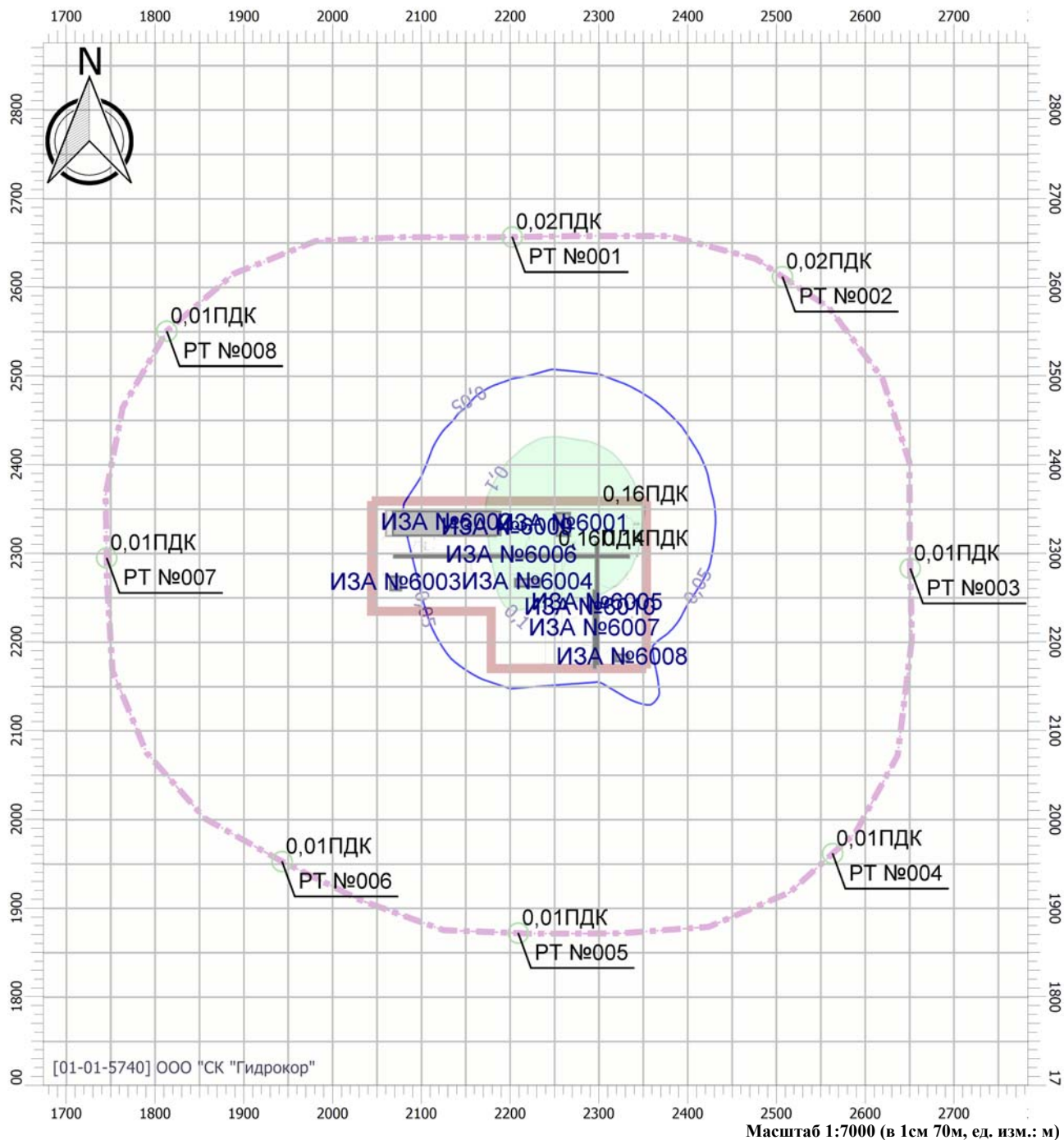
Вариант расчета: Биодегма (10) - Расчет рассеивания по МРР-2017 [11.02.2021 15:17 - 11.02.2021 15:18], ЛЕТО

Тип расчета: Расчеты по веществам

Код расчета: 6038 (Серый диоксид и фенол)

Параметр: Концентрация вредного вещества (в долях ПДК)

Высота 2м



## Цветовая схема

0 и ниже ПДК	(0,05 - 0,1] ПДК	(0,1 - 0,2] ПДК	(0,2 - 0,3] ПДК
(0,3 - 0,4] ПДК	(0,4 - 0,5] ПДК	(0,5 - 0,6] ПДК	(0,6 - 0,7] ПДК
(0,7 - 0,8] ПДК	(0,8 - 0,9] ПДК	(0,9 - 1] ПДК	(1 - 1,5] ПДК
(1,5 - 2] ПДК	(2 - 3] ПДК	(3 - 4] ПДК	(4 - 5] ПДК
(5 - 7,5] ПДК	(7,5 - 10] ПДК	(10 - 25] ПДК	(25 - 50] ПДК
(50 - 100] ПДК	(100 - 250] ПДК	(250 - 500] ПДК	(500 - 1000] ПДК
(1000 - 5000] ПДК	(5000 - 10000] ПДК	(10000 - 100000] ПДК	выше 100000 ПДК

# Карта рассеивания загрязняющего вещества в атмосфере (вариант 1)

Вариант расчета: Биодегма (10) - Расчет рассеивания по МРР-2017 [11.02.2021 15:17 - 11.02.2021

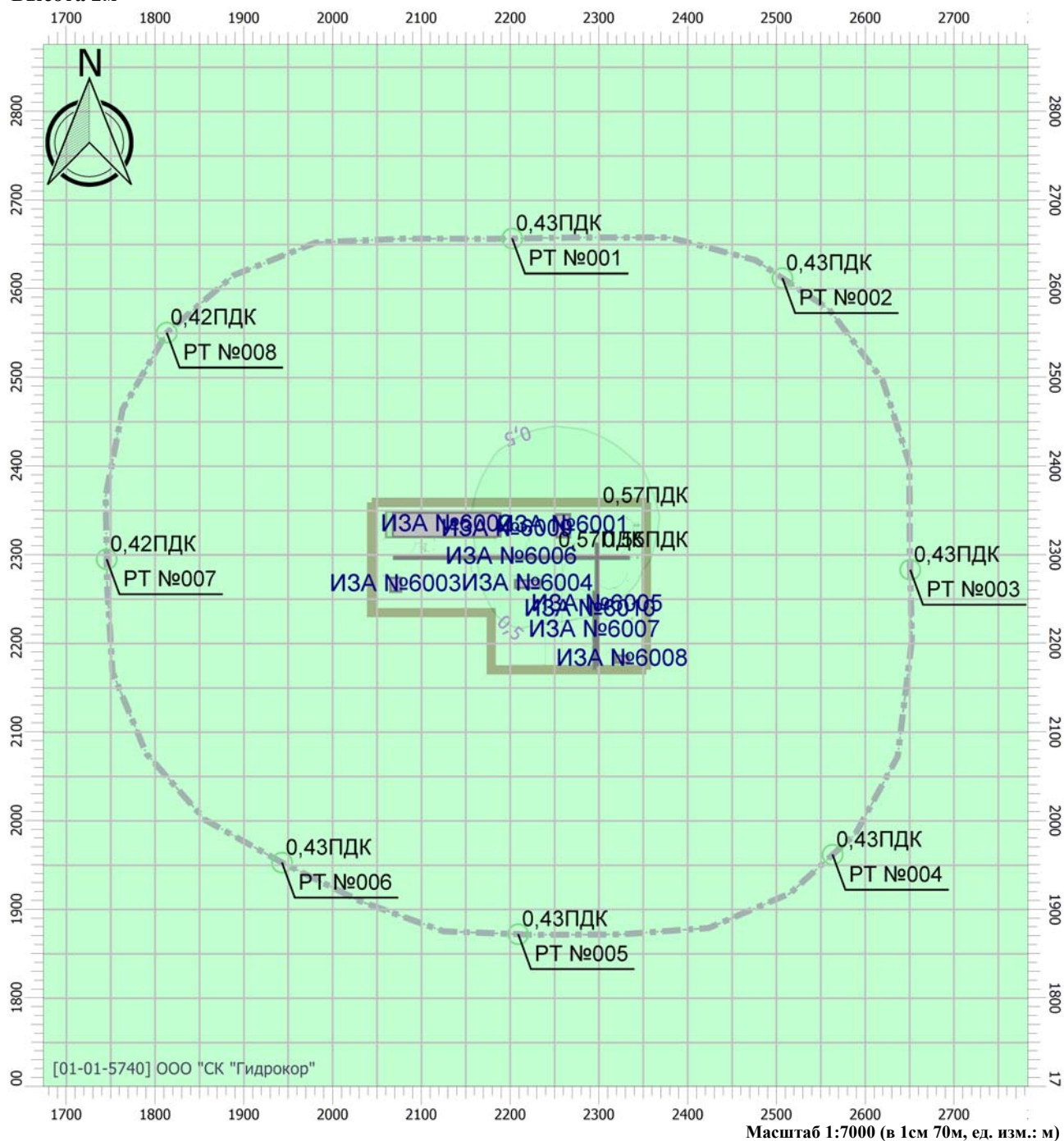
15:18] , ЛЕТО

Тип расчета: Расчеты по веществам

Код расчета: 6043 (Серы диоксид и сероводород)

Параметр: Концентрация вредного вещества (в долях ПДК)

Высота 2м



## Цветовая схема

0 и ниже ПДК	(0,05 - 0,1] ПДК	(0,1 - 0,2] ПДК	(0,2 - 0,3] ПДК
(0,3 - 0,4] ПДК	(0,4 - 0,5] ПДК	(0,5 - 0,6] ПДК	(0,6 - 0,7] ПДК
(0,7 - 0,8] ПДК	(0,8 - 0,9] ПДК	(0,9 - 1] ПДК	(1 - 1,5] ПДК
(1,5 - 2] ПДК	(2 - 3] ПДК	(3 - 4] ПДК	(4 - 5] ПДК
(5 - 7,5] ПДК	(7,5 - 10] ПДК	(10 - 25] ПДК	(25 - 50] ПДК
(50 - 100] ПДК	(100 - 250] ПДК	(250 - 500] ПДК	(500 - 1000] ПДК
(1000 - 5000] ПДК	(5000 - 10000] ПДК	(10000 - 100000] ПДК	выше 100000 ПДК

# Карта рассеивания загрязняющего вещества в атмосфере (вариант 1)

Вариант расчета: Биодегма (10) - Расчет рассеивания по МРР-2017 [11.02.2021 15:17 - 11.02.2021

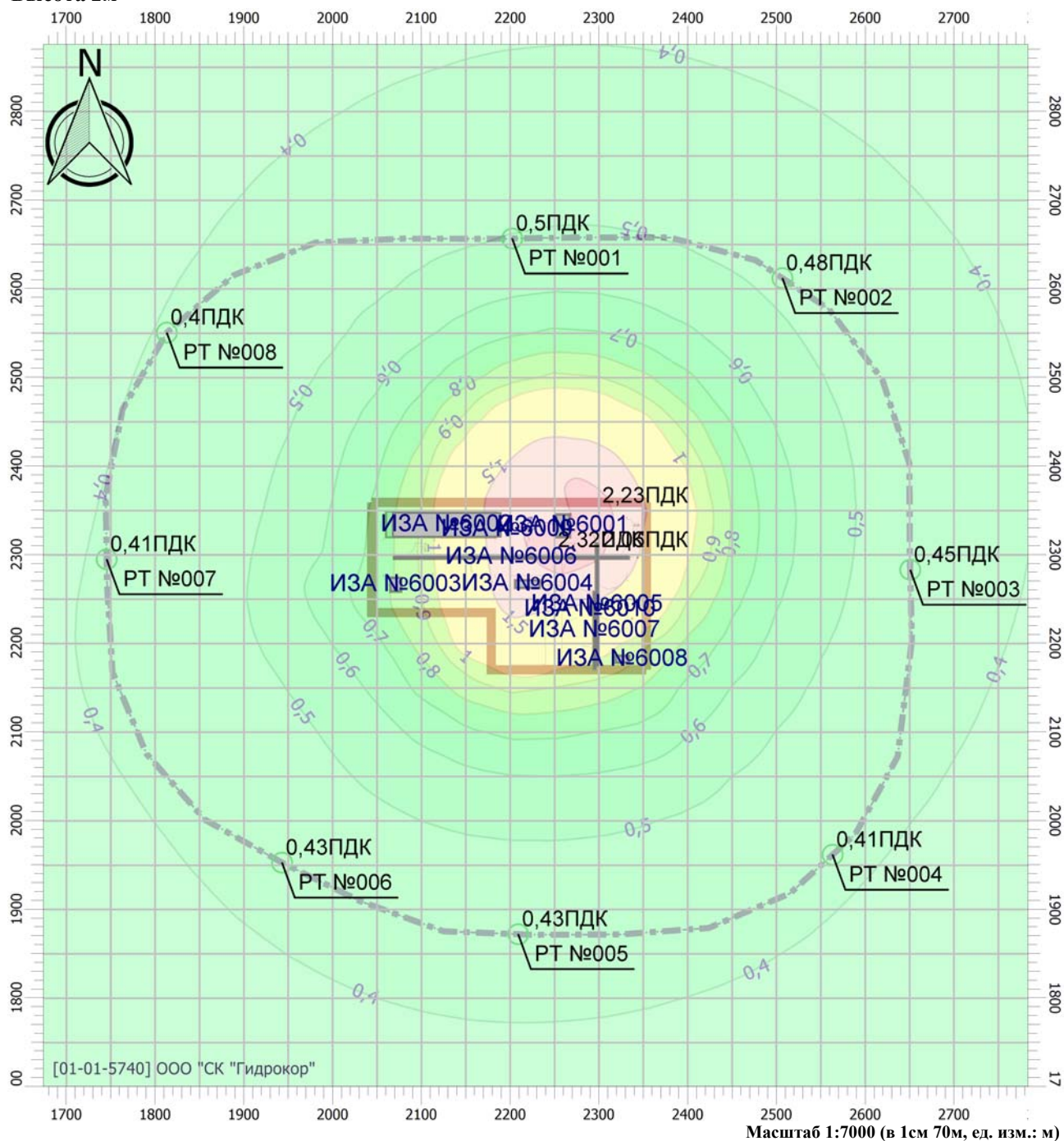
15:18] , ЛЕТО

Тип расчета: Расчеты по веществам

Код расчета: 6204 (Серы диоксид, азота диоксид)

Параметр: Концентрация вредного вещества (в долях ПДК)

Высота 2м



## Цветовая схема

0 и ниже ПДК	(0,05 - 0,1] ПДК	(0,1 - 0,2] ПДК	(0,2 - 0,3] ПДК
(0,3 - 0,4] ПДК	(0,4 - 0,5] ПДК	(0,5 - 0,6] ПДК	(0,6 - 0,7] ПДК
(0,7 - 0,8] ПДК	(0,8 - 0,9] ПДК	(0,9 - 1] ПДК	(1 - 1,5] ПДК
(1,5 - 2] ПДК	(2 - 3] ПДК	(3 - 4] ПДК	(4 - 5] ПДК
(5 - 7,5] ПДК	(7,5 - 10] ПДК	(10 - 25] ПДК	(25 - 50] ПДК
(50 - 100] ПДК	(100 - 250] ПДК	(250 - 500] ПДК	(500 - 1000] ПДК
(1000 - 5000] ПДК	(5000 - 10000] ПДК	(10000 - 100000] ПДК	выше 100000 ПДК

**Приложение 8. Расчет рассеивания ЗВ в атмосфере (вариант 2 - при исполнении системы компостирования в виде cwb-тоннелей).**

**УПРЗА «ЭКОЛОГ», версия 4.60**  
**Copyright © 1990-2020 ФИРМА «ИНТЕГРАЛ»**

Программа зарегистрирована на: ООО "СК "Гидрокор"  
Регистрационный номер: 01-01-5740

**Предприятие: 10, Биодегма**

Город: 10

Район: 1, Тестовый 'Район'

Адрес предприятия:

Разработчик:

ИНН:

ОКПО:

Отрасль:

Величина нормативной санзоны: 0 м

**ВИД: 4, Существующее положение**

**ВР: 1, Расчет по протоколу \_вар 2**

**Расчетные константы: S=999999,99**

**Расчет: «Расчет рассеивания по МРР-2017» (лето)**

Расчет завершен успешно.

Рассчитано веществ/групп суммации: 31.

ВНИМАНИЕ! Согласно п.4.6 Приказа Минприроды РФ от 06.06.2017 №273 значение максимальной скорости ветра U\* изменено на 6 м/с!

**Метеорологические параметры**

Расчетная температура наиболее холодного месяца, °С:	-14
Расчетная температура наиболее теплого месяца, °С:	32,5
Коэффициент А, зависящий от температурной стратификации атмосферы:	250
U* – скорость ветра, наблюдаемая на данной местности, повторяемость превышения которой находится в пределах 5%, м/с:	5,5
Плотность атмосферного воздуха, кг/м <sup>3</sup> :	1,29
Скорость звука, м/с:	331

**Структура предприятия (площадки, цеха)**

<b>10 - Площадка №10</b>
10 - Цех №10

## Параметры источников выбросов

Учет:

"%" - источник учитывается с исключением из фона;

"+" - источник учитывается без исключения из фона;

"-" - источник не учитывается и его вклад исключается из фона.

Типы источников:

1 - Точечный;

2 - Линейный;

3 - Неорганизованный;

4 - Совокупность точечных источников;

5 - С зависимостью массы выброса от скорости ветра;

6 - Точечный, с зонтом или выбросом горизонтально;

7 - Совокупность точечных (зонт или выброс вбок);

8 - Автомагистраль (неорганизованный линейный);

9 - Точечный, с выбросом вбок;

10 - Свеча.

Учет при расч.	№ ист.	Наименование источника	Вар.	Тип	Высота ист. (м)	Диаметр устья (м)	Объем ГВС (куб.м/с)	Скорость ГВС (м/с)	Плотность ГВС, (кг/куб.м)	Темп. ГВС (°С)	Ширина источ. (м)	Отклонение выброса, град		Кэфф. рел.	Координаты			
												Угол	Направл.		X1 (м)	Y1 (м)	X2 (м)	Y2 (м)
<b>№ пл.: 10, № цеха: 10</b>																		
+	6001	Погрузчик и измельчитель на площадке приема	1	3	5,00	0,00	0,00	0,00	1,29	0,00	16,60	-	-	1	2259,49	2345,76	2259,49	2318,96

Код в-ва	Наименование вещества	Выброс, (г/с)	Выброс, (т/г)	F	Лето			Зима		
					См/ПДК	Xm	Um	См/ПДК	Xm	Um
0301	Азота диоксид (Азот (IV) оксид)	0,1419885	0,944821	1	3,74	28,50	0,50	0,00	0,00	0,00
0304	Азот (II) оксид (Азота оксид)	0,0230731	0,153533	1	0,30	28,50	0,50	0,00	0,00	0,00
0328	Углерод (Сажа)	0,0286588	0,159781	1	1,01	28,50	0,50	0,00	0,00	0,00
0330	Сера диоксид (Ангидрид сернистый)	0,0183695	0,110380	1	0,19	28,50	0,50	0,00	0,00	0,00
0337	Углерод оксид	0,1458970	0,929958	1	0,15	28,50	0,50	0,00	0,00	0,00
2732	Керосин	0,0405120	0,251136	1	0,18	28,50	0,50	0,00	0,00	0,00

+	6002	Модули компостирования	1	3	2,50	0,00	0,00	0,00	1,29	0,00	123,47	-	-	1	2122,24	2348,03	2122,20	2319,18
---	------	------------------------	---	---	------	------	------	------	------	------	--------	---	---	---	---------	---------	---------	---------

Код в-ва	Наименование вещества	Выброс, (г/с)	Выброс, (т/г)	F	Лето			Зима		
					См/ПДК	Xm	Um	См/ПДК	Xm	Um
0301	Азота диоксид (Азот (IV) оксид)	0,0006069	0,025960	1	0,08	14,25	0,50	0,00	0,00	0,00
0303	Аммиак	0,0003035	0,012980	1	0,04	14,25	0,50	0,00	0,00	0,00
0304	Азот (II) оксид (Азота оксид)	0,0003372	0,014422	1	0,02	14,25	0,50	0,00	0,00	0,00
0330	Сера диоксид (Ангидрид сернистый)	0,0000270	0,001154	1	0,00	14,25	0,50	0,00	0,00	0,00
0333	Дигидросульфид (Сероводород)	0,0000101	0,002404	1	0,03	14,25	0,50	0,00	0,00	0,00
0337	Углерод оксид	0,0167462	0,716303	1	0,09	14,25	0,50	0,00	0,00	0,00
0416	Смесь углеводородов предельных C6-C10	0,0000562	0,432666	1	0,00	14,25	0,50	0,00	0,00	0,00

0602	Бензол	0,0010115	0,000433	1	0,09	14,25	0,50	0,00	0,00	0,00
0616	Диметилбензол (Ксилол) (смесь изомеров о-, м-, п-)	0,0001911	0,000433	1	0,03	14,25	0,50	0,00	0,00	0,00
0621	Метилбензол (Толуол)	0,0000101	0,000433	1	0,00	14,25	0,50	0,00	0,00	0,00
0627	Этилбензол	0,0000101	0,000433	1	0,01	14,25	0,50	0,00	0,00	0,00
1071	Гидроксibenзол (Фенол)	0,0000270	0,001394	1	0,07	14,25	0,50	0,00	0,00	0,00
1325	Формальдегид	0,0000326	0,008173	1	0,02	14,25	0,50	0,00	0,00	0,00
1401	Пропан-2-он (Ацетон)	0,0000101	0,043267	1	0,00	14,25	0,50	0,00	0,00	0,00
1716	Смесь природных меркаптанов /в пересчете на этилмеркаптан/ (Одор	0,0000101	0,000433	1	5,36	14,25	0,50	0,00	0,00	0,00
2754	Углеводороды предельные C12-C19	0,0101151	0,379785	1	0,27	14,25	0,50	0,00	0,00	0,00
2902	Взвешенные вещества	0,0009778	0,041824	3	0,16	7,13	0,50	0,00	0,00	0,00

+	6003	Погрузчик на участке дозревания	1	3	5,00	0,00	0,00	0,00	1,29	0,00	13,20	-	-	1	2071,10	2274,10	2071,10	2257,50
---	------	---------------------------------	---	---	------	------	------	------	------	------	-------	---	---	---	---------	---------	---------	---------

Код в-ва	Наименование вещества	Выброс, (г/с)	Выброс, (т/г)	F	Лето			Зима		
					См/ПДК	Xm	Um	См/ПДК	Xm	Um
0301	Азота диоксид (Азот (IV) оксид)	0,0070667	0,052189	1	0,19	28,50	0,50	0,00	0,00	0,00
0304	Азот (II) оксид (Азота оксид)	0,0011483	0,008481	1	0,02	28,50	0,50	0,00	0,00	0,00
0328	Углерод (Сажа)	0,0006421	0,003897	1	0,02	28,50	0,50	0,00	0,00	0,00
0330	Сера диоксид (Ангидрид сернистый)	0,0015517	0,010361	1	0,02	28,50	0,50	0,00	0,00	0,00
0337	Углерод оксид	0,0144620	0,097883	1	0,02	28,50	0,50	0,00	0,00	0,00
2732	Керосин	0,0025481	0,018284	1	0,01	28,50	0,50	0,00	0,00	0,00

+	6004	Грохот	1	3	5,00	0,00	0,00	0,00	1,29	0,00	10,00	-	-	1	2205,10	2266,50	2233,90	2266,50
---	------	--------	---	---	------	------	------	------	------	------	-------	---	---	---	---------	---------	---------	---------

Код в-ва	Наименование вещества	Выброс, (г/с)	Выброс, (т/г)	F	Лето			Зима		
					См/ПДК	Xm	Um	См/ПДК	Xm	Um
0301	Азота диоксид (Азот (IV) оксид)	0,0327924	0,216935	1	0,86	28,50	0,50	0,00	0,00	0,00
0304	Азот (II) оксид (Азота оксид)	0,0053288	0,035252	1	0,07	28,50	0,50	0,00	0,00	0,00
0328	Углерод (Сажа)	0,0067494	0,037403	1	0,24	28,50	0,50	0,00	0,00	0,00
0330	Сера диоксид (Ангидрид сернистый)	0,0039622	0,023766	1	0,04	28,50	0,50	0,00	0,00	0,00
0337	Углерод оксид	0,0333621	0,202360	1	0,04	28,50	0,50	0,00	0,00	0,00
2732	Керосин	0,0090217	0,055615	1	0,04	28,50	0,50	0,00	0,00	0,00

+	6005	Доставка отходов/вывоз компоста	1	3	5,00	0,00	0,00	0,00	1,29	0,00	3,96	-	-	1	2297,93	2312,80	2298,23	2173,90
---	------	---------------------------------	---	---	------	------	------	------	------	------	------	---	---	---	---------	---------	---------	---------

Код в-ва	Наименование вещества	Выброс, (г/с)	Выброс, (т/г)	F	Лето			Зима		
					См/ПДК	Xm	Um	См/ПДК	Xm	Um

0301	Азота диоксид (Азот (IV) оксид)	0,0024000	0,012089	1	0,06	28,50	0,50	0,00	0,00	0,00
0304	Азот (II) оксид (Азота оксид)	0,0003900	0,001964	1	0,01	28,50	0,50	0,00	0,00	0,00
0328	Углерод (Сажа)	0,0003333	0,001482	1	0,01	28,50	0,50	0,00	0,00	0,00
0330	Сера диоксид (Ангидрид сернистый)	0,0006467	0,002881	1	0,01	28,50	0,50	0,00	0,00	0,00
0337	Углерод оксид	0,0062000	0,027652	1	0,01	28,50	0,50	0,00	0,00	0,00
2732	Керосин	0,0008667	0,003938	1	0,00	28,50	0,50	0,00	0,00	0,00

+	6006	Проезд поливомоечная машина	1	3	5,00	0,00	0,00	0,00	1,29	0,00	3,96	-	-	1	2068,70	2296,40	2334,09	2296,62
---	------	-----------------------------	---	---	------	------	------	------	------	------	------	---	---	---	---------	---------	---------	---------

Код в-ва	Наименование вещества	Выброс, (г/с)	Выброс, (т/г)	F	Лето			Зима		
					См/ПДК	Xm	Um	См/ПДК	Xm	Um
0301	Азота диоксид (Азот (IV) оксид)	0,0015556	0,001022	1	0,04	28,50	0,50	0,00	0,00	0,00
0304	Азот (II) оксид (Азота оксид)	0,0002528	0,000166	1	0,00	28,50	0,50	0,00	0,00	0,00
0328	Углерод (Сажа)	0,0001944	0,000108	1	0,01	28,50	0,50	0,00	0,00	0,00
0330	Сера диоксид (Ангидрид сернистый)	0,0003111	0,000181	1	0,00	28,50	0,50	0,00	0,00	0,00
0337	Углерод оксид	0,0034444	0,002019	1	0,00	28,50	0,50	0,00	0,00	0,00
2732	Керосин	0,0006111	0,000357	1	0,00	28,50	0,50	0,00	0,00	0,00

+	6007	Проезд стороннего а/т	1	3	5,00	0,00	0,00	0,00	1,29	0,00	3,26	-	-	1	2295,02	2258,32	2295,02	2169,88
---	------	-----------------------	---	---	------	------	------	------	------	------	------	---	---	---	---------	---------	---------	---------

Код в-ва	Наименование вещества	Выброс, (г/с)	Выброс, (т/г)	F	Лето			Зима		
					См/ПДК	Xm	Um	См/ПДК	Xm	Um
0301	Азота диоксид (Азот (IV) оксид)	0,0018667	0,000818	1	0,05	28,50	0,50	0,00	0,00	0,00
0304	Азот (II) оксид (Азота оксид)	0,0003033	0,000133	1	0,00	28,50	0,50	0,00	0,00	0,00
0328	Углерод (Сажа)	0,0002333	0,000087	1	0,01	28,50	0,50	0,00	0,00	0,00
0330	Сера диоксид (Ангидрид сернистый)	0,0003733	0,000145	1	0,00	28,50	0,50	0,00	0,00	0,00
0337	Углерод оксид	0,0041333	0,001615	1	0,00	28,50	0,50	0,00	0,00	0,00
2732	Керосин	0,0007333	0,000286	1	0,00	28,50	0,50	0,00	0,00	0,00

+	6008	Стоянка	1	3	5,00	0,00	0,00	0,00	1,29	0,00	9,00	-	-	1	2318,17	2181,70	2334,37	2181,70
---	------	---------	---	---	------	------	------	------	------	------	------	---	---	---	---------	---------	---------	---------

Код в-ва	Наименование вещества	Выброс, (г/с)	Выброс, (т/г)	F	Лето			Зима		
					См/ПДК	Xm	Um	См/ПДК	Xm	Um
0301	Азота диоксид (Азот (IV) оксид)	0,0016311	0,000652	1	0,04	28,50	0,50	0,00	0,00	0,00
0304	Азот (II) оксид (Азота оксид)	0,0100378	0,004014	1	0,13	28,50	0,50	0,00	0,00	0,00
0328	Углерод (Сажа)	0,0009335	0,000305	1	0,03	28,50	0,50	0,00	0,00	0,00
0330	Сера диоксид (Ангидрид сернистый)	0,0020717	0,000849	1	0,02	28,50	0,50	0,00	0,00	0,00
0337	Углерод оксид	0,0440867	0,016265	1	0,05	28,50	0,50	0,00	0,00	0,00
2732	Керосин	0,0108067	0,003952	1	0,05	28,50	0,50	0,00	0,00	0,00

+	6009	Резервуар фильтра	1	3	2,00	0,00	0,00	0,00	1,29	0,00	2,00	-	-	1	2196,66	2335,00	2196,94	2321,30
---	------	-------------------	---	---	------	------	------	------	------	------	------	---	---	---	---------	---------	---------	---------

Код в-ва	Наименование вещества	Выброс, (г/с)	Выброс, (т/г)	F	Лето			Зима		
					См/ПДК	Xm	Um	См/ПДК	Xm	Um
0301	Азота диоксид (Азот (IV) оксид)	0,0000002	0,000003	1	0,00	11,40	0,50	0,00	0,00	0,00
0303	Аммиак	0,0000009	0,000017	1	0,00	11,40	0,50	0,00	0,00	0,00
0304	Азот (II) оксид (Азота оксид)	0,0000003	0,000005	1	0,00	11,40	0,50	0,00	0,00	0,00
0333	Дигидросульфид (Сероводород)	0,0000018	0,000033	1	0,01	11,40	0,50	0,00	0,00	0,00
0410	Метан	0,0001329	0,002388	1	0,00	11,40	0,50	0,00	0,00	0,00
1071	Гидроксibenзол (Фенол)	0,0000001	0,000002	1	0,00	11,40	0,50	0,00	0,00	0,00
1325	Формальдегид	0,0000001	0,000002	1	0,00	11,40	0,50	0,00	0,00	0,00
1716	Смесь природных меркаптанов /в пересчете на этилмеркаптан/ (Одор)	7,0000000E-09	1,000000E-07	1	0,01	11,40	0,50	0,00	0,00	0,00

+	6010	Дезбарьер	1	3	2,00	0,00	0,00	0,00	1,29	0,00	2,83	-	-	1	2289,94	2242,28	2289,94	2232,86
---	------	-----------	---	---	------	------	------	------	------	------	------	---	---	---	---------	---------	---------	---------

Код в-ва	Наименование вещества	Выброс, (г/с)	Выброс, (т/г)	F	Лето			Зима		
					См/ПДК	Xm	Um	См/ПДК	Xm	Um
1051	Пропан-2-ол (Изопропиловый спирт)	0,0000192	0,000355	1	0,00	11,40	0,50	0,00	0,00	0,00
1328	Пентандиаль (Глутаральдегид; Глутаровый альдегид)	0,0000087	0,000160	1	0,01	11,40	0,50	0,00	0,00	0,00

## Выбросы источников по веществам

Типы источников:

- 1 - Точечный;
- 2 - Линейный;
- 3 - Неорганизованный;
- 4 - Совокупность точечных источников;
- 5 - С зависимостью массы выброса от скорости ветра;
- 6 - Точечный, с зонтом или выбросом горизонтально;
- 7 - Совокупность точечных (зонт или выброс вбок);
- 8 - Автомагистраль (неорганизованный линейный);
- 9 - Точечный, с выбросом в бок;
- 10 - Свеча.

### Вещество: 0301 Азота диоксид (Азот (IV) оксид)

№ пл.	№ цех.	№ ист.	Тип	Выброс (г/с)	F	Лето			Зима		
						См/ПДК	Xm	Um	См/ПДК	Xm	Um
10	10	6001	3	0,1419885	1	3,74	28,50	0,50	0,00	0,00	0,00
10	10	6002	3	0,0006069	1	0,08	14,25	0,50	0,00	0,00	0,00
10	10	6003	3	0,0070667	1	0,19	28,50	0,50	0,00	0,00	0,00
10	10	6004	3	0,0327924	1	0,86	28,50	0,50	0,00	0,00	0,00
10	10	6005	3	0,0024000	1	0,06	28,50	0,50	0,00	0,00	0,00
10	10	6006	3	0,0015556	1	0,04	28,50	0,50	0,00	0,00	0,00
10	10	6007	3	0,0018667	1	0,05	28,50	0,50	0,00	0,00	0,00
10	10	6008	3	0,0016311	1	0,04	28,50	0,50	0,00	0,00	0,00
10	10	6009	3	0,0000002	1	0,00	11,40	0,50	0,00	0,00	0,00
<b>Итого:</b>				<b>0,1899081</b>		<b>5,06</b>			<b>0,00</b>		

### Вещество: 0303 Аммиак

№ пл.	№ цех.	№ ист.	Тип	Выброс (г/с)	F	Лето			Зима		
						См/ПДК	Xm	Um	См/ПДК	Xm	Um
10	10	6002	3	0,0003035	1	0,04	14,25	0,50	0,00	0,00	0,00
10	10	6009	3	0,0000009	1	0,00	11,40	0,50	0,00	0,00	0,00
<b>Итого:</b>				<b>0,0003044</b>		<b>0,04</b>			<b>0,00</b>		

### Вещество: 0304 Азот (II) оксид (Азота оксид)

№ пл.	№ цех.	№ ист.	Тип	Выброс (г/с)	F	Лето			Зима		
						См/ПДК	Xm	Um	См/ПДК	Xm	Um
10	10	6001	3	0,0230731	1	0,30	28,50	0,50	0,00	0,00	0,00
10	10	6002	3	0,0003372	1	0,02	14,25	0,50	0,00	0,00	0,00
10	10	6003	3	0,0011483	1	0,02	28,50	0,50	0,00	0,00	0,00
10	10	6004	3	0,0053288	1	0,07	28,50	0,50	0,00	0,00	0,00
10	10	6005	3	0,0003900	1	0,01	28,50	0,50	0,00	0,00	0,00
10	10	6006	3	0,0002528	1	0,00	28,50	0,50	0,00	0,00	0,00
10	10	6007	3	0,0003033	1	0,00	28,50	0,50	0,00	0,00	0,00
10	10	6008	3	0,0100378	1	0,13	28,50	0,50	0,00	0,00	0,00
10	10	6009	3	0,0000003	1	0,00	11,40	0,50	0,00	0,00	0,00
<b>Итого:</b>				<b>0,0408716</b>		<b>0,56</b>			<b>0,00</b>		

### Вещество: 0328 Углерод (Сажа)

№ пл.	№ цех.	№ ист.	Тип	Выброс (г/с)	F	Лето			Зима		
						См/ПДК	Xm	Um	См/ПДК	Xm	Um

10	10	6001	3	0,0286588	1	1,01	28,50	0,50	0,00	0,00	0,00
10	10	6003	3	0,0006421	1	0,02	28,50	0,50	0,00	0,00	0,00
10	10	6004	3	0,0067494	1	0,24	28,50	0,50	0,00	0,00	0,00
10	10	6005	3	0,0003333	1	0,01	28,50	0,50	0,00	0,00	0,00
10	10	6006	3	0,0001944	1	0,01	28,50	0,50	0,00	0,00	0,00
10	10	6007	3	0,0002333	1	0,01	28,50	0,50	0,00	0,00	0,00
10	10	6008	3	0,0009335	1	0,03	28,50	0,50	0,00	0,00	0,00
<b>Итого:</b>				<b>0,0377448</b>		<b>1,32</b>			<b>0,00</b>		

**Вещество: 0330 Сера диоксид (Ангидрид сернистый)**

№ пл.	№ цех.	№ ист.	Тип	Выброс (г/с)	F	Лето			Зима		
						См/ПДК	Xm	Um	См/ПДК	Xm	Um
10	10	6001	3	0,0183695	1	0,19	28,50	0,50	0,00	0,00	0,00
10	10	6002	3	0,0000270	1	0,00	14,25	0,50	0,00	0,00	0,00
10	10	6003	3	0,0015517	1	0,02	28,50	0,50	0,00	0,00	0,00
10	10	6004	3	0,0039622	1	0,04	28,50	0,50	0,00	0,00	0,00
10	10	6005	3	0,0006467	1	0,01	28,50	0,50	0,00	0,00	0,00
10	10	6006	3	0,0003111	1	0,00	28,50	0,50	0,00	0,00	0,00
10	10	6007	3	0,0003733	1	0,00	28,50	0,50	0,00	0,00	0,00
10	10	6008	3	0,0020717	1	0,02	28,50	0,50	0,00	0,00	0,00
<b>Итого:</b>				<b>0,0273132</b>		<b>0,29</b>			<b>0,00</b>		

**Вещество: 0333 Дигидросульфид (Сероводород)**

№ пл.	№ цех.	№ ист.	Тип	Выброс (г/с)	F	Лето			Зима		
						См/ПДК	Xm	Um	См/ПДК	Xm	Um
10	10	6002	3	0,0000101	1	0,03	14,25	0,50	0,00	0,00	0,00
10	10	6009	3	0,0000018	1	0,01	11,40	0,50	0,00	0,00	0,00
<b>Итого:</b>				<b>0,0000119</b>		<b>0,04</b>			<b>0,00</b>		

**Вещество: 0337 Углерод оксид**

№ пл.	№ цех.	№ ист.	Тип	Выброс (г/с)	F	Лето			Зима		
						См/ПДК	Xm	Um	См/ПДК	Xm	Um
10	10	6001	3	0,1458970	1	0,15	28,50	0,50	0,00	0,00	0,00
10	10	6002	3	0,0167462	1	0,09	14,25	0,50	0,00	0,00	0,00
10	10	6003	3	0,0144620	1	0,02	28,50	0,50	0,00	0,00	0,00
10	10	6004	3	0,0333621	1	0,04	28,50	0,50	0,00	0,00	0,00
10	10	6005	3	0,0062000	1	0,01	28,50	0,50	0,00	0,00	0,00
10	10	6006	3	0,0034444	1	0,00	28,50	0,50	0,00	0,00	0,00
10	10	6007	3	0,0041333	1	0,00	28,50	0,50	0,00	0,00	0,00
10	10	6008	3	0,0440867	1	0,05	28,50	0,50	0,00	0,00	0,00
<b>Итого:</b>				<b>0,2683317</b>		<b>0,35</b>			<b>0,00</b>		

**Вещество: 0410 Метан**

№ пл.	№ цех.	№ ист.	Тип	Выброс (г/с)	F	Лето			Зима		
						См/ПДК	Xm	Um	См/ПДК	Xm	Um
10	10	6009	3	0,0001329	1	0,00	11,40	0,50	0,00	0,00	0,00
<b>Итого:</b>				<b>0,0001329</b>		<b>0,00</b>			<b>0,00</b>		

**Вещество: 0416 Смесь углеводородов предельных C6-C10**

№ пл.	№ цех.	№ ист.	Тип	Выброс (г/с)	F	Лето			Зима		
						См/ПДК	Xm	Um	См/ПДК	Xm	Um
10	10	6002	3	0,0000562	1	0,00	14,25	0,50	0,00	0,00	0,00
<b>Итого:</b>				<b>0,0000562</b>		<b>0,00</b>			<b>0,00</b>		

**Вещество: 0602 Бензол**

№ пл.	№ цех.	№ ист.	Тип	Выброс (г/с)	F	Лето			Зима		
						См/ПДК	Xm	Um	См/ПДК	Xm	Um
10	10	6002	3	0,0010115	1	0,09	14,25	0,50	0,00	0,00	0,00
<b>Итого:</b>				<b>0,0010115</b>		<b>0,09</b>			<b>0,00</b>		

**Вещество: 0616 Диметилбензол (Ксилол) (смесь изомеров о-, м-, п-)**

№ пл.	№ цех.	№ ист.	Тип	Выброс (г/с)	F	Лето			Зима		
						См/ПДК	Xm	Um	См/ПДК	Xm	Um
10	10	6002	3	0,0001911	1	0,03	14,25	0,50	0,00	0,00	0,00
<b>Итого:</b>				<b>0,0001911</b>		<b>0,03</b>			<b>0,00</b>		

**Вещество: 0621 Метилбензол (Толуол)**

№ пл.	№ цех.	№ ист.	Тип	Выброс (г/с)	F	Лето			Зима		
						См/ПДК	Xm	Um	См/ПДК	Xm	Um
10	10	6002	3	0,0000101	1	0,00	14,25	0,50	0,00	0,00	0,00
<b>Итого:</b>				<b>0,0000101</b>		<b>0,00</b>			<b>0,00</b>		

**Вещество: 0627 Этилбензол**

№ пл.	№ цех.	№ ист.	Тип	Выброс (г/с)	F	Лето			Зима		
						См/ПДК	Xm	Um	См/ПДК	Xm	Um
10	10	6002	3	0,0000101	1	0,01	14,25	0,50	0,00	0,00	0,00
<b>Итого:</b>				<b>0,0000101</b>		<b>0,01</b>			<b>0,00</b>		

**Вещество: 1051 Пропан-2-ол (Изопропиловый спирт)**

№ пл.	№ цех.	№ ист.	Тип	Выброс (г/с)	F	Лето			Зима		
						См/ПДК	Xm	Um	См/ПДК	Xm	Um
10	10	6010	3	0,0000192	1	0,00	11,40	0,50	0,00	0,00	0,00
<b>Итого:</b>				<b>0,0000192</b>		<b>0,00</b>			<b>0,00</b>		

**Вещество: 1071 Гидроксибензол (Фенол)**

№ пл.	№ цех.	№ ист.	Тип	Выброс (г/с)	F	Лето			Зима		
						См/ПДК	Xm	Um	См/ПДК	Xm	Um
10	10	6002	3	0,0000270	1	0,07	14,25	0,50	0,00	0,00	0,00
10	10	6009	3	0,0000001	1	0,00	11,40	0,50	0,00	0,00	0,00
<b>Итого:</b>				<b>0,0000271</b>		<b>0,07</b>			<b>0,00</b>		

**Вещество: 1325 Формальдегид**

№ пл.	№ цех.	№ ист.	Тип	Выброс (г/с)	F	Лето			Зима		
						См/ПДК	Xm	Um	См/ПДК	Xm	Um
10	10	6002	3	0,0000326	1	0,02	14,25	0,50	0,00	0,00	0,00
10	10	6009	3	0,0000001	1	0,00	11,40	0,50	0,00	0,00	0,00

Итого:	0,0000327	0,02	0,00
--------	-----------	------	------

**Вещество: 1328 Пентандиаль (Глутаральдегид; Глутаровый альдегид)**

№ пл.	№ цех.	№ ист.	Тип	Выброс (г/с)	F	Лето			Зима		
						См/ПДК	Xm	Um	См/ПДК	Xm	Um
10	10	6010	3	0,0000087	1	0,01	11,40	0,50	0,00	0,00	0,00
Итого:				0,0000087		0,01			0,00		

**Вещество: 1401 Пропан-2-он (Ацетон)**

№ пл.	№ цех.	№ ист.	Тип	Выброс (г/с)	F	Лето			Зима		
						См/ПДК	Xm	Um	См/ПДК	Xm	Um
10	10	6002	3	0,0000101	1	0,00	14,25	0,50	0,00	0,00	0,00
Итого:				0,0000101		0,00			0,00		

**Вещество: 1716 Смесь природных меркаптанов /в пересчете на этилмеркаптан/ (Одор)**

№ пл.	№ цех.	№ ист.	Тип	Выброс (г/с)	F	Лето			Зима		
						См/ПДК	Xm	Um	См/ПДК	Xm	Um
10	10	6002	3	0,0000101	1	5,36	14,25	0,50	0,00	0,00	0,00
10	10	6009	3	7,0000000E-09	1	0,01	11,40	0,50	0,00	0,00	0,00
Итого:				0,0000101		5,36			0,00		

**Вещество: 2732 Керосин**

№ пл.	№ цех.	№ ист.	Тип	Выброс (г/с)	F	Лето			Зима		
						См/ПДК	Xm	Um	См/ПДК	Xm	Um
10	10	6001	3	0,0405120	1	0,18	28,50	0,50	0,00	0,00	0,00
10	10	6003	3	0,0025481	1	0,01	28,50	0,50	0,00	0,00	0,00
10	10	6004	3	0,0090217	1	0,04	28,50	0,50	0,00	0,00	0,00
10	10	6005	3	0,0008667	1	0,00	28,50	0,50	0,00	0,00	0,00
10	10	6006	3	0,0006111	1	0,00	28,50	0,50	0,00	0,00	0,00
10	10	6007	3	0,0007333	1	0,00	28,50	0,50	0,00	0,00	0,00
10	10	6008	3	0,0108067	1	0,05	28,50	0,50	0,00	0,00	0,00
Итого:				0,0650996		0,29			0,00		

**Вещество: 2754 Углеводороды предельные C12-C19**

№ пл.	№ цех.	№ ист.	Тип	Выброс (г/с)	F	Лето			Зима		
						См/ПДК	Xm	Um	См/ПДК	Xm	Um
10	10	6002	3	0,0101151	1	0,27	14,25	0,50	0,00	0,00	0,00
Итого:				0,0101151		0,27			0,00		

**Вещество: 2902 Взвешенные вещества**

№ пл.	№ цех.	№ ист.	Тип	Выброс (г/с)	F	Лето			Зима		
						См/ПДК	Xm	Um	См/ПДК	Xm	Um
10	10	6002	3	0,0009778	3	0,16	7,13	0,50	0,00	0,00	0,00
Итого:				0,0009778		0,16			0,00		

## Выбросы источников по группам суммации

Типы источников:

- 1 - Точечный;
- 2 - Линейный;
- 3 - Неорганизованный;
- 4 - Совокупность точечных источников;
- 5 - С зависимостью массы выброса от скорости ветра;
- 6 - Точечный, с зонтом или выбросом горизонтально;
- 7 - Совокупность точечных (зонт или выброс вбок);
- 8 - Автомагистраль (неорганизованный линейный);
- 9 - Точечный, с выбросом в бок;
- 10 - Свеча.

### Группа суммации: 6003 Аммиак, сероводород

№ пл.	№ цех	№ ист.	Тип	Код в-ва	Выброс (г/с)	F	Лето			Зима		
							См/ПДК	Xm	Um	См/ПДК	Xm	Um
10	10	6002	3	0303	0,0003035	1	0,04	14,25	0,50	0,00	0,00	0,00
10	10	6009	3	0303	0,0000009	1	0,00	11,40	0,50	0,00	0,00	0,00
10	10	6002	3	0333	0,0000101	1	0,03	14,25	0,50	0,00	0,00	0,00
10	10	6009	3	0333	0,0000018	1	0,01	11,40	0,50	0,00	0,00	0,00
<b>Итого:</b>					<b>0,0003163</b>		<b>0,08</b>			<b>0,00</b>		

### Группа суммации: 6004 Аммиак, сероводород, формальдегид

№ пл.	№ цех	№ ист.	Тип	Код в-ва	Выброс (г/с)	F	Лето			Зима		
							См/ПДК	Xm	Um	См/ПДК	Xm	Um
10	10	6002	3	0303	0,0003035	1	0,04	14,25	0,50	0,00	0,00	0,00
10	10	6009	3	0303	0,0000009	1	0,00	11,40	0,50	0,00	0,00	0,00
10	10	6002	3	0333	0,0000101	1	0,03	14,25	0,50	0,00	0,00	0,00
10	10	6009	3	0333	0,0000018	1	0,01	11,40	0,50	0,00	0,00	0,00
10	10	6002	3	1325	0,0000326	1	0,02	14,25	0,50	0,00	0,00	0,00
10	10	6009	3	1325	0,0000001	1	0,00	11,40	0,50	0,00	0,00	0,00
<b>Итого:</b>					<b>0,0003490</b>		<b>0,10</b>			<b>0,00</b>		

### Группа суммации: 6005 Аммиак, формальдегид

№ пл.	№ цех	№ ист.	Тип	Код в-ва	Выброс (г/с)	F	Лето			Зима		
							См/ПДК	Xm	Um	См/ПДК	Xm	Um
10	10	6002	3	0303	0,0003035	1	0,04	14,25	0,50	0,00	0,00	0,00
10	10	6009	3	0303	0,0000009	1	0,00	11,40	0,50	0,00	0,00	0,00
10	10	6002	3	1325	0,0000326	1	0,02	14,25	0,50	0,00	0,00	0,00
10	10	6009	3	1325	0,0000001	1	0,00	11,40	0,50	0,00	0,00	0,00
<b>Итого:</b>					<b>0,0003371</b>		<b>0,06</b>			<b>0,00</b>		

### Группа суммации: 6010 Азота диоксид, серы диоксид, углерода оксид, фенол

№ пл.	№ цех	№ ист.	Тип	Код в-ва	Выброс (г/с)	F	Лето			Зима		
							См/ПДК	Xm	Um	См/ПДК	Xm	Um
10	10	6001	3	0301	0,1419885	1	3,74	28,50	0,50	0,00	0,00	0,00
10	10	6002	3	0301	0,0006069	1	0,08	14,25	0,50	0,00	0,00	0,00
10	10	6003	3	0301	0,0070667	1	0,19	28,50	0,50	0,00	0,00	0,00
10	10	6004	3	0301	0,0327924	1	0,86	28,50	0,50	0,00	0,00	0,00
10	10	6005	3	0301	0,0024000	1	0,06	28,50	0,50	0,00	0,00	0,00
10	10	6006	3	0301	0,0015556	1	0,04	28,50	0,50	0,00	0,00	0,00
10	10	6007	3	0301	0,0018667	1	0,05	28,50	0,50	0,00	0,00	0,00
10	10	6008	3	0301	0,0016311	1	0,04	28,50	0,50	0,00	0,00	0,00
10	10	6009	3	0301	0,0000002	1	0,00	11,40	0,50	0,00	0,00	0,00
10	10	6001	3	0330	0,0183695	1	0,19	28,50	0,50	0,00	0,00	0,00
10	10	6002	3	0330	0,0000270	1	0,00	14,25	0,50	0,00	0,00	0,00
10	10	6003	3	0330	0,0015517	1	0,02	28,50	0,50	0,00	0,00	0,00
10	10	6004	3	0330	0,0039622	1	0,04	28,50	0,50	0,00	0,00	0,00
10	10	6005	3	0330	0,0006467	1	0,01	28,50	0,50	0,00	0,00	0,00
10	10	6006	3	0330	0,0003111	1	0,00	28,50	0,50	0,00	0,00	0,00
10	10	6007	3	0330	0,0003733	1	0,00	28,50	0,50	0,00	0,00	0,00
10	10	6008	3	0330	0,0020717	1	0,02	28,50	0,50	0,00	0,00	0,00
10	10	6001	3	0337	0,1458970	1	0,15	28,50	0,50	0,00	0,00	0,00
10	10	6002	3	0337	0,0167462	1	0,09	14,25	0,50	0,00	0,00	0,00
10	10	6003	3	0337	0,0144620	1	0,02	28,50	0,50	0,00	0,00	0,00
10	10	6004	3	0337	0,0333621	1	0,04	28,50	0,50	0,00	0,00	0,00
10	10	6005	3	0337	0,0062000	1	0,01	28,50	0,50	0,00	0,00	0,00
10	10	6006	3	0337	0,0034444	1	0,00	28,50	0,50	0,00	0,00	0,00
10	10	6007	3	0337	0,0041333	1	0,00	28,50	0,50	0,00	0,00	0,00
10	10	6008	3	0337	0,0440867	1	0,05	28,50	0,50	0,00	0,00	0,00
10	10	6002	3	1071	0,0000270	1	0,07	14,25	0,50	0,00	0,00	0,00
10	10	6009	3	1071	0,0000001	1	0,00	11,40	0,50	0,00	0,00	0,00
<b>Итого:</b>					<b>0,4855801</b>		<b>5,78</b>			<b>0,00</b>		

### Группа суммации: 6013 Ацетон и фенол

№ пл.	№ цех	№ ист.	Тип	Код в-ва	Выброс (г/с)	F	Лето			Зима		
							См/ПДК	Xm	Um	См/ПДК	Xm	Um
10	10	6002	3	1071	0,0000270	1	0,07	14,25	0,50	0,00	0,00	0,00
10	10	6009	3	1071	0,0000001	1	0,00	11,40	0,50	0,00	0,00	0,00
10	10	6002	3	1401	0,0000101	1	0,00	14,25	0,50	0,00	0,00	0,00
<b>Итого:</b>					<b>0,0000372</b>		<b>0,07</b>			<b>0,00</b>		

### Группа суммации: 6035 Сероводород, формальдегид

№ пл.	№ цех	№ ист.	Тип	Код в-ва	Выброс (г/с)	F	Лето			Зима		
							См/ПДК	Xm	Um	См/ПДК	Xm	Um
10	10	6002	3	0333	0,0000101	1	0,03	14,25	0,50	0,00	0,00	0,00
10	10	6009	3	0333	0,0000018	1	0,01	11,40	0,50	0,00	0,00	0,00

10	10	6002	3	1325	0,0000326	1	0,02	14,25	0,50	0,00	0,00	0,00
10	10	6009	3	1325	0,0000001	1	0,00	11,40	0,50	0,00	0,00	0,00
<b>Итого:</b>					<b>0,0000446</b>		<b>0,06</b>			<b>0,00</b>		

### Группа суммации: 6038 Серы диоксид и фенол

№ пл.	№ цех .	№ ист.	Тип	Код в-ва	Выброс (г/с)	F	Лето			Зима		
							См/ПДК	Xm	Um	См/ПДК	Xm	Um
10	10	6001	3	0330	0,0183695	1	0,19	28,50	0,50	0,00	0,00	0,00
10	10	6002	3	0330	0,0000270	1	0,00	14,25	0,50	0,00	0,00	0,00
10	10	6003	3	0330	0,0015517	1	0,02	28,50	0,50	0,00	0,00	0,00
10	10	6004	3	0330	0,0039622	1	0,04	28,50	0,50	0,00	0,00	0,00
10	10	6005	3	0330	0,0006467	1	0,01	28,50	0,50	0,00	0,00	0,00
10	10	6006	3	0330	0,0003111	1	0,00	28,50	0,50	0,00	0,00	0,00
10	10	6007	3	0330	0,0003733	1	0,00	28,50	0,50	0,00	0,00	0,00
10	10	6008	3	0330	0,0020717	1	0,02	28,50	0,50	0,00	0,00	0,00
10	10	6002	3	1071	0,0000270	1	0,07	14,25	0,50	0,00	0,00	0,00
10	10	6009	3	1071	0,0000001	1	0,00	11,40	0,50	0,00	0,00	0,00
<b>Итого:</b>					<b>0,0273403</b>		<b>0,36</b>			<b>0,00</b>		

### Группа суммации: 6043 Серы диоксид и сероводород

№ пл.	№ цех .	№ ист.	Тип	Код в-ва	Выброс (г/с)	F	Лето			Зима		
							См/ПДК	Xm	Um	См/ПДК	Xm	Um
10	10	6001	3	0330	0,0183695	1	0,19	28,50	0,50	0,00	0,00	0,00
10	10	6002	3	0330	0,0000270	1	0,00	14,25	0,50	0,00	0,00	0,00
10	10	6003	3	0330	0,0015517	1	0,02	28,50	0,50	0,00	0,00	0,00
10	10	6004	3	0330	0,0039622	1	0,04	28,50	0,50	0,00	0,00	0,00
10	10	6005	3	0330	0,0006467	1	0,01	28,50	0,50	0,00	0,00	0,00
10	10	6006	3	0330	0,0003111	1	0,00	28,50	0,50	0,00	0,00	0,00
10	10	6007	3	0330	0,0003733	1	0,00	28,50	0,50	0,00	0,00	0,00
10	10	6008	3	0330	0,0020717	1	0,02	28,50	0,50	0,00	0,00	0,00
10	10	6002	3	0333	0,0000101	1	0,03	14,25	0,50	0,00	0,00	0,00
10	10	6009	3	0333	0,0000018	1	0,01	11,40	0,50	0,00	0,00	0,00
<b>Итого:</b>					<b>0,0273251</b>		<b>0,33</b>			<b>0,00</b>		

### Группа суммации: 6204 Серы диоксид, азота диоксид

№ пл.	№ цех .	№ ист.	Тип	Код в-ва	Выброс (г/с)	F	Лето			Зима		
							См/ПДК	Xm	Um	См/ПДК	Xm	Um
10	10	6001	3	0301	0,1419885	1	3,74	28,50	0,50	0,00	0,00	0,00
10	10	6002	3	0301	0,0006069	1	0,08	14,25	0,50	0,00	0,00	0,00
10	10	6003	3	0301	0,0070667	1	0,19	28,50	0,50	0,00	0,00	0,00
10	10	6004	3	0301	0,0327924	1	0,86	28,50	0,50	0,00	0,00	0,00
10	10	6005	3	0301	0,0024000	1	0,06	28,50	0,50	0,00	0,00	0,00

10	10	6006	3	0301	0,0015556	1	0,04	28,50	0,50	0,00	0,00	0,00
10	10	6007	3	0301	0,0018667	1	0,05	28,50	0,50	0,00	0,00	0,00
10	10	6008	3	0301	0,0016311	1	0,04	28,50	0,50	0,00	0,00	0,00
10	10	6009	3	0301	0,0000002	1	0,00	11,40	0,50	0,00	0,00	0,00
10	10	6001	3	0330	0,0183695	1	0,19	28,50	0,50	0,00	0,00	0,00
10	10	6002	3	0330	0,0000270	1	0,00	14,25	0,50	0,00	0,00	0,00
10	10	6003	3	0330	0,0015517	1	0,02	28,50	0,50	0,00	0,00	0,00
10	10	6004	3	0330	0,0039622	1	0,04	28,50	0,50	0,00	0,00	0,00
10	10	6005	3	0330	0,0006467	1	0,01	28,50	0,50	0,00	0,00	0,00
10	10	6006	3	0330	0,0003111	1	0,00	28,50	0,50	0,00	0,00	0,00
10	10	6007	3	0330	0,0003733	1	0,00	28,50	0,50	0,00	0,00	0,00
10	10	6008	3	0330	0,0020717	1	0,02	28,50	0,50	0,00	0,00	0,00
<b>Итого:</b>					<b>0,2172213</b>		<b>3,34</b>			<b>0,00</b>		

Суммарное значение Ст/ПДК для группы рассчитано с учетом коэффициента неполной суммы 1,60

## Расчет проводился по веществам (группам суммации)

Код	Наименование вещества	Предельно допустимая концентрация						Поправ. коэф. к ПДК ОБУВ *	Фоновая концентр.	
		Расчет максимальных концентраций			Расчет средних концентраций				Учет	Интерп.
		Тип	Спр. значения	Исп. в расч.	Тип	Спр. значение	Исп. в расч.			
0301	Азота диоксид (Азот (IV) оксид)	ПДК м/р	0,2000	0,2000	ПДК с/с	0,0400	0,0400	1	Да	Нет
0303	Аммиак	ПДК м/р	0,2000	0,2000	ПДК с/с	0,0400	0,0400	1	Нет	Нет
0304	Азот (II) оксид (Азота оксид)	ПДК м/р	0,4000	0,4000	ПДК с/с	0,0600	0,0600	1	Да	Нет
0328	Углерод (Сажа)	ПДК м/р	0,1500	0,1500	ПДК с/с	0,0500	0,0500	1	Нет	Нет
0330	Сера диоксид (Ангидрид сернистый)	ПДК м/р	0,5000	0,5000	ПДК с/с	0,0500	0,0500	1	Да	Нет
0333	Дигидросульфид (Сероводород)	ПДК м/р	0,0080	0,0080	-	-	-	1	Да	Нет
0337	Углерод оксид	ПДК м/р	5,0000	5,0000	ПДК с/с	3,0000	3,0000	1	Да	Нет
0410	Метан	ОБУВ	50,0000	50,0000	-	-	-	1	Нет	Нет
0416	Смесь углеводородов предельных С6-С10	ОБУВ	30,0000	30,0000	-	-	-	1	Нет	Нет
0602	Бензол	ПДК м/р	0,3000	0,3000	ПДК с/с	0,1000	0,1000	1	Нет	Нет
0616	Диметилбензол (Ксилол) (смесь изомеров о-, м-, п-)	ПДК м/р	0,2000	0,2000	-	-	-	1	Нет	Нет
0621	Метилбензол (Толуол)	ПДК м/р	0,6000	0,6000	-	-	-	1	Нет	Нет
0627	Этилбензол	ПДК м/р	0,0200	0,0200	-	-	-	1	Нет	Нет
1051	Пропан-2-ол (Изопропиловый спирт)	ПДК м/р	0,6000	0,6000	-	-	-	1	Нет	Нет
1071	Гидроксибензол (Фенол)	ПДК м/р	0,0100	0,0100	ПДК с/с	0,0030	0,0030	1	Нет	Нет
1325	Формальдегид	ПДК м/р	0,0500	0,0500	ПДК с/с	0,0100	0,0100	1	Да	Нет
1328	Пентандиаль (Глутаральдегид; Глутаровый альдегид)	ОБУВ	0,0300	0,0300	-	-	-	1	Нет	Нет
1401	Пропан-2-он (Ацетон)	ПДК м/р	0,3500	0,3500	-	-	-	1	Нет	Нет
1716	Смесь природных меркаптанов /в пересчете на этилмеркаптан/ (Одор)	ПДК м/р	5,0000E-05	5,0000E-05	-	-	-	1	Нет	Нет
2732	Керосин	ОБУВ	1,2000	1,2000	-	-	-	1	Нет	Нет
2754	Углеводороды предельные С12-С19	ПДК м/р	1,0000	1,0000	-	-	-	1	Нет	Нет
2902	Взвешенные вещества	ПДК м/р	0,5000	0,5000	ПДК с/с	0,1500	0,1500	1	Нет	Нет
6003	Группа суммации: Аммиак, сероводород	Группа суммации	-	-	Группа суммации	-	-	1	Нет	Нет
6004	Группа суммации: Аммиак, сероводород, формальдегид	Группа суммации	-	-	Группа суммации	-	-	1	Нет	Нет
6005	Группа суммации: Аммиак, формальдегид	Группа суммации	-	-	Группа суммации	-	-	1	Нет	Нет
6010	Группа суммации: Азота диоксид, серы диоксид, углерода оксид, фенол	Группа суммации	-	-	Группа суммации	-	-	1	Нет	Нет
6013	Группа суммации: Ацетон и фенол	Группа суммации	-	-	Группа суммации	-	-	1	Нет	Нет
6035	Группа суммации: Сероводород, формальдегид	Группа суммации	-	-	Группа суммации	-	-	1	Да	Нет
6038	Группа суммации: Серы диоксид и фенол	Группа суммации	-	-	Группа суммации	-	-	1	Нет	Нет
6043	Группа суммации: Серы диоксид и сероводород	Группа суммации	-	-	Группа суммации	-	-	1	Да	Нет
6204	Группа неполной суммации с коэффициентом "1,6": Серы диоксид, азота диоксид	Группа суммации	-	-	Группа суммации	-	-	1	Да	Нет

\*Используется при необходимости применения особых нормативных требований. При изменении значения параметра "Поправочный коэффициент к ПДК/ОБУВ", по умолчанию равного 1, получаемые результаты расчета максимальной концентрации следует сравнивать не со значением коэффициента, а с 1.

## Посты измерения фоновых концентраций

№ поста	Наименование	Координаты (м)	
		X	Y
1	фон	1313,60	1692,30

Код в-ва	Наименование вещества	Максимальная концентрация *					Средняя концентрация *
		Штиль	Север	Восток	Юг	Запад	
0301	Азота диоксид (Азот (IV) оксид)	0,0790	0,0790	0,0790	0,0790	0,0790	0,0000
0304	Азот (II) оксид (Азота оксид)	0,0520	0,0520	0,0520	0,0520	0,0520	0,0000
0330	Сера диоксид (Ангидрид сернистый)	0,0190	0,0190	0,0190	0,0190	0,0190	0,0000
0333	Дигидросульфид (Сероводород)	0,0030	0,0030	0,0030	0,0030	0,0030	0,0000
0337	Углерод оксид	0,0027	0,0027	0,0027	0,0027	0,0027	0,0000
0703	Бенз/а/пирен (3,4-Бензпирен)	1,9000E-06	1,9000E-06	1,9000E-06	1,9000E-06	1,9000E-06	0,0000
1325	Формальдегид	0,0220	0,0220	0,0220	0,0220	0,0220	0,0000
2909	Пыль неорганическая: до 20% SiO <sub>2</sub>	0,2360	0,2360	0,2360	0,2360	0,2360	0,0000

\* Фоновые концентрации измеряются в мг/м<sup>3</sup> для веществ и долях приведенной ПДК для групп суммации

## Перебор метеопараметров при расчете

Набор-автомат

Перебор скоростей ветра осуществляется автоматически

### Направление ветра

Начало сектора	Конец сектора	Шаг перебора ветра
0	360	1

## Расчетные области

### Расчетные площадки

Код	Тип	Полное описание площадки					Зона влияния (м)	Шаг (м)		Высота (м)
		Координаты середины 1-й стороны (м)		Координаты середины 2-й стороны (м)		Ширина (м)		По ширине	По длине	
		X	Y	X	Y					
1	Полное описание	1000,00	2249,39	3500,00	2249,39	2000,00	0,00	50,00	50,00	2,00

### Расчетные точки

Код	Координаты (м)		Высота (м)	Тип точки	Комментарий
	X	Y			
1	2202,26	2656,25	2,00	на границе С33	
2	2506,70	2611,58	2,00	на границе С33	
3	2650,67	2282,66	2,00	на границе С33	
4	2563,22	1961,23	2,00	на границе С33	
5	2209,05	1871,57	2,00	на границе С33	
6	1942,95	1952,32	2,00	на границе С33	
7	1745,41	2294,48	2,00	на границе С33	
8	1813,13	2550,14	2,00	на границе С33	

## Результаты расчета и вклады по веществам (расчетные точки)

Типы точек:

- 0 - расчетная точка пользователя
- 1 - точка на границе охранной зоны
- 2 - точка на границе производственной зоны
- 3 - точка на границе СЗЗ
- 4 - на границе жилой зоны
- 5 - на границе застройки

### Вещество: 0301 Азота диоксид (Азот (IV) оксид)

№	Коорд Х(м)	Коорд У(м)	Высота (м)	Концентр (д. ПДК)	Концентр. (мг/куб.м)	Напр ветр а	Скор ветр а	Фон		Фон до исключения		Тип точки
								доли ПДК	мг/куб.м	доли ПДК	мг/куб.м	
1	2202,26	2656,25	2,00	0,75	0,1500	171	3,22	0,39	0,0790	0,39	0,0790	3
Площадка		Цех	Источник		Вклад (д. ПДК)		Вклад (мг/куб.м)		Вклад %			
	10	10	6001		0,31		0,0619		41,24			
	10	10	6004		0,04		0,0075		5,01			
	10	10	6005		3,07E-03		0,0006		0,41			
2	2506,70	2611,58	2,00	0,71	0,1421	221	4,40	0,39	0,0790	0,39	0,0790	3
Площадка		Цех	Источник		Вклад (д. ПДК)		Вклад (мг/куб.м)		Вклад %			
	10	10	6001		0,26		0,0530		37,27			
	10	10	6004		0,05		0,0093		6,53			
	10	10	6003		1,66E-03		0,0003		0,23			
3	2650,67	2282,66	2,00	0,66	0,1327	276	3,22	0,39	0,0790	0,39	0,0790	3
Площадка		Цех	Источник		Вклад (д. ПДК)		Вклад (мг/куб.м)		Вклад %			
	10	10	6001		0,23		0,0469		35,37			
	10	10	6004		0,03		0,0051		3,82			
	10	10	6003		3,59E-03		0,0007		0,54			
5	2209,05	1871,57	2,00	0,64	0,1287	6	6,00	0,39	0,0790	0,39	0,0790	3
Площадка		Цех	Источник		Вклад (д. ПДК)		Вклад (мг/куб.м)		Вклад %			
	10	10	6001		0,20		0,0405		31,48			
	10	10	6004		0,04		0,0083		6,45			
	10	10	6005		1,78E-03		0,0004		0,28			
6	1942,95	1952,32	2,00	0,64	0,1271	40	6,00	0,39	0,0790	0,39	0,0790	3
Площадка		Цех	Источник		Вклад (д. ПДК)		Вклад (мг/куб.м)		Вклад %			
	10	10	6001		0,19		0,0374		29,39			
	10	10	6004		0,05		0,0103		8,07			
	10	10	6006		1,19E-03		0,0002		0,19			
4	2563,22	1961,23	2,00	0,61	0,1224	320	6,00	0,39	0,0790	0,39	0,0790	3
Площадка		Цех	Источник		Вклад (д. ПДК)		Вклад (мг/куб.м)		Вклад %			
	10	10	6001		0,19		0,0386		31,55			
	10	10	6004		0,02		0,0032		2,65			
	10	10	6005		2,97E-03		0,0006		0,49			
7	1745,41	2294,48	2,00	0,60	0,1205	87	6,00	0,39	0,0790	0,39	0,0790	3
Площадка		Цех	Источник		Вклад (д. ПДК)		Вклад (мг/куб.м)		Вклад %			
	10	10	6001		0,17		0,0343		28,50			
	10	10	6004		0,02		0,0049		4,09			
	10	10	6003		5,57E-03		0,0011		0,93			
8	1813,13	2550,14	2,00	0,60	0,1197	117	6,00	0,39	0,0790	0,39	0,0790	3
Площадка		Цех	Источник		Вклад (д. ПДК)		Вклад (мг/куб.м)		Вклад %			
	10	10	6001		0,18		0,0364		30,40			
	10	10	6004		0,02		0,0033		2,78			
	10	10	6005		1,67E-03		0,0003		0,28			

**Вещество: 0303 Аммиак**

№	Коорд Х(м)	Коорд Y(м)	Высота (м)	Концентр (д. ПДК)	Концентр. (мг/куб.м)	Напр ветр	Скор ветр	Фон		Фон до исключения		Тип точки
								доли ПДК	мг/куб.м	доли ПДК	мг/куб.м	
7	1745,41	2294,48	2,00	1,06E-03	0,0002	84	6,00	-	-	-	-	3
Площадка		Цех	Источник		Вклад (д. ПДК)		Вклад (мг/куб.м)		Вклад %			
10		10	6002		1,05E-03		0,0002		99,76			
10		10	6009		2,56E-06		5,1112E-07		0,24			
8	1813,13	2550,14	2,00	9,65E-04	0,0002	126	6,00	-	-	-	-	3
Площадка		Цех	Источник		Вклад (д. ПДК)		Вклад (мг/куб.м)		Вклад %			
10		10	6002		9,64E-04		0,0002		99,83			
10		10	6009		1,63E-06		3,2648E-07		0,17			
1	2202,26	2656,25	2,00	8,51E-04	0,0002	194	6,00	-	-	-	-	3
Площадка		Цех	Источник		Вклад (д. ПДК)		Вклад (мг/куб.м)		Вклад %			
10		10	6002		8,51E-04		0,0002		99,96			
2	2506,70	2611,58	2,00	6,92E-04	0,0001	234	6,00	-	-	-	-	3
Площадка		Цех	Источник		Вклад (д. ПДК)		Вклад (мг/куб.м)		Вклад %			
10		10	6002		6,91E-04		0,0001		99,76			
10		10	6009		1,63E-06		3,2698E-07		0,24			
6	1942,95	1952,32	2,00	6,92E-04	0,0001	25	6,00	-	-	-	-	3
Площадка		Цех	Источник		Вклад (д. ПДК)		Вклад (мг/куб.м)		Вклад %			
10		10	6002		6,91E-04		0,0001		99,89			
3	2650,67	2282,66	2,00	5,95E-04	0,0001	276	6,00	-	-	-	-	3
Площадка		Цех	Источник		Вклад (д. ПДК)		Вклад (мг/куб.м)		Вклад %			
10		10	6002		5,92E-04		0,0001		99,56			
10		10	6009		2,63E-06		5,2652E-07		0,44			
5	2209,05	1871,57	2,00	5,79E-04	0,0001	350	6,00	-	-	-	-	3
Площадка		Цех	Источник		Вклад (д. ПДК)		Вклад (мг/куб.м)		Вклад %			
10		10	6002		5,79E-04		0,0001		99,85			
4	2563,22	1961,23	2,00	5,02E-04	0,0001	310	6,00	-	-	-	-	3
Площадка		Цех	Источник		Вклад (д. ПДК)		Вклад (мг/куб.м)		Вклад %			
10		10	6002		5,01E-04		0,0001		99,72			
10		10	6009		1,42E-06		2,8392E-07		0,28			

**Вещество: 0304 Азот (II) оксид (Азота оксид)**

№	Коорд Х(м)	Коорд Y(м)	Высота (м)	Концентр (д. ПДК)	Концентр. (мг/куб.м)	Напр ветр	Скор ветр	Фон		Фон до исключения		Тип точки
								доли ПДК	мг/куб.м	доли ПДК	мг/куб.м	
1	2202,26	2656,25	2,00	0,16	0,0654	170	3,22	0,13	0,0520	0,13	0,0520	3
Площадка		Цех	Источник		Вклад (д. ПДК)		Вклад (мг/куб.м)		Вклад %			
10		10	6001		0,03		0,0102		15,52			
10		10	6008		4,87E-03		0,0019		2,98			
10		10	6004		2,67E-03		0,0011		1,64			
4	2563,22	1961,23	2,00	0,16	0,0623	316	2,36	0,13	0,0520	0,13	0,0520	3
Площадка		Цех	Источник		Вклад (д. ПДК)		Вклад (мг/куб.м)		Вклад %			
10		10	6001		0,01		0,0046		7,36			
10		10	6008		0,01		0,0042		6,75			
10		10	6004		2,91E-03		0,0012		1,87			
2	2506,70	2611,58	2,00	0,16	0,0623	221	4,40	0,13	0,0520	0,13	0,0520	3
Площадка		Цех	Источник		Вклад (д. ПДК)		Вклад (мг/куб.м)		Вклад %			
10		10	6001		0,02		0,0086		13,82			



6	1942,95	1952,32	2,00	0,06	0,0097	40	6,00	-	-	-	-	3
Площадка	Цех	Источник	Вклад (д. ПДК)		Вклад (мг/куб.м)		Вклад %					
10	10	6001	0,05		0,0075		77,64					
10	10	6004	0,01		0,0021		21,73					
10	10	6006	1,99E-04		2,9854E-05		0,31					
4	2563,22	1961,23	2,00	0,06	0,0088	320	6,00	-	-	-	-	3
Площадка	Цех	Источник	Вклад (д. ПДК)		Вклад (мг/куб.м)		Вклад %					
10	10	6001	0,05		0,0078		88,56					
10	10	6004	4,45E-03		0,0007		7,59					
10	10	6008	1,23E-03		0,0002		2,09					
8	1813,13	2550,14	2,00	0,05	0,0082	117	6,00	-	-	-	-	3
Площадка	Цех	Источник	Вклад (д. ПДК)		Вклад (мг/куб.м)		Вклад %					
10	10	6001	0,05		0,0073		89,79					
10	10	6004	4,57E-03		0,0007		8,38					
10	10	6008	3,69E-04		5,5306E-05		0,68					
7	1745,41	2294,48	2,00	0,05	0,0081	87	6,00	-	-	-	-	3
Площадка	Цех	Источник	Вклад (д. ПДК)		Вклад (мг/куб.м)		Вклад %					
10	10	6001	0,05		0,0069		85,06					
10	10	6004	6,76E-03		0,0010		12,44					
10	10	6003	6,75E-04		0,0001		1,24					

**Вещество: 0330 Сера диоксид (Ангидрид сернистый)**

№	Коорд X(м)	Коорд Y(м)	Высота (м)	Концентр (д. ПДК)	Концентр. (мг/куб.м)	Напр ветр а	Скор ветр а	Фон		Фон до исключения		Тип точки
								доли ПДК	мг/куб.м	доли ПДК	мг/куб.м	
1	2202,26	2656,25	2,00	0,06	0,0286	170	3,22	0,04	0,0190	0,04	0,0190	3
Площадка	Цех	Источник	Вклад (д. ПДК)		Вклад (мг/куб.м)		Вклад %					
10	10	6001	0,02		0,0081		28,25					
10	10	6004	1,59E-03		0,0008		2,78					
10	10	6008	8,04E-04		0,0004		1,40					
2	2506,70	2611,58	2,00	0,05	0,0272	221	4,40	0,04	0,0190	0,04	0,0190	3
Площадка	Цех	Источник	Вклад (д. ПДК)		Вклад (мг/куб.м)		Вклад %					
10	10	6001	0,01		0,0069		25,23					
10	10	6004	2,24E-03		0,0011		4,13					
10	10	6003	1,46E-04		7,2752E-05		0,27					
3	2650,67	2282,66	2,00	0,05	0,0260	276	3,22	0,04	0,0190	0,04	0,0190	3
Площадка	Цех	Источник	Вклад (д. ПДК)		Вклад (мг/куб.м)		Вклад %					
10	10	6001	0,01		0,0061		23,32					
10	10	6004	1,23E-03		0,0006		2,35					
10	10	6003	3,15E-04		0,0002		0,61					
5	2209,05	1871,57	2,00	0,05	0,0255	6	6,00	0,04	0,0190	0,04	0,0190	3
Площадка	Цех	Источник	Вклад (д. ПДК)		Вклад (мг/куб.м)		Вклад %					
10	10	6001	0,01		0,0052		20,58					
10	10	6004	2,01E-03		0,0010		3,94					
10	10	6005	1,92E-04		9,6191E-05		0,38					
6	1942,95	1952,32	2,00	0,05	0,0252	40	6,00	0,04	0,0190	0,04	0,0190	3
Площадка	Цех	Источник	Вклад (д. ПДК)		Вклад (мг/куб.м)		Вклад %					
10	10	6001	9,67E-03		0,0048		19,20					
10	10	6004	2,48E-03		0,0012		4,92					
10	10	6006	9,56E-05		4,7775E-05		0,19					
4	2563,22	1961,23	2,00	0,05	0,0251	319	6,00	0,04	0,0190	0,04	0,0190	3
Площадка	Цех	Источник	Вклад (д. ПДК)		Вклад (мг/куб.м)		Вклад %					



№	Коорд X(м)	Коорд Y(м)	Высота (м)	Концентр (д. ПДК)	Концентр. (мг/куб.м)	Напр ветр	Скор ветр	Фон		Фон до исключения		Тип точки
								доли ПДК	мг/куб.м	доли ПДК	мг/куб.м	
1	2202,26	2656,25	2,00	0,02	0,0859	170	2,36	5,40E-04	0,0027	5,40E-04	0,0027	3
	Площадка	Цех		Источник	Вклад (д. ПДК)			Вклад (мг/куб.м)		Вклад %		
	10	10		6001	0,01			0,0634		73,85		
	10	10		6008	1,69E-03			0,0085		9,84		
	10	10		6004	1,49E-03			0,0074		8,66		
2	2506,70	2611,58	2,00	0,01	0,0694	221	4,40	5,40E-04	0,0027	5,40E-04	0,0027	3
	Площадка	Цех		Источник	Вклад (д. ПДК)			Вклад (мг/куб.м)		Вклад %		
	10	10		6001	0,01			0,0544		78,42		
	10	10		6004	1,89E-03			0,0094		13,60		
	10	10		6002	1,76E-04			0,0009		1,27		
3	2650,67	2282,66	2,00	0,01	0,0656	273	0,93	5,40E-04	0,0027	5,40E-04	0,0027	3
	Площадка	Цех		Источник	Вклад (д. ПДК)			Вклад (мг/куб.м)		Вклад %		
	10	10		6001	8,00E-03			0,0400		61,00		
	10	10		6004	1,51E-03			0,0076		11,54		
	10	10		6008	1,06E-03			0,0053		8,11		
4	2563,22	1961,23	2,00	0,01	0,0651	316	1,73	5,40E-04	0,0027	5,40E-04	0,0027	3
	Площадка	Цех		Источник	Вклад (д. ПДК)			Вклад (мг/куб.м)		Вклад %		
	10	10		6001	5,75E-03			0,0287		44,15		
	10	10		6008	3,69E-03			0,0185		28,36		
	10	10		6004	1,44E-03			0,0072		11,09		
5	2209,05	1871,57	2,00	0,01	0,0599	8	0,93	5,40E-04	0,0027	5,40E-04	0,0027	3
	Площадка	Цех		Источник	Вклад (д. ПДК)			Вклад (мг/куб.м)		Вклад %		
	10	10		6001	6,15E-03			0,0308		51,38		
	10	10		6008	2,30E-03			0,0115		19,22		
	10	10		6004	1,71E-03			0,0086		14,31		
7	1745,41	2294,48	2,00	0,01	0,0576	87	6,00	5,40E-04	0,0027	5,40E-04	0,0027	3
	Площадка	Цех		Источник	Вклад (д. ПДК)			Вклад (мг/куб.м)		Вклад %		
	10	10		6001	7,06E-03			0,0353		61,25		
	10	10		6002	2,05E-03			0,0102		17,75		
	10	10		6004	1,00E-03			0,0050		8,70		
8	1813,13	2550,14	2,00	0,01	0,0539	119	6,00	5,40E-04	0,0027	5,40E-04	0,0027	3
	Площадка	Цех		Источник	Вклад (д. ПДК)			Вклад (мг/куб.м)		Вклад %		
	10	10		6001	6,64E-03			0,0332		61,64		
	10	10		6002	1,29E-03			0,0065		11,98		
	10	10		6004	1,03E-03			0,0052		9,60		
6	1942,95	1952,32	2,00	0,01	0,0535	40	6,00	5,40E-04	0,0027	5,40E-04	0,0027	3
	Площадка	Цех		Источник	Вклад (д. ПДК)			Вклад (мг/куб.м)		Вклад %		
	10	10		6001	7,68E-03			0,0384		71,75		
	10	10		6004	2,09E-03			0,0104		19,50		
	10	10		6002	1,67E-04			0,0008		1,56		

**Вещество: 0410 Метан**

№	Коорд X(м)	Коорд Y(м)	Высота (м)	Концентр (д. ПДК)	Концентр. (мг/куб.м)	Напр ветр	Скор ветр	Фон		Фон до исключения		Тип точки
								доли ПДК	мг/куб.м	доли ПДК	мг/куб.м	
1	2202,26	2656,25	2,00	2,77E-06	0,0001	181	6,00	-	-	-	-	3
	Площадка	Цех		Источник	Вклад (д. ПДК)			Вклад (мг/куб.м)		Вклад %		
	10	10		6009	2,77E-06			0,0001		100,00		
2	2506,70	2611,58	2,00	1,80E-06	8,9853E-05	228	6,00	-	-	-	-	3
	Площадка	Цех		Источник	Вклад (д. ПДК)			Вклад (мг/куб.м)		Вклад %		



6	1942,95	1952,32	2,00	1,54E-03	0,0005	25	6,00	-	-	-	-	3
Площадка		Цех	Источник		Вклад (д. ПДК)		Вклад (мг/куб.м)		Вклад %			
10		10	6002		1,54E-03		0,0005		100,00			
2	2506,70	2611,58	2,00	1,53E-03	0,0005	234	6,00	-	-	-	-	3
Площадка		Цех	Источник		Вклад (д. ПДК)		Вклад (мг/куб.м)		Вклад %			
10		10	6002		1,53E-03		0,0005		100,00			
3	2650,67	2282,66	2,00	1,32E-03	0,0004	276	6,00	-	-	-	-	3
Площадка		Цех	Источник		Вклад (д. ПДК)		Вклад (мг/куб.м)		Вклад %			
10		10	6002		1,32E-03		0,0004		100,00			
5	2209,05	1871,57	2,00	1,29E-03	0,0004	350	6,00	-	-	-	-	3
Площадка		Цех	Источник		Вклад (д. ПДК)		Вклад (мг/куб.м)		Вклад %			
10		10	6002		1,29E-03		0,0004		100,00			
4	2563,22	1961,23	2,00	1,11E-03	0,0003	310	6,00	-	-	-	-	3
Площадка		Цех	Источник		Вклад (д. ПДК)		Вклад (мг/куб.м)		Вклад %			
10		10	6002		1,11E-03		0,0003		100,00			

**Вещество: 0616 Диметилбензол (Ксилол) (смесь изомеров о-, м-, п-)**

№	Коорд X(м)	Коорд Y(м)	Высота (м)	Концентр (д. ПДК)	Концентр. (мг/куб.м)	Напр ветр а	Скор ветр а	Фон		Фон до исключения		Тип точки
								доли ПДК	мг/куб.м	доли ПДК	мг/куб.м	
7	1745,41	2294,48	2,00	6,64E-04	0,0001	84	6,00	-	-	-	-	3
Площадка		Цех	Источник		Вклад (д. ПДК)		Вклад (мг/куб.м)		Вклад %			
10		10	6002		6,64E-04		0,0001		100,00			
8	1813,13	2550,14	2,00	6,07E-04	0,0001	126	6,00	-	-	-	-	3
Площадка		Цех	Источник		Вклад (д. ПДК)		Вклад (мг/куб.м)		Вклад %			
10		10	6002		6,07E-04		0,0001		100,00			
1	2202,26	2656,25	2,00	5,36E-04	0,0001	194	6,00	-	-	-	-	3
Площадка		Цех	Источник		Вклад (д. ПДК)		Вклад (мг/куб.м)		Вклад %			
10		10	6002		5,36E-04		0,0001		100,00			
6	1942,95	1952,32	2,00	4,35E-04	8,7079E-05	25	6,00	-	-	-	-	3
Площадка		Цех	Источник		Вклад (д. ПДК)		Вклад (мг/куб.м)		Вклад %			
10		10	6002		4,35E-04		8,7079E-05		100,00			
2	2506,70	2611,58	2,00	4,35E-04	8,6979E-05	234	6,00	-	-	-	-	3
Площадка		Цех	Источник		Вклад (д. ПДК)		Вклад (мг/куб.м)		Вклад %			
10		10	6002		4,35E-04		8,6979E-05		100,00			
3	2650,67	2282,66	2,00	3,73E-04	7,4549E-05	276	6,00	-	-	-	-	3
Площадка		Цех	Источник		Вклад (д. ПДК)		Вклад (мг/куб.м)		Вклад %			
10		10	6002		3,73E-04		7,4549E-05		100,00			
5	2209,05	1871,57	2,00	3,64E-04	7,2851E-05	350	6,00	-	-	-	-	3
Площадка		Цех	Источник		Вклад (д. ПДК)		Вклад (мг/куб.м)		Вклад %			
10		10	6002		3,64E-04		7,2851E-05		100,00			
4	2563,22	1961,23	2,00	3,15E-04	6,3047E-05	310	6,00	-	-	-	-	3
Площадка		Цех	Источник		Вклад (д. ПДК)		Вклад (мг/куб.м)		Вклад %			
10		10	6002		3,15E-04		6,3047E-05		100,00			

**Вещество: 0621 Метилбензол (Толуол)**

№	Коорд X(м)	Коорд Y(м)	Высота (м)	Концентр (д. ПДК)	Концентр. (мг/куб.м)	Напр ветр а	Скор ветр а	Фон		Фон до исключения		Тип точки
								доли ПДК	мг/куб.м	доли ПДК	мг/куб.м	
7	1745,41	2294,48	2,00	1,17E-05	7,0135E-06	84	6,00	-	-	-	-	3
Площадка		Цех	Источник		Вклад (д. ПДК)		Вклад (мг/куб.м)		Вклад %			
10		10	6002		1,17E-05		7,0135E-06		100,00			

8	1813,13	2550,14	2,00	1,07E-05	6,4132E-06	126	6,00	-	-	-	-	3
Площадка		Цех	Источник	Вклад (д. ПДК)		Вклад (мг/куб.м)		Вклад %				
10		10	6002	1,07E-05		6,4132E-06		100,00				
1	2202,26	2656,25	2,00	9,44E-06	5,6632E-06	194	6,00	-	-	-	-	3
Площадка		Цех	Источник	Вклад (д. ПДК)		Вклад (мг/куб.м)		Вклад %				
10		10	6002	9,44E-06		5,6632E-06		100,00				
6	1942,95	1952,32	2,00	7,67E-06	4,6023E-06	25	6,00	-	-	-	-	3
Площадка		Цех	Источник	Вклад (д. ПДК)		Вклад (мг/куб.м)		Вклад %				
10		10	6002	7,67E-06		4,6023E-06		100,00				
2	2506,70	2611,58	2,00	7,66E-06	4,5970E-06	234	6,00	-	-	-	-	3
Площадка		Цех	Источник	Вклад (д. ПДК)		Вклад (мг/куб.м)		Вклад %				
10		10	6002	7,66E-06		4,5970E-06		100,00				
3	2650,67	2282,66	2,00	6,57E-06	3,9401E-06	276	6,00	-	-	-	-	3
Площадка		Цех	Источник	Вклад (д. ПДК)		Вклад (мг/куб.м)		Вклад %				
10		10	6002	6,57E-06		3,9401E-06		100,00				
5	2209,05	1871,57	2,00	6,42E-06	3,8503E-06	350	6,00	-	-	-	-	3
Площадка		Цех	Источник	Вклад (д. ПДК)		Вклад (мг/куб.м)		Вклад %				
10		10	6002	6,42E-06		3,8503E-06		100,00				
4	2563,22	1961,23	2,00	5,55E-06	3,3322E-06	310	6,00	-	-	-	-	3
Площадка		Цех	Источник	Вклад (д. ПДК)		Вклад (мг/куб.м)		Вклад %				
10		10	6002	5,55E-06		3,3322E-06		100,00				

**Вещество: 0627 Этилбензол**

№	Коорд X(м)	Коорд Y(м)	Высота (м)	Концентр (д. ПДК)	Концентр. (мг/куб.м)	Напр ветр а	Скор ветр а	Фон		Фон до исключения		Тип точки
								доли ПДК	мг/куб.м	доли ПДК	мг/куб.м	
7	1745,41	2294,48	2,00	3,51E-04	7,0135E-06	84	6,00	-	-	-	-	3
Площадка		Цех	Источник	Вклад (д. ПДК)		Вклад (мг/куб.м)		Вклад %				
10		10	6002	3,51E-04		7,0135E-06		100,00				
8	1813,13	2550,14	2,00	3,21E-04	6,4132E-06	126	6,00	-	-	-	-	3
Площадка		Цех	Источник	Вклад (д. ПДК)		Вклад (мг/куб.м)		Вклад %				
10		10	6002	3,21E-04		6,4132E-06		100,00				
1	2202,26	2656,25	2,00	2,83E-04	5,6632E-06	194	6,00	-	-	-	-	3
Площадка		Цех	Источник	Вклад (д. ПДК)		Вклад (мг/куб.м)		Вклад %				
10		10	6002	2,83E-04		5,6632E-06		100,00				
6	1942,95	1952,32	2,00	2,30E-04	4,6023E-06	25	6,00	-	-	-	-	3
Площадка		Цех	Источник	Вклад (д. ПДК)		Вклад (мг/куб.м)		Вклад %				
10		10	6002	2,30E-04		4,6023E-06		100,00				
2	2506,70	2611,58	2,00	2,30E-04	4,5970E-06	234	6,00	-	-	-	-	3
Площадка		Цех	Источник	Вклад (д. ПДК)		Вклад (мг/куб.м)		Вклад %				
10		10	6002	2,30E-04		4,5970E-06		100,00				
3	2650,67	2282,66	2,00	1,97E-04	3,9401E-06	276	6,00	-	-	-	-	3
Площадка		Цех	Источник	Вклад (д. ПДК)		Вклад (мг/куб.м)		Вклад %				
10		10	6002	1,97E-04		3,9401E-06		100,00				
5	2209,05	1871,57	2,00	1,93E-04	3,8503E-06	350	6,00	-	-	-	-	3
Площадка		Цех	Источник	Вклад (д. ПДК)		Вклад (мг/куб.м)		Вклад %				
10		10	6002	1,93E-04		3,8503E-06		100,00				
4	2563,22	1961,23	2,00	1,67E-04	3,3322E-06	310	6,00	-	-	-	-	3
Площадка		Цех	Источник	Вклад (д. ПДК)		Вклад (мг/куб.м)		Вклад %				
10		10	6002	1,67E-04		3,3322E-06		100,00				

**Вещество: 1051 Пропан-2-ол (Изопропиловый спирт)**

№	Коорд Х(м)	Коорд Y(м)	Высота (м)	Концентр (д. ПДК)	Концентр. (мг/куб.м)	Напр ветр	Скор ветр	Фон		Фон до исключения		Тип точки
								доли ПДК	мг/куб.м	доли ПДК	мг/куб.м	
3	2650,67	2282,66	2,00	2,79E-05	1,6740E-05	263	6,00	-	-	-	-	3
Площадка		Цех	Источник		Вклад (д. ПДК)		Вклад (мг/куб.м)		Вклад %			
10		10	6010		2,79E-05		1,6740E-05		100,00			
5	2209,05	1871,57	2,00	2,64E-05	1,5865E-05	12	6,00	-	-	-	-	3
Площадка		Цех	Источник		Вклад (д. ПДК)		Вклад (мг/куб.м)		Вклад %			
10		10	6010		2,64E-05		1,5865E-05		100,00			
4	2563,22	1961,23	2,00	2,48E-05	1,4901E-05	315	6,00	-	-	-	-	3
Площадка		Цех	Источник		Вклад (д. ПДК)		Вклад (мг/куб.м)		Вклад %			
10		10	6010		2,48E-05		1,4901E-05		100,00			
1	2202,26	2656,25	2,00	2,11E-05	1,2642E-05	168	6,00	-	-	-	-	3
Площадка		Цех	Источник		Вклад (д. ПДК)		Вклад (мг/куб.м)		Вклад %			
10		10	6010		2,11E-05		1,2642E-05		100,00			
2	2506,70	2611,58	2,00	2,07E-05	1,2418E-05	210	6,00	-	-	-	-	3
Площадка		Цех	Источник		Вклад (д. ПДК)		Вклад (мг/куб.м)		Вклад %			
10		10	6010		2,07E-05		1,2418E-05		100,00			
6	1942,95	1952,32	2,00	1,93E-05	1,1563E-05	51	6,00	-	-	-	-	3
Площадка		Цех	Источник		Вклад (д. ПДК)		Вклад (мг/куб.м)		Вклад %			
10		10	6010		1,93E-05		1,1563E-05		100,00			
7	1745,41	2294,48	2,00	1,33E-05	7,9892E-06	96	6,00	-	-	-	-	3
Площадка		Цех	Источник		Вклад (д. ПДК)		Вклад (мг/куб.м)		Вклад %			
10		10	6010		1,33E-05		7,9892E-06		100,00			
8	1813,13	2550,14	2,00	1,23E-05	7,3925E-06	123	6,00	-	-	-	-	3
Площадка		Цех	Источник		Вклад (д. ПДК)		Вклад (мг/куб.м)		Вклад %			
10		10	6010		1,23E-05		7,3925E-06		100,00			

**Вещество: 1071 Гидроксibenзол (Фенол)**

№	Коорд Х(м)	Коорд Y(м)	Высота (м)	Концентр (д. ПДК)	Концентр. (мг/куб.м)	Напр ветр	Скор ветр	Фон		Фон до исключения		Тип точки
								доли ПДК	мг/куб.м	доли ПДК	мг/куб.м	
7	1745,41	2294,48	2,00	1,88E-03	1,8806E-05	84	6,00	-	-	-	-	3
Площадка		Цех	Источник		Вклад (д. ПДК)		Вклад (мг/куб.м)		Вклад %			
10		10	6002		1,87E-03		1,8749E-05		99,70			
10		10	6009		5,68E-06		5,6791E-08		0,30			
8	1813,13	2550,14	2,00	1,72E-03	1,7180E-05	126	6,00	-	-	-	-	3
Площадка		Цех	Источник		Вклад (д. ПДК)		Вклад (мг/куб.м)		Вклад %			
10		10	6002		1,71E-03		1,7144E-05		99,79			
10		10	6009		3,63E-06		3,6275E-08		0,21			
1	2202,26	2656,25	2,00	1,51E-03	1,5147E-05	194	6,00	-	-	-	-	3
Площадка		Цех	Источник		Вклад (д. ПДК)		Вклад (мг/куб.м)		Вклад %			
10		10	6002		1,51E-03		1,5139E-05		99,95			
2	2506,70	2611,58	2,00	1,23E-03	1,2325E-05	234	6,00	-	-	-	-	3
Площадка		Цех	Источник		Вклад (д. ПДК)		Вклад (мг/куб.м)		Вклад %			
10		10	6002		1,23E-03		1,2289E-05		99,71			
10		10	6009		3,63E-06		3,6331E-08		0,29			
6	1942,95	1952,32	2,00	1,23E-03	1,2320E-05	25	6,00	-	-	-	-	3
Площадка		Цех	Источник		Вклад (д. ПДК)		Вклад (мг/куб.м)		Вклад %			
10		10	6002		1,23E-03		1,2303E-05		99,86			
10		10	6009		1,71E-06		1,7139E-08		0,14			
3	2650,67	2282,66	2,00	1,06E-03	1,0591E-05	276	6,00	-	-	-	-	3
Площадка		Цех	Источник		Вклад (д. ПДК)		Вклад (мг/куб.м)		Вклад %			

	10		10	6002		1,05E-03		1,0533E-05		99,45	
	10		10	6009		5,85E-06		5,8502E-08		0,55	
5	2209,05	1871,57	2,00	1,03E-03	1,0313E-05	350	6,00	-	-	-	3
	Площадка	Цех		Источник		Вклад (д. ПДК)		Вклад (мг/куб.м)		Вклад %	
	10		10	6002		1,03E-03		1,0293E-05		99,81	
	10		10	6009		1,98E-06		1,9758E-08		0,19	
4	2563,22	1961,23	2,00	8,94E-04	8,9393E-06	310	6,00	-	-	-	3
	Площадка	Цех		Источник		Вклад (д. ПДК)		Вклад (мг/куб.м)		Вклад %	
	10		10	6002		8,91E-04		8,9077E-06		99,65	
	10		10	6009		3,15E-06		3,1547E-08		0,35	

**Вещество: 1325 Формальдегид**

№	Коорд Х(м)	Коорд Y(м)	Высота (м)	Концентр (д. ПДК)	Концентр. (мг/куб.м)	Напр ветр	Скор ветр	Фон		Фон до исключения		Тип точки
								доли ПДК	мг/куб.м	доли ПДК	мг/куб.м	
7	1745,41	2294,48	2,00	0,44	0,0220	84	6,00	0,44	0,0220	0,44	0,0220	3
	Площадка	Цех		Источник		Вклад (д. ПДК)		Вклад (мг/куб.м)		Вклад %		
	10		10	6002		4,53E-04		2,2638E-05		0,10		
	10		10	6009		1,14E-06		5,6791E-08		0,00		
8	1813,13	2550,14	2,00	0,44	0,0220	126	6,00	0,44	0,0220	0,44	0,0220	3
	Площадка	Цех		Источник		Вклад (д. ПДК)		Вклад (мг/куб.м)		Вклад %		
	10		10	6002		4,14E-04		2,0700E-05		0,09		
1	2202,26	2656,25	2,00	0,44	0,0220	194	6,00	0,44	0,0220	0,44	0,0220	3
	Площадка	Цех		Источник		Вклад (д. ПДК)		Вклад (мг/куб.м)		Вклад %		
	10		10	6002		3,66E-04		1,8279E-05		0,08		
2	2506,70	2611,58	2,00	0,44	0,0220	234	6,00	0,44	0,0220	0,44	0,0220	3
	Площадка	Цех		Источник		Вклад (д. ПДК)		Вклад (мг/куб.м)		Вклад %		
	10		10	6002		2,97E-04		1,4838E-05		0,07		
6	1942,95	1952,32	2,00	0,44	0,0220	25	6,00	0,44	0,0220	0,44	0,0220	3
	Площадка	Цех		Источник		Вклад (д. ПДК)		Вклад (мг/куб.м)		Вклад %		
	10		10	6002		2,97E-04		1,4855E-05		0,07		
3	2650,67	2282,66	2,00	0,44	0,0220	276	6,00	0,44	0,0220	0,44	0,0220	3
	Площадка	Цех		Источник		Вклад (д. ПДК)		Вклад (мг/куб.м)		Вклад %		
	10		10	6002		2,54E-04		1,2717E-05		0,06		
	10		10	6009		1,17E-06		5,8502E-08		0,00		
5	2209,05	1871,57	2,00	0,44	0,0220	350	6,00	0,44	0,0220	0,44	0,0220	3
	Площадка	Цех		Источник		Вклад (д. ПДК)		Вклад (мг/куб.м)		Вклад %		
	10		10	6002		2,49E-04		1,2428E-05		0,06		
4	2563,22	1961,23	2,00	0,44	0,0220	310	6,00	0,44	0,0220	0,44	0,0220	3
	Площадка	Цех		Источник		Вклад (д. ПДК)		Вклад (мг/куб.м)		Вклад %		
	10		10	6002		2,15E-04		1,0755E-05		0,05		

**Вещество: 1328 Пентандиаль (Глутаральдегид; Глутаровый альдегид)**

№	Коорд Х(м)	Коорд Y(м)	Высота (м)	Концентр (д. ПДК)	Концентр. (мг/куб.м)	Напр ветр	Скор ветр	Фон		Фон до исключения		Тип точки
								доли ПДК	мг/куб.м	доли ПДК	мг/куб.м	
3	2650,67	2282,66	2,00	2,53E-04	7,5854E-06	263	6,00	-	-	-	-	3
	Площадка	Цех		Источник		Вклад (д. ПДК)		Вклад (мг/куб.м)		Вклад %		
	10		10	6010		2,53E-04		7,5854E-06		100,00		
5	2209,05	1871,57	2,00	2,40E-04	7,1890E-06	12	6,00	-	-	-	-	3
	Площадка	Цех		Источник		Вклад (д. ПДК)		Вклад (мг/куб.м)		Вклад %		
	10		10	6010		2,40E-04		7,1890E-06		100,00		

4	2563,22	1961,23	2,00	2,25E-04	6,7522E-06	315	6,00	-	-	-	-	3
Площадка		Цех	Источник	Вклад (д. ПДК)		Вклад (мг/куб.м)		Вклад %				
10		10	6010	2,25E-04		6,7522E-06		100,00				
1	2202,26	2656,25	2,00	1,91E-04	5,7282E-06	168	6,00	-	-	-	-	3
Площадка		Цех	Источник	Вклад (д. ПДК)		Вклад (мг/куб.м)		Вклад %				
10		10	6010	1,91E-04		5,7282E-06		100,00				
2	2506,70	2611,58	2,00	1,88E-04	5,6271E-06	210	6,00	-	-	-	-	3
Площадка		Цех	Источник	Вклад (д. ПДК)		Вклад (мг/куб.м)		Вклад %				
10		10	6010	1,88E-04		5,6271E-06		100,00				
6	1942,95	1952,32	2,00	1,75E-04	5,2395E-06	51	6,00	-	-	-	-	3
Площадка		Цех	Источник	Вклад (д. ПДК)		Вклад (мг/куб.м)		Вклад %				
10		10	6010	1,75E-04		5,2395E-06		100,00				
7	1745,41	2294,48	2,00	1,21E-04	3,6201E-06	96	6,00	-	-	-	-	3
Площадка		Цех	Источник	Вклад (д. ПДК)		Вклад (мг/куб.м)		Вклад %				
10		10	6010	1,21E-04		3,6201E-06		100,00				
8	1813,13	2550,14	2,00	1,12E-04	3,3497E-06	123	6,00	-	-	-	-	3
Площадка		Цех	Источник	Вклад (д. ПДК)		Вклад (мг/куб.м)		Вклад %				
10		10	6010	1,12E-04		3,3497E-06		100,00				

**Вещество: 1401 Пропан-2-он (Ацетон)**

№	Коорд Х(м)	Коорд Y(м)	Высота (м)	Концентр (д. ПДК)	Концентр. (мг/куб.м)	Напр ветр	Скор ветр	Фон		Фон до исключения		Тип точки
								доли ПДК	мг/куб.м	доли ПДК	мг/куб.м	
7	1745,41	2294,48	2,00	2,00E-05	7,0135E-06	84	6,00	-	-	-	-	3
Площадка		Цех	Источник	Вклад (д. ПДК)		Вклад (мг/куб.м)		Вклад %				
10		10	6002	2,00E-05		7,0135E-06		100,00				
8	1813,13	2550,14	2,00	1,83E-05	6,4132E-06	126	6,00	-	-	-	-	3
Площадка		Цех	Источник	Вклад (д. ПДК)		Вклад (мг/куб.м)		Вклад %				
10		10	6002	1,83E-05		6,4132E-06		100,00				
1	2202,26	2656,25	2,00	1,62E-05	5,6632E-06	194	6,00	-	-	-	-	3
Площадка		Цех	Источник	Вклад (д. ПДК)		Вклад (мг/куб.м)		Вклад %				
10		10	6002	1,62E-05		5,6632E-06		100,00				
6	1942,95	1952,32	2,00	1,31E-05	4,6023E-06	25	6,00	-	-	-	-	3
Площадка		Цех	Источник	Вклад (д. ПДК)		Вклад (мг/куб.м)		Вклад %				
10		10	6002	1,31E-05		4,6023E-06		100,00				
2	2506,70	2611,58	2,00	1,31E-05	4,5970E-06	234	6,00	-	-	-	-	3
Площадка		Цех	Источник	Вклад (д. ПДК)		Вклад (мг/куб.м)		Вклад %				
10		10	6002	1,31E-05		4,5970E-06		100,00				
3	2650,67	2282,66	2,00	1,13E-05	3,9401E-06	276	6,00	-	-	-	-	3
Площадка		Цех	Источник	Вклад (д. ПДК)		Вклад (мг/куб.м)		Вклад %				
10		10	6002	1,13E-05		3,9401E-06		100,00				
5	2209,05	1871,57	2,00	1,10E-05	3,8503E-06	350	6,00	-	-	-	-	3
Площадка		Цех	Источник	Вклад (д. ПДК)		Вклад (мг/куб.м)		Вклад %				
10		10	6002	1,10E-05		3,8503E-06		100,00				
4	2563,22	1961,23	2,00	9,52E-06	3,3322E-06	310	6,00	-	-	-	-	3
Площадка		Цех	Источник	Вклад (д. ПДК)		Вклад (мг/куб.м)		Вклад %				
10		10	6002	9,52E-06		3,3322E-06		100,00				

**Вещество: 1716 Смесь природных меркаптанов /в пересчете на этилмеркаптан/ (Одор**

№	Коорд Х(м)	Коорд Y(м)	Высота (м)	Концентр (д. ПДК)	Концентр. (мг/куб.м)	Напр ветр	Скор ветр	Фон		Фон до исключения		Тип точки
								доли ПДК	мг/куб.м	доли ПДК	мг/куб.м	

7	1745,41	2294,48	2,00	0,14	7,0175E-06	84	6,00	-	-	-	-	3
Площадка	Цех	Источник	Вклад (д. ПДК)		Вклад (мг/куб.м)		Вклад %					
10	10	6002	0,14		7,0135E-06		99,94					
10	10	6009	7,95E-05		3,9754E-09		0,06					
8	1813,13	2550,14	2,00	0,13	6,4157E-06	126	6,00	-	-	-	-	3
Площадка	Цех	Источник	Вклад (д. ПДК)		Вклад (мг/куб.м)		Вклад %					
10	10	6002	0,13		6,4132E-06		99,96					
10	10	6009	5,08E-05		2,5393E-09		0,04					
1	2202,26	2656,25	2,00	0,11	5,6638E-06	194	6,00	-	-	-	-	3
Площадка	Цех	Источник	Вклад (д. ПДК)		Вклад (мг/куб.м)		Вклад %					
10	10	6002	0,11		5,6632E-06		99,99					
10	10	6009	1,04E-05		5,2008E-10		0,01					
6	1942,95	1952,32	2,00	0,09	4,6035E-06	25	6,00	-	-	-	-	3
Площадка	Цех	Источник	Вклад (д. ПДК)		Вклад (мг/куб.м)		Вклад %					
10	10	6002	0,09		4,6023E-06		99,97					
10	10	6009	2,40E-05		1,1997E-09		0,03					
2	2506,70	2611,58	2,00	0,09	4,5995E-06	234	6,00	-	-	-	-	3
Площадка	Цех	Источник	Вклад (д. ПДК)		Вклад (мг/куб.м)		Вклад %					
10	10	6002	0,09		4,5970E-06		99,94					
10	10	6009	5,09E-05		2,5432E-09		0,06					
3	2650,67	2282,66	2,00	0,08	3,9441E-06	276	6,00	-	-	-	-	3
Площадка	Цех	Источник	Вклад (д. ПДК)		Вклад (мг/куб.м)		Вклад %					
10	10	6002	0,08		3,9401E-06		99,90					
10	10	6009	8,19E-05		4,0952E-09		0,10					
5	2209,05	1871,57	2,00	0,08	3,8517E-06	350	6,00	-	-	-	-	3
Площадка	Цех	Источник	Вклад (д. ПДК)		Вклад (мг/куб.м)		Вклад %					
10	10	6002	0,08		3,8503E-06		99,96					
10	10	6009	2,77E-05		1,3830E-09		0,04					
4	2563,22	1961,23	2,00	0,07	3,3344E-06	310	6,00	-	-	-	-	3
Площадка	Цех	Источник	Вклад (д. ПДК)		Вклад (мг/куб.м)		Вклад %					
10	10	6002	0,07		3,3322E-06		99,93					
10	10	6009	4,42E-05		2,2083E-09		0,07					

**Вещество: 2732 Керосин**

№	Коорд X(м)	Коорд Y(м)	Высота (м)	Концентр (д. ПДК)	Концентр. (мг/куб.м)	Напр ветр	Скор ветр	Фон		Фон до исключения		Тип точки
								доли ПДК	мг/куб.м	доли ПДК	мг/куб.м	
1	2202,26	2656,25	2,00	0,02	0,0223	170	3,22	-	-	-	-	3
Площадка	Цех	Источник	Вклад (д. ПДК)		Вклад (мг/куб.м)		Вклад %					
10	10	6001	0,01		0,0178		80,08					
10	10	6008	1,75E-03		0,0021		9,42					
10	10	6004	1,51E-03		0,0018		8,14					
2	2506,70	2611,58	2,00	0,02	0,0180	221	4,40	-	-	-	-	3
Площадка	Цех	Источник	Вклад (д. ПДК)		Вклад (мг/куб.м)		Вклад %					
10	10	6001	0,01		0,0151		83,94					
10	10	6004	2,13E-03		0,0026		14,18					
10	10	6003	9,96E-05		0,0001		0,66					
4	2563,22	1961,23	2,00	0,01	0,0154	317	3,22	-	-	-	-	3
Площадка	Цех	Источник	Вклад (д. ПДК)		Вклад (мг/куб.м)		Вклад %					
10	10	6001	7,33E-03		0,0088		57,08					
10	10	6008	3,47E-03		0,0042		27,06					
10	10	6004	1,51E-03		0,0018		11,77					

3	2650,67	2282,66	2,00	0,01	0,0154	276	3,22	-	-	-	-	3
Площадка	Цех	Источник	Вклад (д. ПДК)		Вклад (мг/куб.м)		Вклад %					
10	10	6001	0,01		0,0134		87,18					
10	10	6004	1,16E-03		0,0014		9,08					
10	10	6003	2,16E-04		0,0003		1,68					
5	2209,05	1871,57	2,00	0,01	0,0143	9	0,93	-	-	-	-	3
Площадка	Цех	Источник	Вклад (д. ПДК)		Вклад (мг/куб.м)		Вклад %					
10	10	6001	7,04E-03		0,0084		58,85					
10	10	6008	2,51E-03		0,0030		21,01					
10	10	6004	1,86E-03		0,0022		15,57					
6	1942,95	1952,32	2,00	0,01	0,0137	40	6,00	-	-	-	-	3
Площадка	Цех	Источник	Вклад (д. ПДК)		Вклад (мг/куб.м)		Вклад %					
10	10	6001	8,89E-03		0,0107		77,97					
10	10	6004	2,35E-03		0,0028		20,64					
10	10	6006	7,82E-05		9,3846E-05		0,69					
8	1813,13	2550,14	2,00	0,01	0,0122	118	6,00	-	-	-	-	3
Площадка	Цех	Источник	Вклад (д. ПДК)		Вклад (мг/куб.м)		Вклад %					
10	10	6001	8,28E-03		0,0099		81,31					
10	10	6004	9,59E-04		0,0012		9,42					
10	10	6008	6,86E-04		0,0008		6,75					
7	1745,41	2294,48	2,00	9,95E-03	0,0119	87	6,00	-	-	-	-	3
Площадка	Цех	Источник	Вклад (д. ПДК)		Вклад (мг/куб.м)		Вклад %					
10	10	6001	8,17E-03		0,0098		82,09					
10	10	6004	1,13E-03		0,0014		11,35					
10	10	6003	3,35E-04		0,0004		3,37					

**Вещество: 2754 Углеводороды предельные C12-C19**

№	Коорд X(м)	Коорд Y(м)	Высота (м)	Концентр (д. ПДК)	Концентр. (мг/куб.м)	Напр ветр	Скор ветр	Фон		Фон до исключения		Тип точки
								доли ПДК	мг/куб.м	доли ПДК	мг/куб.м	
7	1745,41	2294,48	2,00	7,02E-03	0,0070	84	6,00	-	-	-	-	3
Площадка	Цех	Источник	Вклад (д. ПДК)		Вклад (мг/куб.м)		Вклад %					
10	10	6002	7,02E-03		0,0070		100,00					
8	1813,13	2550,14	2,00	6,42E-03	0,0064	126	6,00	-	-	-	-	3
Площадка	Цех	Источник	Вклад (д. ПДК)		Вклад (мг/куб.м)		Вклад %					
10	10	6002	6,42E-03		0,0064		100,00					
1	2202,26	2656,25	2,00	5,67E-03	0,0057	194	6,00	-	-	-	-	3
Площадка	Цех	Источник	Вклад (д. ПДК)		Вклад (мг/куб.м)		Вклад %					
10	10	6002	5,67E-03		0,0057		100,00					
6	1942,95	1952,32	2,00	4,61E-03	0,0046	25	6,00	-	-	-	-	3
Площадка	Цех	Источник	Вклад (д. ПДК)		Вклад (мг/куб.м)		Вклад %					
10	10	6002	4,61E-03		0,0046		100,00					
2	2506,70	2611,58	2,00	4,60E-03	0,0046	234	6,00	-	-	-	-	3
Площадка	Цех	Источник	Вклад (д. ПДК)		Вклад (мг/куб.м)		Вклад %					
10	10	6002	4,60E-03		0,0046		100,00					
3	2650,67	2282,66	2,00	3,95E-03	0,0039	276	6,00	-	-	-	-	3
Площадка	Цех	Источник	Вклад (д. ПДК)		Вклад (мг/куб.м)		Вклад %					
10	10	6002	3,95E-03		0,0039		100,00					
5	2209,05	1871,57	2,00	3,86E-03	0,0039	350	6,00	-	-	-	-	3
Площадка	Цех	Источник	Вклад (д. ПДК)		Вклад (мг/куб.м)		Вклад %					
10	10	6002	3,86E-03		0,0039		100,00					
4	2563,22	1961,23	2,00	3,34E-03	0,0033	310	6,00	-	-	-	-	3

Площадка	Цех	Источник	Вклад (д. ПДК)	Вклад (мг/куб.м)	Вклад %
10	10	6002	3,34E-03	0,0033	100,00

### Вещество: 2902 Взвешенные вещества

№	Коорд Х(м)	Коорд Y(м)	Высота (м)	Концентр (д. ПДК)	Концентр. (мг/куб.м)	Напр ветр а	Скор ветр а	Фон		Фон до исключения		Тип точки
								доли ПДК	мг/куб.м	доли ПДК	мг/куб.м	
7	1745,41	2294,48	2,00	8,06E-04	0,0004	84	6,00	-	-	-	-	3
Площадка		Цех	Источник	Вклад (д. ПДК)		Вклад (мг/куб.м)		Вклад %				
10		10	6002	8,06E-04		0,0004		100,00				
8	1813,13	2550,14	2,00	7,40E-04	0,0004	126	6,00	-	-	-	-	3
Площадка		Цех	Источник	Вклад (д. ПДК)		Вклад (мг/куб.м)		Вклад %				
10		10	6002	7,40E-04		0,0004		100,00				
1	2202,26	2656,25	2,00	7,16E-04	0,0004	193	6,00	-	-	-	-	3
Площадка		Цех	Источник	Вклад (д. ПДК)		Вклад (мг/куб.м)		Вклад %				
10		10	6002	7,16E-04		0,0004		100,00				
6	1942,95	1952,32	2,00	4,95E-04	0,0002	25	6,00	-	-	-	-	3
Площадка		Цех	Источник	Вклад (д. ПДК)		Вклад (мг/куб.м)		Вклад %				
10		10	6002	4,95E-04		0,0002		100,00				
2	2506,70	2611,58	2,00	4,76E-04	0,0002	234	6,00	-	-	-	-	3
Площадка		Цех	Источник	Вклад (д. ПДК)		Вклад (мг/куб.м)		Вклад %				
10		10	6002	4,76E-04		0,0002		100,00				
5	2209,05	1871,57	2,00	3,99E-04	0,0002	350	6,00	-	-	-	-	3
Площадка		Цех	Источник	Вклад (д. ПДК)		Вклад (мг/куб.м)		Вклад %				
10		10	6002	3,99E-04		0,0002		100,00				
3	2650,67	2282,66	2,00	3,98E-04	0,0002	276	6,00	-	-	-	-	3
Площадка		Цех	Источник	Вклад (д. ПДК)		Вклад (мг/куб.м)		Вклад %				
10		10	6002	3,98E-04		0,0002		100,00				
4	2563,22	1961,23	2,00	3,34E-04	0,0002	310	6,00	-	-	-	-	3
Площадка		Цех	Источник	Вклад (д. ПДК)		Вклад (мг/куб.м)		Вклад %				
10		10	6002	3,34E-04		0,0002		100,00				

### Вещество: 6003 Аммиак, сероводород

№	Коорд Х(м)	Коорд Y(м)	Высота (м)	Концентр (д. ПДК)	Концентр. (мг/куб.м)	Напр ветр а	Скор ветр а	Фон		Фон до исключения		Тип точки
								доли ПДК	мг/куб.м	доли ПДК	мг/куб.м	
7	1745,41	2294,48	2,00	2,06E-03	-	84	6,00	-	-	-	-	3
Площадка		Цех	Источник	Вклад (д. ПДК)		Вклад (мг/куб.м)		Вклад %				
10		10	6002	1,93E-03		0,0000		93,68				
10		10	6009	1,30E-04		0,0000		6,32				
8	1813,13	2550,14	2,00	1,86E-03	-	125	6,00	-	-	-	-	3
Площадка		Цех	Источник	Вклад (д. ПДК)		Вклад (мг/куб.м)		Вклад %				
10		10	6002	1,76E-03		0,0000		94,73				
10		10	6009	9,81E-05		0,0000		5,27				
1	2202,26	2656,25	2,00	1,56E-03	-	192	0,93	-	-	-	-	3
Площадка		Цех	Источник	Вклад (д. ПДК)		Вклад (мг/куб.м)		Вклад %				
10		10	6002	1,45E-03		0,0000		92,58				
10		10	6009	1,16E-04		0,0000		7,42				
2	2506,70	2611,58	2,00	1,36E-03	-	233	6,00	-	-	-	-	3
Площадка		Цех	Источник	Вклад (д. ПДК)		Вклад (мг/куб.м)		Вклад %				
10		10	6002	1,26E-03		0,0000		92,63				
10		10	6009	9,98E-05		0,0000		7,37				

6	1942,95	1952,32	2,00	1,31E-03	-	25	6,00	-	-	-	-	3
Площадка	Цех	Источник	Вклад (д. ПДК)		Вклад (мг/куб.м)		Вклад %					
10	10	6002	1,27E-03		0,0000		96,99					
10	10	6009	3,93E-05		0,0000		3,01					
3	2650,67	2282,66	2,00	1,22E-03	-	276	6,00	-	-	-	-	3
Площадка	Цех	Источник	Вклад (д. ПДК)		Вклад (мг/куб.м)		Вклад %					
10	10	6002	1,08E-03		0,0000		88,98					
10	10	6009	1,34E-04		0,0000		11,02					
5	2209,05	1871,57	2,00	1,11E-03	-	350	6,00	-	-	-	-	3
Площадка	Цех	Источник	Вклад (д. ПДК)		Вклад (мг/куб.м)		Вклад %					
10	10	6002	1,06E-03		0,0000		95,90					
10	10	6009	4,53E-05		0,0000		4,10					
4	2563,22	1961,23	2,00	9,97E-04	-	311	6,00	-	-	-	-	3
Площадка	Цех	Источник	Вклад (д. ПДК)		Вклад (мг/куб.м)		Вклад %					
10	10	6002	9,14E-04		0,0000		91,67					
10	10	6009	8,30E-05		0,0000		8,33					

**Вещество: 6004 Аммиак, сероводород, формальдегид**

№	Коорд Х(м)	Коорд Y(м)	Высота (м)	Концентр (д. ПДК)	Концентр. (мг/куб.м)	Напр ветр	Скор ветр	Фон		Фон до исключения		Тип точки
								доли ПДК	мг/куб.м	доли ПДК	мг/куб.м	
7	1745,41	2294,48	2,00	2,51E-03	-	84	6,00	-	-	-	-	3
Площадка	Цех	Источник	Вклад (д. ПДК)		Вклад (мг/куб.м)		Вклад %					
10	10	6002	2,38E-03		0,0000		94,77					
10	10	6009	1,31E-04		0,0000		5,23					
8	1813,13	2550,14	2,00	2,28E-03	-	125	6,00	-	-	-	-	3
Площадка	Цех	Источник	Вклад (д. ПДК)		Вклад (мг/куб.м)		Вклад %					
10	10	6002	2,18E-03		0,0000		95,65					
10	10	6009	9,90E-05		0,0000		4,35					
1	2202,26	2656,25	2,00	1,90E-03	-	193	0,93	-	-	-	-	3
Площадка	Цех	Источник	Вклад (д. ПДК)		Вклад (мг/куб.м)		Вклад %					
10	10	6002	1,79E-03		0,0000		94,24					
10	10	6009	1,10E-04		0,0000		5,76					
2	2506,70	2611,58	2,00	1,65E-03	-	233	6,00	-	-	-	-	3
Площадка	Цех	Источник	Вклад (д. ПДК)		Вклад (мг/куб.м)		Вклад %					
10	10	6002	1,55E-03		0,0000		93,90					
10	10	6009	1,01E-04		0,0000		6,10					
6	1942,95	1952,32	2,00	1,60E-03	-	25	6,00	-	-	-	-	3
Площадка	Цех	Источник	Вклад (д. ПДК)		Вклад (мг/куб.м)		Вклад %					
10	10	6002	1,56E-03		0,0000		97,53					
10	10	6009	3,97E-05		0,0000		2,47					
3	2650,67	2282,66	2,00	1,47E-03	-	276	6,00	-	-	-	-	3
Площадка	Цех	Источник	Вклад (д. ПДК)		Вклад (мг/куб.м)		Вклад %					
10	10	6002	1,34E-03		0,0000		90,81					
10	10	6009	1,35E-04		0,0000		9,19					
5	2209,05	1871,57	2,00	1,35E-03	-	350	6,00	-	-	-	-	3
Площадка	Цех	Источник	Вклад (д. ПДК)		Вклад (мг/куб.м)		Вклад %					
10	10	6002	1,31E-03		0,0000		96,62					
10	10	6009	4,57E-05		0,0000		3,38					
4	2563,22	1961,23	2,00	1,21E-03	-	311	6,00	-	-	-	-	3
Площадка	Цех	Источник	Вклад (д. ПДК)		Вклад (мг/куб.м)		Вклад %					
10	10	6002	1,13E-03		0,0000		93,09					

10 10 6009 8,38E-05 0,0000 6,91

**Вещество: 6005 Аммиак, формальдегид**

№	Коорд X(м)	Коорд Y(м)	Высота (м)	Концентр (д. ПДК)	Концентр. (мг/куб.м)	Напр ветр	Скор ветр	Фон		Фон до исключения		Тип точки
								доли ПДК	мг/куб.м	доли ПДК	мг/куб.м	
7	1745,41	2294,48	2,00	1,51E-03	-	84	6,00	-	-	-	-	3
Площадка		Цех	Источник		Вклад (д. ПДК)		Вклад (мг/куб.м)		Вклад %			
10		10	6002		1,51E-03		0,0000		99,76			
10		10	6009		3,69E-06		0,0000		0,24			
8	1813,13	2550,14	2,00	1,38E-03	-	126	6,00	-	-	-	-	3
Площадка		Цех	Источник		Вклад (д. ПДК)		Вклад (мг/куб.м)		Вклад %			
10		10	6002		1,38E-03		0,0000		99,83			
10		10	6009		2,36E-06		0,0000		0,17			
1	2202,26	2656,25	2,00	1,22E-03	-	194	6,00	-	-	-	-	3
Площадка		Цех	Источник		Вклад (д. ПДК)		Вклад (мг/куб.м)		Вклад %			
10		10	6002		1,22E-03		0,0000		99,96			
2	2506,70	2611,58	2,00	9,90E-04	-	234	6,00	-	-	-	-	3
Площадка		Цех	Источник		Вклад (д. ПДК)		Вклад (мг/куб.м)		Вклад %			
10		10	6002		9,87E-04		0,0000		99,76			
10		10	6009		2,36E-06		0,0000		0,24			
6	1942,95	1952,32	2,00	9,90E-04	-	25	6,00	-	-	-	-	3
Площадка		Цех	Источник		Вклад (д. ПДК)		Вклад (мг/куб.м)		Вклад %			
10		10	6002		9,89E-04		0,0000		99,89			
10		10	6009		1,11E-06		0,0000		0,11			
3	2650,67	2282,66	2,00	8,50E-04	-	276	6,00	-	-	-	-	3
Площадка		Цех	Источник		Вклад (д. ПДК)		Вклад (мг/куб.м)		Вклад %			
10		10	6002		8,46E-04		0,0000		99,55			
10		10	6009		3,80E-06		0,0000		0,45			
5	2209,05	1871,57	2,00	8,28E-04	-	350	6,00	-	-	-	-	3
Площадка		Цех	Источник		Вклад (д. ПДК)		Вклад (мг/куб.м)		Вклад %			
10		10	6002		8,27E-04		0,0000		99,84			
10		10	6009		1,28E-06		0,0000		0,16			
4	2563,22	1961,23	2,00	7,18E-04	-	310	6,00	-	-	-	-	3
Площадка		Цех	Источник		Вклад (д. ПДК)		Вклад (мг/куб.м)		Вклад %			
10		10	6002		7,16E-04		0,0000		99,71			
10		10	6009		2,05E-06		0,0000		0,29			

**Вещество: 6010 Азота диоксид, серы диоксид, углерода оксид, фенол**

№	Коорд X(м)	Коорд Y(м)	Высота (м)	Концентр (д. ПДК)	Концентр. (мг/куб.м)	Напр ветр	Скор ветр	Фон		Фон до исключения		Тип точки
								доли ПДК	мг/куб.м	доли ПДК	мг/куб.м	
1	2202,26	2656,25	2,00	0,39	-	171	3,22	-	-	-	-	3
Площадка		Цех	Источник		Вклад (д. ПДК)		Вклад (мг/куб.м)		Вклад %			
10		10	6001		0,34		0,0000		86,50			
10		10	6004		0,04		0,0000		10,47			
10		10	6005		3,72E-03		0,0000		0,95			
2	2506,70	2611,58	2,00	0,35	-	221	4,40	-	-	-	-	3
Площадка		Цех	Источник		Вклад (д. ПДК)		Вклад (мг/куб.м)		Вклад %			
10		10	6001		0,29		0,0000		83,81			
10		10	6004		0,05		0,0000		14,63			
10		10	6003		1,94E-03		0,0000		0,56			

3	2650,67	2282,66	2,00	0,30	-	276	3,22	-	-	-	-	3
Площадка	Цех	Источник	Вклад (д. ПДК)		Вклад (мг/куб.м)		Вклад %					
10	10	6001	0,26		0,0000		86,74					
10	10	6004	0,03		0,0000		9,34					
10	10	6003	4,20E-03		0,0000		1,42					
5	2209,05	1871,57	2,00	0,27	-	6	6,00	-	-	-	-	3
Площадка	Цех	Источник	Вклад (д. ПДК)		Вклад (мг/куб.м)		Вклад %					
10	10	6001	0,22		0,0000		81,39					
10	10	6004	0,05		0,0000		16,62					
10	10	6005	2,16E-03		0,0000		0,79					
6	1942,95	1952,32	2,00	0,26	-	40	6,00	-	-	-	-	3
Площадка	Цех	Источник	Вклад (д. ПДК)		Вклад (мг/куб.м)		Вклад %					
10	10	6001	0,20		0,0000		77,55					
10	10	6004	0,06		0,0000		21,21					
10	10	6006	1,40E-03		0,0000		0,53					
4	2563,22	1961,23	2,00	0,24	-	320	6,00	-	-	-	-	3
Площадка	Цех	Источник	Вклад (д. ПДК)		Вклад (мг/куб.м)		Вклад %					
10	10	6001	0,21		0,0000		87,70					
10	10	6004	0,02		0,0000		7,35					
10	10	6008	4,17E-03		0,0000		1,73					
7	1745,41	2294,48	2,00	0,23	-	87	6,00	-	-	-	-	3
Площадка	Цех	Источник	Вклад (д. ПДК)		Вклад (мг/куб.м)		Вклад %					
10	10	6001	0,19		0,0000		81,22					
10	10	6004	0,03		0,0000		11,61					
10	10	6003	6,52E-03		0,0000		2,82					
8	1813,13	2550,14	2,00	0,22	-	117	6,00	-	-	-	-	3
Площадка	Цех	Источник	Вклад (д. ПДК)		Вклад (мг/куб.м)		Вклад %					
10	10	6001	0,20		0,0000		88,39					
10	10	6004	0,02		0,0000		8,06					
10	10	6002	2,46E-03		0,0000		1,09					

**Вещество: 6013 Ацетон и фенол**

№	Коорд Х(м)	Коорд Y(м)	Высота (м)	Концентр (д. ПДК)	Концентр. (мг/куб.м)	Напр ветр	Скор ветр	Фон		Фон до исключения		Тип точки
								доли ПДК	мг/куб.м	доли ПДК	мг/куб.м	
7	1745,41	2294,48	2,00	1,90E-03	-	84	6,00	-	-	-	-	3
Площадка	Цех	Источник	Вклад (д. ПДК)		Вклад (мг/куб.м)		Вклад %					
10	10	6002	1,89E-03		0,0000		99,70					
10	10	6009	5,68E-06		0,0000		0,30					
8	1813,13	2550,14	2,00	1,74E-03	-	126	6,00	-	-	-	-	3
Площадка	Цех	Источник	Вклад (д. ПДК)		Вклад (мг/куб.м)		Вклад %					
10	10	6002	1,73E-03		0,0000		99,79					
10	10	6009	3,63E-06		0,0000		0,21					
1	2202,26	2656,25	2,00	1,53E-03	-	194	6,00	-	-	-	-	3
Площадка	Цех	Источник	Вклад (д. ПДК)		Вклад (мг/куб.м)		Вклад %					
10	10	6002	1,53E-03		0,0000		99,95					
2	2506,70	2611,58	2,00	1,25E-03	-	234	6,00	-	-	-	-	3
Площадка	Цех	Источник	Вклад (д. ПДК)		Вклад (мг/куб.м)		Вклад %					
10	10	6002	1,24E-03		0,0000		99,71					
10	10	6009	3,63E-06		0,0000		0,29					
6	1942,95	1952,32	2,00	1,25E-03	-	25	6,00	-	-	-	-	3
Площадка	Цех	Источник	Вклад (д. ПДК)		Вклад (мг/куб.м)		Вклад %					



**Вещество: 6038 Серы диоксид и фенол**

№	Коорд X(м)	Коорд Y(м)	Высота (м)	Концентр (д. ПДК)	Концентр. (мг/куб.м)	Напр ветр	Скор ветр	Фон		Фон до исключения		Тип точки
								доли ПДК	мг/куб.м	доли ПДК	мг/куб.м	
1	2202,26	2656,25	2,00	0,02	-	170	3,22	-	-	-	-	3
	Площадка	Цех	Источник	Вклад (д. ПДК)	Вклад (мг/куб.м)	Вклад %						
	10	10	6001	0,02	0,0000	83,93						
	10	10	6004	1,59E-03	0,0000	8,26						
	10	10	6008	8,04E-04	0,0000	4,17						
2	2506,70	2611,58	2,00	0,02	-	221	4,40	-	-	-	-	3
	Площадка	Цех	Источник	Вклад (д. ПДК)	Вклад (мг/куб.м)	Вклад %						
	10	10	6001	0,01	0,0000	83,20						
	10	10	6004	2,24E-03	0,0000	13,61						
	10	10	6003	1,46E-04	0,0000	0,88						
3	2650,67	2282,66	2,00	0,01	-	276	4,40	-	-	-	-	3
	Площадка	Цех	Источник	Вклад (д. ПДК)	Вклад (мг/куб.м)	Вклад %						
	10	10	6001	0,01	0,0000	83,03						
	10	10	6004	1,01E-03	0,0000	6,76						
	10	10	6002	9,20E-04	0,0000	6,18						
5	2209,05	1871,57	2,00	0,01	-	6	6,00	-	-	-	-	3
	Площадка	Цех	Источник	Вклад (д. ПДК)	Вклад (мг/куб.м)	Вклад %						
	10	10	6001	0,01	0,0000	80,64						
	10	10	6004	2,01E-03	0,0000	15,44						
	10	10	6005	1,92E-04	0,0000	1,48						
7	1745,41	2294,48	2,00	0,01	-	87	6,00	-	-	-	-	3
	Площадка	Цех	Источник	Вклад (д. ПДК)	Вклад (мг/куб.м)	Вклад %						
	10	10	6001	8,89E-03	0,0000	70,45						
	10	10	6002	1,68E-03	0,0000	13,33						
	10	10	6004	1,19E-03	0,0000	9,44						
4	2563,22	1961,23	2,00	0,01	-	319	6,00	-	-	-	-	3
	Площадка	Цех	Источник	Вклад (д. ПДК)	Вклад (мг/куб.м)	Вклад %						
	10	10	6001	9,64E-03	0,0000	76,76						
	10	10	6008	1,00E-03	0,0000	7,97						
	10	10	6004	1,00E-03	0,0000	7,97						
6	1942,95	1952,32	2,00	0,01	-	40	6,00	-	-	-	-	3
	Площадка	Цех	Источник	Вклад (д. ПДК)	Вклад (мг/куб.м)	Вклад %						
	10	10	6001	9,67E-03	0,0000	77,32						
	10	10	6004	2,48E-03	0,0000	19,82						
	10	10	6002	1,37E-04	0,0000	1,10						
8	1813,13	2550,14	2,00	0,01	-	118	6,00	-	-	-	-	3
	Площадка	Цех	Источник	Вклад (д. ПДК)	Вклад (мг/куб.м)	Вклад %						
	10	10	6001	9,01E-03	0,0000	77,54						
	10	10	6004	1,01E-03	0,0000	8,70						
	10	10	6002	8,99E-04	0,0000	7,74						

**Вещество: 6043 Серы диоксид и сероводород**

№	Коорд X(м)	Коорд Y(м)	Высота (м)	Концентр (д. ПДК)	Концентр. (мг/куб.м)	Напр ветр	Скор ветр	Фон		Фон до исключения		Тип точки
								доли ПДК	мг/куб.м	доли ПДК	мг/куб.м	
1	2202,26	2656,25	2,00	0,43	-	170	3,22	0,41	-	0,41	-	3
	Площадка	Цех	Источник	Вклад (д. ПДК)	Вклад (мг/куб.м)	Вклад %						

	10		10	6001		0,02		0,0000	3,74		
	10		10	6004		1,59E-03		0,0000	0,37		
	10		10	6008		8,04E-04		0,0000	0,19		
2	2506,70	2611,58	2,00	0,43	-	221	4,40	0,41	-	0,41	3
	Площадка	Цех	Источник	Вклад (д. ПДК)	Вклад (мг/куб.м)	Вклад %					
	10		10	6001		0,01		0,0000	3,19		
	10		10	6004		2,24E-03		0,0000	0,52		
	10		10	6003		1,46E-04		0,0000	0,03		
3	2650,67	2282,66	2,00	0,43	-	276	3,22	0,41	-	0,41	3
	Площадка	Цех	Источник	Вклад (д. ПДК)	Вклад (мг/куб.м)	Вклад %					
	10		10	6001		0,01		0,0000	2,84		
	10		10	6004		1,23E-03		0,0000	0,29		
	10		10	6002		3,88E-04		0,0000	0,09		
5	2209,05	1871,57	2,00	0,43	-	6	6,00	0,41	-	0,41	3
	Площадка	Цех	Источник	Вклад (д. ПДК)	Вклад (мг/куб.м)	Вклад %					
	10		10	6001		0,01		0,0000	2,46		
	10		10	6004		2,01E-03		0,0000	0,47		
	10		10	6005		1,92E-04		0,0000	0,05		
6	1942,95	1952,32	2,00	0,43	-	40	6,00	0,41	-	0,41	3
	Площадка	Цех	Источник	Вклад (д. ПДК)	Вклад (мг/куб.м)	Вклад %					
	10		10	6001		9,67E-03		0,0000	2,27		
	10		10	6004		2,48E-03		0,0000	0,58		
	10		10	6006		9,56E-05		0,0000	0,02		
4	2563,22	1961,23	2,00	0,43	-	319	6,00	0,41	-	0,41	3
	Площадка	Цех	Источник	Вклад (д. ПДК)	Вклад (мг/куб.м)	Вклад %					
	10		10	6001		9,64E-03		0,0000	2,27		
	10		10	6008		1,00E-03		0,0000	0,24		
	10		10	6004		1,00E-03		0,0000	0,24		
7	1745,41	2294,48	2,00	0,42	-	87	6,00	0,41	-	0,41	3
	Площадка	Цех	Источник	Вклад (д. ПДК)	Вклад (мг/куб.м)	Вклад %					
	10		10	6001		8,89E-03		0,0000	2,09		
	10		10	6004		1,19E-03		0,0000	0,28		
	10		10	6002		8,04E-04		0,0000	0,19		
8	1813,13	2550,14	2,00	0,42	-	117	6,00	0,41	-	0,41	3
	Площадка	Цех	Источник	Вклад (д. ПДК)	Вклад (мг/куб.м)	Вклад %					
	10		10	6001		9,41E-03		0,0000	2,22		
	10		10	6004		8,05E-04		0,0000	0,19		
	10		10	6002		3,55E-04		0,0000	0,08		

**Вещество: 6204 Серы диоксид, азота диоксид**

№	Коорд Х(м)	Коорд Y(м)	Высота (м)	Концентр (д. ПДК)	Концентр. (мг/куб.м)	Напр ветра	Скор ветра	Фон		Фон до исключения		Тип точки
								доли ПДК	мг/куб.м	доли ПДК	мг/куб.м	
1	2202,26	2656,25	2,00	0,50	-	171	3,22	0,27	-	0,27	-	3
	Площадка	Цех	Источник	Вклад (д. ПДК)	Вклад (мг/куб.м)	Вклад %						
	10		10	6001		0,20		0,0000	40,30			
	10		10	6004		0,02		0,0000	4,88			
	10		10	6005		2,12E-03		0,0000	0,42			
2	2506,70	2611,58	2,00	0,48	-	221	4,40	0,27	-	0,27	-	3
	Площадка	Цех	Источник	Вклад (д. ПДК)	Вклад (мг/куб.м)	Вклад %						
	10		10	6001		0,17		0,0000	36,42			
	10		10	6004		0,03		0,0000	6,36			

	10		10	6003		1,13E-03		0,0000		0,24		
3	2650,67	2282,66	2,00	0,45	-	276	3,22	0,27	-	0,27	-	3
	Площадка	Цех	Источник	Вклад (д. ПДК)		Вклад (мг/куб.м)		Вклад %				
	10	10	6001	0,15		0,0000		34,49				
	10	10	6004	0,02		0,0000		3,72				
	10	10	6003	2,44E-03		0,0000		0,55				
5	2209,05	1871,57	2,00	0,43	-	6	6,00	0,27	-	0,27	-	3
	Площадка	Цех	Источник	Вклад (д. ПДК)		Вклад (мг/куб.м)		Вклад %				
	10	10	6001	0,13		0,0000		30,68				
	10	10	6004	0,03		0,0000		6,27				
	10	10	6005	1,24E-03		0,0000		0,28				
6	1942,95	1952,32	2,00	0,43	-	40	6,00	0,27	-	0,27	-	3
	Площадка	Цех	Источник	Вклад (д. ПДК)		Вклад (мг/куб.м)		Вклад %				
	10	10	6001	0,12		0,0000		28,65				
	10	10	6004	0,03		0,0000		7,84				
	10	10	6006	8,06E-04		0,0000		0,19				
4	2563,22	1961,23	2,00	0,41	-	320	6,00	0,27	-	0,27	-	3
	Площадка	Цех	Источник	Вклад (д. ПДК)		Вклад (мг/куб.м)		Вклад %				
	10	10	6001	0,13		0,0000		30,67				
	10	10	6004	0,01		0,0000		2,57				
	10	10	6005	2,06E-03		0,0000		0,50				
7	1745,41	2294,48	2,00	0,41	-	87	6,00	0,27	-	0,27	-	3
	Площадка	Цех	Источник	Вклад (д. ПДК)		Вклад (мг/куб.м)		Вклад %				
	10	10	6001	0,11		0,0000		27,72				
	10	10	6004	0,02		0,0000		3,96				
	10	10	6003	3,79E-03		0,0000		0,93				
8	1813,13	2550,14	2,00	0,40	-	117	6,00	0,27	-	0,27	-	3
	Площадка	Цех	Источник	Вклад (д. ПДК)		Вклад (мг/куб.м)		Вклад %				
	10	10	6001	0,12		0,0000		29,56				
	10	10	6004	0,01		0,0000		2,70				
	10	10	6005	1,16E-03		0,0000		0,29				

## Максимальные концентрации и вклады по веществам (расчетные площадки)

**Вещество: 0301 Азота диоксид (Азот (IV) оксид)**  
**Площадка: 1**

### Поле максимальных концентраций

Коорд X(м)	Коорд Y(м)	Концентр (д. ПДК)	Концентр. (мг/куб.м)	Напр. ветра	Скор. ветра	Фон		Фон до исключения	
						доли ПДК	мг/куб.м	доли ПДК	мг/куб.м
2250,00	2299,39	3,52	0,7039	16	0,50	0,39	0,0790	0,39	0,0790
Площадка	Цех	Источник	Вклад (д. ПДК)		Вклад (мг/куб.м)		Вклад %		
10	0	0	3,12		0,6249		88,78		
2300,00	2349,39	3,38	0,6765	246	0,50	0,39	0,0790	0,39	0,0790
Площадка	Цех	Источник	Вклад (д. ПДК)		Вклад (мг/куб.м)		Вклад %		
10	0	0	2,99		0,5975		88,32		
2300,00	2299,39	3,12	0,6239	308	0,50	0,39	0,0790	0,39	0,0790
Площадка	Цех	Источник	Вклад (д. ПДК)		Вклад (мг/куб.м)		Вклад %		
10	0	0	2,72		0,5449		87,34		

**Вещество: 0303 Аммиак**  
**Площадка: 1**

### Поле максимальных концентраций

Коорд X(м)	Коорд Y(м)	Концентр (д. ПДК)	Концентр. (мг/куб.м)	Напр. ветра	Скор. ветра	Фон		Фон до исключения	
						доли ПДК	мг/куб.м	доли ПДК	мг/куб.м
2050,00	2349,39	0,01	0,0021	109	0,50	-	-	-	-
Площадка	Цех	Источник	Вклад (д. ПДК)		Вклад (мг/куб.м)		Вклад %		
10	0	0	0,01		0,0021		100,00		
2200,00	2349,39	9,97E-03	0,0020	254	0,68	-	-	-	-
Площадка	Цех	Источник	Вклад (д. ПДК)		Вклад (мг/куб.м)		Вклад %		
10	0	0	9,97E-03		0,0020		100,00		
2150,00	2349,39	9,26E-03	0,0019	247	0,50	-	-	-	-
Площадка	Цех	Источник	Вклад (д. ПДК)		Вклад (мг/куб.м)		Вклад %		
10	0	0	9,26E-03		0,0019		100,00		

**Вещество: 0304 Азот (II) оксид (Азота оксид)**  
**Площадка: 1**

### Поле максимальных концентраций

Коорд X(м)	Коорд Y(м)	Концентр (д. ПДК)	Концентр. (мг/куб.м)	Напр. ветра	Скор. ветра	Фон		Фон до исключения	
						доли ПДК	мг/куб.м	доли ПДК	мг/куб.м
2250,00	2299,39	0,38	0,1535	16	0,50	0,13	0,0520	0,13	0,0520
Площадка	Цех	Источник	Вклад (д. ПДК)		Вклад (мг/куб.м)		Вклад %		

10	0	0	0,25	0,1015	66,13				
2300,00	2349,39	0,37	0,1493	246	0,50	0,13	0,0520	0,13	0,0520
Площадка	Цех	Источник	Вклад (д. ПДК)	Вклад (мг/куб.м)	Вклад %				
10	0	0	0,24	0,0973	65,18				
2250,00	2349,39	0,35	0,1413	154	0,50	0,13	0,0520	0,13	0,0520
Площадка	Цех	Источник	Вклад (д. ПДК)	Вклад (мг/куб.м)	Вклад %				
10	0	0	0,22	0,0893	63,20				

**Вещество: 0328 Углерод (Сажа)**

**Площадка: 1**

**Поле максимальных концентраций**

Коорд Х(м)	Коорд У(м)	Концентр (д. ПДК)	Концентр. (мг/куб.м)	Напр. ветра	Скор. ветра	Фон		Фон до исключения	
						доли ПДК	мг/куб.м	доли ПДК	мг/куб.м
2250,00	2299,39	0,84	0,1261	16	0,50	-	-	-	-
Площадка	Цех	Источник	Вклад (д. ПДК)	Вклад (мг/куб.м)	Вклад %				
10	0	0	0,84	0,1261	100,00				
2300,00	2349,39	0,80	0,1200	246	0,50	-	-	-	-
Площадка	Цех	Источник	Вклад (д. ПДК)	Вклад (мг/куб.м)	Вклад %				
10	0	0	0,80	0,1200	100,00				
2300,00	2299,39	0,73	0,1099	308	0,50	-	-	-	-
Площадка	Цех	Источник	Вклад (д. ПДК)	Вклад (мг/куб.м)	Вклад %				
10	0	0	0,73	0,1099	100,00				

**Вещество: 0330 Сера диоксид (Ангидрид сернистый)**

**Площадка: 1**

**Поле максимальных концентраций**

Коорд Х(м)	Коорд У(м)	Концентр (д. ПДК)	Концентр. (мг/куб.м)	Напр. ветра	Скор. ветра	Фон		Фон до исключения	
						доли ПДК	мг/куб.м	доли ПДК	мг/куб.м
2250,00	2299,39	0,20	0,0998	16	0,50	0,04	0,0190	0,04	0,0190
Площадка	Цех	Источник	Вклад (д. ПДК)	Вклад (мг/куб.м)	Вклад %				
10	0	0	0,16	0,0808	80,97				
2300,00	2349,39	0,19	0,0964	246	0,50	0,04	0,0190	0,04	0,0190
Площадка	Цех	Источник	Вклад (д. ПДК)	Вклад (мг/куб.м)	Вклад %				
10	0	0	0,15	0,0774	80,30				
2300,00	2299,39	0,18	0,0895	308	0,50	0,04	0,0190	0,04	0,0190
Площадка	Цех	Источник	Вклад (д. ПДК)	Вклад (мг/куб.м)	Вклад %				
10	0	0	0,14	0,0705	78,77				

**Вещество: 0333 Дигидросульфид (Сероводород)**  
**Площадка: 1**

**Поле максимальных концентраций**

Коорд X(м)	Коорд Y(м)	Концентр (д. ПДК)	Концентр. (мг/куб.м)	Напр. ветра	Скор. ветра	Фон		Фон до исключения	
						доли ПДК	мг/куб.м	доли ПДК	мг/куб.м
2050,00	2349,39	0,38	0,0031	106	0,68	0,38	0,0030	0,38	0,0030
Площадка Цех		Источник	Вклад (д. ПДК)		Вклад (мг/куб.м)		Вклад %		
10		0	0		9,08E-03		7,2614E-05 2,36		
2100,00	2349,39	0,38	0,0031	111	0,50	0,38	0,0030	0,38	0,0030
Площадка Цех		Источник	Вклад (д. ПДК)		Вклад (мг/куб.м)		Вклад %		
10		0	0		8,41E-03		6,7305E-05 2,19		
2200,00	2349,39	0,38	0,0031	254	0,68	0,38	0,0030	0,38	0,0030
Площадка Цех		Источник	Вклад (д. ПДК)		Вклад (мг/куб.м)		Вклад %		
10		0	0		8,29E-03		6,6342E-05 2,16		

**Вещество: 0337 Углерод оксид**  
**Площадка: 1**

**Поле максимальных концентраций**

Коорд X(м)	Коорд Y(м)	Концентр (д. ПДК)	Концентр. (мг/куб.м)	Напр. ветра	Скор. ветра	Фон		Фон до исключения	
						доли ПДК	мг/куб.м	доли ПДК	мг/куб.м
2250,00	2299,39	0,13	0,6448	16	0,50	5,40E-04	0,0027	5,40E-04	0,0027
Площадка Цех		Источник	Вклад (д. ПДК)		Вклад (мг/куб.м)		Вклад %		
10		0	0		0,13		0,6421 99,58		
2300,00	2349,39	0,13	0,6385	247	0,50	5,40E-04	0,0027	5,40E-04	0,0027
Площадка Цех		Источник	Вклад (д. ПДК)		Вклад (мг/куб.м)		Вклад %		
10		0	0		0,13		0,6358 99,58		
2300,00	2299,39	0,11	0,5722	308	0,50	5,40E-04	0,0027	5,40E-04	0,0027
Площадка Цех		Источник	Вклад (д. ПДК)		Вклад (мг/куб.м)		Вклад %		
10		0	0		0,11		0,5695 99,53		

**Вещество: 0410 Метан**  
**Площадка: 1**

**Поле максимальных концентраций**

Коорд X(м)	Коорд Y(м)	Концентр (д. ПДК)	Концентр. (мг/куб.м)	Напр. ветра	Скор. ветра	Фон		Фон до исключения	
						доли ПДК	мг/куб.м	доли ПДК	мг/куб.м
2200,00	2349,39	9,11E-05	0,0046	189	0,50	-	-	-	-
Площадка Цех		Источник	Вклад (д. ПДК)		Вклад (мг/куб.м)		Вклад %		
10		0	0		9,11E-05		0,0046 100,00		
2200,00	2299,39	7,53E-05	0,0038	353	0,68	-	-	-	-
Площадка Цех		Источник	Вклад (д. ПДК)		Вклад (мг/куб.м)		Вклад %		

10	0	0	7,53E-05	0,0038	100,00				
2150,00	2349,39	3,91E-05	0,0020	114	0,68	-	-	-	-
Площадка	Цех	Источник	Вклад (д. ПДК)	Вклад (мг/куб.м)	Вклад %				
10	0	0	3,91E-05	0,0020	100,00				

**Вещество: 0416 Смесь углеводородов предельных С6-С10  
Площадка: 1**

**Поле максимальных концентраций**

Коорд Х(м)	Коорд У(м)	Концентр (д. ПДК)	Концентр. (мг/куб.м)	Напр. ветра	Скор. ветра	Фон		Фон до исключения	
						доли ПДК	мг/куб.м	доли ПДК	мг/куб.м
2050,00	2349,39	1,28E-05	0,0004	109	0,50	-	-	-	-
Площадка	Цех	Источник	Вклад (д. ПДК)	Вклад (мг/куб.м)	Вклад %				
10	0	0	1,28E-05	0,0004	100,00				
2200,00	2349,39	1,23E-05	0,0004	254	0,68	-	-	-	-
Площадка	Цех	Источник	Вклад (д. ПДК)	Вклад (мг/куб.м)	Вклад %				
10	0	0	1,23E-05	0,0004	100,00				
2150,00	2349,39	1,14E-05	0,0003	247	0,50	-	-	-	-
Площадка	Цех	Источник	Вклад (д. ПДК)	Вклад (мг/куб.м)	Вклад %				
10	0	0	1,14E-05	0,0003	100,00				

**Вещество: 0602 Бензол  
Площадка: 1**

**Поле максимальных концентраций**

Коорд Х(м)	Коорд У(м)	Концентр (д. ПДК)	Концентр. (мг/куб.м)	Напр. ветра	Скор. ветра	Фон		Фон до исключения	
						доли ПДК	мг/куб.м	доли ПДК	мг/куб.м
2050,00	2349,39	0,02	0,0069	109	0,50	-	-	-	-
Площадка	Цех	Источник	Вклад (д. ПДК)	Вклад (мг/куб.м)	Вклад %				
10	0	0	0,02	0,0069	100,00				
2200,00	2349,39	0,02	0,0066	254	0,68	-	-	-	-
Площадка	Цех	Источник	Вклад (д. ПДК)	Вклад (мг/куб.м)	Вклад %				
10	0	0	0,02	0,0066	100,00				
2150,00	2349,39	0,02	0,0062	247	0,50	-	-	-	-
Площадка	Цех	Источник	Вклад (д. ПДК)	Вклад (мг/куб.м)	Вклад %				
10	0	0	0,02	0,0062	100,00				

**Вещество: 0616 Диметилбензол (Ксилол) (смесь изомеров о-, м-, п-)  
Площадка: 1**

**Поле максимальных концентраций**

Коорд Х(м)	Коорд У(м)	Концентр (д. ПДК)	Концентр. (мг/куб.м)	Напр. ветра	Скор. ветра	Фон		Фон до исключения	
						доли ПДК	мг/куб.м	доли ПДК	мг/куб.м

2050,00	2349,39	6,51E-03	0,0013	109	0,50	-	-	-	-
Площадка	Цех	Источник	Вклад (д. ПДК)		Вклад (мг/куб.м)		Вклад %		
10	0	0	6,51E-03		0,0013		100,00		
2200,00	2349,39	6,28E-03	0,0013	254	0,68	-	-	-	-
Площадка	Цех	Источник	Вклад (д. ПДК)		Вклад (мг/куб.м)		Вклад %		
10	0	0	6,28E-03		0,0013		100,00		
2150,00	2349,39	5,83E-03	0,0012	247	0,50	-	-	-	-
Площадка	Цех	Источник	Вклад (д. ПДК)		Вклад (мг/куб.м)		Вклад %		
10	0	0	5,83E-03		0,0012		100,00		

**Вещество: 0621 Метилбензол (Толуол)**  
**Площадка: 1**

**Поле максимальных концентраций**

Коорд X(м)	Коорд Y(м)	Концентр (д. ПДК)	Концентр. (мг/куб.м)	Напр. ветра	Скор. ветра	Фон		Фон до исключения	
						доли ПДК	мг/куб.м	доли ПДК	мг/куб.м
2050,00	2349,39	1,15E-04	6,8804E-05	109	0,50	-	-	-	-
Площадка	Цех	Источник	Вклад (д. ПДК)		Вклад (мг/куб.м)		Вклад %		
10	0	0	1,15E-04		6,8804E-05		100,00		
2200,00	2349,39	1,11E-04	6,6342E-05	254	0,68	-	-	-	-
Площадка	Цех	Источник	Вклад (д. ПДК)		Вклад (мг/куб.м)		Вклад %		
10	0	0	1,11E-04		6,6342E-05		100,00		
2150,00	2349,39	1,03E-04	6,1611E-05	247	0,50	-	-	-	-
Площадка	Цех	Источник	Вклад (д. ПДК)		Вклад (мг/куб.м)		Вклад %		
10	0	0	1,03E-04		6,1611E-05		100,00		

**Вещество: 0627 Этилбензол**  
**Площадка: 1**

**Поле максимальных концентраций**

Коорд X(м)	Коорд Y(м)	Концентр (д. ПДК)	Концентр. (мг/куб.м)	Напр. ветра	Скор. ветра	Фон		Фон до исключения	
						доли ПДК	мг/куб.м	доли ПДК	мг/куб.м
2050,00	2349,39	3,44E-03	6,8804E-05	109	0,50	-	-	-	-
Площадка	Цех	Источник	Вклад (д. ПДК)		Вклад (мг/куб.м)		Вклад %		
10	0	0	3,44E-03		6,8804E-05		100,00		
2200,00	2349,39	3,32E-03	6,6342E-05	254	0,68	-	-	-	-
Площадка	Цех	Источник	Вклад (д. ПДК)		Вклад (мг/куб.м)		Вклад %		
10	0	0	3,32E-03		6,6342E-05		100,00		
2150,00	2349,39	3,08E-03	6,1611E-05	247	0,50	-	-	-	-
Площадка	Цех	Источник	Вклад (д. ПДК)		Вклад (мг/куб.м)		Вклад %		
10	0	0	3,08E-03		6,1611E-05		100,00		

**Вещество: 1051 Пропан-2-ол (Изопропиловый спирт)**  
**Площадка: 1**

**Поле максимальных концентраций**

Коорд X(м)	Коорд Y(м)	Концентр (д. ПДК)	Концентр. (мг/куб.м)	Напр. ветра	Скор. ветра	Фон		Фон до исключения	
						доли ПДК	мг/куб.м	доли ПДК	мг/куб.м
2300,00	2249,39	1,21E-03	0,0007	222	0,50	-	-	-	-
Площадка	Цех	Источник		Вклад (д. ПДК)		Вклад (мг/куб.м)		Вклад %	
10	0	0		1,21E-03		0,0007		100,00	
2300,00	2199,39	6,73E-04	0,0004	345	0,68	-	-	-	-
Площадка	Цех	Источник		Вклад (д. ПДК)		Вклад (мг/куб.м)		Вклад %	
10	0	0		6,73E-04		0,0004		100,00	
2250,00	2249,39	6,17E-04	0,0004	106	0,68	-	-	-	-
Площадка	Цех	Источник		Вклад (д. ПДК)		Вклад (мг/куб.м)		Вклад %	
10	0	0		6,17E-04		0,0004		100,00	

**Вещество: 1071 Гидроксibenзол (Фенол)**  
**Площадка: 1**

**Поле максимальных концентраций**

Коорд X(м)	Коорд Y(м)	Концентр (д. ПДК)	Концентр. (мг/куб.м)	Напр. ветра	Скор. ветра	Фон		Фон до исключения	
						доли ПДК	мг/куб.м	доли ПДК	мг/куб.м
2050,00	2349,39	0,02	0,0002	109	0,50	-	-	-	-
Площадка	Цех	Источник		Вклад (д. ПДК)		Вклад (мг/куб.м)		Вклад %	
10	0	0		0,02		0,0002		100,00	
2200,00	2349,39	0,02	0,0002	254	0,68	-	-	-	-
Площадка	Цех	Источник		Вклад (д. ПДК)		Вклад (мг/куб.м)		Вклад %	
10	0	0		0,02		0,0002		100,00	
2150,00	2349,39	0,02	0,0002	247	0,50	-	-	-	-
Площадка	Цех	Источник		Вклад (д. ПДК)		Вклад (мг/куб.м)		Вклад %	
10	0	0		0,02		0,0002		100,00	

**Вещество: 1325 Формальдегид**  
**Площадка: 1**

**Поле максимальных концентраций**

Коорд X(м)	Коорд Y(м)	Концентр (д. ПДК)	Концентр. (мг/куб.м)	Напр. ветра	Скор. ветра	Фон		Фон до исключения	
						доли ПДК	мг/куб.м	доли ПДК	мг/куб.м
2050,00	2349,39	0,44	0,0222	109	0,50	0,44	0,0220	0,44	0,0220
Площадка	Цех	Источник		Вклад (д. ПДК)		Вклад (мг/куб.м)		Вклад %	
10	0	0		4,45E-03		0,0002		1,00	
2200,00	2349,39	0,44	0,0222	254	0,68	0,44	0,0220	0,44	0,0220
Площадка	Цех	Источник		Вклад (д. ПДК)		Вклад (мг/куб.м)		Вклад %	

10	0	0	4,28E-03	0,0002	0,96				
2150,00	2349,39	0,44	0,0222	247	0,50	0,44	0,0220	0,44	0,0220
Площадка	Цех	Источник	Вклад (д. ПДК)	Вклад (мг/куб.м)	Вклад %				
10	0	0	3,98E-03	0,0002	0,90				

**Вещество: 1328 Пентандиаль (Глутаральдегид; Глутаровый альдегид)  
Площадка: 1**

**Поле максимальных концентраций**

Коорд Х(м)	Коорд Y(м)	Концентр (д. ПДК)	Концентр. (мг/куб.м)	Напр. ветра	Скор. ветра	Фон		Фон до исключения	
						доли ПДК	мг/куб.м	доли ПДК	мг/куб.м
2300,00	2249,39	0,01	0,0003	222	0,50	-	-	-	-
Площадка	Цех	Источник	Вклад (д. ПДК)	Вклад (мг/куб.м)	Вклад %				
10	0	0	0,01	0,0003	100,00				
2300,00	2199,39	6,10E-03	0,0002	345	0,68	-	-	-	-
Площадка	Цех	Источник	Вклад (д. ПДК)	Вклад (мг/куб.м)	Вклад %				
10	0	0	6,10E-03	0,0002	100,00				
2250,00	2249,39	5,59E-03	0,0002	106	0,68	-	-	-	-
Площадка	Цех	Источник	Вклад (д. ПДК)	Вклад (мг/куб.м)	Вклад %				
10	0	0	5,59E-03	0,0002	100,00				

**Вещество: 1401 Пропан-2-он (Ацетон)  
Площадка: 1**

**Поле максимальных концентраций**

Коорд Х(м)	Коорд Y(м)	Концентр (д. ПДК)	Концентр. (мг/куб.м)	Напр. ветра	Скор. ветра	Фон		Фон до исключения	
						доли ПДК	мг/куб.м	доли ПДК	мг/куб.м
2050,00	2349,39	1,97E-04	6,8804E-05	109	0,50	-	-	-	-
Площадка	Цех	Источник	Вклад (д. ПДК)	Вклад (мг/куб.м)	Вклад %				
10	0	0	1,97E-04	6,8804E-05	100,00				
2200,00	2349,39	1,90E-04	6,6342E-05	254	0,68	-	-	-	-
Площадка	Цех	Источник	Вклад (д. ПДК)	Вклад (мг/куб.м)	Вклад %				
10	0	0	1,90E-04	6,6342E-05	100,00				
2150,00	2349,39	1,76E-04	6,1611E-05	247	0,50	-	-	-	-
Площадка	Цех	Источник	Вклад (д. ПДК)	Вклад (мг/куб.м)	Вклад %				
10	0	0	1,76E-04	6,1611E-05	100,00				

**Вещество: 1716 Смесь природных меркаптанов /в пересчете на этилмеркаптан/ (Одор)  
Площадка: 1**

**Поле максимальных концентраций**

Коорд Х(м)	Коорд Y(м)	Концентр (д. ПДК)	Концентр. (мг/куб.м)	Напр. ветра	Скор. ветра	Фон		Фон до исключения	
						доли ПДК	мг/куб.м	доли ПДК	мг/куб.м

2050,00	2349,39	1,38	6,8818E-05	109	0,50	-	-	-	-
Площадка	Цех	Источник	Вклад (д. ПДК)		Вклад (мг/куб.м)		Вклад %		
10	0	0	1,38		6,8818E-05		100,00		
2200,00	2349,39	1,33	6,6342E-05	254	0,68	-	-	-	-
Площадка	Цех	Источник	Вклад (д. ПДК)		Вклад (мг/куб.м)		Вклад %		
10	0	0	1,33		6,6342E-05		100,00		
2150,00	2349,39	1,23	6,1611E-05	247	0,50	-	-	-	-
Площадка	Цех	Источник	Вклад (д. ПДК)		Вклад (мг/куб.м)		Вклад %		
10	0	0	1,23		6,1611E-05		100,00		

**Вещество: 2732 Керосин**  
**Площадка: 1**

**Поле максимальных концентраций**

Коорд X(м)	Коорд Y(м)	Концентр (д. ПДК)	Концентр. (мг/куб.м)	Напр. ветра	Скор. ветра	Фон		Фон до исключения	
						доли ПДК	мг/куб.м	доли ПДК	мг/куб.м
2250,00	2299,39	0,15	0,1783	16	0,50	-	-	-	-
Площадка	Цех	Источник	Вклад (д. ПДК)		Вклад (мг/куб.м)		Вклад %		
10	0	0	0,15		0,1783		100,00		
2300,00	2349,39	0,14	0,1704	246	0,50	-	-	-	-
Площадка	Цех	Источник	Вклад (д. ПДК)		Вклад (мг/куб.м)		Вклад %		
10	0	0	0,14		0,1704		100,00		
2300,00	2299,39	0,13	0,1554	308	0,50	-	-	-	-
Площадка	Цех	Источник	Вклад (д. ПДК)		Вклад (мг/куб.м)		Вклад %		
10	0	0	0,13		0,1554		100,00		

**Вещество: 2754 Углеводороды предельные C12-C19**  
**Площадка: 1**

**Поле максимальных концентраций**

Коорд X(м)	Коорд Y(м)	Концентр (д. ПДК)	Концентр. (мг/куб.м)	Напр. ветра	Скор. ветра	Фон		Фон до исключения	
						доли ПДК	мг/куб.м	доли ПДК	мг/куб.м
2050,00	2349,39	0,07	0,0689	109	0,50	-	-	-	-
Площадка	Цех	Источник	Вклад (д. ПДК)		Вклад (мг/куб.м)		Вклад %		
10	0	0	0,07		0,0689		100,00		
2200,00	2349,39	0,07	0,0664	254	0,68	-	-	-	-
Площадка	Цех	Источник	Вклад (д. ПДК)		Вклад (мг/куб.м)		Вклад %		
10	0	0	0,07		0,0664		100,00		
2150,00	2349,39	0,06	0,0617	247	0,50	-	-	-	-
Площадка	Цех	Источник	Вклад (д. ПДК)		Вклад (мг/куб.м)		Вклад %		
10	0	0	0,06		0,0617		100,00		

**Вещество: 2902 Взвешенные вещества  
Площадка: 1**

**Поле максимальных концентраций**

Коорд Х(м)	Коорд У(м)	Концентр (д. ПДК)	Концентр. (мг/куб.м)	Напр. ветра	Скор. ветра	Фон		Фон до исключения	
						доли ПДК	мг/куб.м	доли ПДК	мг/куб.м
2150,00	2349,39	0,02	0,0079	242	0,50	-	-	-	-
Площадка	Цех	Источник	Вклад (д. ПДК)		Вклад (мг/куб.м)		Вклад %		
10	0	0	0,02		0,0079		100,00		
2100,00	2349,39	0,02	0,0078	118	0,50	-	-	-	-
Площадка	Цех	Источник	Вклад (д. ПДК)		Вклад (мг/куб.м)		Вклад %		
10	0	0	0,02		0,0078		100,00		
2050,00	2349,39	0,02	0,0077	110	0,68	-	-	-	-
Площадка	Цех	Источник	Вклад (д. ПДК)		Вклад (мг/куб.м)		Вклад %		
10	0	0	0,02		0,0077		100,00		

**Вещество: 6003 Аммиак, сероводород  
Площадка: 1**

**Поле максимальных концентраций**

Коорд Х(м)	Коорд У(м)	Концентр (д. ПДК)	Концентр. (мг/куб.м)	Напр. ветра	Скор. ветра	Фон		Фон до исключения	
						доли ПДК	мг/куб.м	доли ПДК	мг/куб.м
2050,00	2349,39	0,02	-	108	0,50	-	-	-	-
Площадка	Цех	Источник	Вклад (д. ПДК)		Вклад (мг/куб.м)		Вклад %		
10	0	0	0,02		0,0000		100,00		
2200,00	2349,39	0,02	-	254	0,68	-	-	-	-
Площадка	Цех	Источник	Вклад (д. ПДК)		Вклад (мг/куб.м)		Вклад %		
10	0	0	0,02		0,0000		100,00		
2100,00	2349,39	0,02	-	112	0,50	-	-	-	-
Площадка	Цех	Источник	Вклад (д. ПДК)		Вклад (мг/куб.м)		Вклад %		
10	0	0	0,02		0,0000		100,00		

**Вещество: 6004 Аммиак, сероводород, формальдегид  
Площадка: 1**

**Поле максимальных концентраций**

Коорд Х(м)	Коорд У(м)	Концентр (д. ПДК)	Концентр. (мг/куб.м)	Напр. ветра	Скор. ветра	Фон		Фон до исключения	
						доли ПДК	мг/куб.м	доли ПДК	мг/куб.м
2050,00	2349,39	0,02	-	108	0,50	-	-	-	-
Площадка	Цех	Источник	Вклад (д. ПДК)		Вклад (мг/куб.м)		Вклад %		
10	0	0	0,02		0,0000		100,00		
2200,00	2349,39	0,02	-	254	0,68	-	-	-	-
Площадка	Цех	Источник	Вклад (д. ПДК)		Вклад (мг/куб.м)		Вклад %		

10	0	0	0,02	0,0000	100,00				
2100,00	2349,39	0,02	-	112	0,50	-	-	-	-
Площадка	Цех	Источник	Вклад (д. ПДК)		Вклад (мг/куб.м)		Вклад %		
10	0	0	0,02		0,0000		100,00		

**Вещество: 6005 Аммиак, формальдегид  
Площадка: 1**

**Поле максимальных концентраций**

Коорд X(м)	Коорд Y(м)	Концентр (д. ПДК)	Концентр. (мг/куб.м)	Напр. ветра	Скор. ветра	Фон		Фон до исключения	
						доли ПДК	мг/куб.м	доли ПДК	мг/куб.м
2050,00	2349,39	0,01	-	109	0,50	-	-	-	-
Площадка	Цех	Источник	Вклад (д. ПДК)		Вклад (мг/куб.м)		Вклад %		
10	0	0	0,01		0,0000		100,00		
2200,00	2349,39	0,01	-	254	0,68	-	-	-	-
Площадка	Цех	Источник	Вклад (д. ПДК)		Вклад (мг/куб.м)		Вклад %		
10	0	0	0,01		0,0000		100,00		
2150,00	2349,39	0,01	-	247	0,50	-	-	-	-
Площадка	Цех	Источник	Вклад (д. ПДК)		Вклад (мг/куб.м)		Вклад %		
10	0	0	0,01		0,0000		100,00		

**Вещество: 6010 Азота диоксид, серы диоксид, углерода оксид, фенол  
Площадка: 1**

**Поле максимальных концентраций**

Коорд X(м)	Коорд Y(м)	Концентр (д. ПДК)	Концентр. (мг/куб.м)	Напр. ветра	Скор. ветра	Фон		Фон до исключения	
						доли ПДК	мг/куб.м	доли ПДК	мг/куб.м
2250,00	2299,39	3,41	-	16	0,50	-	-	-	-
Площадка	Цех	Источник	Вклад (д. ПДК)		Вклад (мг/куб.м)		Вклад %		
10	0	0	3,41		0,0000		100,00		
2300,00	2349,39	3,27	-	246	0,50	-	-	-	-
Площадка	Цех	Источник	Вклад (д. ПДК)		Вклад (мг/куб.м)		Вклад %		
10	0	0	3,27		0,0000		100,00		
2300,00	2299,39	2,98	-	308	0,50	-	-	-	-
Площадка	Цех	Источник	Вклад (д. ПДК)		Вклад (мг/куб.м)		Вклад %		
10	0	0	2,98		0,0000		100,00		

**Вещество: 6013 Ацетон и фенол  
Площадка: 1**

**Поле максимальных концентраций**

Коорд X(м)	Коорд Y(м)	Концентр (д. ПДК)	Концентр. (мг/куб.м)	Напр. ветра	Скор. ветра	Фон		Фон до исключения	
						доли ПДК	мг/куб.м	доли ПДК	мг/куб.м

2050,00	2349,39	0,02	-	109	0,50	-	-	-	-
Площадка	Цех	Источник		Вклад (д. ПДК)		Вклад (мг/куб.м)		Вклад %	
10	0	0		0,02		0,0000		100,00	
2200,00	2349,39	0,02	-	254	0,68	-	-	-	-
Площадка	Цех	Источник		Вклад (д. ПДК)		Вклад (мг/куб.м)		Вклад %	
10	0	0		0,02		0,0000		100,00	
2150,00	2349,39	0,02	-	247	0,50	-	-	-	-
Площадка	Цех	Источник		Вклад (д. ПДК)		Вклад (мг/куб.м)		Вклад %	
10	0	0		0,02		0,0000		100,00	

**Вещество: 6035 Сероводород, формальдегид  
Площадка: 1**

**Поле максимальных концентраций**

Коорд X(м)	Коорд Y(м)	Концентр (д. ПДК)	Концентр. (мг/куб.м)	Напр. ветра	Скор. ветра	Фон		Фон до исключения	
						доли ПДК	мг/куб.м	доли ПДК	мг/куб.м
2050,00	2349,39	0,83	-	108	0,50	0,82	-	0,82	-
Площадка	Цех	Источник		Вклад (д. ПДК)		Вклад (мг/куб.м)		Вклад %	
10	0	0		0,01		0,0000		1,63	
2200,00	2349,39	0,83	-	254	0,68	0,82	-	0,82	-
Площадка	Цех	Источник		Вклад (д. ПДК)		Вклад (мг/куб.м)		Вклад %	
10	0	0		0,01		0,0000		1,52	
2100,00	2349,39	0,83	-	112	0,50	0,82	-	0,82	-
Площадка	Цех	Источник		Вклад (д. ПДК)		Вклад (мг/куб.м)		Вклад %	
10	0	0		0,01		0,0000		1,48	

**Вещество: 6038 Серы диоксид и фенол  
Площадка: 1**

**Поле максимальных концентраций**

Коорд X(м)	Коорд Y(м)	Концентр (д. ПДК)	Концентр. (мг/куб.м)	Напр. ветра	Скор. ветра	Фон		Фон до исключения	
						доли ПДК	мг/куб.м	доли ПДК	мг/куб.м
2250,00	2299,39	0,16	-	16	0,50	-	-	-	-
Площадка	Цех	Источник		Вклад (д. ПДК)		Вклад (мг/куб.м)		Вклад %	
10	0	0		0,16		0,0000		100,00	
2300,00	2349,39	0,16	-	247	0,50	-	-	-	-
Площадка	Цех	Источник		Вклад (д. ПДК)		Вклад (мг/куб.м)		Вклад %	
10	0	0		0,16		0,0000		100,00	
2300,00	2299,39	0,14	-	308	0,50	-	-	-	-
Площадка	Цех	Источник		Вклад (д. ПДК)		Вклад (мг/куб.м)		Вклад %	
10	0	0		0,14		0,0000		100,00	

**Вещество: 6043 Серы диоксид и сероводород  
Площадка: 1**

**Поле максимальных концентраций**

Коорд X(м)	Коорд Y(м)	Концентр (д. ПДК)	Концентр. (мг/куб.м)	Напр. ветра	Скор. ветра	Фон		Фон до исключения	
						доли ПДК	мг/куб.м	доли ПДК	мг/куб.м
2250,00	2299,39	0,57	-	16	0,50	0,41	-	0,41	-
Площадка	Цех	Источник			Вклад (д. ПДК)	Вклад (мг/куб.м)		Вклад %	
10	0	0			0,16	0,0000		28,13	
2300,00	2349,39	0,57	-	247	0,50	0,41	-	0,41	-
Площадка	Цех	Источник			Вклад (д. ПДК)	Вклад (мг/куб.м)		Вклад %	
10	0	0			0,16	0,0000		27,54	
2300,00	2299,39	0,56	-	308	0,50	0,41	-	0,41	-
Площадка	Цех	Источник			Вклад (д. ПДК)	Вклад (мг/куб.м)		Вклад %	
10	0	0			0,14	0,0000		25,61	

**Вещество: 6204 Серы диоксид, азота диоксид  
Площадка: 1**

**Поле максимальных концентраций**

Коорд X(м)	Коорд Y(м)	Концентр (д. ПДК)	Концентр. (мг/куб.м)	Напр. ветра	Скор. ветра	Фон		Фон до исключения	
						доли ПДК	мг/куб.м	доли ПДК	мг/куб.м
2250,00	2299,39	2,32	-	16	0,50	0,27	-	0,27	-
Площадка	Цех	Источник			Вклад (д. ПДК)	Вклад (мг/куб.м)		Вклад %	
10	0	0			2,05	0,0000		88,36	
2300,00	2349,39	2,23	-	246	0,50	0,27	-	0,27	-
Площадка	Цех	Источник			Вклад (д. ПДК)	Вклад (мг/куб.м)		Вклад %	
10	0	0			1,96	0,0000		87,89	
2300,00	2299,39	2,06	-	308	0,50	0,27	-	0,27	-
Площадка	Цех	Источник			Вклад (д. ПДК)	Вклад (мг/куб.м)		Вклад %	
10	0	0			1,79	0,0000		86,87	

**Приложение 9. Карты рассеивания загрязняющих веществ в атмосфере  
(вариант 2).**

# Карта рассеивания загрязняющего вещества в атмосфере (вариант 2)

Вариант расчета: Биодегма (10) - Расчет рассеивания по МРР-2017 [11.02.2021 16:05 - 11.02.2021

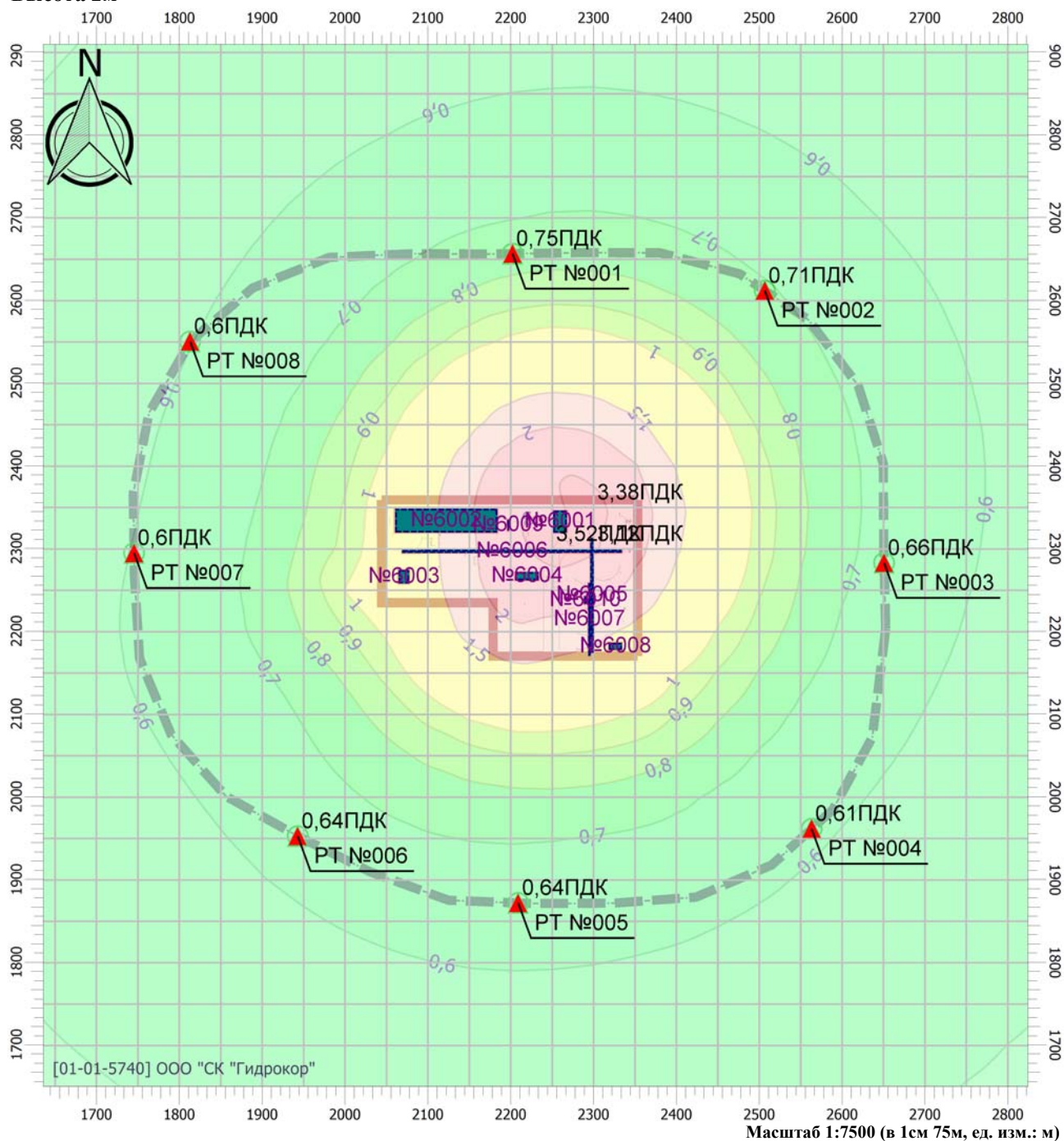
16:06] , ЛЕТО

Тип расчета: Расчеты по веществам

Код расчета: 0301 (Азота диоксид (Азот (IV) оксид))

Параметр: Концентрация вредного вещества (в долях ПДК)

Высота 2м



## Цветовая схема

0 и ниже ПДК	(0,05 - 0,1] ПДК	(0,1 - 0,2] ПДК	(0,2 - 0,3] ПДК
(0,3 - 0,4] ПДК	(0,4 - 0,5] ПДК	(0,5 - 0,6] ПДК	(0,6 - 0,7] ПДК
(0,7 - 0,8] ПДК	(0,8 - 0,9] ПДК	(0,9 - 1] ПДК	(1 - 1,5] ПДК
(1,5 - 2] ПДК	(2 - 3] ПДК	(3 - 4] ПДК	(4 - 5] ПДК
(5 - 7,5] ПДК	(7,5 - 10] ПДК	(10 - 25] ПДК	(25 - 50] ПДК
(50 - 100] ПДК	(100 - 250] ПДК	(250 - 500] ПДК	(500 - 1000] ПДК
(1000 - 5000] ПДК	(5000 - 10000] ПДК	(10000 - 100000] ПДК	выше 100000 ПДК

# Карта рассеивания загрязняющего вещества в атмосфере (вариант 2)

Вариант расчета: Биодегма (10) - Расчет рассеивания по МРР-2017 [11.02.2021 16:05 - 11.02.2021

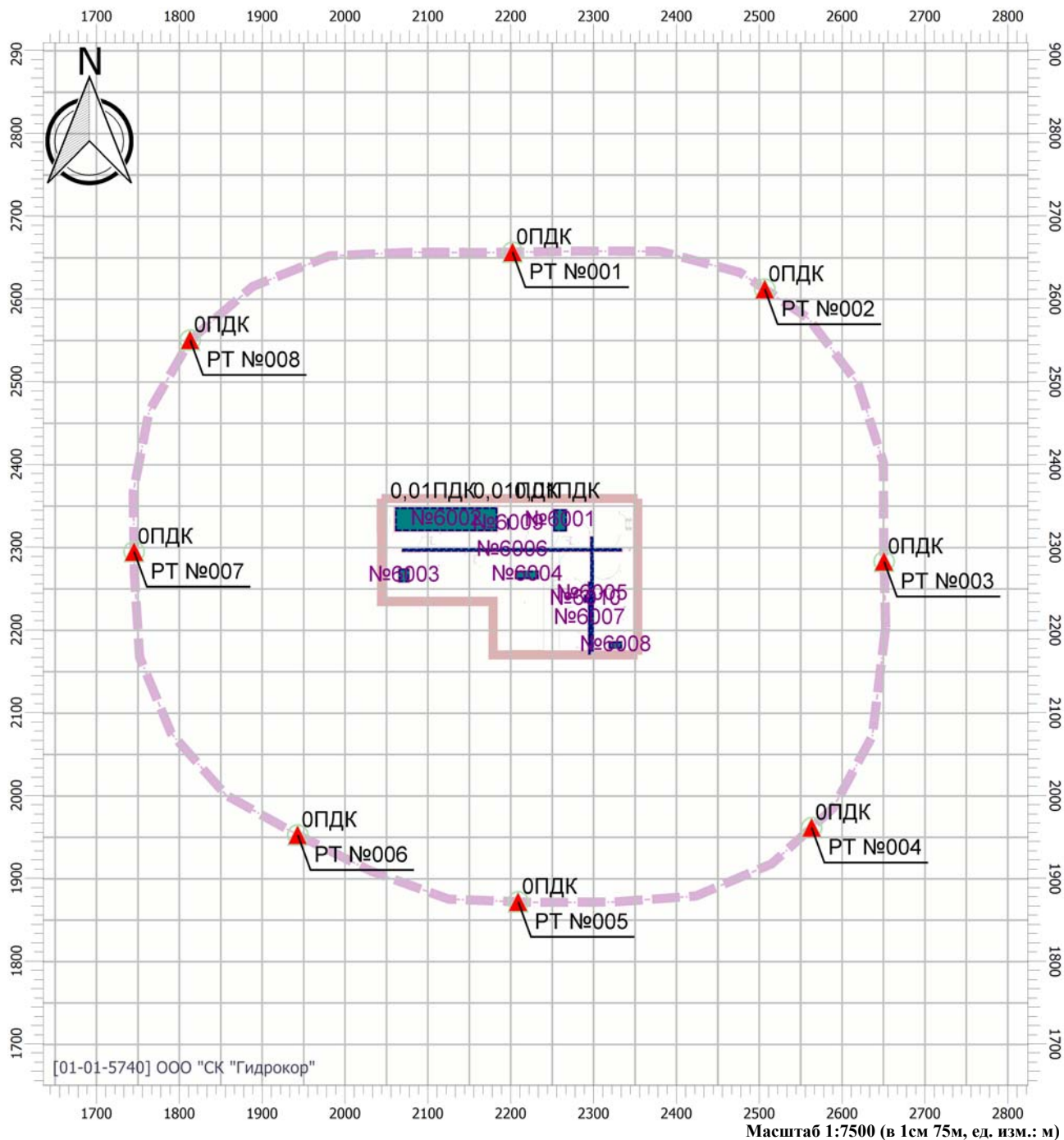
16:06] , ЛЕТО

Тип расчета: Расчеты по веществам

Код расчета: 0303 (Аммиак)

Параметр: Концентрация вредного вещества (в долях ПДК)

Высота 2м



## Цветовая схема

0 и ниже ПДК	(0,05 - 0,1] ПДК	(0,1 - 0,2] ПДК	(0,2 - 0,3] ПДК
(0,3 - 0,4] ПДК	(0,4 - 0,5] ПДК	(0,5 - 0,6] ПДК	(0,6 - 0,7] ПДК
(0,7 - 0,8] ПДК	(0,8 - 0,9] ПДК	(0,9 - 1] ПДК	(1 - 1,5] ПДК
(1,5 - 2] ПДК	(2 - 3] ПДК	(3 - 4] ПДК	(4 - 5] ПДК
(5 - 7,5] ПДК	(7,5 - 10] ПДК	(10 - 25] ПДК	(25 - 50] ПДК
(50 - 100] ПДК	(100 - 250] ПДК	(250 - 500] ПДК	(500 - 1000] ПДК
(1000 - 5000] ПДК	(5000 - 10000] ПДК	(10000 - 100000] ПДК	выше 100000 ПДК

# Карта рассеивания загрязняющего вещества в атмосфере (вариант 2)

Вариант расчета: Биодегма (10) - Расчет рассеивания по МРР-2017 [11.02.2021 16:05 - 11.02.2021

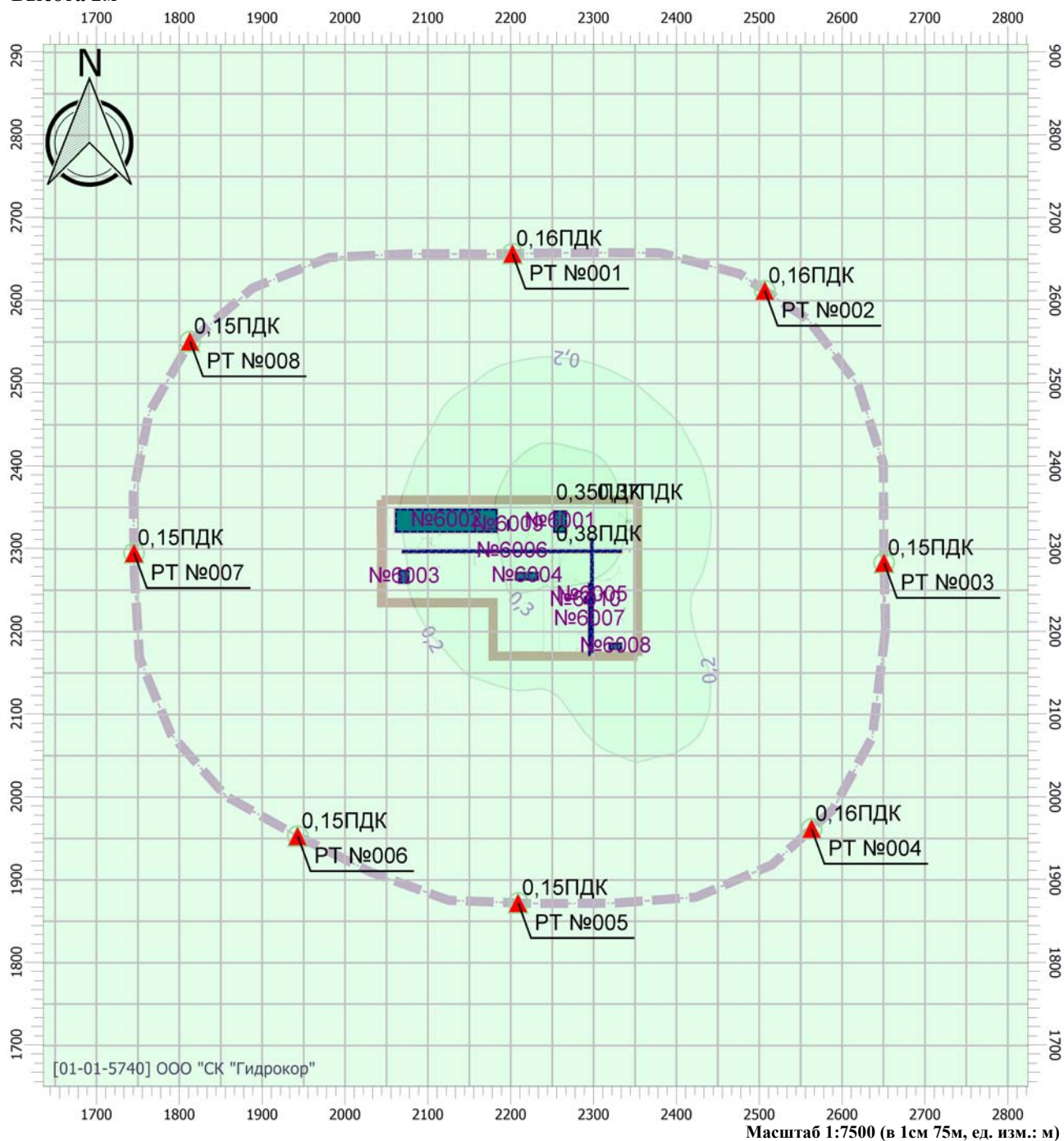
16:06] , ЛЕТО

Тип расчета: Расчеты по веществам

Код расчета: 0304 (Азот (II) оксид (Азота оксид))

Параметр: Концентрация вредного вещества (в долях ПДК)

Высота 2м



## Цветовая схема

0 и ниже ПДК	(0,05 - 0,1] ПДК	(0,1 - 0,2] ПДК	(0,2 - 0,3] ПДК
(0,3 - 0,4] ПДК	(0,4 - 0,5] ПДК	(0,5 - 0,6] ПДК	(0,6 - 0,7] ПДК
(0,7 - 0,8] ПДК	(0,8 - 0,9] ПДК	(0,9 - 1] ПДК	(1 - 1,5] ПДК
(1,5 - 2] ПДК	(2 - 3] ПДК	(3 - 4] ПДК	(4 - 5] ПДК
(5 - 7,5] ПДК	(7,5 - 10] ПДК	(10 - 25] ПДК	(25 - 50] ПДК
(50 - 100] ПДК	(100 - 250] ПДК	(250 - 500] ПДК	(500 - 1000] ПДК
(1000 - 5000] ПДК	(5000 - 10000] ПДК	(10000 - 100000] ПДК	выше 100000 ПДК

# Карта рассеивания загрязняющего вещества в атмосфере (вариант 2)

Вариант расчета: Биодегма (10) - Расчет рассеивания по МРР-2017 [11.02.2021 16:05 - 11.02.2021

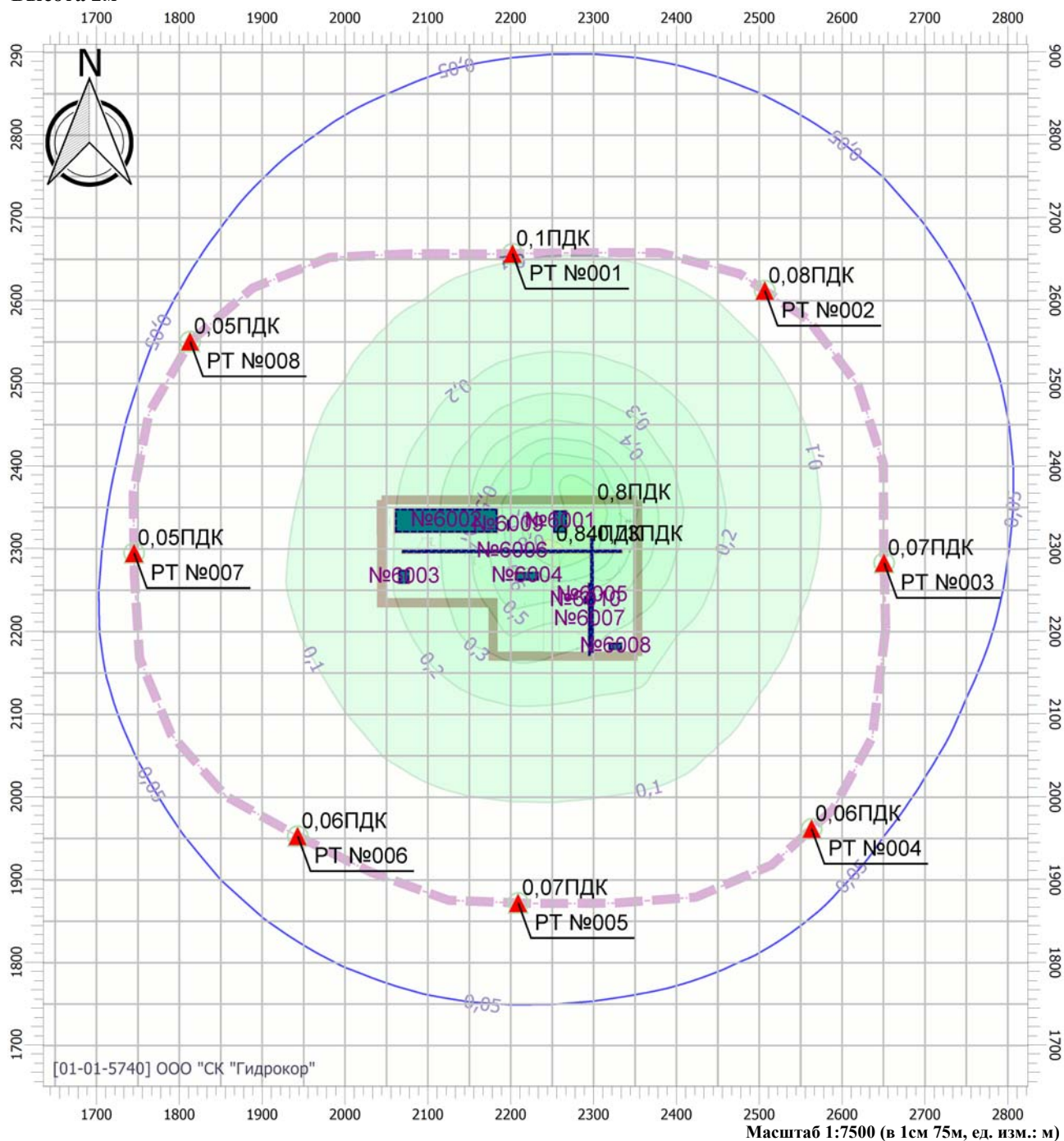
16:06] , ЛЕТО

Тип расчета: Расчеты по веществам

Код расчета: 0328 (Углерод (Сажа))

Параметр: Концентрация вредного вещества (в долях ПДК)

Высота 2м



## Цветовая схема

0 и ниже ПДК	(0,05 - 0,1] ПДК	(0,1 - 0,2] ПДК	(0,2 - 0,3] ПДК
(0,3 - 0,4] ПДК	(0,4 - 0,5] ПДК	(0,5 - 0,6] ПДК	(0,6 - 0,7] ПДК
(0,7 - 0,8] ПДК	(0,8 - 0,9] ПДК	(0,9 - 1] ПДК	(1 - 1,5] ПДК
(1,5 - 2] ПДК	(2 - 3] ПДК	(3 - 4] ПДК	(4 - 5] ПДК
(5 - 7,5] ПДК	(7,5 - 10] ПДК	(10 - 25] ПДК	(25 - 50] ПДК
(50 - 100] ПДК	(100 - 250] ПДК	(250 - 500] ПДК	(500 - 1000] ПДК
(1000 - 5000] ПДК	(5000 - 10000] ПДК	(10000 - 100000] ПДК	выше 100000 ПДК

# Карта рассеивания загрязняющего вещества в атмосфере (вариант 2)

Вариант расчета: Биодегма (10) - Расчет рассеивания по МРР-2017 [11.02.2021 16:05 - 11.02.2021

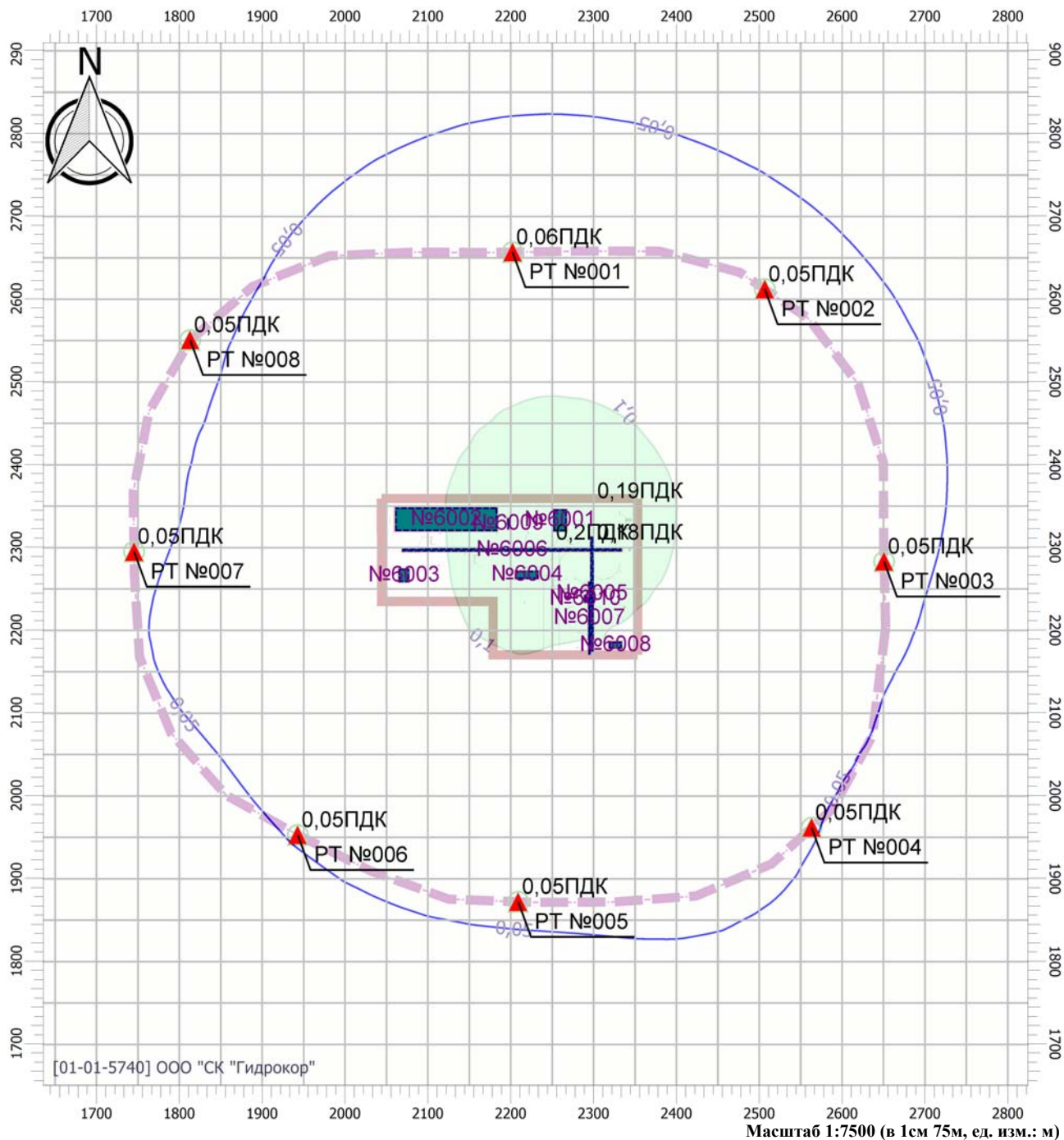
16:06] , ЛЕТО

Тип расчета: Расчеты по веществам

Код расчета: 0330 (Сера диоксид (Ангидрид сернистый))

Параметр: Концентрация вредного вещества (в долях ПДК)

Высота 2м



## Цветовая схема

0 и ниже ПДК	(0,05 - 0,1] ПДК	(0,1 - 0,2] ПДК	(0,2 - 0,3] ПДК
(0,3 - 0,4] ПДК	(0,4 - 0,5] ПДК	(0,5 - 0,6] ПДК	(0,6 - 0,7] ПДК
(0,7 - 0,8] ПДК	(0,8 - 0,9] ПДК	(0,9 - 1] ПДК	(1 - 1,5] ПДК
(1,5 - 2] ПДК	(2 - 3] ПДК	(3 - 4] ПДК	(4 - 5] ПДК
(5 - 7,5] ПДК	(7,5 - 10] ПДК	(10 - 25] ПДК	(25 - 50] ПДК
(50 - 100] ПДК	(100 - 250] ПДК	(250 - 500] ПДК	(500 - 1000] ПДК
(1000 - 5000] ПДК	(5000 - 10000] ПДК	(10000 - 100000] ПДК	выше 100000 ПДК

# Карта рассеивания загрязняющего вещества в атмосфере (вариант 2)

Вариант расчета: Биодегма (10) - Расчет рассеивания по МРР-2017 [11.02.2021 16:05 - 11.02.2021

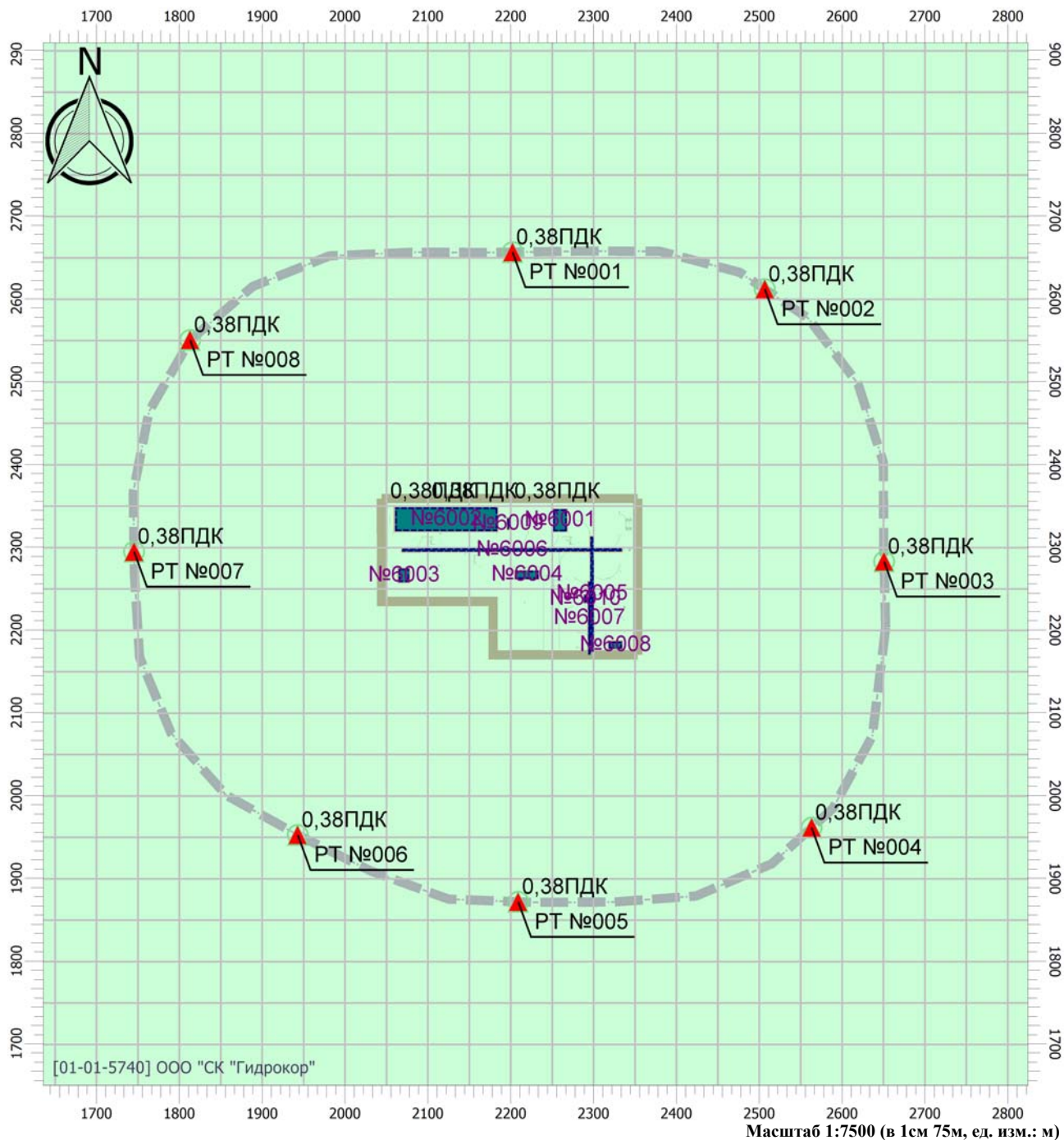
16:06] , ЛЕТО

Тип расчета: Расчеты по веществам

Код расчета: 0333 (Дигидросульфид (Сероводород))

Параметр: Концентрация вредного вещества (в долях ПДК)

Высота 2м



## Цветовая схема

0 и ниже ПДК	(0,05 - 0,1] ПДК	(0,1 - 0,2] ПДК	(0,2 - 0,3] ПДК
(0,3 - 0,4] ПДК	(0,4 - 0,5] ПДК	(0,5 - 0,6] ПДК	(0,6 - 0,7] ПДК
(0,7 - 0,8] ПДК	(0,8 - 0,9] ПДК	(0,9 - 1] ПДК	(1 - 1,5] ПДК
(1,5 - 2] ПДК	(2 - 3] ПДК	(3 - 4] ПДК	(4 - 5] ПДК
(5 - 7,5] ПДК	(7,5 - 10] ПДК	(10 - 25] ПДК	(25 - 50] ПДК
(50 - 100] ПДК	(100 - 250] ПДК	(250 - 500] ПДК	(500 - 1000] ПДК
(1000 - 5000] ПДК	(5000 - 10000] ПДК	(10000 - 100000] ПДК	выше 100000 ПДК

# Карта рассеивания загрязняющего вещества в атмосфере (вариант 2)

Вариант расчета: Биодегма (10) - Расчет рассеивания по МРР-2017 [11.02.2021 16:05 - 11.02.2021

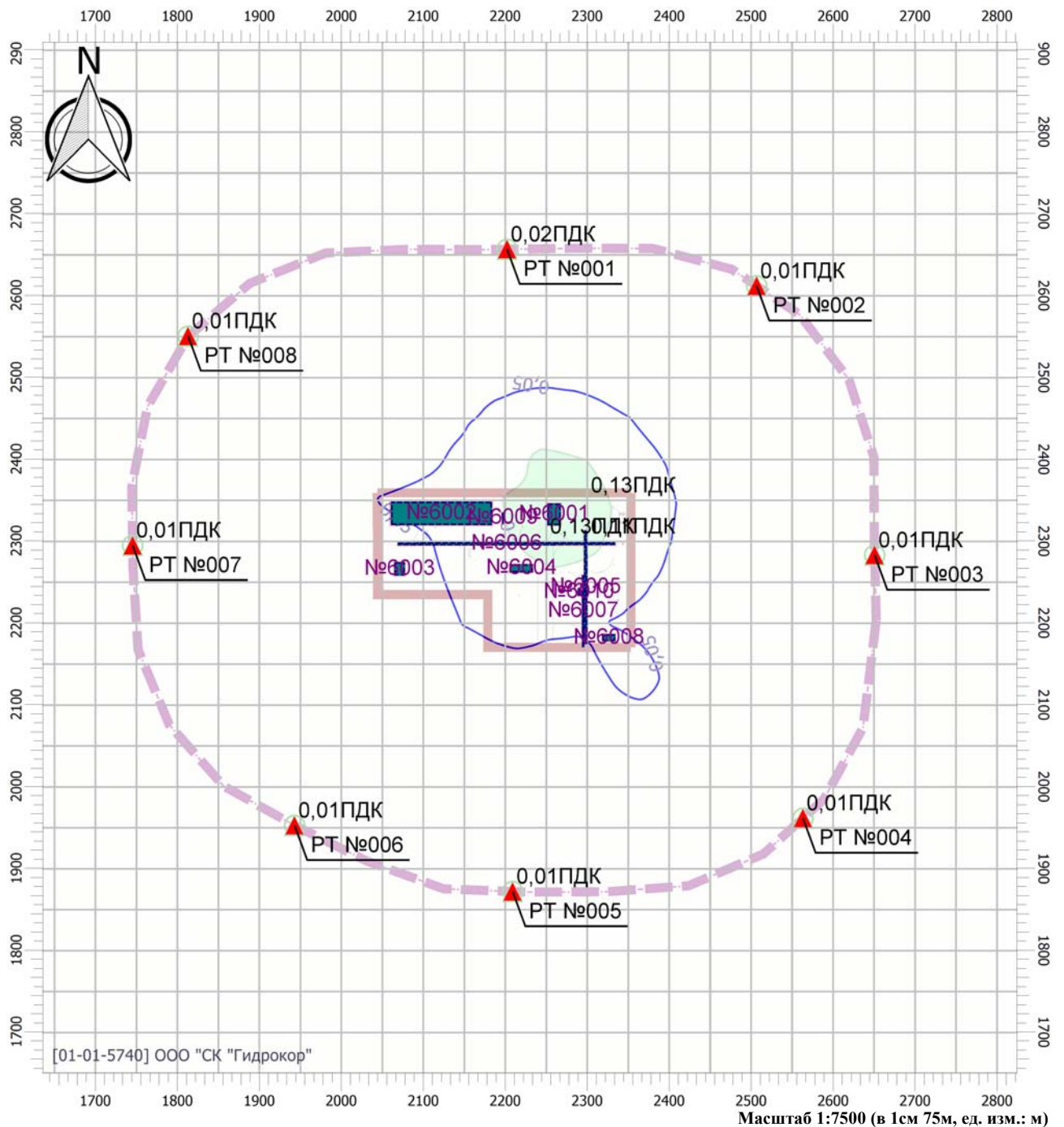
16:06] , ЛЕТО

Тип расчета: Расчеты по веществам

Код расчета: 0337 (Углерод оксид)

Параметр: Концентрация вредного вещества (в долях ПДК)

Высота 2м



## Цветовая схема

0 и ниже ПДК	(0,05 - 0,1] ПДК	(0,1 - 0,2] ПДК	(0,2 - 0,3] ПДК
(0,3 - 0,4] ПДК	(0,4 - 0,5] ПДК	(0,5 - 0,6] ПДК	(0,6 - 0,7] ПДК
(0,7 - 0,8] ПДК	(0,8 - 0,9] ПДК	(0,9 - 1] ПДК	(1 - 1,5] ПДК
(1,5 - 2] ПДК	(2 - 3] ПДК	(3 - 4] ПДК	(4 - 5] ПДК
(5 - 7,5] ПДК	(7,5 - 10] ПДК	(10 - 25] ПДК	(25 - 50] ПДК
(50 - 100] ПДК	(100 - 250] ПДК	(250 - 500] ПДК	(500 - 1000] ПДК
(1000 - 5000] ПДК	(5000 - 10000] ПДК	(10000 - 100000] ПДК	выше 100000 ПДК

# Карта рассеивания загрязняющего вещества в атмосфере (вариант 2)

Вариант расчета: Биодегма (10) - Расчет рассеивания по МРР-2017 [11.02.2021 16:05 - 11.02.2021

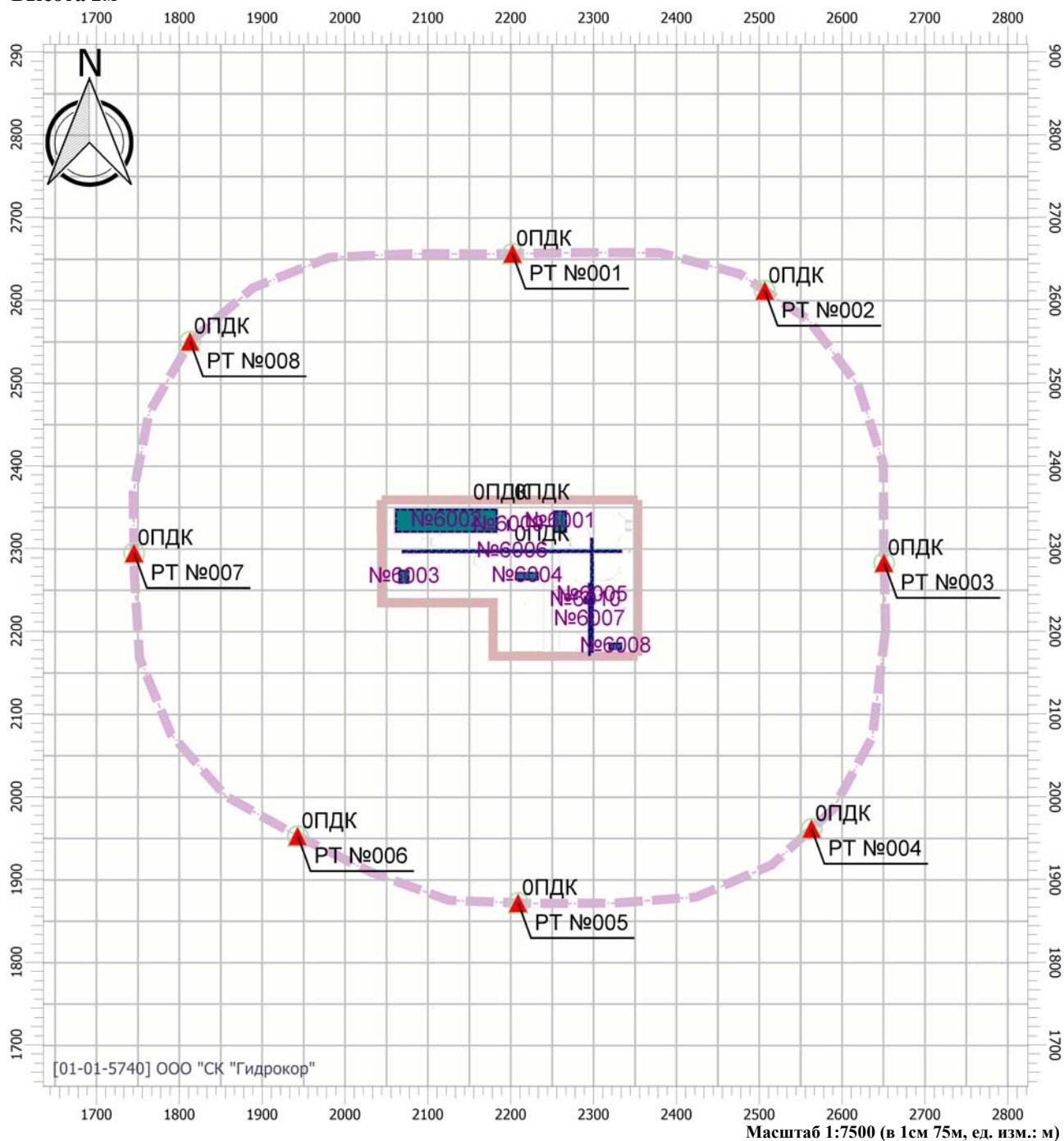
16:06] , ЛЕТО

Тип расчета: Расчеты по веществам

Код расчета: 0410 (Метан)

Параметр: Концентрация вредного вещества (в долях ПДК)

Высота 2м



## Цветовая схема

0 и ниже ПДК	(0,05 - 0,1] ПДК	(0,1 - 0,2] ПДК	(0,2 - 0,3] ПДК
(0,3 - 0,4] ПДК	(0,4 - 0,5] ПДК	(0,5 - 0,6] ПДК	(0,6 - 0,7] ПДК
(0,7 - 0,8] ПДК	(0,8 - 0,9] ПДК	(0,9 - 1] ПДК	(1 - 1,5] ПДК
(1,5 - 2] ПДК	(2 - 3] ПДК	(3 - 4] ПДК	(4 - 5] ПДК
(5 - 7,5] ПДК	(7,5 - 10] ПДК	(10 - 25] ПДК	(25 - 50] ПДК
(50 - 100] ПДК	(100 - 250] ПДК	(250 - 500] ПДК	(500 - 1000] ПДК
(1000 - 5000] ПДК	(5000 - 10000] ПДК	(10000 - 100000] ПДК	выше 100000 ПДК

# Карта рассеивания загрязняющего вещества в атмосфере (вариант 2)

Вариант расчета: Биодегма (10) - Расчет рассеивания по МРР-2017 [11.02.2021 16:05 - 11.02.2021

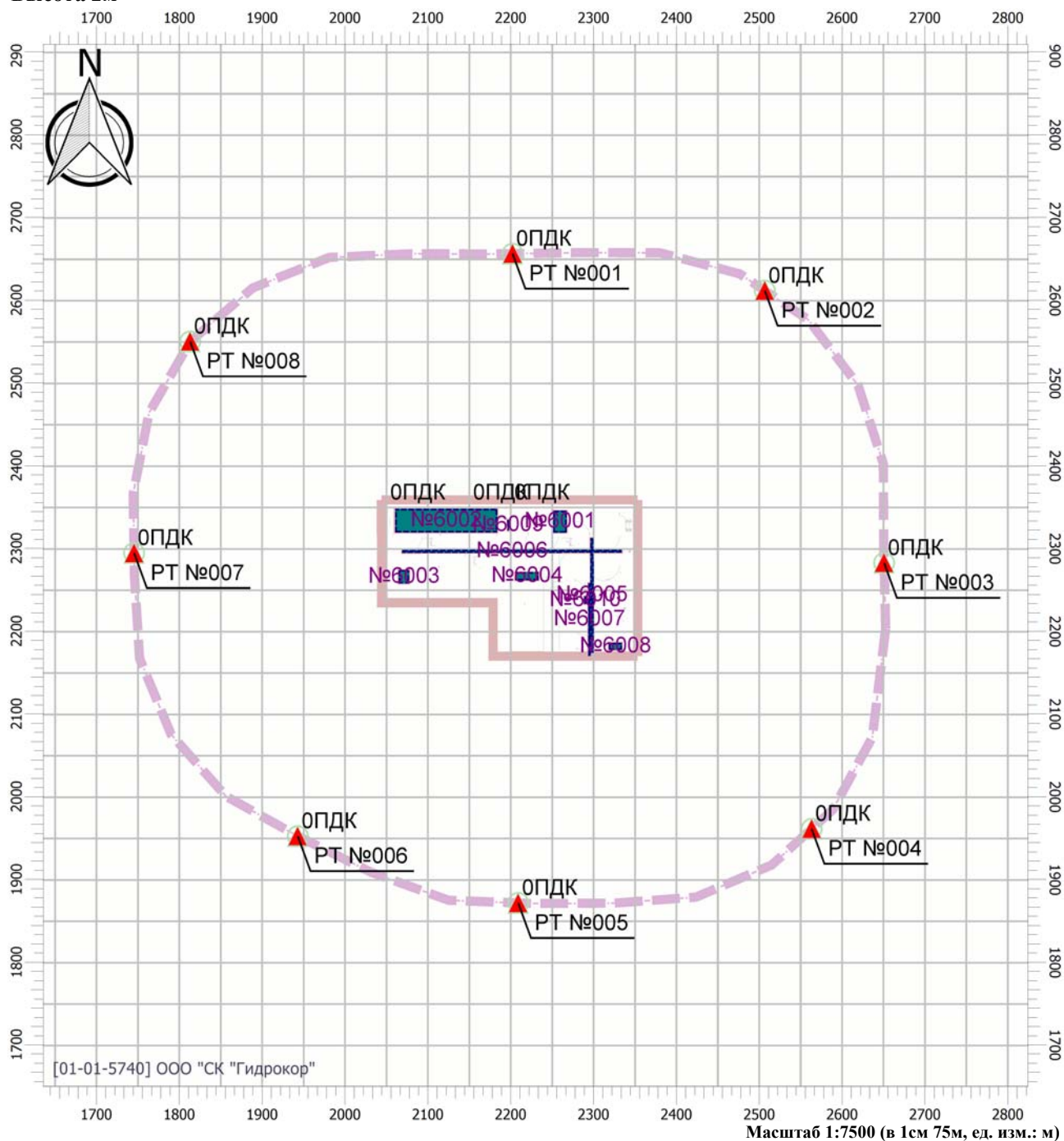
16:06] , ЛЕТО

Тип расчета: Расчеты по веществам

Код расчета: 0416 (Смесь углеводородов предельных С6-С10)

Параметр: Концентрация вредного вещества (в долях ПДК)

Высота 2м



## Цветовая схема

0 и ниже ПДК	(0,05 - 0,1] ПДК	(0,1 - 0,2] ПДК	(0,2 - 0,3] ПДК
(0,3 - 0,4] ПДК	(0,4 - 0,5] ПДК	(0,5 - 0,6] ПДК	(0,6 - 0,7] ПДК
(0,7 - 0,8] ПДК	(0,8 - 0,9] ПДК	(0,9 - 1] ПДК	(1 - 1,5] ПДК
(1,5 - 2] ПДК	(2 - 3] ПДК	(3 - 4] ПДК	(4 - 5] ПДК
(5 - 7,5] ПДК	(7,5 - 10] ПДК	(10 - 25] ПДК	(25 - 50] ПДК
(50 - 100] ПДК	(100 - 250] ПДК	(250 - 500] ПДК	(500 - 1000] ПДК
(1000 - 5000] ПДК	(5000 - 10000] ПДК	(10000 - 100000] ПДК	выше 100000 ПДК

# Карта рассеивания загрязняющего вещества в атмосфере (вариант 2)

Вариант расчета: Биодегма (10) - Расчет рассеивания по МРР-2017 [11.02.2021 16:05 - 11.02.2021

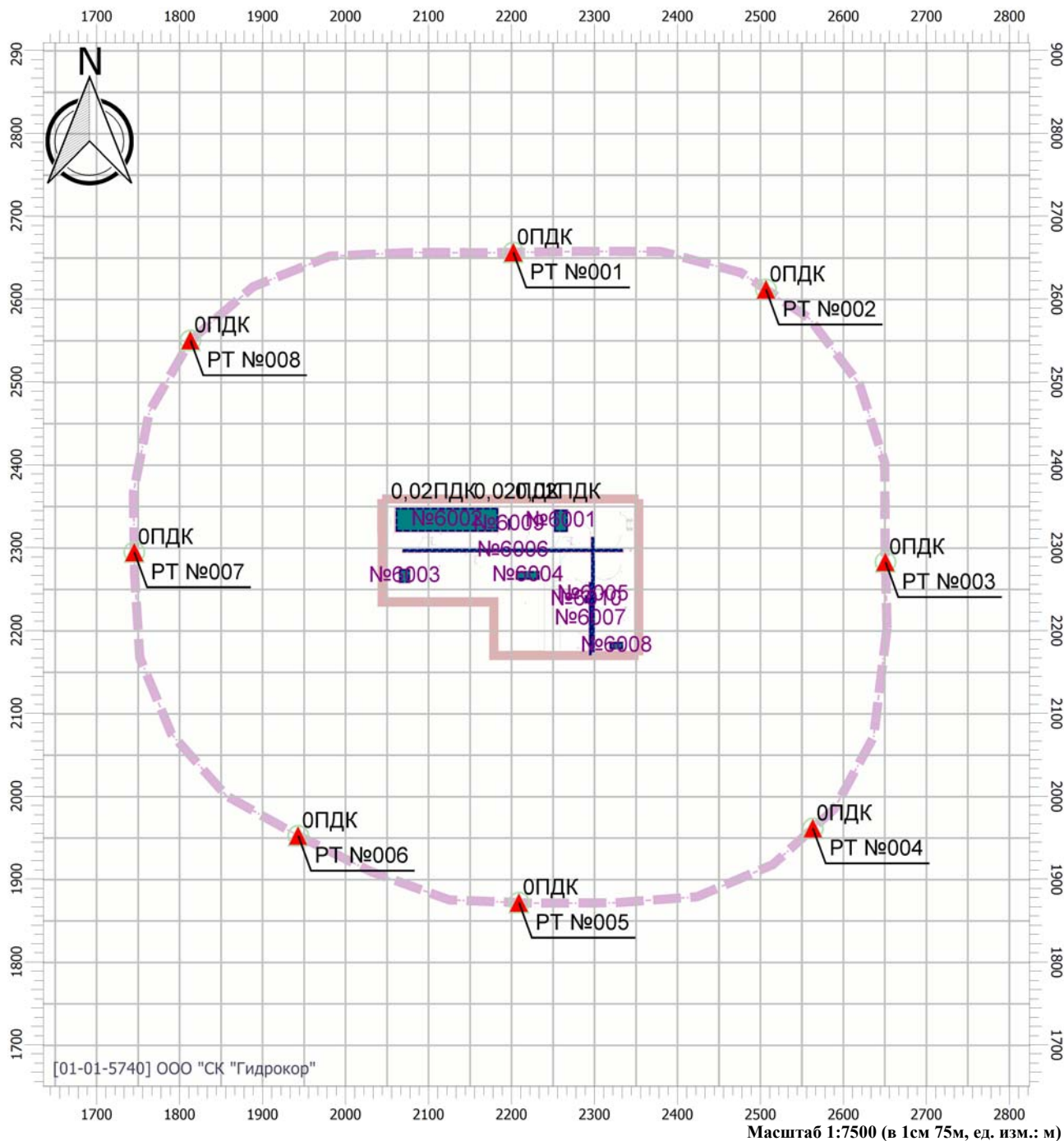
16:06] , ЛЕТО

Тип расчета: Расчеты по веществам

Код расчета: 0602 (Бензол)

Параметр: Концентрация вредного вещества (в долях ПДК)

Высота 2м



## Цветовая схема

0 и ниже ПДК	(0,05 - 0,1] ПДК	(0,1 - 0,2] ПДК	(0,2 - 0,3] ПДК
(0,3 - 0,4] ПДК	(0,4 - 0,5] ПДК	(0,5 - 0,6] ПДК	(0,6 - 0,7] ПДК
(0,7 - 0,8] ПДК	(0,8 - 0,9] ПДК	(0,9 - 1] ПДК	(1 - 1,5] ПДК
(1,5 - 2] ПДК	(2 - 3] ПДК	(3 - 4] ПДК	(4 - 5] ПДК
(5 - 7,5] ПДК	(7,5 - 10] ПДК	(10 - 25] ПДК	(25 - 50] ПДК
(50 - 100] ПДК	(100 - 250] ПДК	(250 - 500] ПДК	(500 - 1000] ПДК
(1000 - 5000] ПДК	(5000 - 10000] ПДК	(10000 - 100000] ПДК	выше 100000 ПДК

# Карта рассеивания загрязняющего вещества в атмосфере (вариант 2)

Вариант расчета: Биодегма (10) - Расчет рассеивания по МРР-2017 [11.02.2021 16:05 - 11.02.2021

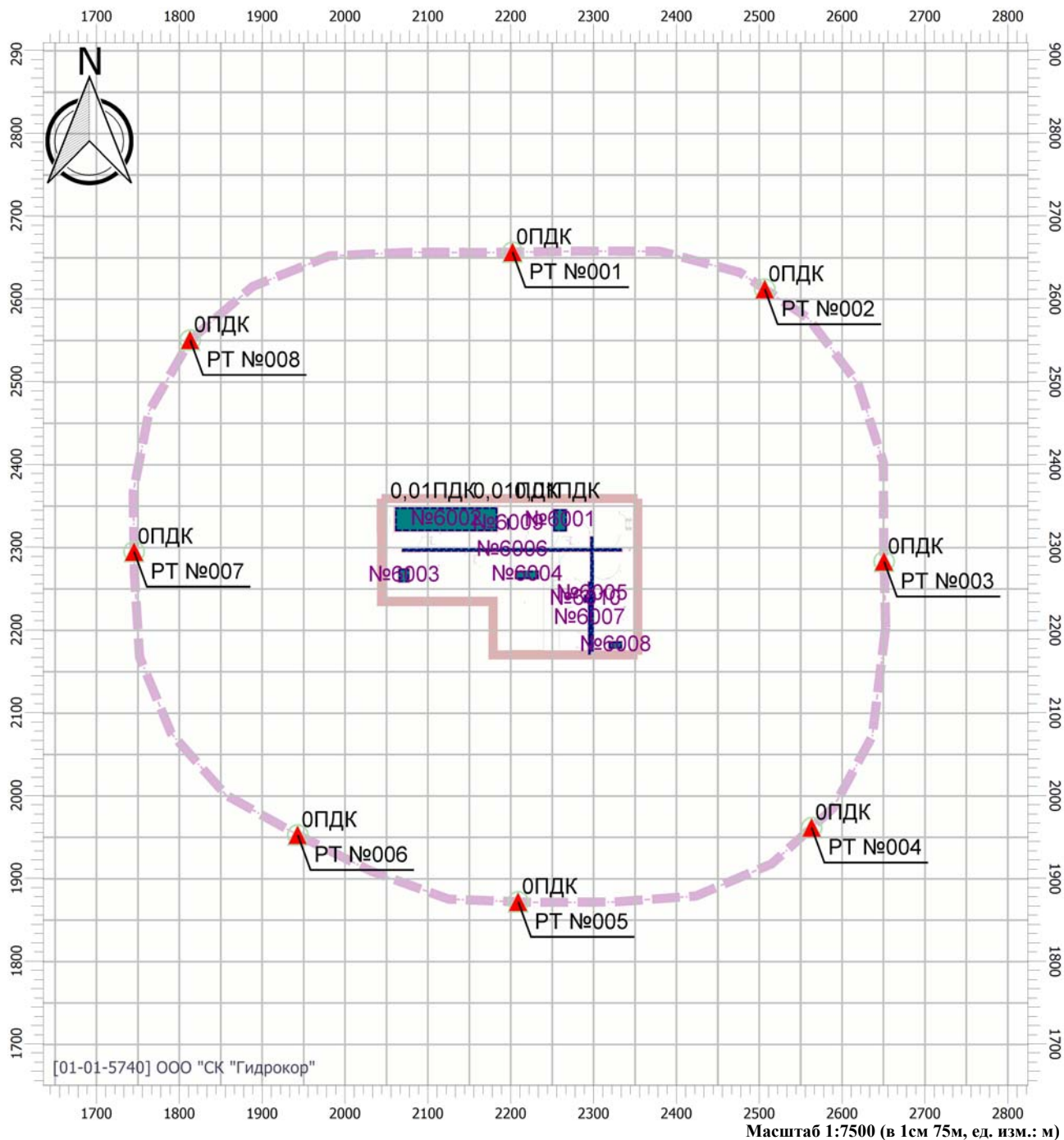
16:06] , ЛЕТО

Тип расчета: Расчеты по веществам

Код расчета: 0616 (Диметилбензол (Ксилол) (смесь изомеров о-, м-, п-))

Параметр: Концентрация вредного вещества (в долях ПДК)

Высота 2м



## Цветовая схема

0 и ниже ПДК	(0,05 - 0,1] ПДК	(0,1 - 0,2] ПДК	(0,2 - 0,3] ПДК
(0,3 - 0,4] ПДК	(0,4 - 0,5] ПДК	(0,5 - 0,6] ПДК	(0,6 - 0,7] ПДК
(0,7 - 0,8] ПДК	(0,8 - 0,9] ПДК	(0,9 - 1] ПДК	(1 - 1,5] ПДК
(1,5 - 2] ПДК	(2 - 3] ПДК	(3 - 4] ПДК	(4 - 5] ПДК
(5 - 7,5] ПДК	(7,5 - 10] ПДК	(10 - 25] ПДК	(25 - 50] ПДК
(50 - 100] ПДК	(100 - 250] ПДК	(250 - 500] ПДК	(500 - 1000] ПДК
(1000 - 5000] ПДК	(5000 - 10000] ПДК	(10000 - 100000] ПДК	выше 100000 ПДК

# Карта рассеивания загрязняющего вещества в атмосфере (вариант 2)

Вариант расчета: Биодегма (10) - Расчет рассеивания по МРР-2017 [11.02.2021 16:05 - 11.02.2021

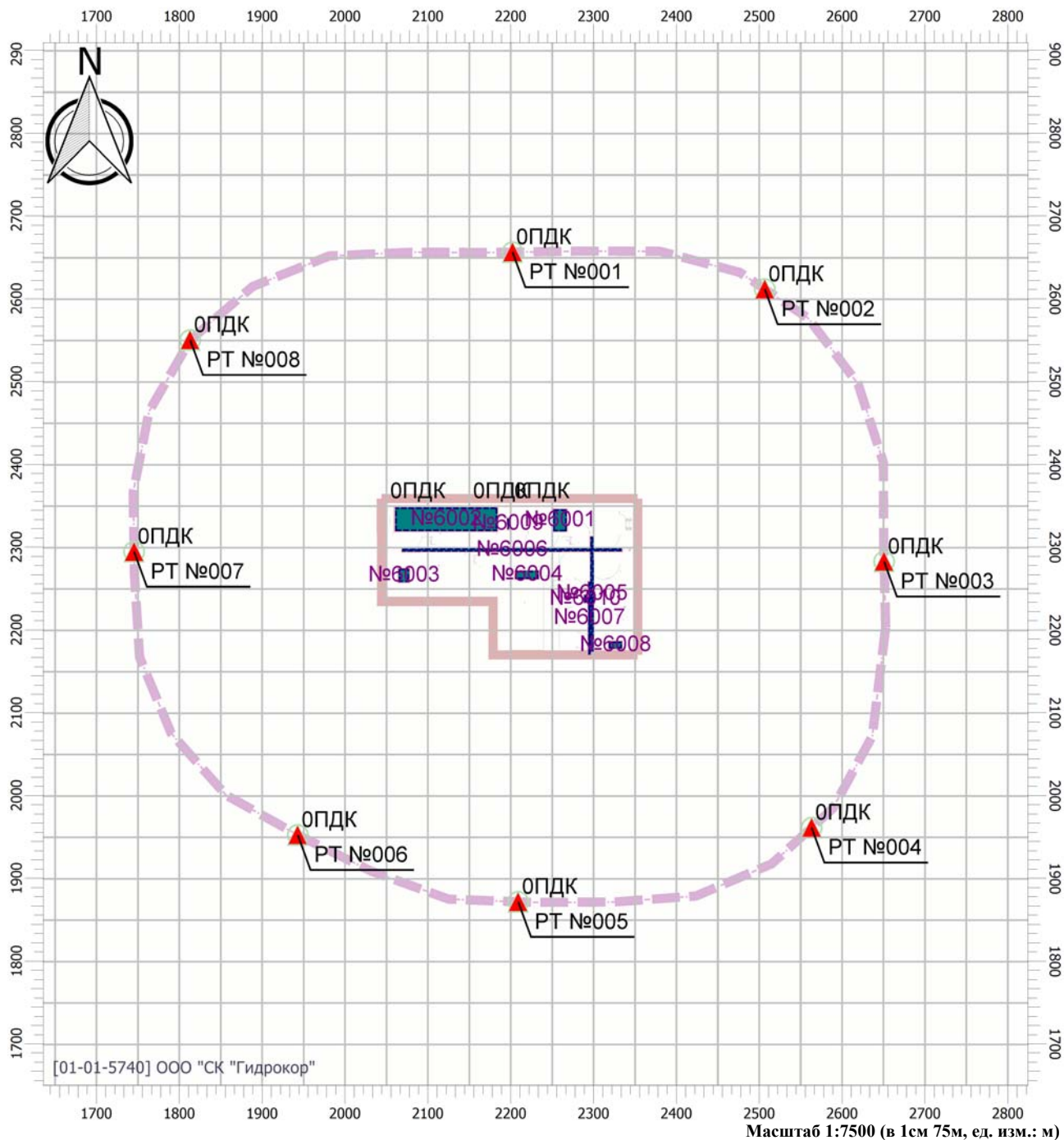
16:06] , ЛЕТО

Тип расчета: Расчеты по веществам

Код расчета: 0621 (Метилбензол (Толуол))

Параметр: Концентрация вредного вещества (в долях ПДК)

Высота 2м



## Цветовая схема

0 и ниже ПДК	(0,05 - 0,1] ПДК	(0,1 - 0,2] ПДК	(0,2 - 0,3] ПДК
(0,3 - 0,4] ПДК	(0,4 - 0,5] ПДК	(0,5 - 0,6] ПДК	(0,6 - 0,7] ПДК
(0,7 - 0,8] ПДК	(0,8 - 0,9] ПДК	(0,9 - 1] ПДК	(1 - 1,5] ПДК
(1,5 - 2] ПДК	(2 - 3] ПДК	(3 - 4] ПДК	(4 - 5] ПДК
(5 - 7,5] ПДК	(7,5 - 10] ПДК	(10 - 25] ПДК	(25 - 50] ПДК
(50 - 100] ПДК	(100 - 250] ПДК	(250 - 500] ПДК	(500 - 1000] ПДК
(1000 - 5000] ПДК	(5000 - 10000] ПДК	(10000 - 100000] ПДК	выше 100000 ПДК

# Карта рассеивания загрязняющего вещества в атмосфере (вариант 2)

Вариант расчета: Биодегма (10) - Расчет рассеивания по МРР-2017 [11.02.2021 16:05 - 11.02.2021

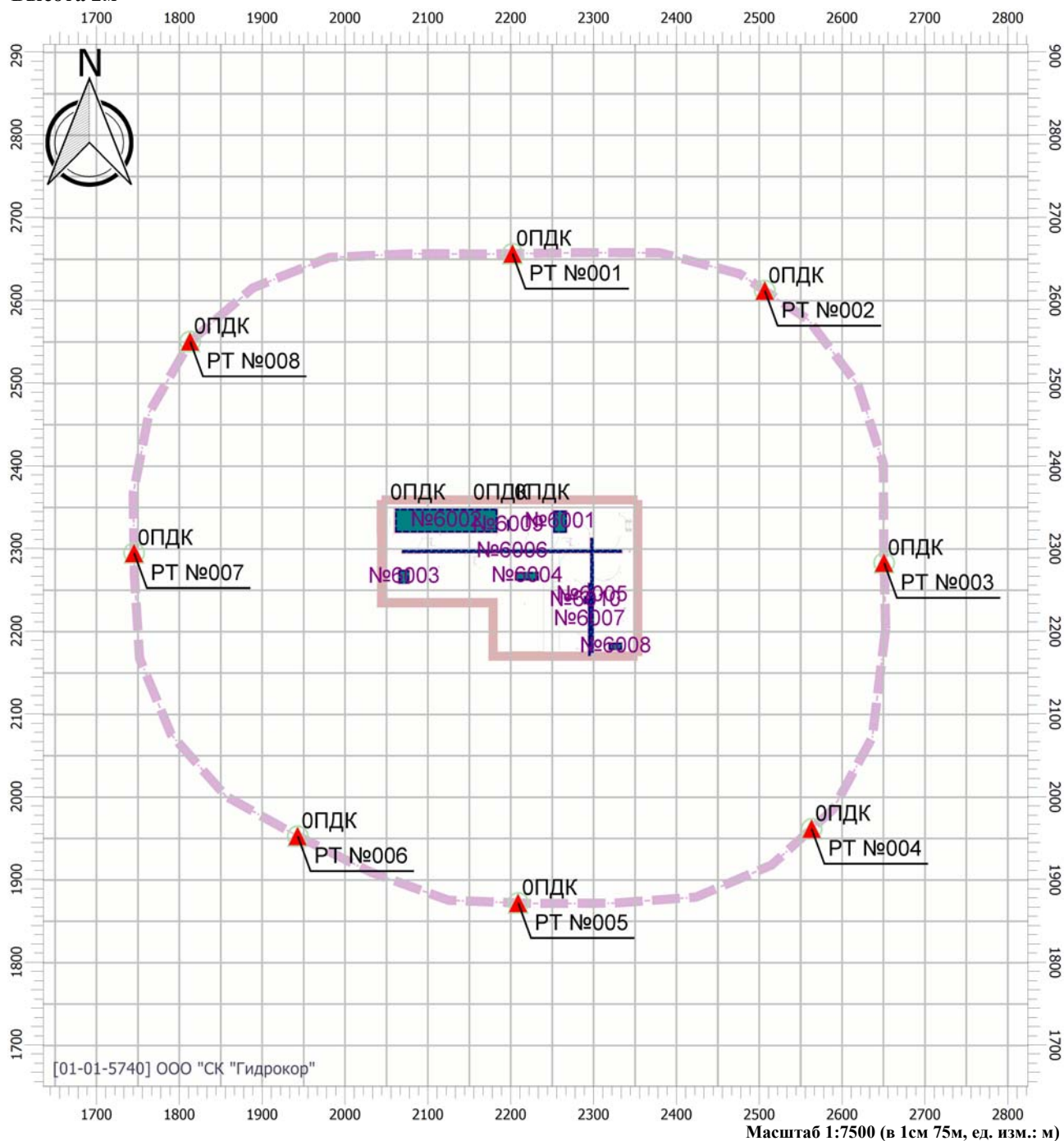
16:06] , ЛЕТО

Тип расчета: Расчеты по веществам

Код расчета: 0627 (Этилбензол)

Параметр: Концентрация вредного вещества (в долях ПДК)

Высота 2м



## Цветовая схема

0 и ниже ПДК	(0,05 - 0,1] ПДК	(0,1 - 0,2] ПДК	(0,2 - 0,3] ПДК
(0,3 - 0,4] ПДК	(0,4 - 0,5] ПДК	(0,5 - 0,6] ПДК	(0,6 - 0,7] ПДК
(0,7 - 0,8] ПДК	(0,8 - 0,9] ПДК	(0,9 - 1] ПДК	(1 - 1,5] ПДК
(1,5 - 2] ПДК	(2 - 3] ПДК	(3 - 4] ПДК	(4 - 5] ПДК
(5 - 7,5] ПДК	(7,5 - 10] ПДК	(10 - 25] ПДК	(25 - 50] ПДК
(50 - 100] ПДК	(100 - 250] ПДК	(250 - 500] ПДК	(500 - 1000] ПДК
(1000 - 5000] ПДК	(5000 - 10000] ПДК	(10000 - 100000] ПДК	выше 100000 ПДК

# Карта рассеивания загрязняющего вещества в атмосфере (вариант 2)

Вариант расчета: Биодегма (10) - Расчет рассеивания по МРР-2017 [11.02.2021 16:05 - 11.02.2021

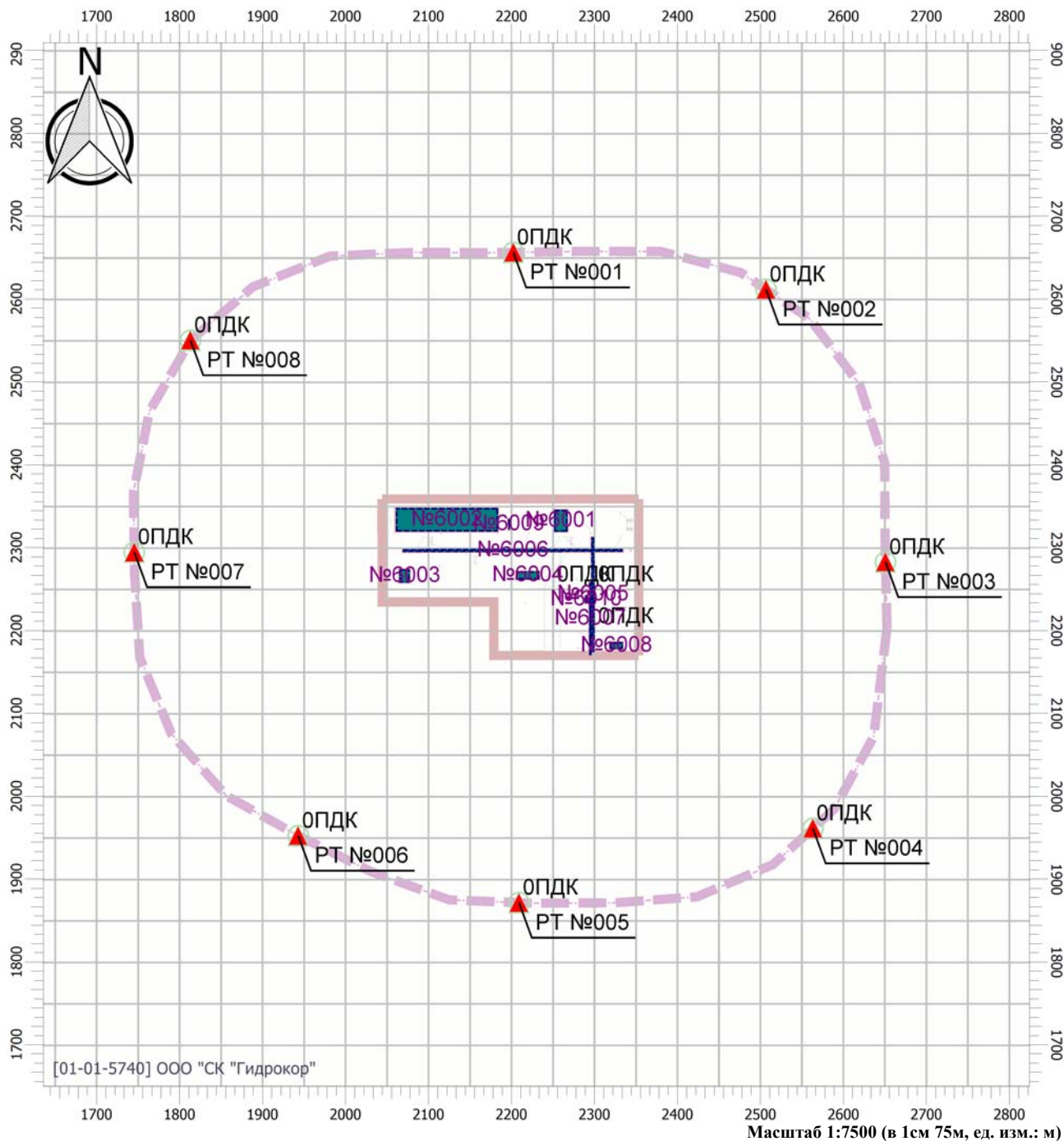
16:06] , ЛЕТО

Тип расчета: Расчеты по веществам

Код расчета: 1051 (Пропан-2-ол (Изопропиловый спирт)

Параметр: Концентрация вредного вещества (в долях ПДК)

Высота 2м



## Цветовая схема

0 и ниже ПДК	(0,05 - 0,1] ПДК	(0,1 - 0,2] ПДК	(0,2 - 0,3] ПДК
(0,3 - 0,4] ПДК	(0,4 - 0,5] ПДК	(0,5 - 0,6] ПДК	(0,6 - 0,7] ПДК
(0,7 - 0,8] ПДК	(0,8 - 0,9] ПДК	(0,9 - 1] ПДК	(1 - 1,5] ПДК
(1,5 - 2] ПДК	(2 - 3] ПДК	(3 - 4] ПДК	(4 - 5] ПДК
(5 - 7,5] ПДК	(7,5 - 10] ПДК	(10 - 25] ПДК	(25 - 50] ПДК
(50 - 100] ПДК	(100 - 250] ПДК	(250 - 500] ПДК	(500 - 1000] ПДК
(1000 - 5000] ПДК	(5000 - 10000] ПДК	(10000 - 100000] ПДК	выше 100000 ПДК

# Карта рассеивания загрязняющего вещества в атмосфере (вариант 2)

Вариант расчета: Биодегма (10) - Расчет рассеивания по МРР-2017 [11.02.2021 16:05 - 11.02.2021

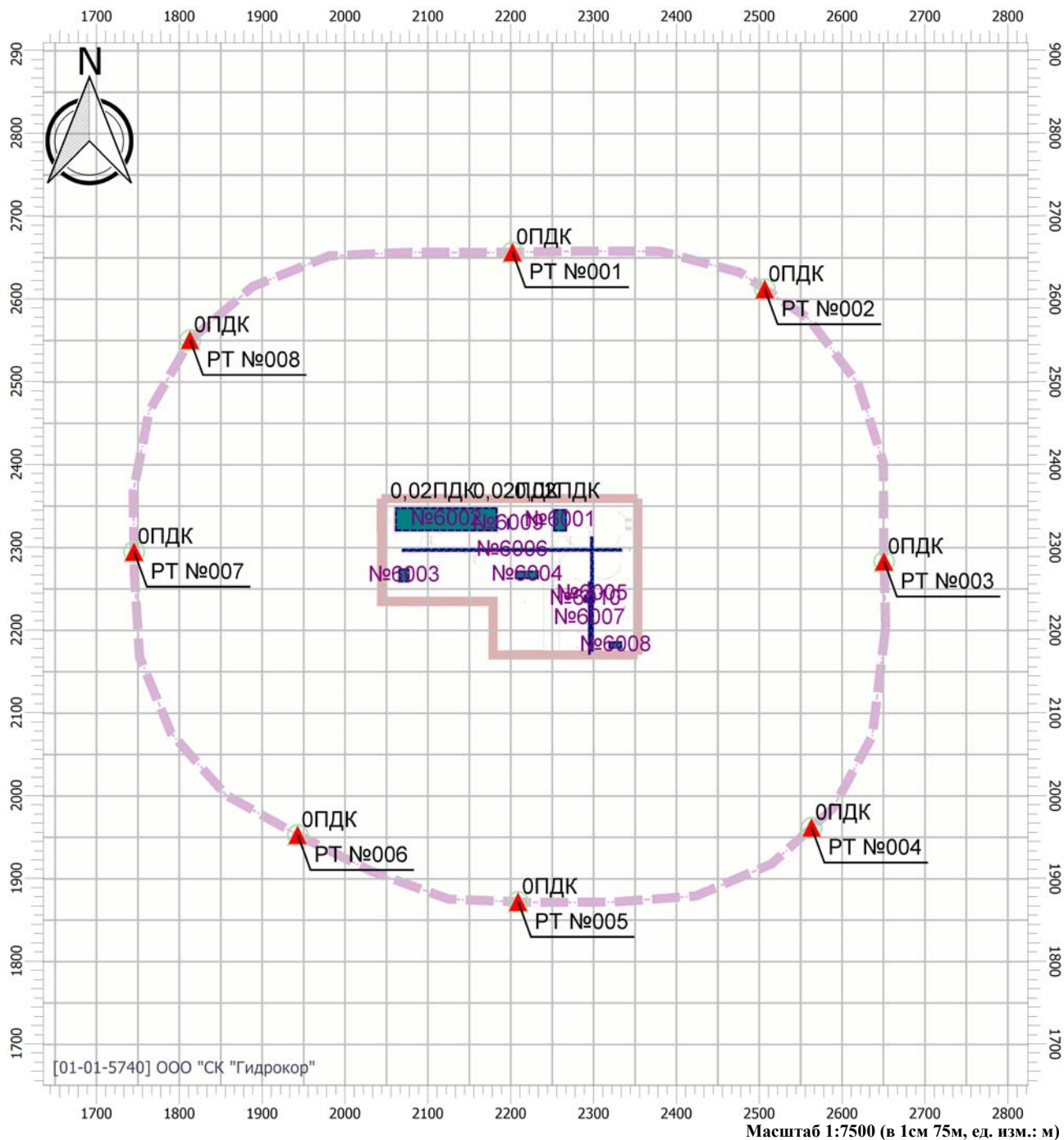
16:06] , ЛЕТО

Тип расчета: Расчеты по веществам

Код расчета: 1071 (Гидроксibenзол (Фенол))

Параметр: Концентрация вредного вещества (в долях ПДК)

Высота 2м



## Цветовая схема

0 и ниже ПДК	(0,05 - 0,1] ПДК	(0,1 - 0,2] ПДК	(0,2 - 0,3] ПДК
(0,3 - 0,4] ПДК	(0,4 - 0,5] ПДК	(0,5 - 0,6] ПДК	(0,6 - 0,7] ПДК
(0,7 - 0,8] ПДК	(0,8 - 0,9] ПДК	(0,9 - 1] ПДК	(1 - 1,5] ПДК
(1,5 - 2] ПДК	(2 - 3] ПДК	(3 - 4] ПДК	(4 - 5] ПДК
(5 - 7,5] ПДК	(7,5 - 10] ПДК	(10 - 25] ПДК	(25 - 50] ПДК
(50 - 100] ПДК	(100 - 250] ПДК	(250 - 500] ПДК	(500 - 1000] ПДК
(1000 - 5000] ПДК	(5000 - 10000] ПДК	(10000 - 100000] ПДК	выше 100000 ПДК

# Карта рассеивания загрязняющего вещества в атмосфере (вариант 2)

Вариант расчета: Биодегма (10) - Расчет рассеивания по МРР-2017 [11.02.2021 16:05 - 11.02.2021

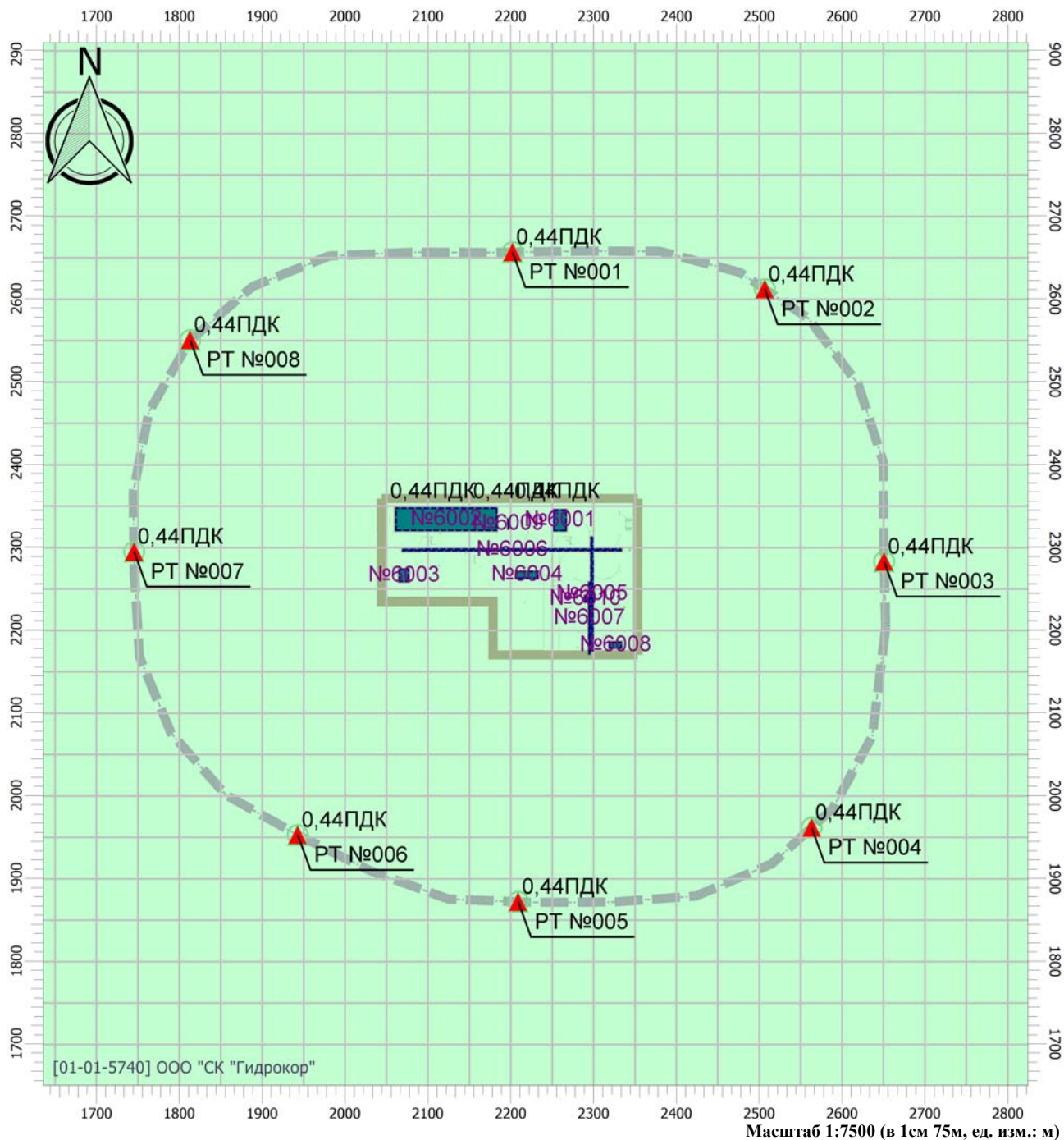
16:06] , ЛЕТО

Тип расчета: Расчеты по веществам

Код расчета: 1325 (Формальдегид)

Параметр: Концентрация вредного вещества (в долях ПДК)

Высота 2м



## Цветовая схема

0 и ниже ПДК	(0,05 - 0,1] ПДК	(0,1 - 0,2] ПДК	(0,2 - 0,3] ПДК
(0,3 - 0,4] ПДК	(0,4 - 0,5] ПДК	(0,5 - 0,6] ПДК	(0,6 - 0,7] ПДК
(0,7 - 0,8] ПДК	(0,8 - 0,9] ПДК	(0,9 - 1] ПДК	(1 - 1,5] ПДК
(1,5 - 2] ПДК	(2 - 3] ПДК	(3 - 4] ПДК	(4 - 5] ПДК
(5 - 7,5] ПДК	(7,5 - 10] ПДК	(10 - 25] ПДК	(25 - 50] ПДК
(50 - 100] ПДК	(100 - 250] ПДК	(250 - 500] ПДК	(500 - 1000] ПДК
(1000 - 5000] ПДК	(5000 - 10000] ПДК	(10000 - 100000] ПДК	выше 100000 ПДК

# Карта рассеивания загрязняющего вещества в атмосфере (вариант 2)

Вариант расчета: Биодегма (10) - Расчет рассеивания по МРР-2017 [11.02.2021 16:05 - 11.02.2021

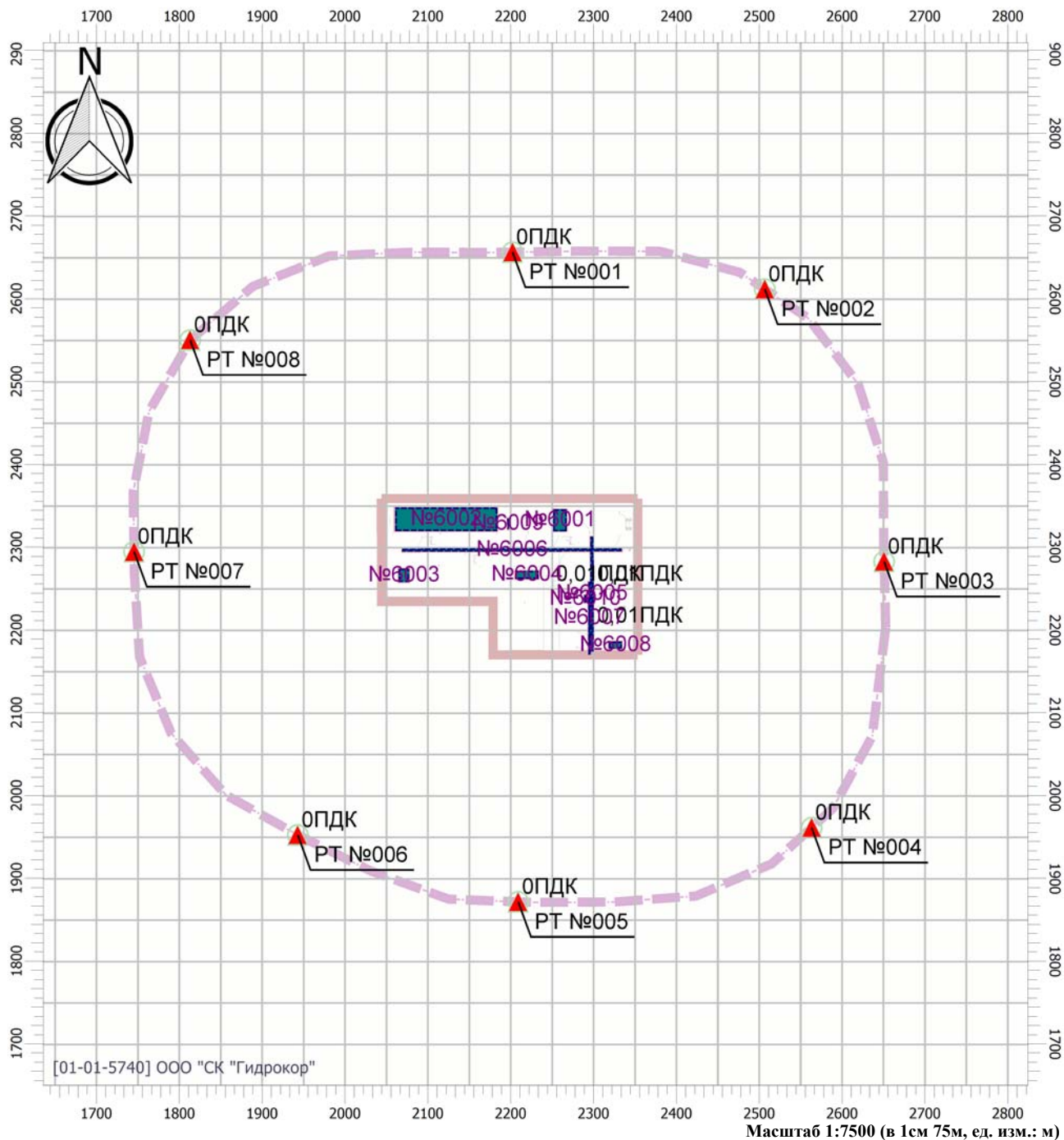
16:06] , ЛЕТО

Тип расчета: Расчеты по веществам

Код расчета: 1328 (Пентандиаль (Глутаральдегид; Глутаровый альдегид))

Параметр: Концентрация вредного вещества (в долях ПДК)

Высота 2м



## Цветовая схема

0 и ниже ПДК	(0,05 - 0,1] ПДК	(0,1 - 0,2] ПДК	(0,2 - 0,3] ПДК
(0,3 - 0,4] ПДК	(0,4 - 0,5] ПДК	(0,5 - 0,6] ПДК	(0,6 - 0,7] ПДК
(0,7 - 0,8] ПДК	(0,8 - 0,9] ПДК	(0,9 - 1] ПДК	(1 - 1,5] ПДК
(1,5 - 2] ПДК	(2 - 3] ПДК	(3 - 4] ПДК	(4 - 5] ПДК
(5 - 7,5] ПДК	(7,5 - 10] ПДК	(10 - 25] ПДК	(25 - 50] ПДК
(50 - 100] ПДК	(100 - 250] ПДК	(250 - 500] ПДК	(500 - 1000] ПДК
(1000 - 5000] ПДК	(5000 - 10000] ПДК	(10000 - 100000] ПДК	выше 100000 ПДК

# Карта рассеивания загрязняющего вещества в атмосфере (вариант 2)

Вариант расчета: Биодегма (10) - Расчет рассеивания по МРР-2017 [11.02.2021 16:05 - 11.02.2021

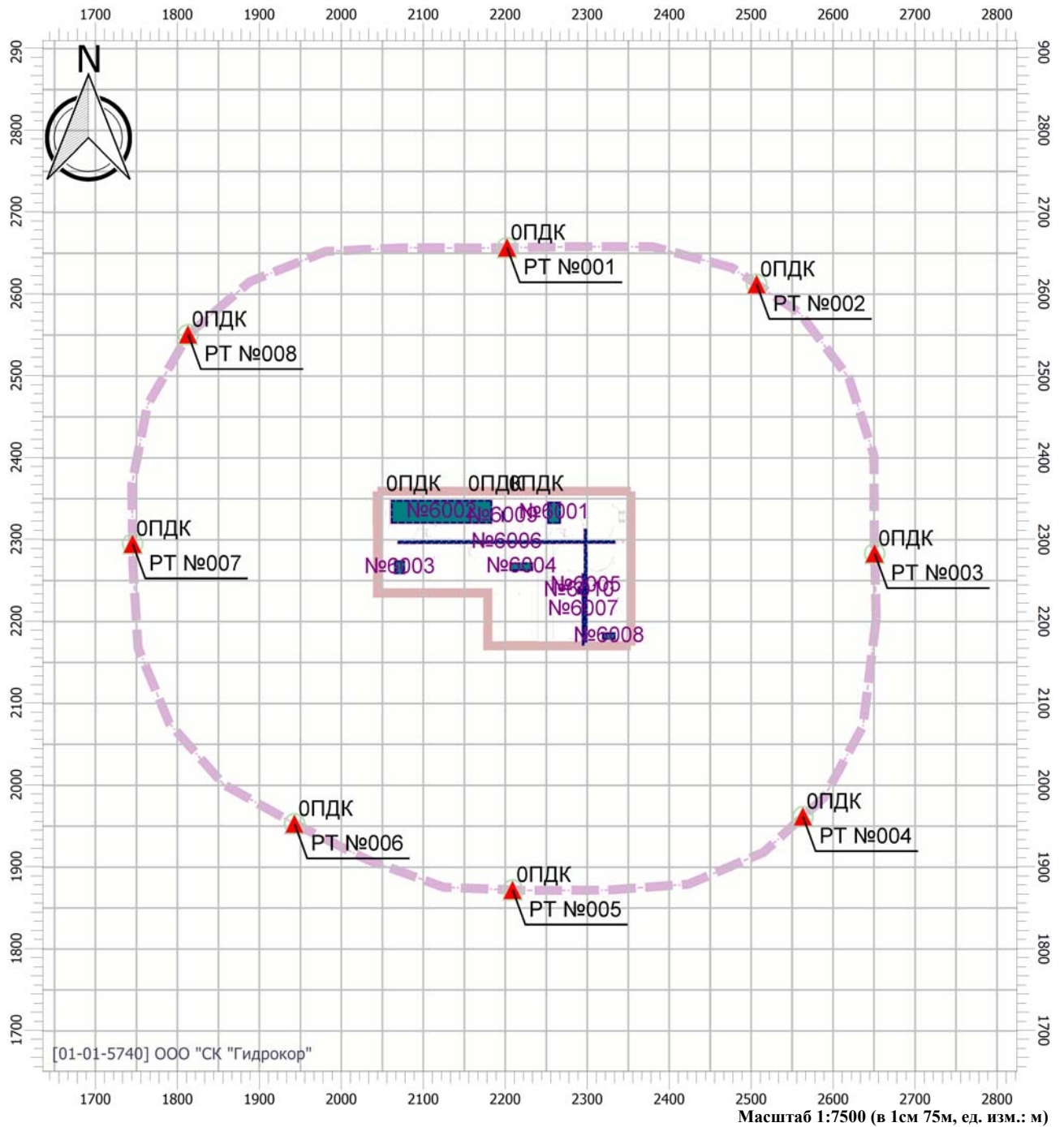
16:06] , ЛЕТО

Тип расчета: Расчеты по веществам

Код расчета: 1401 (Пропан-2-он (Ацетон))

Параметр: Концентрация вредного вещества (в долях ПДК)

Высота 2м



## Цветовая схема

0 и ниже ПДК	(0,05 - 0,1] ПДК	(0,1 - 0,2] ПДК	(0,2 - 0,3] ПДК
(0,3 - 0,4] ПДК	(0,4 - 0,5] ПДК	(0,5 - 0,6] ПДК	(0,6 - 0,7] ПДК
(0,7 - 0,8] ПДК	(0,8 - 0,9] ПДК	(0,9 - 1] ПДК	(1 - 1,5] ПДК
(1,5 - 2] ПДК	(2 - 3] ПДК	(3 - 4] ПДК	(4 - 5] ПДК
(5 - 7,5] ПДК	(7,5 - 10] ПДК	(10 - 25] ПДК	(25 - 50] ПДК
(50 - 100] ПДК	(100 - 250] ПДК	(250 - 500] ПДК	(500 - 1000] ПДК
(1000 - 5000] ПДК	(5000 - 10000] ПДК	(10000 - 100000] ПДК	выше 100000 ПДК

# Карта рассеивания загрязняющего вещества в атмосфере (вариант 2)

Вариант расчета: Биодегма (10) - Расчет рассеивания по МРР-2017 [11.02.2021 16:05 - 11.02.2021

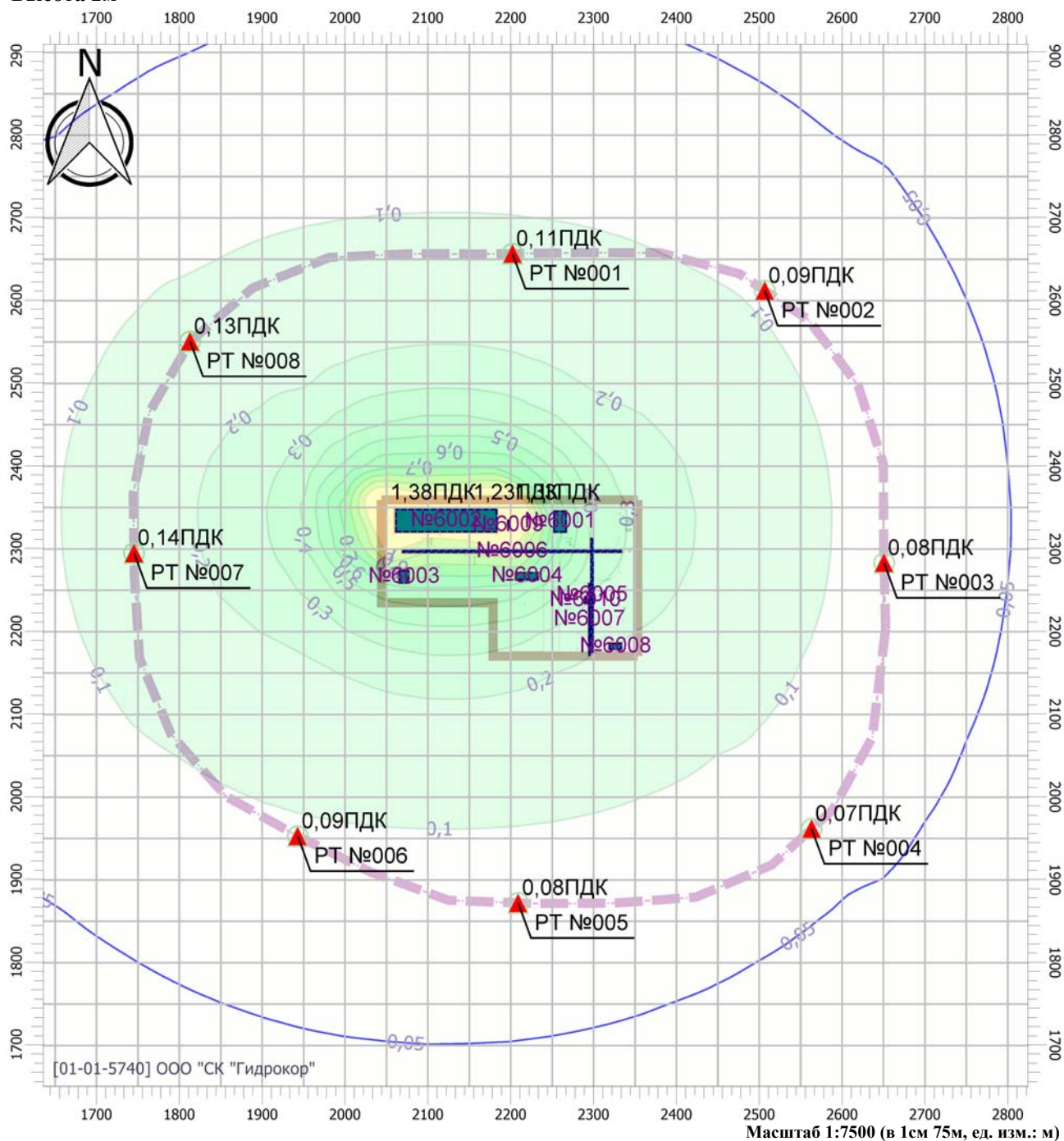
16:06] , ЛЕТО

Тип расчета: Расчеты по веществам

Код расчета: 1716 (Смесь природных меркаптанов /в пересчете на этилмеркаптан/ (Одор)

Параметр: Концентрация вредного вещества (в долях ПДК)

Высота 2м



## Цветовая схема

0 и ниже ПДК	(0,05 - 0,1] ПДК	(0,1 - 0,2] ПДК	(0,2 - 0,3] ПДК
(0,3 - 0,4] ПДК	(0,4 - 0,5] ПДК	(0,5 - 0,6] ПДК	(0,6 - 0,7] ПДК
(0,7 - 0,8] ПДК	(0,8 - 0,9] ПДК	(0,9 - 1] ПДК	(1 - 1,5] ПДК
(1,5 - 2] ПДК	(2 - 3] ПДК	(3 - 4] ПДК	(4 - 5] ПДК
(5 - 7,5] ПДК	(7,5 - 10] ПДК	(10 - 25] ПДК	(25 - 50] ПДК
(50 - 100] ПДК	(100 - 250] ПДК	(250 - 500] ПДК	(500 - 1000] ПДК
(1000 - 5000] ПДК	(5000 - 10000] ПДК	(10000 - 100000] ПДК	выше 100000 ПДК

# Карта рассеивания загрязняющего вещества в атмосфере (вариант 2)

Вариант расчета: Биодегма (10) - Расчет рассеивания по МРР-2017 [11.02.2021 16:05 - 11.02.2021

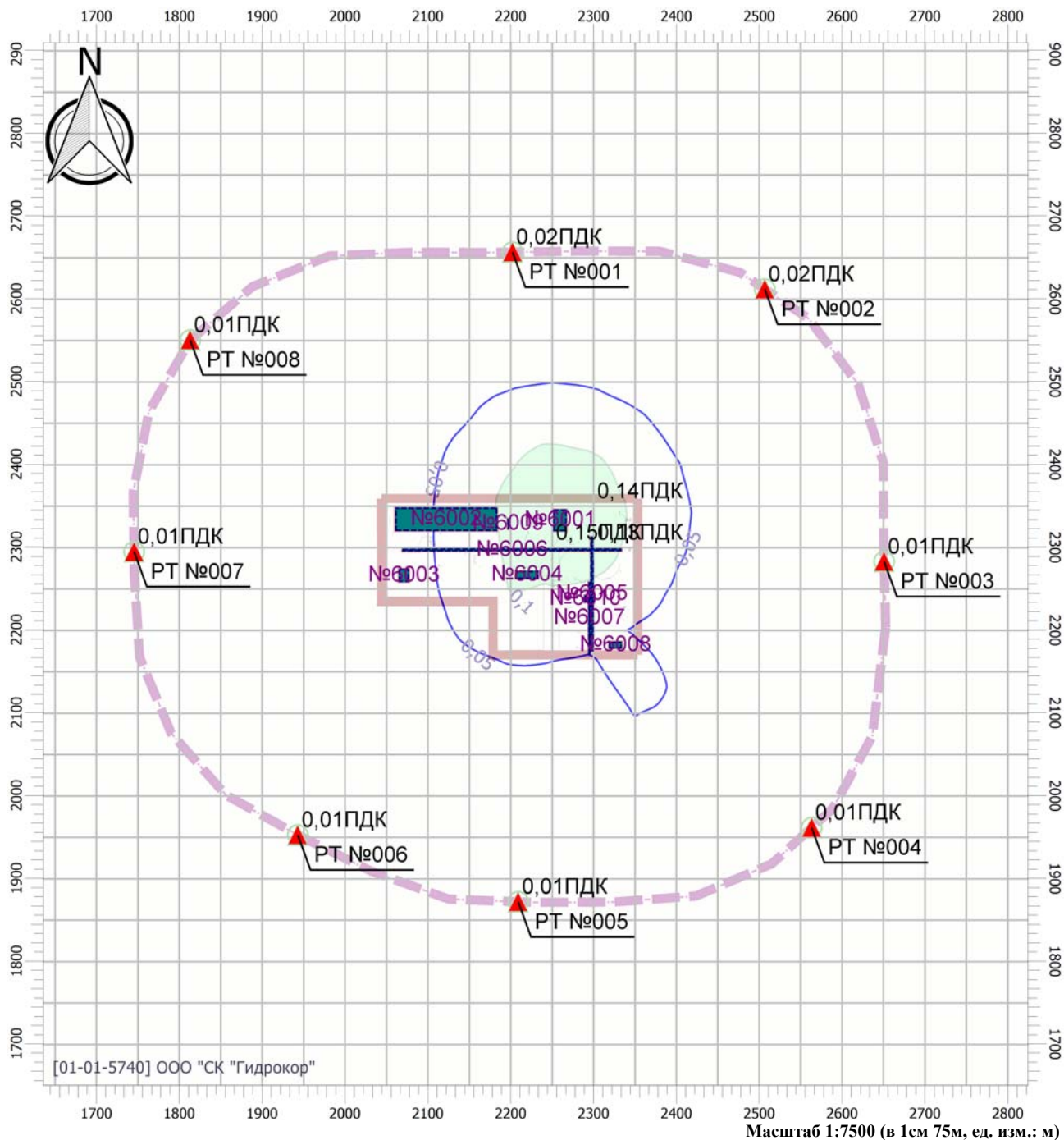
16:06] , ЛЕТО

Тип расчета: Расчеты по веществам

Код расчета: 2732 (Керосин)

Параметр: Концентрация вредного вещества (в долях ПДК)

Высота 2м



## Цветовая схема

0 и ниже ПДК	(0,05 - 0,1] ПДК	(0,1 - 0,2] ПДК	(0,2 - 0,3] ПДК
(0,3 - 0,4] ПДК	(0,4 - 0,5] ПДК	(0,5 - 0,6] ПДК	(0,6 - 0,7] ПДК
(0,7 - 0,8] ПДК	(0,8 - 0,9] ПДК	(0,9 - 1] ПДК	(1 - 1,5] ПДК
(1,5 - 2] ПДК	(2 - 3] ПДК	(3 - 4] ПДК	(4 - 5] ПДК
(5 - 7,5] ПДК	(7,5 - 10] ПДК	(10 - 25] ПДК	(25 - 50] ПДК
(50 - 100] ПДК	(100 - 250] ПДК	(250 - 500] ПДК	(500 - 1000] ПДК
(1000 - 5000] ПДК	(5000 - 10000] ПДК	(10000 - 100000] ПДК	выше 100000 ПДК

# Карта рассеивания загрязняющего вещества в атмосфере (вариант 2)

Вариант расчета: Биодегма (10) - Расчет рассеивания по МРР-2017 [11.02.2021 16:05 - 11.02.2021

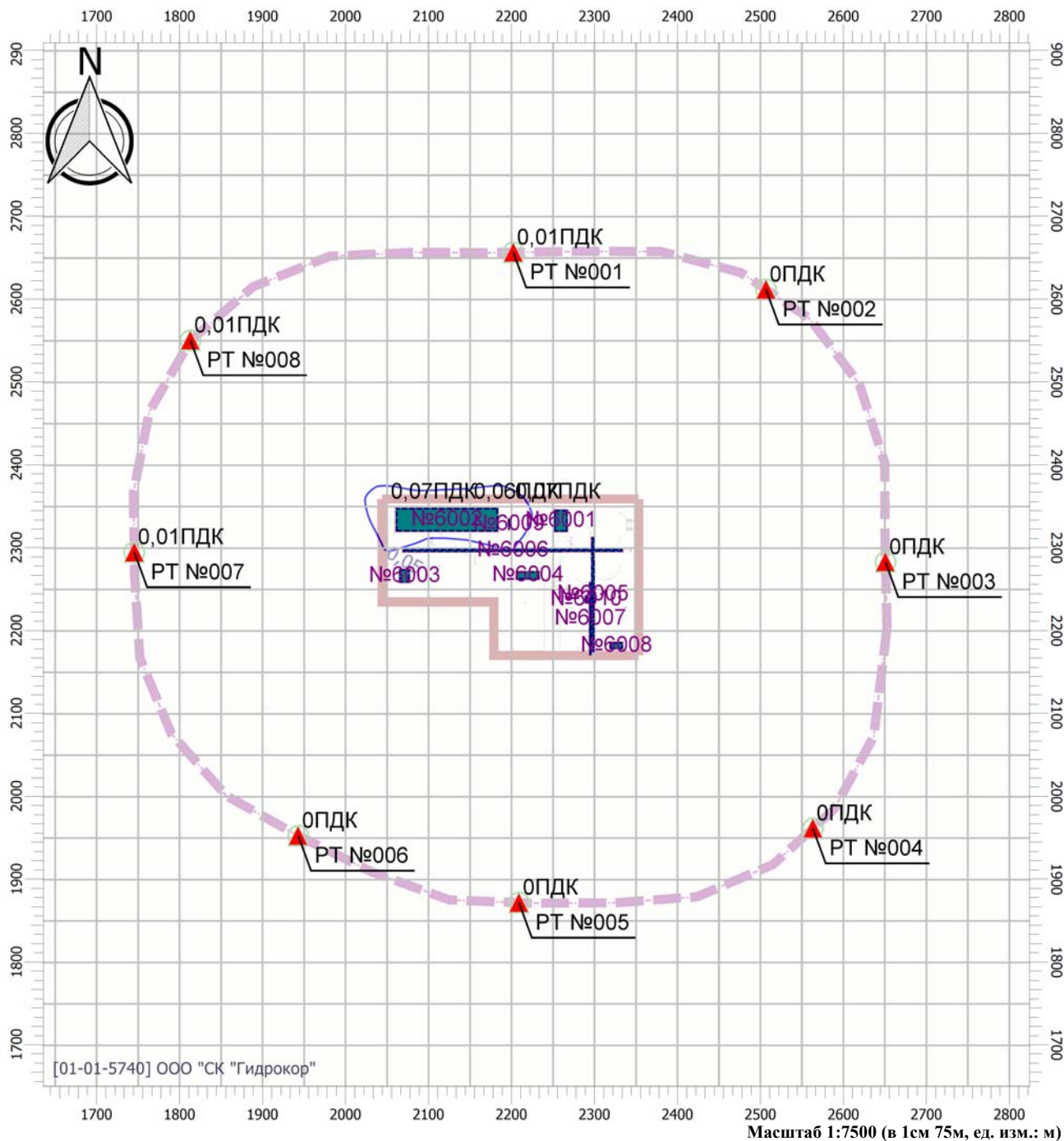
16:06] , ЛЕТО

Тип расчета: Расчеты по веществам

Код расчета: 2754 (Углеводороды предельные C12-C19)

Параметр: Концентрация вредного вещества (в долях ПДК)

Высота 2м



## Цветовая схема

0 и ниже ПДК	(0,05 - 0,1] ПДК	(0,1 - 0,2] ПДК	(0,2 - 0,3] ПДК
(0,3 - 0,4] ПДК	(0,4 - 0,5] ПДК	(0,5 - 0,6] ПДК	(0,6 - 0,7] ПДК
(0,7 - 0,8] ПДК	(0,8 - 0,9] ПДК	(0,9 - 1] ПДК	(1 - 1,5] ПДК
(1,5 - 2] ПДК	(2 - 3] ПДК	(3 - 4] ПДК	(4 - 5] ПДК
(5 - 7,5] ПДК	(7,5 - 10] ПДК	(10 - 25] ПДК	(25 - 50] ПДК
(50 - 100] ПДК	(100 - 250] ПДК	(250 - 500] ПДК	(500 - 1000] ПДК
(1000 - 5000] ПДК	(5000 - 10000] ПДК	(10000 - 100000] ПДК	выше 100000 ПДК

# Карта рассеивания загрязняющего вещества в атмосфере (вариант 2)

Вариант расчета: Биодегма (10) - Расчет рассеивания по МРР-2017 [11.02.2021 16:05 - 11.02.2021

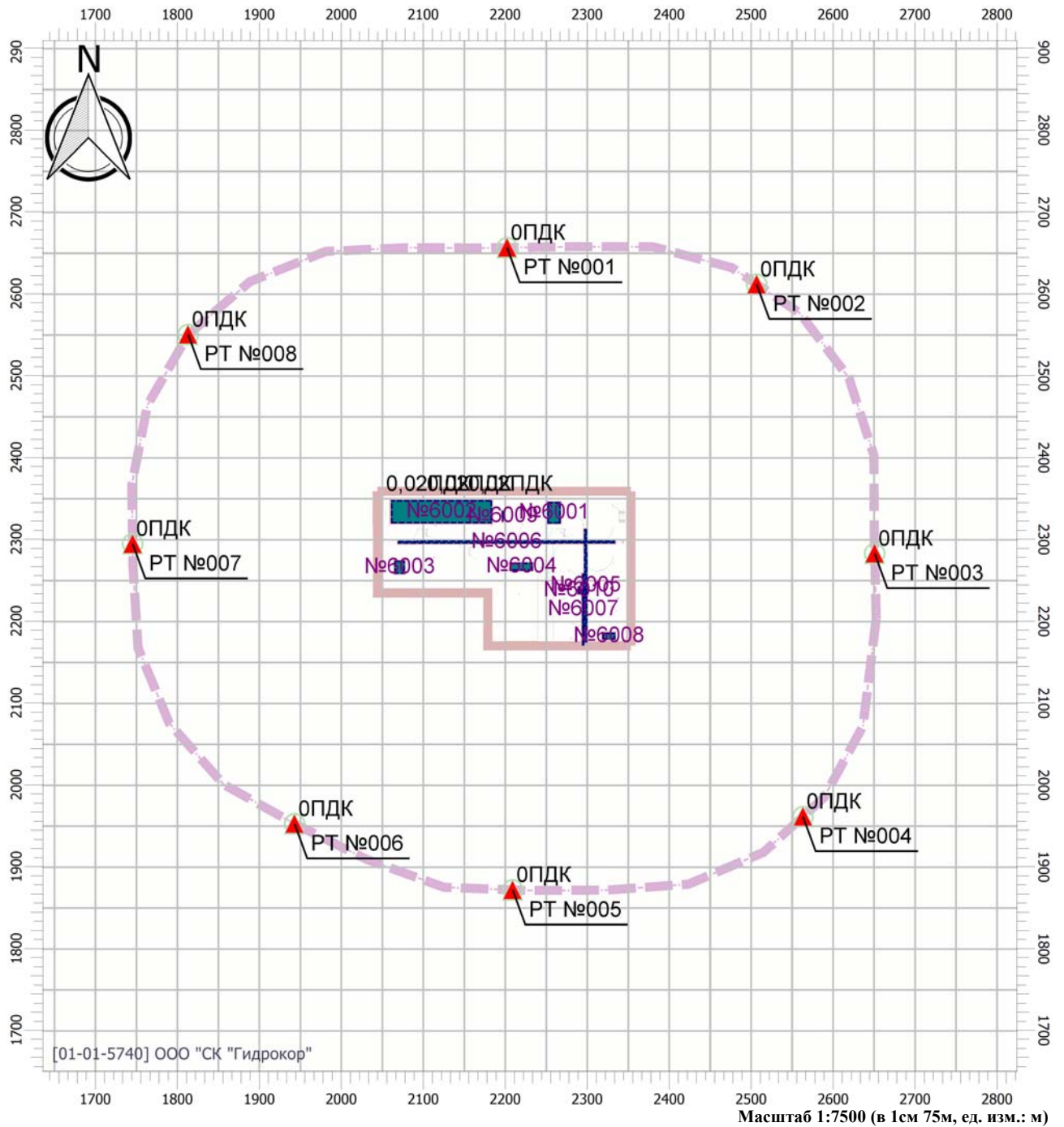
16:06] , ЛЕТО

Тип расчета: Расчеты по веществам

Код расчета: 2902 (Взвешенные вещества)

Параметр: Концентрация вредного вещества (в долях ПДК)

Высота 2м



## Цветовая схема

0 и ниже ПДК	(0,05 - 0,1] ПДК	(0,1 - 0,2] ПДК	(0,2 - 0,3] ПДК
(0,3 - 0,4] ПДК	(0,4 - 0,5] ПДК	(0,5 - 0,6] ПДК	(0,6 - 0,7] ПДК
(0,7 - 0,8] ПДК	(0,8 - 0,9] ПДК	(0,9 - 1] ПДК	(1 - 1,5] ПДК
(1,5 - 2] ПДК	(2 - 3] ПДК	(3 - 4] ПДК	(4 - 5] ПДК
(5 - 7,5] ПДК	(7,5 - 10] ПДК	(10 - 25] ПДК	(25 - 50] ПДК
(50 - 100] ПДК	(100 - 250] ПДК	(250 - 500] ПДК	(500 - 1000] ПДК
(1000 - 5000] ПДК	(5000 - 10000] ПДК	(10000 - 100000] ПДК	выше 100000 ПДК

## Карта рассеивания загрязняющего вещества в атмосфере (вариант 2)

Вариант расчета: Биодегма (10) - Расчет рассеивания по МРР-2017 [11.02.2021 16:05 - 11.02.2021

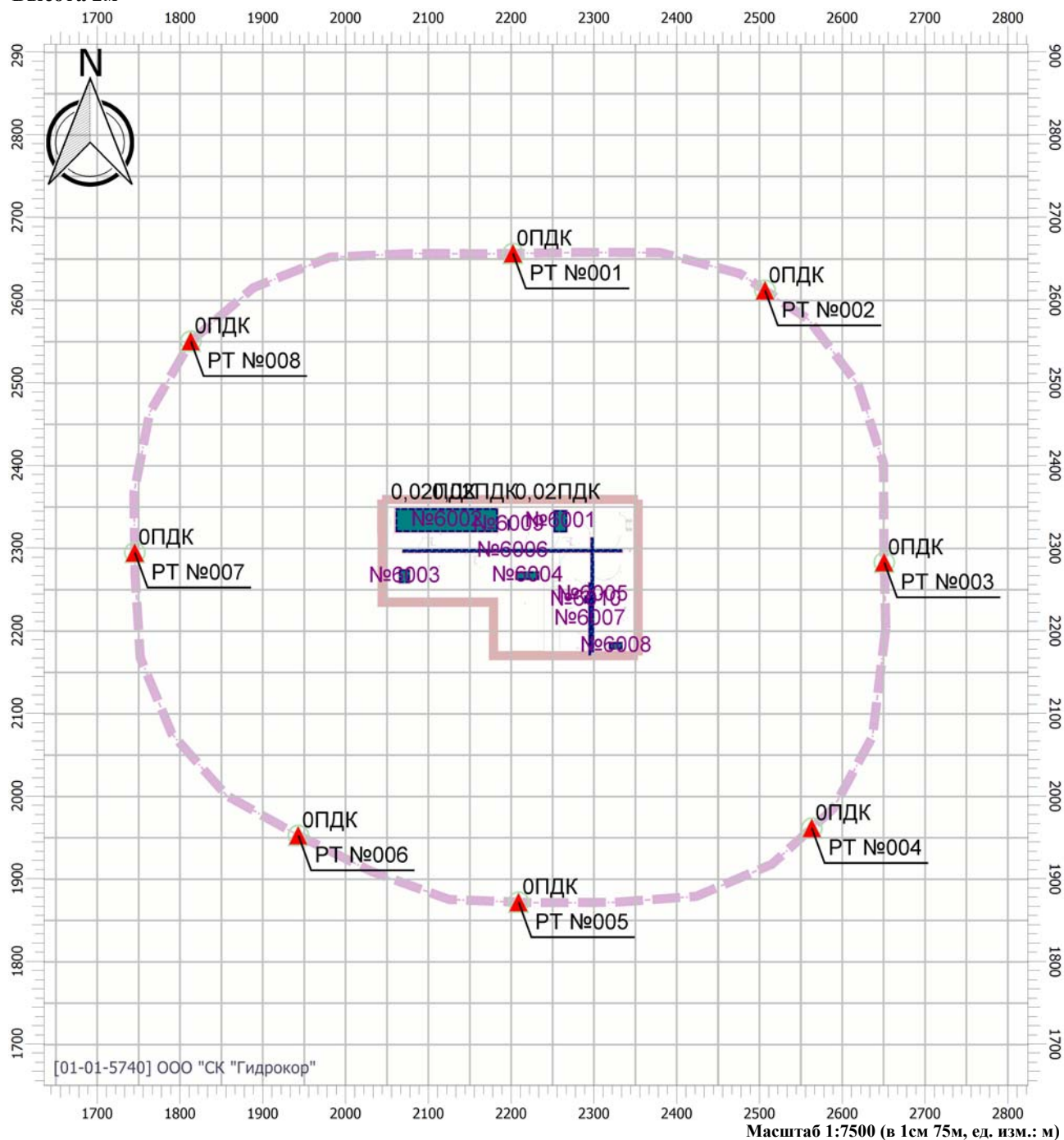
16:06] , ЛЕТО

Тип расчета: Расчеты по веществам

Код расчета: 6003 (Аммиак, сероводород)

Параметр: Концентрация вредного вещества (в долях ПДК)

Высота 2м



### Цветовая схема

0 и ниже ПДК	(0,05 - 0,1] ПДК	(0,1 - 0,2] ПДК	(0,2 - 0,3] ПДК
(0,3 - 0,4] ПДК	(0,4 - 0,5] ПДК	(0,5 - 0,6] ПДК	(0,6 - 0,7] ПДК
(0,7 - 0,8] ПДК	(0,8 - 0,9] ПДК	(0,9 - 1] ПДК	(1 - 1,5] ПДК
(1,5 - 2] ПДК	(2 - 3] ПДК	(3 - 4] ПДК	(4 - 5] ПДК
(5 - 7,5] ПДК	(7,5 - 10] ПДК	(10 - 25] ПДК	(25 - 50] ПДК
(50 - 100] ПДК	(100 - 250] ПДК	(250 - 500] ПДК	(500 - 1000] ПДК
(1000 - 5000] ПДК	(5000 - 10000] ПДК	(10000 - 100000] ПДК	выше 100000 ПДК

# Карта рассеивания загрязняющего вещества в атмосфере (вариант 2)

Вариант расчета: Биодегма (10) - Расчет рассеивания по МРР-2017 [11.02.2021 16:05 - 11.02.2021

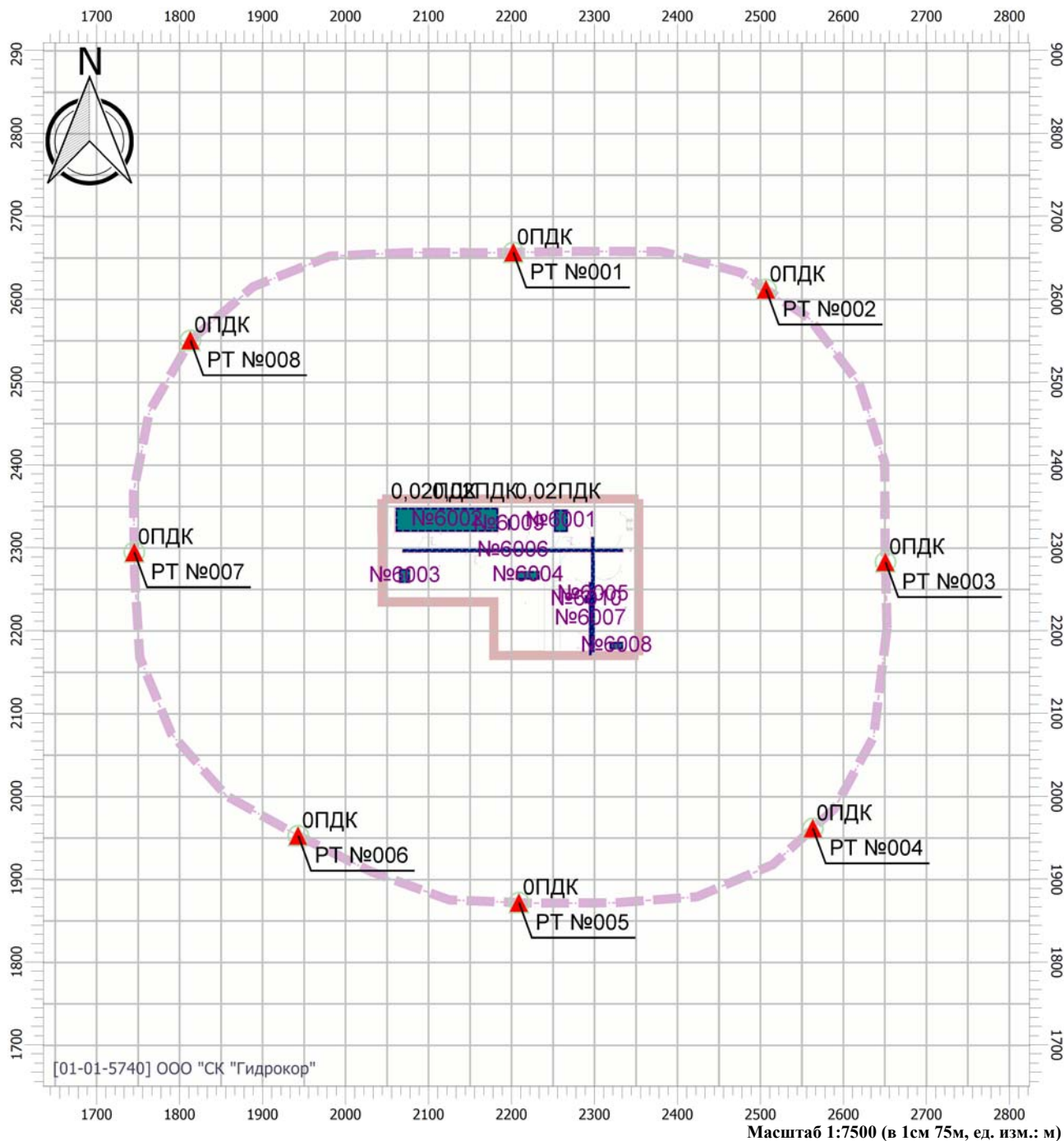
16:06] , ЛЕТО

Тип расчета: Расчеты по веществам

Код расчета: 6004 (Аммиак, сероводород, формальдегид)

Параметр: Концентрация вредного вещества (в долях ПДК)

Высота 2м



## Цветовая схема

0 и ниже ПДК	(0,05 - 0,1] ПДК	(0,1 - 0,2] ПДК	(0,2 - 0,3] ПДК
(0,3 - 0,4] ПДК	(0,4 - 0,5] ПДК	(0,5 - 0,6] ПДК	(0,6 - 0,7] ПДК
(0,7 - 0,8] ПДК	(0,8 - 0,9] ПДК	(0,9 - 1] ПДК	(1 - 1,5] ПДК
(1,5 - 2] ПДК	(2 - 3] ПДК	(3 - 4] ПДК	(4 - 5] ПДК
(5 - 7,5] ПДК	(7,5 - 10] ПДК	(10 - 25] ПДК	(25 - 50] ПДК
(50 - 100] ПДК	(100 - 250] ПДК	(250 - 500] ПДК	(500 - 1000] ПДК
(1000 - 5000] ПДК	(5000 - 10000] ПДК	(10000 - 100000] ПДК	выше 100000 ПДК

## Карта рассеивания загрязняющего вещества в атмосфере (вариант 2)

Вариант расчета: Биодегма (10) - Расчет рассеивания по МРР-2017 [11.02.2021 16:05 - 11.02.2021

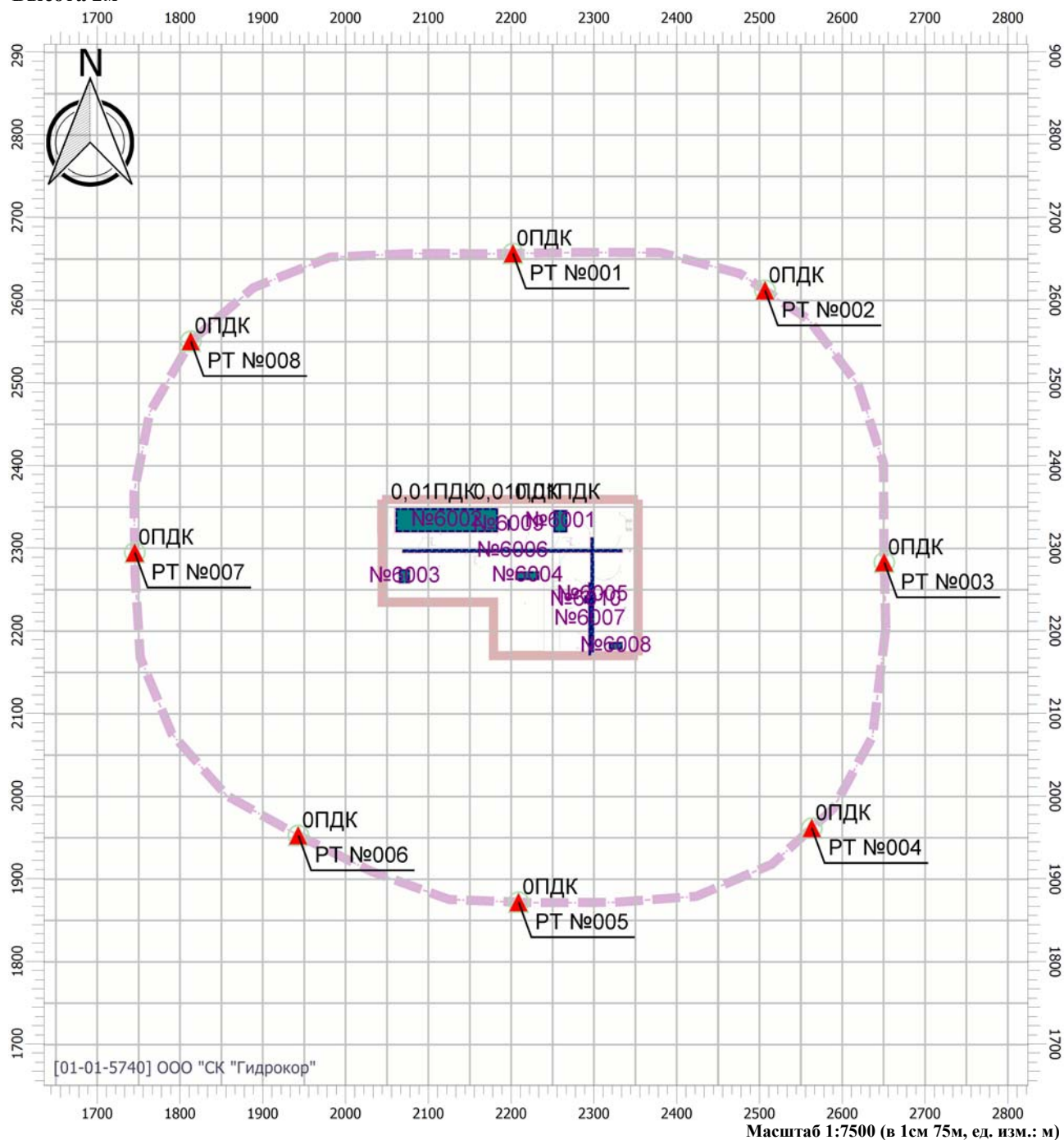
16:06] , ЛЕТО

Тип расчета: Расчеты по веществам

Код расчета: 6005 (Аммиак, формальдегид)

Параметр: Концентрация вредного вещества (в долях ПДК)

Высота 2м



### Цветовая схема

0 и ниже ПДК	(0,05 - 0,1] ПДК	(0,1 - 0,2] ПДК	(0,2 - 0,3] ПДК
(0,3 - 0,4] ПДК	(0,4 - 0,5] ПДК	(0,5 - 0,6] ПДК	(0,6 - 0,7] ПДК
(0,7 - 0,8] ПДК	(0,8 - 0,9] ПДК	(0,9 - 1] ПДК	(1 - 1,5] ПДК
(1,5 - 2] ПДК	(2 - 3] ПДК	(3 - 4] ПДК	(4 - 5] ПДК
(5 - 7,5] ПДК	(7,5 - 10] ПДК	(10 - 25] ПДК	(25 - 50] ПДК
(50 - 100] ПДК	(100 - 250] ПДК	(250 - 500] ПДК	(500 - 1000] ПДК
(1000 - 5000] ПДК	(5000 - 10000] ПДК	(10000 - 100000] ПДК	выше 100000 ПДК

## Карта рассеивания загрязняющего вещества в атмосфере (вариант 2)

Вариант расчета: Биодегма (10) - Расчет рассеивания по МРР-2017 [11.02.2021 16:05 - 11.02.2021

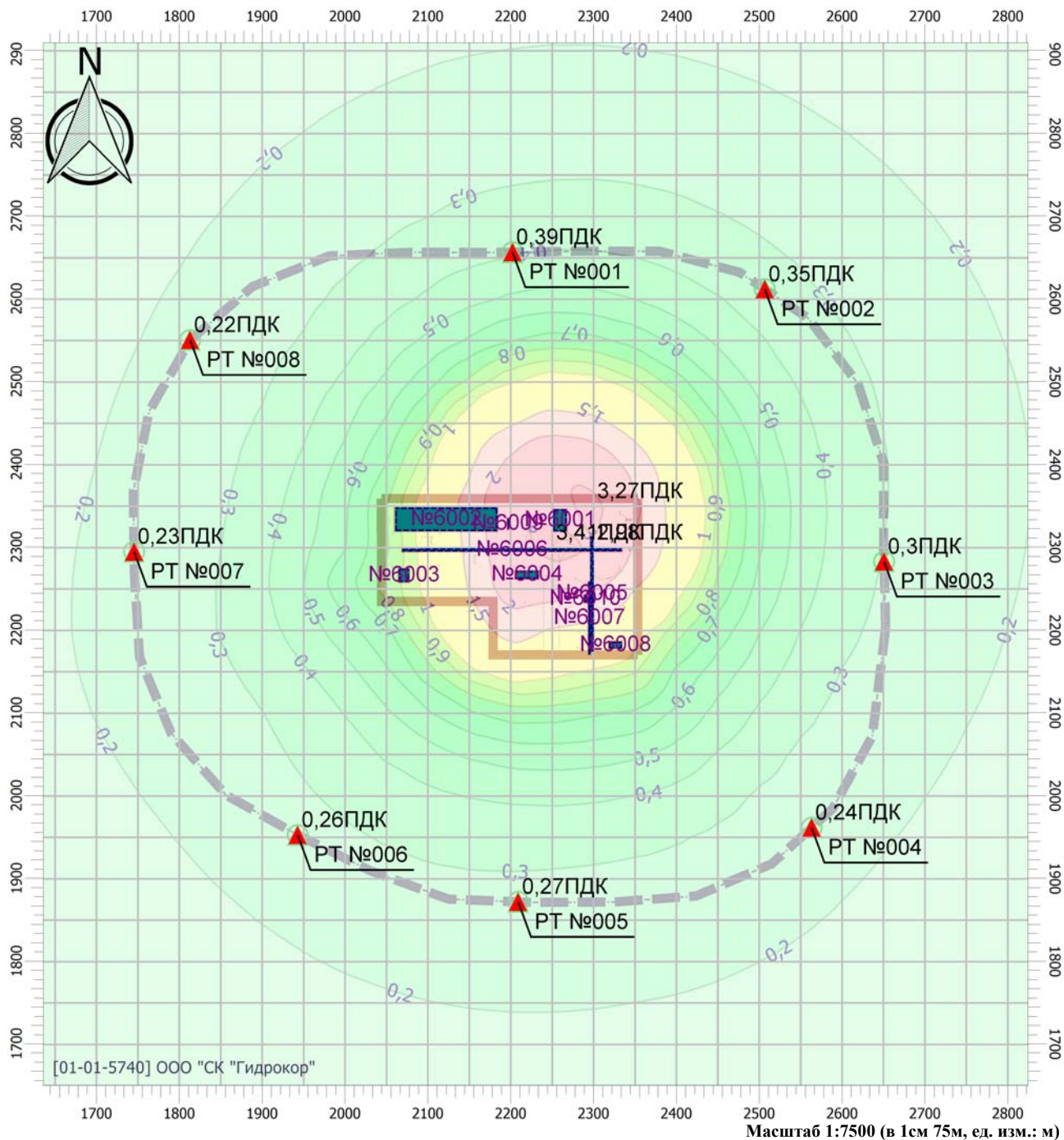
16:06] , ЛЕТО

Тип расчета: Расчеты по веществам

Код расчета: 6010 (Азота диоксид, серы диоксид, углерода оксид, фенол)

Параметр: Концентрация вредного вещества (в долях ПДК)

Высота 2м



### Цветовая схема

0 и ниже ПДК	(0,05 - 0,1] ПДК	(0,1 - 0,2] ПДК	(0,2 - 0,3] ПДК
(0,3 - 0,4] ПДК	(0,4 - 0,5] ПДК	(0,5 - 0,6] ПДК	(0,6 - 0,7] ПДК
(0,7 - 0,8] ПДК	(0,8 - 0,9] ПДК	(0,9 - 1] ПДК	(1 - 1,5] ПДК
(1,5 - 2] ПДК	(2 - 3] ПДК	(3 - 4] ПДК	(4 - 5] ПДК
(5 - 7,5] ПДК	(7,5 - 10] ПДК	(10 - 25] ПДК	(25 - 50] ПДК
(50 - 100] ПДК	(100 - 250] ПДК	(250 - 500] ПДК	(500 - 1000] ПДК
(1000 - 5000] ПДК	(5000 - 10000] ПДК	(10000 - 100000] ПДК	выше 100000 ПДК

# Карта рассеивания загрязняющего вещества в атмосфере (вариант 2)

Вариант расчета: Биодегма (10) - Расчет рассеивания по МРР-2017 [11.02.2021 16:05 - 11.02.2021

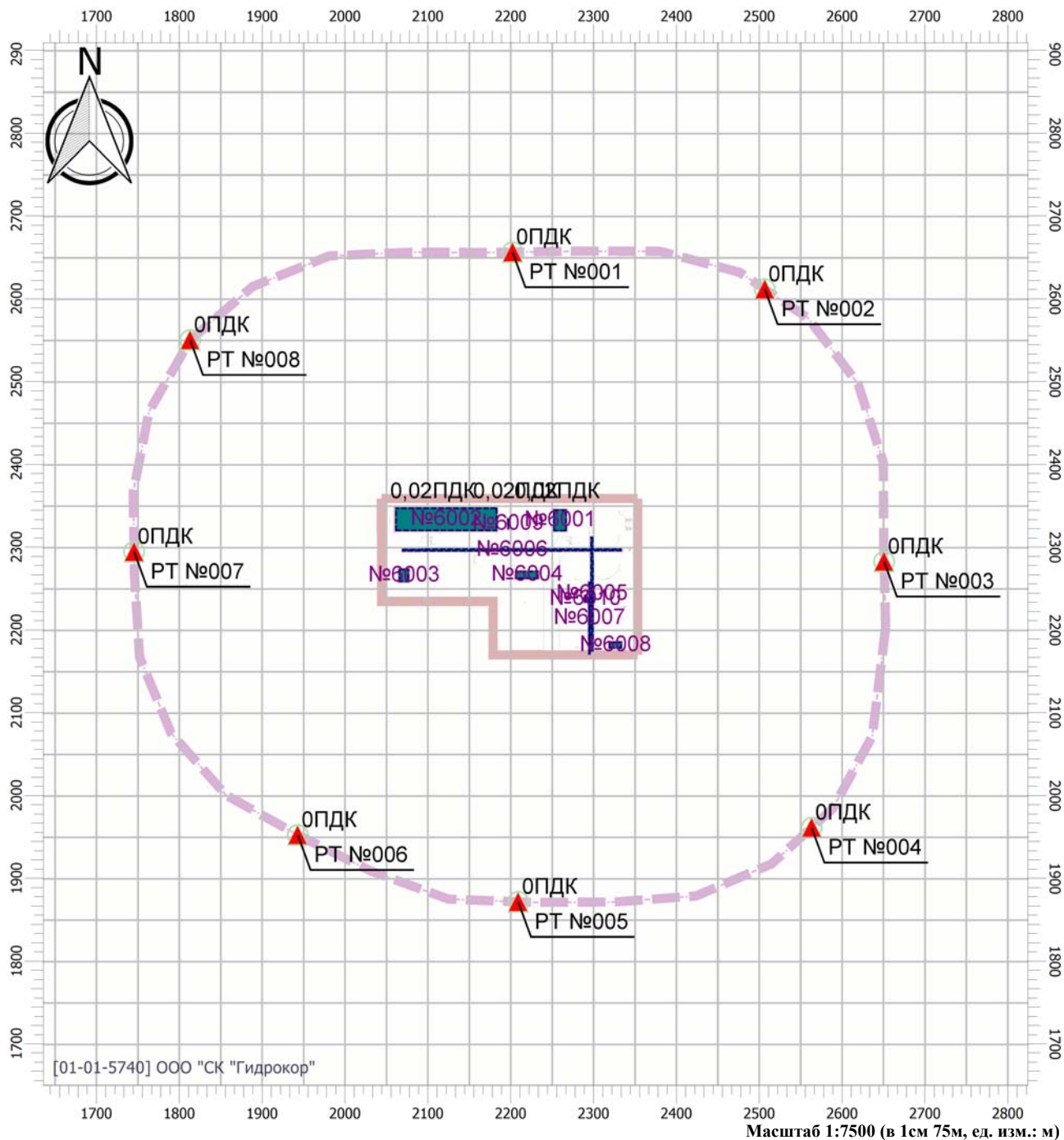
16:06] , ЛЕТО

Тип расчета: Расчеты по веществам

Код расчета: 6013 (Ацетон и фенол)

Параметр: Концентрация вредного вещества (в долях ПДК)

Высота 2м



## Цветовая схема

0 и ниже ПДК	(0,05 - 0,1] ПДК	(0,1 - 0,2] ПДК	(0,2 - 0,3] ПДК
(0,3 - 0,4] ПДК	(0,4 - 0,5] ПДК	(0,5 - 0,6] ПДК	(0,6 - 0,7] ПДК
(0,7 - 0,8] ПДК	(0,8 - 0,9] ПДК	(0,9 - 1] ПДК	(1 - 1,5] ПДК
(1,5 - 2] ПДК	(2 - 3] ПДК	(3 - 4] ПДК	(4 - 5] ПДК
(5 - 7,5] ПДК	(7,5 - 10] ПДК	(10 - 25] ПДК	(25 - 50] ПДК
(50 - 100] ПДК	(100 - 250] ПДК	(250 - 500] ПДК	(500 - 1000] ПДК
(1000 - 5000] ПДК	(5000 - 10000] ПДК	(10000 - 100000] ПДК	выше 100000 ПДК

# Карта рассеивания загрязняющего вещества в атмосфере (вариант 2)

Вариант расчета: Биодегма (10) - Расчет рассеивания по МРР-2017 [11.02.2021 16:05 - 11.02.2021

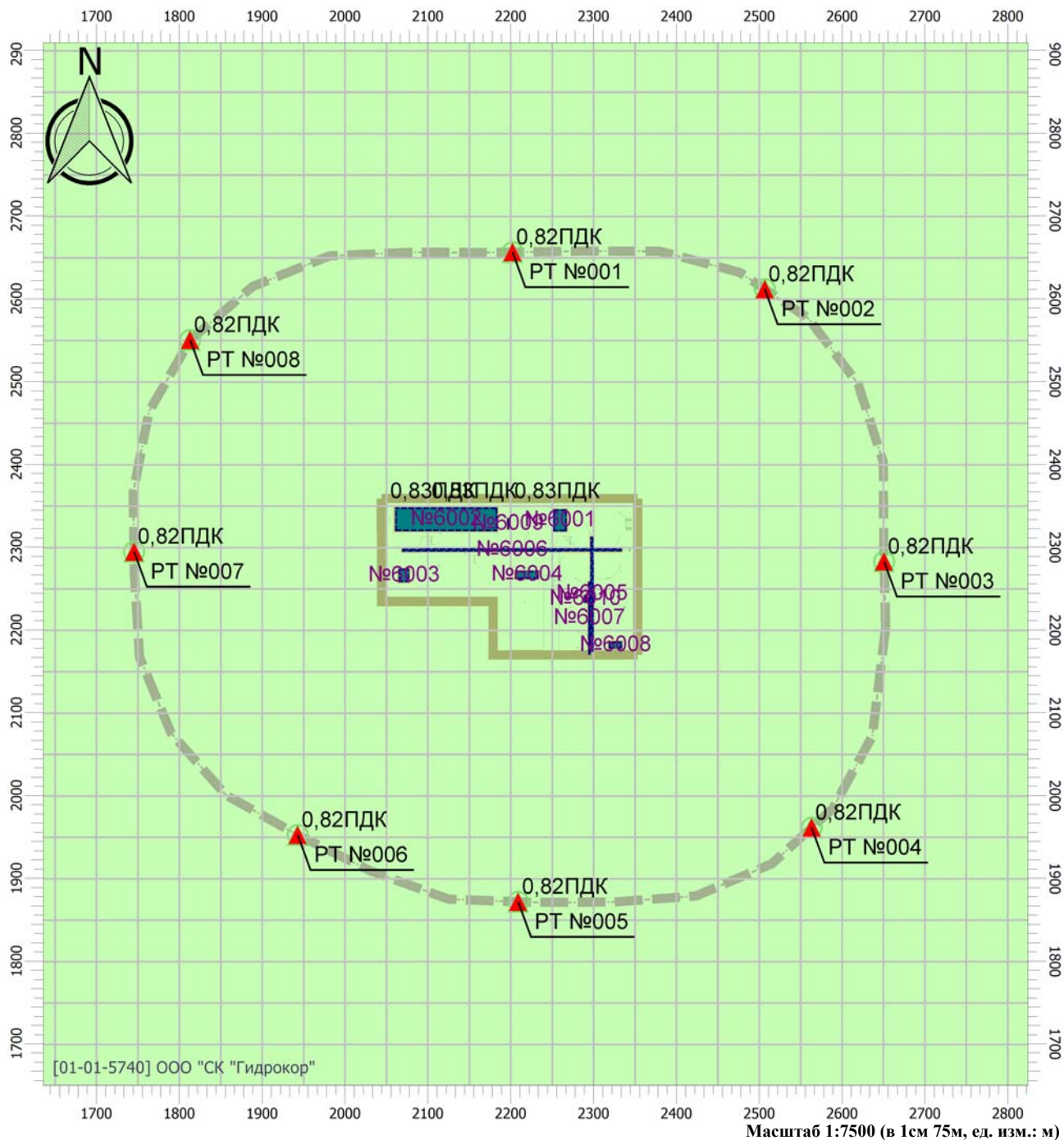
16:06] , ЛЕТО

Тип расчета: Расчеты по веществам

Код расчета: 6035 (Сероводород, формальдегид)

Параметр: Концентрация вредного вещества (в долях ПДК)

Высота 2м



## Цветовая схема

0 и ниже ПДК	(0,05 - 0,1] ПДК	(0,1 - 0,2] ПДК	(0,2 - 0,3] ПДК
(0,3 - 0,4] ПДК	(0,4 - 0,5] ПДК	(0,5 - 0,6] ПДК	(0,6 - 0,7] ПДК
(0,7 - 0,8] ПДК	(0,8 - 0,9] ПДК	(0,9 - 1] ПДК	(1 - 1,5] ПДК
(1,5 - 2] ПДК	(2 - 3] ПДК	(3 - 4] ПДК	(4 - 5] ПДК
(5 - 7,5] ПДК	(7,5 - 10] ПДК	(10 - 25] ПДК	(25 - 50] ПДК
(50 - 100] ПДК	(100 - 250] ПДК	(250 - 500] ПДК	(500 - 1000] ПДК
(1000 - 5000] ПДК	(5000 - 10000] ПДК	(10000 - 100000] ПДК	выше 100000 ПДК

# Карта рассеивания загрязняющего вещества в атмосфере (вариант 2)

Вариант расчета: Биодегма (10) - Расчет рассеивания по МРР-2017 [11.02.2021 16:05 - 11.02.2021

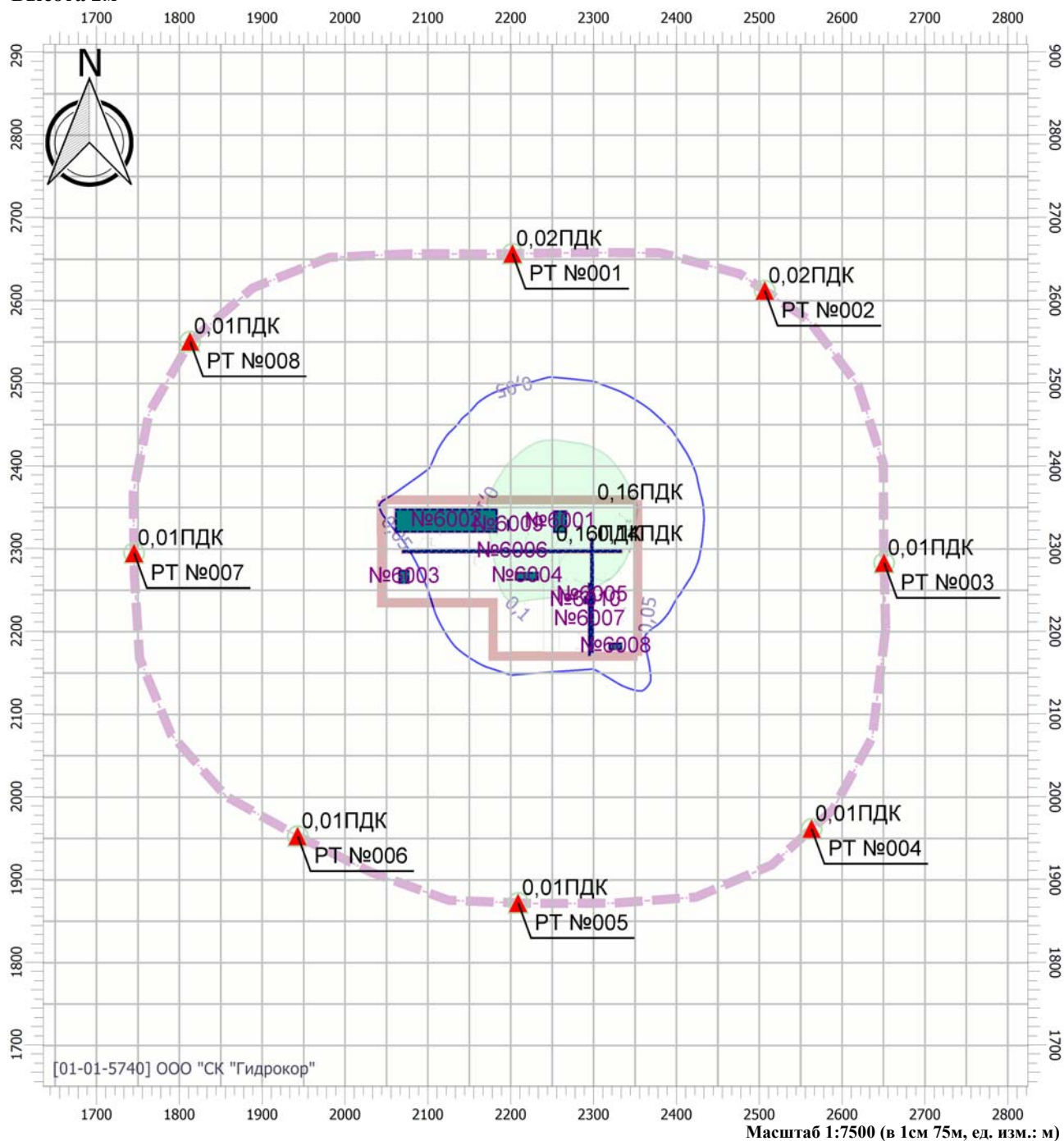
16:06] , ЛЕТО

Тип расчета: Расчеты по веществам

Код расчета: 6038 (Серый диоксид и фенол)

Параметр: Концентрация вредного вещества (в долях ПДК)

Высота 2м



## Цветовая схема

0 и ниже ПДК	(0,05 - 0,1] ПДК	(0,1 - 0,2] ПДК	(0,2 - 0,3] ПДК
(0,3 - 0,4] ПДК	(0,4 - 0,5] ПДК	(0,5 - 0,6] ПДК	(0,6 - 0,7] ПДК
(0,7 - 0,8] ПДК	(0,8 - 0,9] ПДК	(0,9 - 1] ПДК	(1 - 1,5] ПДК
(1,5 - 2] ПДК	(2 - 3] ПДК	(3 - 4] ПДК	(4 - 5] ПДК
(5 - 7,5] ПДК	(7,5 - 10] ПДК	(10 - 25] ПДК	(25 - 50] ПДК
(50 - 100] ПДК	(100 - 250] ПДК	(250 - 500] ПДК	(500 - 1000] ПДК
(1000 - 5000] ПДК	(5000 - 10000] ПДК	(10000 - 100000] ПДК	выше 100000 ПДК

## Карта рассеивания загрязняющего вещества в атмосфере (вариант 2)

Вариант расчета: Биодегма (10) - Расчет рассеивания по МРР-2017 [11.02.2021 16:05 - 11.02.2021

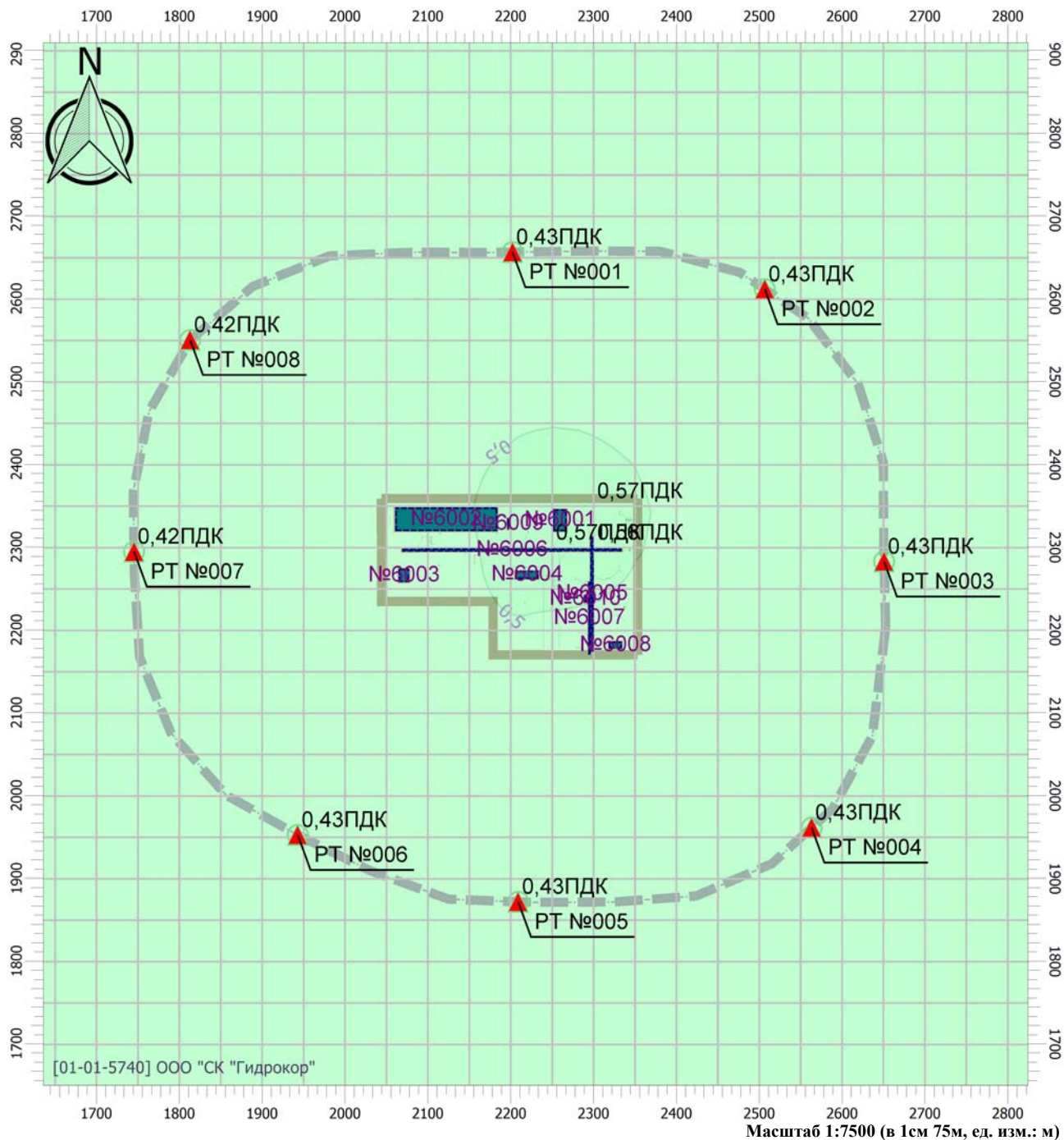
16:06] , ЛЕТО

Тип расчета: Расчеты по веществам

Код расчета: 6043 (Серый диоксид и сероводород)

Параметр: Концентрация вредного вещества (в долях ПДК)

Высота 2м



### Цветовая схема

0 и ниже ПДК	(0,05 - 0,1] ПДК	(0,1 - 0,2] ПДК	(0,2 - 0,3] ПДК
(0,3 - 0,4] ПДК	(0,4 - 0,5] ПДК	(0,5 - 0,6] ПДК	(0,6 - 0,7] ПДК
(0,7 - 0,8] ПДК	(0,8 - 0,9] ПДК	(0,9 - 1] ПДК	(1 - 1,5] ПДК
(1,5 - 2] ПДК	(2 - 3] ПДК	(3 - 4] ПДК	(4 - 5] ПДК
(5 - 7,5] ПДК	(7,5 - 10] ПДК	(10 - 25] ПДК	(25 - 50] ПДК
(50 - 100] ПДК	(100 - 250] ПДК	(250 - 500] ПДК	(500 - 1000] ПДК
(1000 - 5000] ПДК	(5000 - 10000] ПДК	(10000 - 100000] ПДК	выше 100000 ПДК

# Карта рассеивания загрязняющего вещества в атмосфере (вариант 2)

Вариант расчета: Биодегма (10) - Расчет рассеивания по МРР-2017 [11.02.2021 16:05 - 11.02.2021

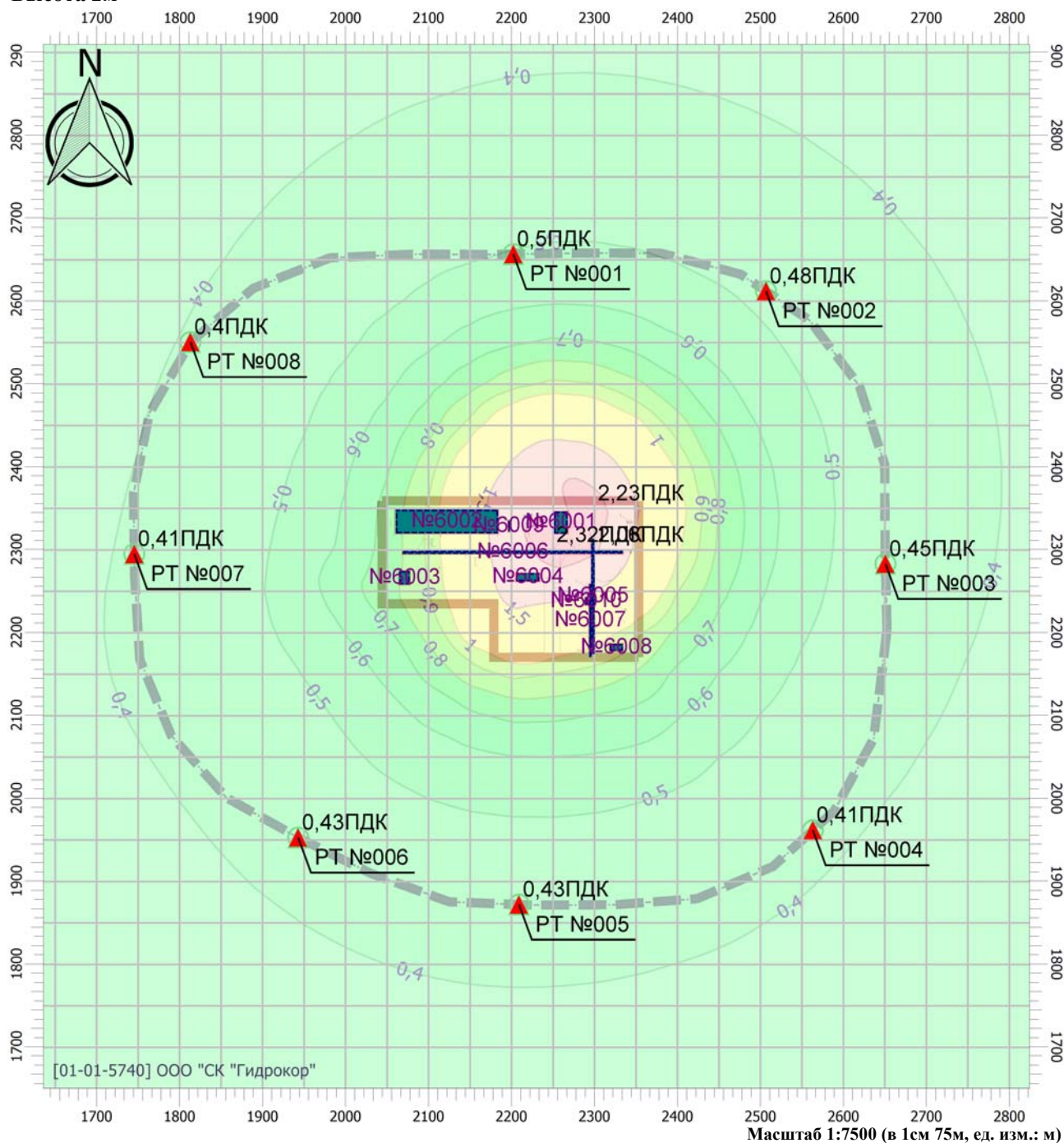
16:06] , ЛЕТО

Тип расчета: Расчеты по веществам

Код расчета: 6204 (Серый диоксид, азота диоксид)

Параметр: Концентрация вредного вещества (в долях ПДК)

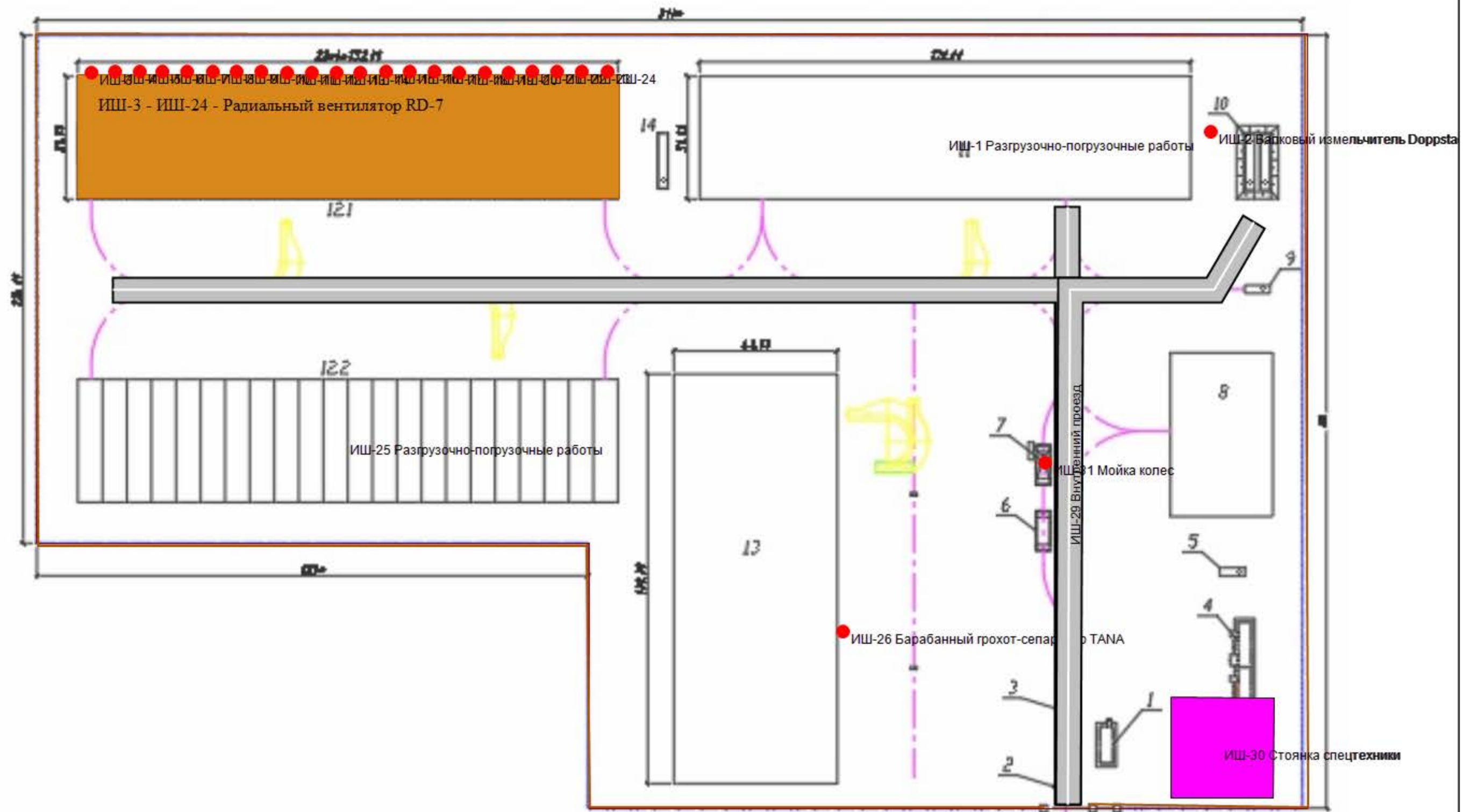
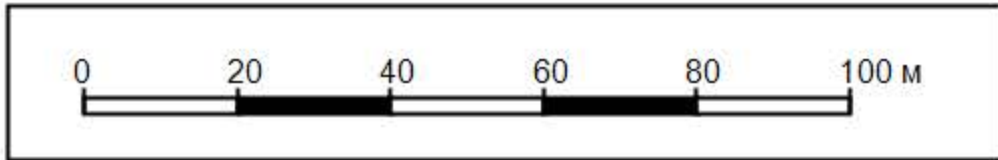
Высота 2м

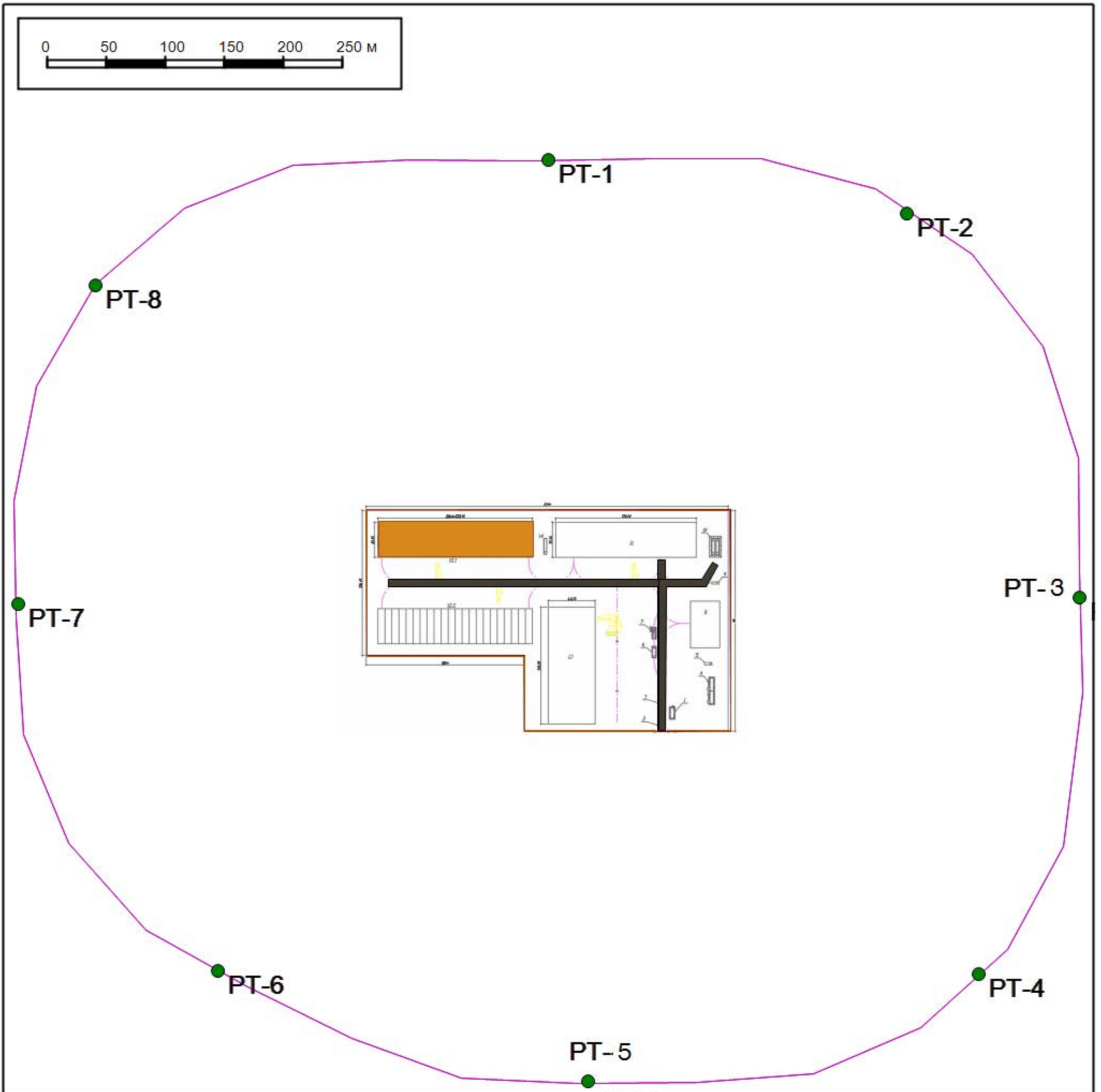


## Цветовая схема

0 и ниже ПДК	(0,05 - 0,1] ПДК	(0,1 - 0,2] ПДК	(0,2 - 0,3] ПДК
(0,3 - 0,4] ПДК	(0,4 - 0,5] ПДК	(0,5 - 0,6] ПДК	(0,6 - 0,7] ПДК
(0,7 - 0,8] ПДК	(0,8 - 0,9] ПДК	(0,9 - 1] ПДК	(1 - 1,5] ПДК
(1,5 - 2] ПДК	(2 - 3] ПДК	(3 - 4] ПДК	(4 - 5] ПДК
(5 - 7,5] ПДК	(7,5 - 10] ПДК	(10 - 25] ПДК	(25 - 50] ПДК
(50 - 100] ПДК	(100 - 250] ПДК	(250 - 500] ПДК	(500 - 1000] ПДК
(1000 - 5000] ПДК	(5000 - 10000] ПДК	(10000 - 100000] ПДК	выше 100000 ПДК

**Приложение 10. Карты-схемы расположения источников шума на площадке намечаемой деятельности и расчетных точек.**





**Приложение 11. Расчет уровней звукового давления в наиболее акустически напряженной расчетной точке (РТ №1) и карты распространения шума.**

Исходные данные и определение уровней звуковой мощности источников шума												La, дБА	Lmax, дБА	
Наименование величин и их описание	Ссылка	Уровни звукового давления, дБ, в октавных полосах, со среднегеометрическими частотами, Гц												
		31,5	63	125	250	500	1000	2000	4000	8000				
1	2	3	4	5	6	7	8	9	10	11	12	13		
<b>ИШ-1 Разгрузочно-погрузочные работы</b> [площадь источника - 3583.7 м2]														
Режим работы источника:		непостоянный												
Продолжительность работы в дневной период (7.00-23.00):		5.5 час												
Продолжительность работы в ночной период (23.00-7.00):		0 час												
Тип источника шума:		внешние источники шума												
Категория источника шума:		Источники шума на прилегающей территории												
Название:		Разгрузка товаров и погрузка тары с бросанием												
Примечание:														
Пространственный угол излучения, рад.	$\Omega = 12.57$	исходные данные												
Уровни звукового давления L на опорном расстоянии d, дБ	d = 7.5 м	исходные данные	0	73	70	66	65	63	59	56	50			
Площадь источника шума S, м <sup>2</sup>		исходные данные	3583,66											
Площадь измерительной поверхности, расположенной на расстоянии d от внешнего контура источника шума S <sub>d</sub> , м <sup>2</sup>		исходные данные	6050,08											
Октавные уровни удельной (на 1м <sup>2</sup> ) звуковой мощности источника L <sub>w</sub> , дБ		$L_w = L + 10\lg(S_d/S)$	0	75,3	72,3	68,3	67,3	65,3	61,3	58,3	52,3			
Поправка на время работы источника днём ΔT <sub>д</sub> , дБ	$\tau = 5.5$ ч время работы	$10\lg(\tau/16)$	-4,6											
Поправка на время работы источника ночью ΔT <sub>н</sub> , дБ	$\tau = 0$ ч время работы	$10\lg(\tau/8)$	источник не работает в ночное время											
Эквивалентные уровни удельной (на 1м <sup>2</sup> ) звуковой мощности источника днём, L <sub>w</sub> , дБ		$L_w + \Delta T_d$	0	70,6	67,6	63,6	62,6	60,6	56,6	53,6	47,6			
Эквивалентные уровни удельной (на 1м <sup>2</sup> ) звуковой мощности источника ночью, L <sub>w</sub> , дБ		$L_w + \Delta T_n$	0	0	0	0	0	0	0	0	0			
<b>ИШ-2 Валковый измельчитель Doppstadt DW3060</b> [координаты на плане (x,y,z), м = (2329.9,2334.6,1.0)]														
Режим работы источника:		непостоянный												
Продолжительность работы в дневной период (7.00-23.00):		5 час												
Продолжительность работы в ночной период (23.00-7.00):		0 час												
Тип источника шума:		внешние источники шума												

Категория источника шума:													
Вид агрегата/работ:													
Описание агрегата/работ:													
Пространственный угол излучения, рад.	$\Omega = 6.28$	исходные данные											
Эквивалентный ( $L_a$ ) и максимальный ( $L_{max}$ ) уровни звука на опорном расстоянии $d$ , дБА	$d = 4 \text{ м}$	исходные данные									90	90	
Габариты источника шума, м		исходные данные	длина ( $l_1$ ) = 0.00			ширина ( $l_2$ ) = 0.00			высота ( $l_3$ ) = 0.00				
Эквивалентный ( $L_wA$ ) и максимальный ( $L_wMax$ ) уровни звуковой мощности источника, дБА		$L_wA = L_a + 20\lg(d) + 10\lg(\Omega)$									110	110	
Спектральные поправки $K(\Delta L_A)$ для разложения общего уровня звуковой мощности в спектр по октавным полосам, дБ		[5]	-999	9,9	9	2,5	-3	-7,3	-11,6	-16,4	-20,7		
Октавные уровни звуковой мощности источника $L_w$ , дБ		$L_w = L_wA + K(\Delta L_A)$	0	119,9	119	112,5	107	102,7	98,4	93,6	89,3		
Октавные уровни звуковой мощности максимального звука источника $L_{wx}$ , дБ		$L_{wx} = L_wMax + K(\Delta L_A)$	0	119,9	119	112,5	107	102,7	98,4	93,6	89,3		
Поправка на время работы источника днём $\Delta T_d$ , дБ	$\tau = 5 \text{ ч}$ время работы	$10\lg(\tau/16)$	-5,1										
Поправка на время работы источника ночью $\Delta T_n$ , дБ	$\tau = 0 \text{ ч}$ время работы	$10\lg(\tau/8)$	источник не работает в ночное время										
Эквивалентные уровни звуковой мощности источника днём, $L_w$ , дБ		$L_w + \Delta T_d$	0	114,9	114	107,5	102	97,7	93,4	88,6	84,3		
Эквивалентные уровни звуковой мощности источника ночью, $L_w$ , дБ		$L_w + \Delta T_n$	0	0	0	0	0	0	0	0	0		
<b>ИШ-3</b> [координаты на плане (x,y,z), м = (2057.3,2349.2,1.0)]													
Режим работы источника: постоянный													
Продолжительность работы в дневной период (7.00-23.00): 16 час													
Продолжительность работы в ночной период (23.00-7.00): 8 час													
Тип источника шума: внешние источники шума													
Категория источника шума:													
Вид агрегата/работ:													
Описание агрегата/работ:													
Пространственный угол излучения, рад.	$\Omega = 6.28$	исходные данные											
Октавные уровни звуковой мощности источника $L_w$ , дБ		исходные данные	69	69	74	76	79	72	72	70	64		
<b>ИШ-4</b> [координаты на плане (x,y,z), м = (2063.1,2349.3,1.0)]													
Режим работы источника: постоянный													
Продолжительность работы в дневной период (7.00-23.00): 16 час													
Продолжительность работы в ночной период (23.00-7.00): 8 час													
Тип источника шума: внешние источники шума													

Категория источника шума:													
Вид агрегата/работ:													
Описание агрегата/работ:													
Пространственный угол излучения, рад.			$\Omega = 6.28$		исходные данные								
Октавные уровни звуковой мощности источника Lw, дБ			исходные данные		69	69	74	76	79	72	72	70	64
<b>ИШ-5</b> [координаты на плане (x,y,z), м = (2069.0,2349.3,1.0)]													
Режим работы источника:							постоянный						
Продолжительность работы в дневной период (7.00-23.00):							16 час						
Продолжительность работы в ночной период (23.00-7.00):							8 час						
Тип источника шума:							внешние источники шума						
Категория источника шума:													
Вид агрегата/работ:													
Описание агрегата/работ:													
Пространственный угол излучения, рад.			$\Omega = 6.28$		исходные данные								
Октавные уровни звуковой мощности источника Lw, дБ			исходные данные		69	69	74	76	79	72	72	70	64
<b>ИШ-6</b> [координаты на плане (x,y,z), м = (2074.7,2349.3,1.0)]													
Режим работы источника:							постоянный						
Продолжительность работы в дневной период (7.00-23.00):							16 час						
Продолжительность работы в ночной период (23.00-7.00):							8 час						
Тип источника шума:							внешние источники шума						
Категория источника шума:													
Вид агрегата/работ:													
Описание агрегата/работ:													
Пространственный угол излучения, рад.			$\Omega = 6.28$		исходные данные								
Октавные уровни звуковой мощности источника Lw, дБ			исходные данные		69	69	74	76	79	72	72	70	64
<b>ИШ-7</b> [координаты на плане (x,y,z), м = (2080.6,2349.3,1.0)]													
Режим работы источника:							постоянный						
Продолжительность работы в дневной период (7.00-23.00):							16 час						
Продолжительность работы в ночной период (23.00-7.00):							8 час						
Тип источника шума:							внешние источники шума						
Категория источника шума:													
Вид агрегата/работ:													
Описание агрегата/работ:													
Пространственный угол излучения, рад.			$\Omega = 6.28$		исходные данные								
Октавные уровни звуковой мощности источника Lw, дБ			исходные данные		69	69	74	76	79	72	72	70	64
<b>ИШ-8</b> [координаты на плане (x,y,z), м = (2086.9,2349.3,1.0)]													

Режим работы источника:			постоянный												
Продолжительность работы в дневной период (7.00-23.00):			16 час												
Продолжительность работы в ночной период (23.00-7.00):			8 час												
Тип источника шума:			внешние источники шума												
Категория источника шума:															
Вид агрегата/работ:															
Описание агрегата/работ:															
Пространственный угол излучения, рад.	$\Omega = 6.28$	исходные данные													
Октавные уровни звуковой мощности источника Lw, дБ		исходные данные	69	69	74	76	79	72	72	70	64				
<b>ИШ-9</b> [координаты на плане (x,y,z), м = (2092.6,2349.3,1.0)]															
Режим работы источника:			постоянный												
Продолжительность работы в дневной период (7.00-23.00):			16 час												
Продолжительность работы в ночной период (23.00-7.00):			8 час												
Тип источника шума:			внешние источники шума												
Категория источника шума:															
Вид агрегата/работ:															
Описание агрегата/работ:															
Пространственный угол излучения, рад.	$\Omega = 6.28$	исходные данные													
Октавные уровни звуковой мощности источника Lw, дБ		исходные данные	69	69	74	76	79	72	72	70	64				
<b>ИШ-10</b> [координаты на плане (x,y,z), м = (2098.7,2349.3,1.0)]															
Режим работы источника:			постоянный												
Продолжительность работы в дневной период (7.00-23.00):			16 час												
Продолжительность работы в ночной период (23.00-7.00):			8 час												
Тип источника шума:			внешние источники шума												
Категория источника шума:															
Вид агрегата/работ:															
Описание агрегата/работ:															
Пространственный угол излучения, рад.	$\Omega = 6.28$	исходные данные													
Октавные уровни звуковой мощности источника Lw, дБ		исходные данные	69	69	74	76	79	72	72	70	64				
<b>ИШ-11</b> [координаты на плане (x,y,z), м = (2105.0,2349.2,1.0)]															
Режим работы источника:			постоянный												
Продолжительность работы в дневной период (7.00-23.00):			16 час												
Продолжительность работы в ночной период (23.00-7.00):			8 час												
Тип источника шума:			внешние источники шума												
Категория источника шума:															
Вид агрегата/работ:															
Описание агрегата/работ:															

Пространственный угол излучения, рад.	$\Omega = 6.28$	исходные данные												
Октавные уровни звуковой мощности источника Lw, дБ		исходные данные	69	69	74	76	79	72	72	70	64			
<b>ИШ-12</b> [координаты на плане (x,y,z), м = (2111.1,2349.2,1.0)]														
Режим работы источника:	постоянный													
Продолжительность работы в дневной период (7.00-23.00):	16 час													
Продолжительность работы в ночной период (23.00-7.00):	8 час													
Тип источника шума:	внешние источники шума													
Категория источника шума:														
Вид агрегата/работ:														
Описание агрегата/работ:														
Пространственный угол излучения, рад.	$\Omega = 6.28$	исходные данные												
Октавные уровни звуковой мощности источника Lw, дБ		исходные данные	69	69	74	76	79	72	72	70	64			
<b>ИШ-13</b> [координаты на плане (x,y,z), м = (2117.0,2349.2,1.0)]														
Режим работы источника:	постоянный													
Продолжительность работы в дневной период (7.00-23.00):	16 час													
Продолжительность работы в ночной период (23.00-7.00):	8 час													
Тип источника шума:	внешние источники шума													
Категория источника шума:														
Вид агрегата/работ:														
Описание агрегата/работ:														
Пространственный угол излучения, рад.	$\Omega = 6.28$	исходные данные												
Октавные уровни звуковой мощности источника Lw, дБ		исходные данные	69	69	74	76	79	72	72	70	64			
<b>ИШ-14</b> [координаты на плане (x,y,z), м = (2122.7,2349.2,1.0)]														
Режим работы источника:	постоянный													
Продолжительность работы в дневной период (7.00-23.00):	16 час													
Продолжительность работы в ночной период (23.00-7.00):	8 час													
Тип источника шума:	внешние источники шума													
Категория источника шума:														
Вид агрегата/работ:														
Описание агрегата/работ:														
Пространственный угол излучения, рад.	$\Omega = 6.28$	исходные данные												
Октавные уровни звуковой мощности источника Lw, дБ		исходные данные	69	69	74	76	79	72	72	70	64			
<b>ИШ-15</b> [координаты на плане (x,y,z), м = (2129.0,2349.3,1.0)]														
Режим работы источника:	постоянный													
Продолжительность работы в дневной период (7.00-23.00):	16 час													
Продолжительность работы в ночной период (23.00-7.00):	8 час													

Тип источника шума:			внешние источники шума											
Категория источника шума:														
Вид агрегата/работ:														
Описание агрегата/работ:														
Пространственный угол излучения, рад.	$\Omega = 6.28$	исходные данные												
Октавные уровни звуковой мощности источника Lw, дБ		исходные данные	69	69	74	76	79	72	72	70	64			
<b>ИШ-16</b> [координаты на плане (x,y,z), м = (2134.9,2349.3,1.0)]														
Режим работы источника:			постоянный											
Продолжительность работы в дневной период (7.00-23.00):			16 час											
Продолжительность работы в ночной период (23.00-7.00):			8 час											
Тип источника шума:			внешние источники шума											
Категория источника шума:														
Вид агрегата/работ:														
Описание агрегата/работ:														
Пространственный угол излучения, рад.	$\Omega = 6.28$	исходные данные												
Октавные уровни звуковой мощности источника Lw, дБ		исходные данные	69	69	74	76	79	72	72	70	64			
<b>ИШ-17</b> [координаты на плане (x,y,z), м = (2140.8,2349.3,1.0)]														
Режим работы источника:			постоянный											
Продолжительность работы в дневной период (7.00-23.00):			16 час											
Продолжительность работы в ночной период (23.00-7.00):			8 час											
Тип источника шума:			внешние источники шума											
Категория источника шума:														
Вид агрегата/работ:														
Описание агрегата/работ:														
Пространственный угол излучения, рад.	$\Omega = 6.28$	исходные данные												
Октавные уровни звуковой мощности источника Lw, дБ		исходные данные	69	69	74	76	79	72	72	70	64			
<b>ИШ-18</b> [координаты на плане (x,y,z), м = (2146.9,2349.2,1.0)]														
Режим работы источника:			постоянный											
Продолжительность работы в дневной период (7.00-23.00):			16 час											
Продолжительность работы в ночной период (23.00-7.00):			8 час											
Тип источника шума:			внешние источники шума											
Категория источника шума:														
Вид агрегата/работ:														
Описание агрегата/работ:														
Пространственный угол излучения, рад.	$\Omega = 6.28$	исходные данные												
Октавные уровни звуковой мощности источника Lw, дБ		исходные данные	69	69	74	76	79	72	72	70	64			

<b>ИШ-19</b> [координаты на плане (x,y,z), м = (2153.2,2349.2,1.0)]													
Режим работы источника:				постоянный									
Продолжительность работы в дневной период (7.00-23.00):				16 час									
Продолжительность работы в ночной период (23.00-7.00):				8 час									
Тип источника шума:				внешние источники шума									
Категория источника шума:													
Вид агрегата/работ:													
Описание агрегата/работ:													
Пространственный угол излучения, рад.		$\Omega = 6.28$	исходные данные										
Октавные уровни звуковой мощности источника Lw, дБ			исходные данные	69	69	74	76	79	72	72	70	64	
<b>ИШ-20</b> [координаты на плане (x,y,z), м = (2158.9,2349.2,1.0)]													
Режим работы источника:				постоянный									
Продолжительность работы в дневной период (7.00-23.00):				16 час									
Продолжительность работы в ночной период (23.00-7.00):				8 час									
Тип источника шума:				внешние источники шума									
Категория источника шума:													
Вид агрегата/работ:													
Описание агрегата/работ:													
Пространственный угол излучения, рад.		$\Omega = 6.28$	исходные данные										
Октавные уровни звуковой мощности источника Lw, дБ			исходные данные	69	69	74	76	79	72	72	70	64	
<b>ИШ-21</b> [координаты на плане (x,y,z), м = (2164.6,2349.3,1.0)]													
Режим работы источника:				постоянный									
Продолжительность работы в дневной период (7.00-23.00):				16 час									
Продолжительность работы в ночной период (23.00-7.00):				8 час									
Тип источника шума:				внешние источники шума									
Категория источника шума:													
Вид агрегата/работ:													
Описание агрегата/работ:													
Пространственный угол излучения, рад.		$\Omega = 6.28$	исходные данные										
Октавные уровни звуковой мощности источника Lw, дБ			исходные данные	69	69	74	76	79	72	72	70	64	
<b>ИШ-22</b> [координаты на плане (x,y,z), м = (2170.7,2349.3,1.0)]													
Режим работы источника:				постоянный									
Продолжительность работы в дневной период (7.00-23.00):				16 час									
Продолжительность работы в ночной период (23.00-7.00):				8 час									
Тип источника шума:				внешние источники шума									
Категория источника шума:													

Вид агрегата/работ:														
Описание агрегата/работ:														
Пространственный угол излучения, рад.	$\Omega = 6.28$	исходные данные												
Октавные уровни звуковой мощности источника $L_w$ , дБ		исходные данные	69	69	74	76	79	72	72	70	64			
<b>ИШ-23</b> [координаты на плане (x,y,z), м = (2176.6,2349.3,1.0)]														
Режим работы источника:			постоянный											
Продолжительность работы в дневной период (7.00-23.00):			16 час											
Продолжительность работы в ночной период (23.00-7.00):			8 час											
Тип источника шума:			внешние источники шума											
Категория источника шума:														
Вид агрегата/работ:														
Описание агрегата/работ:														
Пространственный угол излучения, рад.	$\Omega = 6.28$	исходные данные												
Октавные уровни звуковой мощности источника $L_w$ , дБ		исходные данные	69	69	74	76	79	72	72	70	64			
<b>ИШ-24</b> [координаты на плане (x,y,z), м = (2183.1,2349.3,1.0)]														
Режим работы источника:			постоянный											
Продолжительность работы в дневной период (7.00-23.00):			16 час											
Продолжительность работы в ночной период (23.00-7.00):			8 час											
Тип источника шума:			внешние источники шума											
Категория источника шума:														
Вид агрегата/работ:														
Описание агрегата/работ:														
Пространственный угол излучения, рад.	$\Omega = 6.28$	исходные данные												
Октавные уровни звуковой мощности источника $L_w$ , дБ		исходные данные	69	69	74	76	79	72	72	70	64			
<b>ИШ-25 Разгрузочно-погрузочные работы</b> [площадь источника - 3984.0 м <sup>2</sup> ]														
Режим работы источника:			непостоянный											
Продолжительность работы в дневной период (7.00-23.00):			5.5 час											
Продолжительность работы в ночной период (23.00-7.00):			0 час											
Тип источника шума:			внешние источники шума											
Категория источника шума:			Источники шума на прилегающей территории											
Название:			Разгрузка товаров и погрузка тары с бросанием											
Примечание:														
Пространственный угол излучения, рад.	$\Omega = 12.57$	исходные данные												
Уровни звукового давления $L$ на опорном расстоянии $d$ , дБ	$d = 7.5$ м	исходные данные	0	73	70	66	65	63	59	56	50			
Площадь источника шума $S$ , м <sup>2</sup>			3984											

Площадь измерительной поверхности, расположенной на расстоянии d от внешнего контура источника шума S <sub>d</sub> , м <sup>2</sup>		исходные данные	6638,1										
Октавные уровни удельной (на 1м <sup>2</sup> ) звуковой мощности источника L <sub>w</sub> , дБ		L <sub>w</sub> = L + 10lg(S <sub>d</sub> /S)	0	75,2	72,2	68,2	67,2	65,2	61,2	58,2	52,2		
Поправка на время работы источника днём ΔТ <sub>д</sub> , дБ	τ = 5.5 ч время работы	10Lg(τ/16)	<b>-4,6</b>										
Поправка на время работы источника ночью ΔТ <sub>н</sub> , дБ	τ = 0 ч время работы	10Lg(τ/8)	<b>источник не работает в ночное время</b>										
Эквивалентные уровни удельной (на 1м <sup>2</sup> ) звуковой мощности источника днём, L <sub>w</sub> , дБ		L <sub>w</sub> + ΔТ <sub>д</sub>	0	70,6	67,6	63,6	62,6	60,6	56,6	53,6	47,6		
Эквивалентные уровни удельной (на 1м <sup>2</sup> ) звуковой мощности источника ночью, L <sub>w</sub> , дБ		L <sub>w</sub> + ΔТ <sub>н</sub>	0	0	0	0	0	0	0	0	0		
<b>ИШ-26 Барабанный грохот-сепаратор TANA</b> [координаты на плане (x,y,z), м = (2240.4,2212.9,1.0)]													
Режим работы источника:		непостоянный											
Продолжительность работы в дневной период (7.00-23.00):		5 час											
Продолжительность работы в ночной период (23.00-7.00):		0 час											
Тип источника шума:		внешние источники шума											
Категория источника шума:													
Вид агрегата/работ:													
Описание агрегата/работ:													
Пространственный угол излучения, рад.	Ω = 6.28	исходные данные											
Эквивалентный (L <sub>a</sub> ) и максимальный (L <sub>max</sub> ) уровни звука на опорном расстоянии d, дБА	d = 1 м	исходные данные										80	80
Габариты источника шума, м		исходные данные	длина (l <sub>1</sub> ) = 0.00			ширина (l <sub>2</sub> ) = 0.00			высота (l <sub>3</sub> ) = 0.00				
Эквивалентный (L <sub>wA</sub> ) и максимальный (L <sub>wMax</sub> ) уровни звуковой мощности источника, дБА		L <sub>wA</sub> = L <sub>a</sub> + 20lg(d) + 10lg(Ω)										88	88
Спектральные поправки K(ΔL <sub>A</sub> ) для разложения общего уровня звуковой мощности в спектр по октавным полосам, дБ		[5]	-999	9,9	9	2,5	-3	-7,3	-11,6	-16,4	-20,7		
Октавные уровни звуковой мощности источника L <sub>w</sub> , дБ		L <sub>w</sub> = L <sub>wA</sub> + K(ΔL <sub>A</sub> )	0	97,9	97	90,5	85	80,7	76,4	71,6	67,3		
Октавные уровни звуковой мощности максимального звука источника L <sub>wx</sub> , дБ		L <sub>wx</sub> = L <sub>wMax</sub> + K(ΔL <sub>A</sub> )	0	97,9	97	90,5	85	80,7	76,4	71,6	67,3		
Поправка на время работы источника днём ΔТ <sub>д</sub> , дБ	τ = 5 ч время работы	10Lg(τ/16)	<b>-5,1</b>										
Поправка на время работы источника ночью ΔТ <sub>н</sub> , дБ	τ = 0 ч время работы	10Lg(τ/8)	<b>источник не работает в ночное время</b>										
Эквивалентные уровни звуковой мощности источника днём, L <sub>w</sub> , дБ		L <sub>w</sub> + ΔТ <sub>д</sub>	0	92,8	91,9	85,4	79,9	75,6	71,3	66,5	62,2		

Эквивалентные уровни звуковой мощности источника ночью, Lw, дБ	Lw + ΔTн	0	0	0	0	0	0	0	0	0	0					
<b>ИШ-27 Внутренний проезд</b> [протяжённость источника - 145.5 м]																
Описание источника: Доставка органических отходов, вывоз готовой продукции																
Режим работы источника:				непостоянный												
Продолжительность работы в дневной период (7.00-23.00):				16 час												
Продолжительность работы в ночной период (23.00-7.00):				0 час												
Тип источника шума:				автодорога												
Название:		Ω = 12.57		исходные данные		Ширина = 6 м		Кол-во полос = 1		Ширина разд. полосы = 0 м						
Пространственный угол излучения, рад.		Ω = 12.57		исходные данные												
Вид дорожного покрытия				асфальтобетон												
Суточная интенсивность движения автотранспорта Nсут, авт./сутки				исходные данные		23										
Скорость потока при измерении суточной интенсивности, км/ч				исходные данные		10										
Фактическая скорость потока, км/ч				исходные данные		10										
% грузового транспорта в потоке				исходные данные		100										
Расчетная интенсивность движения в дневное время Nd, авт./час				ф-ла (6.3) [16]		1,7										
Расчетная интенсивность движения в ночное время Nн, авт./час				ф-ла (6.4) [16]		0,9										
Расчетный эквивалентный уровень звука на расстоянии 7.5 м для стандартных условий L <sub>Атрп7.5</sub> , дБА				ф-ла (6.2) [16]		Днём: 52.1		Ночью: 49.6								
Поправка на отличие фактической скорости потока ΔL <sub>Аск</sub> , дБА				Табл. 6.3 [16]		0										
Поправка на долю грузового транспорта в потоке ΔL <sub>Агруз</sub> , дБА				Табл. 6.2 [16]		3										
Поправка на вид дорожного покрытия ΔL <sub>Апок</sub> , дБА				Табл. 6.5 [16]		0										
Поправка на ширину разделительной полосы ΔL <sub>Арп</sub> , дБА				Табл. 6.6 [16]		0										
* поправка на продольный уклон дорожного полотна учитывается непосредственно при расчёте каждого из точечных эквивалентных источников, дБА																
Эквивалентный уровень шума на расстоянии 7.5 м: L <sub>трп</sub> , дБА				ф-ла (6.1) [16]		Днём - 55.1		Ночью - 52.6								
Максимальный уровень шума на расстоянии 7.5 м: L <sub>трп_макс</sub> , дБА				ф-ла (6.6) [16]		Днём - 57.6		Ночью - 57.6								
Шкала перевода эквивалентного уровня в октавные УЗД, дБ		Δ <sub>корр_авт.</sub>		табл. 7 [11]		0	0	2	-1	-4	-4	-7	-13	0		
Октавные уровни звукового давления на расстоянии 7.5 м днём: L, дБ				L <sub>трп</sub> +Δ <sub>корр_авт.</sub>		0	0	57,1	54,1	51,1	51,1	48,1	42,1	0	55,1	57,6
Октавные уровни звукового давления на расстоянии 7.5 м ночью: L, дБ				L <sub>трп</sub> +Δ <sub>корр_авт.</sub>		0	0	54,6	51,6	48,6	48,6	45,6	39,6	0	52,6	57,6
Октавные уровни удельной (на 1 м) звуковой мощности источника днём: Lw, дБ		Ro = 7.5 м l = 145.51 м		Lw = L + 10lg(Ro) + 8 - 10lg(2arctg(l/2Ro))		0	0	69,2	66,2	63,2	63,2	60,2	54,2	0		

Октавные уровни звуковой мощности максимального звука источника днём: $L_{wmax}$ , дБ	$R_0 = 7.5 \text{ м}$	$L_{wmax} = L_{max} + 20\lg(R_0) + 8$	0	0	85,1	82,1	79,1	79,1	76,1	70,1	0			
Октавные уровни удельной (на 1 м) звуковой мощности источника ночью: $L_w$ , дБ	$R_0 = 7.5 \text{ м}$ $l = 145.51 \text{ м}$	$L_w = L + 10\lg(R_0) + 8 - 10\lg(2\arctg(l/2R_0))$	0	0	66,7	63,7	60,7	60,7	57,7	51,7	0			
Октавные уровни звуковой мощности максимального звука источника ночью: $L_{wmax}$ , дБ	$R_0 = 7.5 \text{ м}$	$L_{wmax} = L_{max} + 20\lg(R_0) + 8$	0	0	85,1	82,1	79,1	79,1	76,1	70,1	0			
Поправка на время работы источника днём $\Delta T_d$ , дБ	$\tau = 16 \text{ ч}$ время работы	$10\lg(\tau/16)$	0											
Поправка на время работы источника ночью $\Delta T_n$ , дБ	$\tau = 0 \text{ ч}$ время работы	$10\lg(\tau/8)$	источник не работает в ночное время											
Эквивалентные уровни удельной (на 1 м) звуковой мощности источника днём, $L_w$ , дБ		$L_w + \Delta T_d$	0	0	69,2	66,2	63,2	63,2	60,2	54,2	0			
Эквивалентные уровни удельной (на 1 м) звуковой мощности источника ночью, $L_w$ , дБ		$L_w + \Delta T_n$	0	0	0	0	0	0	0	0	0			
<b>ИШ-28 Внутренний проезд</b> [протяжённость источника - 358.0 м]														
Описание источника: Регламентные работы по поливу газонов и дорог														
Режим работы источника:							непостоянный							
Продолжительность работы в дневной период (7.00-23.00):							1 час							
Продолжительность работы в ночной период (23.00-7.00):							0 час							
Тип источника шума:							автодорога							
Название:			Ширина = 6 м		Кол-во полос = 1			Ширина разд. полосы = 0 м						
Пространственный угол излучения, рад.			$\Omega = 12.57$	исходные данные										
Вид дорожного покрытия				исходные данные		асфальтобетон								
Суточная интенсивность движения автотранспорта $N_{сут}$ , авт./сутки				исходные данные		1								
Скорость потока при измерении суточной интенсивности, км/ч				исходные данные		10								
Фактическая скорость потока, км/ч				исходные данные		10								
% грузового транспорта в потоке				исходные данные		100								
Расчетная интенсивность движения в дневное время $N_d$ , авт./час				ф-ла (6.3) [16]		0,1								
Расчетная интенсивность движения в ночное время $N_n$ , авт./час				ф-ла (6.4) [16]		0								
Расчетный эквивалентный уровень звука на расстоянии 7.5 м для стандартных условий $L_{Aгрп7.5}$ , дБА				ф-ла (6.2) [16]		Днём: 40.2		Ночью: 37.6						
Поправка на отличие фактической скорости потока $\Delta L_{Аск}$ , дБА				Табл. 6.3 [16]		0								
Поправка на долю грузового транспорта в потоке $\Delta L_{Агруз}$ , дБА				Табл. 6.2 [16]		3								

Поправка на вид дорожного покрытия $\Delta L_{\text{Апок}}$ , дБА		Табл. 6.5 [16]	0											
Поправка на ширину разделительной полосы $\Delta L_{\text{Арп}}$ , дБА		Табл. 6.6 [16]	0											
* поправка на продольный уклон дорожного полотна учитывается непосредственно при расчёте каждого из точечных эквивалентных источников, дБА														
Эквивалентный уровень шума на расстоянии 7.5 м: $L_{\text{трп}}$ , дБА		ф-ла (6.1) [16]	Днём - 43.2				Ночью - 40.6							
Максимальный уровень шума на расстоянии 7.5 м: $L_{\text{трп\_макс}}$ , дБА		ф-ла (6.6) [16]	Днём - 57.6				Ночью - 57.6							
Шкала перевода эквивалентного уровня в октавные УЗД, дБ	$\Delta_{\text{корр\_авт.}}$	табл. 7 [11]	0	0	2	-1	-4	-4	-7	-13	0			
Октавные уровни звукового давления на расстоянии 7.5 м днём: $L$ , дБ		$L_{\text{трп}} + \Delta_{\text{корр\_авт.}}$	0	0	45,2	42,2	39,2	39,2	36,2	30,2	0	43,2	57,6	
Октавные уровни звукового давления на расстоянии 7.5 м ночью: $L$ , дБ		$L_{\text{трп}} + \Delta_{\text{корр\_авт.}}$	0	0	42,6	39,6	36,6	36,6	33,6	27,6	0	40,6	57,6	
Октавные уровни удельной (на 1 м) звуковой мощности источника днём: $L_w$ , дБ	$R_0 = 7.5 \text{ м}$ $l = 357.95 \text{ м}$	$L_w = L + 10\lg(R_0) + 8 - 10\lg(2\arctg(l/2R_0))$	0	0	57	54	51	51	48	42	0			
Октавные уровни звуковой мощности максимального звука источника днём: $L_{w\text{max}}$ , дБ	$R_0 = 7.5 \text{ м}$	$L_{w\text{max}} = L_{\text{max}} + 20\lg(R_0) + 8$	0	0	85,1	82,1	79,1	79,1	76,1	70,1	0			
Октавные уровни удельной (на 1 м) звуковой мощности источника ночью: $L_w$ , дБ	$R_0 = 7.5 \text{ м}$ $l = 357.95 \text{ м}$	$L_w = L + 10\lg(R_0) + 8 - 10\lg(2\arctg(l/2R_0))$	0	0	54,5	51,5	48,5	48,5	45,5	39,5	0			
Октавные уровни звуковой мощности максимального звука источника ночью: $L_{w\text{max}}$ , дБ	$R_0 = 7.5 \text{ м}$	$L_{w\text{max}} = L_{\text{max}} + 20\lg(R_0) + 8$	0	0	85,1	82,1	79,1	79,1	76,1	70,1	0			
Поправка на время работы источника днём $\Delta T_d$ , дБ	$\tau = 1 \text{ ч}$ время работы	$10\lg(\tau/16)$	<b>-12</b>											
Поправка на время работы источника ночью $\Delta T_n$ , дБ	$\tau = 0 \text{ ч}$ время работы	$10\lg(\tau/8)$	<b>источник не работает в ночное время</b>											
Эквивалентные уровни удельной (на 1 м) звуковой мощности источника днём, $L_w$ , дБ		$L_w + \Delta T_d$	0	0	45	42	39	39	36	30	0			
Эквивалентные уровни удельной (на 1 м) звуковой мощности источника ночью, $L_w$ , дБ		$L_w + \Delta T_n$	0	0	0	0	0	0	0	0	0			
<b>ИШ-29 Внутренний проезд</b> [протяжённость источника - 179.6 м]														
Описание источника: Доставка воды, вывоз мусора, стоков														
Режим работы источника:							непостоянный							
Продолжительность работы в дневной период (7.00-23.00):							1 час							
Продолжительность работы в ночной период (23.00-7.00):							0 час							
Тип источника шума:							автодорога							

Название:			Ширина = 6 м			Кол-во полос = 1			Ширина разд. полосы = 0 м				
Пространственный угол излучения, рад.	$\Omega = 12.57$	исходные данные											
Вид дорожного покрытия		исходные данные	асфальтобетон										
Суточная интенсивность движения автотранспорта $N_{сут}$ , авт./сутки		исходные данные	1										
Скорость потока при измерении суточной интенсивности, км/ч		исходные данные	10										
Фактическая скорость потока, км/ч		исходные данные	10										
% грузового транспорта в потоке		исходные данные	100										
Расчетная интенсивность движения в дневное время $N_d$ , авт./час		ф-ла (6.3) [16]	0,1										
Расчетная интенсивность движения в ночное время $N_n$ , авт./час		ф-ла (6.4) [16]	0										
Расчетный эквивалентный уровень звука на расстоянии 7.5 м для стандартных условий $L_{Атрп7.5}$ , дБА		ф-ла (6.2) [16]	Днём: 40.2			Ночью: 37.6							
Поправка на отличие фактической скорости потока $\Delta L_{Аск}$ , дБА		Табл. 6.3 [16]	0										
Поправка на долю грузового транспорта в потоке $\Delta L_{Агруз}$ , дБА		Табл. 6.2 [16]	3										
Поправка на вид дорожного покрытия $\Delta L_{Апок}$ , дБА		Табл. 6.5 [16]	0										
Поправка на ширину разделительной полосы $\Delta L_{Арп}$ , дБА		Табл. 6.6 [16]	0										
* поправка на продольный уклон дорожного полотна учитывается непосредственно при расчёте каждого из точечных эквивалентных источников, дБА													
Эквивалентный уровень шума на расстоянии 7.5 м: $L_{трп}$ , дБА		ф-ла (6.1) [16]	Днём - 43.2			Ночью - 40.6							
Максимальный уровень шума на расстоянии 7.5 м: $L_{трп\_макс}$ , дБА		ф-ла (6.6) [16]	Днём - 57.6			Ночью - 57.6							
Шкала перевода эквивалентного уровня в октавные УЗД, дБ	$\Delta_{корр\_авт.}$	табл. 7 [11]	0	0	2	-1	-4	-4	-7	-13	0		
Октавные уровни звукового давления на расстоянии 7.5 м днём: $L$ , дБ		$L_{трп} + \Delta_{корр\_авт.}$	0	0	45,2	42,2	39,2	39,2	36,2	30,2	0	43,2	57,6
Октавные уровни звукового давления на расстоянии 7.5 м ночью: $L$ , дБ		$L_{трп} + \Delta_{корр\_авт.}$	0	0	42,6	39,6	36,6	36,6	33,6	27,6	0	40,6	57,6
Октавные уровни удельной (на 1 м) звуковой мощности источника днём: $L_w$ , дБ	$R_o = 7.5 \text{ м}$ $l = 179.58 \text{ м}$	$L_w = L + 10\lg(R_o) + 8 - 10\lg(2\arctg(l/2R_o))$	0	0	57,2	54,2	51,2	51,2	48,2	42,2	0		
Октавные уровни звуковой мощности максимального звука источника днём: $L_{wmax}$ , дБ	$R_o = 7.5 \text{ м}$	$L_{wmax} = L_{max} + 20\lg(R_o) + 8$	0	0	85,1	82,1	79,1	79,1	76,1	70,1	0		
Октавные уровни удельной (на 1 м) звуковой мощности источника ночью: $L_w$ , дБ	$R_o = 7.5 \text{ м}$ $l = 179.58 \text{ м}$	$L_w = L + 10\lg(R_o) + 8 - 10\lg(2\arctg(l/2R_o))$	0	0	54,6	51,6	48,6	48,6	45,6	39,6	0		

Октавные уровни звуковой мощности максимального звука источника ночью: $L_{wmax}$ , дБ	$R_0 = 7.5 \text{ м}$	$L_{wmax} = L_{max} + 20\lg(R_0) + 8$	0	0	85,1	82,1	79,1	79,1	76,1	70,1	0			
Поправка на время работы источника днём $\Delta T_d$ , дБ	$\tau = 1 \text{ ч}$ время работы	$10\lg(\tau/16)$	-12											
Поправка на время работы источника ночью $\Delta T_n$ , дБ	$\tau = 0 \text{ ч}$ время работы	$10\lg(\tau/8)$	источник не работает в ночное время											
Эквивалентные уровни удельной (на 1м) звуковой мощности источника днём, $L_w$ , дБ		$L_w + \Delta T_d$	0	0	45,1	42,1	39,1	39,1	36,1	30,1	0			
Эквивалентные уровни удельной (на 1м) звуковой мощности источника ночью, $L_w$ , дБ		$L_w + \Delta T_n$	0	0	0	0	0	0	0	0	0			
<b>ИШ-30 Стоянка спецтехники</b> [площадь источника - 608.9 м <sup>2</sup> ]														
Режим работы источника:			непостоянный											
Продолжительность работы в дневной период (7.00-23.00):			4 час											
Продолжительность работы в ночной период (23.00-7.00):			0 час											
Тип источника шума:			внешние источники шума											
Категория источника шума:			Источники шума на прилегающей территории											
Название:			Проезды, трогание с места грузовых автомашин на внутриквартальных территориях											
Примечание:														
Пространственный угол излучения, рад.	$\Omega = 12.57$	исходные данные												
Уровни звукового давления $L$ на опорном расстоянии $d$ , дБ	$d = 7.5 \text{ м}$	исходные данные	0	76	70	64	61	58	54	50	42			
Площадь источника шума $S$ , м <sup>2</sup>		исходные данные	608,86											
Площадь измерительной поверхности, расположенной на расстоянии $d$ от внешнего контура источника шума $S_d$ , м <sup>2</sup>		исходные данные	1574,19											
Октавные уровни удельной (на 1м <sup>2</sup> ) звуковой мощности источника $L_w$ , дБ		$L_w = L + 10\lg(S_d/S)$	0	80,1	74,1	68,1	65,1	62,1	58,1	54,1	46,1			
Поправка на время работы источника днём $\Delta T_d$ , дБ	$\tau = 4 \text{ ч}$ время работы	$10\lg(\tau/16)$	-6											
Поправка на время работы источника ночью $\Delta T_n$ , дБ	$\tau = 0 \text{ ч}$ время работы	$10\lg(\tau/8)$	источник не работает в ночное время											
Эквивалентные уровни удельной (на 1м <sup>2</sup> ) звуковой мощности источника днём, $L_w$ , дБ		$L_w + \Delta T_d$	0	74,1	68,1	62,1	59,1	56,1	52,1	48,1	40,1			
Эквивалентные уровни удельной (на 1м <sup>2</sup> ) звуковой мощности источника ночью, $L_w$ , дБ		$L_w + \Delta T_n$	0	0	0	0	0	0	0	0	0			
<b>ИШ-31 Мойка колес</b> [координаты на плане (x,y,z), м = (2289.5,2254.0,1.0)]														
Режим работы источника:			непостоянный											

Продолжительность работы в дневной период (7.00-23.00):			2 час													
Продолжительность работы в ночной период (23.00-7.00):			0 час													
Тип источника шума:			внешние источники шума													
Категория источника шума:																
Вид агрегата/работ:																
Описание агрегата/работ:																
Пространственный угол излучения, рад.	$\Omega = 6.28$	исходные данные														
Уровни звукового давления L на опорном расстоянии d, дБ	d = 3 м	исходные данные	85,2	78,2	77,3	75,4	75,4	76,4	75,7	72,6	71,8					
Габариты источника шума, м			исходные данные			длина (l <sub>1</sub> ) = 0.00			ширина (l <sub>2</sub> ) = 0.00			высота (l <sub>3</sub> ) = 0.00				
Октавные уровни звуковой мощности источника L <sub>w</sub> , дБ			L <sub>w</sub> = L + 20lg(d) + 10lg(Ω)			102,7	95,7	94,8	92,9	92,9	93,9	93,2	90,1	89,3		
Поправка на время работы источника днём ΔТд, дБ	τ = 2 ч время работы	10Lg(τ/16)	-9													
Поправка на время работы источника ночью ΔТн, дБ	τ = 0 ч время работы	10Lg(τ/8)	источник не работает в ночное время													
Эквивалентные уровни звуковой мощности источника днём, L <sub>w</sub> , дБ			L <sub>w</sub> + ΔТд			93,7	86,7	85,8	83,9	83,9	84,9	84,2	81,1	80,3		
Эквивалентные уровни звуковой мощности источника ночью, L <sub>w</sub> , дБ			L <sub>w</sub> + ΔТн			0	0	0	0	0	0	0	0	0		

**Определение уровней звукового давления в точке РТ-1  
(координаты точки, м: x = 2198.87, y = 2656.50, z = 1.50)**

Наименование величин и их описание	Ссылка	Уровни звукового давления, дБ, в октавных полосах, со среднегеометрическими частотами, Гц										La, дБА	Lmax, дБА
		31,5	63	125	250	500	1000	2000	4000	8000			
1	2	3	4	5	6	7	8	9	10	11	12	13	
<b>ИШ-1 Разгрузочно-погрузочные работы</b>													
Источник площадной, площадь = 3583.66 м. По положениям ГОСТ 31295-2 разбит на серию точечных эквивалентных источников. Количество эквивалентных источников: 2. Расчёт эквивалентных источников шума:													
Октавные уровни удельной звуковой мощности источника днём, Lw, дБ/м2	исходные данные	0	70,6	67,6	63,6	62,6	60,6	56,6	53,6	47,6			
Октавные уровни удельной звуковой мощности источника ночью, Lw, дБ/м2	исходные данные	0	0	0	0	0	0	0	0	0			
<b>Источник шума: ИШ-1 Разгрузочно-погрузочные работы_эkv(1), координаты источника (x,y,z), м =[2287.23,2341.32,0.20]</b>													
Приведённые уровни звуковой мощности источника днём, Lw, дБ	Sx = 4865.8 м2	Lw(удельн.) + 10Lg(Sx)	0	107,5	104,5	100,5	99,5	97,5	93,5	90,5	84,5		
Приведённые уровни звуковой мощности максимального звука источника днём, Lwx, дБ	Sx = 4865.8 м2	Lwx(удельн.) + 10Lg(Sx)	0	112,1	109,1	105,1	104,1	102,1	98,1	95,1	89,1		
Приведённые уровни звуковой мощности источника ночью, Lw, дБ	Sx = 4865.8 м2	Lw(удельн.) + 10Lg(Sx)	0	0	0	0	0	0	0	0	0		
Приведённые уровни звуковой мощности максимального звука источника ночью, Lwx, дБ	Sx = 4865.8 м2	Lwx(удельн.) + 10Lg(Sx)	0	0	0	0	0	0	0	0	0		
Поправка на телесный угол DΩ, дБ	Ω = 12.57	10Lg(4π/Ω)	0	0	0	0	0	0	0	0	0		
Показатель направленности источника Di, дБ		исходные данные	0	0	0	0	0	0	0	0	0		
Поправка на направленность источника Dc, дБ	Dc	DΩ + Di	0	0	0	0	0	0	0	0	0		
Затухание из-за геометрической дивергенции, Adiv, дБ	расстояние = 327.33 м	φ-ла (7) [10]	<b>61,3</b>										
Коэффициент затухания звука в атмосфере α, дБ/км	Ta=20,°C Pa=101.33,кПа hотн.=70%	φ-ла (5) [9]	0,02	0,09	0,33	1,12	2,79	4,98	9,04	23,09	77,63		
Учет затухания звука в атмосфере Aatm, дБ		φ-ла (8) [10]	0	0	0,1	0,4	0,9	1,6	3	7,6	25,4		
<b>Снижение уровня звукового давления из-за влияния застройки между источником шума и расчетной точкой</b>													

Траектория над экраном	Промежуточные точки:	$P_{ss}(x,y,z) = (2282.52, 2358.09, 2.00)$	$P_{sr}(x,y,z) = (2282.47, 2358.29, 2.00)$	dss = 17.51 м		dsr = 309.71 м		e = 0.21 м		z = 0.09 м				
	Константа C2, учитывающая эффект отражения от земли возле экрана			40	40	40	40	40	40	40	40	40		
	Константа C3 (дифракция на кромках)			ф-ла (15) [10]	1	1	1	1	1	1	1,1	1,5		
	$K_{мет}$ (влияние метеословий)			ф-ла (18) [10]	0,2	0,2	0,2	0,2	0,2	0,2	0,2	0,2		
Снижение УЗД, Dz, дБ			ф-ла (14) [10]	4,9	5	5,2	5,5	6,1	7,2	8,8	11,2	14,7		
<b>Уровни звукового давления прямого звука от источника ИШ-1 Разгрузочно-погрузочные работы_эква(1) в расчётной точке днём, дБ</b>			ф-ла(3)[10]	0	41,2	37,9	33,3	31,1	27,4	20,4	10,4	0	32,6	37,2
* уровни звукового давления для определения максимального прямого звука от источника ИШ-1 Разгрузочно-погрузочные работы_эква(1) в расчётной точке днём, дБ			ф-ла(3)[10]	0	45,8	42,6	38	35,8	32	25,1	15,1	0	37,2	
<b>Уровни звукового давления прямого звука от источника ИШ-1 Разгрузочно-погрузочные работы_эква(1) в расчётной точке ночью, дБ</b>			ф-ла(3)[10]	0	0	0	0	0	0	0	0	0	0	0
* уровни звукового давления для определения максимального прямого звука от источника ИШ-1 Разгрузочно-погрузочные работы_эква(1) в расчётной точке ночью, дБ			ф-ла(3)[10]	0	0	0	0	0	0	0	0	0	0	
<b>Расчёт отражённого звука</b>														
<b>Мнимый источник ИШ-1 Разгрузочно-погрузочные работы_эква(1)_мн.(1), образованный отражением от поверхности препятствия Экран-1</b>														
Координаты точки отражения (x,y,z), м		(2264.2, 2170.5, 0.5)	Дистанция между ИШ и ИШм: R(ИШ-ИШм) = 172.3м Дистанция между ИШм и РТ: R(ИШм-РТ) = 490.4м											
Коэффициент отражения поверхности $\rho$		исходные данные	0,8	0,8	0,8	0,8	0,8	0,8	0,8	0,8	0,8	0,8		
Поправка на телесный угол $D\Omega$ , дБ		$\Omega = 12.57$	$10Lg(4\pi/\Omega)$	0	0	0	0	0	0	0	0	0		
Показатель направленности источника $D_i$ , дБ		исходные данные	0	0	0	0	0	0	0	0	0	0		
Поправка на направленность источника $Dir$ , дБ		$Dir$	$D\Omega + D_i$	0	0	0	0	0	0	0	0	0		
<b>Уровни звуковой мощности мнимого источника днём, дБ</b>			ф-ла (20)[10]	0	106,5	103,5	99,5	98,5	96,5	92,5	89,5	83,5		
<b>Уровни звуковой мощности максимального звука мнимого источника днём, дБ</b>			ф-ла (20)[10]	0	74,3	71,3	67,3	66,3	64,3	60,3	57,3	51,3		
<b>Уровни звуковой мощности мнимого источника ночью, дБ</b>			ф-ла (20)[10]	0	0	0	0	0	0	0	0	0		
<b>Уровни звуковой мощности максимального звука мнимого источника ночью, дБ</b>			ф-ла (20)[10]	0	0	0	0	0	0	0	0	0		
Затухание из-за геометрической дивергенции, $A_{div}$ , дБ		расстояние = 662.70 м	ф-ла (7) [10]	67,4										
Коэффициент затухания звука в атмосфере $\alpha$ , дБ/км		$T_a=20, ^\circ C$ $P_a=101.33, \text{кПа}$ $h_{отн.}=70\%$	ф-ла (5) [9]	0,02	0,09	0,33	1,12	2,79	4,98	9,04	23,09	77,63		
Учет затухания звука в атмосфере $A_{atm}$ , дБ			ф-ла (8) [10]	0	0,1	0,2	0,7	1,8	3,3	6	15,3	51,4		

<b>Снижение уровня звукового давления из-за влияния застройки между источником шума и расчетной точкой</b>														
Траектория над экраном	Промежуточные точки:	$P_{ss}(x,y,z) = (2239.00, 2358.19, 2.00)$	$P_{sr}(x,y,z) = (2238.97, 2358.39, 2.00)$	$d_{ss} = 189.37$ м		$d_{sr} = 300.79$ м		$e = 0.20$ м		$z = 0.01$ м				
	Константа С2, учитывающая эффект отражения от земли возле экрана			40	40	40	40	40	40	40	40	40		
	Константа С3 (дифракция на кромках)			1	1	1	1	1	1	1	1,1	1,5		
	$K_{мет}$ (влияние метеословий)			0	0	0	0	0	0	0	0	0		
	Снижение УЗД, Dz, дБ			4,8	4,8	4,8	4,8	4,8	4,8	4,8	4,8	4,8		
Критерий наличия отражения в октавной полосе		$l_{min} = 2$ м	ф-ла (19)[10]	нет	нет	нет	нет	нет	нет	нет	нет	нет		
<b>Уровни звукового давления от мнимого источника ИШ-1 Разгрузочно-погрузочные работы_эква(1)_мн.(1) в расчётной точке днём, дБ</b>			ф-ла(3)[10]	0	0	0	0	0	0	0	0	0	0	0
<b>Уровни звукового давления от мнимого источника ИШ-1 Разгрузочно-погрузочные работы_эква(1)_мн.(1) в расчётной точке ночью, дБ</b>			ф-ла(3)[10]	0	0	0	0	0	0	0	0	0	0	0
<b>Уровни звукового давления от источника ИШ-1 Разгрузочно-погрузочные работы_эква(1) в расчётной точке днём, дБ</b>			ф-ла(3)[10]	0	41,2	37,9	33,3	31,1	27,4	20,4	10,4	0	32,6	37,2
<b>Уровни звукового давления от источника ИШ-1 Разгрузочно-погрузочные работы_эква(1) в расчётной точке ночью, дБ</b>			ф-ла(3)[10]	0	0	0	0	0	0	0	0	0	0	0
<b>Источник шума: ИШ-1 Разгрузочно-погрузочные работы_эква(2), координаты источника (x,y,z), м =[2239.52,2331.48,0.20]</b>														
Приведённые уровни звуковой мощности источника днём, Lw, дБ		$S_x = 2717.2$ м <sup>2</sup>	$L_w(\text{удельн.}) + 10L_g(S_x)$	0	105	102	98	97	95	91	88	82		
Приведённые уровни звуковой мощности максимального звука источника днём, Lwx, дБ		$S_x = 2717.2$ м <sup>2</sup>	$L_{wx}(\text{удельн.}) + 10L_g(S_x)$	0	109,6	106,6	102,6	101,6	99,6	95,6	92,6	86,6		
Приведённые уровни звуковой мощности источника ночью, Lw, дБ		$S_x = 2717.2$ м <sup>2</sup>	$L_w(\text{удельн.}) + 10L_g(S_x)$	0	0	0	0	0	0	0	0	0		
Приведённые уровни звуковой мощности максимального звука источника ночью, Lwx, дБ		$S_x = 2717.2$ м <sup>2</sup>	$L_{wx}(\text{удельн.}) + 10L_g(S_x)$	0	0	0	0	0	0	0	0	0		
Поправка на телесный угол $D\Omega$ , дБ		$\Omega = 12.57$	$10L_g(4\pi/\Omega)$	0	0	0	0	0	0	0	0	0		
Показатель направленности источника $D_i$ , дБ			исходные данные	0	0	0	0	0	0	0	0	0		
Поправка на направленность источника $D_c$ , дБ		$D_c$	$D\Omega + D_i$	0	0	0	0	0	0	0	0	0		
Затухание из-за геометрической дивергенции, $A_{div}$ , дБ		расстояние = 327.56 м	ф-ла (7) [10]	<b>61,3</b>										

Коэффициент затухания звука в атмосфере $\alpha$ , дБ/км	$T_a=20,^{\circ}\text{C}$ $P_a=101.33, \text{кПа}$ $\text{hотн.}=70\%$	ф-ла (5) [9]	0,02	0,09	0,33	1,12	2,79	4,98	9,04	23,09	77,63			
Учет затухания звука в атмосфере $A_{\text{atm}}$ , дБ		ф-ла (8) [10]	0	0	0,1	0,4	0,9	1,6	3	7,6	25,4			
<b>Снижение уровня звукового давления из-за влияния застройки между источником шума и расчетной точкой</b>														
Траектория над экраном	Промежуточные точки:	$P_{\text{ss}}(x,y,z) = (2236.17, 2358.20, 2.00)$	$P_{\text{sr}}(x,y,z) = (2236.15, 2358.40, 2.00)$	$d_{\text{ss}} = 26.99 \text{ м}$		$d_{\text{sr}} = 300.42 \text{ м}$		$e = 0.20 \text{ м}$		$z = 0.06 \text{ м}$				
	Константа $C_2$ , учитывающая эффект отражения от земли возле экрана			40	40	40	40	40	40	40	40	40		
	Константа $C_3$ (дифракция на кромках)		ф-ла (15) [10]	1	1	1	1	1	1	1	1,1	1,5		
	$K_{\text{мет}}$ (влияние метеословий)		ф-ла (18) [10]	0,1	0,1	0,1	0,1	0,1	0,1	0,1	0,1	0,1		
Снижение $U_{\text{ЗД}}$ , $D_z$ , дБ		ф-ла (14) [10]	4,8	4,8	4,9	5	5,2	5,6	6,3	7,7	10,1			
<b>Уровни звукового давления прямого звука от источника ИШ-1 Разгрузочно-погрузочные работы_эква(2) в расчётной точке днём, дБ</b>			ф-ла(3)[10]	0	38,8	35,7	31,3	29,6	26,4	20,4	11,4	0	31,2	35,9
* уровни звукового давления для определения максимального прямого звука от источника ИШ-1 Разгрузочно-погрузочные работы_эква(2) в расчётной точке днём, дБ			ф-ла(3)[10]	0	43,5	40,3	35,9	34,2	31,1	25	16,1	0	35,9	
<b>Уровни звукового давления прямого звука от источника ИШ-1 Разгрузочно-погрузочные работы_эква(2) в расчётной точке ночью, дБ</b>			ф-ла(3)[10]	0	0	0	0	0	0	0	0	0	0	0
* уровни звукового давления для определения максимального прямого звука от источника ИШ-1 Разгрузочно-погрузочные работы_эква(2) в расчётной точке ночью, дБ			ф-ла(3)[10]	0	0	0	0	0	0	0	0	0	0	
<b>Расчёт отражённого звука</b>														
<b>Мнимый источник ИШ-1 Разгрузочно-погрузочные работы_эква(2)_мн.(1), образованный отражением от поверхности препятствия Экран-1</b>														
Координаты точки отражения $(x,y,z)$ , м	(2229.4, 2170.5, 0.5)	Дистанция между ИШ и ИШм: $R(\text{ИШ}-\text{ИШм}) = 161.3 \text{ м}$ Дистанция между ИШм и РТ: $R(\text{ИШм}-\text{РТ}) = 486.9 \text{ м}$												
Коэффициент отражения поверхности $\rho$		исходные данные	0,8	0,8	0,8	0,8	0,8	0,8	0,8	0,8	0,8	0,8		
Поправка на телесный угол $D\Omega$ , дБ	$\Omega = 12.57$	$10Lg(4\pi/\Omega)$	0	0	0	0	0	0	0	0	0	0		
Показатель направленности источника $D_i$ , дБ		исходные данные	0	0	0	0	0	0	0	0	0	0		
Поправка на направленность источника $Dir$ , дБ	$Dir$	$D\Omega + D_i$	0	0	0	0	0	0	0	0	0	0		
<b>Уровни звуковой мощности мнимого источника днём, дБ</b>			ф-ла (20)[10]	0	104	101	97	96	94	90	87	81		
<b>Уровни звуковой мощности максимального звука мнимого источника днём, дБ</b>			ф-ла (20)[10]	0	74,3	71,3	67,3	66,3	64,3	60,3	57,3	51,3		
<b>Уровни звуковой мощности мнимого источника ночью, дБ</b>			ф-ла (20)[10]	0	0	0	0	0	0	0	0	0		
<b>Уровни звуковой мощности максимального звука мнимого источника ночью, дБ</b>			ф-ла (20)[10]	0	0	0	0	0	0	0	0	0		

Затухание из-за геометрической дивергенции, $A_{div}$ , дБ	расстояние = 648.21 м	ф-ла (7) [10]	67,2											
Коэффициент затухания звука в атмосфере $\alpha$ , дБ/км	$T_a=20,^{\circ}C$ $P_a=101.33, кПа$ относ.=70%	ф-ла (5) [9]	0,02	0,09	0,33	1,12	2,79	4,98	9,04	23,09	77,63			
Учет затухания звука в атмосфере $A_{atm}$ , дБ		ф-ла (8) [10]	0	0,1	0,2	0,7	1,8	3,2	5,9	15	50,3			
<b>Снижение уровня звукового давления из-за влияния застройки между источником шума и расчетной точкой</b>														
Траектория над экраном	Промежуточные точки:	$P_{ss}(x,y,z) = (2217.61, 2358.24, 2.00)$	$P_{sr}(x,y,z) = (2217.59, 2358.44, 2.00)$	$d_{ss} = 188.10$ м		$d_{sr} = 298.65$ м		$e = 0.20$ м		$z = 0.01$ м				
	Константа $C_2$ , учитывающая эффект отражения от земли возле экрана		40	40	40	40	40	40	40	40	40			
	Константа $C_3$ (дифракция на кромках)		ф-ла (15) [10]	1	1	1	1	1	1	1	1,1	1,5		
	$K_{мет}$ (влияние метеословий)		ф-ла (18) [10]	0	0	0	0	0	0	0	0	0		
Снижение УЗД, $D_z$ , дБ		ф-ла (14) [10]	4,8	4,8	4,8	4,8	4,8	4,8	4,8	4,8	4,8			
Критерий наличия отражения в октавной полосе	$l_{min} = 2$ м	ф-ла (19)[10]	нет	нет	нет	нет	нет	нет	нет	нет	нет			
<b>Уровни звукового давления от мнимого источника ИШ-1 Разгрузочно-погрузочные работы_экв(2)_мн.(1) в расчётной точке днём, дБ</b>		ф-ла(3)[10]	0	0	0	0	0	0	0	0	0	0	0	
<b>Уровни звукового давления от мнимого источника ИШ-1 Разгрузочно-погрузочные работы_экв(2)_мн.(1) в расчётной точке ночью, дБ</b>		ф-ла(3)[10]	0	0	0	0	0	0	0	0	0	0	0	
<b>Уровни звукового давления от источника ИШ-1 Разгрузочно-погрузочные работы_экв(2) в расчётной точке днём, дБ</b>		ф-ла(3)[10]	0	38,8	35,7	31,3	29,6	26,4	20,4	11,4	0	31,2	35,9	
<b>Уровни звукового давления от источника ИШ-1 Разгрузочно-погрузочные работы_экв(2) в расчётной точке ночью, дБ</b>		ф-ла(3)[10]	0	0	0	0	0	0	0	0	0	0	0	
<b>Суммарные уровни звукового давления от площадного источника ИШ-1 Разгрузочно-погрузочные работы в расчётной точке днём, дБ</b>		ф-ла (19) [1]	0	43,2	40	35,4	33,4	29,9	23,4	14	0	35	39,6	
<b>Суммарные уровни звукового давления от площадного источника ИШ-1 Разгрузочно-погрузочные работы в расчётной точке ночью, дБ</b>		ф-ла (19) [1]	0	0	0	0	0	0	0	0	0	0	0	
Требуемое снижение днём, $\Delta L_{треб}$ , дБ		ф-лы (15),(16) [6]	0	-22	-16	-13,8	-10,8	-10,3	-12,6	-20	0			
Требуемое снижение ночью, $\Delta L_{треб}$ , дБ		ф-лы (15),(16) [6]	0	0	0	0	0	0	0	0	0			
<b>Источник шума: ИШ-2 Валковый измельчитель Doppstadt DW3060, координаты источника (x,y,z), м = [2329.91, 2334.64, 1.00]</b>														
<b>Уровни звуковой мощности источника днём, <math>L_w</math>, дБ</b>		исходные данные	0	114,9	114	107,5	102	97,7	93,4	88,6	84,3			
<b>Уровни звуковой мощности максимального звука источника днём, <math>L_{wx}</math>, дБ</b>		исходные данные	0	119,9	119	112,5	107	102,7	98,4	93,6	89,3			

<b>Уровни звуковой мощности источника ночью, Lw, дБ</b>		исходные данные	0	0	0	0	0	0	0	0	0	0		
<b>Уровни звуковой мощности максимального звука источника ночью, Lwx, дБ</b>		исходные данные	0	0	0	0	0	0	0	0	0	0		
Поправка на телесный угол DΩ, дБ	Ω = 6.28	10Lg(4π/Ω)	3	3	3	3	3	3	3	3	3	3		
Показатель направленности источника Di, дБ		исходные данные	0	0	0	0	0	0	0	0	0	0		
Поправка на направленность источника Dc, дБ	Dc	DΩ + Di	3	3	3	3	3	3	3	3	3	3		
Затухание из-за геометрической дивергенции, Adiv, дБ	расстояние = 347.51 м	φ-ла (7) [10]	<b>61,8</b>											
Коэффициент затухания звука в атмосфере α, дБ/км	Ta=20,°C Pa=101.33,кПа hотн.=70%	φ-ла (5) [9]	0,02	0,09	0,33	1,12	2,79	4,98	9,04	23,09	77,63			
Учет затухания звука в атмосфере Aatm, дБ		φ-ла (8) [10]	0	0	0,1	0,4	1	1,7	3,1	8	27			
<b>Снижение уровня звукового давления из-за влияния застройки между источником шума и расчетной точкой</b>														
Траектория над экраном	Промежуточные точки:	Pss(x,y,z) = (2320.39,2358.00,2.00)	Psr(x,y,z) = (2320.31,2358.20,2.00)	dss = 25.25 м	dsr = 322.07 м	e = 0.22 м	z = 0.02 м							
	Константа C2, учитывающая эффект отражения от земли возле экрана			40	40	40	40	40	40	40	40	40		
	Константа C3 (дифракция на кромках)		φ-ла (15) [10]	1	1	1	1	1	1	1	1,2	1,5		
	Kмет (влияние метеословий)		φ-ла (18) [10]	0	0	0	0	0	0	0	0	0		
	Снижение УЗД, Dz, дБ		φ-ла (14) [10]	4,8	4,8	4,8	4,8	4,8	4,8	4,9	5	5,3		
<b>Уровни звукового давления от источника ИШ-2 Валковский измельчитель Doppstadt DW3060 в расчётной точке днём, дБ</b>		φ-ла(3)[10]	0	51,3	50,3	43,5	37,4	32,3	26,5	16,7	0	40,4	45,5	
<b>Уровни звукового давления от источника ИШ-2 Валковский измельчитель Doppstadt DW3060 в расчётной точке ночью, дБ</b>		φ-ла(3)[10]	0	0	0	0	0	0	0	0	0	0	0	
Требуемое снижение днём, ΔLтреб, дБ		φ-лы (15),(16) [6]	0	-15,7	-10,7	-7,5	-6,8	-7,9	-10,7	-18,5	0			
Требуемое снижение ночью, ΔLтреб, дБ		φ-лы (15),(16) [6]	0	0	0	0	0	0	0	0	0			
<b>ИШ-25 Разгрузочно-погрузочные работы</b>														
Источник площадной, площадь = 3984.00 м. По положениям ГОСТ 31295-2 разбит на серию точечных эквивалентных источников. Количество эквивалентных источников: 1. Расчёт эквивалентных источников шума:														
Октавные уровни удельной звуковой мощности источника днём, Lw, дБ/м2		исходные данные	0	70,6	67,6	63,6	62,6	60,6	56,6	53,6	47,6			
Октавные уровни удельной звуковой мощности источника ночью, Lw, дБ/м2		исходные данные	0	0	0	0	0	0	0	0	0			
<b>Источник шума: ИШ-25 Разгрузочно-погрузочные работы_экв(1), координаты источника (x,y,z), м =[2123.72,2261.84,0.20]</b>														
Приведённые уровни звуковой мощности источника днём, Lw, дБ		Sx = 6115.4 м2	Lw(удельн.) + 10Lg(Sx)	0	108,4	105,4	101,4	100,4	98,4	94,4	91,4	85,4		

Приведённые уровни звуковой мощности максимального звука источника днём, Lwx, дБ	Sx = 6115.4 м2	Lwx(удельн.) + 10Lg(Sx)	0	113,1	110,1	106,1	105,1	103,1	99,1	96,1	90,1			
Приведённые уровни звуковой мощности источника ночью, Lw, дБ	Sx = 6115.4 м2	Lw(удельн.) + 10Lg(Sx)	0	0	0	0	0	0	0	0	0			
Приведённые уровни звуковой мощности максимального звука источника ночью, Lwx, дБ	Sx = 6115.4 м2	Lwx(удельн.) + 10Lg(Sx)	0	0	0	0	0	0	0	0	0			
Поправка на телесный угол DΩ, дБ	Ω = 12.57	10Lg(4π/Ω)	0	0	0	0	0	0	0	0	0			
Показатель направленности источника Di, дБ		исходные данные	0	0	0	0	0	0	0	0	0			
Поправка на направленность источника Dc, дБ	Dc	DΩ + Di	0	0	0	0	0	0	0	0	0			
Затухание из-за геометрической дивергенции, Adiv, дБ	расстояние = 401.75 м	φ-ла (7) [10]	<b>63,1</b>											
Коэффициент затухания звука в атмосфере α, дБ/км	Ta=20,°C Pa=101.33,кПа hотн.=70%	φ-ла (5) [9]	0,02	0,09	0,33	1,12	2,79	4,98	9,04	23,09	77,63			
Учет затухания звука в атмосфере Aatm, дБ		φ-ла (8) [10]	0	0	0,1	0,5	1,1	2	3,6	9,3	31,2			
<b>Снижение уровня звукового давления из-за влияния застройки между источником шума и расчетной точкой</b>														
Траектория над экраном	Промежуточные точки:	Pss(x,y,z) = (2134.53,2318.62,2.00)	Psr(x,y,z) = (2142.15,2358.61,2.00)	dss = 57.83 м	dsr = 303.24 м	e = 40.71 м	z = 0.03 м							
	Константа C2, учитывающая эффект отражения от земли возле экрана			40	40	40	40	40	40	40	40			
	Константа C3 (дифракция на кромках)			φ-ла (15) [10]	1,3	1,9	2,5	2,8	3	3	3	3		
	Kмет (влияние метеословий)			φ-ла (18) [10]	0	0	0	0	0	0	0	0		
Снижение УЗД, Dz, дБ			φ-ла (14) [10]	4,8	4,8	4,8	4,8	4,8	4,8	4,9	4,9	5,1		
<b>Уровни звукового давления прямого звука от источника ИШ-25 Разгрузочно-погрузочные работы_эква(1) в расчётной точке днём, дБ</b>			φ-ла(3)[10]	0	40,6	37,5	33,1	31,5	28,6	22,9	14,2	0	33,3	37,9
* уровни звукового давления для определения максимального прямого звука от источника ИШ-25 Разгрузочно-погрузочные работы_эква(1) в расчётной точке днём, дБ			φ-ла(3)[10]	0	45,2	42,1	37,8	36,1	33,2	27,5	18,8	0	37,9	
<b>Уровни звукового давления прямого звука от источника ИШ-25 Разгрузочно-погрузочные работы_эква(1) в расчётной точке ночью, дБ</b>			φ-ла(3)[10]	0	0	0	0	0	0	0	0	0	0	0
* уровни звукового давления для определения максимального прямого звука от источника ИШ-25 Разгрузочно-погрузочные работы_эква(1) в расчётной точке ночью, дБ			φ-ла(3)[10]	0	0	0	0	0	0	0	0	0	0	
<b>Расчёт отражённого звука</b>														

<b>Мнимый источник ИШ-25 Разгрузочно-погрузочные работы_эkv(1)_мн.(1), образованный отражением от поверхности препятствия Экран-1</b>													
Координаты точки отражения (x,y,z), м	(2128.4,2234.0,0.3)	Дистанция между ИШ и ИШм: R(ИШ-ИШм) = 28.2м Дистанция между ИШм и РТ: R(ИШм-РТ) = 428.3м											
Коэффициент отражения поверхности $\rho$		исходные данные	0,8	0,8	0,8	0,8	0,8	0,8	0,8	0,8	0,8	0,8	
Поправка на телесный угол $D\Omega$ , дБ	$\Omega = 12.57$	$10Lg(4\pi/\Omega)$	0	0	0	0	0	0	0	0	0	0	
Показатель направленности источника $D_i$ , дБ		исходные данные	0	0	0	0	0	0	0	0	0	0	
Поправка на направленность источника $Dir$ , дБ	$Dir$	$D\Omega + D_i$	0	0	0	0	0	0	0	0	0	0	
<b>Уровни звуковой мощности мнимого источника днём, дБ</b>		<b>ф-ла (20)[10]</b>	<b>0</b>	<b>107,5</b>	<b>104,5</b>	<b>100,5</b>	<b>99,5</b>	<b>97,5</b>	<b>93,5</b>	<b>90,5</b>	<b>84,5</b>		
<b>Уровни звуковой мощности максимального звука мнимого источника днём, дБ</b>		<b>ф-ла (20)[10]</b>	<b>0</b>	<b>74,2</b>	<b>71,2</b>	<b>67,2</b>	<b>66,2</b>	<b>64,2</b>	<b>60,2</b>	<b>57,2</b>	<b>51,2</b>		
<b>Уровни звуковой мощности мнимого источника ночью, дБ</b>		<b>ф-ла (20)[10]</b>	<b>0</b>	<b>0</b>	<b>0</b>	<b>0</b>	<b>0</b>	<b>0</b>	<b>0</b>	<b>0</b>	<b>0</b>		
<b>Уровни звуковой мощности максимального звука мнимого источника ночью, дБ</b>		<b>ф-ла (20)[10]</b>	<b>0</b>	<b>0</b>	<b>0</b>	<b>0</b>	<b>0</b>	<b>0</b>	<b>0</b>	<b>0</b>	<b>0</b>		
Затухание из-за геометрической дивергенции, $A_{div}$ , дБ	расстояние = 456.49 м	ф-ла (7) [10]	<b>64,2</b>										
Коэффициент затухания звука в атмосфере $\alpha$ , дБ/км	$T_a=20,^{\circ}C$ $P_a=101.33, кПа$ относ.=70%	ф-ла (5) [9]	0,02	0,09	0,33	1,12	2,79	4,98	9,04	23,09	77,63		
Учет затухания звука в атмосфере $A_{atm}$ , дБ		ф-ла (8) [10]	0	0	0,2	0,5	1,3	2,3	4,1	10,5	35,4		
<b>Снижение уровня звукового давления из-за влияния застройки между источником шума и расчетной точкой</b>													
Траектория над экраном	Промежуточные точки:	$P_{ss}(x,y,z) = (2142.49,2318.62,2.00)$	$P_{sr}(x,y,z) = (2149.16,2358.60,2.00)$	$d_{ss} = 85.77$ м	$d_{sr} = 302.02$ м	$e = 40.53$ м	$z = 0.02$ м						
	Константа $C_2$ , учитывающая эффект отражения от земли возле экрана			40	40	40	40	40	40	40	40	40	
	Константа $C_3$ (дифракция на кромках)		ф-ла (15) [10]	1,3	1,9	2,5	2,8	3	3	3	3	3	
	$K_{мет}$ (влияние метеоусловий)		ф-ла (18) [10]	0	0	0	0	0	0	0	0	0	
Снижение УЗД, $D_z$ , дБ		ф-ла (14) [10]	4,8	4,8	4,8	4,8	4,8	4,8	4,8	4,8	4,8		
Критерий наличия отражения в октавной полосе	$l_{min} = 2$ м	ф-ла (19)[10]	нет	нет	нет	нет	нет	нет	нет	нет	нет	да	
<b>Уровни звукового давления от мнимого источника ИШ-25 Разгрузочно-погрузочные работы_эkv(1)_мн.(1) в расчётной точке днём, дБ</b>		<b>ф-ла(3)[10]</b>	<b>0</b>	<b>0</b>	<b>0</b>	<b>0</b>	<b>0</b>	<b>0</b>	<b>0</b>	<b>0</b>	<b>0</b>	<b>0</b>	<b>0</b>
<b>Уровни звукового давления от мнимого источника ИШ-25 Разгрузочно-погрузочные работы_эkv(1)_мн.(1) в расчётной точке ночью, дБ</b>		<b>ф-ла(3)[10]</b>	<b>0</b>	<b>0</b>	<b>0</b>	<b>0</b>	<b>0</b>	<b>0</b>	<b>0</b>	<b>0</b>	<b>0</b>	<b>0</b>	<b>0</b>
<b>Уровни звукового давления от источника ИШ-25 Разгрузочно-погрузочные работы_эkv(1) в расчётной точке днём, дБ</b>		<b>ф-ла(3)[10]</b>	<b>0</b>	<b>40,6</b>	<b>37,5</b>	<b>33,1</b>	<b>31,5</b>	<b>28,6</b>	<b>22,9</b>	<b>14,2</b>	<b>0</b>	<b>33,3</b>	<b>37,9</b>

Уровни звукового давления от источника ИШ-25 Разгрузочно-погрузочные работы_экв(1) в расчётной точке ночью, дБ	ф-ла(3)[10]	0	0	0	0	0	0	0	0	0	0	0	0
Суммарные уровни звукового давления от площадного источника ИШ-25 Разгрузочно-погрузочные работы в расчётной точке днём, дБ	ф-ла (19) [1]	0	40,6	37,5	33,1	31,5	28,6	22,9	14,2	0	33,3	37,9	
Суммарные уровни звукового давления от площадного источника ИШ-25 Разгрузочно-погрузочные работы в расчётной точке ночью, дБ	ф-ла (19) [1]	0	0	0	0	0	0	0	0	0	0	0	0
Требуемое снижение днём, $\Delta L_{\text{треб}}$ , дБ	ф-лы (15),(16) [6]	0	-24,4	-18,5	-15,9	-12,8	-11,7	-13,1	-19,8	0			
Требуемое снижение ночью, $\Delta L_{\text{треб}}$ , дБ	ф-лы (15),(16) [6]	0	0	0	0	0	0	0	0	0			
<b>Источник шума: ИШ-26 Барабанный грохот-сепаратор TANA, координаты источника (x,y,z), м = [2240.35,2212.91,1.00]</b>													
Уровни звуковой мощности источника днём, $L_w$ , дБ	исходные данные	0	92,8	91,9	85,4	79,9	75,6	71,3	66,5	62,2			
Уровни звуковой мощности максимального звука источника днём, $L_{wх}$ , дБ	исходные данные	0	97,9	97	90,5	85	80,7	76,4	71,6	67,3			
Уровни звуковой мощности источника ночью, $L_w$ , дБ	исходные данные	0	0	0	0	0	0	0	0	0			
Уровни звуковой мощности максимального звука источника ночью, $L_{wх}$ , дБ	исходные данные	0	0	0	0	0	0	0	0	0			
Поправка на телесный угол $D\Omega$ , дБ	$\Omega = 6.28$	$10Lg(4\pi/\Omega)$	3	3	3	3	3	3	3	3			
Показатель направленности источника $D_i$ , дБ		исходные данные	0	0	0	0	0	0	0	0			
Поправка на направленность источника $D_c$ , дБ	$D_c$	$D\Omega + D_i$	3	3	3	3	3	3	3	3			
Затухание из-за геометрической дивергенции, $A_{div}$ , дБ	расстояние = 445.52 м	ф-ла (7) [10]	64										
Коэффициент затухания звука в атмосфере $\alpha$ , дБ/км	$T_a=20,^{\circ}C$ $P_a=101.33, \text{кПа}$ относ.=70%	ф-ла (5) [9]	0,02	0,09	0,33	1,12	2,79	4,98	9,04	23,09	77,63		
Учет затухания звука в атмосфере $A_{atm}$ , дБ		ф-ла (8) [10]	0	0	0,1	0,5	1,2	2,2	4	10,3	34,6		
<b>Снижение уровня звукового давления из-за влияния застройки между источником шума и расчетной точкой</b>													
Траектория над экраном	Промежуточные точки:	$P_{ss}(x,y,z) = (2226.76,2358.22,2.00)$	$P_{sr}(x,y,z) = (2226.75,2358.42,2.00)$	$d_{ss} = 145.94 \text{ м}$		$d_{sr} = 299.38 \text{ м}$		$e = 0.20 \text{ м}$		$z = 0.00 \text{ м}$			
	Константа С2, учитывающая эффект отражения от земли возле экрана			40	40	40	40	40	40	40	40		
	Константа С3 (дифракция на кромках)	ф-ла (15) [10]			1	1	1	1	1	1	1,1	1,5	
	$K_{\text{мет}}$ (влияние метеословий)	ф-ла (18) [10]			0	0	0	0	0	0	0	0	
	Снижение УЗД, $D_z$ , дБ	ф-ла (14) [10]			4,8	4,8	4,8	4,8	4,8	4,8	4,8	4,8	
Уровни звукового давления прямого звука от источника ИШ-26 Барабанный грохот-сепаратор TANA в расчётной точке днём, дБ	ф-ла(3)[10]	0	27,1	26	19,2	12,9	7,7	1,6	0	0	16	21	

* уровни звукового давления для определения максимального прямого звука от источника ИШ-26 Барабанный грохот-сепаратор TANA в расчётной точке днём, дБ	ф-ла(3)[10]	0	32,1	31,1	24,2	18	12,7	6,6	0	0	21			
<b>Уровни звукового давления прямого звука от источника ИШ-26 Барабанный грохот-сепаратор TANA в расчётной точке ночью, дБ</b>	ф-ла(3)[10]	0	0	0	0	0	0	0	0	0	0	0	0	
* уровни звукового давления для определения максимального прямого звука от источника ИШ-26 Барабанный грохот-сепаратор TANA в расчётной точке ночью, дБ	ф-ла(3)[10]	0	0	0	0	0	0	0	0	0	0			
<b>Расчёт отражённого звука</b>														
<b>Мнимый источник ИШ-26 Барабанный грохот-сепаратор TANA_мн.(1), образованный отражением от поверхности препятствия Экран-1</b>														
Координаты точки отражения (x,y,z), м	(2237.0,2170.5,1.0)	Дистанция между ИШ и ИШм: R(ИШ-ИШм) = 42.5м Дистанция между ИШм и РТ: R(ИШм-РТ) = 487.5м												
Коэффициент отражения поверхности $\rho$		исходные данные	0,8	0,8	0,8	0,8	0,8	0,8	0,8	0,8	0,8			
Поправка на телесный угол $D\Omega$ , дБ	$\Omega = 6.28$	$10Lg(4\pi/\Omega)$	3	3	3	3	3	3	3	3	3			
Показатель направленности источника $D_i$ , дБ		исходные данные	0	0	0	0	0	0	0	0	0			
Поправка на направленность источника $Dir$ , дБ	Dir	$D\Omega + D_i$	3	3	3	3	3	3	3	3	3			
<b>Уровни звуковой мощности мнимого источника днём, дБ</b>	ф-ла (20)[10]	0	94,9	94	87,5	82	77,7	73,4	68,6	64,3				
<b>Уровни звуковой мощности максимального звука мнимого источника днём, дБ</b>	ф-ла (20)[10]	0	99,9	99	92,5	87	82,7	78,4	73,6	69,3				
<b>Уровни звуковой мощности мнимого источника ночью, дБ</b>	ф-ла (20)[10]	0	0	0	0	0	0	0	0	0				
<b>Уровни звуковой мощности максимального звука мнимого источника ночью, дБ</b>	ф-ла (20)[10]	0	0	0	0	0	0	0	0	0				
Затухание из-за геометрической дивергенции, $A_{div}$ , дБ	расстояние = 530.00 м	ф-ла (7) [10]	65,5											
Коэффициент затухания звука в атмосфере $\alpha$ , дБ/км	$T_a=20,^{\circ}C$ $P_a=101.33, кПа$ hотн.=70%	ф-ла (5) [9]	0,02	0,09	0,33	1,12	2,79	4,98	9,04	23,09	77,63			
Учет затухания звука в атмосфере $A_{atm}$ , дБ		ф-ла (8) [10]	0	0	0,2	0,6	1,5	2,6	4,8	12,2	41,1			
<b>Снижение уровня звукового давления из-за влияния застройки между источником шума и расчетной точкой</b>														
Траектория над экраном	Промежуточные точки:	$P_{ss}(x,y,z) = (2222.28,2358.23,2.00)$	$P_{sr}(x,y,z) = (2222.27,2358.43,2.00)$	$d_{ss} = 188.29 м$		$d_{sr} = 298.99 м$		$e = 0.20 м$		$z = 0.00 м$				
	Константа С2, учитывающая эффект отражения от земли возле экрана			40	40	40	40	40	40	40	40	40		
	Константа С3 (дифракция на кромках)			ф-ла (15) [10]	1	1	1	1	1	1	1,1	1,5		
	$K_{мет}$ (влияние метеоусловий)			ф-ла (18) [10]	0	0	0	0	0	0	0	0		
Снижение УЗД, $D_z$ , дБ			ф-ла (14) [10]	4,8	4,8	4,8	4,8	4,8	4,8	4,8	4,8			
Критерий наличия отражения в октавной полосе	$l_{min} = 2 м$	ф-ла (19)[10]	нет	нет	нет	нет	нет	нет	нет	нет	нет	да		

Уровни звукового давления от мнимого источника ИШ-26 Барабанный грохот-сепаратор TANA_мн.(1) в расчётной точке днём, дБ	ф-ла(3)[10]	0	0	0	0	0	0	0	0	0	0	0	0
Уровни звукового давления от мнимого источника ИШ-26 Барабанный грохот-сепаратор TANA_мн.(1) в расчётной точке ночью, дБ	ф-ла(3)[10]	0	0	0	0	0	0	0	0	0	0	0	0
Уровни звукового давления от источника ИШ-26 Барабанный грохот-сепаратор TANA в расчётной точке днём, дБ	ф-ла(3)[10]	0	27,1	26	19,2	12,9	7,7	1,6	0	0	16	21	
Уровни звукового давления от источника ИШ-26 Барабанный грохот-сепаратор TANA в расчётной точке ночью, дБ	ф-ла(3)[10]	0	0	0	0	0	0	0	0	0	0	0	0
Требуемое снижение днём, $\Delta L_{\text{треб}}$ , дБ	ф-лы (15),(16) [6]	0	-37,9	-30	-29,8	-31,1	-32,3	-35,4	0	0			
Требуемое снижение ночью, $\Delta L_{\text{треб}}$ , дБ	ф-лы (15),(16) [6]	0	0	0	0	0	0	0	0	0			
<b>ИШ-27 Внутренний проезд</b>													
Источник линейный, протяжённость = 145.51 м. По положениям ГОСТ 31295-2 разбит на серию точечных эквивалентных источников. Количество эквивалентных источников: 2. Расчёт эквивалентных источников шума:													
Октавные уровни удельной звуковой мощности источника днём, $L_w$ , дБ/м	исходные данные	0	0	69,2	66,2	63,2	63,2	60,2	54,2	0			
Октавные уровни удельной звуковой мощности источника ночью, $L_w$ , дБ/м	исходные данные	0	0	0	0	0	0	0	0	0			
<b>Источник шума: ИШ-27 Внутренний проезд_эquiv(1), координаты источника (x,y,z), м =[2293.38,2207.24,1.10]</b>													
Приведённые уровни звуковой мощности источника днём, $L_w$ , дБ	$L_{\text{seg}} = 72.8$ м	$L_w(\text{удельн.}) + 10Lg(L_{\text{seg}})$	0	0	87,8	84,8	81,8	81,8	78,8	72,8	0		
Уровни звуковой мощности максимального звука источника днём, $L_{wx}$ , дБ		[исходные данные]	0	0	85,1	82,1	79,1	79,1	76,1	70,1	0		
Приведённые уровни звуковой мощности источника ночью, $L_w$ , дБ	$L_{\text{seg}} = 72.8$ м	$L_w(\text{удельн.}) + 10Lg(L_{\text{seg}})$	0	0	0	0	0	0	0	0	0		
Уровни звуковой мощности максимального звука источника ночью, $L_{wx}$ , дБ		[исходные данные]	0	0	0	0	0	0	0	0	0		
Поправка на продольный уклон дороги, дБ	уклон = 0 %	табл. 6.4 [16]	0	0	0	0	0	0	0	0	0		
Поправка на телесный угол $D\Omega$ , дБ	$\Omega = 12.57$	$10Lg(4\pi/\Omega)$	0	0	0	0	0	0	0	0	0		
Показатель направленности источника $D_i$ , дБ		исходные данные	0	0	0	0	0	0	0	0	0		
Поправка на направленность источника $D_c$ , дБ	$D_c$	$D\Omega + D_i$	0	0	0	0	0	0	0	0	0		
Затухание из-за геометрической дивергенции, $A_{div}$ , дБ	расстояние = 459.09 м	ф-ла (7) [10]	<b>64,2</b>										

Коэффициент затухания звука в атмосфере $\alpha$ , дБ/км	$T_a=20,^{\circ}\text{C}$ $P_a=101.33, \text{кПа}$ $\text{hотн.}=70\%$	ф-ла (5) [9]	0,02	0,09	0,33	1,12	2,79	4,98	9,04	23,09	77,63			
Учет затухания звука в атмосфере $A_{\text{atm}}$ , дБ		ф-ла (8) [10]	0	0	0,2	0,5	1,3	2,3	4,1	10,6	35,6			
<b>Снижение уровня звукового давления из-за влияния застройки между источником шума и расчетной точкой</b>														
Траектория над экраном	Промежуточные точки:	$P_{\text{ss}}(x,y,z) = (2261.64, 2358.14, 2.00)$	$P_{\text{sr}}(x,y,z) = (2261.60, 2358.34, 2.00)$	dss = 154.20 м		dsr = 304.69 м		e = 0.20 м		z = 0.00 м				
	Константа C2, учитывающая эффект отражения от земли возле экрана			40	40	40	40	40	40	40	40	40		
	Константа C3 (дифракция на кромках)		ф-ла (15) [10]	1	1	1	1	1	1	1	1,1	1,5		
	$K_{\text{мет}}$ (влияние метеоусловий)		ф-ла (18) [10]	0	0	0	0	0	0	0	0	0		
Снижение УЗД, Dz, дБ		ф-ла (14) [10]	4,8	4,8	4,8	4,8	4,8	4,8	4,8	4,8	4,8			
<b>Уровни звукового давления прямого звука от источника ИШ-27 Внутренний проезд_эков(1) в расчётной точке днём, дБ</b>		ф-ла(3)[10]	0	0	18,7	15,3	11,5	10,5	5,7	0	0	14,7	14,7	
* уровни звукового давления для определения максимального прямого звука от источника ИШ-27 Внутренний проезд_эков(1) в расчётной точке днём, дБ		ф-ла(3)[10]	0	0	16	12,6	8,8	7,8	3	0	0	12		
<b>Уровни звукового давления прямого звука от источника ИШ-27 Внутренний проезд_эков(1) в расчётной точке ночью, дБ</b>		ф-ла(3)[10]	0	0	0	0	0	0	0	0	0	0	0	
* уровни звукового давления для определения максимального прямого звука от источника ИШ-27 Внутренний проезд_эков(1) в расчётной точке ночью, дБ		ф-ла(3)[10]	0	0	0	0	0	0	0	0	0	0		
<b>Расчёт отражённого звука</b>														
<b>Мнимый источник ИШ-27 Внутренний проезд_эков(1)_мн.(1), образованный отражением от поверхности препятствия Экран-1</b>														
Координаты точки отражения (x,y,z), м	(2286.7, 2170.5, 1.1)	Дистанция между ИШ и ИШм: $R(\text{ИШ}-\text{ИШм}) = 37.3\text{ м}$ Дистанция между ИШм и РТ: $R(\text{ИШм}-\text{РТ}) = 493.9\text{ м}$												
Коэффициент отражения поверхности $\rho$		исходные данные	0,8	0,8	0,8	0,8	0,8	0,8	0,8	0,8	0,8	0,8		
Поправка на телесный угол $D\Omega$ , дБ	$\Omega = 12.57$	$10\text{Lg}(4\pi/\Omega)$	0	0	0	0	0	0	0	0	0	0		
Показатель направленности источника $D_i$ , дБ		исходные данные	0	0	0	0	0	0	0	0	0	0		
Поправка на направленность источника $Dir$ , дБ	$Dir$	$D\Omega + D_i$	0	0	0	0	0	0	0	0	0	0		
<b>Уровни звуковой мощности мнимого источника днём, дБ</b>		ф-ла (20)[10]	0	0	86,9	83,9	80,9	80,9	77,9	71,9	0			
<b>Уровни звуковой мощности максимального звука мнимого источника днём, дБ</b>		ф-ла (20)[10]	0	0	84,2	81,2	78,2	78,2	75,2	69,2	0			
<b>Уровни звуковой мощности мнимого источника ночью, дБ</b>		ф-ла (20)[10]	0	0	0	0	0	0	0	0	0			
<b>Уровни звуковой мощности максимального звука мнимого источника ночью, дБ</b>		ф-ла (20)[10]	0	0	0	0	0	0	0	0	0			
Затухание из-за геометрической дивергенции, $A_{\text{div}}$ , дБ	расстояние = 531.18 м	ф-ла (7) [10]	65,5											

Коэффициент затухания звука в атмосфере $\alpha$ , дБ/км	$T_a=20,^{\circ}\text{C}$ $P_a=101.33, \text{кПа}$ hотн.=70%	ф-ла (5) [9]	0,02	0,09	0,33	1,12	2,79	4,98	9,04	23,09	77,63		
Учет затухания звука в атмосфере $A_{atm}$ , дБ		ф-ла (8) [10]	0	0	0,2	0,6	1,5	2,6	4,8	12,3	41,2		
<b>Снижение уровня звукового давления из-за влияния застройки между источником шума и расчетной точкой</b>													
Траектория над экраном	Промежуточные точки:	$P_{ss}(x,y,z) = (2252.81, 2358.16, 2.00)$	$P_{sr}(x,y,z) = (2252.77, 2358.36, 2.00)$	$d_{ss} = 190.68 \text{ м}$	$d_{sr} = 302.97 \text{ м}$	$e = 0.20 \text{ м}$		$z = 0.00 \text{ м}$					
	Константа $C_2$ , учитывающая эффект отражения от земли возле экрана			40	40	40	40	40	40	40	40	40	
	Константа $C_3$ (дифракция на кромках)		ф-ла (15) [10]	1	1	1	1	1	1	1	1,1	1,5	
	$K_{мет}$ (влияние метеословий)		ф-ла (18) [10]	0	0	0	0	0	0	0	0	0	
Снижение УЗД, $D_z$ , дБ		ф-ла (14) [10]	4,8	4,8	4,8	4,8	4,8	4,8	4,8	4,8	4,8		
Критерий наличия отражения в октавной полосе	$l_{min} = 2 \text{ м}$	ф-ла (19)[10]	нет	нет	нет	нет	нет	нет	нет	нет	нет	да	
<b>Уровни звукового давления от мнимого источника ИШ-27 Внутренний проезд_эков(1)_мн.(1) в расчётной точке днём, дБ</b>			ф-ла(3)[10]	0	0	0	0	0	0	0	0	0	0
<b>Уровни звукового давления от мнимого источника ИШ-27 Внутренний проезд_эков(1)_мн.(1) в расчётной точке ночью, дБ</b>			ф-ла(3)[10]	0	0	0	0	0	0	0	0	0	0
<b>Мнимый источник ИШ-27 Внутренний проезд_эков(1)_мн.(2), образованный отражением от поверхности препятствия Экран-1</b>													
Координаты точки отражения (x,y,z), м	(2352.7,2334.1,1.2)	Дистанция между ИШ и ИШм: $R(\text{ИШ-ИШм}) = 140.0\text{м}$ Дистанция между ИШм и РТ: $R(\text{ИШм-РТ}) = 357.2\text{м}$											
Коэффициент отражения поверхности $\rho$		исходные данные	0,8	0,8	0,8	0,8	0,8	0,8	0,8	0,8	0,8	0,8	
Поправка на телесный угол $D\Omega$ , дБ	$\Omega = 12.57$	$10Lg(4\pi/\Omega)$	0	0	0	0	0	0	0	0	0	0	
Показатель направленности источника $D_i$ , дБ		исходные данные	0	0	0	0	0	0	0	0	0	0	
Поправка на направленность источника $Dir$ , дБ	$Dir$	$D\Omega + D_i$	0	0	0	0	0	0	0	0	0	0	
<b>Уровни звуковой мощности мнимого источника днём, дБ</b>			ф-ла (20)[10]	0	0	86,9	83,9	80,9	80,9	77,9	71,9	0	
<b>Уровни звуковой мощности максимального звука мнимого источника днём, дБ</b>			ф-ла (20)[10]	0	0	84,2	81,2	78,2	78,2	75,2	69,2	0	
<b>Уровни звуковой мощности мнимого источника ночью, дБ</b>			ф-ла (20)[10]	0	0	0	0	0	0	0	0	0	
<b>Уровни звуковой мощности максимального звука мнимого источника ночью, дБ</b>			ф-ла (20)[10]	0	0	0	0	0	0	0	0	0	
Затухание из-за геометрической дивергенции, $A_{div}$ , дБ	расстояние = 497.24 м	ф-ла (7) [10]	64,9										
Коэффициент затухания звука в атмосфере $\alpha$ , дБ/км	$T_a=20,^{\circ}\text{C}$ $P_a=101.33, \text{кПа}$ hотн.=70%	ф-ла (5) [9]	0,02	0,09	0,33	1,12	2,79	4,98	9,04	23,09	77,63		
Учет затухания звука в атмосфере $A_{atm}$ , дБ		ф-ла (8) [10]	0	0	0,2	0,6	1,4	2,5	4,5	11,5	38,6		
<b>Снижение уровня звукового давления из-за влияния застройки между источником шума и расчетной точкой</b>													

Траектория над экраном	Промежуточные точки:	$P_{ss}(x,y,z) = (2341.30, 2357.95, 2.00)$	$P_{sr}(x,y,z) = (2341.20, 2358.15, 2.00)$	dss = 26.42 м		dsr = 330.56 м		e = 0.22 м		z = 0.01 м				
	Константа С2, учитывающая эффект отражения от земли возле экрана			40	40	40	40	40	40	40	40	40		
	Константа С3 (дифракция на кромках)			1	1	1	1	1	1	1	1,2	1,5		
	$K_{мет}$ (влияние метеословий)			0	0	0	0	0	0	0	0	0		
Снижение УЗД, Dz, дБ			4,8	4,8	4,8	4,8	4,8	4,8	4,8	4,8	4,8	4,9		
Критерий наличия отражения в октавной полосе		$l_{min} = 2$ м	ф-ла (19)[10]	нет	нет	нет	нет	нет	нет	нет	нет	нет		
<b>Уровни звукового давления от мнимого источника ИШ-27 Внутренний проезд_эkv(1)_мн.(2) в расчётной точке днём, дБ</b>			ф-ла(3)[10]	0	0	0	0	0	0	0	0	0	0	0
<b>Уровни звукового давления от мнимого источника ИШ-27 Внутренний проезд_эkv(1)_мн.(2) в расчётной точке ночью, дБ</b>			ф-ла(3)[10]	0	0	0	0	0	0	0	0	0	0	0
<b>Суммарные уровни звукового давления от мнимых источников в расчётной точке днём, дБ</b>			ф-ла (19) [1]	0	0	0	0	0	0	0	0	0	0	0
<b>Суммарные уровни звукового давления от мнимых источников в расчётной точке ночью, дБ</b>			ф-ла (19) [1]	0	0	0	0	0	0	0	0	0	0	0
<b>Уровни звукового давления от источника ИШ-27 Внутренний проезд_эkv(1) в расчётной точке днём, дБ</b>			ф-ла(3)[10]	0	0	18,7	15,3	11,5	10,5	5,7	0	0	14,7	14,7
<b>Уровни звукового давления от источника ИШ-27 Внутренний проезд_эkv(1) в расчётной точке ночью, дБ</b>			ф-ла(3)[10]	0	0	0	0	0	0	0	0	0	0	0
<b>Источник шума: ИШ-27 Внутренний проезд_эkv(2), координаты источника (x,y,z), м =[2293.38,2279.99,1.10]</b>														
Приведённые уровни звуковой мощности источника днём, $L_w$ , дБ		$L_{seg} = 72.8$ м	$L_w(удельн.) + 10Lg(L_{seg})$	0	0	87,8	84,8	81,8	81,8	78,8	72,8	0		
Уровни звуковой мощности максимального звука источника днём, $L_{wx}$ , дБ			[исходные данные]	0	0	85,1	82,1	79,1	79,1	76,1	70,1	0		
Приведённые уровни звуковой мощности источника ночью, $L_w$ , дБ		$L_{seg} = 72.8$ м	$L_w(удельн.) + 10Lg(L_{seg})$	0	0	0	0	0	0	0	0	0		
Уровни звуковой мощности максимального звука источника ночью, $L_{wx}$ , дБ			[исходные данные]	0	0	0	0	0	0	0	0	0		
Поправка на продольный уклон дороги, дБ		уклон = 0 %	табл. 6.4 [16]	0	0	0	0	0	0	0	0	0		
Поправка на телесный угол $D\Omega$ , дБ		$\Omega = 12.57$	$10Lg(4\pi/\Omega)$	0	0	0	0	0	0	0	0	0		
Показатель направленности источника $D_i$ , дБ			исходные данные	0	0	0	0	0	0	0	0	0		
Поправка на направленность источника $D_c$ , дБ		$D_c$	$D\Omega + D_i$	0	0	0	0	0	0	0	0	0		

Затухание из-за геометрической дивергенции, $A_{div}$ , дБ	расстояние = 388.19 м	ф-ла (7) [10]	<b>62,8</b>											
Коэффициент затухания звука в атмосфере $\alpha$ , дБ/км	$T_a=20,^{\circ}C$ $P_a=101.33, кПа$ $h_{отн.}=70\%$	ф-ла (5) [9]	0,02	0,09	0,33	1,12	2,79	4,98	9,04	23,09	77,63			
Учет затухания звука в атмосфере $A_{atm}$ , дБ		ф-ла (8) [10]	0	0	0,1	0,4	1,1	1,9	3,5	9	30,1			
<b>Снижение уровня звукового давления из-за влияния застройки между источником шума и расчетной точкой</b>														
Траектория над экраном	Промежуточные точки:	$P_{ss}(x,y,z) = (2273.77, 2358.11, 2.00)$	$P_{sr}(x,y,z) = (2273.72, 2358.31, 2.00)$	$d_{ss} = 80.55$ м		$d_{sr} = 307.44$ м		$e = 0.21$ м		$z = 0.01$ м				
	Константа $C_2$ , учитывающая эффект отражения от земли возле экрана			40	40	40	40	40	40	40	40	40		
	Константа $C_3$ (дифракция на кромках)			ф-ла (15) [10]	1	1	1	1	1	1	1,1	1,5		
	$K_{мет}$ (влияние метеословий)			ф-ла (18) [10]	0	0	0	0	0	0	0	0		
Снижение УЗД, $D_z$ , дБ			ф-ла (14) [10]	4,8	4,8	4,8	4,8	4,8	4,8	4,8	4,8			
<b>Уровни звукового давления прямого звука от источника ИШ-27 Внутренний проезд_эков(2) в расчётной точке днём, дБ</b>			ф-ла(3)[10]	0	0	20,1	16,8	13,2	12,3	7,8	0	0	16,5	16,5
* уровни звукового давления для определения максимального прямого звука от источника ИШ-27 Внутренний проезд_эков(2) в расчётной точке днём, дБ			ф-ла(3)[10]	0	0	17,5	14,1	10,5	9,6	5,1	0	0	13,8	
<b>Уровни звукового давления прямого звука от источника ИШ-27 Внутренний проезд_эков(2) в расчётной точке ночью, дБ</b>			ф-ла(3)[10]	0	0	0	0	0	0	0	0	0	0	0
* уровни звукового давления для определения максимального прямого звука от источника ИШ-27 Внутренний проезд_эков(2) в расчётной точке ночью, дБ			ф-ла(3)[10]	0	0	0	0	0	0	0	0	0	0	
<b>Расчёт отражённого звука</b>														
<b>Мнимый источник ИШ-27 Внутренний проезд_эков(2)_мн.(1), образованный отражением от поверхности препятствия Экран-1</b>														
Координаты точки отражения (x,y,z), м	(2276.0, 2170.5, 1.2)	Дистанция между ИШ и ИШм: $R(ИШ-ИШм) = 110.8$ м Дистанция между ИШм и РТ: $R(ИШм-РТ) = 492.1$ м												
Коэффициент отражения поверхности $\rho$		исходные данные	0,8	0,8	0,8	0,8	0,8	0,8	0,8	0,8	0,8	0,8		
Поправка на телесный угол $D\Omega$ , дБ	$\Omega = 12.57$	$10Lg(4\pi/\Omega)$	0	0	0	0	0	0	0	0	0	0		
Показатель направленности источника $D_i$ , дБ		исходные данные	0	0	0	0	0	0	0	0	0	0		
Поправка на направленность источника $Dir$ , дБ	$Dir$	$D\Omega + D_i$	0	0	0	0	0	0	0	0	0	0		
<b>Уровни звуковой мощности мнимого источника днём, дБ</b>			ф-ла (20)[10]	0	0	86,9	83,9	80,9	80,9	77,9	71,9	0		
<b>Уровни звуковой мощности максимального звука мнимого источника днём, дБ</b>			ф-ла (20)[10]	0	0	84,2	81,2	78,2	78,2	75,2	69,2	0		
<b>Уровни звуковой мощности мнимого источника ночью, дБ</b>			ф-ла (20)[10]	0	0	0	0	0	0	0	0	0		
<b>Уровни звуковой мощности максимального звука мнимого источника ночью, дБ</b>			ф-ла (20)[10]	0	0	0	0	0	0	0	0	0		

Затухание из-за геометрической дивергенции, $A_{div}$ , дБ	расстояние = 602.91 м	ф-ла (7) [10]	66,6											
Коэффициент затухания звука в атмосфере $\alpha$ , дБ/км	$T_a=20,^{\circ}C$ $P_a=101.33, кПа$ $h_{отн.}=70\%$	ф-ла (5) [9]	0,02	0,09	0,33	1,12	2,79	4,98	9,04	23,09	77,63			
Учет затухания звука в атмосфере $A_{atm}$ , дБ		ф-ла (8) [10]	0	0,1	0,2	0,7	1,7	3	5,4	13,9	46,8			
<b>Снижение уровня звукового давления из-за влияния застройки между источником шума и расчетной точкой</b>														
Траектория над экраном	Промежуточные точки:	$P_{ss}(x,y,z) = (2246.22, 2358.17, 2.00)$	$P_{sr}(x,y,z) = (2246.18, 2358.37, 2.00)$	$d_{ss} = 190.01$ м		$d_{sr} = 301.86$ м		$e = 0.20$ м		$z = 0.00$ м				
	Константа $C_2$ , учитывающая эффект отражения от земли возле экрана			40	40	40	40	40	40	40	40	40		
	Константа $C_3$ (дифракция на кромках)		ф-ла (15) [10]	1	1	1	1	1	1	1	1,1	1,5		
	$K_{мет}$ (влияние метеословий)		ф-ла (18) [10]	0	0	0	0	0	0	0	0	0		
Снижение $U_{ЗД}$ , $D_z$ , дБ		ф-ла (14) [10]	4,8	4,8	4,8	4,8	4,8	4,8	4,8	4,8	4,8			
Критерий наличия отражения в октавной полосе	$l_{min} = 2$ м	ф-ла (19)[10]	нет	нет	нет	нет	нет	нет	нет	нет	нет			
<b>Уровни звукового давления от мнимого источника ИШ-27 Внутренний проезд_эков(2)_мн.(1) в расчётной точке днём, дБ</b>		ф-ла(3)[10]	0	0	0	0	0	0	0	0	0	0	0	
<b>Уровни звукового давления от мнимого источника ИШ-27 Внутренний проезд_эков(2)_мн.(1) в расчётной точке ночью, дБ</b>		ф-ла(3)[10]	0	0	0	0	0	0	0	0	0	0	0	
<b>Уровни звукового давления от источника ИШ-27 Внутренний проезд_эков(2) в расчётной точке днём, дБ</b>		ф-ла(3)[10]	0	0	20,1	16,8	13,2	12,3	7,8	0	0	16,5	16,5	
<b>Уровни звукового давления от источника ИШ-27 Внутренний проезд_эков(2) в расчётной точке ночью, дБ</b>		ф-ла(3)[10]	0	0	0	0	0	0	0	0	0	0	0	
<b>Суммарные уровни звукового давления от линейного источника ИШ-27 Внутренний проезд в расчётной точке днём, дБ</b>		ф-ла (19) [1]	0	0	22,5	19,1	15,5	14,5	9,9	0	0	18,7	18,7	
<b>Суммарные уровни звукового давления от линейного источника ИШ-27 Внутренний проезд в расчётной точке ночью, дБ</b>		ф-ла (19) [1]	0	0	0	0	0	0	0	0	0	0	0	
Требуемое снижение днём, $\Delta L_{треб}$ , дБ		ф-лы (15),(16) [6]	0	0	-33,5	-29,9	-28,5	-25,5	-27,1	0	0			
Требуемое снижение ночью, $\Delta L_{треб}$ , дБ		ф-лы (15),(16) [6]	0	0	0	0	0	0	0	0	0			
<b>ИШ-28 Внутренний проезд</b>														
Источник линейный, протяжённость = 357.95 м. По положениям ГОСТ 31295-2 разбит на серию точечных эквивалентных источников. Количество эквивалентных источников: 4. Расчёт эквивалентных источников шума:														
Октавные уровни удельной звуковой мощности источника днём, $L_w$ , дБ/м		исходные данные	0	0	45	42	39	39	36	30	0			

Октавные уровни удельной звуковой мощности источника ночью, Lw, дБ/м			исходные данные	0	0	0	0	0	0	0	0	0	0	0
<b>Источник шума: ИШ-28 Внутренний проезд _эков(1), координаты источника (x,y,z), м =[2293.59,2202.13,1.10]</b>														
Приведённые уровни звуковой мощности источника днём, Lw, дБ	Lseg = 62.7 м	Lw(удельн.) + 10Lg(Lseg)	0	0	63	60	57	57	54	48	0			
Уровни звуковой мощности максимального звука источника днём, Lwx, дБ		[исходные данные]	0	0	85,1	82,1	79,1	79,1	76,1	70,1	0			
Приведённые уровни звуковой мощности источника ночью, Lw, дБ	Lseg = 62.7 м	Lw(удельн.) + 10Lg(Lseg)	0	0	0	0	0	0	0	0	0			
Уровни звуковой мощности максимального звука источника ночью, Lwx, дБ		[исходные данные]	0	0	0	0	0	0	0	0	0			
Поправка на продольный уклон дороги, дБ	уклон = 0 %	табл. 6.4 [16]	0	0	0	0	0	0	0	0	0			
Поправка на телесный угол DΩ, дБ	Ω = 12.57	10Lg(4π/Ω)	0	0	0	0	0	0	0	0	0			
Показатель направленности источника Di, дБ		исходные данные	0	0	0	0	0	0	0	0	0			
Поправка на направленность источника Dc, дБ	Dc	DΩ + Di	0	0	0	0	0	0	0	0	0			
Затухание из-за геометрической дивергенции, Adiv, дБ	расстояние = 464.14 м	ф-ла (7) [10]	<b>64,3</b>											
Коэффициент затухания звука в атмосфере α, дБ/км	Ta=20,°C Pa=101.33,кПа hотн.=70%	ф-ла (5) [9]	0,02	0,09	0,33	1,12	2,79	4,98	9,04	23,09	77,63			
Учет затухания звука в атмосфере Aatm, дБ		ф-ла (8) [10]	0	0	0,2	0,5	1,3	2,3	4,2	10,7	36			
<b>Снижение уровня звукового давления из-за влияния застройки между источником шума и расчетной точкой</b>														
Траектория над экраном	Промежуточные точки:	Pss(x,y,z) = (2261.07,2358.14,2.00)	Psr(x,y,z) = (2261.02,2358.34,2.00)	dss = 159.36 м	dsr = 304.57 м	e = 0.20 м	z = 0.00 м							
	Константа C2, учитывающая эффект отражения от земли возле экрана			40	40	40	40	40	40	40	40	40		
	Константа C3 (дифракция на кромках)			1	1	1	1	1	1	1	1,1	1,5		
	Kмет (влияние метеоусловий)			0	0	0	0	0	0	0	0	0		
Снижение УЗД, Dz, дБ			ф-ла (14) [10]	4,8	4,8	4,8	4,8	4,8	4,8	4,8	4,8	4,8		
<b>Уровни звукового давления прямого звука от источника ИШ-28 Внутренний проезд _эков(1) в расчётной точке днём, дБ</b>			ф-ла(3)[10]	0	0	0	0	0	0	0	0	0	0	11,9
* уровни звукового давления для определения максимального прямого звука от источника ИШ-28 Внутренний проезд _эков(1) в расчётной точке днём, дБ			ф-ла(3)[10]	0	0	15,9	12,5	8,7	7,7	2,8	0	0	11,9	
<b>Уровни звукового давления прямого звука от источника ИШ-28 Внутренний проезд _эков(1) в расчётной точке ночью, дБ</b>			ф-ла(3)[10]	0	0	0	0	0	0	0	0	0	0	0

* уровни звукового давления для определения максимального прямого звука от источника ИШ-28 Внутренний проезд _эков(1) в расчётной точке ночью, дБ		ф-ла(3)[10]	0	0	0	0	0	0	0	0	0	0	0
<b>Расчёт отражённого звука</b>													
<b>Мнимый источник ИШ-28 Внутренний проезд _эков(1)_мн.(1), образованный отражением от поверхности препятствия Экран-1</b>													
Координаты точки отражения (x,y,z), м		(2287.8,2170.5,1.1)	Дистанция между ИШ и ИШм: R(ИШ-ИШм) = 32.1м Дистанция между ИШм и РТ: R(ИШм-РТ) = 494.0м										
Коэффициент отражения поверхности $\rho$		исходные данные	0,8	0,8	0,8	0,8	0,8	0,8	0,8	0,8	0,8	0,8	0,8
Поправка на телесный угол $D\Omega$ , дБ		$\Omega = 12.57$	$10Lg(4\pi/\Omega)$	0	0	0	0	0	0	0	0	0	0
Показатель направленности источника $D_i$ , дБ		исходные данные	0	0	0	0	0	0	0	0	0	0	0
Поправка на направленность источника $Dir$ , дБ		Dir	$D\Omega + D_i$	0	0	0	0	0	0	0	0	0	0
<b>Уровни звуковой мощности мнимого источника днём, дБ</b>		ф-ла (20)[10]	0	0	62	59	56	56	53	47	0		
<b>Уровни звуковой мощности максимального звука мнимого источника днём, дБ</b>		ф-ла (20)[10]	0	0	84,2	81,2	78,2	78,2	75,2	69,2	0		
<b>Уровни звуковой мощности мнимого источника ночью, дБ</b>		ф-ла (20)[10]	0	0	0	0	0	0	0	0	0		
<b>Уровни звуковой мощности максимального звука мнимого источника ночью, дБ</b>		ф-ла (20)[10]	0	0	0	0	0	0	0	0	0		
Затухание из-за геометрической дивергенции, $A_{div}$ , дБ		расстояние = 526.19 м	ф-ла (7) [10]	65,4									
Коэффициент затухания звука в атмосфере $\alpha$ , дБ/км		$T_a=20,^{\circ}C$ $P_a=101.33,кПа$ хотн.=70%	ф-ла (5) [9]	0,02	0,09	0,33	1,12	2,79	4,98	9,04	23,09	77,63	
Учет затухания звука в атмосфере $A_{atm}$ , дБ			ф-ла (8) [10]	0	0	0,2	0,6	1,5	2,6	4,8	12,1	40,8	
<b>Снижение уровня звукового давления из-за влияния застройки между источником шума и расчетной точкой</b>													
Траектория над экраном	Промежуточные точки:	$P_{ss}(x,y,z) = (2253.45,2358.16,2.00)$	$P_{sr}(x,y,z) = (2253.42,2358.36,2.00)$	$d_{ss} = 190.76$ м		$d_{sr} = 303.09$ м		$e = 0.20$ м		$z = 0.00$ м			
	Константа $C_2$ , учитывающая эффект отражения от земли возле экрана			40	40	40	40	40	40	40	40	40	
	Константа $C_3$ (дифракция на кромках)			ф-ла (15) [10]	1	1	1	1	1	1	1	1,1	1,5
	$K_{мет}$ (влияние метеословий)			ф-ла (18) [10]	0	0	0	0	0	0	0	0	0
Снижение $U_{ЗД}$ , $D_z$ , дБ			ф-ла (14) [10]	4,8	4,8	4,8	4,8	4,8	4,8	4,8	4,8	4,8	
Критерий наличия отражения в октавной полосе		$l_{min} = 2$ м	ф-ла (19)[10]	нет	нет	нет	нет	нет	нет	нет	нет	да	
<b>Уровни звукового давления от мнимого источника ИШ-28 Внутренний проезд _эков(1)_мн.(1) в расчётной точке днём, дБ</b>			ф-ла(3)[10]	0	0	0	0	0	0	0	0	0	0
<b>Уровни звукового давления от мнимого источника ИШ-28 Внутренний проезд _эков(1)_мн.(1) в расчётной точке ночью, дБ</b>			ф-ла(3)[10]	0	0	0	0	0	0	0	0	0	0

<b>Мнимый источник ИШ-28 Внутренний проезд _экв(1)_мн.(2), образованный отражением от поверхности препятствия Экран-1</b>													
Координаты точки отражения (x,y,z), м	(2352.7,2330.2,1.2)	Дистанция между ИШ и ИШм: R(ИШ-ИШм) = 141.0м Дистанция между ИШм и РТ: R(ИШм-РТ) = 360.8м											
Коэффициент отражения поверхности $\rho$		исходные данные	0,8	0,8	0,8	0,8	0,8	0,8	0,8	0,8	0,8	0,8	
Поправка на телесный угол $D\Omega$ , дБ	$\Omega = 12.57$	$10Lg(4\pi/\Omega)$	0	0	0	0	0	0	0	0	0	0	
Показатель направленности источника $D_i$ , дБ		исходные данные	0	0	0	0	0	0	0	0	0	0	
Поправка на направленность источника $Dir$ , дБ	$Dir$	$D\Omega + D_i$	0	0	0	0	0	0	0	0	0	0	
<b>Уровни звуковой мощности мнимого источника днём, дБ</b>		ф-ла (20)[10]	0	0	62	59	56	56	53	47	0		
<b>Уровни звуковой мощности максимального звука мнимого источника днём, дБ</b>		ф-ла (20)[10]	0	0	84,2	81,2	78,2	78,2	75,2	69,2	0		
<b>Уровни звуковой мощности мнимого источника ночью, дБ</b>		ф-ла (20)[10]	0	0	0	0	0	0	0	0	0		
<b>Уровни звуковой мощности максимального звука мнимого источника ночью, дБ</b>		ф-ла (20)[10]	0	0	0	0	0	0	0	0	0		
Затухание из-за геометрической дивергенции, $A_{div}$ , дБ	расстояние = 501.79 м	ф-ла (7) [10]	65										
Коэффициент затухания звука в атмосфере $\alpha$ , дБ/км	$T_a=20,^{\circ}C$ $P_a=101.33, кПа$ $h_{отн.}=70\%$	ф-ла (5) [9]	0,02	0,09	0,33	1,12	2,79	4,98	9,04	23,09	77,63		
Учет затухания звука в атмосфере $A_{atm}$ , дБ		ф-ла (8) [10]	0	0	0,2	0,6	1,4	2,5	4,5	11,6	39		
<b>Снижение уровня звукового давления из-за влияния застройки между источником шума и расчетной точкой</b>													
Траектория над экраном	Промежуточные точки:	$P_{ss}(x,y,z) = (2339.59,2357.96,2.00)$	$P_{sr}(x,y,z) = (2339.49,2358.16,2.00)$	$d_{ss} = 30.74$ м		$d_{sr} = 329.82$ м		$e = 0.22$ м		$z = 0.01$ м			
	Константа $C_2$ , учитывающая эффект отражения от земли возле экрана			40	40	40	40	40	40	40	40	40	
	Константа $C_3$ (дифракция на кромках)		ф-ла (15) [10]	1	1	1	1	1	1	1	1,2	1,5	
	$K_{мет}$ (влияние метеословий)		ф-ла (18) [10]	0	0	0	0	0	0	0	0	0	
Снижение УЗД, $D_z$ , дБ		ф-ла (14) [10]	4,8	4,8	4,8	4,8	4,8	4,8	4,8	4,8	4,8		
Критерий наличия отражения в октавной полосе	$l_{min} = 2$ м	ф-ла (19)[10]	нет	нет	нет	нет	нет	нет	нет	нет	нет		
<b>Уровни звукового давления от мнимого источника ИШ-28 Внутренний проезд _экв(1)_мн.(2) в расчётной точке днём, дБ</b>		ф-ла(3)[10]	0	0	0	0	0	0	0	0	0	0	0
<b>Уровни звукового давления от мнимого источника ИШ-28 Внутренний проезд _экв(1)_мн.(2) в расчётной точке ночью, дБ</b>		ф-ла(3)[10]	0	0	0	0	0	0	0	0	0	0	0
<b>Суммарные уровни звукового давления от мнимых источников в расчётной точке днём, дБ</b>		ф-ла (19) [1]	0	0	0	0	0	0	0	0	0	0	0

Суммарные уровни звукового давления от мнимых источников в расчётной точке ночью, дБ		ф-ла (19) [1]	0	0	0	0	0	0	0	0	0	0	0	
Уровни звукового давления от источника ИШ-28 Внутренний проезд_эква(1) в расчётной точке днём, дБ		ф-ла(3)[10]	0	0	0	0	0	0	0	0	0	0	11,9	
Уровни звукового давления от источника ИШ-28 Внутренний проезд_эква(1) в расчётной точке ночью, дБ		ф-ла(3)[10]	0	0	0	0	0	0	0	0	0	0	0	
<b>Источник шума: ИШ-28 Внутренний проезд_эква(2), координаты источника (x,y,z), м =[2293.59,2264.80,1.10]</b>														
Приведённые уровни звуковой мощности источника днём, Lw, дБ	Lseg = 62.7 м	Lw(удельн.) + 10Lg(Lseg)	0	0	63	60	57	57	54	48	0			
Уровни звуковой мощности максимального звука источника днём, Lwx, дБ		[исходные данные]	0	0	85,1	82,1	79,1	79,1	76,1	70,1	0			
Приведённые уровни звуковой мощности источника ночью, Lw, дБ	Lseg = 62.7 м	Lw(удельн.) + 10Lg(Lseg)	0	0	0	0	0	0	0	0	0			
Уровни звуковой мощности максимального звука источника ночью, Lwx, дБ		[исходные данные]	0	0	0	0	0	0	0	0	0			
Поправка на продольный уклон дороги, дБ	уклон = 0 %	табл. 6.4 [16]	0	0	0	0	0	0	0	0	0			
Поправка на телесный угол DΩ, дБ	Ω = 12.57	10Lg(4π/Ω)	0	0	0	0	0	0	0	0	0			
Показатель направленности источника Di, дБ		исходные данные	0	0	0	0	0	0	0	0	0			
Поправка на направленность источника Dc, дБ	Dc	DΩ + Di	0	0	0	0	0	0	0	0	0			
Затухание из-за геометрической дивергенции, Adiv, дБ	расстояние = 402.98 м	ф-ла (7) [10]	<b>63,1</b>											
Коэффициент затухания звука в атмосфере α, дБ/км	Ta=20,°C Pa=101.33,кПа hотн.=70%	ф-ла (5) [9]	0,02	0,09	0,33	1,12	2,79	4,98	9,04	23,09	77,63			
Учет затухания звука в атмосфере Aatm, дБ		ф-ла (8) [10]	0	0	0,1	0,5	1,1	2	3,6	9,3	31,3			
<b>Снижение уровня звукового давления из-за влияния застройки между источником шума и расчетной точкой</b>														
Траектория над экраном	Промежуточные точки:	Pss(x,y,z) = (2271.02,2358.12,2.00)	Psr(x,y,z) = (2270.97,2358.32,2.00)	dss = 96.01 м	dsr = 306.78 м	e = 0.21 м	z = 0.00 м							
	Константа C2, учитывающая эффект отражения от земли возле экрана			40	40	40	40	40	40	40	40			
	Константа C3 (дифракция на кромках)		ф-ла (15) [10]	1	1	1	1	1	1	1	1,1	1,5		
	Kмет (влияние метеословий)		ф-ла (18) [10]	0	0	0	0	0	0	0	0	0		
Снижение УЗД, Dz, дБ		ф-ла (14) [10]	4,8	4,8	4,8	4,8	4,8	4,8	4,8	4,8	4,8			
Уровни звукового давления прямого звука от источника ИШ-28 Внутренний проезд_эква(2) в расчётной точке днём, дБ		ф-ла(3)[10]	0	0	0	0	0	0	0	0	0	0	13,4	
* уровни звукового давления для определения максимального прямого звука от источника ИШ-28 Внутренний проезд_эква(2) в расчётной точке днём, дБ		ф-ла(3)[10]	0	0	17,1	13,8	10,1	9,2	4,6	0	0	13,4		

<b>Уровни звукового давления прямого звука от источника ИШ-28 Внутренний проезд _эков(2) в расчётной точке ночью, дБ</b>			ф-ла(3)[10]	0	0	0	0	0	0	0	0	0	0
* уровни звукового давления для определения максимального прямого звука от источника ИШ-28 Внутренний проезд _эков(2) в расчётной точке ночью, дБ			ф-ла(3)[10]	0	0	0	0	0	0	0	0	0	0
<b>Расчёт отражённого звука</b>													
<b>Мнимый источник ИШ-28 Внутренний проезд _эков(2)_мн.(1), образованный отражением от поверхности препятствия Экран-1</b>													
Координаты точки отражения (x,y,z), м		(2278.2,2170.5,1.2)	Дистанция между ИШ и ИШм: R(ИШ-ИШм) = 95.5м Дистанция между ИШм и РТ: R(ИШм-РТ) = 492.4м										
Коэффициент отражения поверхности $\rho$		исходные данные	0,8	0,8	0,8	0,8	0,8	0,8	0,8	0,8	0,8	0,8	
Поправка на телесный угол $D\Omega$ , дБ		$\Omega = 12.57$	$10Lg(4\pi/\Omega)$	0	0	0	0	0	0	0	0	0	
Показатель направленности источника $D_i$ , дБ		исходные данные	0	0	0	0	0	0	0	0	0	0	
Поправка на направленность источника $Dir$ , дБ		$Dir$	$D\Omega + D_i$	0	0	0	0	0	0	0	0	0	
<b>Уровни звуковой мощности мнимого источника днём, дБ</b>			ф-ла (20)[10]	0	0	62	59	56	56	53	47	0	
<b>Уровни звуковой мощности максимального звука мнимого источника днём, дБ</b>			ф-ла (20)[10]	0	0	84,2	81,2	78,2	78,2	75,2	69,2	0	
<b>Уровни звуковой мощности мнимого источника ночью, дБ</b>			ф-ла (20)[10]	0	0	0	0	0	0	0	0	0	
<b>Уровни звуковой мощности максимального звука мнимого источника ночью, дБ</b>			ф-ла (20)[10]	0	0	0	0	0	0	0	0	0	
Затухание из-за геометрической дивергенции, $A_{div}$ , дБ		расстояние = 587.95 м	ф-ла (7) [10]	66,4									
Коэффициент затухания звука в атмосфере $\alpha$ , дБ/км		$T_a=20,^{\circ}C$ $P_a=101.33,кПа$ хотн.=70%	ф-ла (5) [9]	0,02	0,09	0,33	1,12	2,79	4,98	9,04	23,09	77,63	
Учет затухания звука в атмосфере $A_{atm}$ , дБ			ф-ла (8) [10]	0	0,1	0,2	0,7	1,6	2,9	5,3	13,6	45,6	
<b>Снижение уровня звукового давления из-за влияния застройки между источником шума и расчетной точкой</b>													
Траектория над экраном	Промежуточные точки:	$P_{ss}(x,y,z) = (2247.56,2358.17,2.00)$	$P_{sr}(x,y,z) = (2247.53,2358.37,2.00)$	dss = 190.14 м		dsr = 302.07 м		e = 0.20 м		z = 0.00 м			
	Константа C2, учитывающая эффект отражения от земли возле экрана			40	40	40	40	40	40	40	40	40	
	Константа C3 (дифракция на кромках)			ф-ла (15) [10]	1	1	1	1	1	1	1	1,1	1,5
	$K_{мет}$ (влияние метеословий)			ф-ла (18) [10]	0	0	0	0	0	0	0	0	0
Снижение УЗД, $D_z$ , дБ			ф-ла (14) [10]	4,8	4,8	4,8	4,8	4,8	4,8	4,8	4,8	4,8	
Критерий наличия отражения в октавной полосе		$l_{min} = 2$ м	ф-ла (19)[10]	нет	нет	нет	нет	нет	нет	нет	нет	нет	
<b>Уровни звукового давления от мнимого источника ИШ-28 Внутренний проезд _эков(2)_мн.(1) в расчётной точке днём, дБ</b>			ф-ла(3)[10]	0	0	0	0	0	0	0	0	0	0

<b>Уровни звукового давления от мнимого источника ИШ-28 Внутренний проезд _экв(2)_мн.(1) в расчётной точке ночью, дБ</b>			ф-ла(3)[10]	0	0	0	0	0	0	0	0	0	0	0
<b>Уровни звукового давления от источника ИШ-28 Внутренний проезд _экв(2) в расчётной точке днём, дБ</b>			ф-ла(3)[10]	0	0	0	0	0	0	0	0	0	0	13,4
<b>Уровни звукового давления от источника ИШ-28 Внутренний проезд _экв(2) в расчётной точке ночью, дБ</b>			ф-ла(3)[10]	0	0	0	0	0	0	0	0	0	0	0
<b>Источник шума: ИШ-28 Внутренний проезд _экв(3), координаты источника (x,y,z), м =[2236.94,2297.65,1.10]</b>														
Приведённые уровни звуковой мощности источника днём, Lw, дБ	Lseg = 116.3 м	Lw(удельн.) + 10Lg(Lseg)	0	0	65,7	62,7	59,7	59,7	56,7	50,7	0			
Уровни звуковой мощности максимального звука источника днём, Lwx, дБ		[исходные данные]	0	0	85,1	82,1	79,1	79,1	76,1	70,1	0			
Приведённые уровни звуковой мощности источника ночью, Lw, дБ	Lseg = 116.3 м	Lw(удельн.) + 10Lg(Lseg)	0	0	0	0	0	0	0	0	0			
Уровни звуковой мощности максимального звука источника ночью, Lwx, дБ		[исходные данные]	0	0	0	0	0	0	0	0	0			
Поправка на продольный уклон дороги, дБ	уклон = 0 %	табл. 6.4 [16]	0	0	0	0	0	0	0	0	0			
Поправка на телесный угол DΩ, дБ	Ω = 12.57	10Lg(4π/Ω)	0	0	0	0	0	0	0	0	0			
Показатель направленности источника Di, дБ		исходные данные	0	0	0	0	0	0	0	0	0			
Поправка на направленность источника Dc, дБ	Dc	DΩ + Di	0	0	0	0	0	0	0	0	0			
Затухание из-за геометрической дивергенции, Adiv, дБ	расстояние = 360.87 м	ф-ла (7) [10]	<b>62,1</b>											
Коэффициент затухания звука в атмосфере α, дБ/км	Ta=20,°C Pa=101.33,кПа hотн.=70%	ф-ла (5) [9]	0,02	0,09	0,33	1,12	2,79	4,98	9,04	23,09	77,63			
Учет затухания звука в атмосфере Aatm, дБ		ф-ла (8) [10]	0	0	0,1	0,4	1	1,8	3,3	8,3	28			
<b>Снижение уровня звукового давления из-за влияния застройки между источником шума и расчетной точкой</b>														
Траектория над экраном	Промежуточные точки:	Pss(x,y,z) = (2230.51,2358.21,2.00)	Psr(x,y,z) = (2230.49,2358.41,2.00)	dss = 60.91 м	dsr = 299.76 м	e = 0.20 м	z = 0.01 м							
	Константа C2, учитывающая эффект отражения от земли возле экрана			40	40	40	40	40	40	40	40			
	Константа C3 (дифракция на кромках)			ф-ла (15) [10]	1	1	1	1	1	1	1,1	1,5		
	Kmet (влияние метеоусловий)			ф-ла (18) [10]	0	0	0	0	0	0	0	0		
Снижение УЗД, Dz, дБ			ф-ла (14) [10]	4,8	4,8	4,8	4,8	4,8	4,8	4,8	4,8			
<b>Уровни звукового давления прямого звука от источника ИШ-28 Внутренний проезд _экв(3) в расчётной точке днём, дБ</b>			ф-ла(3)[10]	0	0	0	0	0	0	0	0	0	0	14,5

* уровни звукового давления для определения максимального прямого звука от источника ИШ-28 Внутренний проезд _эkv(3) в расчётной точке днём, дБ	ф-ла(3)[10]	0	0	18,1	14,8	11,2	10,4	6	0	0	14,5			
<b>Уровни звукового давления прямого звука от источника ИШ-28 Внутренний проезд _эkv(3) в расчётной точке ночью, дБ</b>	ф-ла(3)[10]	0	0	0	0	0	0	0	0	0	0	0	0	
* уровни звукового давления для определения максимального прямого звука от источника ИШ-28 Внутренний проезд _эkv(3) в расчётной точке ночью, дБ	ф-ла(3)[10]	0	0	0	0	0	0	0	0	0	0			
<b>Расчёт отражённого звука</b>														
<b>Мнимый источник ИШ-28 Внутренний проезд _эkv(3)_мн.(1), образованный отражением от поверхности препятствия Экран-1</b>														
Координаты точки отражения (x,y,z), м	(2229.0,2170.5,1.2)	Дистанция между ИШ и ИШм: R(ИШ-ИШм) = 127.4м Дистанция между ИШм и РТ: R(ИШм-РТ) = 486.9м												
Коэффициент отражения поверхности $\rho$		исходные данные	0,8	0,8	0,8	0,8	0,8	0,8	0,8	0,8	0,8			
Поправка на телесный угол $D\Omega$ , дБ	$\Omega = 12.57$	$10Lg(4\pi/\Omega)$	0	0	0	0	0	0	0	0	0			
Показатель направленности источника $D_i$ , дБ		исходные данные	0	0	0	0	0	0	0	0	0			
Поправка на направленность источника $Dir$ , дБ	$Dir$	$D\Omega + D_i$	0	0	0	0	0	0	0	0	0			
<b>Уровни звуковой мощности мнимого источника днём, дБ</b>	ф-ла (20)[10]	0	0	64,7	61,7	58,7	58,7	55,7	49,7	0				
<b>Уровни звуковой мощности максимального звука мнимого источника днём, дБ</b>	ф-ла (20)[10]	0	0	84,2	81,2	78,2	78,2	75,2	69,2	0				
<b>Уровни звуковой мощности мнимого источника ночью, дБ</b>	ф-ла (20)[10]	0	0	0	0	0	0	0	0	0				
<b>Уровни звуковой мощности максимального звука мнимого источника ночью, дБ</b>	ф-ла (20)[10]	0	0	0	0	0	0	0	0	0				
Затухание из-за геометрической дивергенции, $A_{div}$ , дБ	расстояние = 614.29 м	ф-ла (7) [10]	66,8											
Коэффициент затухания звука в атмосфере $\alpha$ , дБ/км	$T_a=20,^{\circ}C$ $P_a=101.33, кПа$ хотн.=70%	ф-ла (5) [9]	0,02	0,09	0,33	1,12	2,79	4,98	9,04	23,09	77,63			
Учет затухания звука в атмосфере $A_{atm}$ , дБ		ф-ла (8) [10]	0	0,1	0,2	0,7	1,7	3,1	5,6	14,2	47,7			
<b>Снижение уровня звукового давления из-за влияния застройки между источником шума и расчетной точкой</b>														
Траектория над экраном	Промежуточные точки:	$P_{ss}(x,y,z) = (2217.38,2358.24,2.00)$	$P_{sr}(x,y,z) = (2217.37,2358.44,2.00)$	$d_{ss} = 188.09$ м	$d_{sr} = 298.63$ м	$e = 0.20$ м		$z = 0.00$ м						
	Константа C2, учитывающая эффект отражения от земли возле экрана			40	40	40	40	40	40	40	40			
	Константа C3 (дифракция на кромках)			ф-ла (15) [10]	1	1	1	1	1	1	1,1	1,5		
	$K_{мет}$ (влияние метеословий)			ф-ла (18) [10]	0	0	0	0	0	0	0	0		
Снижение УЗД, $D_z$ , дБ			ф-ла (14) [10]	4,8	4,8	4,8	4,8	4,8	4,8	4,8	4,8			
Критерий наличия отражения в октавной полосе	$l_{min} = 2$ м	ф-ла (19)[10]	нет	нет	нет	нет	нет	нет	нет	нет	нет			

Уровни звукового давления от мнимого источника ИШ-28 Внутренний проезд _эkv(3)_мн.(1) в расчётной точке днём, дБ			ф-ла(3)[10]	0	0	0	0	0	0	0	0	0	0	0
Уровни звукового давления от мнимого источника ИШ-28 Внутренний проезд _эkv(3)_мн.(1) в расчётной точке ночью, дБ			ф-ла(3)[10]	0	0	0	0	0	0	0	0	0	0	0
Уровни звукового давления от источника ИШ-28 Внутренний проезд _эkv(3) в расчётной точке днём, дБ			ф-ла(3)[10]	0	0	0	0	0	0	0	0	0	0	14,5
Уровни звукового давления от источника ИШ-28 Внутренний проезд _эkv(3) в расчётной точке ночью, дБ			ф-ла(3)[10]	0	0	0	0	0	0	0	0	0	0	0
<b>Источник шума: ИШ-28 Внутренний проезд _эkv(4), координаты источника (x,y,z), м = [2120.63,2297.66,1.10]</b>														
Приведённые уровни звуковой мощности источника днём, Lw, дБ	Lseg = 116.3 м	Lw(удельн.) + 10Lg(Lseg)	0	0	65,7	62,7	59,7	59,7	56,7	50,7	0			
Уровни звуковой мощности максимального звука источника днём, Lwx, дБ		[исходные данные]	0	0	85,1	82,1	79,1	79,1	76,1	70,1	0			
Приведённые уровни звуковой мощности источника ночью, Lw, дБ	Lseg = 116.3 м	Lw(удельн.) + 10Lg(Lseg)	0	0	0	0	0	0	0	0	0			
Уровни звуковой мощности максимального звука источника ночью, Lwx, дБ		[исходные данные]	0	0	0	0	0	0	0	0	0			
Поправка на продольный уклон дороги, дБ	уклон = 0 %	табл. 6.4 [16]	0	0	0	0	0	0	0	0	0			
Поправка на телесный угол DΩ, дБ	Ω = 12.57	10Lg(4π/Ω)	0	0	0	0	0	0	0	0	0			
Показатель направленности источника Di, дБ		исходные данные	0	0	0	0	0	0	0	0	0			
Поправка на направленность источника Dc, дБ	Dc	DΩ + Di	0	0	0	0	0	0	0	0	0			
Затухание из-за геометрической дивергенции, Adiv, дБ	расстояние = 367.27 м	ф-ла (7) [10]	<b>62,3</b>											
Коэффициент затухания звука в атмосфере α, дБ/км	Ta=20,°C Pa=101.33,кПа hотн.=70%	ф-ла (5) [9]	0,02	0,09	0,33	1,12	2,79	4,98	9,04	23,09	77,63			
Учет затухания звука в атмосфере Aatm, дБ		ф-ла (8) [10]	0	0	0,1	0,4	1	1,8	3,3	8,5	28,5			
<b>Снижение уровня звукового давления из-за влияния застройки между источником шума и расчетной точкой</b>														
Траектория над экраном	Промежуточные точки:	Pss(x,y,z) = (2125.20,2318.62,2.00)	Psr(x,y,z) = (2133.93,2358.63,2.00)	dss = 21.47 м		dsr = 304.86 м		e = 40.95 м		z = 0.02 м				
	Константа C2, учитывающая эффект отражения от земли возле экрана			40	40	40	40	40	40	40	40	40		
	Константа C3 (дифракция на кромках)			ф-ла (15) [10]	1,3	1,9	2,5	2,8	3	3	3	3	3	
	Kмет (влияние метеословий)			ф-ла (18) [10]	0	0	0	0	0	0	0	0		
	Снижение УЗД, Dz, дБ			ф-ла (14) [10]	4,8	4,8	4,8	4,8	4,9	5	5,1	5,4	6	

<b>Уровни звукового давления прямого звука от источника ИШ-28 Внутренний проезд _эков(4) в расчётной точке днём, дБ</b>		ф-ла(3)[10]	0	0	0	0	0	0	0	0	0	0	14,2	
* уровни звукового давления для определения максимального прямого звука от источника ИШ-28 Внутренний проезд _эков(4) в расчётной точке днём, дБ		ф-ла(3)[10]	0	0	17,9	14,6	10,9	10,1	5,4	0	0	14,2		
<b>Уровни звукового давления прямого звука от источника ИШ-28 Внутренний проезд _эков(4) в расчётной точке ночью, дБ</b>		ф-ла(3)[10]	0	0	0	0	0	0	0	0	0	0	0	
* уровни звукового давления для определения максимального прямого звука от источника ИШ-28 Внутренний проезд _эков(4) в расчётной точке ночью, дБ		ф-ла(3)[10]	0	0	0	0	0	0	0	0	0	0		
<b>Расчёт отражённого звука</b>														
<b>Мнимый источник ИШ-28 Внутренний проезд _эков(4) _мн.(1), образованный отражением от поверхности препятствия Экран-1</b>														
Координаты точки отражения (x,y,z), м		(2130.9,2234.0,1.2)	Дистанция между ИШ и ИШм: R(ИШ-ИШм) = 64.4м Дистанция между ИШм и РТ: R(ИШм-РТ) = 427.9м											
Коэффициент отражения поверхности $\rho$		исходные данные	0,8	0,8	0,8	0,8	0,8	0,8	0,8	0,8	0,8	0,8		
Поправка на телесный угол $D\Omega$ , дБ		$\Omega = 12.57$	$10Lg(4\pi/\Omega)$	0	0	0	0	0	0	0	0	0		
Показатель направленности источника $D_i$ , дБ		исходные данные	0	0	0	0	0	0	0	0	0	0		
Поправка на направленность источника $Dir$ , дБ		Dir	$D\Omega + D_i$	0	0	0	0	0	0	0	0	0		
<b>Уровни звуковой мощности мнимого источника днём, дБ</b>		ф-ла (20)[10]	0	0	64,7	61,7	58,7	58,7	55,7	49,7	0			
<b>Уровни звуковой мощности максимального звука мнимого источника днём, дБ</b>		ф-ла (20)[10]	0	0	84,2	81,2	78,2	78,2	75,2	69,2	0			
<b>Уровни звуковой мощности мнимого источника ночью, дБ</b>		ф-ла (20)[10]	0	0	0	0	0	0	0	0	0			
<b>Уровни звуковой мощности максимального звука мнимого источника ночью, дБ</b>		ф-ла (20)[10]	0	0	0	0	0	0	0	0	0			
Затухание из-за геометрической дивергенции, $A_{div}$ , дБ		расстояние = 492.34 м	ф-ла (7) [10]	64,8										
Коэффициент затухания звука в атмосфере $\alpha$ , дБ/км		$T_a=20,^{\circ}C$ $P_a=101.33, кПа$ $h_{отн.}=70\%$	ф-ла (5) [9]	0,02	0,09	0,33	1,12	2,79	4,98	9,04	23,09	77,63		
Учет затухания звука в атмосфере $A_{atm}$ , дБ			ф-ла (8) [10]	0	0	0,2	0,6	1,4	2,5	4,5	11,4	38,2		
<b>Снижение уровня звукового давления из-за влияния застройки между источником шума и расчетной точкой</b>														
Траектория над экраном	Промежуточные точки:	$P_{ss}(x,y,z) = (2144.50,2318.62,2.00)$	$P_{sr}(x,y,z) = (2150.93,2358.59,2.00)$	$d_{ss} = 85.67$ м		$d_{sr} = 301.74$ м		$e = 40.49$ м		$z = 0.00$ м				
	Константа C2, учитывающая эффект отражения от земли возле экрана			40	40	40	40	40	40	40	40	40		
	Константа C3 (дифракция на кромках)			ф-ла (15) [10]	1,3	1,9	2,5	2,8	3	3	3	3	3	
	$K_{мет}$ (влияние метеословий)			ф-ла (18) [10]	0	0	0	0	0	0	0	0	0	
	Снижение УЗД, $D_z$ , дБ			ф-ла (14) [10]	4,8	4,8	4,8	4,8	4,8	4,8	4,8	4,8	4,8	

Критерий наличия отражения в октавной полосе	$l_{min} = 2 \text{ м}$	ф-ла (19)[10]	нет	нет	нет	нет	нет	нет	нет	нет	нет	нет		
Уровни звукового давления от мнимого источника ИШ-28 Внутренний проезд _эkv(4)_мн.(1) в расчётной точке днём, дБ		ф-ла(3)[10]	0	0	0	0	0	0	0	0	0	0	0	0
Уровни звукового давления от мнимого источника ИШ-28 Внутренний проезд _эkv(4)_мн.(1) в расчётной точке ночью, дБ		ф-ла(3)[10]	0	0	0	0	0	0	0	0	0	0	0	0
Уровни звукового давления от источника ИШ-28 Внутренний проезд _эkv(4) в расчётной точке днём, дБ		ф-ла(3)[10]	0	0	0	0	0	0	0	0	0	0	0	14,2
Уровни звукового давления от источника ИШ-28 Внутренний проезд _эkv(4) в расчётной точке ночью, дБ		ф-ла(3)[10]	0	0	0	0	0	0	0	0	0	0	0	0
Суммарные уровни звукового давления от линейного источника ИШ-28 Внутренний проезд в расчётной точке днём, дБ		ф-ла (19) [1]	0	0	0	0	0	0	0	0	0	0	0	14,5
Суммарные уровни звукового давления от линейного источника ИШ-28 Внутренний проезд в расчётной точке ночью, дБ		ф-ла (19) [1]	0	0	0	0	0	0	0	0	0	0	0	0
Требуемое снижение днём, $\Delta L_{\text{треб}}$ , дБ		ф-лы (15),(16) [6]	0	0	0	0	0	0	0	0	0	0		
Требуемое снижение ночью, $\Delta L_{\text{треб}}$ , дБ		ф-лы (15),(16) [6]	0	0	0	0	0	0	0	0	0	0		
<b>ИШ-29 Внутренний проезд</b>														
Источник линейный, протяжённость = 179.58 м. По положениям ГОСТ 31295-2 разбит на серию точечных эквивалентных источников. Количество эквивалентных источников: 4. Расчёт эквивалентных источников шума:														
Октавные уровни удельной звуковой мощности источника днем, $L_w$ , дБ/м		исходные данные	0	0	45,1	42,1	39,1	39,1	36,1	30,1	0			
Октавные уровни удельной звуковой мощности источника ночью, $L_w$ , дБ/м		исходные данные	0	0	0	0	0	0	0	0	0			
<b>Источник шума: ИШ-29 Внутренний проезд_эkv(1)</b> , координаты источника (x,y,z), м =[2293.70,2202.14,1.10]														
Приведённые уровни звуковой мощности источника днём, $L_w$ , дБ	$L_{\text{seg}} = 62.7 \text{ м}$	$L_w(\text{удельн.}) + 10L_g(L_{\text{seg}})$	0	0	63,1	60,1	57,1	57,1	54,1	48,1	0			
Уровни звуковой мощности максимального звука источника днём, $L_{wx}$ , дБ		[исходные данные]	0	0	85,1	82,1	79,1	79,1	76,1	70,1	0			
Приведённые уровни звуковой мощности источника ночью, $L_w$ , дБ	$L_{\text{seg}} = 62.7 \text{ м}$	$L_w(\text{удельн.}) + 10L_g(L_{\text{seg}})$	0	0	0	0	0	0	0	0	0			
Уровни звуковой мощности максимального звука источника ночью, $L_{wx}$ , дБ		[исходные данные]	0	0	0	0	0	0	0	0	0			

Поправка на продольный уклон дороги, дБ	уклон = 0 %	табл. 6.4 [16]	0	0	0	0	0	0	0	0	0	0	
Поправка на телесный угол $D\Omega$ , дБ	$\Omega = 12.57$	$10Lg(4\pi/\Omega)$	0	0	0	0	0	0	0	0	0	0	
Показатель направленности источника $D_i$ , дБ		исходные данные	0	0	0	0	0	0	0	0	0	0	
Поправка на направленность источника $D_c$ , дБ	$D_c$	$D\Omega + D_i$	0	0	0	0	0	0	0	0	0	0	
Затухание из-за геометрической дивергенции, $A_{div}$ , дБ	расстояние = 464.15 м	ф-ла (7) [10]	<b>64,3</b>										
Коэффициент затухания звука в атмосфере $\alpha$ , дБ/км	$T_a=20,^{\circ}C$ $P_a=101.33, кПа$ hотн.=70%	ф-ла (5) [9]	0,02	0,09	0,33	1,12	2,79	4,98	9,04	23,09	77,63		
Учет затухания звука в атмосфере $A_{atm}$ , дБ		ф-ла (8) [10]	0	0	0,2	0,5	1,3	2,3	4,2	10,7	36		
<b>Снижение уровня звукового давления из-за влияния застройки между источником шума и расчетной точкой</b>													
Траектория над экраном	Промежуточные точки:	$P_{ss}(x,y,z) = (2261.14, 2358.14, 2.00)$	$P_{sr}(x,y,z) = (2261.10, 2358.34, 2.00)$	$d_{ss} = 159.37$ м		$d_{sr} = 304.58$ м		$e = 0.20$ м		$z = 0.00$ м			
	Константа $C_2$ , учитывающая эффект отражения от земли возле экрана			40	40	40	40	40	40	40	40	40	
	Константа $C_3$ (дифракция на кромках)		ф-ла (15) [10]	1	1	1	1	1	1	1	1,1	1,5	
	$K_{мет}$ (влияние метеословий)		ф-ла (18) [10]	0	0	0	0	0	0	0	0	0	
	Снижение УЗД, $D_z$ , дБ		ф-ла (14) [10]	4,8	4,8	4,8	4,8	4,8	4,8	4,8	4,8	4,8	
<b>Уровни звукового давления прямого звука от источника ИШ-29 Внутренний проезд_эков(1) в расчётной точке днём, дБ</b>			ф-ла(3)[10]	0	0	0	0	0	0	0	0	0	<b>11,9</b>
* уровни звукового давления для определения максимального прямого звука от источника ИШ-29 Внутренний проезд_эков(1) в расчётной точке днём, дБ			ф-ла(3)[10]	0	0	15,9	12,5	8,7	7,7	2,8	0	0	11,9
<b>Уровни звукового давления прямого звука от источника ИШ-29 Внутренний проезд_эков(1) в расчётной точке ночью, дБ</b>			ф-ла(3)[10]	0	0	0	0	0	0	0	0	0	<b>0</b>
* уровни звукового давления для определения максимального прямого звука от источника ИШ-29 Внутренний проезд_эков(1) в расчётной точке ночью, дБ			ф-ла(3)[10]	0	0	0	0	0	0	0	0	0	0
<b>Расчёт отражённого звука</b>													
<b>Мнимый источник ИШ-29 Внутренний проезд_эков(1)_мн.(1), образованный отражением от поверхности препятствия Экран-1</b>													
Координаты точки отражения (x,y,z), м	(2287.9, 2170.5, 1.1)	Дистанция между ИШ и ИШм: $R(ИШ-ИШм) = 32.1$ м Дистанция между ИШм и РТ: $R(ИШм-РТ) = 494.1$ м											
Коэффициент отражения поверхности $\rho$		исходные данные	0,8	0,8	0,8	0,8	0,8	0,8	0,8	0,8	0,8	0,8	
Поправка на телесный угол $D\Omega$ , дБ	$\Omega = 12.57$	$10Lg(4\pi/\Omega)$	0	0	0	0	0	0	0	0	0	0	
Показатель направленности источника $D_i$ , дБ		исходные данные	0	0	0	0	0	0	0	0	0	0	
Поправка на направленность источника $D_{ir}$ , дБ	$D_{ir}$	$D\Omega + D_i$	0	0	0	0	0	0	0	0	0	0	
<b>Уровни звуковой мощности мнимого источника днём, дБ</b>			ф-ла (20)[10]	0	0	<b>62,1</b>	<b>59,1</b>	<b>56,1</b>	<b>56,1</b>	<b>53,1</b>	<b>47,1</b>	<b>0</b>	

<b>Уровни звуковой мощности максимального звука мнимого источника днём, дБ</b>		ф-ла (20)[10]	0	0	84,2	81,2	78,2	78,2	75,2	69,2	0			
<b>Уровни звуковой мощности мнимого источника ночью, дБ</b>		ф-ла (20)[10]	0	0	0	0	0	0	0	0	0			
<b>Уровни звуковой мощности максимального звука мнимого источника ночью, дБ</b>		ф-ла (20)[10]	0	0	0	0	0	0	0	0	0			
Затухание из-за геометрической дивергенции, Adiv, дБ	расстояние = 526.21 м	ф-ла (7) [10]	65,4											
Коэффициент затухания звука в атмосфере α, дБ/км	Ta=20,°C Pa=101.33,кПа hотн.=70%	ф-ла (5) [9]	0,02	0,09	0,33	1,12	2,79	4,98	9,04	23,09	77,63			
Учет затухания звука в атмосфере Aatm, дБ		ф-ла (8) [10]	0	0	0,2	0,6	1,5	2,6	4,8	12,1	40,9			
<b>Снижение уровня звукового давления из-за влияния застройки между источником шума и расчетной точкой</b>														
Траектория над экраном	Промежуточные точки:	Pss(x,y,z) = (2253.52,2358.16,2.00)	Psr(x,y,z) = (2253.48,2358.36,2.00)	dss = 190.76 м	dsr = 303.10 м	e = 0.20 м		z = 0.00 м						
	Константа C2, учитывающая эффект отражения от земли возле экрана			40	40	40	40	40	40	40	40			
	Константа C3 (дифракция на кромках)		ф-ла (15) [10]	1	1	1	1	1	1	1,1	1,5			
	Kмет (влияние метеословий)		ф-ла (18) [10]	0	0	0	0	0	0	0	0			
Снижение УЗД, Dz, дБ		ф-ла (14) [10]	4,8	4,8	4,8	4,8	4,8	4,8	4,8	4,8	4,8			
Критерий наличия отражения в октавной полосе	lmin = 2 м	ф-ла (19)[10]	нет	нет	нет	нет	нет	нет	нет	нет	нет	да		
<b>Уровни звукового давления от мнимого источника ИШ-29 Внутренний проезд_эква(1)_мн.(1) в расчётной точке днём, дБ</b>		ф-ла(3)[10]	0	0	0	0	0	0	0	0	0	0	0	
<b>Уровни звукового давления от мнимого источника ИШ-29 Внутренний проезд_эква(1)_мн.(1) в расчётной точке ночью, дБ</b>		ф-ла(3)[10]	0	0	0	0	0	0	0	0	0	0	0	
<b>Мнимый источник ИШ-29 Внутренний проезд_эква(1)_мн.(2), образованный отражением от поверхности препятствия Экран-1</b>														
Координаты точки отражения (x,y,z), м	(2352.7,2330.0,1.2)	Дистанция между ИШ и ИШм: R(ИШ-ИШм) = 140.8м Дистанция между ИШм и РТ: R(ИШм-РТ) = 360.9м												
Коэффициент отражения поверхности ρ		исходные данные	0,8	0,8	0,8	0,8	0,8	0,8	0,8	0,8	0,8			
Поправка на телесный угол DΩ, дБ	Ω = 12.57	10Lg(4π/Ω)	0	0	0	0	0	0	0	0	0			
Показатель направленности источника Di, дБ		исходные данные	0	0	0	0	0	0	0	0	0			
Поправка на направленность источника Dir, дБ	Dir	DΩ + Di	0	0	0	0	0	0	0	0	0			
<b>Уровни звуковой мощности мнимого источника днём, дБ</b>		ф-ла (20)[10]	0	0	62,1	59,1	56,1	56,1	53,1	47,1	0			
<b>Уровни звуковой мощности максимального звука мнимого источника днём, дБ</b>		ф-ла (20)[10]	0	0	84,2	81,2	78,2	78,2	75,2	69,2	0			
<b>Уровни звуковой мощности мнимого источника ночью, дБ</b>		ф-ла (20)[10]	0	0	0	0	0	0	0	0	0			

<b>Уровни звуковой мощности максимального звука мнимого источника ночью, дБ</b>			ф-ла (20)[10]	0	0	0	0	0	0	0	0	0	0
Затухание из-за геометрической дивергенции, Adiv, дБ	расстояние = 501.73 м		ф-ла (7) [10]	65									
Коэффициент затухания звука в атмосфере $\alpha$ , дБ/км	Ta=20,°C Pa=101.33,кПа hотн.=70%		ф-ла (5) [9]	0,02	0,09	0,33	1,12	2,79	4,98	9,04	23,09	77,63	
Учет затухания звука в атмосфере Aatm, дБ			ф-ла (8) [10]	0	0	0,2	0,6	1,4	2,5	4,5	11,6	39	
<b>Снижение уровня звукового давления из-за влияния застройки между источником шума и расчетной точкой</b>													
Траектория над экраном	Промежуточные точки:	Pss(x,y,z) = (2339.51,2357.96,2.00)	Psr(x,y,z) = (2339.42,2358.16,2.00)	dss = 30.93 м		dsr = 329.79 м		e = 0.22 м		z = 0.01 м			
	Константа C2, учитывающая эффект отражения от земли возле экрана			40	40	40	40	40	40	40	40	40	
	Константа C3 (дифракция на кромках)			ф-ла (15) [10]	1	1	1	1	1	1	1	1,2	1,5
	Kмет (влияние метеословий)			ф-ла (18) [10]	0	0	0	0	0	0	0	0	0
Снижение УЗД, Dz, дБ			ф-ла (14) [10]	4,8	4,8	4,8	4,8	4,8	4,8	4,8	4,8	4,8	
Критерий наличия отражения в октавной полосе	lmin = 2 м		ф-ла (19)[10]	нет	нет	нет	нет	нет	нет	нет	нет	нет	
<b>Уровни звукового давления от мнимого источника ИШ-29 Внутренний проезд_эkv(1)_мн.(2) в расчётной точке днём, дБ</b>			ф-ла(3)[10]	0	0	0	0	0	0	0	0	0	0
<b>Уровни звукового давления от мнимого источника ИШ-29 Внутренний проезд_эkv(1)_мн.(2) в расчётной точке ночью, дБ</b>			ф-ла(3)[10]	0	0	0	0	0	0	0	0	0	0
<b>Суммарные уровни звукового давления от мнимых источников в расчётной точке днём, дБ</b>			ф-ла (19) [1]	0	0	0	0	0	0	0	0	0	0
<b>Суммарные уровни звукового давления от мнимых источников в расчётной точке ночью, дБ</b>			ф-ла (19) [1]	0	0	0	0	0	0	0	0	0	0
<b>Уровни звукового давления от источника ИШ-29 Внутренний проезд_эkv(1) в расчётной точке днём, дБ</b>			ф-ла(3)[10]	0	0	0	0	0	0	0	0	0	11,9
<b>Уровни звукового давления от источника ИШ-29 Внутренний проезд_эkv(1) в расчётной точке ночью, дБ</b>			ф-ла(3)[10]	0	0	0	0	0	0	0	0	0	0
<b>Источник шума: ИШ-29 Внутренний проезд_эkv(2), координаты источника (x,y,z), м =[2293.93,2264.81,1.10]</b>													
Приведённые уровни звуковой мощности источника днём, Lw, дБ	Lseg = 62.7 м	Lw(удельн.) + 10Lg(Lseg)	0	0	63,1	60,1	57,1	57,1	54,1	48,1	0		
Уровни звуковой мощности максимального звука источника днём, Lwx, дБ		[исходные данные]	0	0	85,1	82,1	79,1	79,1	76,1	70,1	0		
Приведённые уровни звуковой мощности источника ночью, Lw, дБ	Lseg = 62.7 м	Lw(удельн.) + 10Lg(Lseg)	0	0	0	0	0	0	0	0	0		

Уровни звуковой мощности максимального звука источника ночью, $L_{wx}$ , дБ		[исходные данные]	0	0	0	0	0	0	0	0	0	0	0	0
Поправка на продольный уклон дороги, дБ	уклон = 0 %	табл. 6.4 [16]	0	0	0	0	0	0	0	0	0	0	0	0
Поправка на телесный угол $D\Omega$ , дБ	$\Omega = 12.57$	$10Lg(4\pi/\Omega)$	0	0	0	0	0	0	0	0	0	0	0	0
Показатель направленности источника $D_i$ , дБ		исходные данные	0	0	0	0	0	0	0	0	0	0	0	0
Поправка на направленность источника $D_c$ , дБ	$D_c$	$D\Omega + D_i$	0	0	0	0	0	0	0	0	0	0	0	0
Затухание из-за геометрической дивергенции, $A_{div}$ , дБ	расстояние = 403.06 м	ф-ла (7) [10]	<b>63,1</b>											
Коэффициент затухания звука в атмосфере $\alpha$ , дБ/км	$T_a=20,^{\circ}C$ $P_a=101.33, кПа$ влажн.=70%	ф-ла (5) [9]	0,02	0,09	0,33	1,12	2,79	4,98	9,04	23,09	77,63			
Учет затухания звука в атмосфере $A_{atm}$ , дБ		ф-ла (8) [10]	0	0	0,1	0,5	1,1	2	3,6	9,3	31,3			
<b>Снижение уровня звукового давления из-за влияния застройки между источником шума и расчетной точкой</b>														
Траектория над экраном	Промежуточные точки:	$P_{ss}(x,y,z) = (2271.29, 2358.12, 2.00)$	$P_{sr}(x,y,z) = (2271.24, 2358.32, 2.00)$	$d_{ss} = 96.02$ м		$d_{sr} = 306.84$ м		$e = 0.21$ м		$z = 0.00$ м				
	Константа $C_2$ , учитывающая эффект отражения от земли возле экрана			40	40	40	40	40	40	40	40	40		
	Константа $C_3$ (дифракция на кромках)		ф-ла (15) [10]		1	1	1	1	1	1	1	1,1	1,5	
	$K_{мет}$ (влияние метеословий)		ф-ла (18) [10]		0	0	0	0	0	0	0	0	0	
	Снижение УЗД, $D_z$ , дБ		ф-ла (14) [10]		4,8	4,8	4,8	4,8	4,8	4,8	4,8	4,8	4,8	
<b>Уровни звукового давления прямого звука от источника ИШ-29 Внутренний проезд_эков(2) в расчётной точке днём, дБ</b>			ф-ла(3)[10]	0	0	0	0	0	0	0	0	0	0	<b>13,4</b>
* уровни звукового давления для определения максимального прямого звука от источника ИШ-29 Внутренний проезд_эков(2) в расчётной точке днём, дБ			ф-ла(3)[10]	0	0	17,1	13,8	10,1	9,2	4,6	0	0	13,4	
<b>Уровни звукового давления прямого звука от источника ИШ-29 Внутренний проезд_эков(2) в расчётной точке ночью, дБ</b>			ф-ла(3)[10]	0	0	0	0	0	0	0	0	0	0	<b>0</b>
* уровни звукового давления для определения максимального прямого звука от источника ИШ-29 Внутренний проезд_эков(2) в расчётной точке ночью, дБ			ф-ла(3)[10]	0	0	0	0	0	0	0	0	0	0	
<b>Расчёт отражённого звука</b>														
<b>Мнимый источник ИШ-29 Внутренний проезд_эков(2)_мн.(1), образованный отражением от поверхности препятствия Экран-1</b>														
Координаты точки отражения (x,y,z), м		(2278.5, 2170.5, 1.2)	Дистанция между ИШ и ИШм: $R(ИШ-ИШм) = 95.5$ м Дистанция между ИШм и РТ: $R(ИШм-РТ) = 492.5$ м											
Коэффициент отражения поверхности $\rho$		исходные данные	0,8	0,8	0,8	0,8	0,8	0,8	0,8	0,8	0,8	0,8	0,8	
Поправка на телесный угол $D\Omega$ , дБ	$\Omega = 12.57$	$10Lg(4\pi/\Omega)$	0	0	0	0	0	0	0	0	0	0	0	0
Показатель направленности источника $D_i$ , дБ		исходные данные	0	0	0	0	0	0	0	0	0	0	0	0
Поправка на направленность источника $D_{ir}$ , дБ	$D_{ir}$	$D\Omega + D_i$	0	0	0	0	0	0	0	0	0	0	0	0

Уровни звуковой мощности мнимого источника днём, дБ		ф-ла (20)[10]	0	0	62,1	59,1	56,1	56,1	53,1	47,1	0			
Уровни звуковой мощности максимального звука мнимого источника днём, дБ		ф-ла (20)[10]	0	0	84,2	81,2	78,2	78,2	75,2	69,2	0			
Уровни звуковой мощности мнимого источника ночью, дБ		ф-ла (20)[10]	0	0	0	0	0	0	0	0	0			
Уровни звуковой мощности максимального звука мнимого источника ночью, дБ		ф-ла (20)[10]	0	0	0	0	0	0	0	0	0			
Затухание из-за геометрической дивергенции, Adiv, дБ	расстояние = 588.01 м	ф-ла (7) [10]	66,4											
Коэффициент затухания звука в атмосфере $\alpha$ , дБ/км	Ta=20,°C Pa=101.33,кПа hотн.=70%	ф-ла (5) [9]	0,02	0,09	0,33	1,12	2,79	4,98	9,04	23,09	77,63			
Учет затухания звука в атмосфере Aatm, дБ		ф-ла (8) [10]	0	0,1	0,2	0,7	1,6	2,9	5,3	13,6	45,6			
<b>Снижение уровня звукового давления из-за влияния застройки между источником шума и расчетной точкой</b>														
Траектория над экраном	Промежуточные точки:	Pss(x,y,z) = (2247.74,2358.17,2.00)	Psr(x,y,z) = (2247.70,2358.37,2.00)	dss = 190.15 м	dsr = 302.10 м	e = 0.20 м	z = 0.00 м							
	Константа C2, учитывающая эффект отражения от земли возле экрана			40	40	40	40	40	40	40	40			
	Константа C3 (дифракция на кромках)		ф-ла (15) [10]	1	1	1	1	1	1	1	1,1	1,5		
	Kмет (влияние метеословий)		ф-ла (18) [10]	0	0	0	0	0	0	0	0	0		
Снижение УЗД, Dz, дБ		ф-ла (14) [10]	4,8	4,8	4,8	4,8	4,8	4,8	4,8	4,8	4,8			
Критерий наличия отражения в октавной полосе	lmin = 2 м	ф-ла (19)[10]	нет	нет	нет	нет	нет	нет	нет	нет	нет			
Уровни звукового давления от мнимого источника ИШ-29 Внутренний проезд_эkv(2)_мн.(1) в расчётной точке днём, дБ		ф-ла(3)[10]	0	0	0	0	0	0	0	0	0	0	0	
Уровни звукового давления от мнимого источника ИШ-29 Внутренний проезд_эkv(2)_мн.(1) в расчётной точке ночью, дБ		ф-ла(3)[10]	0	0	0	0	0	0	0	0	0	0	0	
Уровни звукового давления от источника ИШ-29 Внутренний проезд_эkv(2) в расчётной точке днём, дБ		ф-ла(3)[10]	0	0	0	0	0	0	0	0	0	0	13,4	
Уровни звукового давления от источника ИШ-29 Внутренний проезд_эkv(2) в расчётной точке ночью, дБ		ф-ла(3)[10]	0	0	0	0	0	0	0	0	0	0	0	
<b>Источник шума: ИШ-29 Внутренний проезд_эkv(3), координаты источника (x,y,z), м =[2313.06,2297.64,1.10]</b>														
Приведённые уровни звуковой мощности источника днём, Lw, дБ	Lseg = 35.0 м	Lw(удельн.) + 10Lg(Lseg)	0	0	60,6	57,6	54,6	54,6	51,6	45,6	0			
Уровни звуковой мощности максимального звука источника днём, Lwx, дБ		[исходные данные]	0	0	85,1	82,1	79,1	79,1	76,1	70,1	0			
Приведённые уровни звуковой мощности источника ночью, Lw, дБ	Lseg = 35.0 м	Lw(удельн.) + 10Lg(Lseg)	0	0	0	0	0	0	0	0	0			

Уровни звуковой мощности максимального звука источника ночью, $L_{wx}$ , дБ		[исходные данные]	0	0	0	0	0	0	0	0	0	0													
Поправка на продольный уклон дороги, дБ	уклон = 0 %	табл. 6.4 [16]	0	0	0	0	0	0	0	0	0	0													
Поправка на телесный угол $D\Omega$ , дБ	$\Omega = 12.57$	$10Lg(4\pi/\Omega)$	0	0	0	0	0	0	0	0	0	0													
Показатель направленности источника $D_i$ , дБ		исходные данные	0	0	0	0	0	0	0	0	0	0													
Поправка на направленность источника $D_c$ , дБ	$D_c$	$D\Omega + D_i$	0	0	0	0	0	0	0	0	0	0													
Затухание из-за геометрической дивергенции, $A_{div}$ , дБ		расстояние = 376.59 м	ф-ла (7) [10]										62,5												
Коэффициент затухания звука в атмосфере $\alpha$ , дБ/км		$T_a=20,^{\circ}C$ $P_a=101.33, кПа$ $h_{отн.}=70\%$	ф-ла (5) [9]										0,02	0,09	0,33	1,12	2,79	4,98	9,04	23,09	77,63				
Учет затухания звука в атмосфере $A_{atm}$ , дБ			ф-ла (8) [10]										0	0	0,1	0,4	1,1	1,9	3,4	8,7	29,2				
<b>Снижение уровня звукового давления из-за влияния застройки между источником шума и расчетной точкой</b>																									
Траектория над экраном	Промежуточные точки:	$P_{ss}(x,y,z) = (2293.83, 2358.06, 2.00)$	$P_{sr}(x,y,z) = (2293.77, 2358.26, 2.00)$	$d_{ss} = 63.42$ м		$d_{sr} = 312.97$ м		$e = 0.21$ м		$z = 0.01$ м															
	Константа $C_2$ , учитывающая эффект отражения от земли возле экрана			40	40	40	40	40	40	40	40	40													
	Константа $C_3$ (дифракция на кромках)		ф-ла (15) [10]		1	1	1	1	1	1	1	1,2	1,5												
	$K_{мет}$ (влияние метеословий)		ф-ла (18) [10]		0	0	0	0	0	0	0	0	0												
	Снижение УЗД, $D_z$ , дБ		ф-ла (14) [10]		4,8	4,8	4,8	4,8	4,8	4,8	4,8	4,8	4,8												
<b>Уровни звукового давления от источника ИШ-29 Внутренний проезд_эkv(3) в расчётной точке днём, дБ</b>			ф-ла(3)[10]										0	0	0	0	0	0	0	0	0	0	0	0	14,1
<b>Уровни звукового давления от источника ИШ-29 Внутренний проезд_эkv(3) в расчётной точке ночью, дБ</b>			ф-ла(3)[10]										0	0	0	0	0	0	0	0	0	0	0	0	0
<b>Источник шума: ИШ-29 Внутренний проезд_эkv(4), координаты источника (x,y,z), м = [2334.11, 2305.19, 1.10]</b>																									
Приведённые уровни звуковой мощности источника днём, $L_w$ , дБ		$L_{seg} = 19.2$ м	$L_w(\text{удельн.}) + 10Lg(L_{seg})$		0	0	58	55	52	52	49	43	0												
Уровни звуковой мощности максимального звука источника днём, $L_{wx}$ , дБ			[исходные данные]		0	0	85,1	82,1	79,1	79,1	76,1	70,1	0												
Приведённые уровни звуковой мощности источника ночью, $L_w$ , дБ		$L_{seg} = 19.2$ м	$L_w(\text{удельн.}) + 10Lg(L_{seg})$		0	0	0	0	0	0	0	0	0												
Уровни звуковой мощности максимального звука источника ночью, $L_{wx}$ , дБ			[исходные данные]		0	0	0	0	0	0	0	0	0												
Поправка на продольный уклон дороги, дБ	уклон = 0 %	табл. 6.4 [16]	0	0	0	0	0	0	0	0	0	0	0												
Поправка на телесный угол $D\Omega$ , дБ	$\Omega = 12.57$	$10Lg(4\pi/\Omega)$	0	0	0	0	0	0	0	0	0	0	0												
Показатель направленности источника $D_i$ , дБ		исходные данные	0	0	0	0	0	0	0	0	0	0	0												
Поправка на направленность источника $D_c$ , дБ	$D_c$	$D\Omega + D_i$	0	0	0	0	0	0	0	0	0	0	0												

Затухание из-за геометрической дивергенции, $A_{div}$ , дБ	расстояние = 376.44 м	ф-ла (7) [10]	62,5										
Коэффициент затухания звука в атмосфере $\alpha$ , дБ/км	$T_a=20,^{\circ}C$ $P_a=101.33, кПа$ $h_{отн.}=70\%$	ф-ла (5) [9]	0,02	0,09	0,33	1,12	2,79	4,98	9,04	23,09	77,63		
Учет затухания звука в атмосфере $A_{atm}$ , дБ		ф-ла (8) [10]	0	0	0,1	0,4	1,1	1,9	3,4	8,7	29,2		
<b>Снижение уровня звукового давления из-за влияния застройки между источником шума и расчетной точкой</b>													
Траектория над экраном	Промежуточные точки:	$P_{ss}(x,y,z) = (2313.78, 2358.02, 2.00)$	$P_{sr}(x,y,z) = (2313.70, 2358.22, 2.00)$	$d_{ss} = 56.61$ м		$d_{sr} = 319.62$ м		$e = 0.21$ м		$z = 0.01$ м			
	Константа $C_2$ , учитывающая эффект отражения от земли возле экрана			40	40	40	40	40	40	40	40	40	
	Константа $C_3$ (дифракция на кромках)			ф-ла (15) [10]	1	1	1	1	1	1	1,2	1,5	
	$K_{мет}$ (влияние метеословий)			ф-ла (18) [10]	0	0	0	0	0	0	0	0	
Снижение УЗД, $D_z$ , дБ			ф-ла (14) [10]	4,8	4,8	4,8	4,8	4,8	4,8	4,8	4,8		
<b>Уровни звукового давления прямого звука от источника ИШ-29 Внутренний проезд_эков(4) в расчётной точке днём, дБ</b>			ф-ла(3)[10]	0	0	0	0	0	0	0	0	0	14,1
* уровни звукового давления для определения максимального прямого звука от источника ИШ-29 Внутренний проезд_эков(4) в расчётной точке днём, дБ			ф-ла(3)[10]	0	0	17,7	14,4	10,8	10	5,4	0	0	14,1
<b>Уровни звукового давления прямого звука от источника ИШ-29 Внутренний проезд_эков(4) в расчётной точке ночью, дБ</b>			ф-ла(3)[10]	0	0	0	0	0	0	0	0	0	0
* уровни звукового давления для определения максимального прямого звука от источника ИШ-29 Внутренний проезд_эков(4) в расчётной точке ночью, дБ			ф-ла(3)[10]	0	0	0	0	0	0	0	0	0	0
<b>Расчёт отражённого звука</b>													
<b>Мнимый источник ИШ-29 Внутренний проезд_эков(4)_мн.(1), образованный отражением от поверхности препятствия Экран-1</b>													
Координаты точки отражения (x,y,z), м	(2352.6, 2343.8, 1.1)	Дистанция между ИШ и ИШм: $R(ИШ-ИШм) = 42.8$ м Дистанция между ИШм и РТ: $R(ИШм-РТ) = 348.5$ м											
Коэффициент отражения поверхности $\rho$		исходные данные	0,8	0,8	0,8	0,8	0,8	0,8	0,8	0,8	0,8	0,8	
Поправка на телесный угол $D\Omega$ , дБ	$\Omega = 12.57$	$10Lg(4\pi/\Omega)$	0	0	0	0	0	0	0	0	0	0	
Показатель направленности источника $D_i$ , дБ		исходные данные	0	0	0	0	0	0	0	0	0	0	
Поправка на направленность источника $Dir$ , дБ	$Dir$	$D\Omega + D_i$	0	0	0	0	0	0	0	0	0	0	
<b>Уровни звуковой мощности мнимого источника днём, дБ</b>			ф-ла (20)[10]	0	0	57	54	51	51	48	42	0	
<b>Уровни звуковой мощности максимального звука мнимого источника днём, дБ</b>			ф-ла (20)[10]	0	0	84,2	81,2	78,2	78,2	75,2	69,2	0	
<b>Уровни звуковой мощности мнимого источника ночью, дБ</b>			ф-ла (20)[10]	0	0	0	0	0	0	0	0	0	
<b>Уровни звуковой мощности максимального звука мнимого источника ночью, дБ</b>			ф-ла (20)[10]	0	0	0	0	0	0	0	0	0	

Затухание из-за геометрической дивергенции, $A_{div}$ , дБ	расстояние = 391.28 м	ф-ла (7) [10]	<b>62,8</b>										
Коэффициент затухания звука в атмосфере $\alpha$ , дБ/км	$T_a=20,^{\circ}C$ $P_a=101.33, кПа$ ногн.=70%	ф-ла (5) [9]	0,02	0,09	0,33	1,12	2,79	4,98	9,04	23,09	77,63		
Учет затухания звука в атмосфере $A_{atm}$ , дБ		ф-ла (8) [10]	0	0	0,1	0,4	1,1	1,9	3,5	9	30,4		
<b>Снижение уровня звукового давления из-за влияния застройки между источником шума и расчетной точкой</b>													
Траектория над экраном	Промежуточные точки:	$P_{ss}(x,y,z) = (2345.67, 2357.94, 2.00)$	$P_{sr}(x,y,z) = (2345.57, 2358.14, 2.00)$	dss = 15.81 м		dsr = 332.47 м		e = 0.22 м		z = 0.02 м			
	Константа C2, учитывающая эффект отражения от земли возле экрана			40	40	40	40	40	40	40	40	40	
	Константа C3 (дифракция на кромках)		ф-ла (15) [10]	1	1	1	1	1	1	1	1,2	1,5	
	$K_{мет}$ (влияние метеословий)		ф-ла (18) [10]	0	0	0	0	0	0	0	0	0	
Снижение УЗД, $D_z$ , дБ		ф-ла (14) [10]	4,8	4,8	4,8	4,8	4,9	4,9	5,1	5,5	6,5		
Критерий наличия отражения в октавной полосе	$l_{min} = 2$ м	ф-ла (19)[10]	нет	нет	нет	нет	нет	нет	нет	нет	нет		
<b>Уровни звукового давления от мнимого источника ИШ-29 Внутренний проезд_эков(4)_мн.(1) в расчётной точке днём, дБ</b>		ф-ла(3)[10]	0	0	0	0	0	0	0	0	0	0	0
<b>Уровни звукового давления от мнимого источника ИШ-29 Внутренний проезд_эков(4)_мн.(1) в расчётной точке ночью, дБ</b>		ф-ла(3)[10]	0	0	0	0	0	0	0	0	0	0	0
<b>Мнимый источник ИШ-29 Внутренний проезд_эков(4)_мн.(2), образованный отражением от поверхности препятствия Экран-1</b>													
Координаты точки отражения (x,y,z), м	(2301.9, 2171.2, 1.2)	Дистанция между ИШ и ИШм: $R(ИШ-ИШм) = 137.8$ м Дистанция между ИШм и РТ: $R(ИШм-РТ) = 496.1$ м											
Коэффициент отражения поверхности $\rho$		исходные данные	0,8	0,8	0,8	0,8	0,8	0,8	0,8	0,8	0,8		
Поправка на телесный угол $D\Omega$ , дБ	$\Omega = 12.57$	$10Lg(4\pi/\Omega)$	0	0	0	0	0	0	0	0	0		
Показатель направленности источника $D_i$ , дБ		исходные данные	0	0	0	0	0	0	0	0	0		
Поправка на направленность источника $Dir$ , дБ	$Dir$	$D\Omega + D_i$	0	0	0	0	0	0	0	0	0		
<b>Уровни звуковой мощности мнимого источника днём, дБ</b>		ф-ла (20)[10]	0	0	57	54	51	51	48	42	0		
<b>Уровни звуковой мощности максимального звука мнимого источника днём, дБ</b>		ф-ла (20)[10]	0	0	84,2	81,2	78,2	78,2	75,2	69,2	0		
<b>Уровни звуковой мощности мнимого источника ночью, дБ</b>		ф-ла (20)[10]	0	0	0	0	0	0	0	0	0		
<b>Уровни звуковой мощности максимального звука мнимого источника ночью, дБ</b>		ф-ла (20)[10]	0	0	0	0	0	0	0	0	0		
Затухание из-за геометрической дивергенции, $A_{div}$ , дБ	расстояние = 633.91 м	ф-ла (7) [10]	<b>67</b>										
Коэффициент затухания звука в атмосфере $\alpha$ , дБ/км	$T_a=20,^{\circ}C$ $P_a=101.33, кПа$ ногн.=70%	ф-ла (5) [9]	0,02	0,09	0,33	1,12	2,79	4,98	9,04	23,09	77,63		

Учет затухания звука в атмосфере A <sub>atm</sub> , дБ		ф-ла (8) [10]	0	0,1	0,2	0,7	1,8	3,2	5,7	14,6	49,2		
<b>Снижение уровня звукового давления из-за влияния застройки между источником шума и расчетной точкой</b>													
Траектория над экраном	Промежуточные точки:	P <sub>ss</sub> (x,y,z) = (2262.21,2358.14,2.00)	P <sub>sr</sub> (x,y,z) = (2262.17,2358.34,2.00)	d <sub>ss</sub> = 191.10 м		d <sub>sr</sub> = 304.81 м		e = 0.20 м		z = 0.00 м			
	Константа C <sub>2</sub> , учитывающая эффект отражения от земли возле экрана			40	40	40	40	40	40	40	40	40	
	Константа C <sub>3</sub> (дифракция на кромках)		ф-ла (15) [10]	1	1	1	1	1	1	1	1,1	1,5	
	K <sub>мет</sub> (влияние метеословий)		ф-ла (18) [10]	0	0	0	0	0	0	0	0	0	
	Снижение УЗД, D <sub>z</sub> , дБ		ф-ла (14) [10]	4,8	4,8	4,8	4,8	4,8	4,8	4,8	4,8	4,8	
Критерий наличия отражения в октавной полосе		l <sub>min</sub> = 2 м	ф-ла (19)[10]	нет	нет	нет	нет	нет	нет	нет	нет	нет	
Уровни звукового давления от мнимого источника ИШ-29 Внутренний проезд_эква(4)_мн.(2) в расчётной точке днём, дБ			ф-ла(3)[10]	0	0	0	0	0	0	0	0	0	0
Уровни звукового давления от мнимого источника ИШ-29 Внутренний проезд_эква(4)_мн.(2) в расчётной точке ночью, дБ			ф-ла(3)[10]	0	0	0	0	0	0	0	0	0	0
Суммарные уровни звукового давления от мнимых источников в расчётной точке днём, дБ			ф-ла (19) [1]	0	0	0	0	0	0	0	0	0	0
Суммарные уровни звукового давления от мнимых источников в расчётной точке ночью, дБ			ф-ла (19) [1]	0	0	0	0	0	0	0	0	0	0
Уровни звукового давления от источника ИШ-29 Внутренний проезд_эква(4) в расчётной точке днём, дБ			ф-ла(3)[10]	0	0	0	0	0	0	0	0	0	14,1
Уровни звукового давления от источника ИШ-29 Внутренний проезд_эква(4) в расчётной точке ночью, дБ			ф-ла(3)[10]	0	0	0	0	0	0	0	0	0	0
Суммарные уровни звукового давления от линейного источника ИШ-29 Внутренний проезд в расчётной точке днём, дБ			ф-ла (19) [1]	0	0	0	0	0	0	0	0	0	14,1
Суммарные уровни звукового давления от линейного источника ИШ-29 Внутренний проезд в расчётной точке ночью, дБ			ф-ла (19) [1]	0	0	0	0	0	0	0	0	0	0
Требуемое снижение днём, ΔL <sub>треб</sub> , дБ			ф-лы (15),(16) [6]	0	0	0	0	0	0	0	0		
Требуемое снижение ночью, ΔL <sub>треб</sub> , дБ			ф-лы (15),(16) [6]	0	0	0	0	0	0	0	0		
<b>ИШ-30 Стоянка спецтехники</b>													
Источник площадной, площадь = 608.86 м. По положениям ГОСТ 31295-2 разбит на серию точечных эквивалентных источников. Количество эквивалентных источников: 1. Расчёт эквивалентных источников шума:													
Октавные уровни удельной звуковой мощности источника днем, L <sub>w</sub> , дБ/м <sup>2</sup>			исходные данные	0	74,1	68,1	62,1	59,1	56,1	52,1	48,1	40,1	

Октавные уровни удельной звуковой мощности источника ночью, $L_w$ , дБ/м <sup>2</sup>		исходные данные	0	0	0	0	0	0	0	0	0	0			
<b>Источник шума: ИШ-30 Стоянка спецтехники_эков(1), координаты источника (x,y,z), м =[2332.62,2184.75,0.20]</b>															
Приведённые уровни звуковой мощности источника днём, $L_w$ , дБ	$S_x = 608.9$ м <sup>2</sup>	$L_w(\text{удельн.}) + 10Lg(S_x)$	0	101,9	95,9	89,9	86,9	83,9	79,9	75,9	67,9				
Приведённые уровни звуковой мощности максимального звука источника днём, $L_{wx}$ , дБ	$S_x = 608.9$ м <sup>2</sup>	$L_{wx}(\text{удельн.}) + 10Lg(S_x)$	0	108	102	96	93	90	86	82	74				
Приведённые уровни звуковой мощности источника ночью, $L_w$ , дБ	$S_x = 608.9$ м <sup>2</sup>	$L_w(\text{удельн.}) + 10Lg(S_x)$	0	0	0	0	0	0	0	0	0				
Приведённые уровни звуковой мощности максимального звука источника ночью, $L_{wx}$ , дБ	$S_x = 608.9$ м <sup>2</sup>	$L_{wx}(\text{удельн.}) + 10Lg(S_x)$	0	0	0	0	0	0	0	0	0				
Поправка на телесный угол $D\Omega$ , дБ	$\Omega = 12.57$	$10Lg(4\pi/\Omega)$	0	0	0	0	0	0	0	0	0				
Показатель направленности источника $D_i$ , дБ		исходные данные	0	0	0	0	0	0	0	0	0				
Поправка на направленность источника $D_c$ , дБ	$D_c$	$D\Omega + D_i$	0	0	0	0	0	0	0	0	0				
Затухание из-за геометрической дивергенции, $A_{div}$ , дБ	расстояние = 490.34 м	ф-ла (7) [10]	<b>64,8</b>												
Коэффициент затухания звука в атмосфере $\alpha$ , дБ/км	$T_a=20,^{\circ}\text{C}$ $P_a=101.33, \text{кПа}$ относ.=70%	ф-ла (5) [9]	0,02	0,09	0,33	1,12	2,79	4,98	9,04	23,09	77,63				
Учет затухания звука в атмосфере $A_{atm}$ , дБ		ф-ла (8) [10]	0	0	0,2	0,6	1,4	2,4	4,4	11,3	38,1				
<b>Снижение уровня звукового давления из-за влияния застройки между источником шума и расчетной точкой</b>															
Траектория над экраном	Промежуточные точки:	$P_{ss}(x,y,z) = (2283.48,2358.09,2.00)$	$P_{sr}(x,y,z) = (2283.42,2358.29,2.00)$	$d_{ss} = 180.18$ м		$d_{sr} = 309.97$ м		$e = 0.21$ м		$z = 0.01$ м					
	Константа $C_2$ , учитывающая эффект отражения от земли возле экрана			40	40	40	40	40	40	40	40	40			
	Константа $C_3$ (дифракция на кромках)			ф-ла (15) [10]	1	1	1	1	1	1	1	1,1	1,5		
	$K_{мет}$ (влияние метеословий)			ф-ла (18) [10]	0	0	0	0	0	0	0	0	0		
Снижение УЗД, $D_z$ , дБ			ф-ла (14) [10]	4,8	4,8	4,8	4,8	4,8	4,8	4,8	4,8	4,8			
<b>Уровни звукового давления прямого звука от источника ИШ-30 Стоянка спецтехники_эков(1) в расчётной точке днём, дБ</b>			ф-ла(3)[10]	0	32,3	26,2	19,8	16	11,9	5,9	0	0	18,3	24,3	
* уровни звукового давления для определения максимального прямого звука от источника ИШ-30 Стоянка спецтехники_эков(1) в расчётной точке днём, дБ			ф-ла(3)[10]	0	38,3	32,2	25,8	22	17,9	12	1,1	0	24,3		
<b>Уровни звукового давления прямого звука от источника ИШ-30 Стоянка спецтехники_эков(1) в расчётной точке ночью, дБ</b>			ф-ла(3)[10]	0	0	0	0	0	0	0	0	0	0	0	

* уровни звукового давления для определения максимального прямого звука от источника ИШ-30 Стоянка спецтехники_эkv(1) в расчётной точке ночью, дБ		ф-ла(3)[10]	0	0	0	0	0	0	0	0	0	0	0	
<b>Расчёт отражённого звука</b>														
<b>Мнимый источник ИШ-30 Стоянка спецтехники_эkv(1)_мн.(1), образованный отражением от поверхности препятствия Экран-1</b>														
Координаты точки отражения (x,y,z), м		(2353.0,2241.3,0.4)	Дистанция между ИШ и ИШм: R(ИШ-ИШм) = 60.1м Дистанция между ИШм и РТ: R(ИШм-РТ) = 442.9м											
Коэффициент отражения поверхности $\rho$		исходные данные	0,8	0,8	0,8	0,8	0,8	0,8	0,8	0,8	0,8	0,8		
Поправка на телесный угол $D\Omega$ , дБ		$\Omega = 12.57$	$10Lg(4\pi/\Omega)$	0	0	0	0	0	0	0	0	0		
Показатель направленности источника $D_i$ , дБ			исходные данные	0	0	0	0	0	0	0	0	0		
Поправка на направленность источника $Dir$ , дБ		Dir	$D\Omega + D_i$	0	0	0	0	0	0	0	0	0		
<b>Уровни звуковой мощности мнимого источника днём, дБ</b>		ф-ла (20)[10]	0	101	95	89	86	83	79	75	67			
<b>Уровни звуковой мощности максимального звука мнимого источника днём, дБ</b>		ф-ла (20)[10]	0	79,2	73,2	67,2	64,2	61,2	57,2	53,2	45,2			
<b>Уровни звуковой мощности мнимого источника ночью, дБ</b>		ф-ла (20)[10]	0	0	0	0	0	0	0	0	0			
<b>Уровни звуковой мощности максимального звука мнимого источника ночью, дБ</b>		ф-ла (20)[10]	0	0	0	0	0	0	0	0	0			
Затухание из-за геометрической дивергенции, $A_{div}$ , дБ		расстояние = 503.01 м	ф-ла (7) [10]	65										
Коэффициент затухания звука в атмосфере $\alpha$ , дБ/км		$T_a=20,^{\circ}C$ $P_a=101.33,кПа$ хотн.=70%	ф-ла (5) [9]	0,02	0,09	0,33	1,12	2,79	4,98	9,04	23,09	77,63		
Учет затухания звука в атмосфере $A_{atm}$ , дБ			ф-ла (8) [10]	0	0	0,2	0,6	1,4	2,5	4,5	11,6	39,1		
<b>Снижение уровня звукового давления из-за влияния застройки между источником шума и расчетной точкой</b>														
Траектория над экраном	Промежуточные точки:	$P_{ss}(x,y,z) = (2309.68,2358.03,2.00)$	$P_{sr}(x,y,z) = (2309.60,2358.23,2.00)$	dss = 124.57 м		dsr = 318.16 м		e = 0.21 м		z = 0.01 м				
	Константа C2, учитывающая эффект отражения от земли возле экрана			40	40	40	40	40	40	40	40	40		
	Константа C3 (дифракция на кромках)			ф-ла (15) [10]	1	1	1	1	1	1	1,2	1,5		
	$K_{мет}$ (влияние метеословий)			ф-ла (18) [10]	0	0	0	0	0	0	0	0		
Снижение УЗД, $D_z$ , дБ			ф-ла (14) [10]	4,8	4,8	4,8	4,8	4,8	4,8	4,8	4,8			
Критерий наличия отражения в октавной полосе		$l_{min} = 2$ м	ф-ла (19)[10]	нет	нет	нет	нет	нет	нет	нет	нет	нет		
<b>Уровни звукового давления от мнимого источника ИШ-30 Стоянка спецтехники_эkv(1)_мн.(1) в расчётной точке днём, дБ</b>			ф-ла(3)[10]	0	0	0	0	0	0	0	0	0	0	
<b>Уровни звукового давления от мнимого источника ИШ-30 Стоянка спецтехники_эkv(1)_мн.(1) в расчётной точке ночью, дБ</b>			ф-ла(3)[10]	0	0	0	0	0	0	0	0	0	0	

<b>Мнимый источник ИШ-30 Стоянка спецтехники_экв(1)_мн.(2), образованный отражением от поверхности препятствия Экран-1</b>														
Координаты точки отражения (x,y,z), м		(2328.5,2170.9,0.2)	Дистанция между ИШ и ИШм: R(ИШ-ИШм) = 14.5м Дистанция между ИШм и РТ: R(ИШм-РТ) = 502.6м											
Коэффициент отражения поверхности $\rho$		исходные данные	0,8	0,8	0,8	0,8	0,8	0,8	0,8	0,8	0,8	0,8		
Поправка на телесный угол $D\Omega$ , дБ		$\Omega = 12.57$	$10Lg(4\pi/\Omega)$	0	0	0	0	0	0	0	0	0		
Показатель направленности источника $D_i$ , дБ		исходные данные	0	0	0	0	0	0	0	0	0	0		
Поправка на направленность источника $Dir$ , дБ		$Dir$	$D\Omega + D_i$	0	0	0	0	0	0	0	0	0		
<b>Уровни звуковой мощности мнимого источника днём, дБ</b>		ф-ла (20)[10]	0	101	95	89	86	83	79	75	67			
<b>Уровни звуковой мощности максимального звука мнимого источника днём, дБ</b>		ф-ла (20)[10]	0	79,2	73,2	67,2	64,2	61,2	57,2	53,2	45,2			
<b>Уровни звуковой мощности мнимого источника ночью, дБ</b>		ф-ла (20)[10]	0	0	0	0	0	0	0	0	0			
<b>Уровни звуковой мощности максимального звука мнимого источника ночью, дБ</b>		ф-ла (20)[10]	0	0	0	0	0	0	0	0	0			
Затухание из-за геометрической дивергенции, $A_{div}$ , дБ		расстояние = 517.15 м	ф-ла (7) [10]	65,3										
Коэффициент затухания звука в атмосфере $\alpha$ , дБ/км		$T_a=20,^{\circ}C$ $P_a=101.33, кПа$ $h_{отн.}=70\%$	ф-ла (5) [9]	0,02	0,09	0,33	1,12	2,79	4,98	9,04	23,09	77,63		
Учет затухания звука в атмосфере $A_{atm}$ , дБ			ф-ла (8) [10]	0	0	0,2	0,6	1,4	2,6	4,7	11,9	40,1		
<b>Снижение уровня звукового давления из-за влияния застройки между источником шума и расчетной точкой</b>														
Траектория над экраном	Промежуточные точки:	$P_{ss}(x,y,z) = (2278.51,2358.10,2.00)$	$P_{sr}(x,y,z) = (2278.46,2358.30,2.00)$	dss = 193.81 м		dsr = 308.64 м		e = 0.21 м		z = 0.01 м				
	Константа C2, учитывающая эффект отражения от земли возле экрана			40	40	40	40	40	40	40	40	40		
	Константа C3 (дифракция на кромках)		ф-ла (15) [10]	1	1	1	1	1	1	1	1,1	1,5		
	$K_{мет}$ (влияние метеоусловий)		ф-ла (18) [10]	0	0	0	0	0	0	0	0	0		
Снижение УЗД, $D_z$ , дБ		ф-ла (14) [10]	4,8	4,8	4,8	4,8	4,8	4,8	4,8	4,8	4,8			
Критерий наличия отражения в октавной полосе		$l_{min} = 2$ м	ф-ла (19)[10]	нет	нет	нет	нет	нет	нет	нет	да	да		
<b>Уровни звукового давления от мнимого источника ИШ-30 Стоянка спецтехники_экв(1)_мн.(2) в расчётной точке днём, дБ</b>		ф-ла(3)[10]	0	0	0	0	0	0	0	0	0	0	0	
<b>Уровни звукового давления от мнимого источника ИШ-30 Стоянка спецтехники_экв(1)_мн.(2) в расчётной точке ночью, дБ</b>		ф-ла(3)[10]	0	0	0	0	0	0	0	0	0	0	0	
<b>Суммарные уровни звукового давления от мнимых источников в расчётной точке днём, дБ</b>		ф-ла (19) [1]	0	0	0	0	0	0	0	0	0	0	0	

Суммарные уровни звукового давления от мнимых источников в расчётной точке ночью, дБ	ф-ла (19) [1]	0	0	0	0	0	0	0	0	0	0	0	0	
Уровни звукового давления от источника ИШ-30 Стоянка спецтехники_экв(1) в расчётной точке днём, дБ	ф-ла(3)[10]	0	32,3	26,2	19,8	16	11,9	5,9	0	0	18,3	24,3		
Уровни звукового давления от источника ИШ-30 Стоянка спецтехники_экв(1) в расчётной точке ночью, дБ	ф-ла(3)[10]	0	0	0	0	0	0	0	0	0	0	0		
Суммарные уровни звукового давления от площадного источника ИШ-30 Стоянка спецтехники в расчётной точке днём, дБ	ф-ла (19) [1]	0	32,3	26,2	19,8	16	11,9	5,9	0	0	18,3	24,3		
Суммарные уровни звукового давления от площадного источника ИШ-30 Стоянка спецтехники в расчётной точке ночью, дБ	ф-ла (19) [1]	0	0	0	0	0	0	0	0	0	0	0		
Требуемое снижение днём, $\Delta L_{\text{треб}}$ , дБ	ф-лы (15),(16) [6]	0	-32,7	-29,8	-29,2	-28	-28,1	-31,1	0	0				
Требуемое снижение ночью, $\Delta L_{\text{треб}}$ , дБ	ф-лы (15),(16) [6]	0	0	0	0	0	0	0	0	0				
<b>Источник шума: ИШ-31 Мойка колес, координаты источника (x,y,z), м =[2289.46,2253.98,1.00]</b>														
Уровни звуковой мощности источника днём, $L_w$ , дБ	исходные данные	93,7	86,7	85,8	83,9	83,9	84,9	84,2	81,1	80,3				
Уровни звуковой мощности максимального звука источника днём, $L_{wх}$ , дБ	исходные данные	102,7	95,7	94,8	92,9	92,9	93,9	93,2	90,1	89,3				
Уровни звуковой мощности источника ночью, $L_w$ , дБ	исходные данные	0	0	0	0	0	0	0	0	0				
Уровни звуковой мощности максимального звука источника ночью, $L_{wх}$ , дБ	исходные данные	0	0	0	0	0	0	0	0	0				
Поправка на телесный угол $D\Omega$ , дБ	$\Omega = 6.28$	$10Lg(4\pi/\Omega)$	3	3	3	3	3	3	3	3	3			
Показатель направленности источника $D_i$ , дБ		исходные данные	0	0	0	0	0	0	0	0	0			
Поправка на направленность источника $D_c$ , дБ	$D_c$	$D\Omega + D_i$	3	3	3	3	3	3	3	3	3			
Затухание из-за геометрической дивергенции, $A_{div}$ , дБ	расстояние = 412.58 м	ф-ла (7) [10]	<b>63,3</b>											
Коэффициент затухания звука в атмосфере $\alpha$ , дБ/км	$T_a=20,^{\circ}C$ $P_a=101.33,кПа$ влажн.=70%	ф-ла (5) [9]	0,02	0,09	0,33	1,12	2,79	4,98	9,04	23,09	77,63			
Учет затухания звука в атмосфере $A_{atm}$ , дБ		ф-ла (8) [10]	0	0	0,1	0,5	1,2	2,1	3,7	9,5	32			
<b>Снижение уровня звукового давления из-за влияния застройки между источником шума и расчетной точкой</b>														
Траектория над экраном	Промежуточные точки:	$P_{ss}(x,y,z) = (2266.02,2358.13,2.00)$	$P_{sr}(x,y,z) = (2265.97,2358.33,2.00)$	$d_{ss} = 106.75$ м	$d_{sr} = 305.63$ м	$e = 0.21$ м	$z = 0.00$ м							
	Константа $C_2$ , учитывающая эффект отражения от земли возле экрана			40	40	40	40	40	40	40	40			
	Константа $C_3$ (дифракция на кромках)			ф-ла (15) [10]	1	1	1	1	1	1	1,1	1,5		
	$K_{мет}$ (влияние метеословий)			ф-ла (18) [10]	0	0	0	0	0	0	0	0		
	Снижение УЗД, $D_z$ , дБ			ф-ла (14) [10]	4,8	4,8	4,8	4,8	4,8	4,8	4,8	4,8		

<b>Уровни звукового давления прямого звука от источника ИШ-31 Мойка колес в расчётной точке днём, дБ</b>	ф-ла(3)[10]	28,6	21,6	20,6	18,4	17,7	17,8	15,4	6,5	0	21,8	30,8	
* уровни звукового давления для определения максимального прямого звука от источника ИШ-31 Мойка колес в расчётной точке днём, дБ	ф-ла(3)[10]	37,6	30,6	29,6	27,4	26,7	26,8	24,4	15,5	0	30,8		
<b>Уровни звукового давления прямого звука от источника ИШ-31 Мойка колес в расчётной точке ночью, дБ</b>	ф-ла(3)[10]	0	0	0	0	0	0	0	0	0	0	0	
* уровни звукового давления для определения максимального прямого звука от источника ИШ-31 Мойка колес в расчётной точке ночью, дБ	ф-ла(3)[10]	0	0	0	0	0	0	0	0	0	0		
<b>Расчёт отражённого звука</b>													
<b>Мнимый источник ИШ-31 Мойка колес_мн.(1), образованный отражением от поверхности препятствия Экран-1</b>													
Координаты точки отражения (x,y,z), м	(2276.2,2170.5,1.1)	Дистанция между ИШ и ИШм: R(ИШ-ИШм) = 84.5м Дистанция между ИШм и РТ: R(ИШм-РТ) = 492.1м											
Коэффициент отражения поверхности $\rho$		исходные данные	0,8	0,8	0,8	0,8	0,8	0,8	0,8	0,8	0,8		
Поправка на телесный угол $D\Omega$ , дБ	$\Omega = 6.28$	$10Lg(4\pi/\Omega)$	3	3	3	3	3	3	3	3	3		
Показатель направленности источника $D_i$ , дБ		исходные данные	0	0	0	0	0	0	0	0	0		
Поправка на направленность источника $Dir$ , дБ	Dir	$D\Omega + D_i$	3	3	3	3	3	3	3	3	3		
<b>Уровни звуковой мощности мнимого источника днём, дБ</b>	ф-ла (20)[10]	95,7	88,7	87,8	85,9	85,9	86,9	86,2	83,1	82,3			
<b>Уровни звуковой мощности максимального звука мнимого источника днём, дБ</b>	ф-ла (20)[10]	104,8	97,8	96,9	95	95	96	95,3	92,2	91,4			
<b>Уровни звуковой мощности мнимого источника ночью, дБ</b>	ф-ла (20)[10]	0	0	0	0	0	0	0	0	0			
<b>Уровни звуковой мощности максимального звука мнимого источника ночью, дБ</b>	ф-ла (20)[10]	0	0	0	0	0	0	0	0	0			
Затухание из-за геометрической дивергенции, $A_{div}$ , дБ	расстояние = 576.61 м	ф-ла (7) [10]	66,2										
Коэффициент затухания звука в атмосфере $\alpha$ , дБ/км	$T_a=20,^{\circ}C$ $P_a=101.33, кПа$ $h_{отн.}=70\%$	ф-ла (5) [9]	0,02	0,09	0,33	1,12	2,79	4,98	9,04	23,09	77,63		
Учет затухания звука в атмосфере $A_{atm}$ , дБ		ф-ла (8) [10]	0	0,1	0,2	0,6	1,6	2,9	5,2	13,3	44,8		
<b>Снижение уровня звукового давления из-за влияния застройки между источником шума и расчетной точкой</b>													
Траектория над экраном	Промежуточные точки:	$P_{ss}(x,y,z) = (2246.32,2358.17,2.00)$	$P_{sr}(x,y,z) = (2246.29,2358.37,2.00)$	$d_{ss} = 190.02$ м			$d_{sr} = 301.87$ м			$e = 0.20$ м		$z = 0.00$ м	
	Константа C2, учитывающая эффект отражения от земли возле экрана			40	40	40	40	40	40	40	40	40	
	Константа C3 (дифракция на кромках)			ф-ла (15) [10]	1	1	1	1	1	1	1,1	1,5	
	$K_{мет}$ (влияние метеословий)			ф-ла (18) [10]	0	0	0	0	0	0	0	0	
	Снижение УЗД, $D_z$ , дБ			ф-ла (14) [10]	4,8	4,8	4,8	4,8	4,8	4,8	4,8	4,8	

Критерий наличия отражения в октавной полосе	$l_{min} = 2 \text{ м}$	ф-ла (19)[10]	нет	нет	нет									
Уровни звукового давления от мнимого источника ИШ-31 Мойка колес_мн.(1) в расчётной точке днём, дБ		ф-ла(3)[10]	0	0	0	0	0	0	0	0	0	0	0	0
Уровни звукового давления от мнимого источника ИШ-31 Мойка колес_мн.(1) в расчётной точке ночью, дБ		ф-ла(3)[10]	0	0	0	0	0	0	0	0	0	0	0	0
<b>Уровни звукового давления от источника ИШ-31 Мойка колес в расчётной точке днём, дБ</b>														
		ф-ла(3)[10]	28,6	21,6	20,6	18,4	17,7	17,8	15,4	6,5	0	21,8	30,8	
<b>Уровни звукового давления от источника ИШ-31 Мойка колес в расчётной точке ночью, дБ</b>														
		ф-ла(3)[10]	0	0	0	0	0	0	0	0	0	0	0	0
Требуемое снижение днём, $\Delta L_{\text{треб}}$ , дБ		ф-лы (15),(16) [6]	-56,4	-43,4	-35,4	-30,6	-26,3	-22,2	-21,6	-28,5	0			
Требуемое снижение ночью, $\Delta L_{\text{треб}}$ , дБ		ф-лы (15),(16) [6]	0	0	0	0	0	0	0	0	0			
<b>Уровни звукового давления в расчётной точке</b>														
<b>Суммарные уровни звукового давления в расчётной точке от всех источников шума днем, <math>L_{\text{рт}}</math>, дБ</b>														
		ф-ла (19) [1]	28,6	52,3	50,9	44,5	39,7	35,5	29,6	20,1	0	42,2	47,2	
<b>Суммарные уровни звукового давления в расчётной точке от всех источников шума ночью, <math>L_{\text{рт}}</math>, дБ</b>														
		ф-ла (19) [1]	0	0	0	0	0	0	0	0	0	0	0	0
Допускаемые УЗД днём, $L_{\text{доп}}$ , дБ	территория у жилого дома	Табл. 3[2]	85	70	61	54	49	45	42	40	39	50	70	
Допускаемые УЗД ночью, $L_{\text{доп}}$ , дБ	территория у жилого дома	Табл. 3[2]	78	62	52	44	39	35	32	30	28	40	60	
с учётом поправки -5 дБ на работу технологического оборудования														
<b>Превышение днём, дБ</b>														
		$L_{\text{рт}} - L_{\text{доп}}$	-56,4	-17,7	-10,1	-9,5	-9,3	-9,5	-12,4	-19,9	-39	-7,8	-22,8	
<b>Превышение ночью, дБ</b>														
		$L_{\text{рт}} - L_{\text{доп}}$	-78	-62	-52	-44	-39	-35	-32	-30	-28	-40	-60	

**Определение уровней звукового давления в точке РТ-1  
(координаты точки, м:  $x = 2198.87$ ,  $y = 2656.50$ ,  $z = 1.50$ )**

Наименование величин и их описание	Ссылка	Уровни звукового давления, дБ, в октавных полосах, со среднегеометрическими частотами, Гц										$L_a$ , дБА	$L_{\text{макс}}$ , дБА	
		31,5	63	125	250	500	1000	2000	4000	8000				
		3	4	5	6	7	8	9	10	11	12			13
1	2													
<b>Источник шума: ИШ-3, координаты источника (x,y,z), м =[2057.26,2349.25,1.00]</b>														

<b>Уровни звуковой мощности источника днём, Lw, дБ</b>		исходные данные	69	69	74	76	79	72	72	70	64		
<b>Уровни звуковой мощности источника ночью, Lw, дБ</b>		исходные данные	69	69	74	76	79	72	72	70	64		
Поправка на телесный угол DΩ, дБ	Ω = 6.28	10Lg(4π/Ω)	3	3	3	3	3	3	3	3	3		
Показатель направленности источника Di, дБ		исходные данные	0	0	0	0	0	0	0	0	0		
Поправка на направленность источника Dc, дБ	Dc	DΩ + Di	3	3	3	3	3	3	3	3	3		
Затухание из-за геометрической дивергенции, Adiv, дБ	расстояние = 338.32 м	φ-ла (7) [10]	61,6										
Коэффициент затухания звука в атмосфере α, дБ/км	Ta=20,°C Pa=101.33,кПа hотн.=70%	φ-ла (5) [9]	0,02	0,09	0,33	1,12	2,79	4,98	9,04	23,09	77,63		
Учет затухания звука в атмосфере Aatm, дБ		φ-ла (8) [10]	0	0	0,1	0,4	0,9	1,7	3,1	7,8	26,3		
<b>Снижение уровня звукового давления из-за влияния застройки между источником шума и расчетной точкой</b>													
Траектория над экраном	Промежуточные точки:	Pss(x,y,z) = (2061.57,2358.60,2.00)	Psr(x,y,z) = (2061.66,2358.80,2.00)	dss = 10.35 м	dsr = 327.80 м	e = 0.22 м		z = 0.05 м					
	Константа C2, учитывающая эффект отражения от земли возле экрана			40	40	40	40	40	40	40	40	40	
	Константа C3 (дифракция на кромках)	φ-ла (15) [10]		1	1	1	1	1	1	1,2	1,5		
	Kмет (влияние метеоусловий)	φ-ла (18) [10]		0,2	0,2	0,2	0,2	0,2	0,2	0,2	0,2		
	Снижение УЗД, Dz, дБ	φ-ла (14) [10]		4,8	4,9	5	5,1	5,5	6,1	7,1	8,9	11,9	
<b>Уровни звукового давления прямого звука от источника ИШ-3 в расчётной точке днём, дБ</b>		φ-ла(3)[10]	5,6	5,5	10,4	11,9	14	5,7	3,3	0	0	13,2	13,2
<b>Уровни звукового давления прямого звука от источника ИШ-3 в расчётной точке ночью, дБ</b>		φ-ла(3)[10]	5,6	5,5	10,4	11,9	14	5,7	3,3	0	0	13,2	13,2
<b>Расчёт отражённого звука</b>													
<b>Мнимый источник ИШ-3_мн.(1), образованный отражением от поверхности препятствия DXFLayer5_#0</b>													
Координаты точки отражения (x,y,z), м		(2057.5,2348.7,1.0)	Дистанция между ИШ и ИШм: R(ИШ-ИШм) = 0.6м Дистанция между ИШм и РТ: R(ИШм-РТ) = 338.7м										
Коэффициент отражения поверхности ρ			исходные данные	0,8	0,8	0,8	0,8	0,8	0,8	0,8	0,8	0,8	
Поправка на телесный угол DΩ, дБ	Ω = 6.28	10Lg(4π/Ω)	3	3	3	3	3	3	3	3	3		
Показатель направленности источника Di, дБ		исходные данные	0	0	0	0	0	0	0	0	0		
Поправка на направленность источника Dir, дБ	Dir	DΩ + Di	3	3	3	3	3	3	3	3	3		
<b>Уровни звуковой мощности мнимого источника днём, дБ</b>		φ-ла (20)[10]	71	71	76	78	81	74	74	72	66		
<b>Уровни звуковой мощности мнимого источника ночью, дБ</b>		φ-ла (20)[10]	71	71	76	78	81	74	74	72	66		
Затухание из-за геометрической дивергенции, Adiv, дБ	расстояние = 339.27 м	φ-ла (7) [10]	61,6										
Коэффициент затухания звука в атмосфере α, дБ/км	Ta=20,°C Pa=101.33,кПа hотн.=70%	φ-ла (5) [9]	0,02	0,09	0,33	1,12	2,79	4,98	9,04	23,09	77,63		
Учет затухания звука в атмосфере Aatm, дБ		φ-ла (8) [10]	0	0	0,1	0,4	0,9	1,7	3,1	7,8	26,3		
<b>Снижение уровня звукового давления из-за влияния застройки между источником шума и расчетной точкой</b>													

Траектория над экраном	Промежуточные точки:	$P_{ss}(x,y,z) = (2062.08, 2358.60, 2.00)$	$P_{sr}(x,y,z) = (2062.17, 2358.80, 2.00)$	dss = 10.92 м		dsr = 327.58 м		e = 0.22 м		z = 0.05 м					
	Константа C2, учитывающая эффект отражения от земли возле экрана			40	40	40	40	40	40	40	40	40			
	Константа C3 (дифракция на кромках)			ф-ла (15) [10]	1	1	1	1	1	1	1	1,2	1,5		
	$K_{мет}$ (влияние метеоусловий)			ф-ла (18) [10]	0,2	0,2	0,2	0,2	0,2	0,2	0,2	0,2	0,2		
	Снижение УЗД, Dz, дБ			ф-ла (14) [10]	4,8	4,9	4,9	5,1	5,4	5,9	6,8	8,5	11,4		
Критерий наличия отражения в октавной полосе		$l_{min} = 2$ м		ф-ла (19)[10]	нет	нет	нет	нет	да	да	да	да	да		
<b>Уровни звукового давления от мнимого источника ИШ-3_мн.(1) в расчётной точке днём, дБ</b>				ф-ла(3)[10]	0	0	0	0	13,1	4,8	2,5	0	0	11,8	11,8
<b>Уровни звукового давления от мнимого источника ИШ-3_мн.(1) в расчётной точке ночью, дБ</b>				ф-ла(3)[10]	0	0	0	0	13,1	4,8	2,5	0	0	11,8	11,8
<b>Уровни звукового давления от источника ИШ-3 в расчётной точке днём, дБ</b>				ф-ла(3)[10]	5,6	5,5	10,4	11,9	16,6	8,3	5,9	0	0	15,6	15,6
<b>Уровни звукового давления от источника ИШ-3 в расчётной точке ночью, дБ</b>				ф-ла(3)[10]	5,6	5,5	10,4	11,9	16,6	8,3	5,9	0	0	15,6	15,6
Требуемое снижение днём, $\Delta L_{треб}$ , дБ				ф-лы (15),(16) [6]	-66	-51	-	-	-19	-23,3	-22,7	0	0		
Требуемое снижение ночью, $\Delta L_{треб}$ , дБ				ф-лы (15),(16) [6]	-59	-43	-	-	-9	-13,3	-12,7	0	0		
<b>Источник шума: ИШ-4, координаты источника (x,y,z), м = [2063.07, 2349.29, 1.00]</b>															
<b>Уровни звуковой мощности источника днём, <math>L_w</math>, дБ</b>				исходные данные	69	69	74	76	79	72	72	70	64		
<b>Уровни звуковой мощности источника ночью, <math>L_w</math>, дБ</b>				исходные данные	69	69	74	76	79	72	72	70	64		
Поправка на телесный угол $D\Omega$ , дБ		$\Omega = 6.28$		$10Lg(4\pi/\Omega)$	3	3	3	3	3	3	3	3			
Показатель направленности источника $D_i$ , дБ				исходные данные	0	0	0	0	0	0	0	0			
Поправка на направленность источника $D_c$ , дБ		$D_c$		$D\Omega + D_i$	3	3	3	3	3	3	3	3			
Затухание из-за геометрической дивергенции, $A_{div}$ , дБ		расстояние = 335.89 м		ф-ла (7) [10]	61,5										
Коэффициент затухания звука в атмосфере $\alpha$ , дБ/км		$T_a=20,^{\circ}C$ $P_a=101.33, кПа$ хотн.=70%		ф-ла (5) [9]	0,02	0,09	0,33	1,12	2,79	4,98	9,04	23,09	77,63		
Учет затухания звука в атмосфере $A_{atm}$ , дБ				ф-ла (8) [10]	0	0	0,1	0,4	0,9	1,7	3	7,8	26,1		
<b>Снижение уровня звукового давления из-за влияния застройки между источником шума и расчетной точкой</b>															
Траектория над экраном	Промежуточные точки:	$P_{ss}(x,y,z) = (2067.18, 2358.59, 2.00)$	$P_{sr}(x,y,z) = (2067.27, 2358.79, 2.00)$	dss = 10.22 м		dsr = 325.50 м		e = 0.22 м		z = 0.05 м					
	Константа C2, учитывающая эффект отражения от земли возле экрана			40	40	40	40	40	40	40	40	40			
	Константа C3 (дифракция на кромках)			ф-ла (15) [10]	1	1	1	1	1	1	1	1,2	1,5		
	$K_{мет}$ (влияние метеоусловий)			ф-ла (18) [10]	0,2	0,2	0,2	0,2	0,2	0,2	0,2	0,2	0,2		

	Снижение УЗД, Dz, дБ	ф-ла (14) [10]	4,8	4,9	5	5,1	5,5	6,1	7,2	9	12			
<b>Уровни звукового давления прямого звука от источника ИШ-4 в расчётной точке днём, дБ</b>		ф-ла(3)[10]	5,7	5,6	10,4	12	14,1	5,7	3,3	0	0	13,3	13,3	
<b>Уровни звукового давления прямого звука от источника ИШ-4 в расчётной точке ночью, дБ</b>		ф-ла(3)[10]	5,7	5,6	10,4	12	14,1	5,7	3,3	0	0	13,3	13,3	
<b>Расчёт отражённого звука</b>														
<b>Мнимый источник ИШ-4_мн.(1), образованный отражением от поверхности препятствия DXFLayer5_#0</b>														
Координаты точки отражения (x,y,z), м		(2063.4,2348.7,1.0)	Дистанция между ИШ и ИШм: R(ИШ-ИШм) = 0.6м Дистанция между ИШм и РТ: R(ИШм-РТ) = 336.3м											
Коэффициент отражения поверхности $\rho$		исходные данные	0,8	0,8	0,8	0,8	0,8	0,8	0,8	0,8	0,8	0,8		
Поправка на телесный угол $D\Omega$ , дБ		$\Omega = 6.28$	$10\lg(4\pi/\Omega)$	3	3	3	3	3	3	3	3	3		
Показатель направленности источника $D_i$ , дБ		исходные данные	0	0	0	0	0	0	0	0	0	0		
Поправка на направленность источника $Dir$ , дБ		Dir	$D\Omega + D_i$	3	3	3	3	3	3	3	3	3		
<b>Уровни звуковой мощности мнимого источника днём, дБ</b>		ф-ла (20)[10]	71	71	76	78	81	74	74	72	66			
<b>Уровни звуковой мощности мнимого источника ночью, дБ</b>		ф-ла (20)[10]	71	71	76	78	81	74	74	72	66			
Затухание из-за геометрической дивергенции, $A_{div}$ , дБ		расстояние = 336.93 м	ф-ла (7) [10]	61,6										
Коэффициент затухания звука в атмосфере $\alpha$ , дБ/км		$T_a=20,^{\circ}C$ $P_a=101.33, кПа$ нотн.=70%	ф-ла (5) [9]	0,02	0,09	0,33	1,12	2,79	4,98	9,04	23,09	77,63		
Учет затухания звука в атмосфере $A_{atm}$ , дБ			ф-ла (8) [10]	0	0	0,1	0,4	0,9	1,7	3	7,8	26,2		
<b>Снижение уровня звукового давления из-за влияния застройки между источником шума и расчетной точкой</b>														
Траектория над экраном	Промежуточные точки:	$P_{ss}(x,y,z) = (2067.71,2358.59,2.00)$	$P_{sr}(x,y,z) = (2067.79,2358.79,2.00)$	$d_{ss} = 10.83$ м	$d_{sr} = 325.29$ м	$e = 0.22$ м		$z = 0.05$ м						
	Константа C2, учитывающая эффект отражения от земли возле экрана			40	40	40	40	40	40	40	40	40		
	Константа C3 (дифракция на кромках)			ф-ла (15) [10]	1	1	1	1	1	1	1	1,2	1,5	
	$K_{met}$ (влияние метеоусловий)			ф-ла (18) [10]	0,2	0,2	0,2	0,2	0,2	0,2	0,2	0,2	0,2	
Снижение УЗД, Dz, дБ			ф-ла (14) [10]	4,8	4,9	4,9	5,1	5,4	5,9	6,9	8,6	11,5		
Критерий наличия отражения в октавной полосе		$l_{min} = 2$ м	ф-ла (19)[10]	нет	нет	нет	нет	да	да	да	да	да		
<b>Уровни звукового давления от мнимого источника ИШ-4_мн.(1) в расчётной точке днём, дБ</b>			ф-ла(3)[10]	0	0	0	0	13,2	4,9	2,6	0	0	11,9	11,9
<b>Уровни звукового давления от мнимого источника ИШ-4_мн.(1) в расчётной точке ночью, дБ</b>			ф-ла(3)[10]	0	0	0	0	13,2	4,9	2,6	0	0	11,9	11,9
<b>Уровни звукового давления от источника ИШ-4 в расчётной точке днём, дБ</b>														
			ф-ла(3)[10]	5,7	5,6	10,4	12	16,7	8,3	5,9	0	0	15,6	15,6
<b>Уровни звукового давления от источника ИШ-4 в расчётной точке ночью, дБ</b>														
			ф-ла(3)[10]	5,7	5,6	10,4	12	16,7	8,3	5,9	0	0	15,6	15,6

Требуемое снижение днём, $\Delta L_{\text{треб}}$ , дБ	ф-лы (15),(16) [6]	-	-51	-	-	-	-	-23,2	-22,6	0	0		
Требуемое снижение ночью, $\Delta L_{\text{треб}}$ , дБ	ф-лы (15),(16) [6]	-	-43	-	-	-	-	-13,2	-12,6	0	0		
<b>Источник шума: ИШ-5, координаты источника (x,y,z), м =[2068.97,2349.30,1.00]</b>													
<b>Уровни звуковой мощности источника днём, <math>L_w</math>, дБ</b>	исходные данные	<b>69</b>	<b>69</b>	<b>74</b>	<b>76</b>	<b>79</b>	<b>72</b>	<b>72</b>	<b>70</b>	<b>64</b>			
<b>Уровни звуковой мощности источника ночью, <math>L_w</math>, дБ</b>	исходные данные	<b>69</b>	<b>69</b>	<b>74</b>	<b>76</b>	<b>79</b>	<b>72</b>	<b>72</b>	<b>70</b>	<b>64</b>			
Поправка на телесный угол $D\Omega$ , дБ	$\Omega = 6.28$	$10\lg(4\pi/\Omega)$	<b>3</b>	3	3	3	3	3	3	3	3		
Показатель направленности источника $D_i$ , дБ		исходные данные	<b>0</b>	0	0	0	0	0	0	0	0		
Поправка на направленность источника $D_c$ , дБ	$D_c$	$D\Omega + D_i$	<b>3</b>	3	3	3	3	3	3	3	3		
Затухание из-за геометрической дивергенции, $A_{div}$ , дБ	расстояние = 333.53 м	ф-ла (7) [10]	<b>61,5</b>										
Коэффициент затухания звука в атмосфере $\alpha$ , дБ/км	$T_a=20,^{\circ}\text{C}$ $P_a=101.33,\text{кПа}$ нотн.=70%	ф-ла (5) [9]	0,02	0,09	0,33	1,12	2,79	4,98	9,04	23,09	77,63		
Учет затухания звука в атмосфере $A_{atm}$ , дБ		ф-ла (8) [10]	0	0	0,1	0,4	0,9	1,7	3	7,7	25,9		
<b>Снижение уровня звукового давления из-за влияния застройки между источником шума и расчетной точкой</b>													
Траектория над экраном	Промежуточные точки:	$P_{ss}(x,y,z) = (2072.90,2358.57,2.00)$	$P_{sr}(x,y,z) = (2072.98,2358.77,2.00)$	$d_{ss} = 10.12$ м	$d_{sr} = 323.25$ м	$e = 0.22$ м	$z = 0.05$ м						
	Константа $C_2$ , учитывающая эффект отражения от земли возле экрана			40	40	40	40	40	40	40	40		
	Константа $C_3$ (дифракция на кромках)	ф-ла (15) [10]		1	1	1	1	1	1	1,2	1,5		
	$K_{met}$ (влияние метеоусловий)	ф-ла (18) [10]		0,2	0,2	0,2	0,2	0,2	0,2	0,2	0,2		
	Снижение УЗД, $D_z$ , дБ	ф-ла (14) [10]		4,8	4,9	5	5,2	5,5	6,1	7,3	9,1	12,2	
<b>Уровни звукового давления прямого звука от источника ИШ-5 в расчётной точке днём, дБ</b>	ф-ла(3)[10]	<b>5,7</b>	<b>5,6</b>	<b>10,5</b>	<b>12</b>	<b>14,1</b>	<b>5,7</b>	<b>3,3</b>	<b>0</b>	<b>0</b>	<b>13,3</b>	<b>13,3</b>	
<b>Уровни звукового давления прямого звука от источника ИШ-5 в расчётной точке ночью, дБ</b>	ф-ла(3)[10]	<b>5,7</b>	<b>5,6</b>	<b>10,5</b>	<b>12</b>	<b>14,1</b>	<b>5,7</b>	<b>3,3</b>	<b>0</b>	<b>0</b>	<b>13,3</b>	<b>13,3</b>	
<b>Расчёт отражённого звука</b>													
<b>Мнимый источник ИШ-5_мн.(1), образованный отражением от поверхности препятствия DXFLayer5_#0</b>													
Координаты точки отражения (x,y,z), м	(2069.3,2348.7,1.0)	Дистанция между ИШ и ИШм: $R(\text{ИШ-ИШм}) = 0.6\text{м}$ Дистанция между ИШм и РТ: $R(\text{ИШм-РТ}) = 334.0\text{м}$											
Коэффициент отражения поверхности $\rho$		исходные данные	0,8	0,8	0,8	0,8	0,8	0,8	0,8	0,8	0,8		
Поправка на телесный угол $D\Omega$ , дБ	$\Omega = 6.28$	$10\lg(4\pi/\Omega)$	<b>3</b>	3	3	3	3	3	3	3	3		
Показатель направленности источника $D_i$ , дБ		исходные данные	<b>0</b>	0	0	0	0	0	0	0	0		
Поправка на направленность источника $D_{ir}$ , дБ	$D_{ir}$	$D\Omega + D_i$	<b>3</b>	3	3	3	3	3	3	3	3		
<b>Уровни звуковой мощности мнимого источника днём, дБ</b>	ф-ла (20)[10]	<b>71</b>	<b>71</b>	<b>76</b>	<b>78</b>	<b>81</b>	<b>74</b>	<b>74</b>	<b>72</b>	<b>66</b>			
<b>Уровни звуковой мощности мнимого источника ночью, дБ</b>	ф-ла (20)[10]	<b>71</b>	<b>71</b>	<b>76</b>	<b>78</b>	<b>81</b>	<b>74</b>	<b>74</b>	<b>72</b>	<b>66</b>			
Затухание из-за геометрической дивергенции, $A_{div}$ , дБ	расстояние = 334.60 м	ф-ла (7) [10]	<b>61,5</b>										

Коэффициент затухания звука в атмосфере $\alpha$ , дБ/км	$T_a=20,^{\circ}\text{C}$ $P_a=101.33, \text{кПа}$ нотн.=70%	ф-ла (5) [9]	0,02	0,09	0,33	1,12	2,79	4,98	9,04	23,09	77,63			
Учет затухания звука в атмосфере $A_{atm}$ , дБ		ф-ла (8) [10]	0	0	0,1	0,4	0,9	1,7	3	7,7	26			
<b>Снижение уровня звукового давления из-за влияния застройки между источником шума и расчетной точкой</b>														
Траектория над экраном	Промежуточные точки:	$P_{ss}(x,y,z) = (2073.41, 2358.57, 2.00)$	$P_{sr}(x,y,z) = (2073.49, 2358.77, 2.00)$	$d_{ss} = 10.74 \text{ м}$	$d_{sr} = 323.05 \text{ м}$	$e = 0.22 \text{ м}$		$z = 0.05 \text{ м}$						
	Константа $C_2$ , учитывающая эффект отражения от земли возле экрана			40	40	40	40	40	40	40	40	40		
	Константа $C_3$ (дифракция на кромках)	ф-ла (15) [10]		1	1	1	1	1	1	1	1,2	1,5		
	$K_{met}$ (влияние метеоусловий)	ф-ла (18) [10]		0,2	0,2	0,2	0,2	0,2	0,2	0,2	0,2	0,2		
Снижение УЗД, $D_z$ , дБ	ф-ла (14) [10]		4,8	4,9	4,9	5,1	5,4	6	7	8,7	11,6			
Критерий наличия отражения в октавной полосе	$l_{min} = 2 \text{ м}$	ф-ла (19)[10]	нет	нет	нет	нет	да	да	да	да	да			
Уровни звукового давления от мнимого источника ИШ-5_мн.(1) в расчётной точке днём, дБ	ф-ла(3)[10]		0	0	0	0	13,2	4,9	2,6	0	0	11,9	11,9	
Уровни звукового давления от мнимого источника ИШ-5_мн.(1) в расчётной точке ночью, дБ	ф-ла(3)[10]		0	0	0	0	13,2	4,9	2,6	0	0	11,9	11,9	
Уровни звукового давления от источника ИШ-5 в расчётной точке днём, дБ	ф-ла(3)[10]		5,7	5,6	10,5	12	16,7	8,4	6	0	0	15,7	15,7	
Уровни звукового давления от источника ИШ-5 в расчётной точке ночью, дБ	ф-ла(3)[10]		5,7	5,6	10,5	12	16,7	8,4	6	0	0	15,7	15,7	
Требуемое снижение днём, $\Delta L_{треб}$ , дБ	ф-лы (15),(16) [6]		-	-	-	-	-	-23,2	-22,6	0	0			
Требуемое снижение ночью, $\Delta L_{треб}$ , дБ	ф-лы (15),(16) [6]		-	-	-	-	-8,9	-13,2	-12,6	0	0			
<b>Источник шума: ИШ-6, координаты источника (x,y,z), м =[2074.69,2349.30,1.00]</b>														
Уровни звуковой мощности источника днём, $L_w$ , дБ	исходные данные		69	69	74	76	79	72	72	70	64			
Уровни звуковой мощности источника ночью, $L_w$ , дБ	исходные данные		69	69	74	76	79	72	72	70	64			
Поправка на телесный угол $D\Omega$ , дБ	$\Omega = 6.28$	$10\lg(4\pi/\Omega)$	3	3	3	3	3	3	3	3	3			
Показатель направленности источника $D_i$ , дБ	исходные данные		0	0	0	0	0	0	0	0	0			
Поправка на направленность источника $D_c$ , дБ	$D_c$	$D\Omega + D_i$	3	3	3	3	3	3	3	3	3			
Затухание из-за геометрической дивергенции, $A_{div}$ , дБ	расстояние = 331.35 м	ф-ла (7) [10]	61,4											
Коэффициент затухания звука в атмосфере $\alpha$ , дБ/км	$T_a=20,^{\circ}\text{C}$ $P_a=101.33, \text{кПа}$ нотн.=70%	ф-ла (5) [9]	0,02	0,09	0,33	1,12	2,79	4,98	9,04	23,09	77,63			
Учет затухания звука в атмосфере $A_{atm}$ , дБ		ф-ла (8) [10]	0	0	0,1	0,4	0,9	1,6	3	7,6	25,7			
<b>Снижение уровня звукового давления из-за влияния застройки между источником шума и расчетной точкой</b>														

Траектория над экраном	Промежуточные точки:	$P_{ss}(x,y,z) = (2078.43, 2358.56, 2.00)$	$P_{sr}(x,y,z) = (2078.51, 2358.76, 2.00)$	dss = 10.04 м		dsr = 321.14 м		e = 0.22 м		z = 0.05 м				
	Константа C2, учитывающая эффект отражения от земли возле экрана			40	40	40	40	40	40	40	40	40		
	Константа C3 (дифракция на кромках)			ф-ла (15) [10]	1	1	1	1	1	1	1	1,2	1,5	
	$K_{мет}$ (влияние метеоусловий)			ф-ла (18) [10]	0,2	0,2	0,2	0,2	0,2	0,2	0,2	0,2	0,2	
	Снижение УЗД, Dz, дБ			ф-ла (14) [10]	4,8	4,9	5	5,2	5,5	6,2	7,3	9,2	12,3	
<b>Уровни звукового давления прямого звука от источника ИШ-6 в расчётной точке днём, дБ</b>			ф-ла(3)[10]	<b>5,8</b>	<b>5,7</b>	<b>10,5</b>	<b>12,1</b>	<b>14,2</b>	<b>5,8</b>	<b>3,3</b>	<b>0</b>	<b>0</b>	<b>13,3</b>	<b>13,3</b>
<b>Уровни звукового давления прямого звука от источника ИШ-6 в расчётной точке ночью, дБ</b>			ф-ла(3)[10]	<b>5,8</b>	<b>5,7</b>	<b>10,5</b>	<b>12,1</b>	<b>14,2</b>	<b>5,8</b>	<b>3,3</b>	<b>0</b>	<b>0</b>	<b>13,3</b>	<b>13,3</b>
<b>Расчёт отражённого звука</b>														
<b>Мнимый источник ИШ-6_мн.(1), образованный отражением от поверхности препятствия DXFLayer5_#0</b>														
Координаты точки отражения (x,y,z), м		(2075.0,2348.7,1.0)	Дистанция между ИШ и ИШм: R(ИШ-ИШм) = 0.6м Дистанция между ИШм и РТ: R(ИШм-РТ) = 331.8м											
Коэффициент отражения поверхности $\rho$		исходные данные	0,8	0,8	0,8	0,8	0,8	0,8	0,8	0,8	0,8	0,8		
Поправка на телесный угол $D\Omega$ , дБ		$\Omega = 6.28$	$10\lg(4\pi/\Omega)$	3	3	3	3	3	3	3	3	3		
Показатель направленности источника $D_i$ , дБ		исходные данные	0	0	0	0	0	0	0	0	0	0		
Поправка на направленность источника $Dir$ , дБ		$Dir$	$D\Omega + D_i$	3	3	3	3	3	3	3	3	3		
<b>Уровни звуковой мощности мнимого источника днём, дБ</b>			ф-ла (20)[10]	<b>71</b>	<b>71</b>	<b>76</b>	<b>78</b>	<b>81</b>	<b>74</b>	<b>74</b>	<b>72</b>	<b>66</b>		
<b>Уровни звуковой мощности мнимого источника ночью, дБ</b>			ф-ла (20)[10]	<b>71</b>	<b>71</b>	<b>76</b>	<b>78</b>	<b>81</b>	<b>74</b>	<b>74</b>	<b>72</b>	<b>66</b>		
Затухание из-за геометрической дивергенции, $A_{div}$ , дБ		расстояние = 332.42 м	ф-ла (7) [10]	<b>61,4</b>										
Коэффициент затухания звука в атмосфере $\alpha$ , дБ/км		$T_a=20,^{\circ}C$ $P_a=101.33, кПа$ хотн.=70%	ф-ла (5) [9]	0,02	0,09	0,33	1,12	2,79	4,98	9,04	23,09	77,63		
Учет затухания звука в атмосфере $A_{atm}$ , дБ			ф-ла (8) [10]	0	0	0,1	0,4	0,9	1,7	3	7,7	25,8		
<b>Снижение уровня звукового давления из-за влияния застройки между источником шума и расчетной точкой</b>														
Траектория над экраном	Промежуточные точки:	$P_{ss}(x,y,z) = (2078.92, 2358.56, 2.00)$	$P_{sr}(x,y,z) = (2079.00, 2358.76, 2.00)$	dss = 10.65 м		dsr = 320.96 м		e = 0.22 м		z = 0.05 м				
	Константа C2, учитывающая эффект отражения от земли возле экрана			40	40	40	40	40	40	40	40	40		
	Константа C3 (дифракция на кромках)			ф-ла (15) [10]	1	1	1	1	1	1	1	1,2	1,5	
	$K_{мет}$ (влияние метеоусловий)			ф-ла (18) [10]	0,2	0,2	0,2	0,2	0,2	0,2	0,2	0,2	0,2	
	Снижение УЗД, Dz, дБ			ф-ла (14) [10]	4,8	4,9	4,9	5,1	5,4	6	7	8,7	11,7	
Критерий наличия отражения в октавной полосе		$l_{min} = 2 м$	ф-ла (19)[10]	нет	нет	нет	да	да	да	да	да	да		
<b>Уровни звукового давления от мнимого источника ИШ-6_мн.(1) в расчётной точке днём, дБ</b>			ф-ла(3)[10]	<b>0</b>	<b>0</b>	<b>0</b>	<b>11,1</b>	<b>13,3</b>	<b>5</b>	<b>2,6</b>	<b>0</b>	<b>0</b>	<b>12,4</b>	<b>12,4</b>
<b>Уровни звукового давления от мнимого источника ИШ-6_мн.(1) в расчётной точке ночью, дБ</b>			ф-ла(3)[10]	<b>0</b>	<b>0</b>	<b>0</b>	<b>11,1</b>	<b>13,3</b>	<b>5</b>	<b>2,6</b>	<b>0</b>	<b>0</b>	<b>12,4</b>	<b>12,4</b>

Уровни звукового давления от источника ИШ-6 в расчётной точке днём, дБ		ф-ла(3)[10]	5,8	5,7	10,5	14,6	16,7	8,4	6	0	0	15,9	15,9
Уровни звукового давления от источника ИШ-6 в расчётной точке ночью, дБ		ф-ла(3)[10]	5,8	5,7	10,5	14,6	16,7	8,4	6	0	0	15,9	15,9
Требуемое снижение днём, $\Delta L_{\text{треб}}$ , дБ		ф-лы (15),(16) [6]	-	-	-	-	-	-23,2	-22,6	0	0		
Требуемое снижение ночью, $\Delta L_{\text{треб}}$ , дБ		ф-лы (15),(16) [6]	-	-	-	-	-	-8,8	-13,2	-12,6	0	0	
<b>Источник шума: ИШ-7, координаты источника (x,y,z), м = [2080.59,2349.30,1.00]</b>													
Уровни звуковой мощности источника днём, $L_w$ , дБ		исходные данные	69	69	74	76	79	72	72	70	64		
Уровни звуковой мощности источника ночью, $L_w$ , дБ		исходные данные	69	69	74	76	79	72	72	70	64		
Поправка на телесный угол $D\Omega$ , дБ	$\Omega = 6.28$	$10\lg(4\pi/\Omega)$	3	3	3	3	3	3	3	3	3		
Показатель направленности источника $D_i$ , дБ		исходные данные	0	0	0	0	0	0	0	0	0		
Поправка на направленность источника $D_c$ , дБ	$D_c$	$D\Omega + D_i$	3	3	3	3	3	3	3	3	3		
Затухание из-за геометрической дивергенции, $A_{div}$ , дБ	расстояние = 329.18 м	ф-ла (7) [10]	61,3										
Коэффициент затухания звука в атмосфере $\alpha$ , дБ/км	$T_a=20,^{\circ}\text{C}$ $P_a=101.33, \text{кПа}$ относ.=70%	ф-ла (5) [9]	0,02	0,09	0,33	1,12	2,79	4,98	9,04	23,09	77,63		
Учет затухания звука в атмосфере $A_{atm}$ , дБ		ф-ла (8) [10]	0	0	0,1	0,4	0,9	1,6	3	7,6	25,6		
<b>Снижение уровня звукового давления из-за влияния застройки между источником шума и расчетной точкой</b>													
Траектория над экраном	Промежуточные точки:	$P_{ss}(x,y,z) = (2084.16,2358.55,2.00)$	$P_{sr}(x,y,z) = (2084.23,2358.75,2.00)$	$d_{ss} = 9.96 \text{ м}$	$d_{sr} = 319.06 \text{ м}$	$e = 0.21 \text{ м}$	$z = 0.05 \text{ м}$						
	Константа $C_2$ , учитывающая эффект отражения от земли возле экрана			40	40	40	40	40	40	40	40		
	Константа $C_3$ (дифракция на кромках)		ф-ла (15) [10]	1	1	1	1	1	1	1	1,2	1,5	
	$K_{\text{мет}}$ (влияние метеословий)		ф-ла (18) [10]	0,2	0,2	0,2	0,2	0,2	0,2	0,2	0,2	0,2	
	Снижение УЗД, $D_z$ , дБ		ф-ла (14) [10]	4,8	4,9	5	5,2	5,6	6,2	7,4	9,3	12,4	
Уровни звукового давления прямого звука от источника ИШ-7 в расчётной точке днём, дБ		ф-ла(3)[10]	5,8	5,8	10,6	12,1	14,2	5,8	3,3	0	0	13,4	13,4
Уровни звукового давления прямого звука от источника ИШ-7 в расчётной точке ночью, дБ		ф-ла(3)[10]	5,8	5,8	10,6	12,1	14,2	5,8	3,3	0	0	13,4	13,4
<b>Расчёт отражённого звука</b>													
<b>Мнимый источник ИШ-7_мн.(1), образованный отражением от поверхности препятствия DXFLayer5_#0</b>													
Координаты точки отражения (x,y,z), м		(2080.9,2348.7,1.0)	Дистанция между ИШ и ИШм: $R(\text{ИШ}-\text{ИШм}) = 0.6 \text{ м}$ Дистанция между ИШм и РТ: $R(\text{ИШм}-\text{РТ}) = 329.6 \text{ м}$										
Коэффициент отражения поверхности $\rho$			исходные данные	0,8	0,8	0,8	0,8	0,8	0,8	0,8	0,8	0,8	
Поправка на телесный угол $D\Omega$ , дБ	$\Omega = 6.28$	$10\lg(4\pi/\Omega)$	3	3	3	3	3	3	3	3	3		
Показатель направленности источника $D_i$ , дБ		исходные данные	0	0	0	0	0	0	0	0	0		
Поправка на направленность источника $D_{ir}$ , дБ	$D_{ir}$	$D\Omega + D_i$	3	3	3	3	3	3	3	3	3		

<b>Уровни звуковой мощности мнимого источника днём, дБ</b>			ф-ла (20)[10]	71	71	76	78	81	74	74	72	66			
<b>Уровни звуковой мощности мнимого источника ночью, дБ</b>			ф-ла (20)[10]	71	71	76	78	81	74	74	72	66			
Затухание из-за геометрической дивергенции, Adiv, дБ	расстояние = 330.26 м	ф-ла (7) [10]	61,4												
Коэффициент затухания звука в атмосфере $\alpha$ , дБ/км	Ta=20,°C Pa=101.33,кПа hотн.=70%	ф-ла (5) [9]	0,02	0,09	0,33	1,12	2,79	4,98	9,04	23,09	77,63				
Учет затухания звука в атмосфере Aatm, дБ		ф-ла (8) [10]	0	0	0,1	0,4	0,9	1,6	3	7,6	25,6				
<b>Снижение уровня звукового давления из-за влияния застройки между источником шума и расчетной точкой</b>															
Траектория над экраном	Промежуточные точки:	Pss(x,y,z) = (2084.62,2358.55,2.00)	Psr(x,y,z) = (2084.70,2358.75,2.00)	dss = 10.57 м	dsr = 318.89 м	e = 0.21 м	z = 0.05 м								
	Константа C2, учитывающая эффект отражения от земли возле экрана			40	40	40	40	40	40	40	40	40			
	Константа C3 (дифракция на краях)	ф-ла (15) [10]			1	1	1	1	1	1	1,2	1,5			
	Kмет (влияние метеосудловий)	ф-ла (18) [10]			0,2	0,2	0,2	0,2	0,2	0,2	0,2	0,2			
Снижение Узд, Dz, дБ		ф-ла (14) [10]			4,8	4,9	4,9	5,1	5,4	6	7,1	8,8	11,8		
Критерий наличия отражения в октавной полосе	lmin = 2 м	ф-ла (19)[10]	нет	нет	нет	да	да	да	да	да	да				
<b>Уровни звукового давления от мнимого источника ИШ-7_мн.(1) в расчётной точке днём, дБ</b>			ф-ла(3)[10]	0	0	0	11,2	13,3	5	2,6	0	0	12,5	12,5	
<b>Уровни звукового давления от мнимого источника ИШ-7_мн.(1) в расчётной точке ночью, дБ</b>			ф-ла(3)[10]	0	0	0	11,2	13,3	5	2,6	0	0	12,5	12,5	
<b>Уровни звукового давления от источника ИШ-7 в расчётной точке днём, дБ</b>			ф-ла(3)[10]	5,8	5,8	10,6	14,7	16,8	8,4	6	0	0	15,9	15,9	
<b>Уровни звукового давления от источника ИШ-7 в расчётной точке ночью, дБ</b>			ф-ла(3)[10]	5,8	5,8	10,6	14,7	16,8	8,4	6	0	0	15,9	15,9	
Требуемое снижение днём, $\Delta L_{\text{треб}}$ , дБ			ф-лы (15),(16) [6]	-	-	-37	-	-	-23,2	-22,6	0	0			
Требуемое снижение ночью, $\Delta L_{\text{треб}}$ , дБ			ф-лы (15),(16) [6]	-	-	-28	-	-	-13,2	-12,6	0	0			
<b>Источник шума: ИШ-8, координаты источника (x,y,z), м =[2086.88,2349.30,1.00]</b>															
<b>Уровни звуковой мощности источника днём, Lw, дБ</b>			исходные данные	69	69	74	76	79	72	72	70	64			
<b>Уровни звуковой мощности источника ночью, Lw, дБ</b>			исходные данные	69	69	74	76	79	72	72	70	64			
Поправка на телесный угол D $\Omega$ , дБ		$\Omega = 6.28$	$10Lg(4\pi/\Omega)$	3	3	3	3	3	3	3	3	3			
Показатель направленности источника Di, дБ			исходные данные	0	0	0	0	0	0	0	0	0			
Поправка на направленность источника Dc, дБ		Dc	D $\Omega$ + Di	3	3	3	3	3	3	3	3	3			
Затухание из-за геометрической дивергенции, Adiv, дБ		расстояние = 326.98 м	ф-ла (7) [10]	61,3											

Коэффициент затухания звука в атмосфере $\alpha$ , дБ/км	$T_a=20,^{\circ}\text{C}$ $P_a=101.33, \text{кПа}$ нотн.=70%	ф-ла (5) [9]	0,02	0,09	0,33	1,12	2,79	4,98	9,04	23,09	77,63			
Учет затухания звука в атмосфере $A_{atm}$ , дБ		ф-ла (8) [10]	0	0	0,1	0,4	0,9	1,6	3	7,5	25,4			
<b>Снижение уровня звукового давления из-за влияния застройки между источником шума и расчетной точкой</b>														
Траектория над экраном	Промежуточные точки:	$P_{ss}(x,y,z) = (2090.25, 2358.53, 2.00)$	$P_{sr}(x,y,z) = (2090.32, 2358.73, 2.00)$	$d_{ss} = 9.88 \text{ м}$	$d_{sr} = 316.93 \text{ м}$	$e = 0.21 \text{ м}$		$z = 0.05 \text{ м}$						
	Константа $C_2$ , учитывающая эффект отражения от земли возле экрана			40	40	40	40	40	40	40	40	40		
	Константа $C_3$ (дифракция на кромках)	ф-ла (15) [10]		1	1	1	1	1	1	1	1,2	1,5		
	$K_{мет}$ (влияние метеословий)	ф-ла (18) [10]		0,2	0,2	0,2	0,2	0,2	0,2	0,2	0,2	0,2		
	Снижение УЗД, $D_z$ , дБ	ф-ла (14) [10]		4,8	4,9	5	5,2	5,6	6,3	7,4	9,4	12,5		
Уровни звукового давления прямого звука от источника ИШ-8 в расчётной точке днём, дБ			ф-ла(3)[10]	5,9	5,8	10,6	12,2	14,2	5,8	3,3	0	0	13,4	13,4
Уровни звукового давления прямого звука от источника ИШ-8 в расчётной точке ночью, дБ			ф-ла(3)[10]	5,9	5,8	10,6	12,2	14,2	5,8	3,3	0	0	13,4	13,4
<b>Расчёт отражённого звука</b>														
<b>Мнимый источник ИШ-8_мн.(1), образованный отражением от поверхности препятствия DXFLayer5_#0</b>														
Координаты точки отражения (x,y,z), м	(2087.1,2348.7,1.0)	Дистанция между ИШ и ИШм: $R(\text{ИШ}-\text{ИШм}) = 0.6 \text{ м}$ Дистанция между ИШм и РТ: $R(\text{ИШм}-\text{РТ}) = 327.4 \text{ м}$												
Коэффициент отражения поверхности $\rho$			исходные данные	0,8	0,8	0,8	0,8	0,8	0,8	0,8	0,8	0,8	0,8	
Поправка на телесный угол $D\Omega$ , дБ	$\Omega = 6.28$	$10\lg(4\pi/\Omega)$		3	3	3	3	3	3	3	3	3		
Показатель направленности источника $D_i$ , дБ			исходные данные	0	0	0	0	0	0	0	0	0		
Поправка на направленность источника $D_{ir}$ , дБ	$D_{ir}$	$D\Omega + D_i$		3	3	3	3	3	3	3	3	3		
Уровни звуковой мощности мнимого источника днём, дБ			ф-ла (20)[10]	71	71	76	78	81	74	74	72	66		
Уровни звуковой мощности мнимого источника ночью, дБ			ф-ла (20)[10]	71	71	76	78	81	74	74	72	66		
Затухание из-за геометрической дивергенции, $A_{div}$ , дБ	расстояние = 328.06 м	ф-ла (7) [10]		61,3										
Коэффициент затухания звука в атмосфере $\alpha$ , дБ/км	$T_a=20,^{\circ}\text{C}$ $P_a=101.33, \text{кПа}$ нотн.=70%	ф-ла (5) [9]	0,02	0,09	0,33	1,12	2,79	4,98	9,04	23,09	77,63			
Учет затухания звука в атмосфере $A_{atm}$ , дБ		ф-ла (8) [10]	0	0	0,1	0,4	0,9	1,6	3	7,6	25,5			
<b>Снижение уровня звукового давления из-за влияния застройки между источником шума и расчетной точкой</b>														
Траектория над экраном	Промежуточные точки:	$P_{ss}(x,y,z) = (2090.69, 2358.53, 2.00)$	$P_{sr}(x,y,z) = (2090.76, 2358.73, 2.00)$	$d_{ss} = 10.49 \text{ м}$	$d_{sr} = 316.78 \text{ м}$	$e = 0.21 \text{ м}$		$z = 0.05 \text{ м}$						
	Константа $C_2$ , учитывающая эффект отражения от земли возле экрана			40	40	40	40	40	40	40	40	40		
	Константа $C_3$ (дифракция на кромках)	ф-ла (15) [10]		1	1	1	1	1	1	1	1,2	1,5		
	$K_{мет}$ (влияние метеословий)	ф-ла (18) [10]		0,2	0,2	0,2	0,2	0,2	0,2	0,2	0,2	0,2		
	Снижение УЗД, $D_z$ , дБ	ф-ла (14) [10]		4,8	4,9	5	5,1	5,5	6,1	7,1	8,9	11,9		
Критерий наличия отражения в октавной полосе	$l_{min} = 2 \text{ м}$	ф-ла (19)[10]		нет	нет	нет	да	да	да	да	да	да		

Уровни звукового давления от мнимого источника ИШ-8_мн.(1) в расчётной точке днём, дБ		ф-ла(3)[10]	0	0	0	11,2	13,3	5	2,6	0	0	12,5	12,5	
Уровни звукового давления от мнимого источника ИШ-8_мн.(1) в расчётной точке ночью, дБ		ф-ла(3)[10]	0	0	0	11,2	13,3	5	2,6	0	0	12,5	12,5	
Уровни звукового давления от источника ИШ-8 в расчётной точке днём, дБ		ф-ла(3)[10]	5,9	5,8	10,6	14,7	16,8	8,5	6	0	0	16	16	
Уровни звукового давления от источника ИШ-8 в расчётной точке ночью, дБ		ф-ла(3)[10]	5,9	5,8	10,6	14,7	16,8	8,5	6	0	0	16	16	
Требуемое снижение днём, $\Delta L_{\text{треб}}$ , дБ		ф-лы (15),(16) [6]	-	-	-	-	-	-23,1	-22,6	0	0			
Требуемое снижение ночью, $\Delta L_{\text{треб}}$ , дБ		ф-лы (15),(16) [6]	-	-	-	-	-8,8	-13,1	-12,6	0	0			
<b>Источник шума: ИШ-9, координаты источника (x,y,z), м =[2092.59,2349.30,1.00]</b>														
Уровни звуковой мощности источника днём, $L_w$ , дБ		исходные данные	69	69	74	76	79	72	72	70	64			
Уровни звуковой мощности источника ночью, $L_w$ , дБ		исходные данные	69	69	74	76	79	72	72	70	64			
Поправка на телесный угол $D\Omega$ , дБ		$\Omega = 6.28$	$10\lg(4\pi/\Omega)$	3	3	3	3	3	3	3	3			
Показатель направленности источника $D_i$ , дБ			исходные данные	0	0	0	0	0	0	0	0			
Поправка на направленность источника $D_c$ , дБ		$D_c$	$D\Omega + D_i$	3	3	3	3	3	3	3	3			
Затухание из-за геометрической дивергенции, $A_{div}$ , дБ		расстояние = 325.06 м	ф-ла (7) [10]	61,2										
Коэффициент затухания звука в атмосфере $\alpha$ , дБ/км		$T_a=20,^{\circ}\text{C}$ $P_a=101.33, \text{кПа}$ хотн.=70%	ф-ла (5) [9]	0,02	0,09	0,33	1,12	2,79	4,98	9,04	23,09	77,63		
Учет затухания звука в атмосфере $A_{atm}$ , дБ			ф-ла (8) [10]	0	0	0,1	0,4	0,9	1,6	2,9	7,5	25,2		
<b>Снижение уровня звукового давления из-за влияния застройки между источником шума и расчетной точкой</b>														
Траектория над экраном		Промежуточные точки:	$P_{ss}(x,y,z) = (2095.78,2358.52,2.00)$	$P_{sr}(x,y,z) = (2095.85,2358.72,2.00)$	$d_{ss} = 9.81 \text{ м}$	$d_{sr} = 315.09 \text{ м}$	$e = 0.21 \text{ м}$	$z = 0.05 \text{ м}$						
		Константа $C_2$ , учитывающая эффект отражения от земли возле экрана	40											
		Константа $C_3$ (дифракция на кромках)	ф-ла (15) [10]	1	1	1	1	1	1	1	1,2	1,5		
		$K_{\text{мет}}$ (влияние метеоусловий)	ф-ла (18) [10]	0,2	0,2	0,2	0,2	0,2	0,2	0,2	0,2	0,2		
		Снижение УЗД, $D_z$ , дБ	ф-ла (14) [10]	4,8	4,9	5	5,2	5,6	6,3	7,5	9,4	12,6		
Уровни звукового давления прямого звука от источника ИШ-9 в расчётной точке днём, дБ		ф-ла(3)[10]	5,9	5,9	10,7	12,2	14,3	5,9	3,3	0	0	13,4	13,4	
Уровни звукового давления прямого звука от источника ИШ-9 в расчётной точке ночью, дБ		ф-ла(3)[10]	5,9	5,9	10,7	12,2	14,3	5,9	3,3	0	0	13,4	13,4	
<b>Расчёт отражённого звука</b>														
<b>Мнимый источник ИШ-9_мн.(1), образованный отражением от поверхности препятствия DXFLayer5_#0</b>														

Координаты точки отражения (x,y,z), м		(2092.8,2348.7,1.0)	Дистанция между ИШ и ИШм: R(ИШ-ИШм) = 0.6м Дистанция между ИШм и РТ: R(ИШм-РТ) = 325.5м											
Коэффициент отражения поверхности $\rho$			исходные данные	0,8	0,8	0,8	0,8	0,8	0,8	0,8	0,8	0,8		
Поправка на телесный угол $D\Omega$ , дБ		$\Omega = 6.28$	$10\lg(4\pi/\Omega)$	3	3	3	3	3	3	3	3	3		
Показатель направленности источника $D_i$ , дБ			исходные данные	0	0	0	0	0	0	0	0	0		
Поправка на направленность источника $Dir$ , дБ		$Dir$	$D\Omega + D_i$	3	3	3	3	3	3	3	3	3		
<b>Уровни звуковой мощности мнимого источника днём, дБ</b>			<b>ф-ла (20)[10]</b>	<b>71</b>	<b>71</b>	<b>76</b>	<b>78</b>	<b>81</b>	<b>74</b>	<b>74</b>	<b>72</b>	<b>66</b>		
<b>Уровни звуковой мощности мнимого источника ночью, дБ</b>			<b>ф-ла (20)[10]</b>	<b>71</b>	<b>71</b>	<b>76</b>	<b>78</b>	<b>81</b>	<b>74</b>	<b>74</b>	<b>72</b>	<b>66</b>		
Затухание из-за геометрической дивергенции, $A_{div}$ , дБ		расстояние = 326.16 м	ф-ла (7) [10]	<b>61,3</b>										
Коэффициент затухания звука в атмосфере $\alpha$ , дБ/км		$T_a=20,^{\circ}C$ $P_a=101.33,кПа$ нотн.=70%	ф-ла (5) [9]	0,02	0,09	0,33	1,12	2,79	4,98	9,04	23,09	77,63		
Учет затухания звука в атмосфере $A_{atm}$ , дБ			ф-ла (8) [10]	0	0	0,1	0,4	0,9	1,6	2,9	7,5	25,3		
<b>Снижение уровня звукового давления из-за влияния застройки между источником шума и расчетной точкой</b>														
Траектория над экраном	Промежуточные точки:	$P_{ss}(x,y,z) = (2096.20,2358.52,2.00)$	$P_{sr}(x,y,z) = (2096.27,2358.72,2.00)$	$d_{ss} = 10.41$ м	$d_{sr} = 314.96$ м	$e = 0.21$ м	$z = 0.05$ м							
	Константа $C_2$ , учитывающая эффект отражения от земли возле экрана			40	40	40	40	40	40	40	40	40		
	Константа $C_3$ (дифракция на кромках)			ф-ла (15) [10]	1	1	1	1	1	1	1	1,2	1,5	
	$K_{met}$ (влияние метеоусловий)			ф-ла (18) [10]	0,2	0,2	0,2	0,2	0,2	0,2	0,2	0,2	0,2	
	Снижение УЗД, $D_z$ , дБ			ф-ла (14) [10]	4,8	4,9	5	5,1	5,5	6,1	7,2	9	12	
Критерий наличия отражения в октавной полосе		$l_{min} = 2$ м	ф-ла (19)[10]	нет	нет	нет	да	да	да	да	да	да		
<b>Уровни звукового давления от мнимого источника ИШ-9_мн.(1) в расчётной точке днём, дБ</b>			<b>ф-ла(3)[10]</b>	<b>0</b>	<b>0</b>	<b>0</b>	<b>11,3</b>	<b>13,4</b>	<b>5</b>	<b>2,6</b>	<b>0</b>	<b>0</b>	<b>12,5</b>	<b>12,5</b>
<b>Уровни звукового давления от мнимого источника ИШ-9_мн.(1) в расчётной точке ночью, дБ</b>			<b>ф-ла(3)[10]</b>	<b>0</b>	<b>0</b>	<b>0</b>	<b>11,3</b>	<b>13,4</b>	<b>5</b>	<b>2,6</b>	<b>0</b>	<b>0</b>	<b>12,5</b>	<b>12,5</b>
<b>Уровни звукового давления от источника ИШ-9 в расчётной точке днём, дБ</b>			<b>ф-ла(3)[10]</b>	<b>5,9</b>	<b>5,9</b>	<b>10,7</b>	<b>14,8</b>	<b>16,9</b>	<b>8,5</b>	<b>6</b>	<b>0</b>	<b>0</b>	<b>16</b>	<b>16</b>
<b>Уровни звукового давления от источника ИШ-9 в расчётной точке ночью, дБ</b>			<b>ф-ла(3)[10]</b>	<b>5,9</b>	<b>5,9</b>	<b>10,7</b>	<b>14,8</b>	<b>16,9</b>	<b>8,5</b>	<b>6</b>	<b>0</b>	<b>0</b>	<b>16</b>	<b>16</b>
Требуемое снижение днём, $\Delta L_{треб}$ , дБ			ф-лы (15),(16) [6]	-65,6	-50,7	-36,9	-25,8	-18,7	-23,1	-22,6	0	0		
Требуемое снижение ночью, $\Delta L_{треб}$ , дБ			ф-лы (15),(16) [6]	-58,6	-42,7	-27,9	-15,8	-8,7	-13,1	-12,6	0	0		
<b>Источник шума: ИШ-10, координаты источника (x,y,z), м =[2098.69,2349.30,1.00]</b>														
<b>Уровни звуковой мощности источника днём, <math>L_w</math>, дБ</b>			исходные данные	<b>69</b>	<b>69</b>	<b>74</b>	<b>76</b>	<b>79</b>	<b>72</b>	<b>72</b>	<b>70</b>	<b>64</b>		
<b>Уровни звуковой мощности источника ночью, <math>L_w</math>, дБ</b>			исходные данные	<b>69</b>	<b>69</b>	<b>74</b>	<b>76</b>	<b>79</b>	<b>72</b>	<b>72</b>	<b>70</b>	<b>64</b>		
Поправка на телесный угол $D\Omega$ , дБ		$\Omega = 6.28$	$10\lg(4\pi/\Omega)$	3	3	3	3	3	3	3	3	3		

Показатель направленности источника Di, дБ		исходные данные	0	0	0	0	0	0	0	0	0	0			
Поправка на направленность источника Dc, дБ		Dc	DΩ + Di	3	3	3	3	3	3	3	3	3			
Затухание из-за геометрической дивергенции, Adiv, дБ		расстояние = 323.12 м	φ-ла (7) [10]	61,2											
Коэффициент затухания звука в атмосфере α, дБ/км		Ta=20,°C Pa=101.33,кПа hотн.=70%	φ-ла (5) [9]	0,02	0,09	0,33	1,12	2,79	4,98	9,04	23,09	77,63			
Учет затухания звука в атмосфере Aatm, дБ			φ-ла (8) [10]	0	0	0,1	0,4	0,9	1,6	2,9	7,5	25,1			
<b>Снижение уровня звукового давления из-за влияния застройки между источником шума и расчетной точкой</b>															
Траектория над экраном	Промежуточные точки:	Pss(x,y,z) = (2101.69,2358.51,2.00)	Psr(x,y,z) = (2101.76,2358.71,2.00)	dss = 9.74 м	dsr = 313.23 м			e = 0.21 м		z = 0.05 м					
	Константа C2, учитывающая эффект отражения от земли возле экрана			40	40	40	40	40	40	40	40	40			
	Константа C3 (дифракция на краях)			φ-ла (15) [10]	1	1	1	1	1	1	1	1,2	1,5		
	Kмет (влияние метеоусловий)			φ-ла (18) [10]	0,2	0,2	0,2	0,2	0,2	0,2	0,2	0,2	0,2		
Снижение УЗД, Dz, дБ			φ-ла (14) [10]	4,8	4,9	5	5,2	5,6	6,3	7,5	9,5	12,6			
<b>Уровни звукового давления прямого звука от источника ИШ-10 в расчётной точке днём, дБ</b>			φ-ла(3)[10]	6	5,9	10,7	12,2	14,3	5,9	3,4	0	0	13,5	13,5	
<b>Уровни звукового давления прямого звука от источника ИШ-10 в расчётной точке ночью, дБ</b>			φ-ла(3)[10]	6	5,9	10,7	12,2	14,3	5,9	3,4	0	0	13,5	13,5	
<b>Расчёт отражённого звука</b>															
<b>Мнимый источник ИШ-10_мн.(1), образованный отражением от поверхности препятствия DXFLayer5_#0</b>															
Координаты точки отражения (x,y,z), м		(2098.9,2348.7,1.0)	Дистанция между ИШ и ИШм: R(ИШ-ИШм) = 0.6м Дистанция между ИШм и РТ: R(ИШм-РТ) = 323.6м												
Коэффициент отражения поверхности р			исходные данные	0,8	0,8	0,8	0,8	0,8	0,8	0,8	0,8	0,8	0,8		
Поправка на телесный угол DΩ, дБ		Ω = 6.28	10Lg(4π/Ω)	3	3	3	3	3	3	3	3	3	3		
Показатель направленности источника Di, дБ			исходные данные	0	0	0	0	0	0	0	0	0	0		
Поправка на направленность источника Dir, дБ		Dir	DΩ + Di	3	3	3	3	3	3	3	3	3	3		
<b>Уровни звуковой мощности мнимого источника днём, дБ</b>			φ-ла (20)[10]	71	71	76	78	81	74	74	72	66			
<b>Уровни звуковой мощности мнимого источника ночью, дБ</b>			φ-ла (20)[10]	71	71	76	78	81	74	74	72	66			
Затухание из-за геометрической дивергенции, Adiv, дБ		расстояние = 324.22 м	φ-ла (7) [10]	61,2											
Коэффициент затухания звука в атмосфере α, дБ/км		Ta=20,°C Pa=101.33,кПа hотн.=70%	φ-ла (5) [9]	0,02	0,09	0,33	1,12	2,79	4,98	9,04	23,09	77,63			
Учет затухания звука в атмосфере Aatm, дБ			φ-ла (8) [10]	0	0	0,1	0,4	0,9	1,6	2,9	7,5	25,2			
<b>Снижение уровня звукового давления из-за влияния застройки между источником шума и расчетной точкой</b>															
Траектория над экраном	Промежуточные точки:	Pss(x,y,z) = (2102.09,2358.51,2.00)	Psr(x,y,z) = (2102.15,2358.71,2.00)	dss = 10.34 м	dsr = 313.10 м			e = 0.21 м		z = 0.05 м					
	Константа C2, учитывающая эффект отражения от земли возле экрана			40	40	40	40	40	40	40	40	40	40		

	Константа С3 (дифракция на кромках)	ф-ла (15) [10]	1	1	1	1	1	1	1	1,2	1,5			
	K <sub>мет</sub> (влияние метеоусловий)	ф-ла (18) [10]	0,2	0,2	0,2	0,2	0,2	0,2	0,2	0,2	0,2			
	Снижение УЗД, Dz, дБ	ф-ла (14) [10]	4,8	4,9	5	5,2	5,5	6,1	7,2	9,1	12,1			
Критерий наличия отражения в октавной полосе	l <sub>min</sub> = 2 м	ф-ла (19)[10]	нет	нет	нет	да	да	да	да	да	да			
<b>Уровни звукового давления от мнимого источника ИШ-10_мн.(1) в расчётной точке днём, дБ</b>		ф-ла(3)[10]	<b>0</b>	<b>0</b>	<b>0</b>	<b>11,3</b>	<b>13,4</b>	<b>5,1</b>	<b>2,7</b>	<b>0</b>	<b>0</b>	<b>12,6</b>	<b>12,6</b>	
<b>Уровни звукового давления от мнимого источника ИШ-10_мн.(1) в расчётной точке ночью, дБ</b>		ф-ла(3)[10]	<b>0</b>	<b>0</b>	<b>0</b>	<b>11,3</b>	<b>13,4</b>	<b>5,1</b>	<b>2,7</b>	<b>0</b>	<b>0</b>	<b>12,6</b>	<b>12,6</b>	
<b>Уровни звукового давления от источника ИШ-10 в расчётной точке днём, дБ</b>														
	ф-ла(3)[10]	<b>6</b>	<b>5,9</b>	<b>10,7</b>	<b>14,8</b>	<b>16,9</b>	<b>8,5</b>	<b>6</b>	<b>0</b>	<b>0</b>	<b>16,1</b>	<b>16,1</b>		
<b>Уровни звукового давления от источника ИШ-10 в расчётной точке ночью, дБ</b>														
	ф-ла(3)[10]	<b>6</b>	<b>5,9</b>	<b>10,7</b>	<b>14,8</b>	<b>16,9</b>	<b>8,5</b>	<b>6</b>	<b>0</b>	<b>0</b>	<b>16,1</b>	<b>16,1</b>		
Требуемое снижение днём, ΔL <sub>треб</sub> , дБ		ф-лы (15),(16) [6]	-	-	-	-	-	-23,1	-22,5	0	0			
Требуемое снижение ночью, ΔL <sub>треб</sub> , дБ		ф-лы (15),(16) [6]	-	-	-	-	-8,7	-13,1	-12,5	0	0			
<b>Источник шума: ИШ-11, координаты источника (x,y,z), м = [2104.98,2349.21,1.00]</b>														
<b>Уровни звуковой мощности источника днём, L<sub>w</sub>, дБ</b>		исходные данные	<b>69</b>	<b>69</b>	<b>74</b>	<b>76</b>	<b>79</b>	<b>72</b>	<b>72</b>	<b>70</b>	<b>64</b>			
<b>Уровни звуковой мощности источника ночью, L<sub>w</sub>, дБ</b>		исходные данные	<b>69</b>	<b>69</b>	<b>74</b>	<b>76</b>	<b>79</b>	<b>72</b>	<b>72</b>	<b>70</b>	<b>64</b>			
Поправка на телесный угол DΩ, дБ		Ω = 6.28	10Lg(4π/Ω)	<b>3</b>	<b>3</b>	<b>3</b>	<b>3</b>	<b>3</b>	<b>3</b>	<b>3</b>	<b>3</b>			
Показатель направленности источника Di, дБ			исходные данные	<b>0</b>	<b>0</b>	<b>0</b>	<b>0</b>	<b>0</b>	<b>0</b>	<b>0</b>	<b>0</b>			
Поправка на направленность источника Dc, дБ		Dc	DΩ + Di	<b>3</b>	<b>3</b>	<b>3</b>	<b>3</b>	<b>3</b>	<b>3</b>	<b>3</b>	<b>3</b>			
Затухание из-за геометрической дивергенции, A <sub>div</sub> , дБ		расстояние = 321.32 м	ф-ла (7) [10]	<b>61,1</b>										
Коэффициент затухания звука в атмосфере α, дБ/км		Ta=20,°C Pa=101.33,кПа hотн.=70%	ф-ла (5) [9]	0,02	0,09	0,33	1,12	2,79	4,98	9,04	23,09	77,63		
Учет затухания звука в атмосфере A <sub>atm</sub> , дБ			ф-ла (8) [10]	0	0	0,1	0,4	0,9	1,6	2,9	7,4	24,9		
<b>Снижение уровня звукового давления из-за влияния застройки между источником шума и расчетной точкой</b>														
Траектория над экраном	Промежуточные точки:	P <sub>ss</sub> (x,y,z) = (2107.81,2358.49,2.00)	P <sub>sr</sub> (x,y,z) = (2107.87,2358.69,2.00)	d <sub>ss</sub> = 9.76 м	d <sub>sr</sub> = 311.40 м	e = 0.21 м	z = 0.05 м							
	Константа С2, учитывающая эффект отражения от земли возле экрана				40	40	40	40	40	40	40	40		
	Константа С3 (дифракция на кромках)	ф-ла (15) [10]			1	1	1	1	1	1	1,1	1,5		
	K <sub>мет</sub> (влияние метеоусловий)	ф-ла (18) [10]			0,2	0,2	0,2	0,2	0,2	0,2	0,2	0,2		
	Снижение УЗД, Dz, дБ	ф-ла (14) [10]			4,8	4,9	5	5,2	5,6	6,3	7,6	9,5	12,6	
<b>Уровни звукового давления прямого звука от источника ИШ-11 в расчётной точке днём, дБ</b>		ф-ла(3)[10]	<b>6</b>	<b>6</b>	<b>10,8</b>	<b>12,3</b>	<b>14,4</b>	<b>5,9</b>	<b>3,4</b>	<b>0</b>	<b>0</b>	<b>13,5</b>	<b>13,5</b>	

<b>Уровни звукового давления прямого звука от источника ИШ-11 в расчётной точке ночью, дБ</b>		ф-ла(3)[10]	6	6	10,8	12,3	14,4	5,9	3,4	0	0	13,5	13,5	
<b>Расчёт отражённого звука</b>														
<b>Мнимый источник ИШ-11_мн.(1), образованный отражением от поверхности препятствия DXFLayer5_#0</b>														
Координаты точки отражения (x,y,z), м		(2105.2,2348.7,1.0)	Дистанция между ИШ и ИШм: R(ИШ-ИШм) = 0.5м Дистанция между ИШм и РТ: R(ИШм-РТ) = 321.7м											
Коэффициент отражения поверхности $\rho$		исходные данные	0,8	0,8	0,8	0,8	0,8	0,8	0,8	0,8	0,8	0,8		
Поправка на телесный угол $D\Omega$ , дБ		$\Omega = 6.28$	$10\lg(4\pi/\Omega)$	3	3	3	3	3	3	3	3	3		
Показатель направленности источника $D_i$ , дБ			исходные данные	0	0	0	0	0	0	0	0	0		
Поправка на направленность источника $Dir$ , дБ		$Dir$	$D\Omega + D_i$	3	3	3	3	3	3	3	3	3		
<b>Уровни звуковой мощности мнимого источника днём, дБ</b>		<b>ф-ла (20)[10]</b>	<b>71</b>	<b>71</b>	<b>76</b>	<b>78</b>	<b>81</b>	<b>74</b>	<b>74</b>	<b>72</b>	<b>66</b>			
<b>Уровни звуковой мощности мнимого источника ночью, дБ</b>		<b>ф-ла (20)[10]</b>	<b>71</b>	<b>71</b>	<b>76</b>	<b>78</b>	<b>81</b>	<b>74</b>	<b>74</b>	<b>72</b>	<b>66</b>			
Затухание из-за геометрической дивергенции, $A_{div}$ , дБ		расстояние = 322.25 м	ф-ла (7) [10]	61,2										
Коэффициент затухания звука в атмосфере $\alpha$ , дБ/км		$T_a=20,^{\circ}C$ $P_a=101.33, кПа$ хотн.=70%	ф-ла (5) [9]	0,02	0,09	0,33	1,12	2,79	4,98	9,04	23,09	77,63		
Учет затухания звука в атмосфере $A_{atm}$ , дБ			ф-ла (8) [10]	0	0	0,1	0,4	0,9	1,6	2,9	7,4	25		
<b>Снижение уровня звукового давления из-за влияния застройки между источником шума и расчетной точкой</b>														
Траектория над экраном	Промежуточные точки:	$P_{ss}(x,y,z) = (2108.13,2358.49,2.00)$	$P_{sr}(x,y,z) = (2108.19,2358.69,2.00)$	$d_{ss} = 10.26$ м	$d_{sr} = 311.31$ м	$e = 0.21$ м	$z = 0.05$ м							
	Константа $C_2$ , учитывающая эффект отражения от земли возле экрана			40	40	40	40	40	40	40	40	40		
	Константа $C_3$ (дифракция на кромках)			ф-ла (15) [10]	1	1	1	1	1	1	1	1,1	1,5	
	$K_{мет}$ (влияние метеоусловий)			ф-ла (18) [10]	0,2	0,2	0,2	0,2	0,2	0,2	0,2	0,2	0,2	
Снижение УЗД, $D_z$ , дБ			ф-ла (14) [10]	4,8	4,9	5	5,2	5,5	6,2	7,3	9,1	12,2		
Критерий наличия отражения в октавной полосе		$l_{min} = 2$ м	ф-ла (19)[10]	нет	нет	нет	да	да	да	да	да	да		
<b>Уровни звукового давления от мнимого источника ИШ-11_мн.(1) в расчётной точке днём, дБ</b>			ф-ла(3)[10]	0	0	0	11,4	13,5	5,1	2,7	0	0	12,6	12,6
<b>Уровни звукового давления от мнимого источника ИШ-11_мн.(1) в расчётной точке ночью, дБ</b>			ф-ла(3)[10]	0	0	0	11,4	13,5	5,1	2,7	0	0	12,6	12,6
<b>Уровни звукового давления от источника ИШ-11 в расчётной точке днём, дБ</b>														
			ф-ла(3)[10]	6	6	10,8	14,9	16,9	8,5	6,1	0	0	16,1	16,1
<b>Уровни звукового давления от источника ИШ-11 в расчётной точке ночью, дБ</b>														
			ф-ла(3)[10]	6	6	10,8	14,9	16,9	8,5	6,1	0	0	16,1	16,1
Требуемое снижение днём, $\Delta L_{треб}$ , дБ			ф-лы (15),(16) [6]	-	-	-	-	-	-23	-22,5	0	0		
Требуемое снижение ночью, $\Delta L_{треб}$ , дБ			ф-лы (15),(16) [6]	-	-	-	-	-	-13	-12,5	0	0		
				65,5	50,6	36,8	25,7	18,6						
				58,5	42,6	27,8	15,7	-8,6						

<b>Источник шума: ИШ-12, координаты источника (x,y,z), м = [2111.07,2349.21,1.00]</b>														
<b>Уровни звуковой мощности источника днём, Lw, дБ</b>		исходные данные	69	69	74	76	79	72	72	70	64			
<b>Уровни звуковой мощности источника ночью, Lw, дБ</b>		исходные данные	69	69	74	76	79	72	72	70	64			
Поправка на телесный угол DΩ, дБ	Ω = 6.28	10Lg(4π/Ω)	3	3	3	3	3	3	3	3	3			
Показатель направленности источника Di, дБ		исходные данные	0	0	0	0	0	0	0	0	0			
Поправка на направленность источника Dc, дБ	Dc	DΩ + Di	3	3	3	3	3	3	3	3	3			
Затухание из-за геометрической дивергенции, Adiv, дБ	расстояние = 319.59 м	φ-ла (7) [10]	61,1											
Коэффициент затухания звука в атмосфере α, дБ/км	Ta=20,°C Pa=101.33,кПа hотн.=70%	φ-ла (5) [9]	0,02	0,09	0,33	1,12	2,79	4,98	9,04	23,09	77,63			
Учет затухания звука в атмосфере Aatm, дБ		φ-ла (8) [10]	0	0	0,1	0,4	0,9	1,6	2,9	7,4	24,8			
<b>Снижение уровня звукового давления из-за влияния застройки между источником шума и расчетной точкой</b>														
Траектория над экраном	Промежуточные точки:	Pss(x,y,z) = (2113.72,2358.48,2.00)	Psr(x,y,z) = (2113.78,2358.68,2.00)	dss = 9.69 м	dsr = 309.74 м	e = 0.21 м	z = 0.05 м							
	Константа C2, учитывающая эффект отражения от земли возле экрана			40	40	40	40	40	40	40	40			
	Константа C3 (дифракция на краях)		φ-ла (15) [10]	1	1	1	1	1	1	1	1,1	1,5		
	Kmet (влияние метеоусловий)		φ-ла (18) [10]	0,2	0,2	0,2	0,2	0,2	0,2	0,2	0,2	0,2		
	Снижение УЗД, Dz, дБ		φ-ла (14) [10]	4,8	4,9	5	5,2	5,6	6,4	7,6	9,6	12,7		
<b>Уровни звукового давления прямого звука от источника ИШ-12 в расчётной точке днём, дБ</b>		φ-ла(3)[10]	6,1	6	10,8	12,3	14,4	6	3,4	0	0	13,6	13,6	
<b>Уровни звукового давления прямого звука от источника ИШ-12 в расчётной точке ночью, дБ</b>		φ-ла(3)[10]	6,1	6	10,8	12,3	14,4	6	3,4	0	0	13,6	13,6	
<b>Расчёт отражённого звука</b>														
<b>Мнимый источник ИШ-12_мн.(1), образованный отражением от поверхности препятствия DXFLayer5_#0</b>														
Координаты точки отражения (x,y,z), м		(2111.2,2348.7,1.0)	Дистанция между ИШ и ИШм: R(ИШ-ИШм) = 0.5м Дистанция между ИШм и РТ: R(ИШм-РТ) = 320.0м											
Коэффициент отражения поверхности р			исходные данные	0,8	0,8	0,8	0,8	0,8	0,8	0,8	0,8	0,8		
Поправка на телесный угол DΩ, дБ	Ω = 6.28	10Lg(4π/Ω)	3	3	3	3	3	3	3	3	3			
Показатель направленности источника Di, дБ		исходные данные	0	0	0	0	0	0	0	0	0			
Поправка на направленность источника Dir, дБ	Dir	DΩ + Di	3	3	3	3	3	3	3	3	3			
<b>Уровни звуковой мощности мнимого источника днём, дБ</b>		φ-ла (20)[10]	71	71	76	78	81	74	74	72	66			
<b>Уровни звуковой мощности мнимого источника ночью, дБ</b>		φ-ла (20)[10]	71	71	76	78	81	74	74	72	66			
Затухание из-за геометрической дивергенции, Adiv, дБ	расстояние = 320.53 м	φ-ла (7) [10]	61,1											
Коэффициент затухания звука в атмосфере α, дБ/км	Ta=20,°C Pa=101.33,кПа hотн.=70%	φ-ла (5) [9]	0,02	0,09	0,33	1,12	2,79	4,98	9,04	23,09	77,63			
Учет затухания звука в атмосфере Aatm, дБ		φ-ла (8) [10]	0	0	0,1	0,4	0,9	1,6	2,9	7,4	24,9			

<b>Снижение уровня звукового давления из-за влияния застройки между источником шума и расчетной точкой</b>														
Траектория над экраном	Промежуточные точки:	$P_{ss}(x,y,z) = (2114.02, 2358.48, 2.00)$	$P_{sr}(x,y,z) = (2114.07, 2358.68, 2.00)$	dss = 10.20 м		dsr = 309.66 м		e = 0.21 м		z = 0.05 м				
	Константа C2, учитывающая эффект отражения от земли возле экрана			40	40	40	40	40	40	40	40	40		
	Константа C3 (дифракция на кромках)			ф-ла (15) [10]	1	1	1	1	1	1	1	1,1	1,5	
	$K_{met}$ (влияние метеоусловий)			ф-ла (18) [10]	0,2	0,2	0,2	0,2	0,2	0,2	0,2	0,2	0,2	
	Снижение УЗД, Dz, дБ			ф-ла (14) [10]	4,8	4,9	5	5,2	5,5	6,2	7,3	9,2	12,2	
Критерий наличия отражения в октавной полосе		$l_{min} = 2$ м		ф-ла (19) [10]	нет	нет	нет	да	да	да	да	да		
Уровни звукового давления от мнимого источника ИШ-12_мн.(1) в расчётной точке днём, дБ			ф-ла(3)[10]	0	0	0	11,4	13,5	5,1	2,7	0	0	12,6	12,6
Уровни звукового давления от мнимого источника ИШ-12_мн.(1) в расчётной точке ночью, дБ			ф-ла(3)[10]	0	0	0	11,4	13,5	5,1	2,7	0	0	12,6	12,6
Уровни звукового давления от источника ИШ-12 в расчётной точке днём, дБ			ф-ла(3)[10]	6,1	6	10,8	14,9	17	8,6	6,1	0	0	16,1	16,1
Уровни звукового давления от источника ИШ-12 в расчётной точке ночью, дБ			ф-ла(3)[10]	6,1	6	10,8	14,9	17	8,6	6,1	0	0	16,1	16,1
Требуемое снижение днём, $\Delta L_{треб}$ , дБ			ф-лы (15),(16) [6]	-	-	-	-	-	-23	-22,5	0	0		
Требуемое снижение ночью, $\Delta L_{треб}$ , дБ			ф-лы (15),(16) [6]	-	-	-	-	-	-13	-12,5	0	0		
<b>Источник шума: ИШ-13, координаты источника (x,y,z), м = [2116.98, 2349.21, 1.00]</b>														
Уровни звуковой мощности источника днём, $L_w$ , дБ			исходные данные	69	69	74	76	79	72	72	70	64		
Уровни звуковой мощности источника ночью, $L_w$ , дБ			исходные данные	69	69	74	76	79	72	72	70	64		
Поправка на телесный угол $D\Omega$ , дБ		$\Omega = 6.28$	$10\lg(4\pi/\Omega)$	3	3	3	3	3	3	3	3	3		
Показатель направленности источника $D_i$ , дБ			исходные данные	0	0	0	0	0	0	0	0	0		
Поправка на направленность источника $D_c$ , дБ		$D_c$	$D\Omega + D_i$	3	3	3	3	3	3	3	3	3		
Затухание из-за геометрической дивергенции, $A_{div}$ , дБ		расстояние = 318.02 м	ф-ла (7) [10]	61										
Коэффициент затухания звука в атмосфере $\alpha$ , дБ/км		$T_a=20, ^\circ C$ $P_a=101.33, \text{кПа}$ хотн.=70%	ф-ла (5) [9]	0,02	0,09	0,33	1,12	2,79	4,98	9,04	23,09	77,63		
Учет затухания звука в атмосфере $A_{atm}$ , дБ			ф-ла (8) [10]	0	0	0,1	0,4	0,9	1,6	2,9	7,3	24,7		
<b>Снижение уровня звукового давления из-за влияния застройки между источником шума и расчетной точкой</b>														
Траектория над экраном	Промежуточные точки:	$P_{ss}(x,y,z) = (2119.44, 2358.47, 2.00)$	$P_{sr}(x,y,z) = (2119.50, 2358.67, 2.00)$	dss = 9.63 м		dsr = 308.23 м		e = 0.21 м		z = 0.05 м				
	Константа C2, учитывающая эффект отражения от земли возле экрана			40	40	40	40	40	40	40	40	40		
	Константа C3 (дифракция на кромках)			ф-ла (15) [10]	1	1	1	1	1	1	1	1,1	1,5	

	$K_{мет}$ (влияние метеоусловий)	ф-ла (18) [10]	0,2	0,2	0,2	0,2	0,2	0,2	0,2	0,2	0,2	0,2		
	Снижение УЗД, Dz, дБ	ф-ла (14) [10]	4,8	4,9	5	5,2	5,7	6,4	7,7	9,7	12,8			
<b>Уровни звукового давления прямого звука от источника ИШ-13 в расчётной точке днём, дБ</b>		ф-ла(3)[10]	<b>6,1</b>	<b>6</b>	<b>10,8</b>	<b>12,4</b>	<b>14,4</b>	<b>6</b>	<b>3,4</b>	<b>0</b>	<b>0</b>	<b>13,6</b>	<b>13,6</b>	
<b>Уровни звукового давления прямого звука от источника ИШ-13 в расчётной точке ночью, дБ</b>		ф-ла(3)[10]	<b>6,1</b>	<b>6</b>	<b>10,8</b>	<b>12,4</b>	<b>14,4</b>	<b>6</b>	<b>3,4</b>	<b>0</b>	<b>0</b>	<b>13,6</b>	<b>13,6</b>	
<b>Расчёт отражённого звука</b>														
<b>Мнимый источник ИШ-13_мн.(1), образованный отражением от поверхности препятствия DXFLayer5_#0</b>														
Координаты точки отражения (x,y,z), м		(2117.1,2348.7,1.0)	Дистанция между ИШ и ИШм: R(ИШ-ИШм) = 0.5м Дистанция между ИШм и РТ: R(ИШм-РТ) = 318.4м											
Коэффициент отражения поверхности $\rho$		исходные данные	0,8	0,8	0,8	0,8	0,8	0,8	0,8	0,8	0,8	0,8		
Поправка на телесный угол $D\Omega$ , дБ		$\Omega = 6.28$	$10\lg(4\pi/\Omega)$	<b>3</b>	3	3	3	3	3	3	3	3		
Показатель направленности источника $D_i$ , дБ			исходные данные	<b>0</b>	0	0	0	0	0	0	0	0		
Поправка на направленность источника $D_{ir}$ , дБ		Dir	$D\Omega + D_i$	<b>3</b>	3	3	3	3	3	3	3	3		
<b>Уровни звуковой мощности мнимого источника днём, дБ</b>		ф-ла (20)[10]	<b>71</b>	<b>71</b>	<b>76</b>	<b>78</b>	<b>81</b>	<b>74</b>	<b>74</b>	<b>72</b>	<b>66</b>			
<b>Уровни звуковой мощности мнимого источника ночью, дБ</b>		ф-ла (20)[10]	<b>71</b>	<b>71</b>	<b>76</b>	<b>78</b>	<b>81</b>	<b>74</b>	<b>74</b>	<b>72</b>	<b>66</b>			
Затухание из-за геометрической дивергенции, $A_{div}$ , дБ		расстояние = 318.96 м	ф-ла (7) [10]	<b>61,1</b>										
Коэффициент затухания звука в атмосфере $\alpha$ , дБ/км		$T_a=20,^{\circ}C$ $P_a=101.33, кПа$ hотн.=70%	ф-ла (5) [9]	0,02	0,09	0,33	1,12	2,79	4,98	9,04	23,09	77,63		
Учет затухания звука в атмосфере $A_{atm}$ , дБ			ф-ла (8) [10]	0	0	0,1	0,4	0,9	1,6	2,9	7,4	24,8		
<b>Снижение уровня звукового давления из-за влияния застройки между источником шума и расчетной точкой</b>														
Траектория над экраном	Промежуточные точки:	$P_{ss}(x,y,z) = (2119.72,2358.47,2.00)$	$P_{sr}(x,y,z) = (2119.77,2358.67,2.00)$	$d_{ss} = 10.13$ м	$d_{sr} = 308.16$ м	$e = 0.21$ м	$z = 0.05$ м							
	Константа C2, учитывающая эффект отражения от земли возле экрана			40	40	40	40	40	40	40	40	40		
	Константа C3 (дифракция на кромках)			ф-ла (15) [10]	1	1	1	1	1	1	1	1,1	1,5	
	$K_{мет}$ (влияние метеоусловий)			ф-ла (18) [10]	0,2	0,2	0,2	0,2	0,2	0,2	0,2	0,2	0,2	
Снижение УЗД, Dz, дБ			ф-ла (14) [10]	4,8	4,9	5	5,2	5,6	6,2	7,4	9,3	12,3		
Критерий наличия отражения в октавной полосе		$l_{min} = 2$ м	ф-ла (19)[10]	нет	нет	да	да	да	да	да	да	да		
<b>Уровни звукового давления от мнимого источника ИШ-13_мн.(1) в расчётной точке днём, дБ</b>			ф-ла(3)[10]	<b>0</b>	<b>0</b>	<b>9,9</b>	<b>11,4</b>	<b>13,5</b>	<b>5,1</b>	<b>2,7</b>	<b>0</b>	<b>0</b>	<b>12,7</b>	<b>12,7</b>
<b>Уровни звукового давления от мнимого источника ИШ-13_мн.(1) в расчётной точке ночью, дБ</b>			ф-ла(3)[10]	<b>0</b>	<b>0</b>	<b>9,9</b>	<b>11,4</b>	<b>13,5</b>	<b>5,1</b>	<b>2,7</b>	<b>0</b>	<b>0</b>	<b>12,7</b>	<b>12,7</b>
<b>Уровни звукового давления от источника ИШ-13 в расчётной точке днём, дБ</b>			ф-ла(3)[10]	<b>6,1</b>	<b>6</b>	<b>13,4</b>	<b>14,9</b>	<b>17</b>	<b>8,6</b>	<b>6,1</b>	<b>0</b>	<b>0</b>	<b>16,2</b>	<b>16,2</b>
<b>Уровни звукового давления от источника ИШ-13 в расчётной точке ночью, дБ</b>			ф-ла(3)[10]	<b>6,1</b>	<b>6</b>	<b>13,4</b>	<b>14,9</b>	<b>17</b>	<b>8,6</b>	<b>6,1</b>	<b>0</b>	<b>0</b>	<b>16,2</b>	<b>16,2</b>

Требуемое снижение днём, $\Delta L_{\text{треб}}$ , дБ	ф-лы (15),(16) [6]	-	-	-	-	-	-	-23	-22,5	0	0		
Требуемое снижение ночью, $\Delta L_{\text{треб}}$ , дБ	ф-лы (15),(16) [6]	-	-	-	-	-	-	-8,6	-13	-12,5	0	0	
<b>Источник шума: ИШ-14, координаты источника (x,y,z), м =[2122.69,2349.21,1.00]</b>													
<b>Уровни звуковой мощности источника днём, <math>L_w</math>, дБ</b>	исходные данные	<b>69</b>	<b>69</b>	<b>74</b>	<b>76</b>	<b>79</b>	<b>72</b>	<b>72</b>	<b>70</b>	<b>64</b>			
<b>Уровни звуковой мощности источника ночью, <math>L_w</math>, дБ</b>	исходные данные	<b>69</b>	<b>69</b>	<b>74</b>	<b>76</b>	<b>79</b>	<b>72</b>	<b>72</b>	<b>70</b>	<b>64</b>			
Поправка на телесный угол $D\Omega$ , дБ	$\Omega = 6.28$	$10Lg(4\pi/\Omega)$	<b>3</b>	3	3	3	3	3	3	3	3		
Показатель направленности источника $D_i$ , дБ		исходные данные	<b>0</b>	0	0	0	0	0	0	0	0		
Поправка на направленность источника $D_c$ , дБ	$D_c$	$D\Omega + D_i$	<b>3</b>	3	3	3	3	3	3	3	3		
Затухание из-за геометрической дивергенции, $A_{div}$ , дБ	расстояние = 316.59 м	ф-ла (7) [10]	<b>61</b>										
Коэффициент затухания звука в атмосфере $\alpha$ , дБ/км	$T_a=20,^{\circ}C$ $P_a=101.33, \text{кПа}$ нотн.=70%	ф-ла (5) [9]	0,02	0,09	0,33	1,12	2,79	4,98	9,04	23,09	77,63		
Учет затухания звука в атмосфере $A_{atm}$ , дБ		ф-ла (8) [10]	0	0	0,1	0,4	0,9	1,6	2,9	7,3	24,6		
<b>Снижение уровня звукового давления из-за влияния застройки между источником шума и расчетной точкой</b>													
Траектория над экраном	Промежуточные точки:	$P_{ss}(x,y,z) = (2124.98,2358.45,2.00)$	$P_{sr}(x,y,z) = (2125.03,2358.65,2.00)$	$d_{ss} = 9.58 \text{ м}$	$d_{sr} = 306.86 \text{ м}$	$e = 0.21 \text{ м}$	$z = 0.05 \text{ м}$						
	Константа $C_2$ , учитывающая эффект отражения от земли возле экрана			40	40	40	40	40	40	40	40		
	Константа $C_3$ (дифракция на кромках)	ф-ла (15) [10]		1	1	1	1	1	1	1,1	1,5		
	$K_{\text{мет}}$ (влияние метеоусловий)	ф-ла (18) [10]		0,2	0,2	0,2	0,2	0,2	0,2	0,2	0,2		
	Снижение УЗД, $D_z$ , дБ	ф-ла (14) [10]		4,8	4,9	5	5,2	5,7	6,4	7,7	9,7	12,9	
<b>Уровни звукового давления прямого звука от источника ИШ-14 в расчётной точке днём, дБ</b>	ф-ла(3)[10]	<b>6,2</b>	<b>6,1</b>	<b>10,9</b>	<b>12,4</b>	<b>14,4</b>	<b>6</b>	<b>3,4</b>	<b>0</b>	<b>0</b>	<b>13,6</b>	<b>13,6</b>	
<b>Уровни звукового давления прямого звука от источника ИШ-14 в расчётной точке ночью, дБ</b>	ф-ла(3)[10]	<b>6,2</b>	<b>6,1</b>	<b>10,9</b>	<b>12,4</b>	<b>14,4</b>	<b>6</b>	<b>3,4</b>	<b>0</b>	<b>0</b>	<b>13,6</b>	<b>13,6</b>	
<b>Расчёт отражённого звука</b>													
<b>Мнимый источник ИШ-14_мн.(1), образованный отражением от поверхности препятствия DXFLayer5_#0</b>													
Координаты точки отражения (x,y,z), м	(2122.8,2348.7,1.0)	Дистанция между ИШ и ИШм: $R(\text{ИШ-ИШм}) = 0.5\text{м}$ Дистанция между ИШм и РТ: $R(\text{ИШм-РТ}) = 317.0\text{м}$											
Коэффициент отражения поверхности $\rho$		исходные данные	0,8	0,8	0,8	0,8	0,8	0,8	0,8	0,8	0,8		
Поправка на телесный угол $D\Omega$ , дБ	$\Omega = 6.28$	$10Lg(4\pi/\Omega)$	<b>3</b>	3	3	3	3	3	3	3	3		
Показатель направленности источника $D_i$ , дБ		исходные данные	<b>0</b>	0	0	0	0	0	0	0	0		
Поправка на направленность источника $D_{ir}$ , дБ	$D_{ir}$	$D\Omega + D_i$	<b>3</b>	3	3	3	3	3	3	3	3		
<b>Уровни звуковой мощности мнимого источника днём, дБ</b>	ф-ла (20)[10]	<b>71</b>	<b>71</b>	<b>76</b>	<b>78</b>	<b>81</b>	<b>74</b>	<b>74</b>	<b>72</b>	<b>66</b>			
<b>Уровни звуковой мощности мнимого источника ночью, дБ</b>	ф-ла (20)[10]	<b>71</b>	<b>71</b>	<b>76</b>	<b>78</b>	<b>81</b>	<b>74</b>	<b>74</b>	<b>72</b>	<b>66</b>			
Затухание из-за геометрической дивергенции, $A_{div}$ , дБ	расстояние = 317.54 м	ф-ла (7) [10]	<b>61</b>										

Коэффициент затухания звука в атмосфере $\alpha$ , дБ/км	$T_a=20,^{\circ}\text{C}$ $P_a=101.33, \text{кПа}$ нотн.=70%	ф-ла (5) [9]	0,02	0,09	0,33	1,12	2,79	4,98	9,04	23,09	77,63			
Учет затухания звука в атмосфере $A_{atm}$ , дБ		ф-ла (8) [10]	0	0	0,1	0,4	0,9	1,6	2,9	7,3	24,7			
<b>Снижение уровня звукового давления из-за влияния застройки между источником шума и расчетной точкой</b>														
Траектория над экраном	Промежуточные точки:	$P_{ss}(x,y,z) = (2125.24, 2358.45, 2.00)$	$P_{sr}(x,y,z) = (2125.29, 2358.65, 2.00)$	$d_{ss} = 10.07 \text{ м}$	$d_{sr} = 306.80 \text{ м}$	$e = 0.21 \text{ м}$		$z = 0.05 \text{ м}$						
	Константа $C_2$ , учитывающая эффект отражения от земли возле экрана			40	40	40	40	40	40	40	40	40		
	Константа $C_3$ (дифракция на кромках)	ф-ла (15) [10]		1	1	1	1	1	1	1	1,1	1,5		
	$K_{мет}$ (влияние метеоусловий)	ф-ла (18) [10]		0,2	0,2	0,2	0,2	0,2	0,2	0,2	0,2	0,2		
Снижение УЗД, $D_z$ , дБ	ф-ла (14) [10]		4,8	4,9	5	5,2	5,6	6,3	7,4	9,3	12,4			
Критерий наличия отражения в октавной полосе	$l_{min} = 2 \text{ м}$	ф-ла (19)[10]	нет	нет	да	да	да	да	да	да	да			
Уровни звукового давления от мнимого источника ИШ-14_мн.(1) в расчётной точке днём, дБ	ф-ла(3)[10]		0	0	9,9	11,5	13,5	5,2	2,7	0	0	12,7	12,7	
Уровни звукового давления от мнимого источника ИШ-14_мн.(1) в расчётной точке ночью, дБ	ф-ла(3)[10]		0	0	9,9	11,5	13,5	5,2	2,7	0	0	12,7	12,7	
Уровни звукового давления от источника ИШ-14 в расчётной точке днём, дБ	ф-ла(3)[10]		6,2	6,1	13,4	15	17	8,6	6,1	0	0	16,2	16,2	
Уровни звукового давления от источника ИШ-14 в расчётной точке ночью, дБ	ф-ла(3)[10]		6,2	6,1	13,4	15	17	8,6	6,1	0	0	16,2	16,2	
Требуемое снижение днём, $\Delta L_{треб}$ , дБ	ф-лы (15),(16) [6]		-	-	-	-	-	-23	-22,5	0	0			
Требуемое снижение ночью, $\Delta L_{треб}$ , дБ	ф-лы (15),(16) [6]		-	-	-	-	-8,5	-13	-12,5	0	0			
<b>Источник шума: ИШ-15, координаты источника (x,y,z), м =[2128.98,2349.30,1.00]</b>														
Уровни звуковой мощности источника днём, $L_w$ , дБ	исходные данные		69	69	74	76	79	72	72	70	64			
Уровни звуковой мощности источника ночью, $L_w$ , дБ	исходные данные		69	69	74	76	79	72	72	70	64			
Поправка на телесный угол $D_{\Omega}$ , дБ	$\Omega = 6.28$	$10\lg(4\pi/\Omega)$	3	3	3	3	3	3	3	3	3			
Показатель направленности источника $D_i$ , дБ	исходные данные		0	0	0	0	0	0	0	0	0			
Поправка на направленность источника $D_c$ , дБ	$D_c$	$D_{\Omega} + D_i$	3	3	3	3	3	3	3	3	3			
Затухание из-за геометрической дивергенции, $A_{div}$ , дБ	расстояние = 315.05 м	ф-ла (7) [10]	61											
Коэффициент затухания звука в атмосфере $\alpha$ , дБ/км	$T_a=20,^{\circ}\text{C}$ $P_a=101.33, \text{кПа}$ нотн.=70%	ф-ла (5) [9]	0,02	0,09	0,33	1,12	2,79	4,98	9,04	23,09	77,63			
Учет затухания звука в атмосфере $A_{atm}$ , дБ		ф-ла (8) [10]	0	0	0,1	0,4	0,9	1,6	2,8	7,3	24,5			
<b>Снижение уровня звукового давления из-за влияния застройки между источником шума и расчетной точкой</b>														

Траектория над экраном	Промежуточные точки:	$P_{ss}(x,y,z) = (2131.06, 2358.44, 2.00)$	$P_{sr}(x,y,z) = (2131.10, 2358.64, 2.00)$	dss = 9.43 м		dsr = 305.47 м		e = 0.21 м		z = 0.05 м				
	Константа C2, учитывающая эффект отражения от земли возле экрана			40	40	40	40	40	40	40	40	40		
	Константа C3 (дифракция на кромках)			ф-ла (15) [10]	1	1	1	1	1	1	1	1,1	1,5	
	$K_{мет}$ (влияние метеоусловий)			ф-ла (18) [10]	0,2	0,2	0,2	0,2	0,2	0,2	0,2	0,2	0,2	
	Снижение УЗД, Dz, дБ			ф-ла (14) [10]	4,8	4,9	5	5,3	5,7	6,5	7,8	9,8	13	
<b>Уровни звукового давления прямого звука от источника ИШ-15 в расчётной точке днём, дБ</b>			ф-ла(3)[10]	<b>6,2</b>	<b>6,1</b>	<b>10,9</b>	<b>12,4</b>	<b>14,5</b>	<b>6</b>	<b>3,4</b>	<b>0</b>	<b>0</b>	<b>13,6</b>	<b>13,6</b>
<b>Уровни звукового давления прямого звука от источника ИШ-15 в расчётной точке ночью, дБ</b>			ф-ла(3)[10]	<b>6,2</b>	<b>6,1</b>	<b>10,9</b>	<b>12,4</b>	<b>14,5</b>	<b>6</b>	<b>3,4</b>	<b>0</b>	<b>0</b>	<b>13,6</b>	<b>13,6</b>
<b>Расчёт отражённого звука</b>														
<b>Мнимый источник ИШ-15_мн.(1), образованный отражением от поверхности препятствия DXFLayer5_#0</b>														
Координаты точки отражения (x,y,z), м		(2129.1, 2348.7, 1.0)	Дистанция между ИШ и ИШм: R(ИШ-ИШм) = 0.6м Дистанция между ИШм и РТ: R(ИШм-РТ) = 315.6м											
Коэффициент отражения поверхности $\rho$		исходные данные	0,8	0,8	0,8	0,8	0,8	0,8	0,8	0,8	0,8	0,8		
Поправка на телесный угол $D\Omega$ , дБ		$\Omega = 6.28$	$10Lg(4\pi/\Omega)$	3	3	3	3	3	3	3	3	3		
Показатель направленности источника $D_i$ , дБ		исходные данные	0	0	0	0	0	0	0	0	0	0		
Поправка на направленность источника $Dir$ , дБ		$Dir$	$D\Omega + D_i$	3	3	3	3	3	3	3	3	3		
<b>Уровни звуковой мощности мнимого источника днём, дБ</b>			ф-ла (20)[10]	<b>71</b>	<b>71</b>	<b>76</b>	<b>78</b>	<b>81</b>	<b>74</b>	<b>74</b>	<b>72</b>	<b>66</b>		
<b>Уровни звуковой мощности мнимого источника ночью, дБ</b>			ф-ла (20)[10]	<b>71</b>	<b>71</b>	<b>76</b>	<b>78</b>	<b>81</b>	<b>74</b>	<b>74</b>	<b>72</b>	<b>66</b>		
Затухание из-за геометрической дивергенции, $A_{div}$ , дБ		расстояние = 316.18 м	ф-ла (7) [10]	<b>61</b>										
Коэффициент затухания звука в атмосфере $\alpha$ , дБ/км		$T_a=20,^{\circ}C$ $P_a=101.33, кПа$ хотн.=70%	ф-ла (5) [9]	0,02	0,09	0,33	1,12	2,79	4,98	9,04	23,09	77,63		
Учет затухания звука в атмосфере $A_{atm}$ , дБ			ф-ла (8) [10]	0	0	0,1	0,4	0,9	1,6	2,9	7,3	24,5		
<b>Снижение уровня звукового давления из-за влияния застройки между источником шума и расчетной точкой</b>														
Траектория над экраном	Промежуточные точки:	$P_{ss}(x,y,z) = (2131.33, 2358.44, 2.00)$	$P_{sr}(x,y,z) = (2131.38, 2358.64, 2.00)$	dss = 10.01 м		dsr = 305.41 м		e = 0.20 м		z = 0.05 м				
	Константа C2, учитывающая эффект отражения от земли возле экрана			40	40	40	40	40	40	40	40	40		
	Константа C3 (дифракция на кромках)			ф-ла (15) [10]	1	1	1	1	1	1	1	1,1	1,5	
	$K_{мет}$ (влияние метеоусловий)			ф-ла (18) [10]	0,2	0,2	0,2	0,2	0,2	0,2	0,2	0,2	0,2	
	Снижение УЗД, Dz, дБ			ф-ла (14) [10]	4,8	4,9	5	5,2	5,6	6,3	7,5	9,4	12,5	
Критерий наличия отражения в октавной полосе		$l_{min} = 2 м$	ф-ла (19)[10]	нет	нет	нет	да	да	да	да	да	да		
<b>Уровни звукового давления от мнимого источника ИШ-15_мн.(1) в расчётной точке днём, дБ</b>			ф-ла(3)[10]	<b>0</b>	<b>0</b>	<b>0</b>	<b>11,5</b>	<b>13,6</b>	<b>5,2</b>	<b>2,7</b>	<b>0</b>	<b>0</b>	<b>12,7</b>	<b>12,7</b>
<b>Уровни звукового давления от мнимого источника ИШ-15_мн.(1) в расчётной точке ночью, дБ</b>			ф-ла(3)[10]	<b>0</b>	<b>0</b>	<b>0</b>	<b>11,5</b>	<b>13,6</b>	<b>5,2</b>	<b>2,7</b>	<b>0</b>	<b>0</b>	<b>12,7</b>	<b>12,7</b>

Уровни звукового давления от источника ИШ-15 в расчётной точке днём, дБ		ф-ла(3)[10]	6,2	6,1	10,9	15	17	8,6	6,1	0	0	16,2	16,2	
Уровни звукового давления от источника ИШ-15 в расчётной точке ночью, дБ		ф-ла(3)[10]	6,2	6,1	10,9	15	17	8,6	6,1	0	0	16,2	16,2	
Требуемое снижение днём, $\Delta L_{\text{треб}}$ , дБ		ф-лы (15),(16) [6]	-	-	-	-	-	-23	-22,5	0	0			
Требуемое снижение ночью, $\Delta L_{\text{треб}}$ , дБ		ф-лы (15),(16) [6]	-	-	-	-	-	-8,5	-13	-12,5	0	0		
<b>Источник шума: ИШ-16, координаты источника (x,y,z), м = [2134.88,2349.30,1.00]</b>														
Уровни звуковой мощности источника днём, $L_w$ , дБ		исходные данные	69	69	74	76	79	72	72	70	64			
Уровни звуковой мощности источника ночью, $L_w$ , дБ		исходные данные	69	69	74	76	79	72	72	70	64			
Поправка на телесный угол $D\Omega$ , дБ		$\Omega = 6.28$	$10\lg(4\pi/\Omega)$	3	3	3	3	3	3	3	3			
Показатель направленности источника $D_i$ , дБ			исходные данные	0	0	0	0	0	0	0	0			
Поправка на направленность источника $D_c$ , дБ		$D_c$	$D\Omega + D_i$	3	3	3	3	3	3	3	3			
Затухание из-за геометрической дивергенции, $A_{div}$ , дБ		расстояние = 313.79 м	ф-ла (7) [10]	60,9										
Коэффициент затухания звука в атмосфере $\alpha$ , дБ/км		$T_a=20,^{\circ}\text{C}$ $P_a=101.33, \text{кПа}$ нотн.=70%	ф-ла (5) [9]	0,02	0,09	0,33	1,12	2,79	4,98	9,04	23,09	77,63		
Учет затухания звука в атмосфере $A_{atm}$ , дБ			ф-ла (8) [10]	0	0	0,1	0,4	0,9	1,6	2,8	7,2	24,4		
<b>Снижение уровня звукового давления из-за влияния застройки между источником шума и расчетной точкой</b>														
Траектория над экраном		Промежуточные точки:	$P_{ss}(x,y,z) = (2136.78,2358.43,2.00)$	$P_{sr}(x,y,z) = (2136.83,2358.63,2.00)$	$d_{ss} = 9.38 \text{ м}$	$d_{sr} = 304.27 \text{ м}$	$e = 0.20 \text{ м}$	$z = 0.05 \text{ м}$						
		Константа $C_2$ , учитывающая эффект отражения от земли возле экрана			40	40	40	40	40	40	40	40		
		Константа $C_3$ (дифракция на кромках)		ф-ла (15) [10]	1	1	1	1	1	1	1	1,1	1,5	
		$K_{\text{мет}}$ (влияние метеоусловий)		ф-ла (18) [10]	0,2	0,2	0,2	0,2	0,2	0,2	0,2	0,2	0,2	
		Снижение УЗД, $D_z$ , дБ		ф-ла (14) [10]	4,8	4,9	5	5,3	5,7	6,5	7,8	9,9	13,1	
Уровни звукового давления прямого звука от источника ИШ-16 в расчётной точке днём, дБ			ф-ла(3)[10]	6,2	6,1	10,9	12,5	14,5	6	3,4	0	0	13,6	13,6
Уровни звукового давления прямого звука от источника ИШ-16 в расчётной точке ночью, дБ			ф-ла(3)[10]	6,2	6,1	10,9	12,5	14,5	6	3,4	0	0	13,6	13,6
<b>Расчёт отражённого звука</b>														
<b>Мнимый источник ИШ-16_мн.(1), образованный отражением от поверхности препятствия DXFLayer5_#0</b>														
Координаты точки отражения (x,y,z), м		(2135.0,2348.7,1.0)	Дистанция между ИШ и ИШм: $R(\text{ИШ}-\text{ИШм}) = 0.6 \text{ м}$ Дистанция между ИШм и РТ: $R(\text{ИШм}-\text{РТ}) = 314.3 \text{ м}$											
Коэффициент отражения поверхности $\rho$			исходные данные	0,8	0,8	0,8	0,8	0,8	0,8	0,8	0,8	0,8		
Поправка на телесный угол $D\Omega$ , дБ		$\Omega = 6.28$	$10\lg(4\pi/\Omega)$	3	3	3	3	3	3	3	3			
Показатель направленности источника $D_i$ , дБ			исходные данные	0	0	0	0	0	0	0	0			
Поправка на направленность источника $D_{ir}$ , дБ		$D_{ir}$	$D\Omega + D_i$	3	3	3	3	3	3	3	3			

<b>Уровни звуковой мощности мнимого источника днём, дБ</b>			ф-ла (20)[10]	71	71	76	78	81	74	74	72	66				
<b>Уровни звуковой мощности мнимого источника ночью, дБ</b>			ф-ла (20)[10]	71	71	76	78	81	74	74	72	66				
Затухание из-за геометрической дивергенции, Adiv, дБ	расстояние = 314.93 м	ф-ла (7) [10]	61													
Коэффициент затухания звука в атмосфере $\alpha$ , дБ/км	Ta=20,°C Pa=101.33,кПа hотн.=70%	ф-ла (5) [9]	0,02	0,09	0,33	1,12	2,79	4,98	9,04	23,09	77,63					
Учет затухания звука в атмосфере Aatm, дБ		ф-ла (8) [10]	0	0	0,1	0,4	0,9	1,6	2,8	7,3	24,4					
<b>Снижение уровня звукового давления из-за влияния застройки между источником шума и расчетной точкой</b>																
Траектория над экраном	Промежуточные точки:	Pss(x,y,z) = (2137.04,2358.43,2.00)	Psr(x,y,z) = (2137.08,2358.63,2.00)	dss = 9.96 м	dsr = 304.22 м	e = 0.20 м	z = 0.05 м									
	Константа C2, учитывающая эффект отражения от земли возле экрана			40	40	40	40	40	40	40	40					
	Константа C3 (дифракция на краях)	ф-ла (15) [10]			1	1	1	1	1	1	1,1	1,5				
	Kмет (влияние метеосудловий)	ф-ла (18) [10]			0,2	0,2	0,2	0,2	0,2	0,2	0,2	0,2				
	Снижение Узд, Dz, дБ	ф-ла (14) [10]			4,8	4,9	5	5,2	5,6	6,3	7,5	9,4	12,5			
Критерий наличия отражения в октавной полосе	lmin = 2 м	ф-ла (19)[10]	нет	нет	да	да	да	да	да	да	да					
<b>Уровни звукового давления от мнимого источника ИШ-16_мн.(1) в расчётной точке днём, дБ</b>			ф-ла(3)[10]	0	0	10	11,5	13,6	5,2	2,7	0	0	12,8	12,8		
<b>Уровни звукового давления от мнимого источника ИШ-16_мн.(1) в расчётной точке ночью, дБ</b>			ф-ла(3)[10]	0	0	10	11,5	13,6	5,2	2,7	0	0	12,8	12,8		
<b>Уровни звукового давления от источника ИШ-16 в расчётной точке днём, дБ</b>																
			ф-ла(3)[10]	6,2	6,1	13,5	15	17,1	8,6	6,1	0	0	16,2	16,2		
<b>Уровни звукового давления от источника ИШ-16 в расчётной точке ночью, дБ</b>																
			ф-ла(3)[10]	6,2	6,1	13,5	15	17,1	8,6	6,1	0	0	16,2	16,2		
Требуемое снижение днём, $\Delta L_{\text{треб}}$ , дБ			ф-лы (15),(16) [6]	-	-	-	-	-	-23	-22,5	0	0				
Требуемое снижение ночью, $\Delta L_{\text{треб}}$ , дБ			ф-лы (15),(16) [6]	-	-	-	-	-8,5	-13	-12,5	0	0				
<b>Источник шума: ИШ-17, координаты источника (x,y,z), м = [2140.79,2349.30,1.00]</b>																
<b>Уровни звуковой мощности источника днём, Lw, дБ</b>			исходные данные	69	69	74	76	79	72	72	70	64				
<b>Уровни звуковой мощности источника ночью, Lw, дБ</b>			исходные данные	69	69	74	76	79	72	72	70	64				
Поправка на телесный угол D $\Omega$ , дБ			$\Omega = 6.28$	10Lg(4 $\pi$ / $\Omega$ )	3	3	3	3	3	3	3	3				
Показатель направленности источника Di, дБ				исходные данные	0	0	0	0	0	0	0	0				
Поправка на направленность источника Dc, дБ			Dc	D $\Omega$ + Di	3	3	3	3	3	3	3	3				
Затухание из-за геометрической дивергенции, Adiv, дБ			расстояние = 312.64 м	ф-ла (7) [10]	60,9											

Коэффициент затухания звука в атмосфере $\alpha$ , дБ/км	$T_a=20,^{\circ}\text{C}$ $P_a=101.33, \text{кПа}$ нотн.=70%	ф-ла (5) [9]	0,02	0,09	0,33	1,12	2,79	4,98	9,04	23,09	77,63			
Учет затухания звука в атмосфере $A_{atm}$ , дБ		ф-ла (8) [10]	0	0	0,1	0,4	0,9	1,6	2,8	7,2	24,3			
<b>Снижение уровня звукового давления из-за влияния застройки между источником шума и расчетной точкой</b>														
Траектория над экраном	Промежуточные точки:	$P_{ss}(x,y,z) = (2142.51, 2358.41, 2.00)$	$P_{sr}(x,y,z) = (2142.55, 2358.61, 2.00)$	$d_{ss} = 9.33 \text{ м}$		$d_{sr} = 303.16 \text{ м}$		$e = 0.20 \text{ м}$		$z = 0.05 \text{ м}$				
	Константа $C_2$ , учитывающая эффект отражения от земли возле экрана			40	40	40	40	40	40	40	40	40		
	Константа $C_3$ (дифракция на кромках)	ф-ла (15) [10]		1	1	1	1	1	1	1	1,1	1,5		
	$K_{мет}$ (влияние метеословий)	ф-ла (18) [10]		0,2	0,2	0,2	0,2	0,2	0,2	0,2	0,2	0,2		
	Снижение УЗД, $D_z$ , дБ	ф-ла (14) [10]		4,8	4,9	5	5,3	5,7	6,6	7,9	9,9	13,2		
<b>Уровни звукового давления прямого звука от источника ИШ-17 в расчётной точке днём, дБ</b>	ф-ла(3)[10]		<b>6,3</b>	<b>6,2</b>	<b>11</b>	<b>12,5</b>	<b>14,5</b>	<b>6</b>	<b>3,4</b>	<b>0</b>	<b>0</b>	<b>13,6</b>	<b>13,6</b>	
<b>Уровни звукового давления прямого звука от источника ИШ-17 в расчётной точке ночью, дБ</b>	ф-ла(3)[10]		<b>6,3</b>	<b>6,2</b>	<b>11</b>	<b>12,5</b>	<b>14,5</b>	<b>6</b>	<b>3,4</b>	<b>0</b>	<b>0</b>	<b>13,6</b>	<b>13,6</b>	
<b>Расчёт отражённого звука</b>														
<b>Мнимый источник ИШ-17_мн.(1), образованный отражением от поверхности препятствия DXFLayer5_#0</b>														
Координаты точки отражения (x,y,z), м	(2140.9,2348.7,1.0)	Дистанция между ИШ и ИШм: $R(\text{ИШ}-\text{ИШм}) = 0.6\text{м}$ Дистанция между ИШм и РТ: $R(\text{ИШм}-\text{РТ}) = 313.2\text{м}$												
Коэффициент отражения поверхности $\rho$	исходные данные		0,8	0,8	0,8	0,8	0,8	0,8	0,8	0,8	0,8	0,8		
Поправка на телесный угол $D\Omega$ , дБ	$\Omega = 6.28$	$10\lg(4\pi/\Omega)$		<b>3</b>	3	3	3	3	3	3	3	3		
Показатель направленности источника $D_i$ , дБ	исходные данные		<b>0</b>	0	0	0	0	0	0	0	0	0		
Поправка на направленность источника $Dir$ , дБ	$Dir$	$D\Omega + D_i$		<b>3</b>	3	3	3	3	3	3	3	3		
<b>Уровни звуковой мощности мнимого источника днём, дБ</b>	ф-ла (20)[10]		<b>71</b>	<b>71</b>	<b>76</b>	<b>78</b>	<b>81</b>	<b>74</b>	<b>74</b>	<b>72</b>	<b>66</b>			
<b>Уровни звуковой мощности мнимого источника ночью, дБ</b>	ф-ла (20)[10]		<b>71</b>	<b>71</b>	<b>76</b>	<b>78</b>	<b>81</b>	<b>74</b>	<b>74</b>	<b>72</b>	<b>66</b>			
Затухание из-за геометрической дивергенции, $A_{div}$ , дБ	расстояние = 313.78 м	ф-ла (7) [10]		<b>60,9</b>										
Коэффициент затухания звука в атмосфере $\alpha$ , дБ/км	$T_a=20,^{\circ}\text{C}$ $P_a=101.33, \text{кПа}$ нотн.=70%	ф-ла (5) [9]	0,02	0,09	0,33	1,12	2,79	4,98	9,04	23,09	77,63			
Учет затухания звука в атмосфере $A_{atm}$ , дБ		ф-ла (8) [10]	0	0	0,1	0,4	0,9	1,6	2,8	7,2	24,4			
<b>Снижение уровня звукового давления из-за влияния застройки между источником шума и расчетной точкой</b>														
Траектория над экраном	Промежуточные точки:	$P_{ss}(x,y,z) = (2142.74, 2358.41, 2.00)$	$P_{sr}(x,y,z) = (2142.78, 2358.61, 2.00)$	$d_{ss} = 9.91 \text{ м}$		$d_{sr} = 303.12 \text{ м}$		$e = 0.20 \text{ м}$		$z = 0.05 \text{ м}$				
	Константа $C_2$ , учитывающая эффект отражения от земли возле экрана			40	40	40	40	40	40	40	40	40		
	Константа $C_3$ (дифракция на кромках)	ф-ла (15) [10]		1	1	1	1	1	1	1	1,1	1,5		
	$K_{мет}$ (влияние метеословий)	ф-ла (18) [10]		0,2	0,2	0,2	0,2	0,2	0,2	0,2	0,2	0,2		
	Снижение УЗД, $D_z$ , дБ	ф-ла (14) [10]		4,8	4,9	5	5,2	5,6	6,3	7,5	9,5	12,6		
Критерий наличия отражения в октавной полосе	$l_{min} = 2 \text{ м}$	ф-ла (19)[10]		нет	нет	да	да	да	да	да	да	да		

Уровни звукового давления от мнимого источника ИШ-17_мн.(1) в расчётной точке днём, дБ	ф-ла(3)[10]	0	0	10	11,5	13,6	5,2	2,7	0	0	12,8	12,8	
Уровни звукового давления от мнимого источника ИШ-17_мн.(1) в расчётной точке ночью, дБ	ф-ла(3)[10]	0	0	10	11,5	13,6	5,2	2,7	0	0	12,8	12,8	
Уровни звукового давления от источника ИШ-17 в расчётной точке днём, дБ	ф-ла(3)[10]	6,3	6,2	13,5	15	17,1	8,6	6,1	0	0	16,2	16,2	
Уровни звукового давления от источника ИШ-17 в расчётной точке ночью, дБ	ф-ла(3)[10]	6,3	6,2	13,5	15	17,1	8,6	6,1	0	0	16,2	16,2	
Требуемое снижение днём, $\Delta L_{\text{треб}}$ , дБ	ф-лы (15),(16) [6]	-	-	-34	-	-	-22,9	-22,5	0	0			
Требуемое снижение ночью, $\Delta L_{\text{треб}}$ , дБ	ф-лы (15),(16) [6]	-	-	-25	-	-	-12,9	-12,5	0	0			
<b>Источник шума: ИШ-18, координаты источника (x,y,z), м =[2146.88,2349.21,1.00]</b>													
Уровни звуковой мощности источника днём, $L_w$ , дБ	исходные данные	69	69	74	76	79	72	72	70	64			
Уровни звуковой мощности источника ночью, $L_w$ , дБ	исходные данные	69	69	74	76	79	72	72	70	64			
Поправка на телесный угол $D\Omega$ , дБ	$\Omega = 6.28$	$10\lg(4\pi/\Omega)$	3	3	3	3	3	3	3	3			
Показатель направленности источника $D_i$ , дБ		исходные данные	0	0	0	0	0	0	0	0			
Поправка на направленность источника $D_c$ , дБ	$D_c$	$D\Omega + D_i$	3	3	3	3	3	3	3	3			
Затухание из-за геометрической дивергенции, $A_{div}$ , дБ	расстояние = 311.66 м	ф-ла (7) [10]	60,9										
Коэффициент затухания звука в атмосфере $\alpha$ , дБ/км	$T_a=20,^{\circ}\text{C}$ $P_a=101.33, \text{кПа}$ хотн.=70%	ф-ла (5) [9]	0,02	0,09	0,33	1,12	2,79	4,98	9,04	23,09	77,63		
Учет затухания звука в атмосфере $A_{atm}$ , дБ		ф-ла (8) [10]	0	0	0,1	0,4	0,9	1,6	2,8	7,2	24,2		
<b>Снижение уровня звукового давления из-за влияния застройки между источником шума и расчетной точкой</b>													
Траектория над экраном	Промежуточные точки:	$P_{ss}(x,y,z) = (2148.44,2358.40,2.00)$	$P_{sr}(x,y,z) = (2148.47,2358.60,2.00)$	$d_{ss} = 9.38 \text{ м}$	$d_{sr} = 302.13 \text{ м}$	$e = 0.20 \text{ м}$	$z = 0.05 \text{ м}$						
	Константа $C_2$ , учитывающая эффект отражения от земли возле экрана			40	40	40	40	40	40	40	40		
	Константа $C_3$ (дифракция на кромках)		ф-ла (15) [10]	1	1	1	1	1	1	1,1	1,5		
	$K_{\text{мет}}$ (влияние метеоусловий)		ф-ла (18) [10]	0,2	0,2	0,2	0,2	0,2	0,2	0,2	0,2		
	Снижение УЗД, $D_z$ , дБ		ф-ла (14) [10]	4,8	4,9	5	5,3	5,7	6,5	7,9	9,9	13,1	
Уровни звукового давления прямого звука от источника ИШ-18 в расчётной точке днём, дБ	ф-ла(3)[10]	6,3	6,2	11	12,5	14,5	6	3,5	0	0	13,7	13,7	
Уровни звукового давления прямого звука от источника ИШ-18 в расчётной точке ночью, дБ	ф-ла(3)[10]	6,3	6,2	11	12,5	14,5	6	3,5	0	0	13,7	13,7	
<b>Расчёт отражённого звука</b>													
<b>Мнимый источник ИШ-18_мн.(1), образованный отражением от поверхности препятствия DXFLayer5_#0</b>													

Координаты точки отражения (x,y,z), м		(2147.0,2348.7,1.0)	Дистанция между ИШ и ИШм: R(ИШ-ИШм) = 0.5м Дистанция между ИШм и РТ: R(ИШм-РТ) = 312.1м											
Коэффициент отражения поверхности $\rho$			исходные данные	0,8	0,8	0,8	0,8	0,8	0,8	0,8	0,8	0,8		
Поправка на телесный угол $D\Omega$ , дБ		$\Omega = 6.28$	$10\lg(4\pi/\Omega)$	3	3	3	3	3	3	3	3	3		
Показатель направленности источника $D_i$ , дБ			исходные данные	0	0	0	0	0	0	0	0	0		
Поправка на направленность источника $Dir$ , дБ		$Dir$	$D\Omega + D_i$	3	3	3	3	3	3	3	3	3		
<b>Уровни звуковой мощности мнимого источника днём, дБ</b>			<b>ф-ла (20)[10]</b>	<b>71</b>	<b>71</b>	<b>76</b>	<b>78</b>	<b>81</b>	<b>74</b>	<b>74</b>	<b>72</b>	<b>66</b>		
<b>Уровни звуковой мощности мнимого источника ночью, дБ</b>			<b>ф-ла (20)[10]</b>	<b>71</b>	<b>71</b>	<b>76</b>	<b>78</b>	<b>81</b>	<b>74</b>	<b>74</b>	<b>72</b>	<b>66</b>		
Затухание из-за геометрической дивергенции, $A_{div}$ , дБ		расстояние = 312.62 м	ф-ла (7) [10]	<b>60,9</b>										
Коэффициент затухания звука в атмосфере $\alpha$ , дБ/км		$T_a=20,^{\circ}C$ $P_a=101.33,кПа$ ножн.=70%	ф-ла (5) [9]	0,02	0,09	0,33	1,12	2,79	4,98	9,04	23,09	77,63		
Учет затухания звука в атмосфере $A_{atm}$ , дБ			ф-ла (8) [10]	0	0	0,1	0,4	0,9	1,6	2,8	7,2	24,3		
<b>Снижение уровня звукового давления из-за влияния застройки между источником шума и расчетной точкой</b>														
Траектория над экраном	Промежуточные точки:	$P_{ss}(x,y,z) = (2148.61,2358.40,2.00)$	$P_{sr}(x,y,z) = (2148.65,2358.60,2.00)$	$d_{ss} = 9.87$ м	$d_{sr} = 302.10$ м	$e = 0.20$ м	$z = 0.05$ м							
	Константа $C_2$ , учитывающая эффект отражения от земли возле экрана			40	40	40	40	40	40	40	40	40		
	Константа $C_3$ (дифракция на кромках)			ф-ла (15) [10]	1	1	1	1	1	1	1,1	1,5		
	$K_{met}$ (влияние метеоусловий)			ф-ла (18) [10]	0,2	0,2	0,2	0,2	0,2	0,2	0,2	0,2		
	Снижение УЗД, $D_z$ , дБ			ф-ла (14) [10]	4,8	4,9	5	5,2	5,6	6,4	7,6	9,5	12,6	
Критерий наличия отражения в октавной полосе		$l_{min} = 2$ м	ф-ла (19)[10]	нет	нет	да	да	да	да	да	да	да		
<b>Уровни звукового давления от мнимого источника ИШ-18_мн.(1) в расчётной точке днём, дБ</b>			<b>ф-ла(3)[10]</b>	<b>0</b>	<b>0</b>	<b>10</b>	<b>11,6</b>	<b>13,6</b>	<b>5,2</b>	<b>2,7</b>	<b>0</b>	<b>0</b>	<b>12,8</b>	<b>12,8</b>
<b>Уровни звукового давления от мнимого источника ИШ-18_мн.(1) в расчётной точке ночью, дБ</b>			<b>ф-ла(3)[10]</b>	<b>0</b>	<b>0</b>	<b>10</b>	<b>11,6</b>	<b>13,6</b>	<b>5,2</b>	<b>2,7</b>	<b>0</b>	<b>0</b>	<b>12,8</b>	<b>12,8</b>
<b>Уровни звукового давления от источника ИШ-18 в расчётной точке днём, дБ</b>			<b>ф-ла(3)[10]</b>	<b>6,3</b>	<b>6,2</b>	<b>13,6</b>	<b>15,1</b>	<b>17,1</b>	<b>8,7</b>	<b>6,1</b>	<b>0</b>	<b>0</b>	<b>16,3</b>	<b>16,3</b>
<b>Уровни звукового давления от источника ИШ-18 в расчётной точке ночью, дБ</b>			<b>ф-ла(3)[10]</b>	<b>6,3</b>	<b>6,2</b>	<b>13,6</b>	<b>15,1</b>	<b>17,1</b>	<b>8,7</b>	<b>6,1</b>	<b>0</b>	<b>0</b>	<b>16,3</b>	<b>16,3</b>
Требуемое снижение днём, $\Delta L_{треб}$ , дБ			ф-лы (15),(16) [6]	-65,3	-50,4	-34	-25,5	-18,5	-22,9	-22,4	0	0		
Требуемое снижение ночью, $\Delta L_{треб}$ , дБ			ф-лы (15),(16) [6]	-58,3	-42,4	-25	-15,5	-8,5	-12,9	-12,4	0	0		
<b>Источник шума: ИШ-19, координаты источника (x,y,z), м =[2153.17,2349.21,1.00]</b>														
<b>Уровни звуковой мощности источника днём, <math>L_w</math>, дБ</b>			<b>исходные данные</b>	<b>69</b>	<b>69</b>	<b>74</b>	<b>76</b>	<b>79</b>	<b>72</b>	<b>72</b>	<b>70</b>	<b>64</b>		
<b>Уровни звуковой мощности источника ночью, <math>L_w</math>, дБ</b>			<b>исходные данные</b>	<b>69</b>	<b>69</b>	<b>74</b>	<b>76</b>	<b>79</b>	<b>72</b>	<b>72</b>	<b>70</b>	<b>64</b>		
Поправка на телесный угол $D\Omega$ , дБ		$\Omega = 6.28$	$10\lg(4\pi/\Omega)$	3	3	3	3	3	3	3	3	3		

Показатель направленности источника Di, дБ		исходные данные	0	0	0	0	0	0	0	0	0	0		
Поправка на направленность источника Dc, дБ	Dc	DΩ + Di	3	3	3	3	3	3	3	3	3	3		
Затухание из-за геометрической дивергенции, Adiv, дБ	расстояние = 310.67 м	φ-ла (7) [10]	60,8											
Коэффициент затухания звука в атмосфере α, дБ/км	Ta=20,°C Pa=101.33,кПа hотн.=70%	φ-ла (5) [9]	0,02	0,09	0,33	1,12	2,79	4,98	9,04	23,09	77,63			
Учет затухания звука в атмосфере Aatm, дБ		φ-ла (8) [10]	0	0	0,1	0,3	0,9	1,5	2,8	7,2	24,1			
<b>Снижение уровня звукового давления из-за влияния застройки между источником шума и расчетной точкой</b>														
Траектория над экраном	Промежуточные точки:	Pss(x,y,z) = (2154.53,2358.39,2.00)	Psr(x,y,z) = (2154.56,2358.59,2.00)	dss = 9.33 м	dsr = 301.19 м	e = 0.20 м	z = 0.05 м							
	Константа C2, учитывающая эффект отражения от земли возле экрана			40	40	40	40	40	40	40	40	40		
	Константа C3 (дифракция на краях)	φ-ла (15) [10]		1	1	1	1	1	1	1	1,1	1,5		
	Kмет (влияние метеоусловий)	φ-ла (18) [10]		0,2	0,2	0,2	0,2	0,2	0,2	0,2	0,2	0,2		
Снижение УЗД, Dz, дБ	φ-ла (14) [10]		4,8	4,9	5	5,3	5,8	6,6	7,9	10	13,2			
Уровни звукового давления прямого звука от источника ИШ-19 в расчётной точке днём, дБ	φ-ла(3)[10]		6,3	6,2	11	12,5	14,5	6,1	3,5	0	0	13,7	13,7	
Уровни звукового давления прямого звука от источника ИШ-19 в расчётной точке ночью, дБ	φ-ла(3)[10]		6,3	6,2	11	12,5	14,5	6,1	3,5	0	0	13,7	13,7	
<b>Расчёт отражённого звука</b>														
<b>Мнимый источник ИШ-19_мн.(1), образованный отражением от поверхности препятствия DXFLayer5_#0</b>														
Координаты точки отражения (x,y,z), м	(2153.3,2348.7,1.0)	Дистанция между ИШ и ИШм: R(ИШ-ИШм) = 0.5м Дистанция между ИШм и РТ: R(ИШм-РТ) = 311.1м												
Коэффициент отражения поверхности р		исходные данные	0,8	0,8	0,8	0,8	0,8	0,8	0,8	0,8	0,8	0,8		
Поправка на телесный угол DΩ, дБ	Ω = 6.28	10Lg(4π/Ω)	3	3	3	3	3	3	3	3	3	3		
Показатель направленности источника Di, дБ		исходные данные	0	0	0	0	0	0	0	0	0	0		
Поправка на направленность источника Dir, дБ	Dir	DΩ + Di	3	3	3	3	3	3	3	3	3	3		
Уровни звуковой мощности мнимого источника днём, дБ	φ-ла (20)[10]		71	71	76	78	81	74	74	72	66			
Уровни звуковой мощности мнимого источника ночью, дБ	φ-ла (20)[10]		71	71	76	78	81	74	74	72	66			
Затухание из-за геометрической дивергенции, Adiv, дБ	расстояние = 311.64 м	φ-ла (7) [10]	60,9											
Коэффициент затухания звука в атмосфере α, дБ/км	Ta=20,°C Pa=101.33,кПа hотн.=70%	φ-ла (5) [9]	0,02	0,09	0,33	1,12	2,79	4,98	9,04	23,09	77,63			
Учет затухания звука в атмосфере Aatm, дБ		φ-ла (8) [10]	0	0	0,1	0,4	0,9	1,6	2,8	7,2	24,2			
<b>Снижение уровня звукового давления из-за влияния застройки между источником шума и расчетной точкой</b>														
Траектория над экраном	Промежуточные точки:	Pss(x,y,z) = (2154.69,2358.39,2.00)	Psr(x,y,z) = (2154.72,2358.58,2.00)	dss = 9.82 м	dsr = 301.17 м	e = 0.20 м	z = 0.05 м							
	Константа C2, учитывающая эффект отражения от земли возле экрана			40	40	40	40	40	40	40	40	40		

	Константа С3 (дифракция на кромках)	ф-ла (15) [10]	1	1	1	1	1	1	1	1,1	1,5		
	K <sub>мет</sub> (влияние метеоусловий)	ф-ла (18) [10]	0,2	0,2	0,2	0,2	0,2	0,2	0,2	0,2	0,2		
	Снижение УЗД, Dz, дБ	ф-ла (14) [10]	4,8	4,9	5	5,2	5,6	6,4	7,6	9,6	12,7		
Критерий наличия отражения в октавной полосе	l <sub>min</sub> = 2 м	ф-ла (19)[10]	нет	нет	да	да	да	да	да	да	да		
<b>Уровни звукового давления от мнимого источника ИШ-19_мн.(1) в расчётной точке днём, дБ</b>		ф-ла(3)[10]	<b>0</b>	<b>0</b>	<b>10,1</b>	<b>11,6</b>	<b>13,7</b>	<b>5,2</b>	<b>2,7</b>	<b>0</b>	<b>0</b>	<b>12,8</b>	<b>12,8</b>
<b>Уровни звукового давления от мнимого источника ИШ-19_мн.(1) в расчётной точке ночью, дБ</b>		ф-ла(3)[10]	<b>0</b>	<b>0</b>	<b>10,1</b>	<b>11,6</b>	<b>13,7</b>	<b>5,2</b>	<b>2,7</b>	<b>0</b>	<b>0</b>	<b>12,8</b>	<b>12,8</b>
<b>Уровни звукового давления от источника ИШ-19 в расчётной точке днём, дБ</b>													
	ф-ла(3)[10]	<b>6,3</b>	<b>6,2</b>	<b>13,6</b>	<b>15,1</b>	<b>17,1</b>	<b>8,7</b>	<b>6,1</b>	<b>0</b>	<b>0</b>	<b>16,3</b>	<b>16,3</b>	
<b>Уровни звукового давления от источника ИШ-19 в расчётной точке ночью, дБ</b>													
	ф-ла(3)[10]	<b>6,3</b>	<b>6,2</b>	<b>13,6</b>	<b>15,1</b>	<b>17,1</b>	<b>8,7</b>	<b>6,1</b>	<b>0</b>	<b>0</b>	<b>16,3</b>	<b>16,3</b>	
Требуемое снижение днём, ΔL <sub>треб</sub> , дБ	ф-лы (15),(16) [6]	-	-	-34	-	-	-22,9	-22,4	0	0			
		65,3	50,3		25,5	18,4							
Требуемое снижение ночью, ΔL <sub>треб</sub> , дБ	ф-лы (15),(16) [6]	-	-	-25	-	-8,4	-12,9	-12,4	0	0			
		58,3	42,3		15,5								
<b>Источник шума: ИШ-20, координаты источника (x,y,z), м =[2158.89,2349.21,1.00]</b>													
<b>Уровни звуковой мощности источника днём, Lw, дБ</b>		исходные данные	<b>69</b>	<b>69</b>	<b>74</b>	<b>76</b>	<b>79</b>	<b>72</b>	<b>72</b>	<b>70</b>	<b>64</b>		
<b>Уровни звуковой мощности источника ночью, Lw, дБ</b>		исходные данные	<b>69</b>	<b>69</b>	<b>74</b>	<b>76</b>	<b>79</b>	<b>72</b>	<b>72</b>	<b>70</b>	<b>64</b>		
Поправка на телесный угол DΩ, дБ	Ω = 6.28	10Lg(4π/Ω)	<b>3</b>	<b>3</b>	<b>3</b>	<b>3</b>	<b>3</b>	<b>3</b>	<b>3</b>	<b>3</b>	<b>3</b>		
Показатель направленности источника Di, дБ		исходные данные	<b>0</b>	<b>0</b>	<b>0</b>	<b>0</b>	<b>0</b>	<b>0</b>	<b>0</b>	<b>0</b>	<b>0</b>		
Поправка на направленность источника Dc, дБ	Dc	DΩ + Di	<b>3</b>	<b>3</b>	<b>3</b>	<b>3</b>	<b>3</b>	<b>3</b>	<b>3</b>	<b>3</b>	<b>3</b>		
Затухание из-за геометрической дивергенции, Adiv, дБ	расстояние = 309.88 м	ф-ла (7) [10]	<b>60,8</b>										
Коэффициент затухания звука в атмосфере α, дБ/км	Ta=20,°C Pa=101.33,кПа hотн.=70%	ф-ла (5) [9]	0,02	0,09	0,33	1,12	2,79	4,98	9,04	23,09	77,63		
Учет затухания звука в атмосфере Aatm, дБ		ф-ла (8) [10]	0	0	0,1	0,3	0,9	1,5	2,8	7,2	24,1		
<b>Снижение уровня звукового давления из-за влияния застройки между источником шума и расчетной точкой</b>													
Траектория над экраном	Промежуточные точки:	P <sub>ss</sub> (x,y,z) = (2160.08,2358.37,2.00) P <sub>sr</sub> (x,y,z) = (2160.10,2358.57,2.00)	d <sub>ss</sub> = 9.30 м	d <sub>sr</sub> = 300.44 м	e = 0.20 м	z = 0.05 м							
	Константа C2, учитывающая эффект отражения от земли возле экрана		40	40	40	40	40	40	40	40	40		
	Константа С3 (дифракция на кромках)	ф-ла (15) [10]	1	1	1	1	1	1	1	1,1	1,5		
	K <sub>мет</sub> (влияние метеоусловий)	ф-ла (18) [10]	0,2	0,2	0,2	0,2	0,2	0,2	0,2	0,2	0,2		
	Снижение УЗД, Dz, дБ	ф-ла (14) [10]	4,8	4,9	5	5,3	5,8	6,6	7,9	10	13,2		
<b>Уровни звукового давления прямого звука от источника ИШ-20 в расчётной точке днём, дБ</b>		ф-ла(3)[10]	<b>6,3</b>	<b>6,3</b>	<b>11</b>	<b>12,5</b>	<b>14,6</b>	<b>6,1</b>	<b>3,5</b>	<b>0</b>	<b>0</b>	<b>13,7</b>	<b>13,7</b>

<b>Уровни звукового давления прямого звука от источника ИШ-20 в расчётной точке ночью, дБ</b>		ф-ла(3)[10]	6,3	6,3	11	12,5	14,6	6,1	3,5	0	0	13,7	13,7	
<b>Расчёт отражённого звука</b>														
<b>Мнимый источник ИШ-20_мн.(1), образованный отражением от поверхности препятствия DXFLayer5_#0</b>														
Координаты точки отражения (x,y,z), м		(2159.0,2348.7,1.0)	Дистанция между ИШ и ИШм: R(ИШ-ИШм) = 0.5м Дистанция между ИШм и РТ: R(ИШм-РТ) = 310.4м											
Коэффициент отражения поверхности $\rho$		исходные данные	0,8	0,8	0,8	0,8	0,8	0,8	0,8	0,8	0,8	0,8		
Поправка на телесный угол $D\Omega$ , дБ		$\Omega = 6.28$	$10\lg(4\pi/\Omega)$	3	3	3	3	3	3	3	3	3		
Показатель направленности источника $D_i$ , дБ			исходные данные	0	0	0	0	0	0	0	0	0		
Поправка на направленность источника $Dir$ , дБ		$Dir$	$D\Omega + D_i$	3	3	3	3	3	3	3	3	3		
<b>Уровни звуковой мощности мнимого источника днём, дБ</b>		<b>ф-ла (20)[10]</b>	<b>71</b>	<b>71</b>	<b>76</b>	<b>78</b>	<b>81</b>	<b>74</b>	<b>74</b>	<b>72</b>	<b>66</b>			
<b>Уровни звуковой мощности мнимого источника ночью, дБ</b>		<b>ф-ла (20)[10]</b>	<b>71</b>	<b>71</b>	<b>76</b>	<b>78</b>	<b>81</b>	<b>74</b>	<b>74</b>	<b>72</b>	<b>66</b>			
Затухание из-за геометрической дивергенции, $A_{div}$ , дБ		расстояние = 310.85 м	ф-ла (7) [10]	60,9										
Коэффициент затухания звука в атмосфере $\alpha$ , дБ/км		$T_a=20,^{\circ}C$ $P_a=101.33, кПа$ хотн.=70%	ф-ла (5) [9]	0,02	0,09	0,33	1,12	2,79	4,98	9,04	23,09	77,63		
Учет затухания звука в атмосфере $A_{atm}$ , дБ			ф-ла (8) [10]	0	0	0,1	0,3	0,9	1,5	2,8	7,2	24,1		
<b>Снижение уровня звукового давления из-за влияния застройки между источником шума и расчетной точкой</b>														
Траектория над экраном	Промежуточные точки:	$P_{ss}(x,y,z) = (2160.21,2358.37,2.00)$	$P_{sr}(x,y,z) = (2160.24,2358.57,2.00)$	$d_{ss} = 9.78$ м	$d_{sr} = 300.42$ м	$e = 0.20$ м	$z = 0.05$ м							
	Константа C2, учитывающая эффект отражения от земли возле экрана			40	40	40	40	40	40	40	40	40		
	Константа C3 (дифракция на кромках)			ф-ла (15) [10]	1	1	1	1	1	1	1,1	1,5		
	$K_{мет}$ (влияние метеоусловий)			ф-ла (18) [10]	0,2	0,2	0,2	0,2	0,2	0,2	0,2	0,2		
Снижение УЗД, $D_z$ , дБ			ф-ла (14) [10]	4,8	4,9	5	5,2	5,7	6,4	7,6	9,6	12,7		
Критерий наличия отражения в октавной полосе		$l_{min} = 2$ м	ф-ла (19)[10]	нет	нет	да	да	да	да	да	да	да		
<b>Уровни звукового давления от мнимого источника ИШ-20_мн.(1) в расчётной точке днём, дБ</b>			ф-ла(3)[10]	0	0	10,1	11,6	13,7	5,2	2,7	0	0	12,8	12,8
<b>Уровни звукового давления от мнимого источника ИШ-20_мн.(1) в расчётной точке ночью, дБ</b>			ф-ла(3)[10]	0	0	10,1	11,6	13,7	5,2	2,7	0	0	12,8	12,8
<b>Уровни звукового давления от источника ИШ-20 в расчётной точке днём, дБ</b>														
			ф-ла(3)[10]	6,3	6,3	13,6	15,1	17,1	8,7	6,1	0	0	16,3	16,3
<b>Уровни звукового давления от источника ИШ-20 в расчётной точке ночью, дБ</b>														
			ф-ла(3)[10]	6,3	6,3	13,6	15,1	17,1	8,7	6,1	0	0	16,3	16,3
Требуемое снижение днём, $\Delta L_{треб}$ , дБ			ф-лы (15),(16) [6]	-	-	-34	-	-	-22,9	-22,4	0	0		
Требуемое снижение ночью, $\Delta L_{треб}$ , дБ			ф-лы (15),(16) [6]	-	-	-25	-	-	-12,9	-12,4	0	0		
				65,2	50,3		25,5	18,4						
				58,2	42,3		15,5	8,4						

<b>Источник шума: ИШ-21, координаты источника (x,y,z), м = [2164.60,2349.30,1.00]</b>														
<b>Уровни звуковой мощности источника днём, Lw, дБ</b>		исходные данные	69	69	74	76	79	72	72	70	64			
<b>Уровни звуковой мощности источника ночью, Lw, дБ</b>		исходные данные	69	69	74	76	79	72	72	70	64			
Поправка на телесный угол DΩ, дБ	Ω = 6.28	10Lg(4π/Ω)	3	3	3	3	3	3	3	3	3			
Показатель направленности источника Di, дБ		исходные данные	0	0	0	0	0	0	0	0	0			
Поправка на направленность источника Dc, дБ	Dc	DΩ + Di	3	3	3	3	3	3	3	3	3			
Затухание из-за геометрической дивергенции, Adiv, дБ	расстояние = 309.11 м	φ-ла (7) [10]	<b>60,8</b>											
Коэффициент затухания звука в атмосфере α, дБ/км	Ta=20,°C Pa=101.33,кПа hотн.=70%	φ-ла (5) [9]	0,02	0,09	0,33	1,12	2,79	4,98	9,04	23,09	77,63			
Учет затухания звука в атмосфере Aatm, дБ		φ-ла (8) [10]	0	0	0,1	0,3	0,9	1,5	2,8	7,1	24			
<b>Снижение уровня звукового давления из-за влияния застройки между источником шума и расчетной точкой</b>														
Траектория над экраном	Промежуточные точки:	Pss(x,y,z) = (2165.61,2358.36,2.00)	Psr(x,y,z) = (2165.63,2358.56,2.00)	dss = 9.17 м	dsr = 299.79 м	e = 0.20 м	z = 0.05 м							
	Константа C2, учитывающая эффект отражения от земли возле экрана			40	40	40	40	40	40	40	40			
	Константа C3 (дифракция на краях)	φ-ла (15) [10]		1	1	1	1	1	1	1,1	1,5			
	K <sub>мет</sub> (влияние метеоусловий)	φ-ла (18) [10]		0,2	0,2	0,2	0,2	0,2	0,2	0,2	0,2			
	Снижение УЗД, Dz, дБ	φ-ла (14) [10]		4,8	4,9	5,1	5,3	5,8	6,6	8	10,1	13,4		
<b>Уровни звукового давления прямого звука от источника ИШ-21 в расчётной точке днём, дБ</b>		φ-ла(3)[10]	6,4	6,3	11,1	12,5	14,5	6	3,4	0	0	13,7	13,7	
<b>Уровни звукового давления прямого звука от источника ИШ-21 в расчётной точке ночью, дБ</b>		φ-ла(3)[10]	6,4	6,3	11,1	12,5	14,5	6	3,4	0	0	13,7	13,7	
<b>Расчёт отражённого звука</b>														
<b>Мнимый источник ИШ-21_мн.(1), образованный отражением от поверхности препятствия DXFLayer5_#0</b>														
Координаты точки отражения (x,y,z), м		(2164.7,2348.7,1.0)	Дистанция между ИШ и ИШм: R(ИШ-ИШм) = 0.6м Дистанция между ИШм и РТ: R(ИШм-РТ) = 309.7м											
Коэффициент отражения поверхности ρ			исходные данные	0,8	0,8	0,8	0,8	0,8	0,8	0,8	0,8	0,8		
Поправка на телесный угол DΩ, дБ	Ω = 6.28	10Lg(4π/Ω)	3	3	3	3	3	3	3	3	3			
Показатель направленности источника Di, дБ		исходные данные	0	0	0	0	0	0	0	0	0			
Поправка на направленность источника Dir, дБ	Dir	DΩ + Di	3	3	3	3	3	3	3	3	3			
<b>Уровни звуковой мощности мнимого источника днём, дБ</b>		φ-ла (20)[10]	71	71	76	78	81	74	74	72	66			
<b>Уровни звуковой мощности мнимого источника ночью, дБ</b>		φ-ла (20)[10]	71	71	76	78	81	74	74	72	66			
Затухание из-за геометрической дивергенции, Adiv, дБ	расстояние = 310.25 м	φ-ла (7) [10]	<b>60,8</b>											
Коэффициент затухания звука в атмосфере α, дБ/км	Ta=20,°C Pa=101.33,кПа hотн.=70%	φ-ла (5) [9]	0,02	0,09	0,33	1,12	2,79	4,98	9,04	23,09	77,63			
Учет затухания звука в атмосфере Aatm, дБ		φ-ла (8) [10]	0	0	0,1	0,3	0,9	1,5	2,8	7,2	24,1			

<b>Снижение уровня звукового давления из-за влияния застройки между источником шума и расчетной точкой</b>															
Траектория над экраном	Промежуточные точки:	$P_{ss}(x,y,z) = (2165.75, 2358.36, 2.00)$	$P_{sr}(x,y,z) = (2165.77, 2358.56, 2.00)$	$d_{ss} = 9.75 \text{ м}$		$d_{sr} = 299.77 \text{ м}$		$e = 0.20 \text{ м}$		$z = 0.05 \text{ м}$					
	Константа C2, учитывающая эффект отражения от земли возле экрана			40	40	40	40	40	40	40	40	40			
	Константа C3 (дифракция на кромках)			ф-ла (15) [10]	1	1	1	1	1	1	1	1,1	1,5		
	$K_{met}$ (влияние метеоусловий)			ф-ла (18) [10]	0,2	0,2	0,2	0,2	0,2	0,2	0,2	0,2	0,2		
	Снижение УЗД, Dz, дБ			ф-ла (14) [10]	4,8	4,9	5	5,2	5,7	6,4	7,7	9,7	12,8		
Критерий наличия отражения в октавной полосе		$l_{min} = 2 \text{ м}$		ф-ла (19) [10]	нет	нет	да	да	да	да	да	да			
Уровни звукового давления от мнимого источника ИШ-21_мн.(1) в расчётной точке днём, дБ			ф-ла(3)[10]	0	0	10,1	11,6	13,7	5,2	2,7	0	0	12,8	12,8	
Уровни звукового давления от мнимого источника ИШ-21_мн.(1) в расчётной точке ночью, дБ			ф-ла(3)[10]	0	0	10,1	11,6	13,7	5,2	2,7	0	0	12,8	12,8	
Уровни звукового давления от источника ИШ-21 в расчётной точке днём, дБ			ф-ла(3)[10]	6,4	6,3	13,6	15,1	17,1	8,7	6,1	0	0	16,3	16,3	
Уровни звукового давления от источника ИШ-21 в расчётной точке ночью, дБ			ф-ла(3)[10]	6,4	6,3	13,6	15,1	17,1	8,7	6,1	0	0	16,3	16,3	
Требуемое снижение днём, $\Delta L_{треб}$ , дБ			ф-лы (15),(16) [6]	-	-	-34	-	-	-22,9	-22,5	0	0			
Требуемое снижение ночью, $\Delta L_{треб}$ , дБ			ф-лы (15),(16) [6]	-	-	-25	-	-	-12,9	-12,5	0	0			
<b>Источник шума: ИШ-22, координаты источника (x,y,z), м = [2170.70, 2349.30, 1.00]</b>															
Уровни звуковой мощности источника днём, $L_w$ , дБ			исходные данные	69	69	74	76	79	72	72	70	64			
Уровни звуковой мощности источника ночью, $L_w$ , дБ			исходные данные	69	69	74	76	79	72	72	70	64			
Поправка на телесный угол $D\Omega$ , дБ		$\Omega = 6.28$	$10\lg(4\pi/\Omega)$	3	3	3	3	3	3	3	3	3			
Показатель направленности источника $D_i$ , дБ			исходные данные	0	0	0	0	0	0	0	0	0			
Поправка на направленность источника $D_c$ , дБ		$D_c$	$D\Omega + D_i$	3	3	3	3	3	3	3	3	3			
Затухание из-за геометрической дивергенции, $A_{div}$ , дБ		расстояние = 308.49 м	ф-ла (7) [10]	60,8											
Коэффициент затухания звука в атмосфере $\alpha$ , дБ/км		$T_a=20, ^\circ\text{C}$ $P_a=101.33, \text{кПа}$ хотн.=70%	ф-ла (5) [9]	0,02	0,09	0,33	1,12	2,79	4,98	9,04	23,09	77,63			
Учет затухания звука в атмосфере $A_{atm}$ , дБ			ф-ла (8) [10]	0	0	0,1	0,3	0,9	1,5	2,8	7,1	23,9			
<b>Снижение уровня звукового давления из-за влияния застройки между источником шума и расчетной точкой</b>															
Траектория над экраном	Промежуточные точки:	$P_{ss}(x,y,z) = (2171.52, 2358.35, 2.00)$	$P_{sr}(x,y,z) = (2171.54, 2358.55, 2.00)$	$d_{ss} = 9.14 \text{ м}$		$d_{sr} = 299.20 \text{ м}$		$e = 0.20 \text{ м}$		$z = 0.05 \text{ м}$					
	Константа C2, учитывающая эффект отражения от земли возле экрана			40	40	40	40	40	40	40	40	40			
	Константа C3 (дифракция на кромках)			ф-ла (15) [10]	1	1	1	1	1	1	1	1,1	1,5		

	К <sub>мет</sub> (влияние метеоусловий)	ф-ла (18) [10]	0,2	0,2	0,2	0,2	0,2	0,2	0,2	0,2	0,2	0,2		
	Снижение УЗД, Dz, дБ	ф-ла (14) [10]	4,8	4,9	5,1	5,3	5,8	6,7	8	10,1	13,4			
<b>Уровни звукового давления прямого звука от источника ИШ-22 в расчётной точке днём, дБ</b>		ф-ла(3)[10]	<b>6,4</b>	<b>6,3</b>	<b>11,1</b>	<b>12,6</b>	<b>14,6</b>	<b>6</b>	<b>3,4</b>	<b>0</b>	<b>0</b>	<b>13,7</b>	<b>13,7</b>	
<b>Уровни звукового давления прямого звука от источника ИШ-22 в расчётной точке ночью, дБ</b>		ф-ла(3)[10]	<b>6,4</b>	<b>6,3</b>	<b>11,1</b>	<b>12,6</b>	<b>14,6</b>	<b>6</b>	<b>3,4</b>	<b>0</b>	<b>0</b>	<b>13,7</b>	<b>13,7</b>	
<b>Расчёт отражённого звука</b>														
<b>Мнимый источник ИШ-22_мн.(1), образованный отражением от поверхности препятствия DXFLayer5_#0</b>														
Координаты точки отражения (x,y,z), м		(2170.8,2348.7,1.0)	Дистанция между ИШ и ИШМ: R(ИШ-ИШМ) = 0.6м Дистанция между ИШМ и РТ: R(ИШМ-РТ) = 309.1м											
Коэффициент отражения поверхности ρ		исходные данные	0,8	0,8	0,8	0,8	0,8	0,8	0,8	0,8	0,8	0,8		
Поправка на телесный угол DΩ, дБ		Ω = 6.28	10lg(4π/Ω)	3	3	3	3	3	3	3	3	3		
Показатель направленности источника Di, дБ			исходные данные	0	0	0	0	0	0	0	0	0		
Поправка на направленность источника Dir, дБ		Dir	DΩ + Di	3	3	3	3	3	3	3	3	3		
<b>Уровни звуковой мощности мнимого источника днём, дБ</b>		ф-ла (20)[10]	<b>71</b>	<b>71</b>	<b>76</b>	<b>78</b>	<b>81</b>	<b>74</b>	<b>74</b>	<b>72</b>	<b>66</b>			
<b>Уровни звуковой мощности мнимого источника ночью, дБ</b>		ф-ла (20)[10]	<b>71</b>	<b>71</b>	<b>76</b>	<b>78</b>	<b>81</b>	<b>74</b>	<b>74</b>	<b>72</b>	<b>66</b>			
Затухание из-за геометрической дивергенции, Adiv, дБ		расстояние = 309.64 м	ф-ла (7) [10]	<b>60,8</b>										
Коэффициент затухания звука в атмосфере α, дБ/км		Ta=20,°C Pa=101.33,кПа hотн.=70%	ф-ла (5) [9]	0,02	0,09	0,33	1,12	2,79	4,98	9,04	23,09	77,63		
Учет затухания звука в атмосфере Aatm, дБ			ф-ла (8) [10]	0	0	0,1	0,3	0,9	1,5	2,8	7,1	24		
<b>Снижение уровня звукового давления из-за влияния застройки между источником шума и расчетной точкой</b>														
Траектория над экраном	Промежуточные точки:	Pss(x,y,z) = (2171.64,2358.35,2.00)	Psr(x,y,z) = (2171.65,2358.55,2.00)	dss = 9.72 м	dsr = 299.19 м	e = 0.20 м	z = 0.05 м							
	Константа C2, учитывающая эффект отражения от земли возле экрана			40	40	40	40	40	40	40	40	40		
	Константа C3 (дифракция на кромках)		ф-ла (15) [10]	1	1	1	1	1	1	1	1,1	1,5		
	К <sub>мет</sub> (влияние метеоусловий)		ф-ла (18) [10]	0,2	0,2	0,2	0,2	0,2	0,2	0,2	0,2	0,2		
Снижение УЗД, Dz, дБ		ф-ла (14) [10]	4,8	4,9	5	5,2	5,7	6,4	7,7	9,7	12,8			
Критерий наличия отражения в октавной полосе		lmin = 2 м	ф-ла (19)[10]	нет	нет	да	да	да	да	да	да	да		
<b>Уровни звукового давления от мнимого источника ИШ-22_мн.(1) в расчётной точке днём, дБ</b>		ф-ла(3)[10]	<b>0</b>	<b>0</b>	<b>10,1</b>	<b>11,6</b>	<b>13,7</b>	<b>5,3</b>	<b>2,7</b>	<b>0</b>	<b>0</b>	<b>12,9</b>	<b>12,9</b>	
<b>Уровни звукового давления от мнимого источника ИШ-22_мн.(1) в расчётной точке ночью, дБ</b>		ф-ла(3)[10]	<b>0</b>	<b>0</b>	<b>10,1</b>	<b>11,6</b>	<b>13,7</b>	<b>5,3</b>	<b>2,7</b>	<b>0</b>	<b>0</b>	<b>12,9</b>	<b>12,9</b>	
<b>Уровни звукового давления от источника ИШ-22 в расчётной точке днём, дБ</b>														
		ф-ла(3)[10]	<b>6,4</b>	<b>6,3</b>	<b>13,6</b>	<b>15,1</b>	<b>17,2</b>	<b>8,7</b>	<b>6,1</b>	<b>0</b>	<b>0</b>	<b>16,3</b>	<b>16,3</b>	
<b>Уровни звукового давления от источника ИШ-22 в расчётной точке ночью, дБ</b>														
		ф-ла(3)[10]	<b>6,4</b>	<b>6,3</b>	<b>13,6</b>	<b>15,1</b>	<b>17,2</b>	<b>8,7</b>	<b>6,1</b>	<b>0</b>	<b>0</b>	<b>16,3</b>	<b>16,3</b>	

Требуемое снижение днём, $\Delta L_{\text{треб}}$ , дБ	ф-лы (15),(16) [6]	-	-	-	-	-	-	-22,9	-22,5	0	0		
Требуемое снижение ночью, $\Delta L_{\text{треб}}$ , дБ	ф-лы (15),(16) [6]	-	-	-	-	-	-	-8,4	-12,9	-12,5	0	0	
<b>Источник шума: ИШ-23, координаты источника (x,y,z), м =[2176.60,2349.30,1.00]</b>													
<b>Уровни звуковой мощности источника днём, <math>L_w</math>, дБ</b>	<b>исходные данные</b>	<b>69</b>	<b>69</b>	<b>74</b>	<b>76</b>	<b>79</b>	<b>72</b>	<b>72</b>	<b>70</b>	<b>64</b>			
<b>Уровни звуковой мощности источника ночью, <math>L_w</math>, дБ</b>	<b>исходные данные</b>	<b>69</b>	<b>69</b>	<b>74</b>	<b>76</b>	<b>79</b>	<b>72</b>	<b>72</b>	<b>70</b>	<b>64</b>			
Поправка на телесный угол $D\Omega$ , дБ	$\Omega = 6.28$	$10Lg(4\pi/\Omega)$	<b>3</b>	3	3	3	3	3	3	3	3		
Показатель направленности источника $D_i$ , дБ		исходные данные	<b>0</b>	0	0	0	0	0	0	0	0		
Поправка на направленность источника $D_c$ , дБ	$D_c$	$D\Omega + D_i$	<b>3</b>	3	3	3	3	3	3	3	3		
Затухание из-за геометрической дивергенции, $A_{div}$ , дБ	расстояние = 308.01 м	ф-ла (7) [10]	<b>60,8</b>										
Коэффициент затухания звука в атмосфере $\alpha$ , дБ/км	$T_a=20,^{\circ}\text{C}$ $P_a=101.33, \text{кПа}$ нотн.=70%	ф-ла (5) [9]	0,02	0,09	0,33	1,12	2,79	4,98	9,04	23,09	77,63		
Учет затухания звука в атмосфере $A_{atm}$ , дБ		ф-ла (8) [10]	0	0	0,1	0,3	0,9	1,5	2,8	7,1	23,9		
<b>Снижение уровня звукового давления из-за влияния застройки между источником шума и расчетной точкой</b>													
Траектория над экраном	Промежуточные точки:	$P_{ss}(x,y,z) = (2177.25,2358.33,2.00)$	$P_{sr}(x,y,z) = (2177.27,2358.53,2.00)$	$d_{ss} = 9.11 \text{ м}$	$d_{sr} = 298.75 \text{ м}$	$e = 0.20 \text{ м}$	$z = 0.06 \text{ м}$						
	Константа $C_2$ , учитывающая эффект отражения от земли возле экрана			40	40	40	40	40	40	40	40		
	Константа $C_3$ (дифракция на кромках)	ф-ла (15) [10]		1	1	1	1	1	1	1,1	1,5		
	$K_{\text{мет}}$ (влияние метеоусловий)	ф-ла (18) [10]		0,3	0,3	0,3	0,3	0,3	0,3	0,3	0,3		
	Снижение УЗД, $D_z$ , дБ	ф-ла (14) [10]		4,8	4,9	5,1	5,3	5,8	6,7	8	10,2	13,4	
<b>Уровни звукового давления прямого звука от источника ИШ-23 в расчётной точке днём, дБ</b>		ф-ла(3)[10]	<b>6,4</b>	<b>6,3</b>	<b>11,1</b>	<b>12,6</b>	<b>14,6</b>	<b>6</b>	<b>3,4</b>	<b>0</b>	<b>0</b>	<b>13,7</b>	<b>13,7</b>
<b>Уровни звукового давления прямого звука от источника ИШ-23 в расчётной точке ночью, дБ</b>		ф-ла(3)[10]	<b>6,4</b>	<b>6,3</b>	<b>11,1</b>	<b>12,6</b>	<b>14,6</b>	<b>6</b>	<b>3,4</b>	<b>0</b>	<b>0</b>	<b>13,7</b>	<b>13,7</b>
<b>Расчёт отражённого звука</b>													
<b>Мнимый источник ИШ-23_мн.(1), образованный отражением от поверхности препятствия DXFLayer5_#0</b>													
Координаты точки отражения (x,y,z), м	(2176.6,2348.7,1.0)	Дистанция между ИШ и ИШм: $R(\text{ИШ}-\text{ИШм}) = 0.6\text{м}$ Дистанция между ИШм и РТ: $R(\text{ИШм}-\text{РТ}) = 308.6\text{м}$											
Коэффициент отражения поверхности $\rho$		исходные данные	0,8	0,8	0,8	0,8	0,8	0,8	0,8	0,8	0,8	0,8	
Поправка на телесный угол $D\Omega$ , дБ	$\Omega = 6.28$	$10Lg(4\pi/\Omega)$	<b>3</b>	3	3	3	3	3	3	3	3		
Показатель направленности источника $D_i$ , дБ		исходные данные	<b>0</b>	0	0	0	0	0	0	0	0		
Поправка на направленность источника $D_{ir}$ , дБ	$D_{ir}$	$D\Omega + D_i$	<b>3</b>	3	3	3	3	3	3	3	3		
<b>Уровни звуковой мощности мнимого источника днём, дБ</b>		ф-ла (20)[10]	<b>71</b>	<b>71</b>	<b>76</b>	<b>78</b>	<b>81</b>	<b>74</b>	<b>74</b>	<b>72</b>	<b>66</b>		
<b>Уровни звуковой мощности мнимого источника ночью, дБ</b>		ф-ла (20)[10]	<b>71</b>	<b>71</b>	<b>76</b>	<b>78</b>	<b>81</b>	<b>74</b>	<b>74</b>	<b>72</b>	<b>66</b>		
Затухание из-за геометрической дивергенции, $A_{div}$ , дБ	расстояние = 309.16 м	ф-ла (7) [10]	<b>60,8</b>										

Коэффициент затухания звука в атмосфере $\alpha$ , дБ/км	$T_a=20,^{\circ}\text{C}$ $P_a=101.33, \text{кПа}$ нотн.=70%	ф-ла (5) [9]	0,02	0,09	0,33	1,12	2,79	4,98	9,04	23,09	77,63			
Учет затухания звука в атмосфере $A_{atm}$ , дБ		ф-ла (8) [10]	0	0	0,1	0,3	0,9	1,5	2,8	7,1	24			
<b>Снижение уровня звукового давления из-за влияния застройки между источником шума и расчетной точкой</b>														
Траектория над экраном	Промежуточные точки:	$P_{ss}(x,y,z) = (2177.34, 2358.33, 2.00)$	$P_{sr}(x,y,z) = (2177.36, 2358.53, 2.00)$	$d_{ss} = 9.69 \text{ м}$	$d_{sr} = 298.74 \text{ м}$	$e = 0.20 \text{ м}$		$z = 0.05 \text{ м}$						
	Константа С2, учитывающая эффект отражения от земли возле экрана			40	40	40	40	40	40	40	40	40		
	Константа С3 (дифракция на кромках)	ф-ла (15) [10]		1	1	1	1	1	1	1	1,1	1,5		
	$K_{met}$ (влияние метеоусловий)	ф-ла (18) [10]		0,2	0,2	0,2	0,2	0,2	0,2	0,2	0,2	0,2		
Снижение УЗД, $D_z$ , дБ	ф-ла (14) [10]		4,8	4,9	5	5,2	5,7	6,4	7,7	9,7	12,9			
Критерий наличия отражения в октавной полосе	$l_{min} = 2 \text{ м}$	ф-ла (19)[10]	нет	нет	да	да	да	да	да	да	да			
Уровни звукового давления от мнимого источника ИШ-23_мн.(1) в расчётной точке днём, дБ	ф-ла(3)[10]		0	0	10,1	11,6	13,7	5,3	2,7	0	0	12,9	12,9	
Уровни звукового давления от мнимого источника ИШ-23_мн.(1) в расчётной точке ночью, дБ	ф-ла(3)[10]		0	0	10,1	11,6	13,7	5,3	2,7	0	0	12,9	12,9	
Уровни звукового давления от источника ИШ-23 в расчётной точке днём, дБ	ф-ла(3)[10]		6,4	6,3	13,6	15,1	17,2	8,7	6,1	0	0	16,3	16,3	
Уровни звукового давления от источника ИШ-23 в расчётной точке ночью, дБ	ф-ла(3)[10]		6,4	6,3	13,6	15,1	17,2	8,7	6,1	0	0	16,3	16,3	
Требуемое снижение днём, $\Delta L_{треб}$ , дБ	ф-лы (15),(16) [6]		-	-	-	-	-	-22,9	-22,5	0	0			
Требуемое снижение ночью, $\Delta L_{треб}$ , дБ	ф-лы (15),(16) [6]		-	-	-	-	-8,4	-12,9	-12,5	0	0			
<b>Источник шума: ИШ-24, координаты источника (x,y,z), м =[2183.08,2349.30,1.00]</b>														
Уровни звуковой мощности источника днём, $L_w$ , дБ	исходные данные		69	69	74	76	79	72	72	70	64			
Уровни звуковой мощности источника ночью, $L_w$ , дБ	исходные данные		69	69	74	76	79	72	72	70	64			
Поправка на телесный угол $D\Omega$ , дБ	$\Omega = 6.28$	$10\lg(4\pi/\Omega)$	3	3	3	3	3	3	3	3	3			
Показатель направленности источника $D_i$ , дБ	исходные данные		0	0	0	0	0	0	0	0	0			
Поправка на направленность источника $D_c$ , дБ	$D_c$	$D\Omega + D_i$	3	3	3	3	3	3	3	3	3			
Затухание из-за геометрической дивергенции, $A_{div}$ , дБ	расстояние = 307.61 м	ф-ла (7) [10]	60,8											
Коэффициент затухания звука в атмосфере $\alpha$ , дБ/км	$T_a=20,^{\circ}\text{C}$ $P_a=101.33, \text{кПа}$ нотн.=70%	ф-ла (5) [9]	0,02	0,09	0,33	1,12	2,79	4,98	9,04	23,09	77,63			
Учет затухания звука в атмосфере $A_{atm}$ , дБ		ф-ла (8) [10]	0	0	0,1	0,3	0,9	1,5	2,8	7,1	23,9			
<b>Снижение уровня звукового давления из-за влияния застройки между источником шума и расчетной точкой</b>														

Траектория над экраном	Промежуточные точки:	$P_{ss}(x,y,z) = (2183.54, 2358.32, 2.00)$	$P_{sr}(x,y,z) = (2183.55, 2358.52, 2.00)$	dss = 9.09 м		dsr = 298.37 м		e = 0.20 м		z = 0.06 м				
	Константа C2, учитывающая эффект отражения от земли возле экрана			40	40	40	40	40	40	40	40	40		
	Константа C3 (дифракция на кромках)			ф-ла (15) [10]	1	1	1	1	1	1	1	1,1	1,5	
	$K_{мет}$ (влияние метеоусловий)			ф-ла (18) [10]	0,3	0,3	0,3	0,3	0,3	0,3	0,3	0,3	0,3	
	Снижение УЗД, Dz, дБ			ф-ла (14) [10]	4,8	4,9	5,1	5,3	5,8	6,7	8,1	10,2	13,5	
<b>Уровни звукового давления прямого звука от источника ИШ-24 в расчётной точке днём, дБ</b>			ф-ла(3)[10]	<b>6,4</b>	<b>6,3</b>	<b>11,1</b>	<b>12,6</b>	<b>14,6</b>	<b>6</b>	<b>3,4</b>	<b>0</b>	<b>0</b>	<b>13,7</b>	<b>13,7</b>
<b>Уровни звукового давления прямого звука от источника ИШ-24 в расчётной точке ночью, дБ</b>			ф-ла(3)[10]	<b>6,4</b>	<b>6,3</b>	<b>11,1</b>	<b>12,6</b>	<b>14,6</b>	<b>6</b>	<b>3,4</b>	<b>0</b>	<b>0</b>	<b>13,7</b>	<b>13,7</b>
<b>Расчёт отражённого звука</b>														
<b>Мнимый источник ИШ-24_мн.(1), образованный отражением от поверхности препятствия DXFLayer5_#0</b>														
Координаты точки отражения (x,y,z), м		(2183.1, 2348.7, 1.0)	Дистанция между ИШ и ИШм: R(ИШ-ИШм) = 0.6м Дистанция между ИШм и РТ: R(ИШм-РТ) = 308.2м											
Коэффициент отражения поверхности $\rho$			исходные данные	0,8	0,8	0,8	0,8	0,8	0,8	0,8	0,8	0,8	0,8	
Поправка на телесный угол $D\Omega$ , дБ		$\Omega = 6.28$	$10\lg(4\pi/\Omega)$	<b>3</b>	3	3	3	3	3	3	3	3	3	
Показатель направленности источника $D_i$ , дБ			исходные данные	<b>0</b>	0	0	0	0	0	0	0	0	0	
Поправка на направленность источника $Dir$ , дБ		$Dir$	$D\Omega + D_i$	<b>3</b>	3	3	3	3	3	3	3	3	3	
<b>Уровни звуковой мощности мнимого источника днём, дБ</b>			ф-ла (20)[10]	<b>71</b>	<b>71</b>	<b>76</b>	<b>78</b>	<b>81</b>	<b>74</b>	<b>74</b>	<b>72</b>	<b>66</b>		
<b>Уровни звуковой мощности мнимого источника ночью, дБ</b>			ф-ла (20)[10]	<b>71</b>	<b>71</b>	<b>76</b>	<b>78</b>	<b>81</b>	<b>74</b>	<b>74</b>	<b>72</b>	<b>66</b>		
Затухание из-за геометрической дивергенции, $A_{div}$ , дБ		расстояние = 308.76 м	ф-ла (7) [10]	<b>60,8</b>										
Коэффициент затухания звука в атмосфере $\alpha$ , дБ/км		$T_a=20,^{\circ}C$ $P_a=101.33, кПа$ хотн.=70%	ф-ла (5) [9]	0,02	0,09	0,33	1,12	2,79	4,98	9,04	23,09	77,63		
Учет затухания звука в атмосфере $A_{atm}$ , дБ			ф-ла (8) [10]	0	0	0,1	0,3	0,9	1,5	2,8	7,1	24		
<b>Снижение уровня звукового давления из-за влияния застройки между источником шума и расчетной точкой</b>														
Траектория над экраном	Промежуточные точки:	$P_{ss}(x,y,z) = (2183.60, 2358.32, 2.00)$	$P_{sr}(x,y,z) = (2183.61, 2358.52, 2.00)$	dss = 9.66 м		dsr = 298.37 м		e = 0.20 м		z = 0.05 м				
	Константа C2, учитывающая эффект отражения от земли возле экрана			40	40	40	40	40	40	40	40	40		
	Константа C3 (дифракция на кромках)			ф-ла (15) [10]	1	1	1	1	1	1	1	1,1	1,5	
	$K_{мет}$ (влияние метеоусловий)			ф-ла (18) [10]	0,2	0,2	0,2	0,2	0,2	0,2	0,2	0,2	0,2	
	Снижение УЗД, Dz, дБ			ф-ла (14) [10]	4,8	4,9	5	5,3	5,7	6,5	7,7	9,7	12,9	
Критерий наличия отражения в октавной полосе		$l_{min} = 2 м$	ф-ла (19)[10]	нет	нет	да	да	да	да	да	да	да		
<b>Уровни звукового давления от мнимого источника ИШ-24_мн.(1) в расчётной точке днём, дБ</b>			ф-ла(3)[10]	<b>0</b>	<b>0</b>	<b>10,1</b>	<b>11,7</b>	<b>13,7</b>	<b>5,3</b>	<b>2,7</b>	<b>0</b>	<b>0</b>	<b>12,9</b>	<b>12,9</b>
<b>Уровни звукового давления от мнимого источника ИШ-24_мн.(1) в расчётной точке ночью, дБ</b>			ф-ла(3)[10]	<b>0</b>	<b>0</b>	<b>10,1</b>	<b>11,7</b>	<b>13,7</b>	<b>5,3</b>	<b>2,7</b>	<b>0</b>	<b>0</b>	<b>12,9</b>	<b>12,9</b>

<b>Уровни звукового давления от источника ИШ-24 в расчётной точке днём, дБ</b>	ф-ла(3)[10]	6,4	6,3	13,6	15,1	17,2	8,7	6,1	0	0	16,3	16,3	
<b>Уровни звукового давления от источника ИШ-24 в расчётной точке ночью, дБ</b>	ф-ла(3)[10]	6,4	6,3	13,6	15,1	17,2	8,7	6,1	0	0	16,3	16,3	
Требуемое снижение днём, $\Delta L_{\text{треб}}$ , дБ	ф-лы (15),(16) [6]	-	-	-	-	-	-22,9	-22,5	0	0			
Требуемое снижение ночью, $\Delta L_{\text{треб}}$ , дБ	ф-лы (15),(16) [6]	-	-	-	-	-	-8,4	-12,9	0	0			
		65,2	50,3	33,9	25,4	18,4							
		58,2	42,3	24,9	15,4								
<b>Уровни звукового давления в расчётной точке</b>													
<b>Суммарные уровни звукового давления в расчётной точке от всех источников шума днем, <math>L_{\text{рт}}</math>, дБ</b>	ф-ла (19) [1]	19,5	19,4	25,8	28,1	30,4	22	19,5	0	0	29,5	29,5	
<b>Суммарные уровни звукового давления в расчётной точке от всех источников шума ночью, <math>L_{\text{рт}}</math>, дБ</b>	ф-ла (19) [1]	19,5	19,4	25,8	28,1	30,4	22	19,5	0	0	29,5	29,5	
Допускаемые УЗД днём, $L_{\text{доп}}$ , дБ	территория у жилого дома	Табл. 3[2]	85	70	61	54	49	45	42	40	39	50	70
Допускаемые УЗД ночью, $L_{\text{доп}}$ , дБ	территория у жилого дома	Табл. 3[2]	78	62	52	44	39	35	32	30	28	40	60
с учётом поправки -5 дБ на работу технологического оборудования													
<b>Превышение днём, дБ</b>	$L_{\text{рт}} - L_{\text{доп}}$	-	-	-	-	-	-23	-22,5	-40	-39	-20,5	-40,5	
<b>Превышение ночью, дБ</b>	$L_{\text{рт}} - L_{\text{доп}}$	-	-	-	-	-	-8,6	-13	-12,5	-30	-28	-10,5	-30,5
		65,5	50,6	35,2	25,9	18,6							
		58,5	42,6	26,2	15,9								

**Итоговые результаты определения уровней звукового давления в точке РТ-1  
(координаты точки, м: x = 2198.87, y = 2656.50, z = 1.50)**

Источник шума	Характеристика	Уровни звукового давления, дБ, в октавных полосах, со среднегеометрическими частотами, Гц									L <sub>a</sub> , дБА	L <sub>макс</sub> , дБА
		31,5	63	125	250	500	1000	2000	4000	8000		
1	2	3	4	5	6	7	8	9	10	11	12	13
ИШ-1 Разгрузочно-погрузочные работы	Уровни звукового давления от источника в расчётной точке днём	0	43,2	40	35,4	33,4	29,9	23,4	14	0	35	39,6
	Уровни звукового давления от источника в расчётной точке ночью	0	0	0	0	0	0	0	0	0	0	0
	Требуемое снижение днём, ΔL <sub>треб</sub> , дБ	0	-22	-16	-13,8	-10,8	-10,3	-12,6	-20	0		
	Требуемое снижение ночью, ΔL <sub>треб</sub> , дБ	0	0	0	0	0	0	0	0	0		
ИШ-2 Валковый измельчитель Doppstadt DW3060	Уровни звукового давления от источника в расчётной точке днём	0	51,3	50,3	43,5	37,4	32,3	26,5	16,7	0	40,4	45,5
	Уровни звукового давления от источника в расчётной точке ночью	0	0	0	0	0	0	0	0	0	0	0
	Требуемое снижение днём, ΔL <sub>треб</sub> , дБ	0	-15,7	-10,7	-7,5	-6,8	-7,9	-10,7	-18,5	0		
	Требуемое снижение ночью, ΔL <sub>треб</sub> , дБ	0	0	0	0	0	0	0	0	0		
ИШ-3	Уровни звукового давления от источника в расчётной точке днём	5,6	5,5	10,4	11,9	16,6	8,3	5,9	0	0	15,6	15,6
	Уровни звукового давления от источника в расчётной точке ночью	5,6	5,5	10,4	11,9	16,6	8,3	5,9	0	0	15,6	15,6
	Требуемое снижение днём, ΔL <sub>треб</sub> , дБ	-74,4	-59,5	-45,6	-37,1	-27,4	-31,7	-31,1	0	0		
	Требуемое снижение ночью, ΔL <sub>треб</sub> , дБ	-59	-43	-28,2	-18,7	-9	-13,3	-12,7	0	0		
ИШ-4	Уровни звукового давления от источника в расчётной точке днём	5,7	5,6	10,4	12	16,7	8,3	5,9	0	0	15,6	15,6
	Уровни звукового давления от источника в расчётной точке ночью	5,7	5,6	10,4	12	16,7	8,3	5,9	0	0	15,6	15,6
	Требуемое снижение днём, ΔL <sub>треб</sub> , дБ	-74,3	-59,4	-45,6	-37	-27,3	-31,7	-31,1	0	0		
	Требуемое снижение ночью, ΔL <sub>треб</sub> , дБ	-58,9	-43	-28,2	-18,6	-8,9	-13,2	-12,6	0	0		
ИШ-5	Уровни звукового давления от источника в расчётной точке днём	5,7	5,6	10,5	12	16,7	8,4	6	0	0	15,7	15,7
	Уровни звукового давления от источника в расчётной точке ночью	5,7	5,6	10,5	12	16,7	8,4	6	0	0	15,7	15,7
	Требуемое снижение днём, ΔL <sub>треб</sub> , дБ	-74,3	-59,4	-45,5	-37	-27,3	-31,6	-31	0	0		
	Требуемое снижение ночью, ΔL <sub>треб</sub> , дБ	-58,9	-42,9	-28,1	-18,6	-8,9	-13,2	-12,6	0	0		
ИШ-6	Уровни звукового давления от источника в расчётной точке днём	5,8	5,7	10,5	14,6	16,7	8,4	6	0	0	15,9	15,9
	Уровни звукового давления от источника в расчётной точке ночью	5,8	5,7	10,5	14,6	16,7	8,4	6	0	0	15,9	15,9

	Требуемое снижение днём, $\Delta L_{\text{треб}}$ , дБ	-74,2	-59,3	-45,5	-34,4	-27,3	-31,6	-31	0	0		
	Требуемое снижение ночью, $\Delta L_{\text{треб}}$ , дБ	-58,8	-42,9	-28,1	-15,9	-8,8	-13,2	-12,6	0	0		
ИШ-7	Уровни звукового давления от источника в расчётной точке днём	<b>5,8</b>	<b>5,8</b>	<b>10,6</b>	<b>14,7</b>	<b>16,8</b>	<b>8,4</b>	<b>6</b>	<b>0</b>	<b>0</b>	<b>15,9</b>	<b>15,9</b>
	Уровни звукового давления от источника в расчётной точке ночью	<b>5,8</b>	<b>5,8</b>	<b>10,6</b>	<b>14,7</b>	<b>16,8</b>	<b>8,4</b>	<b>6</b>	<b>0</b>	<b>0</b>	<b>15,9</b>	<b>15,9</b>
	Требуемое снижение днём, $\Delta L_{\text{треб}}$ , дБ	-74,2	-59,2	-45,4	-34,3	-27,2	-31,6	-31	0	0		
	Требуемое снижение ночью, $\Delta L_{\text{треб}}$ , дБ	-58,7	-42,8	-28	-15,9	-8,8	-13,2	-12,6	0	0		
ИШ-8	Уровни звукового давления от источника в расчётной точке днём	<b>5,9</b>	<b>5,8</b>	<b>10,6</b>	<b>14,7</b>	<b>16,8</b>	<b>8,5</b>	<b>6</b>	<b>0</b>	<b>0</b>	<b>16</b>	<b>16</b>
	Уровни звукового давления от источника в расчётной точке ночью	<b>5,9</b>	<b>5,8</b>	<b>10,6</b>	<b>14,7</b>	<b>16,8</b>	<b>8,5</b>	<b>6</b>	<b>0</b>	<b>0</b>	<b>16</b>	<b>16</b>
	Требуемое снижение днём, $\Delta L_{\text{треб}}$ , дБ	-74,1	-59,2	-45,4	-34,3	-27,2	-31,5	-31	0	0		
	Требуемое снижение ночью, $\Delta L_{\text{треб}}$ , дБ	-58,7	-42,8	-27,9	-15,8	-8,8	-13,1	-12,6	0	0		
ИШ-9	Уровни звукового давления от источника в расчётной точке днём	<b>5,9</b>	<b>5,9</b>	<b>10,7</b>	<b>14,8</b>	<b>16,9</b>	<b>8,5</b>	<b>6</b>	<b>0</b>	<b>0</b>	<b>16</b>	<b>16</b>
	Уровни звукового давления от источника в расчётной точке ночью	<b>5,9</b>	<b>5,9</b>	<b>10,7</b>	<b>14,8</b>	<b>16,9</b>	<b>8,5</b>	<b>6</b>	<b>0</b>	<b>0</b>	<b>16</b>	<b>16</b>
	Требуемое снижение днём, $\Delta L_{\text{треб}}$ , дБ	-74,1	-59,1	-45,3	-34,2	-27,1	-31,5	-31	0	0		
	Требуемое снижение ночью, $\Delta L_{\text{треб}}$ , дБ	-58,6	-42,7	-27,9	-15,8	-8,7	-13,1	-12,6	0	0		
ИШ-10	Уровни звукового давления от источника в расчётной точке днём	<b>6</b>	<b>5,9</b>	<b>10,7</b>	<b>14,8</b>	<b>16,9</b>	<b>8,5</b>	<b>6</b>	<b>0</b>	<b>0</b>	<b>16,1</b>	<b>16,1</b>
	Уровни звукового давления от источника в расчётной точке ночью	<b>6</b>	<b>5,9</b>	<b>10,7</b>	<b>14,8</b>	<b>16,9</b>	<b>8,5</b>	<b>6</b>	<b>0</b>	<b>0</b>	<b>16,1</b>	<b>16,1</b>
	Требуемое снижение днём, $\Delta L_{\text{треб}}$ , дБ	-74	-59,1	-45,3	-34,2	-27,1	-31,5	-31	0	0		
	Требуемое снижение ночью, $\Delta L_{\text{треб}}$ , дБ	-58,6	-42,7	-27,9	-15,8	-8,7	-13,1	-12,5	0	0		
ИШ-11	Уровни звукового давления от источника в расчётной точке днём	<b>6</b>	<b>6</b>	<b>10,8</b>	<b>14,9</b>	<b>16,9</b>	<b>8,5</b>	<b>6,1</b>	<b>0</b>	<b>0</b>	<b>16,1</b>	<b>16,1</b>
	Уровни звукового давления от источника в расчётной точке ночью	<b>6</b>	<b>6</b>	<b>10,8</b>	<b>14,9</b>	<b>16,9</b>	<b>8,5</b>	<b>6,1</b>	<b>0</b>	<b>0</b>	<b>16,1</b>	<b>16,1</b>
	Требуемое снижение днём, $\Delta L_{\text{треб}}$ , дБ	-74	-59	-45,2	-34,1	-27,1	-31,5	-30,9	0	0		
	Требуемое снижение ночью, $\Delta L_{\text{треб}}$ , дБ	-58,5	-42,6	-27,8	-15,7	-8,6	-13	-12,5	0	0		
ИШ-12	Уровни звукового давления от источника в расчётной точке днём	<b>6,1</b>	<b>6</b>	<b>10,8</b>	<b>14,9</b>	<b>17</b>	<b>8,6</b>	<b>6,1</b>	<b>0</b>	<b>0</b>	<b>16,1</b>	<b>16,1</b>
	Уровни звукового давления от источника в расчётной точке ночью	<b>6,1</b>	<b>6</b>	<b>10,8</b>	<b>14,9</b>	<b>17</b>	<b>8,6</b>	<b>6,1</b>	<b>0</b>	<b>0</b>	<b>16,1</b>	<b>16,1</b>
	Требуемое снижение днём, $\Delta L_{\text{треб}}$ , дБ	-73,9	-59	-45,2	-34,1	-27	-31,4	-30,9	0	0		
	Требуемое снижение ночью, $\Delta L_{\text{треб}}$ , дБ	-58,5	-42,6	-27,8	-15,7	-8,6	-13	-12,5	0	0		
ИШ-13	Уровни звукового давления от источника в расчётной точке днём	<b>6,1</b>	<b>6</b>	<b>13,4</b>	<b>14,9</b>	<b>17</b>	<b>8,6</b>	<b>6,1</b>	<b>0</b>	<b>0</b>	<b>16,2</b>	<b>16,2</b>
	Уровни звукового давления от источника в расчётной точке ночью	<b>6,1</b>	<b>6</b>	<b>13,4</b>	<b>14,9</b>	<b>17</b>	<b>8,6</b>	<b>6,1</b>	<b>0</b>	<b>0</b>	<b>16,2</b>	<b>16,2</b>
	Требуемое снижение днём, $\Delta L_{\text{треб}}$ , дБ	-73,9	-59	-42,6	-34,1	-27	-31,4	-30,9	0	0		
	Требуемое снижение ночью, $\Delta L_{\text{треб}}$ , дБ	-58,5	-42,5	-25,2	-15,6	-8,6	-13	-12,5	0	0		

ИШ-14	Уровни звукового давления от источника в расчётной точке днём	<b>6,2</b>	<b>6,1</b>	<b>13,4</b>	<b>15</b>	<b>17</b>	<b>8,6</b>	<b>6,1</b>	<b>0</b>	<b>0</b>	<b>16,2</b>	<b>16,2</b>
	Уровни звукового давления от источника в расчётной точке ночью	<b>6,2</b>	<b>6,1</b>	<b>13,4</b>	<b>15</b>	<b>17</b>	<b>8,6</b>	<b>6,1</b>	<b>0</b>	<b>0</b>	<b>16,2</b>	<b>16,2</b>
	Требуемое снижение днём, $\Delta L_{\text{треб}}$ , дБ	-73,8	-58,9	-42,6	-34	-27	-31,4	-30,9	0	0		
	Требуемое снижение ночью, $\Delta L_{\text{треб}}$ , дБ	-58,4	-42,5	-25,1	-15,6	-8,5	-13	-12,5	0	0		
ИШ-15	Уровни звукового давления от источника в расчётной точке днём	<b>6,2</b>	<b>6,1</b>	<b>10,9</b>	<b>15</b>	<b>17</b>	<b>8,6</b>	<b>6,1</b>	<b>0</b>	<b>0</b>	<b>16,2</b>	<b>16,2</b>
	Уровни звукового давления от источника в расчётной точке ночью	<b>6,2</b>	<b>6,1</b>	<b>10,9</b>	<b>15</b>	<b>17</b>	<b>8,6</b>	<b>6,1</b>	<b>0</b>	<b>0</b>	<b>16,2</b>	<b>16,2</b>
	Требуемое снижение днём, $\Delta L_{\text{треб}}$ , дБ	-73,8	-58,9	-45,1	-34	-27	-31,4	-30,9	0	0		
	Требуемое снижение ночью, $\Delta L_{\text{треб}}$ , дБ	-58,4	-42,5	-27,7	-15,6	-8,5	-13	-12,5	0	0		
ИШ-16	Уровни звукового давления от источника в расчётной точке днём	<b>6,2</b>	<b>6,1</b>	<b>13,5</b>	<b>15</b>	<b>17,1</b>	<b>8,6</b>	<b>6,1</b>	<b>0</b>	<b>0</b>	<b>16,2</b>	<b>16,2</b>
	Уровни звукового давления от источника в расчётной точке ночью	<b>6,2</b>	<b>6,1</b>	<b>13,5</b>	<b>15</b>	<b>17,1</b>	<b>8,6</b>	<b>6,1</b>	<b>0</b>	<b>0</b>	<b>16,2</b>	<b>16,2</b>
	Требуемое снижение днём, $\Delta L_{\text{треб}}$ , дБ	-73,8	-58,9	-42,5	-34	-26,9	-31,4	-30,9	0	0		
	Требуемое снижение ночью, $\Delta L_{\text{треб}}$ , дБ	-58,3	-42,4	-25,1	-15,6	-8,5	-13	-12,5	0	0		
ИШ-17	Уровни звукового давления от источника в расчётной точке днём	<b>6,3</b>	<b>6,2</b>	<b>13,5</b>	<b>15</b>	<b>17,1</b>	<b>8,6</b>	<b>6,1</b>	<b>0</b>	<b>0</b>	<b>16,2</b>	<b>16,2</b>
	Уровни звукового давления от источника в расчётной точке ночью	<b>6,3</b>	<b>6,2</b>	<b>13,5</b>	<b>15</b>	<b>17,1</b>	<b>8,6</b>	<b>6,1</b>	<b>0</b>	<b>0</b>	<b>16,2</b>	<b>16,2</b>
	Требуемое снижение днём, $\Delta L_{\text{треб}}$ , дБ	-73,7	-58,8	-42,5	-34	-26,9	-31,4	-30,9	0	0		
	Требуемое снижение ночью, $\Delta L_{\text{треб}}$ , дБ	-58,3	-42,4	-25	-15,5	-8,5	-12,9	-12,5	0	0		
ИШ-18	Уровни звукового давления от источника в расчётной точке днём	<b>6,3</b>	<b>6,2</b>	<b>13,6</b>	<b>15,1</b>	<b>17,1</b>	<b>8,7</b>	<b>6,1</b>	<b>0</b>	<b>0</b>	<b>16,3</b>	<b>16,3</b>
	Уровни звукового давления от источника в расчётной точке ночью	<b>6,3</b>	<b>6,2</b>	<b>13,6</b>	<b>15,1</b>	<b>17,1</b>	<b>8,7</b>	<b>6,1</b>	<b>0</b>	<b>0</b>	<b>16,3</b>	<b>16,3</b>
	Требуемое снижение днём, $\Delta L_{\text{треб}}$ , дБ	-73,7	-58,8	-42,4	-33,9	-26,9	-31,3	-30,9	0	0		
	Требуемое снижение ночью, $\Delta L_{\text{треб}}$ , дБ	-58,3	-42,4	-25	-15,5	-8,5	-12,9	-12,4	0	0		
ИШ-19	Уровни звукового давления от источника в расчётной точке днём	<b>6,3</b>	<b>6,2</b>	<b>13,6</b>	<b>15,1</b>	<b>17,1</b>	<b>8,7</b>	<b>6,1</b>	<b>0</b>	<b>0</b>	<b>16,3</b>	<b>16,3</b>
	Уровни звукового давления от источника в расчётной точке ночью	<b>6,3</b>	<b>6,2</b>	<b>13,6</b>	<b>15,1</b>	<b>17,1</b>	<b>8,7</b>	<b>6,1</b>	<b>0</b>	<b>0</b>	<b>16,3</b>	<b>16,3</b>
	Требуемое снижение днём, $\Delta L_{\text{треб}}$ , дБ	-73,7	-58,8	-42,4	-33,9	-26,9	-31,3	-30,9	0	0		
	Требуемое снижение ночью, $\Delta L_{\text{треб}}$ , дБ	-58,3	-42,3	-25	-15,5	-8,4	-12,9	-12,4	0	0		
ИШ-20	Уровни звукового давления от источника в расчётной точке днём	<b>6,3</b>	<b>6,3</b>	<b>13,6</b>	<b>15,1</b>	<b>17,1</b>	<b>8,7</b>	<b>6,1</b>	<b>0</b>	<b>0</b>	<b>16,3</b>	<b>16,3</b>
	Уровни звукового давления от источника в расчётной точке ночью	<b>6,3</b>	<b>6,3</b>	<b>13,6</b>	<b>15,1</b>	<b>17,1</b>	<b>8,7</b>	<b>6,1</b>	<b>0</b>	<b>0</b>	<b>16,3</b>	<b>16,3</b>
	Требуемое снижение днём, $\Delta L_{\text{треб}}$ , дБ	-73,7	-58,7	-42,4	-33,9	-26,9	-31,3	-30,9	0	0		
	Требуемое снижение ночью, $\Delta L_{\text{треб}}$ , дБ	-58,2	-42,3	-25	-15,5	-8,4	-12,9	-12,4	0	0		
ИШ-21	Уровни звукового давления от источника в расчётной точке днём	<b>6,4</b>	<b>6,3</b>	<b>13,6</b>	<b>15,1</b>	<b>17,1</b>	<b>8,7</b>	<b>6,1</b>	<b>0</b>	<b>0</b>	<b>16,3</b>	<b>16,3</b>

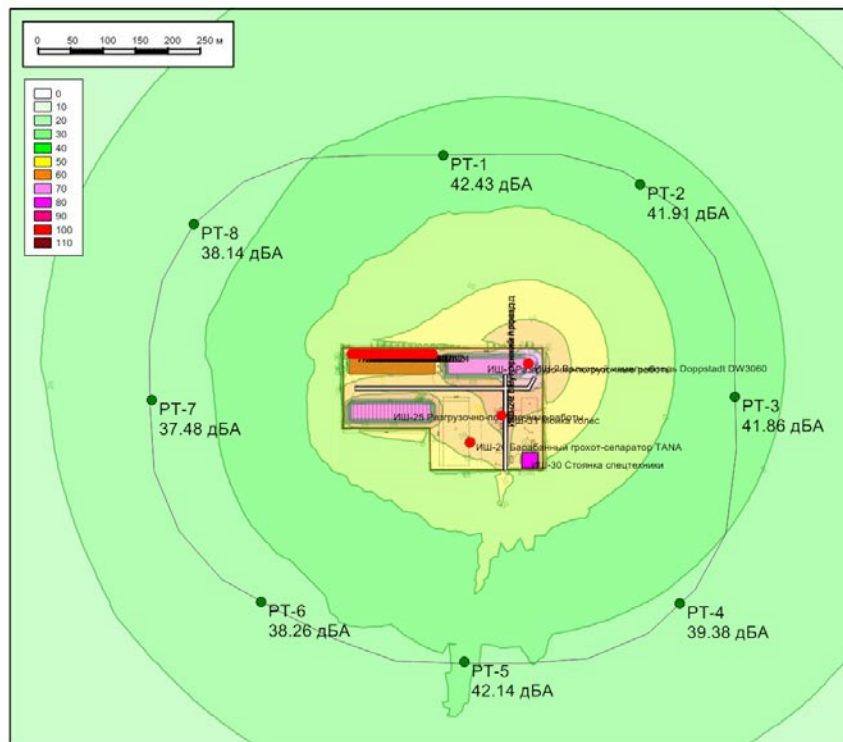
	Уровни звукового давления от источника в расчётной точке ночью	<b>6,4</b>	<b>6,3</b>	<b>13,6</b>	<b>15,1</b>	<b>17,1</b>	<b>8,7</b>	<b>6,1</b>	<b>0</b>	<b>0</b>	<b>16,3</b>	<b>16,3</b>
	Требуемое снижение днём, $\Delta L_{\text{треб}}$ , дБ	-73,6	-58,7	-42,4	-33,9	-26,9	-31,3	-30,9	0	0		
	Требуемое снижение ночью, $\Delta L_{\text{треб}}$ , дБ	-58,2	-42,3	-25	-15,5	-8,4	-12,9	-12,5	0	0		
ИШ-22	Уровни звукового давления от источника в расчётной точке днём	<b>6,4</b>	<b>6,3</b>	<b>13,6</b>	<b>15,1</b>	<b>17,2</b>	<b>8,7</b>	<b>6,1</b>	<b>0</b>	<b>0</b>	<b>16,3</b>	<b>16,3</b>
	Уровни звукового давления от источника в расчётной точке ночью	<b>6,4</b>	<b>6,3</b>	<b>13,6</b>	<b>15,1</b>	<b>17,2</b>	<b>8,7</b>	<b>6,1</b>	<b>0</b>	<b>0</b>	<b>16,3</b>	<b>16,3</b>
	Требуемое снижение днём, $\Delta L_{\text{треб}}$ , дБ	-73,6	-58,7	-42,4	-33,9	-26,8	-31,3	-30,9	0	0		
	Требуемое снижение ночью, $\Delta L_{\text{треб}}$ , дБ	-58,2	-42,3	-24,9	-15,4	-8,4	-12,9	-12,5	0	0		
ИШ-23	Уровни звукового давления от источника в расчётной точке днём	<b>6,4</b>	<b>6,3</b>	<b>13,6</b>	<b>15,1</b>	<b>17,2</b>	<b>8,7</b>	<b>6,1</b>	<b>0</b>	<b>0</b>	<b>16,3</b>	<b>16,3</b>
	Уровни звукового давления от источника в расчётной точке ночью	<b>6,4</b>	<b>6,3</b>	<b>13,6</b>	<b>15,1</b>	<b>17,2</b>	<b>8,7</b>	<b>6,1</b>	<b>0</b>	<b>0</b>	<b>16,3</b>	<b>16,3</b>
	Требуемое снижение днём, $\Delta L_{\text{треб}}$ , дБ	-73,6	-58,7	-42,4	-33,9	-26,8	-31,3	-30,9	0	0		
	Требуемое снижение ночью, $\Delta L_{\text{треб}}$ , дБ	-58,2	-42,3	-24,9	-15,4	-8,4	-12,9	-12,5	0	0		
ИШ-24	Уровни звукового давления от источника в расчётной точке днём	<b>6,4</b>	<b>6,3</b>	<b>13,6</b>	<b>15,1</b>	<b>17,2</b>	<b>8,7</b>	<b>6,1</b>	<b>0</b>	<b>0</b>	<b>16,3</b>	<b>16,3</b>
	Уровни звукового давления от источника в расчётной точке ночью	<b>6,4</b>	<b>6,3</b>	<b>13,6</b>	<b>15,1</b>	<b>17,2</b>	<b>8,7</b>	<b>6,1</b>	<b>0</b>	<b>0</b>	<b>16,3</b>	<b>16,3</b>
	Требуемое снижение днём, $\Delta L_{\text{треб}}$ , дБ	-73,6	-58,7	-42,4	-33,9	-26,8	-31,3	-30,9	0	0		
	Требуемое снижение ночью, $\Delta L_{\text{треб}}$ , дБ	-58,2	-42,3	-24,9	-15,4	-8,4	-12,9	-12,5	0	0		
ИШ-25 Разгрузочно-погрузочные работы	Уровни звукового давления от источника в расчётной точке днём	<b>0</b>	<b>40,6</b>	<b>37,5</b>	<b>33,1</b>	<b>31,5</b>	<b>28,6</b>	<b>22,9</b>	<b>14,2</b>	<b>0</b>	<b>33,3</b>	<b>37,9</b>
	Уровни звукового давления от источника в расчётной точке ночью	<b>0</b>	<b>0</b>	<b>0</b>	<b>0</b>	<b>0</b>	<b>0</b>	<b>0</b>	<b>0</b>	<b>0</b>	<b>0</b>	<b>0</b>
	Требуемое снижение днём, $\Delta L_{\text{треб}}$ , дБ	0	-24,4	-18,5	-15,9	-12,8	-11,7	-13,1	-19,8	0		
	Требуемое снижение ночью, $\Delta L_{\text{треб}}$ , дБ	0	0	0	0	0	0	0	0	0		
ИШ-26 Барабанный грохот-сепаратор TANA	Уровни звукового давления от источника в расчётной точке днём	<b>0</b>	<b>27,1</b>	<b>26</b>	<b>19,2</b>	<b>12,9</b>	<b>7,7</b>	<b>1,6</b>	<b>0</b>	<b>0</b>	<b>16</b>	<b>21</b>
	Уровни звукового давления от источника в расчётной точке ночью	<b>0</b>	<b>0</b>	<b>0</b>	<b>0</b>	<b>0</b>	<b>0</b>	<b>0</b>	<b>0</b>	<b>0</b>	<b>0</b>	<b>0</b>
	Требуемое снижение днём, $\Delta L_{\text{треб}}$ , дБ	0	-37,9	-30	-29,8	-31,1	-32,3	-35,4	0	0		
	Требуемое снижение ночью, $\Delta L_{\text{треб}}$ , дБ	0	0	0	0	0	0	0	0	0		
ИШ-27 Внутренний проезд	Уровни звукового давления от источника в расчётной точке днём	<b>0</b>	<b>0</b>	<b>22,5</b>	<b>19,1</b>	<b>15,5</b>	<b>14,5</b>	<b>9,9</b>	<b>0</b>	<b>0</b>	<b>18,7</b>	<b>18,7</b>
	Уровни звукового давления от источника в расчётной точке ночью	<b>0</b>	<b>0</b>	<b>0</b>	<b>0</b>	<b>0</b>	<b>0</b>	<b>0</b>	<b>0</b>	<b>0</b>	<b>0</b>	<b>0</b>
	Требуемое снижение днём, $\Delta L_{\text{треб}}$ , дБ	0	0	-33,5	-29,9	-28,5	-25,5	-27,1	0	0		
	Требуемое снижение ночью, $\Delta L_{\text{треб}}$ , дБ	0	0	0	0	0	0	0	0	0		
ИШ-28 Внутренний проезд	Уровни звукового давления от источника в расчётной точке днём	<b>0</b>	<b>0</b>	<b>0</b>	<b>0</b>	<b>0</b>	<b>0</b>	<b>0</b>	<b>0</b>	<b>0</b>	<b>0</b>	<b>14,5</b>
	Уровни звукового давления от источника в расчётной точке ночью	<b>0</b>	<b>0</b>	<b>0</b>	<b>0</b>	<b>0</b>	<b>0</b>	<b>0</b>	<b>0</b>	<b>0</b>	<b>0</b>	<b>0</b>
	Требуемое снижение днём, $\Delta L_{\text{треб}}$ , дБ	0	0	0	0	0	0	0	0	0		

	Требуемое снижение ночью, $\Delta L_{\text{треб}}$ , дБ	0	0	0	0	0	0	0	0	0	0	0	0
ИШ-29 Внутренний проезд	Уровни звукового давления от источника в расчётной точке днём	0	0	0	0	0	0	0	0	0	0	0	14,1
	Уровни звукового давления от источника в расчётной точке ночью	0	0	0	0	0	0	0	0	0	0	0	0
	Требуемое снижение днём, $\Delta L_{\text{треб}}$ , дБ	0	0	0	0	0	0	0	0	0	0	0	0
	Требуемое снижение ночью, $\Delta L_{\text{треб}}$ , дБ	0	0	0	0	0	0	0	0	0	0	0	0
ИШ-30 Стоянка спецтехники	Уровни звукового давления от источника в расчётной точке днём	0	32,3	26,2	19,8	16	11,9	5,9	0	0	18,3	24,3	
	Уровни звукового давления от источника в расчётной точке ночью	0	0	0	0	0	0	0	0	0	0	0	0
	Требуемое снижение днём, $\Delta L_{\text{треб}}$ , дБ	0	-32,7	-29,8	-29,2	-28	-28,1	-31,1	0	0			
	Требуемое снижение ночью, $\Delta L_{\text{треб}}$ , дБ	0	0	0	0	0	0	0	0	0			
ИШ-31 Мойка колес	Уровни звукового давления от источника в расчётной точке днём	28,6	21,6	20,6	18,4	17,7	17,8	15,4	6,5	0	21,8	30,8	
	Уровни звукового давления от источника в расчётной точке ночью	0	0	0	0	0	0	0	0	0	0	0	0
	Требуемое снижение днём, $\Delta L_{\text{треб}}$ , дБ	-56,4	-43,4	-35,4	-30,6	-26,3	-22,2	-18,6	-28,5	0			
	Требуемое снижение ночью, $\Delta L_{\text{треб}}$ , дБ	0	0	0	0	0	0	0	0	0			
<b>Суммарные уровни звукового давления в расчётной точке от всех источников шума днём, <math>L_{\text{рт}}</math>, дБ</b>		<b>29,1</b>	<b>52,3</b>	<b>50,9</b>	<b>44,6</b>	<b>40,1</b>	<b>35,7</b>	<b>30</b>	<b>20,1</b>	<b>0</b>	<b>42,4</b>	<b>47,3</b>	
<b>Суммарные уровни звукового давления в расчётной точке от всех источников шума ночью, <math>L_{\text{рт}}</math>, дБ</b>		<b>19,5</b>	<b>19,4</b>	<b>25,8</b>	<b>28,1</b>	<b>30,4</b>	<b>22</b>	<b>19,5</b>	<b>0</b>	<b>0</b>	<b>29,5</b>	<b>29,5</b>	
Допускаемые УЗД днём, $L_{\text{доп}}$ , дБ	территория у жилого дома	Табл. 3[2]	85	70	61	54	49	45	42	40	39	50	70
Допускаемые УЗД ночью, $L_{\text{доп}}$ , дБ	территория у жилого дома	Табл. 3[2]	78	62	52	44	39	35	32	30	28	40	60
с учётом поправки -5 дБ на работу технологического оборудования													
<b>Превышение днём, дБ</b>		<b>-55,9</b>	<b>-17,7</b>	<b>-10,1</b>	<b>-9,4</b>	<b>-8,9</b>	<b>-9,3</b>	<b>-12</b>	<b>-19,9</b>	<b>-39</b>	<b>-7,6</b>	<b>-22,7</b>	
<b>Превышение ночью, дБ</b>		<b>-58,5</b>	<b>-42,6</b>	<b>-26,2</b>	<b>-15,9</b>	<b>-8,6</b>	<b>-13</b>	<b>-12,5</b>	<b>-30</b>	<b>-28</b>	<b>-10,5</b>	<b>-30,5</b>	

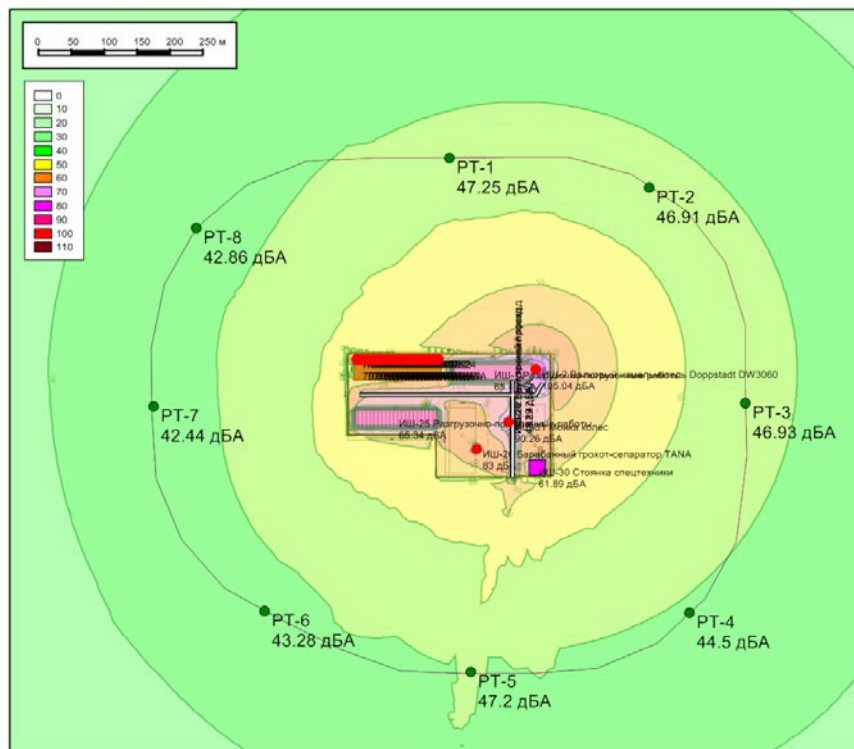
## Список литературы

1. СНиП 23-03-2003 "Защита от шума".
2. СН 2.2.4/2.1.8.562-96 "Шум на рабочих местах, в помещениях жилых, общественных зданий и на территории жилой застройки".
3. СП 51.13330.2011 Актуализированная редакция СНиП 23-03-2003.
4. Руководство по расчету и проектированию шумоглушения вентиляционных установок / НИИСФ Госстроя СССР, Гос. проект. ин-т Сантехпроект Госстроя СССР. – М.: Стройиздат, 1982.
5. Звукоизоляция и звукопоглощение / Л. Г. Осипов и др. - М.: ООО "Издательство АСТ", 2004.
6. СНиП II-12-77 "Защита от шума".
7. Методические рекомендации по оценке необходимого снижения звука у населенных пунктов и определению требуемой акустической эффективности экранов с учетом звукопоглощения. Росавтодор 2003.
8. МУК 4.3.2194-07 "Контроль уровня шума на территории жилой застройки, в жилых и общественных зданиях и помещениях", Роспотребнадзор, Москва - 2007.
9. ГОСТ 31295.1-2005 "Шум. Затухание звука при распространении на местности. Часть 1. Расчёт поглощения звука атмосферой".
10. ГОСТ 31295.2-2005 "Шум. Затухание звука при распространении на местности. Часть 2. Общий метод расчёта"
11. Пособие к МГСН 2.04-97 Проектирование защиты от транспортного шума и вибрации жилых и общественных зданий.
12. СП 23-103-2003 «Проектирование звукоизоляции ограждающих конструкций жилых и общественных зданий».
13. Handbook of noise and vibration control/ Edited by Malcolm J. Crocker. John Wiley & Sons Inc., Hoboken, New Jersey, USA, 2007.
14. Шум на транспорте. -М.: "Транспорт", 1995
15. ГОСТ 33325-2015. Шум. Методы расчёта уровней внешнего шума, излучаемого железнодорожным транспортом.
16. ОДМ 218.2.013-2011. Методические рекомендации по защите от транспортного шума территорий, прилегающих к автомобильным дорогам. Росавтодор, 2011.
17. СП 271.1325800.2016 Системы шумоглушения воздушного отопления, вентиляции и кондиционирования воздуха.
18. ГОСТ Р ИСО 3744-2013 Акустика. Определение уровней звуковой мощности и звуковой энергии источников шума по звуковому давлению.
19. СП 276.1325800.2016. ЗДАНИЯ и ТЕРРИТОРИИ. Правила проектирования защиты от шума транспортных потоков.
20. СП 23-104-2004 Оценка шума при проектировании, строительстве и эксплуатации объектов метрополитена.
21. СП 254.1325800.2016 Здания и территории. Правила проектирования защиты от производственного шума.
22. Борьба с шумом на производстве: Справочник/Е.Я.Юдин и др. - М.: Машиностроение, 1985
23. И. И. Боголепов. Архитектурная акустика. - СПб.: "Судостроение", 2001.

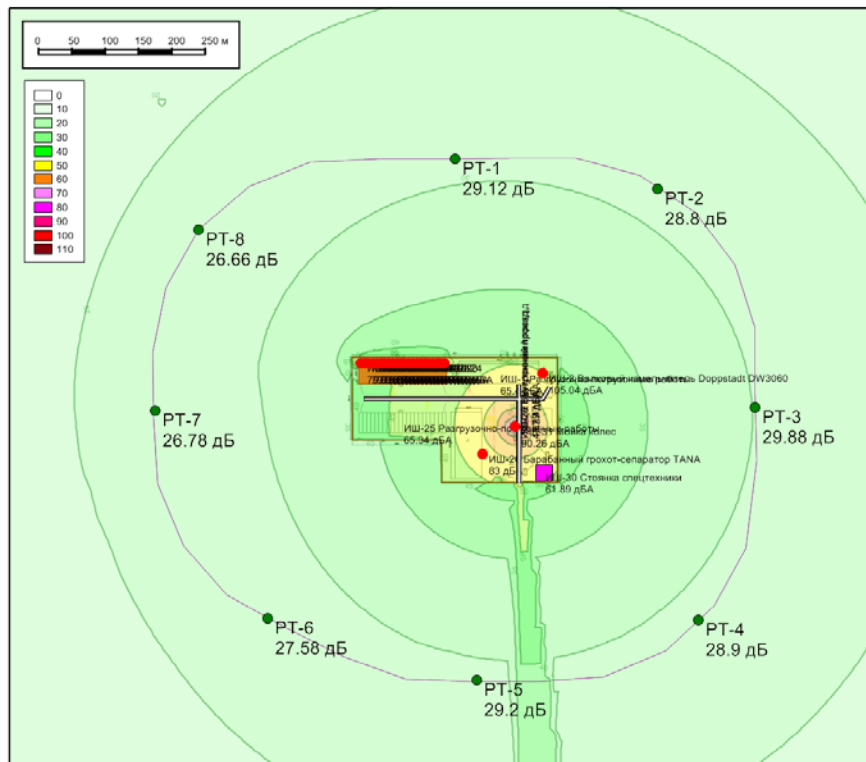
## Эквивалентный уровень звукового давления, день



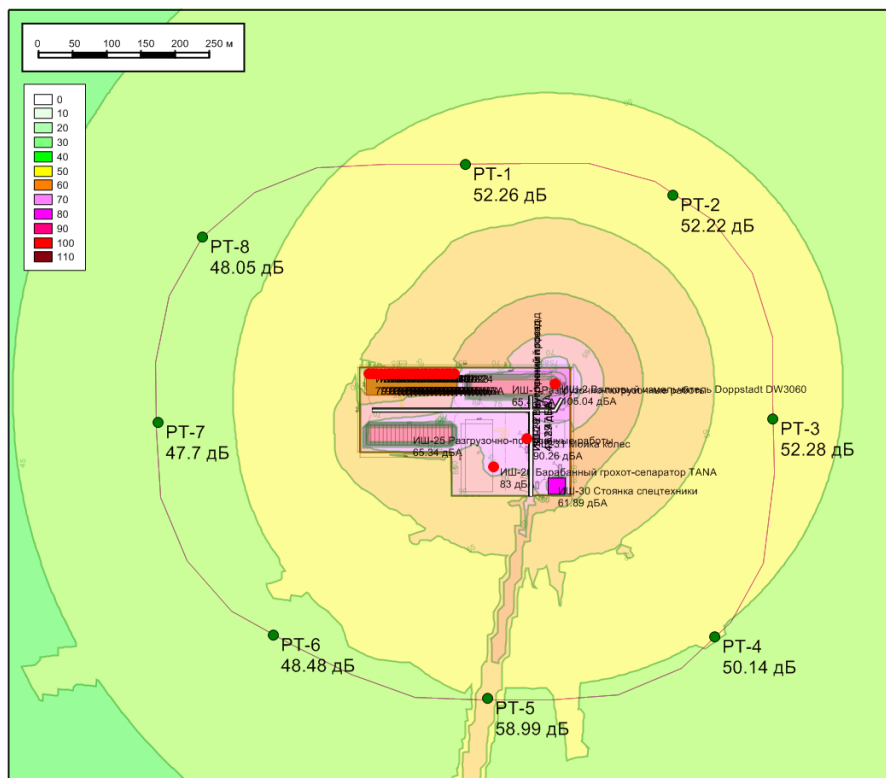
## Максимальный уровень звукового давления, день



### УЗД на среднегеометрической частоте 31,5 Гц, день

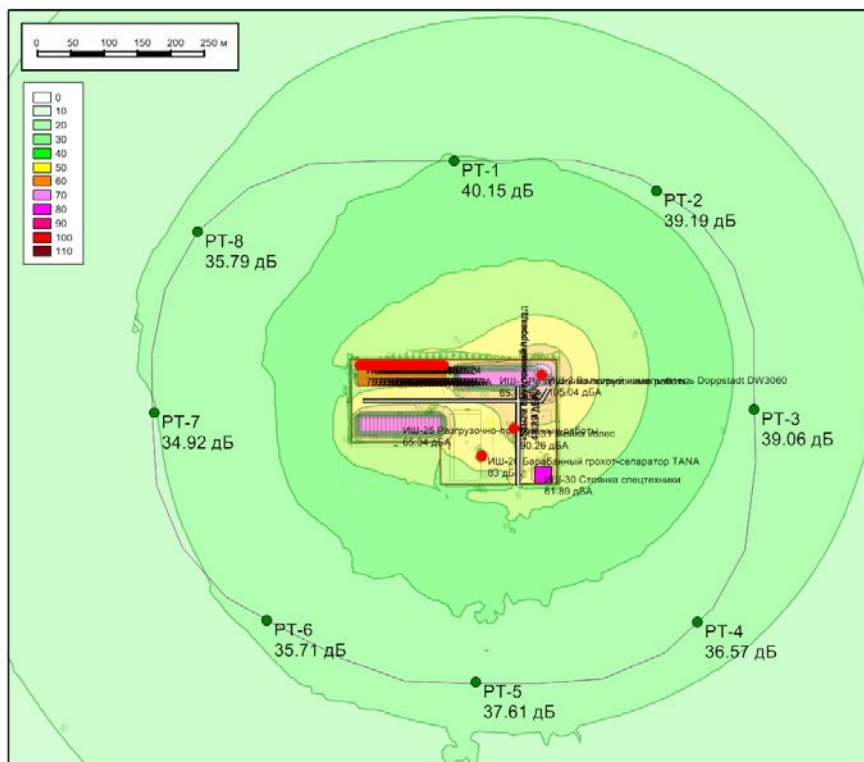


### УЗД на среднегеометрической частоте 63 Гц, день

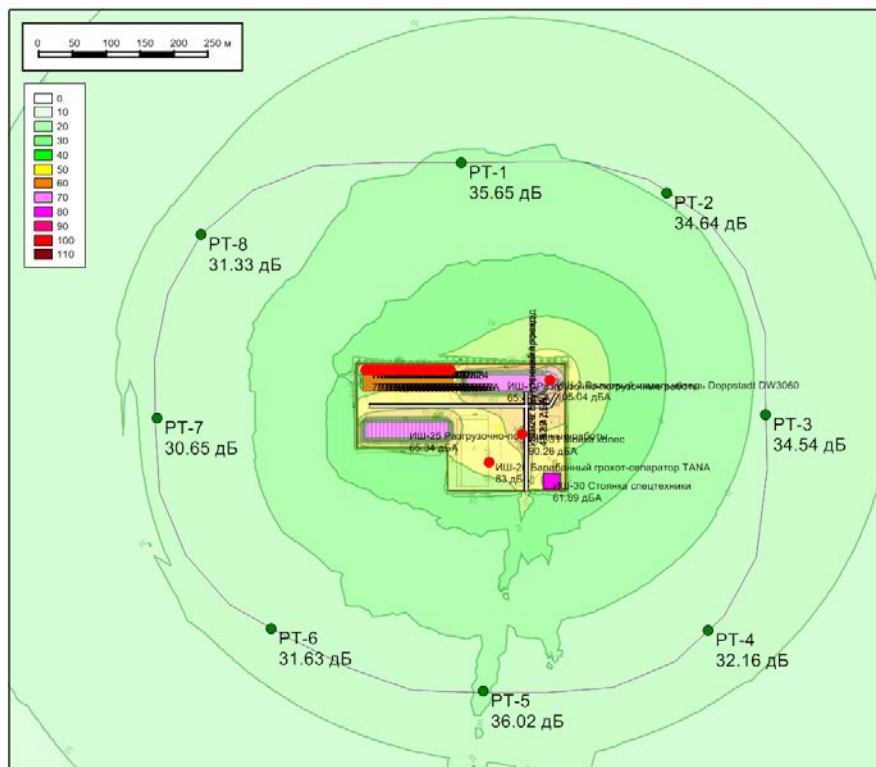




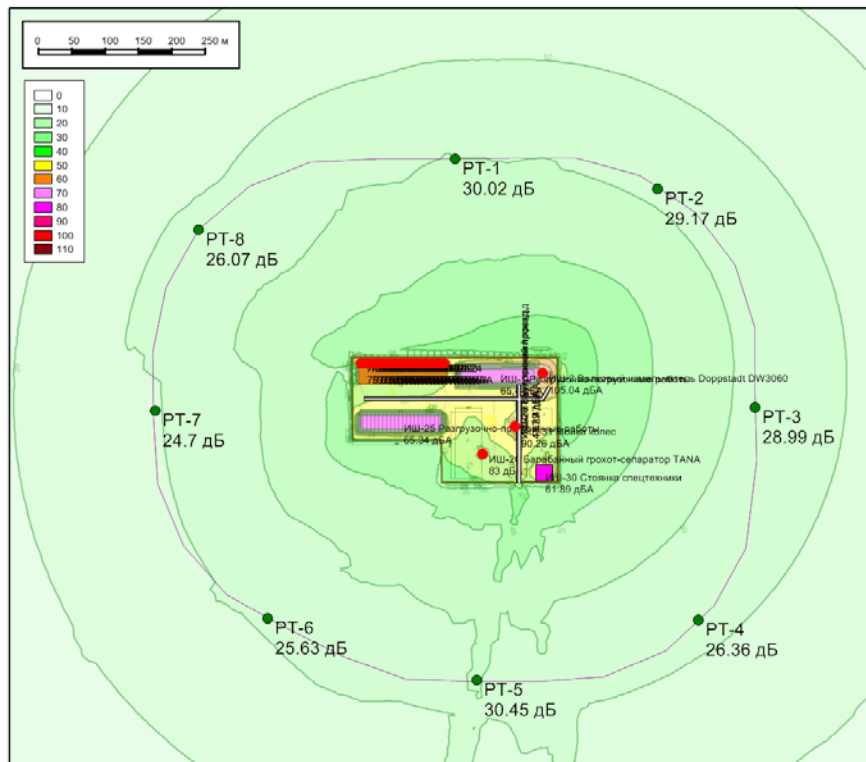
### УЗД на среднегеометрической частоте 500 Гц, день



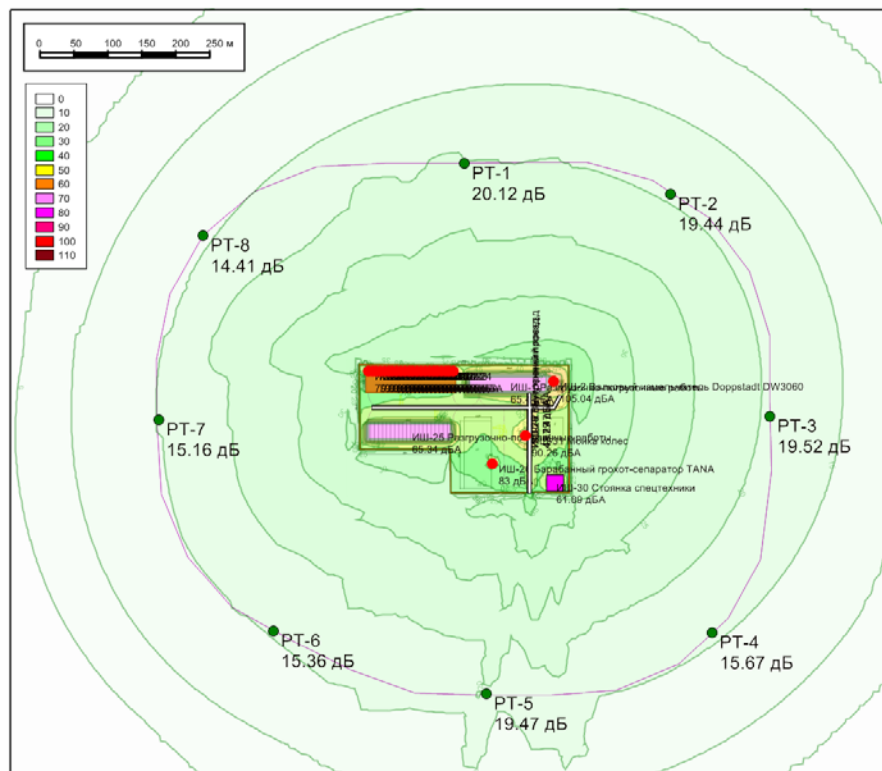
### УЗД на среднегеометрической частоте 1000 Гц, день



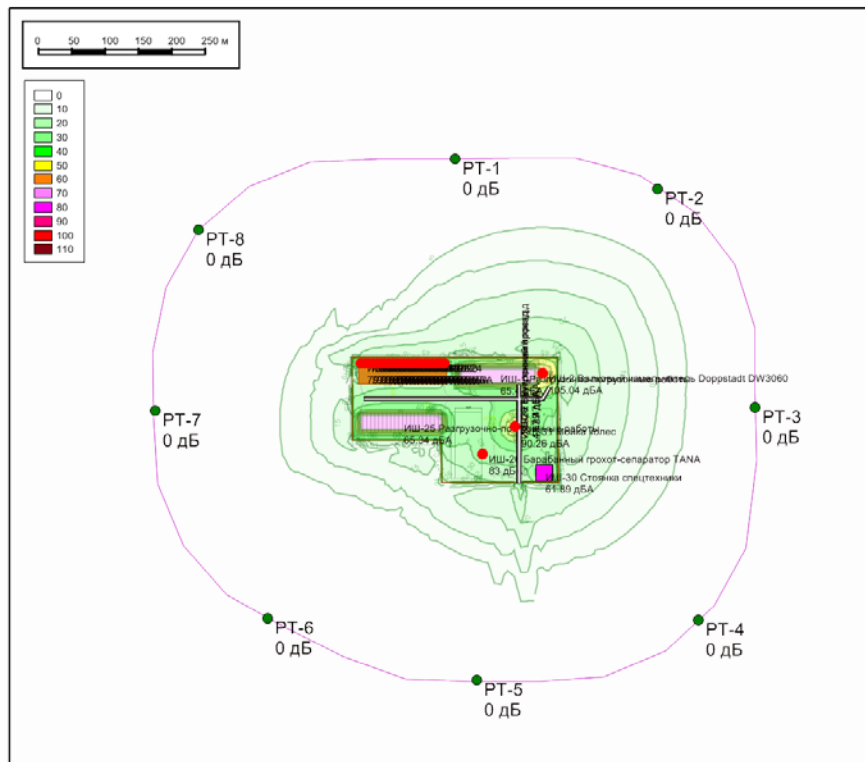
### УЗД на среднегеометрической частоте 2000 Гц, день



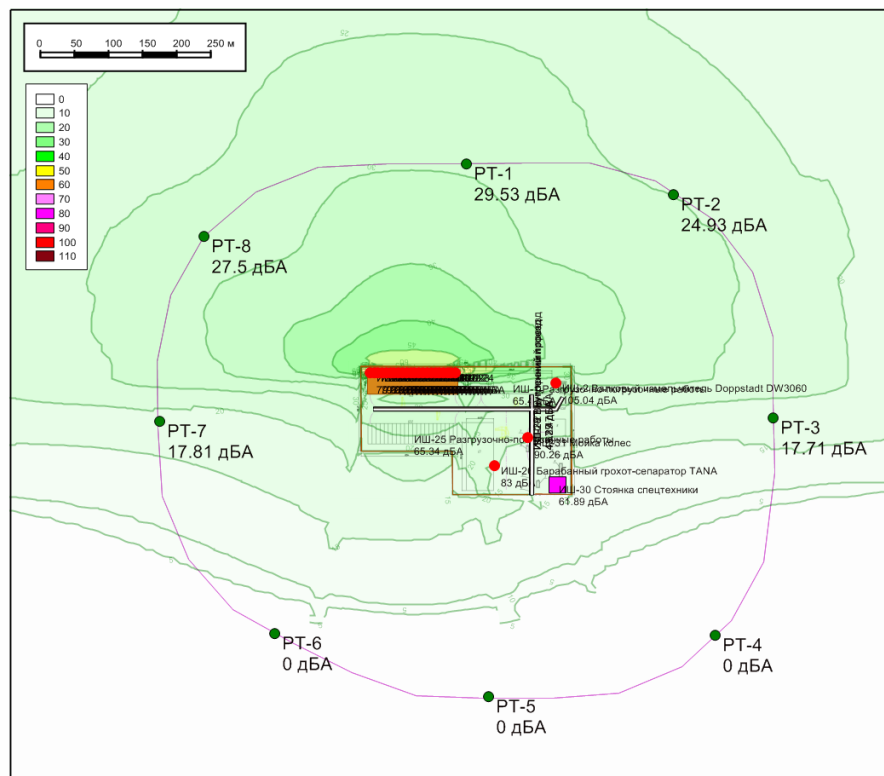
### УЗД на среднегеометрической частоте 4000 Гц, день



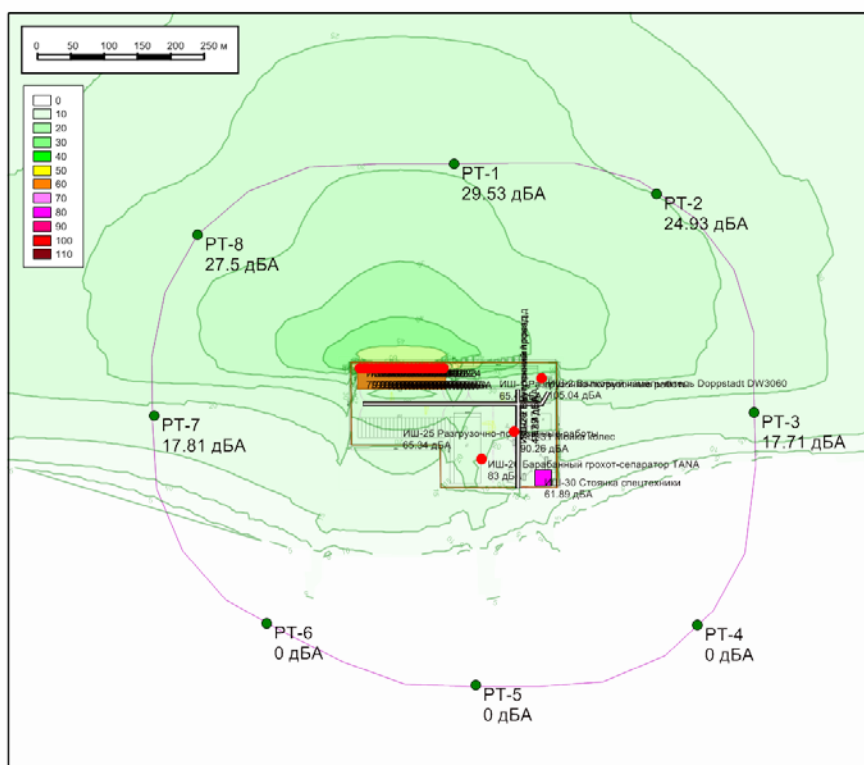
## УЗД на среднегеометрической частоте 8000 Гц, день



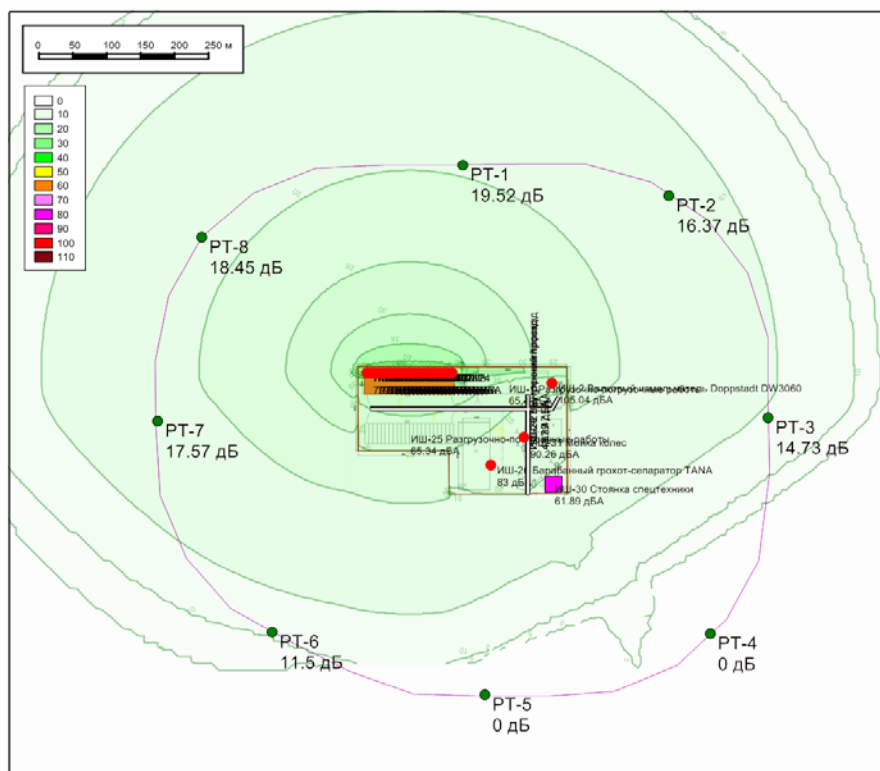
## Эквивалентный уровень звукового давления, ночь



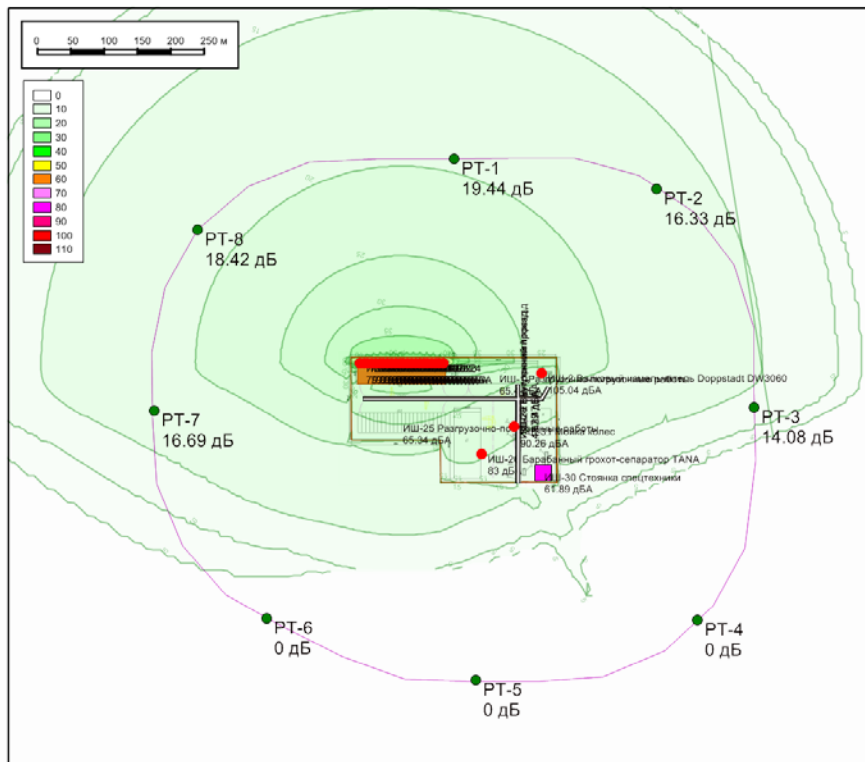
### Максимальный уровень звукового давления, ночь



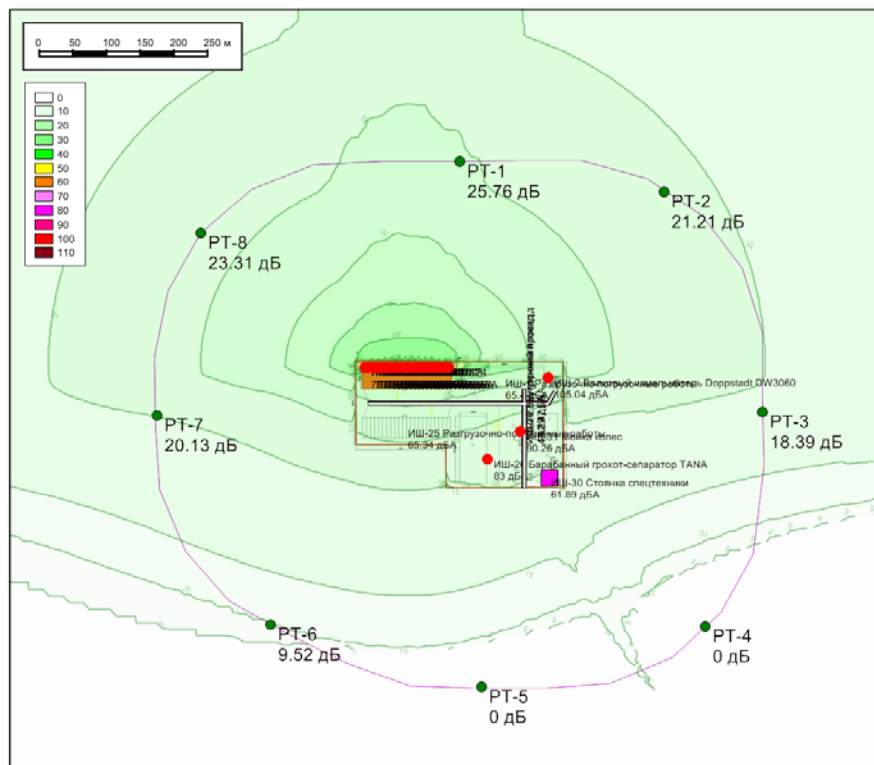
### УЗД на среднегеометрической частоте 31,5 Гц, ночь



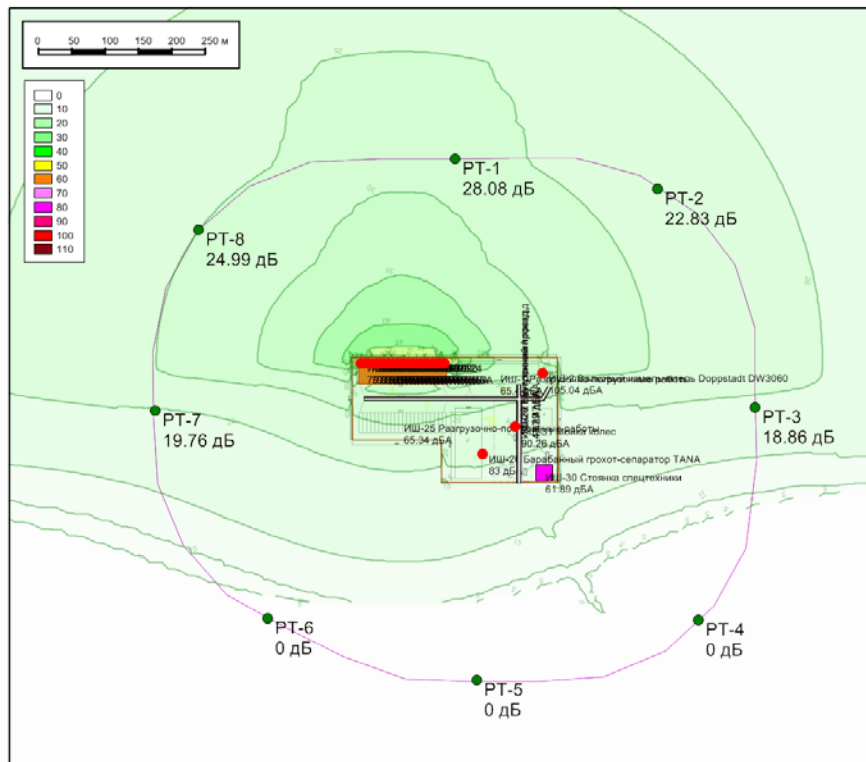
### УЗД на среднегеометрической частоте 63 Гц, ночь



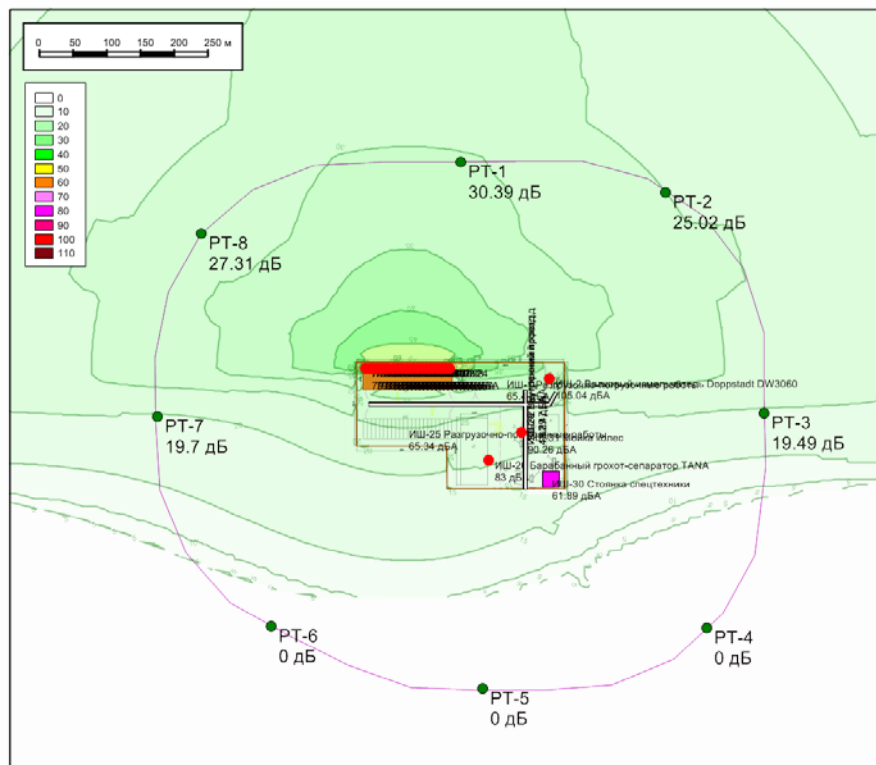
### УЗД на среднегеометрической частоте 125 Гц, ночь



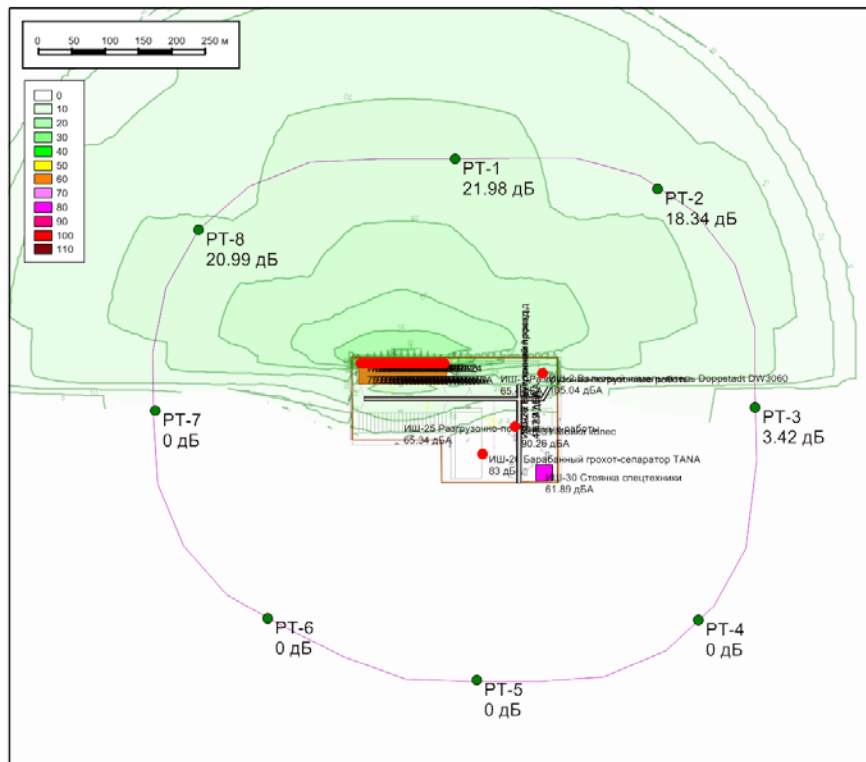
### УЗД на среднегеометрической частоте 250 Гц, ночь



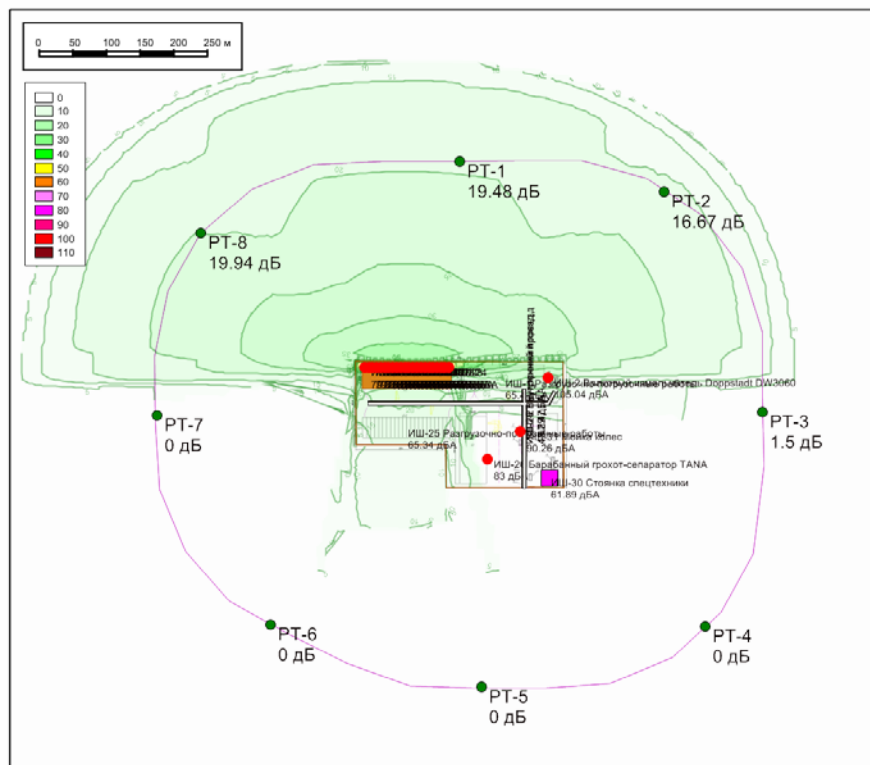
### УЗД на среднегеометрической частоте 500 Гц, ночь



### УЗД на среднегеометрической частоте 1000 Гц, ночь

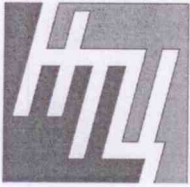


### УЗД на среднегеометрической частоте 2000 Гц, ночь





**Приложение 12. Шумовые характеристики оборудования.**



ЗАКРЫТОЕ АКЦИОНЕРНОЕ ОБЩЕСТВО

**нижегородский  
ТОРГОВЫЙ ЦЕНТР**

603 001, г. Нижний Новгород,  
Нижеволжская набережная, дом 6/1, офис 201  
Телефон: + 7 (831) 423-17-00  
Факс: + 7 (831) 278-06-71  
E-mail: office@ntc-company.com  
Web: www.ntc-company.com

Исх. « 02 » от « 13 » января 2015 г.  
на вх. № « \_ » от « \_ » \_\_\_\_\_ 2015 г.

ООО СК «Гидрокор»

Согласно Вашего запроса настоящим сообщаем, что шумовые характеристики оборудования составляют:

1. Разрыватель пакетов MATTIENSEN – 85 дБ на расстоянии 1 м;
2. Барабанный грохот TERRA SELECT – 80 дБ на расстоянии 1 м;
3. Пресс PRESRO – 88 дБ на расстоянии 1 м;
4. Пресс BOLLEGRAAF – 88 дБ на расстоянии 1 м;
5. Шредер DOPPSTADT – 90 дБ на расстоянии 4 м.

С уважением,  
Директор  
ЗАО «Нижегородский Торговый Центр»

А.Н. Фокин

На ваш запрос сообщаем следующее:

Технические характеристики Грохота-сепаратора 6D TANA представлены на нашем сайте, в разделе «каталог/техника для обращения с отходами» и указаны в таблице ниже:

<b>Технические характеристики</b>	<b>6D</b>
Рабочий вес, кг	17 000
Транспортные размеры (Д х Ш х В), мм	12 050 x 2540 x 4000
Эксплуатационные размеры (Д х Ш х В), мм	15 300 x 6960 x 4000
Двигатель	Cummins QSB3
Мощность двигателя, кВт	82кВт 110л/с
Топливный бак, л	320
Трансмиссия	Гидростатическая трансмиссия
Количество цилиндров, шт.	4
<b>Гидравлика</b>	
Количество насосов, шт.	2
	Замкнутый контур: 1 насос вращает барабан Открытый контур: 1 насос контролирует: опоры, конвейеры, очищающие щеки, загрузочный бункер, опускание, поднятие барабана
<b>Барабан</b>	
Длина/диаметр, мм	5500/2200
Регулируемая скорость вращения, об/мин.	0-20
<b>Объем загрузочного бункера</b>	
Опущенные боковые панели, м <sup>3</sup>	2,7
Поднятые боковые панели, м <sup>3</sup>	6,7
<b>Высота загрузочного бункера</b>	

Опущенные боковые панели, мм	2800
Поднятые боковые панели, мм	3500
Выход для ленты конвейера, мм	880x3060
Высота конвейерной ленты, мм	4000
<b>Электрика и электроника</b>	
Весы на конвейерах для крупной и для мелкой фракции	
Система контроля и мониторинга Tana	
Цветной экран на контрольной панели	
Дистанционный контроль работы ProTrack	

Дополнительно сообщаем, что

Уровень звукового давления при работе Грохота-сепаратора 6D TANA на полной мощности не превышает 80 дБ на расстоянии 1 м.

Выбросы загрязняющих веществ будут выделяться при работе дизельного двигателя Cummins QSB3, мощностью 82кВт.

Пыление при работе грохота-сепаратора 6D TANA напрямую зависит от вида сепарируемых отходов:

- для ТКО - 0,00132 кг с тонны отходов (кг/тонну).

- для древесных отходов (смесь коры, щепы, опилок, веток и т.п.) – 0,00108 кг с тонны отходов (кг/тонну).

**При влажности отходов более 20%, выбросы от пыления в соответствии с Методическим пособием по расчету выбросов от неорганизованных источников в промышленности строительных материалов. Новороссийск, 2001, рекомендуем не учитывать.**

С уважением,

Генеральный директор

А.Н. Пичурин

Исп.: Ключниченко Л.М.  
+79104393759

# КАТАЛОГ

## ИСТОЧНИКОВ ШУМА И СРЕДСТВ ЗАЩИТЫ

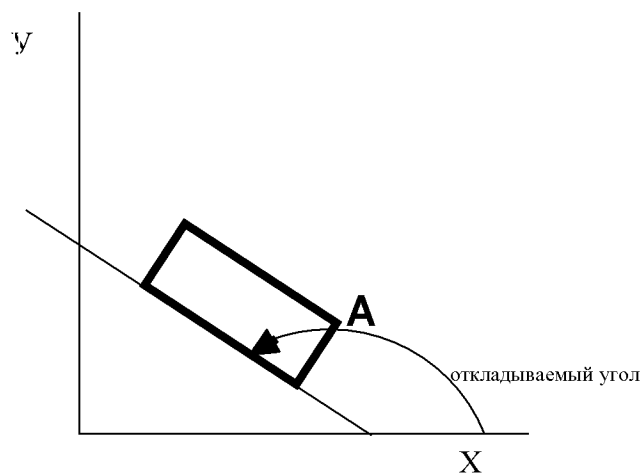
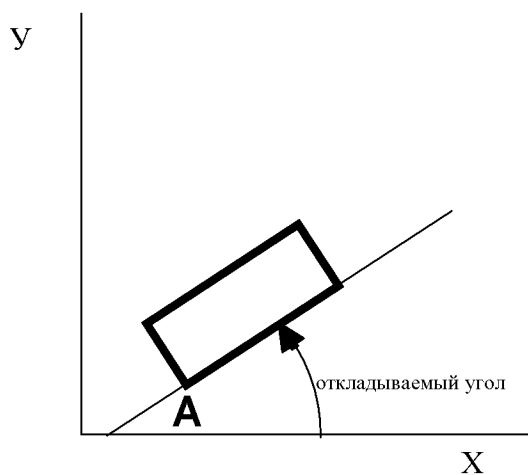


Таблица С1 лист 2

Код ВКГ ОКП	Тип, марка	Наименование	Габариты, мм дл. шир. выс.			Ур. звук. мощности / *Коды меропр. шумоглуш.									
						31,5	63	125	250	500	1000	2000	4000	8000	дБА
486121000000000	-Ц4-70 N6.3,10	Вентилятор, Q=5500	990	1140	1152	97	97	96	96	96	95	92	85	80	0
486121000000000	-Ц4-70 N6.3,12	Вентилятор, Q=3300	990	1140	1152	97	97	96	96	96	95	92	85	80	0
486121000000000	-Ц4-70 N6.3,9	Вентилятор, Q=5700	990	1140	1152	97	97	96	96	96	95	92	85	80	0
486121000000000	-Ц4-70 N4,5	Вентилятор, Q=2500	730	742	803	82	82	87	88	80	80	76	69	64	0
486121000000000	-Ц4-70 N6.3,2	Вентилятор, выброс, Q=2500	990	1140	1152	97	97	96	96	96	95	92	85	80	0
4861214221	A2.5095-2	Вентилятор центробежный Ц4-70 N2.5 исп.1 2800 об/мин	500	478	523	69 *022	69 *024	74 *	76 *	79 *	72 *	72 *	70	64	83
4861214227	A2.5 105-1	Вентилятор центробежный Ц4-70 N2.5 исп.1 1400 об/мин	500	478	523	58 *022	58 *024	61 *	67 *	62 *	61 *	53	46	41	70
4861214311	A2.105-2	Вентилятор центробежный Ц4-70 N2.5 исп.1 2800 об/мин	600	593	650	68 *022	68 *024	72 *	73 *	66 *	66 *	61	54	49	77
4861214311	A3.2100-1	Вентилятор центробежный Ц4-70 N3.2 исп.1 1400 об/мин	600	593	650	65 *022	65 *024	69 *	71 *	65 *	65 *	60	54	49	75
4861214311	A3.2100-2	Вентилятор центробежный Ц4-70 N3.2 исп.1 1400 об/мин	600	593	650	80 *022	80 *024	84 *	88 *	90 *	84 *	84	79	73	94
4861214318	A3.2095-1	Вентилятор центробежный Ц4-70 N3.2 исп.1 1400 об/мин	600	593	650	65 *022	65 *024	67 *	70 *	63 *	63 *	61	55	51	74
4861214318	A3.2095-2	Вентилятор центробежный Ц4-70 N3.2 исп.1 2860 об/мин	600	593	650	79 *022	79 *024	83 *	85 *	89 *	82 *	82	80	74	92
4861214328	A3.2105-1	Вентилятор центробежный Ц4-70 N3.2 исп.1 1400 об/мин	600	593	650	67 *022	67 *024	70 *	76 *	71 *	70 *	62	55	50	79
4861214328	A3.2105-2	Вентилятор центробежный Ц4-70 N3.2 исп.1 2860 об/мин	600	593	650	82 *022	82 *024	86 *	89 *	96 *	90 *	89	81	74	98
4861214411	A4100-1	Вентилятор центробежный Ц4-70 N4 исп.1 920 об/мин	790	749	770	65 *022	65 *024	68 *	65 *	62 *	59 *	53	48	42	73

Вентиляционное оборудование (с расходами воздуха) (коды 486000-487000)

ООО "Амулет", 191040, Санкт-Петербург, Лиговский проспект, дом 52, литер А, помещение 1Н, (полное наименование и адрес организации, проводящей исследования (испытания) и измерения)		
Регистрационный номер аттестата аккредитации ИЛ	Дата внесения в реестр	Срок действия
RA.RU.21AK32	30.06.2016 г.	бессрочно

**ПРОТОКОЛ**  
**проведения исследований (испытаний) и измерений шума**  
**№ 040/2018-04-ППШ СТ**  
(регистрационный номер протокола)

**1. Дата проведения измерений:** 13.12.2018 г.

**2. Дата оформления протокола:** 14.12.2018 г.

**3. Сведения о заказчике:**

3.1. Наименование заказчика: ООО «ЦЕНТР ПРОЕКТИРОВАНИЯ И ЭКОЛОГИИ».

3.2. Место нахождения и осуществления деятельности: г. Санкт-Петербург, Лиговский пр. д. 52.

**4. Цель испытания:** Измерение шума от оборудования ООО «Фирма Вирт-Авто-Сервис» на территории и непостоянных рабочих местах. Измерение фонового шума на соответствие СН 2.2.4/2.1.8.562-96 «Шум на рабочих местах в помещениях жилых, общественных зданий и на территории жилой застройки»; СанПиН 2.1.2.2645-10 «Санитарно-эпидемиологические требования к условиям проживания в жилых зданиях и помещениях».

**5. Сведения об объекте исследований:** ООО «Фирма Вирт-Авто-Сервис», 196240, г. Санкт-Петербург, 4-й Предпортовый проезд, 1. Натурные измерения параметров шума на территории и непостоянных рабочих местах, в том числе фонового шума в точках измерений на границе СЗЗ.

**6. НД, устанавливающие метод проведения измерений:**

- ГОСТ 23337 - 2014. Межгосударственный стандарт «Шум. Методы измерения шума на селитебной территории и в помещениях жилых и общественных зданий»;

**7. Сведения о средствах измерения:**

Наименование средства измерения	Заводской номер	№ свидетельства	Действительно по:	Погрешность СИ
Шумомер-виброметр, анализатор спектра «ЭКОФИЗИКА-110А»	120686	0025862	01.03.2019 г.	±0,7 дБ
Калибратор акустический АК-1000	0340	0201895	13.12.2018 г.	±0,25 дБ

**8. НД, регламентирующие ПДК, ПДУ измеряемых факторов:**

- ГОСТ 23337 - 2014. Межгосударственный стандарт «Шум. Методы измерения шума на селитебной территории и в помещениях жилых и общественных зданий»;

- МУК 4.3.2194-07 «Контроль уровня шума на территории жилой застройки и в жилых общественных зданиях и помещениях»;

- ГОСТ ISO 9612 ГОСТ ISO 9612-2016 Акустика. Измерения шума для оценки его воздействия на человека. Метод измерений на рабочих местах.

- Руководство по эксплуатации анализатора шума и вибрации «ЭКОФИЗИКА-110А»

**9. Условия проведения измерений:** Измерения шума проводились в дневное время суток в точках измерений на территории заказчика (с 12:00 до 18:00) и в точках измерений на границе ближайших нормируемых объектов в дневное при следующих метеорологических условиях:

Скорость ветра	Температуру воздуха	Влажность воздуха	Атмосферное давление	Осадки
2 м/с	-4 <sup>0</sup> С	70 %	765 мм рт.ст.	Без осадков

**10. Дополнительные сведения:**

10.1. Характер шума: Непостоянный.

10.2. Место измерений: Схема точек измерений представлена в приложении 1 к настоящему Протоколу.

10.3. Другие сведения: Нет.

11. Фактические и нормативные значения измеряемых параметров:

№ п/п	Место проведения измерения	Источник шума	Расстояние до источника (м)	Время суток	Уровни звукового давления (дБ) в октавных полосах нормируемого диапазона со среднегеометрическими частотами, Гц											Уровни звука (дБА):	
					31,5	63	125	250	500	1000	2000	4000	8000	LAэжв	Максимальный, LAmax		
					4	5	6	7	8	9	10	11	12				
1	2			3												13	14
1	Точка №1 (Мойка автомашин)	Оборудование автомоечное	3	День	85,2	78,2	77,3	75,4	75,4	76,4	75,7	72,6	71,8			81,9	85,1
2	Точка №2 (Опрыскивание пенной)	Оборудование автомоечное	3	День	83,5	68	64,5	69,9	72,5	75,2	76,1	72,6	68,3			81,1	83,7
3	Точка №3 (Ремонтные работы)	технологическое оборудование	2	День	67,1	62,6	58,9	65,3	74,7	78,4	78,5	82,2	78,6			86,6	89,2
4	Точка №4 (Ремонтные работы)	технологическое оборудование	2	День	64	58,8	66,6	73,1	76,1	78,8	78,7	80,2	79,3			86,1	89,6
5	Точка №5 (Ремонтные работы)	технологическое оборудование	2	День	66	61,9	67,4	70,4	73,5	77,6	78,8	80,4	78,6			85,8	89,6
6	Точка №6 (Ремонтные работы)	технологическое оборудование	2	День	65,7	61,4	67	69,8	73,2	77,3	78,8	80,3	78,2			85,6	89,6
7	Точка №7 (Ремонтные работы)	технологическое оборудование	2	День	64,6	64	65,2	68	74,5	81,2	85,5	86	85,5			91,5	95,4

8	Точка №8 (Фон)	автотранспорт	2	День	64,6	64	65,2	68	74,5	81,2	85,5	86	85,5	91,5	95,4
Нормативное значение*		День		День	90	75	66	59	54	50	47	45	44	55	70
		Ночь		Ночь	83	67	57	49	44	40	37	35	33	45	60

\* Нормативное значение в соответствии СП 51.13330.2011 (Табл. 1, п. 22).

- Настоящий протокол не может быть полностью или частично воспроизведен, тиражирован или распространен.
- Протокол испытаний касается только места испытаний, указанного в настоящем протоколе.

12. При измерениях присутствовал:

*ген. директор ООО "Ирма" "Вибрм - Абсолют Сервис"*  *Свиридов С.В.*  
(подпись) (Ф.И.О.)

13. Ответственный за проведение измерений:

Ведущий инженер ИЛ  Кореньков А.Г.  
(должность) (Ф.И.О.)

Ответственное лицо Испытательной лаборатории:  Мойсеев Д.В.  
*14.12.18* (дата) (должность) (Ф.И.О.)  
Начальник ИЛ М.П.

